

9005-144



TÜRKİYE BİLİMSEL VE
TEKNİK ARAŞTIRMA KURUMU

THE SCIENTIFIC AND TECHNICAL
RESEARCH COUNCIL OF TURKEY

**ADANA İLİ VE YAKIN ÇEVRESİNİN JEOTEKNİK
KOŞULLARININ STATİK VE SİSMİK DURUMLAR
İÇİN COĞRAFİ BİLGİ SİSTEMİ İLE
DEĞERLENDİRİLMESİ**

63881

PROJE NO: CYDABAG - 103Y004

**Çevre, Atmosfer, Yer ve Deniz Bilimleri
Araştırma Grubu**

**Environment, Atmosphere, Earth and Marine Sciences
Research Grant Group**



9005-144

TÜRKİYE BİLİMSEL VE
TEKNİK ARAŞTIRMA KURUMU
THE SCIENTIFIC AND TECHNICAL
RESEARCH COUNCIL OF TURKEY

AR
KOŞULLARI İÇİN COĞRAFI BİLGİLER
DEĞERLENDİRİLMESİ

63881

PROJE NO: ÇYDABAG - 103Y004

DOÇ.DR. SAZİYE BOZDAĞ
DR. İBRAHİM ÇOBANOĞLU
DOÇ.DR. HALİL KUMSAR
DR. LEVENT ATATANIR

HAZİRAN 2005
ADANA

**ADANA İLİ VE YAKIN ÇEVRESİNİN JEOTEKNİK
KOŞULLARININ STATİK VE SİSMİK DURUMLAR
İÇİN COĞRAFİ BİLGİ SİSTEMİ İLE
DEĞERLENDİRİLMESİ**

63881

PROJE NO: ÇYDABAG - 103Y004

DOÇ.DR. ŞAZİYE BOZDAĞ
DR. İBRAHİM ÇOBANOĞLU
DOÇ.DR. HALİL KUMSAR
DR. LEVENT ATATANIR

**HAZİRAN 2005
ADANA**

ÖNSÖZ

Her türlü zemin koşulunda yapışmanın olabildiği ülkemizde, 1999 Marmara depremi ve sonrasında yaşananlar ile bu konuda yapılan yanlışlıklar da ortaya çıkmıştır. Bu anlamda özellikle kalabalık yerleşim yerlerinin yerel zemin koşulları ve yapışma açısından değerlendirilmesi hususunda jeoteknik çalışmalar daha fazla anlam ifade eder hale gelmiştir. Artık zeminlerin kuvvetli yer hareketlerine maruz kaldıklarında verdikleri tepkilerin farklılığı daha iyi anlaşılmış ve bu konularda çalışan farklı disiplin kollarındaki meslek grupları için daha fazla önemsenir olmuştur.

Bir kent jeoteknik çalışması şeklinde gerçekleştirilmiş olan bu çalışma, başta bölgesel jeoloji olmak üzere jeoteknik, jeofizik ve hidrojeolojik temel unsurların belirlenmesini ve bunlara bağlı olarak elde edilmiş verileri bünyesinde taşıyan bir kent bilgi sisteminin oluşturulmasını amaçlamıştır. 1998 Adana-Ceyhan depremi esas olarak Ceyhan ilce merkezinde ağır hasarlar yapmış olmakla birlikte bilinen ve belirlenmiş olandan daha fazla yapısal hasar almış binaların olduğu bu çalışma sırasında görülmüştür. Adana ili kent alanı litolojik açıdan farklı özellikler sunan 4 esas birim olan Handere Formasyonu, taraça, kaliş ve alüvyon üzerinde kurulu bulunmaktadır. Bu litolojik farklılıklar aynı zamanda birimlere ait temel fiziksel ve mekanik parametrelerde doğrudan etki etmektedir.

Adana ili yerleşim alanında litolojik farklılıklar dikkate alınmaksızın çok katlı yapışmanın yaygın olduğu dikkati çekmektedir. Aynı zamanda tüm jeolojik materyalin aynı mühendislik incelemelerine tabi tutulduğu görülmektedir. Oysa taraça ve kaliş çökelleri klasik sondaj yöntemleri ile bilgi sahibi olunamayacak birimlerdir ve bu çalışmada vurgulanarak belirtilmiştir.

Bu proje, şu ana kadar yapılması gereken temel mühendislik çalışmaları ile birlikte bilimsel anlamda önem taşıyacak bazı spesifik konuları da içeriyor olmasından dolayı Adana ili için oldukça özel ve kaynak bir çalışma olmayı hedeflemiştir. Ortaya konulanlar hususunda ticari bir kaygı duyulmaması çalışmanın güvenilirliğini ve hassasiyetini olumlu yönde etkilemiştir. Elde edilenlerin, şu ana kadar konuya gereken önemi vermeyen kişi ve kurumlarla paylaşılması bu anlamda toplumsal bir kazanç sağlayacaktır.

Bu çalışma, TÜBİTAK YDABAG 103Y004 no'lu proje kapsamında yürütülmüş olup elde edilen maddi destek çalışmanın planlanan şekilde yürütülebilmesine yardımcı olmuştur. Bu açıdan TÜBİTAK'a teşekkür borç biliriz.

İÇİNDEKİLER

SAYFA

ÖNSÖZ.....	I
İÇİNDEKİLER	II
ŞEKİLLER DİZİNİ	VIII
ÇİZELGELER DİZİNİ	XIX
ÖZET.....	XVIII
ABSTRACT	XXIX
1. GİRİŞ.....	1
1.1. İnceleme Alanının Tanıtılması.....	3
2. ÖNCEKİ ÇALIŞMALAR.....	7
2.1. Genel Jeoloji Çalışmaları.....	7
2.2. Uzaktan Algılama Çalışmaları.....	7
2.3. Jeoteknik ve Arazi Kullanımı Çalışmaları.....	8
2.4. Zemin Dinamik Özellikleri Çalışmaları.....	11
2.5. Depremsellik ve Sismik Risk Çalışmaları.....	13
2.6. Hidrojeoloji Çalışmaları.....	16
2.7. Coğrafi Bilgi Sistemi ve Bölgelendirme Çalışmaları.....	17
3. MATERİYAL VE METOD.....	19
3.1. Materyal.....	19
3.2. Metod.....	19
3.2.1. Mevcut Literatür İncelemeleri.....	20
3.2.2. Topografik Haritaların Temini.....	20
3.2.3. Jeoloji Haritalarının İncelenmesi ve Yeni Jeoloji Haritasının Oluşturulması.....	20
3.2.4. Uydu Görüntülerinden Faydalananma.....	21
3.2.5. Jeoteknik Verilerin Temini.....	21
3.2.6. Arazi Çalışmaları.....	22
3.2.7. Laboratuar Çalışmaları.....	22
3.2.8. Uzaktan Algılama Çalışmaları.....	23
3.2.8.1. Landsat TM Bantları.....	23
3.2.8.2. Uzaktan Algılamada sınıflandırma Yöntemleri.....	24
3.2.9. Coğrafi Bilgi Sistemi Çalışmaları.....	25

3.2.9.1. Coğrafi Bilgi Sisteminin Yararları.....	25
3.2.9.2. Coğrafi Bilgi Sisteminin Bileşenleri.....	25
3.2.10. Elde Edilen Verilerle İlgili Analizlerin Yapılması.....	26
3.2.10.1. Kayma Dalgası Hızlarının Belirlenmesi.....	26
3.2.10.2. Sıvılaşma Risk Analizlerinin Yapılması.....	27
3.2.10.3. Zeminin Şişme Potansiyelinin Belirlenmesi.....	30
3.2.10.4. Zemin Taşıma Gücü Analizleri.....	30
4. ARAŞTIRMA BULGULARI.....	32
4.1. Genel Jeoloji.....	32
4.1.1. Handere Formasyonu.....	32
4.1.2. Taraça.....	34
4.1.3. Kaliş.....	36
4.1.4. Alüvyon.....	38
4.2. Hidroloji.....	42
4.2.1. İstatistiksel Hidroloji Çalışmaları.....	42
4.2.2. Su Bilançosu.....	44
4.3. Birimlerin Mühendislik Özelliklerinin İncelenmesi.....	49
4.3.1. Handere Kili.....	49
4.3.1.1. Fiziksel Özellikleri.....	51
4.3.1.2. Mekanik Özellikleri.....	55
4.3.1.3. Konsolidasyon Özellikleri.....	57
4.3.1.4. Taşıma Gücü Özellikleri.....	62
4.3.1.5. Şevlerin Duraylılık Özellikleri.....	63
4.3.1.6. Şişme ve Büzülme Özellikleri.....	65
4.3.1.6.(1). Handere Kilinin Kimyasal ve Mineralojik Özellikleri.....	66
4.3.1.6.(2). Şişme Deneyleri.....	68
4.3.1.6.(3). Şişme Potansiyeli.....	71
4.3.1.6.(4). Şişme İndisi.....	75
4.3.1.7. Zemin Emmesi ve Toplam Şişme.....	76
4.3.1.8. Jeofizik Özellikleri.....	77
4.3.1.8.1. Sismik Özellikler.....	77
4.3.1.8.2. Özdirenç Değerleri.....	79
4.3.1.9. Hidrojeolojik Özellikleri.....	80

4.3.1.10. Yorum ve Öneriler.....	81
4.3.2. Taraça Çökelleri.....	82
4.3.2.1. Fiziksel Özellikleri.....	83
4.3.2.2. Mekanik Özellikleri.....	92
4.3.2.2.(1). Schmidt Çekici Deneyleri.....	94
4.3.2.2.(2). Tek Eksenli Basma Dayanımı Deneyleri.....	96
4.3.2.3. Taşıma Gücü Özellikleri.....	106
4.3.2.3.(1). Zemin Özelliği Gösteren Taraça Çökelleri İçin Taşıma Gücü Analizleri.....	106
4.3.2.3.(2). Kaya Özelliği Gösteren Taraça Çökelleri İçin Taşıma Gücü Analizleri.....	106
4.3.2.4. Şev Duraylılık Özellikleri.....	108
4.3.2.5. Jeofizik Özellikleri.....	109
4.3.2.5.(1). Sismik Özellikler.....	110
4.3.2.5.(2). Özdirenç Değerleri.....	113
4.3.2.6. Hidrojeolojik Özellikleri.....	114
4.3.2.7. Yorum ve Öneriler.....	115
4.3.3. Kaliş Çökelleri.....	117
4.3.3.1. Karbonat Tüplerinden Oluşan Kaliş.....	118
4.3.3.2. Karbonat Kapak (Karbonat Kabuk, Masif Kaliş).....	120
4.3.3.2.(1). BK Grubu Kalişlere Ait İnce Kesit İncelemeleri.....	121
4.3.3.2.(2). KK Grubu Kalişlere Ait İnce Kesit İncelemeleri.....	125
4.3.3.2.(3). ÇK Grubu Kalişlere Ait İnce Kesit İncelemeleri.....	126
4.3.3.3. Kaliş Toprağı.....	127
4.3.3.4. Fiziksel Özellikleri.....	127
4.3.3.5. Mekanik Özellikleri.....	133
4.3.3.5.(1). Schmidt Çekici Deneyleri.....	133
4.3.3.5.(2). Tek Eksenli Basma Dayanımı Deneyleri.....	133
4.3.3.6. Konsolidasyon Özellikleri.....	141
4.3.3.7. Taşıma Gücü Özellikleri.....	146
4.3.3.7.(1). Yumuşak Kaliş Biriminin Taşıma Gücü Özellikleri.....	146
4.3.3.7.(2). Sert Kaliş Biriminin Taşıma Gücü Özellikleri.....	147
4.3.3.8. Şev Duraylılık Özellikleri.....	148

4.3.3.9. Jeofizik Özellikleri.....	150
4.3.3.9.(1). Sismik Özellikler.....	150
4.3.3.9.(2). Özdirenç Değerleri.....	153
4.3.3.10. Hidrojeolojik Özellikleri.....	154
4.3.3.11. Yorum ve Öneriler.....	155
4.3.4. Alüvyon Çökelleri.....	157
4.3.4.1. Fiziksel Özellikleri.....	158
4.3.4.1.(1). Zemin Sınıfları.....	158
4.3.4.1.(2). Kivam Özellikleri.....	160
4.3.4.2. Mekanik Özellikleri.....	162
4.3.4.3. Konsolidasyon Özellikleri.....	162
4.3.4.4. Taşıma Gücü Özellikleri.....	170
4.3.4.5. Sıvılaşma Özellikleri.....	171
4.3.4.5.(1). Sıvılaşmanın Oluşması İçin Gereken Kriterlerin Belirlenmesi.....	172
4.3.4.5.(2). Adana İli Yerleşim Alanı İçin Sıvılaşma Analizi.....	174
4.3.4.6. Jeofizik Özellikleri.....	177
4.3.4.6.(1). Sismik Özellikler.....	177
4.3.4.6.(2). Özdirenç Değerleri.....	185
4.3.4.7. Hidrojeolojik Özellikleri.....	189
4.3.4.. Yorum ve Öneriler.....	189
4.4. Sondaj Çalışmaları.....	191
4.4.1. SPT Darbe Sayılarının Değerlendirilmesi İle Taşıma Gücü Değerlerinin Belirlenmesi.....	193
4.4.2. Kuyu Tanımlamaları ve Kuyu Örneklerinin Fiziko-Mekanik Özelliklerinin İncelenmesi.....	193
4.4.3. Arazi ve Laboratuar Deney Verilerinin Değerlendirilmesi.....	222
4.5. Jeofizik Çalışmalar.....	228
4.5.1. Rezistivite Ölçümleri.....	228
4.5.2. Sismik Ölçümler.....	231
4.6. Depremsellik Parametrelerinin Belirlenmesi İçin Aktif Fay Verilerinin Kullanılması.....	234
4.6.1. Depremin Olası Moment Büyüklüğü.....	235

4.6.2. Sismik Moment.....	236
4.6.3. Yüzey ve Cisim Dalgalarına Göre Deprem Büyüklüğü.....	236
4.6.4. Depremin Enerjisi.....	237
4.6.5. Depremin Olası Şiddeti.....	237
4.6.6. Ortalama Yüzey Kırığı Uzunluğu.....	238
4.6.7. Fayın Ortalama Yırtılma Alanı.....	238
4.6.8. Fayın Ortalama Atımı.....	238
4.6.9. Depremin Süresi.....	239
4.6.10. Maksimum Yer İvmesi.....	239
4.7. Sismik Risk Çalışmaları.....	241
4.7.1. Deprem Sıklıkları ve Magnitüd-Frekans İlişkisinin Değerlendirilmesi.....	241
4.7.2. Üstel Dağılım Modeli İle Sismik Tehlikenin Belirlenmesi.....	244
4.7.2.1. Ki-Kare (χ^2) Uyumun İyiliği Testi.....	244
4.7.2.2. Veri Analizi.....	245
4.7.3. Poisson Modeli Kullanılarak Sismik Tehlikenin Belirlenmesi.....	248
4.7.4. Gumbel Modeli Kullanılarak Sismik Tehlikenin Belirlenmesi.....	251
4.7.5. Yorum ve Öneriler.....	253
4.8. Hidrojeolojik Koşulların İncelenmesi.....	255
4.8.1. Yeraltı Su Seviyesi Ölçümleri ve Yeraltı Suyu Derinlik Haritasının Hazırlanması.....	255
4.8.2. Akifer Karakteristiklerinin Belirlenmesi.....	259
4.8.3. Suların Fiziko-Kimyasal Özellikleri.....	263
4.8.3.1. pH Değerleri ve Eş-pH Haritası.....	263
4.8.3.2. Suların Elektriksel İletkenliği (EC) ve Eş-EC Haritası.....	266
4.8.3.3. Suların Sertliği ve Eş Sertlik Haritası.....	268
4.8.3.4. Sulfat Değerleri ve Eş Sulfat Haritası.....	270
4.8.4. Suların Çözünmüştür Toplam Katı Madde Miktarına Göre Sınıflaması.....	270
4.8.5. Suların Kullanılabilme Özellikleri	270
4.8.5.1. İnceleme Alanı Yeraltı Sularının İçme Suyu Olarak Kullanılabilme Özellikleri.....	273
4.8.5.2. İnceleme Alanı Yeraltı Sularının Sulamada Kullanılabilme	

Özellikleri.....	273
4.8.5.2.(1). Artıksal Sodyum Karbonat (RSC).....	273
4.8.5.2.(2). Wilcox Diyagramı.....	277
4.8.5.2.(3). Sodyum Adsorpsiyon Oranı (SAR).....	280
4.8.5.2.(4). Klorür Tehlikesi.....	280
4.8.5.2.(5). ABD Tuzluluk Laboratuvarı Diyagramı.....	280
4.9. Uzaktan Algılama ve Coğrafi Bilgi Sistemi Çalışmaları.....	283
4.9.1. Uzaktan Algılama Çalışmaları.....	283
4.9.2. Coğrafi Bilgi Sistemi Çalışmaları.....	288
4.10. Mühendislik Jeolojisi Haritalarının Oluşturulması ve Jeoteknik Koşulların Belirlenmesi.....	295
4.10.1. Sayısal Topografik Kontur Haritası.....	295
4.10.2. Eş Topografik Kontur Haritası.....	295
4.10.3. Sayısal Yükseklik Modeli (DEM).....	297
4.10.4. Sayısal Topografik Kontur Haritası.....	297
4.10.5. Dökümantasyon Haritası.....	297
4.10.6. Eş Rezistivite Haritaları.....	301
4.10.7. Eş Kayma Dalgası Hızı Haritası.....	306
4.10.8. Eş SPT-N Haritası.....	309
4.10.9. Pik Zemin İvmesi Haritası.....	311
4.10.10. Eş Zemin Büyütmesi Haritası.....	321
4.10.11. Zemin Hakim Titreşim Periyodu Haritası.....	323
5. SONUÇLAR VE ÖNERİLER.....	326
KAYNAKLAR.....	330

EKLER

 EK-1 ARAŞTIRMA ÇUKURLARI

 EK-2 SONDAJ LOGLARI

 EK-3 SİSMİK RİSK ANALİZİNDE KULLANILAN ALETSEL DÖNEM
 DEPREM KAYITLARI

ŞEKİLLER DİZİNİ	SAYFA
Şekil 1.1. İnceleme alanı yer bulduru haritası.....	2
Şekil 1.2. Adana ili için aylara bağlı olarak sıcaklık değerlerinin değişimi....	4
Şekil 1.3. Adana ili için yağışın yıllara bağlı olarak değişimi.....	4
Şekil 3.1a. Karot alımı için araziden getirilen bazı blok örnekler.....	20
Şekil 3.1b. Örneklerin karot alımından sonraki görünümü.....	20
Şekil 3.2. Deviresel gerilme oranı ve penetrasyon direncime bağlı olarak sıvılaşma riskinin belirlenmesi.....	30
Şekil 3.3. Zemin taşıma güçlerinin hesaplanmasıında kullanılan bilgisayar programının girdi ve çıktı bilgileri.....	31
Şekil 4.1. Handere Formasyonu'nun (Handere kili) inceleme alanındaki genel görünümü ve incelenen bir yarma.....	32
Şekil 4.2. Handere Formasyonuna ait kilitaşları içerisinde gözlenen eğimli tabakalar ve kama şekilli çapraz tabakalar.....	33
Şekil 4.3. İnceleme alanı kuzeyinde görülen Handere Formasyonu, kaliş dokanağı.....	34
Şekil 4.4. Seyhan baraj gölü sahilinde mostra veren taraça birimlerinin görünümü.....	35
Şekil 4.5. Taraça içerisinde yer alan tanelerin birim içindeki dağılımları.....	35
Şekil 4.6. Taraça birimi içerisinde kama şekilli kum merceği (AÇ 48, Ordu Evi doğusu).....	36
Şekil 4.7. Gevşek tutturulmuş taraçada tane destekli yapı ve boylanma.....	36
Şekil 4.8. Handere Formasyonu ile dokanak halinde olan kaliş birimi.....	37
Şekil 4.9. Kuzey Adana bölgesinde geniş yayılım sunan kaliş birimi ve yaygın karbonat tüpü oluşumlarının görünümü (02950 D/ 02310 K noktası).....	38
Şekil 4.10. Belediye Evleri Mahallesinde karbonat kabuk ve alta yumuşak kaliş biriminin görünümü (01098 D/ 02984 K noktası).....	38
Şekil 4.11. Alüvyon birimi içerisinde görülen koyu kahverenkli kil birimi ve beyaz renkli organizma kavaklılarının görünümü.....	39
Şekil 4.12. İnceleme alanı için oluşturulmuş ve mühendislik çalışmalarına esas teşkil eden genel jeoloji haritası.....	41

Şekil 4.13.	Aylara bağlı olarak ortalama yağışın 2002 yılı içindeki değişimi...	43
Şekil 4.14.	Ortalama yıllık yağış miktarlarının 1970-2002 yılları arasındaki değişimi.....	43
Şekil 4.15.	Yıllık yağış miktarları kullanılarak elde edilen eklenik sapma ve ortalama yağış grafikleri.....	44
Şekil 4.16.	Etp'nin aylık değişimleri.....	46
Şekil 4.17.	Adana ilinin 1929 – 2001 yılları için yağış ve Etp değerlerinin aylık değişim grafiği (su bilançosu).....	48
Şekil 4.18.	Handere kili ve taraça araştırma çukuru yerlerinin çalışma alanı içindeki dağılımı.....	50
Şekil 4.19.	Arazi çalışmaları sırasında alınan kilit taşı blok numunelerinin görünümleri.....	51
Şekil 4.20.	Örnekleme yapılan yerlerdeki zemin numunelerine ait su muhtevası (w_n), likit limit (LL) ve plastik limit (PL) değerlerinin değişimleri.....	53
Şekil 4.21.	Kıvam limiti deney sonuçlarına göre elde edilmiş likit limit- plastisite indisi ilişkisi.....	55
Şekil 4.22.	Konsolidasyon deneyinde kullanılan örneklerin deney sonrası görünümleri.....	57
Şekil 4.23.	Bazı konsolidasyon parametrelerinin lokasyonlara göre değişimleri	58
Şekil 4.24.	Handere Kili örneklerinin konsolidasyon deneylerinden elde edilmiş deney eğrileri.....	59
Şekil 4.25.	Farklı araştırmacılar tarafından önerilen empirik bağıntılar ile bu çalışmadan elde edilen sıkışma indisi değerlerinin örnek yerlerine göre dağılımları.....	60
Şekil 4.26.	Bu çalışma ile elde edilmiş $m_V - a_V$ ilişkisi.....	61
Şekil 4.27.	Bu çalışma ile elde edilmiş $a_V - P$ (gerilme) ilişkisi.....	61
Şekil 4.28.	Bu çalışma ile elde edilmiş $m_V - P$ (gerilme) ilişkisi.....	62
Şekil 4.29.	Analizi yapılan yol yarası şevinin statik durumındaki duraylılık analizi ve olması muhtemel kayma dairesi şekli.....	65
Şekil 4.30.	Zeminlerin şişme ve büzülmesinin tespitinde kullanılan yöntemler	68
Şekil 4.31.	Şişme deneyine tabi tutulmuş 2 farklı kil numunesinin deney sonundaki durumları.....	70

Şekil 4.32.	Büzülme limitinin belirlenmesi amacıyla Casagrande tarafından önerilen abak ve incelenen lokasyonların dağılımı.....	73
Şekil 4.33.	Deney ve formülle bulunan sıkışma indisi değerlerinin örnek yerlerine göre dağılımları.....	76
Şekil 4.34.	JF-8 (AGV arazisi) ölçüm noktasına ait sismik serim kesiti.....	78
Şekil 4.35.	JF -14 (Başkent Okulları) ölçüm noktasına ait sismik serim kesiti..	79
Şekil 4.36.	JF 8 ölçüm noktasında derinliğe bağlı olarak elde edilmiş rezistivite değerleri.....	80
Şekil 4.37.	JF 14 ölçüm noktasında derinliğe bağlı olarak elde edilmiş rezistivite değerleri.....	80
Şekil 4.38.	Taraça araştırma çukuru yerlerinin çalışma alanı içindeki dağılımı.	84
Şekil 4.39.	İncelenen AÇ-3 ve AÇ-19 araştırma çukurlarına ait kesitler ve elde edilen tane boyu eğrileri.....	86
Şekil 4.40.	İncelenen AÇ-41 ve AÇ-62 araştırma çukurlarına ait kesitler ve elde edilen tane boyu eğrileri.....	87
Şekil 4.41.	İncelenen AÇ-57 ve AÇ-67 araştırma çukurlarına ait kesitler ve elde edilen tane boyu eğrileri.....	88
Şekil 4.42.	İncelenen araştırma çukurları ve elde edilen tane boyu eğrileri	89
Şekil 4.43.	İncelenen AÇ-10 araştırma çukurlarına ait kesit ve elde edilen tane boyu eğrisi.....	90
Şekil 4.44.	Ağırlıkça su emme deneylerinde kullanılan karot parçaları	90
Şekil 4.45.	Taraça örneklerinde ağırlıkça su emmenin zamana bağlı olarak değişimi.....	91
Şekil 4.46.	Dilberler sekisi boyunca görülen yol yamasında Schmidt çekici ile taranan taraça çökelleri.....	95
Şekil 4.47.	Schmidt çekici ile taranan bazı taraçaların arazi görünümleri	95
Şekil 4.48.	Tek eksenli basma dayanımı deneylerinde kullanılan karot numuneler.....	97
Şekil 4.49.	ST 13 numaralı taraça örneğine ait tek eksenli basma dayanımı deney verileri ve gerilme – birim deformasyon grafiği.....	98
Şekil 4.50.	YT 1 numaralı taraça örneğine ait tek eksenli basma dayanımı deney verileri ve gerilme – birim deformasyon grafiği.....	99
Şekil 4.51.	YT 1 numaralı taraça örneğine ait tek eksenli basma dayanımı deney	

	verileri ve gerilme – birim deformasyon grafiği.....	100
Şekil 4.52.	En düşük ve en yüksek tek eksenli basma dayanımı değerlerine sahip karot numuneleri için elde edilmiş taraça kaya dayanımı parametreleri.....	104
Şekil 4.53.	Kaya taşıma gücünün belirlenmesi için oluşturulmuş bilgisayar programına ait veri giriş parametreleri ve hesaplananlar.....	108
Şekil 4.54.	Taraça örnekleri için kohezyon değerlerinin kaya taşıma gücü ile ilişkisi (birim hacim ağırlığı 24 kN/m^3 olan numuneler için).....	109
Şekil 4.55.	JF-5 (oto pazarı) ölçüm noktasına ait sismik serim kesiti.....	110
Şekil 4.56.	JF-6 (Beyazevler Mah) ölçüm noktasına ait sismik serim kesiti.....	111
Şekil 4.57.	JF-7 (Mahfesığmaz Mahallesi) ölçüm noktasına ait sismik serim kesiti.....	112
Şekil 4.58.	JF-15 (Mayı Bulvar) ölçüm noktasına ait sismik serim kesiti	113
Şekil 4.59.	JF 5 ölçüm noktasında derinliğe bağlı olarak elde edilmiş rezistivite değerleri.....	114
Şekil 4.60.	JF 6 ölçüm noktasında derinliğe bağlı olarak elde edilmiş rezistivite değerleri.....	114
Şekil 4.61.	JF 7 ölçüm noktasında derinliğe bağlı olarak elde edilmiş rezistivite değerleri.....	115
Şekil 4.62.	JF 15 ölçüm noktasında derinliğe bağlı olarak elde edilmiş rezistivite değerleri.....	115
Şekil 4.63.	Değişik karış oluşum seviyelerinin 47 numaralı inceleme noktasında tespit edilmiş görünümleri ve aynı yerin şematik gösterimi (00805 D/ 02769 K, 123 m).....	119
Şekil 4.64.	Karbonat tüplü karışın killi birim içindeki sütunsu görünümü.....	120
Şekil 4.65.	Karbonat kabuk içerisinde yer alan bitki kök kalıntıları.....	121
Şekil 4.65.	B kesitine ait polarizan mikroskop görüntüsü.....	123
Şekil 4.66.	C kesitine ait polarizan mikroskop görüntüsü.....	123
Şekil 4.67.	D kesitine ait polarizan mikroskop görüntüsü.....	124
Şekil 4.68.	E kesitine ait polarizan mikroskop görüntüsü.....	124
Şekil 4.69.	F kesitine ait polarizan mikroskop görüntüsü.....	125
Şekil 4.70.	KK kesitine ait polarizan mikroskop görüntüsü.....	126
Şekil 4.71.	KK kesitine ait polarizan mikroskop görüntüsü.....	126

Şekil 4.72.	ÇK kesitlerinin polarizan mikroskoptaki tipik görünümleri.....	127
Şekil 4.73.	Ağırlıkça su emme deneylerinde kullanılan karot parçaları.....	129
Şekil 4.74.	Beyaz kalişerde ağırlıkça su emmenin zamana bağlı olarak değişimi.....	129
Şekil 4.75.	Kırmızı kalişerde ağırlıkça su emmenin zamana bağlı olarak değişimi.....	130
Şekil 4.76.	Çakılı kalişerde ağırlıkça su emmenin zamana bağlı olarak değişimi.....	130
Şekil 4.77.	Tek eksenli basma dayanımı (UCS) deneylerinde kullanılan kaliş gruplarına (BK, KK ve ÇK) ait karot örnekleri.....	134
Şekil 4.78.	KK grubu kalişörneğinde yapılan deformasyon kontrollü tek eksenli basma dayanımı deneyi ile elde edilmiş gerilme – gerinme eğrisi ve hesaplanmış elastisite modülü değerleri.....	135
Şekil 4.79.	BK grubu kalişörneğinde yapılan deformasyon kontrollü tek eksenli basma dayanımı deneyi ile elde edilmiş gerilme – gerinme eğrisi ve hesaplanmış elastisite modülü değerleri.....	136
Şekil 4.80.	ÇK grubu kalişörneğinde yapılan deformasyon kontrollü tek eksenli basma dayanımı deneyi ile elde edilmiş gerilme – gerinme eğrisi ve hesaplanmış elastisite modülü değerleri.....	137
Şekil 4.81.	Kaliş örneklerinde tek eksenli basma dayanımı deneyleri sonucu oluşan dik ya da dike yakın tipik kırılma yüzeyleri.....	139
Şekil 4.82 a.	En düşük tek eksenli basma dayanımı değerine sahip karot numuneleri için elde edilmiş kaya dayanım parametreleri.....	140
Şekil 4.82 b.	En yüksek tek eksenli basma dayanımı değerine sahip karot numuneleri için elde edilmiş kaya dayanım parametreleri.....	141
Şekil 4.83.	AÇ-43 inceleme yerine ait konsolidasyon eğrisi.....	143
Şekil 4.84.	AÇ-14 inceleme yerine ait konsolidasyon eğrisi.....	144
Şekil 4.85.	AÇ-13 inceleme yerine ait konsolidasyon eğrisi.....	144
Şekil 4.86.	SK-15 sondaj inceleme yerine ait konsolidasyon eğrisi.....	145
Şekil 4.87.	Kaliş örneklerinin kohezyon değerlerinin taşıma gücü ile ilişkisi (birim hacim ağırlıkları 18 kN/m^3 olan örnekler için hesaplanmıştır).....	148
Şekil 4.88.	100. Yıl Mahallesinde, sert kaliş birimi içerisinde görülen kaya	

	devrilmesi türü kütle hareketleri.....	149
Şekil 4.89.	Belediye Evleri Mahallesinde bir dere yamacındaki yumuşak kalislerde oluşan küçük boyuttaki kütle hareketi.....	149
Şekil 4.90.	JF-11 ölçüm noktasına ait sismik serim kesiti.....	150
Şekil 4.91.	JF-12 ölçüm noktasına ait sismik serim kesiti.....	152
Şekil 4.92.	JF-13 ölçüm noktasına ait sismik serim kesiti.....	153
Şekil 4.93.	JF 11 ölçüm noktasında derinliğe bağlı olarak elde edilmiş rezistivite değerleri.....	154
Şekil 4.94.	JF 12 ölçüm noktasında derinlige bağlı olarak elde edilmiş rezistivite değerleri.....	154
Şekil 4.95.	JF 13 ölçüm noktasında derinlige bağlı olarak elde edilmiş rezistivite değerleri.....	155
Şekil 4.96.	Taraça biriminin güneye doğru yüzeyden derine doğru inmesi ile alüvyon kılindeki kalınlaşmayı gösteren şematik kesit.....	157
Şekil 4.97.	CH grubu alüvyon killeri için ortaya konulan PI – LL ilişkisi.....	161
Şekil 4.98.	CL grubu alüvyon killeri için ortaya konulan PI – LL ilişkisi.....	162
Şekil 4.99.	SK-2 sondajına ait konsolidasyon eğrisi.....	163
Şekil 4.100.	SK-3 sondajına ait konsolidasyon eğrisi.....	164
Şekil 4.101.	SK-4 sondajına ait konsolidasyon eğrisi.....	165
Şekil 4.102.	SK-5 sondajına ait konsolidasyon eğrisi.....	166
Şekil 4.103.	SK-6 sondajına ait konsolidasyon eğrisi.....	167
Şekil 4.104.	SK-8 sondajına ait konsolidasyon eğrisi.....	168
Şekil 4.105.	SK-10 sondajına ait konsolidasyon eğrisi.....	169
Şekil 4.106.	SK-17 sondajına ait konsolidasyon eğrisi.....	169
Şekil 4.107.	Siltlerin sıvılaşma potansiyellerinin belirlenmesinde kullanılan plastisite kartı (TS 1500, 2000).....	174
Şekil 4.108.	Sıvılaşma risk analizi için oluşturulmuş programa ait ekran görüntüsü ile girdi ve çıktı parametreleri.....	175
Şekil 4.109.	JF-1 ölçüm noktasına ait sismik serim kesiti.....	178
Şekil 4.110.	JF-2 ölçüm noktasına ait sismik serim kesiti.....	179
Şekil 4.111.	JF-3. ölçüm noktasına ait sismik serim kesiti.....	180
Şekil 4.112.	JF-4 ölçüm noktasına ait sismik serim kesiti.....	181
Şekil 4.113.	JF-9 ölçüm noktasına ait sismik serim kesiti.....	182

Şekil 4.114.	JF-10 ölçüm noktasına ait sismik serim kesiti.....	183
Şekil 4.115.	JF-16 ölçüm noktasına ait sismik serim kesiti.....	184
Şekil 4.116.	JF-17 ölçüm noktasına ait sismik serim kesiti.....	185
Şekil 4.117.	JF 2 ölçüm noktasında derinliğe bağlı olarak elde edilmiş rezistivite değerleri.....	186
Şekil 4.118.	JF 3 ölçüm noktasında derinliğe bağlı olarak elde edilmiş rezistivite değerleri.....	186
Şekil 4.119.	JF 4 ölçüm noktasında derinliğe bağlı olarak elde edilmiş rezistivite değerleri.....	187
Şekil 4.120.	JF 9 ölçüm noktasında derinlige bağlı olarak elde edilmiş rezistivite değerleri.....	187
Şekil 4.121.	JF 10 ölçüm noktasında derinlige bağlı olarak elde edilmiş rezistivite değerleri.....	188
Şekil 4.122.	JF 16 ölçüm noktasında derinlige bağlı olarak elde edilmiş rezistivite değerleri.....	188
Şekil 4.123.	JF 17 ölçüm noktasında derinlige bağlı olarak elde edilmiş rezistivite değerleri.....	189
Şekil 4.124.	Bu çalışmada kullanılan TSM 750 kızaklı sondaj makinesi.....	191
Şekil 4.125.	SK 1 (Sinanpaşa Mah.) no'lu sondaj çalışmasından görünüm.....	194
Şekil 4.126.	SK 2 (Başak Mah.) no'lu sondaj çalışmasından görünüm.....	195
Şekil 4.127.	SK 3 (Bahçelievler Mah.) no'lu sondaj çalışmasından görünüm....	197
Şekil 4.128.	SK 4 (Çamlıbel Mah.) no'lu sondaj çalışmasından görünüm.....	198
Şekil 4.129.	SK 5 (Yenidoğan Mah.) no'lu sondaj çalışmasından görünüm.....	200
Şekil 4.130.	Karniyarık tüpü içinden çıkan karbonat yumrulu kıl birimi.....	200
Şekil 4.131.	SK 6 (Levent Mah.) no'lu sondaj çalışmasından görünüm.....	202
Şekil 4.132.	SK 7 (Yavuzlar Mah.) no'lu sondaj çalışmasından görünüm.....	204
Şekil 4.133.	Burgu ile 4 m derinlikten çıkarılan alüvyon kili.....	204
Şekil 4.134.	SK 8 (Narlıca Mah.) no'lu sondaj çalışmasından görünüm.....	205
Şekil 4.135.	SPT tüpü ile 4.50 m derinlikten çıkarılan plastik alüvyon kili.....	206
Şekil 4.136.	SK 9 (Fevziipaşa mah) sondaj çalışmasından alınan kıl örneğinin görünümü.....	207
Şekil 4.137.	SK-9 sondajında kesilen yüksek plastisiteli alüvyon kili.....	207
Şekil 4.138.	9.00 metreden sonra karşılaşılan kırmızı renkli alüvyon kili.....	208

Şekil 4.139.	SK 10 (Yeşiloba Mah.) no'lu sondaj çalışmasından görünüm.....	209
Şekil 4.140.	Alüvyon kili içerisindeki karbonatlı seviyelerden birinin görünümü	210
Şekil 4.141.	SK 11 (Hipodrom) no'lu sondaj çalışmasından görünüm.....	211
Şekil 4.142.	SK 11 sondajında kesilen koyu kahverengi, plastik alüvyon kili....	212
Şekil 4.143.	Yeraltı su seviyesi altındaburgu ile çıkarılmış alüvyon kili.....	212
Şekil 4.144.	SK 12 (Yeşilevler Mah) no'lu sondaj çalışmasından görünüm.....	214
Şekil 4.145.	SPT tüpü ile alınmış kum içeren alüvyon kili örneği.....	214
Şekil 4.146.	SK 13 (2000 Evler Mah.) no'lu sondaj çalışmasından görünüm.....	216
Şekil 4.147.	SK 13 lokasyonu üst seviyelerinde kesilen karbonatsız kalis kili...	216
Şekil 4.148.	SK 14 (100 Yıl Kadirbeyoğlu Mah.) no'lu sondaj çalışmasından görünüm.....	217
Şekil 4.149.	SK 15 (Pınar Mah.) no'lu sondaj çalışmasından görünüm.....	218
Şekil 4.150.	Kırmızı renkli karbonat yumrulu kalis kili.....	219
Şekil 4.151.	SK 17 (Mirzaçelebi Mah.) no'lu sondaj çalışmasından görünüm...	221
Şekil 4.152.	SK 17 sondajından alınan alüvyon kilinin örneğinin görünümü....	221
Şekil 4.153.	Serbest basınç dayanımı deneylerinde kullanılan bazı örneklerin deney sonrası görünümü.....	224
Şekil 4.154.	Hara ve diğ., 1971 (Yıldırım, 2002'den) bağıntısı kullanılarak elde edilmiş SPT-N, kohezyon değerleri ilişkisi.....	225
Şekil 4.155.	Deneye tabi tutulan örneklerden elde edilen kohezyon değerlerinin sondaj noktalarına göre değişimleri.....	226
Şekil 4.156.	Düsey elektrik sondajı (DES) ölçümlerinde kullanılan rezistivite sistemi.....	230
Şekil 4.157.	Sismik cihaz ile elde edilmiş veri kayıtlarından örnekler.....	233
Şekil 4.158.	Çukurova Bölgesine ait fay haritası.....	234
Şekil 4.159.	Bu çalışma kapsamında incelenen Çukurova bölgesi episantır dağılım haritası.....	241
Şekil 4.160.	Deprem sayılarının yıllara göre değişimi (1900 – 2001 yılları için)	242
Şekil 4.161.	Yıl içerisinde oluşan depremlerin aylara göre oluş sayılarının dağılımı.....	243
Şekil 4.162.	İncelenen veriler için ortaya konulan magnitüd – frekans ilişkisi...	244
Şekil 4.163.	İnceleme alanı için Poisson modeliyle hesaplanmış sismik tehlike değerleri.....	250

Şekil 4.164.	Gumbel modeli kullanılarak belirlenmiş tekrarlanma periyotları....	253
Şekil 4.165.	Yüreğir Belediyesi veri noktasında yeraltı su seviye ölçer ile kuyu başında seviye ölçüm işlemi.....	256
Şekil 4.166.	İnceleme alanı için oluşturulmuş yeraltı suyu derinlik haritası.....	258
Şekil 4.167.	Ruh sağlığı hastanesine ait düşüm-zaman grafiği ve elde edilmiş T ve K değerleri.....	259
Şekil 4.168.	Karşıyaka mahallesi veri noktasına ait düşüm-zaman grafiği ve elde edilmiş T ve K değerleri.....	260
Şekil 4.169.	Çukobirlik veri noktasına ait düşüm-zaman grafiği ve elde edilmiş T ve K değerleri.....	260
Şekil 4.170.	Adana Demirspor kulübü veri yerine ait düşüm-zaman grafiği ve elde edilmiş T ve K değerleri.....	261
Şekil 4.171.	Karşıyaka mahallesi noktasına ait düşüm-zaman grafiği ve elde edilmiş T ve K değerleri.....	261
Şekil 4.172 a.	Sarıhuqlar veri noktasına ait düşüm-zaman grafiği ve elde edilmiş T ve K değerleri.....	262
Şekil 4.172 b.	Çukurova Üniversitesi tarlası veri noktasına ait düşüm-zaman grafiği ve elde edilmiş T ve K değerleri.....	262
Şekil 4.173.	İnceleme alanı için oluşturulmuş yeraltı suyu eş-pH haritası.....	289
Şekil 4.174.	İnceleme alanındaki suların toplam iyon-EC grafiği.....	266
Şekil 4.175.	İnceleme alanı için oluşturulmuş yeraltı suyu eş-EC (mikromho/cm) haritası.....	269
Şekil 4.176.	İnceleme alanı için oluşturulmuş yeraltı suyu eş-sertlik (FS) haritası.....	271
Şekil 4.177.	İnceleme alanı için oluşturulmuş yeraltı suyu eş-sülfat (mek/l) haritası.....	272
Şekil 4.180.	Suların Schoeller içilebilirlik diyagramı.....	274
Şekil 4.181.	İnceleme alanı sularının Wilcox diyagramındaki dağılımı.....	279
Şekil 4.182.	1992 yılı Landsat 7 ETM+ 4. (IR), 3. (kırmızı) ve 2. (yeşil) band kombinasyonu ve Histogram Equalization metodu kullanılarak zenginleştirilmiş görüntüsü.....	284
Şekil 4.183.	2002 yılı Landsat 7 ETM+ 4. (IR), 3. (kırmızı) ve 2. (yeşil) band	

kombinasyonu ve Histogram Equalization metodu kullanılarak zenginleştirilmiş görüntüsü,.....	285
Şekil 4.184. Çalışma alanının 1992 Landsat 7 ETM+ için 6 sınıfta oluşturulmuş ve filtrelenmiş unsupervised görüntüsü.....	286
Şekil 4.185. Çalışma alanının 2002 Landsat 7 ETM+ için 6 sınıfta oluşturulmuş ve filtrelenmiş unsupervised görüntüsü.....	287
Şekil 4.186. Sayısallaştırılmış topografik eğriler, dere yatakları ve baraj gölü...	288
Şekil 4.187. İşlenen sondaj lokasyonlarının bu çalışma ile ortaya konulmuş genel jeoloji haritası üzerinde görülen dağılımları.....	289
Şekil 4.188. CBS'de oluşturulan "Araştırma Çukurları" tabakasına ait veri bankasının bilgisayar görüntüsünü.....	290
Şekil 4.189. Yeraltı suyu kimyasal analiz değerlerini gösteren veri bankası.....	293
Şekil 4.190. "Yapılan Sondajlar" tabakası içinde yer alan bir lokasyona ait bilgileri gösteren açılmış veri penceresi görünümü.....	293
Şekil 4.195. İnceleme alanı için sayısal koordinatlarda oluşturulmuş topografik harita.....	296
Şekil 4.192. İnceleme alanına ait eş-topografik kontur haritası.....	298
Şekil 4.193. İnceleme alanına ait oluşturulmuş yükseklik modeli.....	299
Şekil 4.194. İnceleme alanına ait sayısallaştırılmış yol haritası.....	300
Şekil 4.195. İnceleme alanına ait veri gruplarını içeren dokümantasyon haritası.....	302
Şekil 4.196. İnceleme alanına ait eş-rezistivite haritası (10 m derinlik için oluşturulmuş).....	303
Şekil 4.197. İnceleme alanına ait eş rezistivite haritası (20 m derinlik için oluşturulmuş).....	304
Şekil 4.198. İnceleme alanına ait eş rezistivite haritası (30 m derinlik için oluşturulmuş).....	305
Şekil 4.199. Çeşitli araştırmacılar tarafından önerilen bağıntılar kullanılarak oluşturulmuş SPT – V_s ilişkisi.....	308
Şekil 4.200. İnceleme alanına ait eş kayma dalgası hızı haritası (6 m derinlik için oluşturulmuş).....	310
Şekil 4.201. İnceleme alanına ait eş SPT-N haritası (3 m derinlik için oluşturulmuş).....	313

Şekil 4.202.	İnceleme alanına ait eş SPT-N haritası (7.5 m derinlik için oluşturulmuş).....	314
Şekil 4.203.	İnan ve diğ, (1996) bağıntısı kullanılarak elde edilmiş zemin ivmesi azalım ilişkileri.....	316
Şekil 4.204.	Aydan ve diğ, (1996) bağıntısı kullanılarak elde edilmiş deprem ivmesi azalım ilişkisi grafiği.....	317
Şekil 4.205.	Pik zemin ivmesi hesaplamalarında kullanılan Misis fayının çalışma alanı içindeki konumu.....	319
Şekil 4.206.	İnceleme alanına ait pik zemin ivmesi (pga, mG) değerlerinin değişimi gösteren bölgelendirme haritası.....	320
Şekil 4.207.	Midorikawa (1987) bağıntısı kullanılarak üretilmiş zemin büyütmesi grafiği.....	322
Şekil 4.208.	İnceleme alanına ait zemin büyütme haritası.....	324
Şekil 4.209.	İnceleme alanına ait zemin hakim titreşim periyodu haritası.....	325

ÇİZELGELER DİZİNİ

SAYFA

Çizelge 1.1.	Adana ili yerleşim alanı içerisinde mahallelerin ilçelere göre dağılımları.....	4
Çizelge 4.1.	Gözlem yıllarına bağlı olarak inceleme alanındaki yağış miktarları ile yıllık yağıştan sapma ve eklenik sapma değerleri....	45
Çizelge 4.2.	Adana ilinin 1929-2001 yılları arasını kapsayan deneştirmeli su bilançosu.....	47
Çizelge 4.3.	İncelenen noktalardan alınmış numuneler üzerinde yapılan deneylere göre elde edilmiş doğal birim hacim ağırlık ve özgül ağırlık değerleri.....	52
Çizelge 4.4.	Handere Kili'ne ait bazı fiziksel özelliklerin lokasyonlara bağlı olarak değişimleri.....	53
Çizelge 4.5.	Derinliğe bağlı olarak kivam parametreleri ile zemin sınıflarının değişimi.....	54
Çizelge 4.6.	Handere Formasyonu içerisindeki kil grubu örneklere ait hesaplanmış drenajsız kayma dayanımı parametreleri.....	56
Çizelge 4.7.	British Standards Institution (1975), drenajsız kayma dayanımı değerine göre zeminlerin sınıflandırılması.....	56
Çizelge 4.8.	Konsolidasyon deneylerinden elde edilmiş konsolidasyon parametreleri.....	57
Çizelge 4.9.	Sıkışma indisinin belirlenmesi amacıyla farklı araştırmacılar tarafından önerilmiş bağıntılar.....	60
Çizelge 4.10	İncelenen Handere Kili örnek yerleri için elde edilmiş taşıma gücü değerleri.....	63
Çizelge 4.11.	İncelenen örnek yerlerine ait kimyasal analiz (%) sonuçları.....	67
Çizelge 4.12.	İncelenen lokasyonlar için elde edilmiş <i>pH</i> ve <i>KDK</i> değerleri.....	67
Çizelge 4.13.	Bazı kil minerallerinin KDK değerleri (Grim, 1968; Yılmaz, 2000b'den).....	68
Çizelge 4.14.	Modifiye serbest şişme indisine bağlı olarak şişmenin tanımlanması.....	70
Çizelge 4.15.	İnceleme noktalarına göre serbest ve modifiye şişme değerlerinin hesaplanmış değerleri ve şişme derecelerinin	

	tanımı.....	70
Çizelge 4.16.	Plastisite indisine bağlı olarak şişen zeminlerin tanımlanması.....	71
Çizelge 4.17	USAEWES şişme potansiyeli sınıflaması.....	72
Çizelge 4.18.	Örnek yerlerine göre tanımlanmış şişme potansiyeli değerleri.....	72
Çizelge 4.19.	Örnek yerlerine ait likit limit ve plastisite indisini parametreleri kullanılarak elde edilmiş büzülme limiti değerleri.....	74
Çizelge 4.20.	Büzülme limiti ve lineer büzülmeyi kullanarak şişme potansiyelinin belirlenmesi için önerilen rehber (Altmeyer, 1955).....	74
Çizelge 4.21.	Farklı araştırmacılar tarafından önerilmiş şişme potansiyeli kriterleri.....	74
Çizelge 4.22.	Konsolidasyon deneyleri sırasında deneye hesaplanan ve formülle bulunan sıkışma indisini değerlerinin veri noktalarına göre değişimleri.....	75
Çizelge 4.23.	Örnek yerlerine bağlı olarak zemin emmesi ve toplam şişme miktarlarının değişimi.....	77
Çizelge 4.24.	Karslı Mahallesindeki (AGV arazisi batısı) sismik kırılma çalışması sonucu elde edilen parametreler (JF – 8).....	78
Çizelge 4.25.	Başkent Okulları sismik kırılma çalışması sonucu elde edilen parametreler (JF – 14).....	79
Çizelge 4.26.	Elde edilen bazı verilerin değerlendirilmesiyle elde edilmiş bazı fiziksel özelliklerin taraça çökelleri içerisindeki değişimleri.....	85
Çizelge 4.27.	Deney numunelerinin 210 gün sonundaki ağırlıkça su emme değerleri.....	91
Çizelge 4.28.	Tutturulmuş taraça numuneleri ile taraçayı oluşturan tanelere ait birim hacim ağırlığı değerleri.....	92
Çizelge 4.29.	İncelenen yüzey kazılarına ait sürtünme açısı ve birim hacim ağırlık değerleri.....	93
Çizelge 4.30.	Taraçalarda elde edilen Schmidt çekici darbe sayılarının dağılımı.....	95
Çizelge 4.31.	Schmidt sertlik değerlerinin tanımlanması (Schmidt, 1951).....	96
Çizelge 4.32.	Taraça kaya örneklerinin tek eksenli basma dayanımı	

	deneylelerinden elde edilen veriler.....	101
Çizelge 4.33.	Kayaçların tek eksenli sıkışma dayanımının tanımlanması (ISRM, 1978).....	102
Çizelge 4.34.	Deere ve Miller (1966) kaya dayanımı sınıflaması.....	102
Çizelge 4.35.	Kayaçların dayanım deney sonuçlarına göre sınıflandırılmaları (Hoek, 1998).....	103
Çizelge 4.36.	Taraça örneklerine ait kaya dayanım parametreleri.....	105
Çizelge 4.37.	İncelenen taraça lokasyonları için elde edilmiş taşıma gücü değerleri.....	107
Çizelge 4.38.	Taraçalara ait emin taşıma gücü değerlerinin kohezyon ve birim hacim ağırlığı değerlerine bağlı olarak değişimi.....	109
Çizelge 4.39.	Oto Pazarı (Çukurova Ünv. güneyi) sahasındaki sismik kırılma çalışması sonucu elde edilen parametreler (JF – 5).....	111
Çizelge 4.40.	Beyazevler Mahallesindeki sismik kırılma çalışması sonucu elde edilen parametreler (JF – 6).....	111
Çizelge 4.41.	Mahfesığmaz Mahallesindeki sismik kırılma çalışması sonucu elde edilen parametreler (JF – 7).....	112
Çizelge 4.42.	Mavi Bulvar ölçüm noktasında sismik kırılma çalışması sonucu elde edilen parametreler (JF – 15).....	113
Çizelge 4.43.	İnceleme alanı içerisinde yer alan kalis numuneleri ile çevredeki farklı kalis birimlerine ait kimyasal analiz (%) sonuçları.....	122
Çizelge 4.44.	Elde edilen bazı verilerin değerlendirilmesiyle elde edilmiş bazı fiziksel özelliklerin kalis çökelleri içerisindeki değişimleri.....	128
Çizelge 4.45.	Deney numunelerinin 210 gün sonundaki ağırlıkça su emme değerleri.....	131
Çizelge 4.46.	Kalis karbonat kabuk gruplarına ait birim hacim ağırlıklarının değişimi.....	132
Çizelge 4.47.	Kalis numunelerine ait bazı fiziksel parametreler.....	131
Çizelge 4.48.	Masif kalis numunelerinden elde edilen Schmidt çekici darbe sayılarının dağılımı ve kaya tanımlaması.....	133
Çizelge 4.49.	Tek eksenli basma dayanımı (UCS) deneylerinden elde edilen veriler.....	138

Çizelge 4.50.	Kalış örneklerine ait kaya dayanım parametreleri.....	142
Çizelge 4.51.	AÇ 43 inceleme yerine ait, elde edilmiş konsolidasyon deney parametreleri.....	143
Çizelge 4.52.	AÇ 14 inceleme yerine ait, elde edilmiş konsolidasyon deney parametreleri.....	143
Çizelge 4.53.	AÇ 13 inceleme yerine ait, elde edilmiş konsolidasyon deney parametreleri.....	144
Çizelge 4.54.	SK-15 inceleme yerine ait (2.50-3.00 m) konsolidasyon deney parametreleri.....	145
Çizelge 4.55.	İncelenen sondaj inceleme noktaları için konsolidasyon eğrilerinden elde edilmiş olan bazı konsolidasyon parametreleri.....	146
Çizelge 4.56.	Yumuşak kaliş birimindeki lokasyonlardan elde edilmiş taşıma gücü parametreleri.....	147
Çizelge 4.57.	Sert kaliş birimine ait emin taşıma gücü değerlerinin kohezyon ve birim hacim ağırlığı değerlerine bağlı olarak değişimi.....	148
Çizelge 4.58.	Umudum Özel Eğitim Kurumu (JF – 11) doğusundaki sahada yapılan sismik kırılma çalışması sonucu elde edilen parametreler.....	151
Çizelge 4.59.	Bahçeşehir (Kireçocağı) Mahallesindeki sismik kırılma çalışması sonucu elde edilen parametreler (JF – 12).....	152
Çizelge 4.60.	Belediye Evleri Mahallesindeki sismik kırılma çalışması sonucu elde edilen parametreler (JF – 13).....	153
Çizelge 4.61.	Alüvyon biriminde farklı veri noktalarından alınan örneklerle ait fiziko-mekanik parametreler.....	159
Çizelge 4.62.	Veri gruplarından elde edilmiş kıvam parametreleri ve plastisite tanımları.....	160
Çizelge 4.63.	İnce taneli zeminlerin plastisite derecesi sınıflamaları (Leonards, 1962).....	161
Çizelge 4.64.	SK-2 sondajına ait (11.50-12.00 m.) konsolidasyon deney parametreleri.....	163
Çizelge 4.65.	SK-3 sondajına ait (11.50-12.00 m) konsolidasyon deney parametreleri.....	164

Çizelge 4.66. SK-4 sondajına ait (2.50-3.00 m) konsolidasyon deney parametreleri.....	165
Çizelge 4.67. SK-5 sondajına ait (9.00-9.55 m) konsolidasyon deney parametreleri.....	166
Çizelge 4.68. SK-6 sondajına ait (11.50-12.00 m) konsolidasyon deney parametreleri.....	166
Çizelge 4.69. SK-8 sondajına ait (5.50-6.00 m) konsolidasyon deney parametreleri.....	167
Çizelge 4.70. SK-10 sondajına ait (5.50-6.00 m) konsolidasyon deney parametreleri.....	168
Çizelge 4.71. SK-17 sondajına ait (9.00-9.50 m) konsolidasyon deney parametreleri.....	169
Çizelge 4.72. İncelenen sondaj noktaları için konsolidasyon eğrilerinden elde edilmiş olan bazı konsolidasyon parametreleri.....	170
Çizelge 4.73. Alüvyon yüzey kazalarından elde edilmiş olan taşıma gücü değerleri.....	171
Çizelge 4.74. Deprem magnitüdünə bağlı olarak sıvılaşma oluşabilecek alanın faydan uzaklıklarının, D (km cinsinden) hesaplanan değerleri.....	173
Çizelge 4.75. Sıvılaşma analizleri kapsamında incelenen veri noktaları.....	176
Çizelge 4.76. İncelenen veri noktaları için sıvılaşma risk değerlendirmesi.....	176
Çizelge 4.77. Farklı araştırmacıların deprem episentrinden uzaklığa bağlı olarak oluşacak maksimum ivme (a_{maks}) değerleri.....	177
Çizelge 4.78. Dedekorkut (Anadolu) Mahallesindeki sismik kırılma çalışması sonucu elde edilen parametreler (JF - 1).....	178
Çizelge 4.79. Koza Mahallesindeki sismik kırılma çalışması sonucu elde edilen parametreler (JF-2).....	179
Çizelge 4.80. Atakent (Afetevleri) Mahallesindeki sismik kırılma çalışması sonucu elde edilen parametreler (JF - 3).....	180
Çizelge 4.81. PTT Evleri Mahallesi'ndeki (JF 4) sismik kırılma çalışması sonucu elde edilen parametreler.....	181
Çizelge 4.82. Onur Mahallesindeki (Otogar karşısı) sismik kırılma çalışması sonucu elde edilen parametreler (JF - 9).....	182

Çizelge 4.83.	Real kuzeyindeki sahada yapılan sismik kırılma çalışması sonucu elde edilen parametreler (JF – 10).....	183
Çizelge 4.84.	Döşeme Mahallesindeki (valilik arkası) sismik kırılma çalışması sonucu elde edilen parametreler (JF – 16).....	184
Çizelge 4.85.	Güneşli Mahallesindeki sismik kırılma çalışması sonucu elde edilen parametreler (JF – 17).....	185
Çizelge 4.86.	Yapılan sondajlara ait genel bilgiler.....	192
Çizelge 4.87.	SK 1 sondajından elde edilmiş örnekler üzerinde yapılmış deney verileri.....	195
Çizelge 4.88.	SK 1 sondajından elde edilen SPT darbe sayıları ve hesaplanan parametreler.....	195
Çizelge 4.89.	SK 2 sondajından elde edilmiş örnekler üzerinde yapılmış deney verileri.....	196
Çizelge 4.90.	SK 2 sondajından elde edilen SPT darbe sayıları ve hesaplanan parametreler.....	196
Çizelge 4.91.	SK 3 sondajından elde edilmiş örnekler üzerinde yapılmış deney verileri.....	197
Çizelge 4.92.	SK 3 sondajından elde edilen SPT darbe sayıları ve hesaplanan parametreler.....	198
Çizelge 4.93.	SK 4 sondajından elde edilmiş örnekler üzerinde yapılmış deney verileri.....	199
Çizelge 4.94.	SK 4 sondajından elde edilen SPT darbe sayıları ve hesaplanan parametreler.....	199
Çizelge 4.95.	SK 5 sondajından elde edilmiş örnekler üzerinde yapılmış deney verileri.....	201
Çizelge 4.96.	SK 5 sondajından elde edilen SPT darbe sayıları ve hesaplanan parametreler.....	201
Çizelge 4.97.	SK 6 sondajından elde edilmiş örnekler üzerinde yapılmış deney verileri.....	202
Çizelge 4.98.	SK 6 sondajından elde edilen SPT darbe sayıları ve hesaplanan parametreler.....	203
Çizelge 4.99.	SK 7 sondajından elde edilmiş örnekler üzerinde yapılmış deney verileri.....	204

Çizelge 4.100.	SK 7 sondajından elde edilen SPT darbe sayıları ve hesaplanan parametreler.....	205
Çizelge 4.101.	SK 8 sondajından elde edilmiş örnekler üzerinde yapılmış deney verileri.....	206
Çizelge 4.102.	SK 8 sondajından elde edilen SPT darbe sayıları ve hesaplanan parametreler.....	206
Çizelge 4.103.	SK 9 sondajından elde edilmiş örnekler üzerinde yapılmış deney verileri.....	208
Çizelge 4.104.	SK 9 sondajından elde edilen SPT darbe sayıları ve hesaplanan parametreler.....	209
Çizelge 4.105.	SK 10 sondajından elde edilmiş örnekler üzerinde yapılmış deney verileri.....	210
Çizelge 4.106.	SK 10 sondajından elde edilen SPT darbe sayıları ve hesaplanan parametreler.....	211
Çizelge 4.107.	SK 11 (Hipodrom) sondajından elde edilmiş örnekler üzerinde yapılmış deney verileri.....	213
Çizelge 4.108.	SK 11 sondajından elde edilen SPT darbe sayıları ve hesaplanan parametreler.....	213
Çizelge 4.109.	SK 12 sondajından elde edilmiş örnekler üzerinde yapılmış deney verileri.....	215
Çizelge 4.110.	SK 12 sondajından elde edilen SPT darbe sayıları ve hesaplanan parametreler.....	215
Çizelge 4.111.	SK 13 sondajından elde edilmiş örnekler üzerinde yapılmış deney verileri.....	216
Çizelge 4.112.	SK 13 sondajından elde edilen SPT darbe sayıları ve hesaplanan parametreler.....	217
Çizelge 4.113.	SK 14 sondajından elde edilmiş örnekler üzerinde yapılmış deney verileri.....	218
Çizelge 4.114.	SK 15 sondajından elde edilmiş örnekler üzerinde yapılmış deney verileri.....	219
Çizelge 4.115.	SK 15 sondajından elde edilen SPT darbe sayıları ve hesaplanan parametreler.....	219
Çizelge 4.116.	SK 16 sondajından elde edilmiş örnekler üzerinde yapılmış	

deney verileri.....	220
Çizelge 4.117. SK 16 sondajından elde edilen SPT darbe sayıları ve hesaplanan parametreler.....	220
Çizelge 4.118. SK 17 sondajından elde edilmiş örnekler üzerinde yapılmış deney verileri.....	222
Çizelge 4.119. SK 17 sondajından elde edilen SPT darbe sayıları ve hesaplanan parametreler.....	222
Çizelge 4.120. SPT-N değerleri ile killerin kıvam dereceleri arasındaki ilişki (Das, 1988).....	223
Çizelge 4.121. Yapılan sondajlardan elde edilmiş SPT-N değerlerine göre kıvam tanımı.....	223
Çizelge 4.122. Sondajlardan elde edilmiş kohezyon değerlerinin değişim aralıkları.....	226
Çizelge 4.123. Farklı jeofizik yöntemlerin elde edilen bilgiler açısından karşılaştırılması.....	228
Çizelge 4.124. Jeofizik ölçüm yapılan araştırma noktalarına ait bilgiler.....	229
Çizelge 4.125. Rezistivite ölçüm noktalarında derinliğe bağlı olarak elde edilmiş özdirenç değerleri.....	232
Çizelge 4.126. Poisson ve V_p/V_s oranlarına göre zemin sıklık tanımlaması (Ercan, 2001).....	233
Çizelge 4.127. Maksimum yer ivmesi (a_{maks}) değerlerinin deprem bölgelerine göre değişimi (DAD, 2004).....	240
Çizelge 4.128. İncelenen depremler için magnitüd-deprem sayıları	243
Çizelge 4.129. İnceleme alanı için magnitüd değer aralıkları ve bu aralıklarda meydana gelen deprem sayıları.....	246
Çizelge 4.130. Oluşturulan sınıflara ait sıklık dağılım çizelgesi.....	247
Çizelge 4.131. Oluşturulan model için deneysel ve teorik dağılım fonksiyonlarına ait değerler tablosu.....	247
Çizelge 4.132. Modele ait sınıf değerleri için tekrarlanma periyotları.....	248
Çizelge 4.133. Çalışma alanı için depremsellik parametreleri.....	249
Çizelge 4.134. Çalışma alanı için elde edilmiş sismik tehlike ve dönüş periyotları.....	250
Çizelge 4.135. Ulutaş ve diğ. (2001) tarafından Poisson modeli kullanılarak	

yapılan çalışmaya ait sismik risk değerleri.....	251
Çizelge 4.136. Gumbel modeli kullanılarak hesaplanmış sismik tehlike parametreleri.....	252
Çizelge 4.137. ASKİ Çatalan suyu temin projesi kapsamında DAD tarafından yapılan deprem risk analizi verileri (ASKİ, 1999).....	536
Çizelge 4.138. Yeraltı su derinlik haritasının oluşturulmasında kullanılan lokasyonlara ait statik su seviyesi değerleri.....	256
Çizelge 4.139. İncelenen lokasyonlara ait fiziko-kimyasal analiz sonuçları.....	264
Çizelge 4.140. Suların Fransız sertliği değerlerine göre sınıflandırılması (Şahinci, 1991).....	268
Çizelge 4.141. İçme sularının fiziksel ve kimyasal özellikleri (TSE, 266).....	275
Çizelge 4.142. İncelenen suların TSE 266 (1966)'ya göre kimyasal açıdan değerlendirilmesi.....	276
Çizelge 4.143. RSC değerlerine göre sulamaya uygunluk sınıflaması.....	277
Çizelge 4.144. İncelenen lokasyonlar için elde edilmiş iyon dağılımları ve %Na ile SAR değerleri.....	278
Çizelge 4.145. SAR değerlerine göre sulama suyu sınıfları.....	280
Çizelge 4.146. Suların Wilcox, ABD Tuzluluk ve SAR sınıflarına göre değerlendirilmesi.....	281
Çizelge 4.147. Kayma dalgası hızları için önerilen empirik bağıntılar.....	307
Çizelge 4.148. İncelenen empirik bağıntılarla hesaplanmış kayma dalgası hızı değer aralıkları ve darbe sayılarına göre değer aralıkları.....	309
Çizelge 4.149. Taraça birimi için Aydan (2001) (Ulusal ve diğ., 2004'den) bağıntısı kullanılarak elde edilmiş maksimum zemin ivmesi (PGA) değerlerinin değişimi.....	318
Çizelge 4.150. Zemin büyütmesini veren çeşitli empirik bağıntılar.....	321

ÖZET

Bu çalışma, ülkemizin 4. büyük ili olan Adana için oluşturulmuş jeoteknik verileri ve değerlendirmeleri içeren kent bilgi sisteminin oluşturulması amaçlamaktadır. Adana ili yerleşim alanı farklı litolojilere sahip 4 birim üzerinde kurulu bulunmaktadır. Handere Formasyonu inceleme alanı içerisinde CH, MH, CL, ML türü ince taneli zeminlerden oluşan en yaşlı birimdir. Taraça çökelleri gevşek ve sıkı tutturulmuş olmak üzere 2 ayrı özellik sunmaktadır. Gevşek tutturulmuş taraça, zemin özelliği göstermekte olup GW, GP zemin grubu ile temsil edilmektedir. Sıkı tutturulmuş taraça ise tek eksenli basma dayanımına göre çok düşük kaya grubunda yer almaktadır. Yumuşak kaliş büyük çoğunuğu CH olan zemin özelliği gösterirken sert kaliş çok düşük dayanımlı kaya özelliği göstermektedir. Alüvyon çökelleri en eski yapışmanın üzerinde geliştiği bir birimdir ve 1998 Ceyhan depreminde de yapısal hasarların en fazla olduğu zemin türlerini içermektedir. Yapılan sondajlar, sismik ve rezistivite çalışmaları ile elde edilen veriler Adana ili alüvyonları içerisinde CH ve CL türü ince taneli taşkın ovası çökellerinin yaygın olduğunu ortaya koymuştur.

Taşıma gücü değerlendirmeleri açısından taraça ve Handere Kili problem göstermemektedirler. Kaliş ve alüvyon çökelleri ise bu anlamda daha kritik değerler vermektedir. Bu çalışma ile elde edilen veriler gerçek koordinat sisteminde hazırlanmış topografik haritalara işlenmiş ve her nokta için temel jeoteknik bilgileri içeren bir veri tabanı oluşturulmuştur. Bu amaçla Arcview 3.3 programı kullanılmıştır. Sayısal verilerin lineer interpolasyonla değerlendirilmesi amacıyla da Spatial Analyst 2.0a bilgisayar programından yararlanılmıştır. Verilerin kullanılmasıyla incelenen bölge için eş SPT-N, eş rezistivite, eş-zemin büyütmesi, eş-kayma dalgası hızı, eş taşıma gücü haritaları oluşturulmuştur.

Anahtar Kelimeler: Adana, Kent Mühendislik Jeolojisi, Coğrafi Bilgi Sistemi

ABSTRACT

This studies aim to produce urban information system including results of geotechnical informations and evaluations for Adana, the fourth big city of Turkey. Adana province is located on four different lithological units. Handere Formation is the oldest unit in CH, MH, CL, ML types fine grains size soils in investigated area. Terrace units have two different properties as loose and hard. Loose terrace is characterized by GW, GP soil group. Hard terrace is situated in very low strength rock group based upon uniaxial compressive strength. Soft caliche has CH soil properties but hard caliche shows very low strength rock properties. Alluvium units, the oldest urbanization of Adana was developed on it, include soil types on which heavy structural damages occurred during in 1998 Ceyhan earthquake. Drilling, seismic and resistivity explorations shows that CH, CL types of fine grains sized floodplain deposits are widespread.

Terrace and Handere clay units are do not bring about problems, considering with bearing capacity evaluations. In contrast, caliche and alluvium depositories give critical low bearing capacity values. The data, obtained from this study, is located on topographical maps prepared with real coordinate system and a database, includes geotechnical information for all points is made. For this aim, Arcview 3.3 program is used. Numerical data is evaluated with linear interpolation by means of Spatial Analyst 2.0a computer program. Using all data, equal SPT-N, equal resistivity, equal soil amplification, equal shear wave velocity and equal bearing capacity maps are prepared for investigation area.

Key words: Adana, City Engineering Geology, Geographical Information System

1. GİRİŞ

Bu çalışmanın amacı, kalabalık nüfusa sahip bir yerleşim yeri olan Adana il merkezi ve yeni yapılaşmanın olduğu yakın çevresi için, başta yerel zemin koşulları olmak üzere diğer jeoteknik parametrelerin ortaya çıkarılması, bölgenin sismik durumlardaki risk analizlerinin belirlenmesi, hidrojeolojik koşulların ortaya konulması ve elde edilen veriler ışığında Coğrafik Bilgi Sistemi kullanılarak Adana ili için jeoteknik veri tabanlı bir kent bilgi bankası sisteminin oluşturulmasıdır.

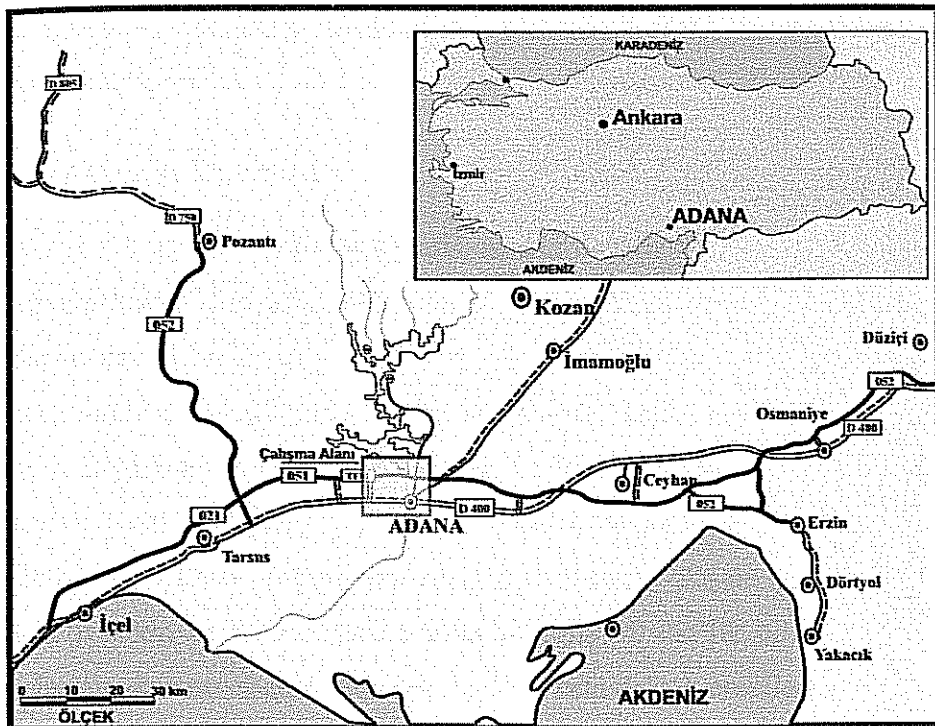
Deprem bölgelerindeki yerleşim yerlerinde yapılacak mühendislik çalışmalarında depremden daha az etkilenmek için depreme dayanıklı yapı üretmek tek başına yeterli olmamaktadır. Yapılaşma için daha uygun alanların belirlenmesi ve mevcut alanlar için detaylı jeoteknik çalışmaların yapılması ile maliyet azalması sağlanarak aynı zamanda ülke ekonomisi açısından kaynakların daha doğru kullanılması sağlanmış olacaktır.

Türkiye'de yerleşim yeri kurulu bir çok alanda olduğu gibi Adana ili ve yakın çevresi de ova rejiminin hakim olduğu bir alan üzerinde kurulu bulunmaktadır. Bu tür Kuvaterner çökellerinin bulunduğu alanlar üzerinde kurulu yerleşim yerlerinde depremler neticesinde sivilashma olaylarının sıkça meydana gelmesi, bu konunun Adana yerleşim yeri için de önemli olabileceğini ve araştırılması gerektiğini ifade etmektedir.

Türkiye'nin % 42'sinin 1. derece deprem bölgesi üzerinde kurulmuş olması ve bu bölgelerin büyük çoğunuğunun önemli ve kalabalık kentsel nüfusa sahip olması bu konularda yapılması gereken jeoteknik çalışmaların önemini daha da artırmaktadır. Özellikle 1999 Kocaeli depreminden sonra bir çok şehirde yapılan ve yapılmakta olan jeolojik, jeoteknik, hidrojeolojik ve jeofizik çalışmalar ile bilimsel verilere dayalı sonuçlar elde edilmektedir. Ancak son 10 yılda küçük bir kentten büyük şehire dönüsen Adana ili için yapılmış ve yapılmakta olan bu tür çalışmaların olmaması ve şu ana kadar da oldukça geç kalınmış olması, bunun yanında belediyeler gibi konuya ilgi göstermesi gereken yetkili organların ve teknik elemanların ilgisiz olmaları oldukça üzüntü vericidir.

Çalışma alanı, esas olarak Adana ili yerleşim alanı olup, yakın çevre olarak nitelendirilen ve halen yeni yapılaşmanın yaygın olarak devam ettiği Kuzey Adana da çalışma kapsamındadır (Şekil 1). Alansal büyülüük olarak ele alındığında çalışma 3 ayrı bölgeden oluşmaktadır. Bunlardan en küçüğü Adana ili yerleşim alanının dahil olduğu **kentsel jeoteknik alan**, bu alandan biraz daha büyüğü bölgenin hidrojeolojik özelliklerini ortaya koymak amacıyla araştırılmış, kısmen yakın beldeleri de kapsayan **hidrojeolojik alan** ve en

büyübü bölgenin depremselliğini ortaya koymak amacıyla yakın ilçeleri de içine alan *sismolojik alan*'dır.



Şekil 1.1. İnceleme alanının yer bulduru haritası

Çalışma, benzer çalışmalar ve çalışma ile ilgili alt konuları içeren ulusal ve uluslararası literatürün derlenmesi ve incelenmesi, bölgede resmi ve özel kurumlarca yapılmış jeoteknik, hidrojeolojik verilerin elde edilmesi, arazi, sondaj, jeofizik ve laboratuar çalışmalarının yapılması ve sağlanan verilerin analiz edilerek irdelenmesi ve uygun olanların bilgisayar ortamına aktarılması ve değerlendirilmesi safhalarından oluşmaktadır. Çalışmaların, daha önceden yapılmış 1/25.000 ölçekli jeoloji haritalara dayandırılması başta amaçlanmışsa da arazi çalışmalarından elde edilen veriler ışığında mevcut jeoloji haritası revize edilmiştir. Bu haritanın oluşturulmasında dokanak tamamlama yöntemi kullanılmıştır.

Adana ili yerleşim alanının üzerinde kurulu olduğu zemin türlerinin değişkenliğinin fazla olması yapılacak çalışmaların çeşitliliğine doğrudan etki etmektedir. Çalışma ile farklı jeoteknik özelliklere sahip birimlerin yayılımları, fiziksel ve mekanik özellikleri, diğer birimlerle olan ilişkileri ele alınmıştır. Hidrojeolojik koşullar ve bölgenin depremselliği de ayrıca incelenmiştir.

Çeşitli resmi ve özel kurumlardan elde edilen ve bu çalışma ile sağlanan veriler kullanılarak, incelenen bölge için kayma dalgası hızları, zemin özdirenç değerleri, sivilaşma riskleri ortaya konularak, oturma oluşturacak zeminler için oturma, şişme oluşturacak

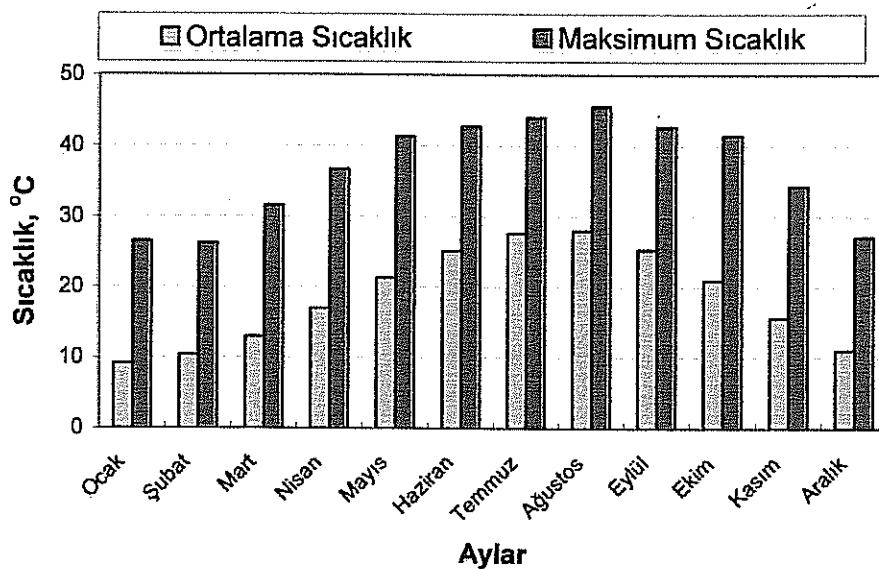
zeminler için şişme analizleri yapılmıştır. Elde edilen çeşitli veriler coğrafi bilgi sistemine girilerek daha önce elde edilen farklı haritalarla incelenen bölge için değişik parametreleri bünyesinde bulunduracak arazi kullanımına yönelik mühendislik jeolojisi haritalarının oluşturulması amaçlanmıştır.

1.1. İnceleme Alanının Tanıtılması

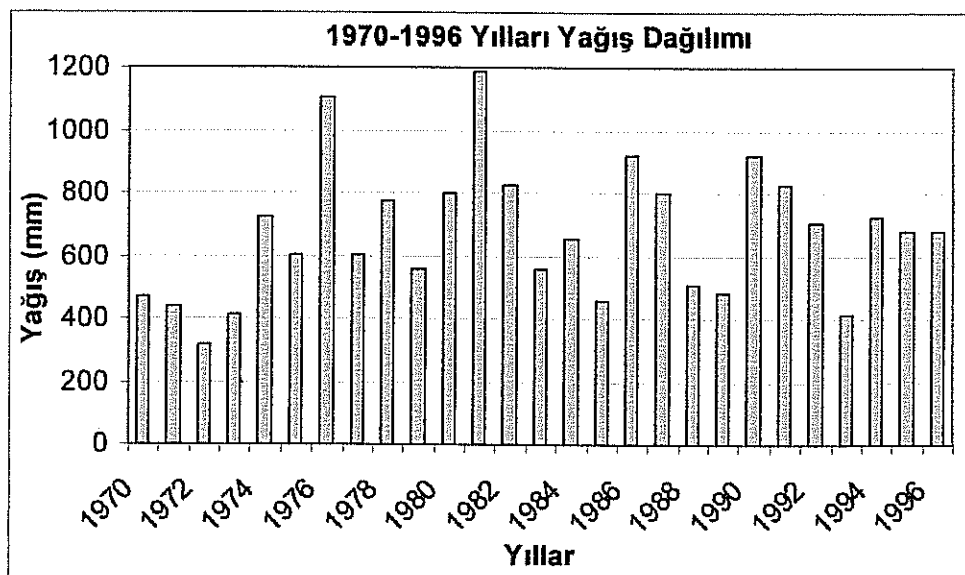
Adana ili ve yakın çevresi topografik açıdan dağlık ve ovalık alan olmak üzere iki bölümden oluşmaktadır. İlin kuzeybatı, kuzey ve kuzeydoğu bölgeleri Orta Toroslar adı verilen dağlar ile çevrelenmiştir.

Genel olarak ele alındığında Adana bölgesinde dağlık ve ovalık araziler bir arada bulunmaktadır. Dağlık araziler doğudan başlayıp ve kuzeye doğru uzanırlar. İlin kuzeyi genel olarak dağlıktır. Kozan, Ceyhan ve Yüreğir ovaları bölgenin düz ve düzeye yakın eğimli arazilerini oluşturur. Büyük çoğunluğu alüvyal ovalardan oluşan Çukurova havzası D-B doğrultusunda 100 km ve K-G doğrultusunda yaklaşık 70 km'lik bir uzanıma sahiptir. Bu ovalar birbirlerinin devamı olmakla beraber, hafif ve orta dalgalı arazilerle kısmen birbirinden ayrılırlar. Bu tip araziler aynı zamanda ovalarla dağlık araziler arasında geçiş bölgesi oluşturan yer şekilleridir. Kuzey sınırını teşkil eden sırt ve tepeliklerin yükseklikleri 1700-2000 m arasında değişmektedir. Seyhan ve Yüreğir ilçe merkezleri Adana ilinin ovalık kısmında yer alır ve geniş bir alan kaplar.

Çalışma alanının da içinde bulunduğu Adana ili iklimi, dağlık ve ovalık alanlarda farklılık göstermekle beraber Akdeniz ikliminin tipik özelliklerini taşır. Yazları sıcak ve kurak, kışları ılık ve yağışlıdır. Ortalama sıcaklık 18.71°C , ortalama yağış metrekareye 663.24 mm'dir. Yılın en sıcak ayı Ağustos ve en soğuk ayları Ocak ve Şubat'tır (Şekil 1.2). Yılın ortalama 76 günü yağışlı geçer ve yağışın mevsimlere dağılımı oldukça düzensizdir. Ancak çoğu zaman Ocak ve Aralık aylarında yağış miktarında fazlalaşma olduğu görülmektedir (Şekil 1.3).



Şekil 1.2. Adana ili için aylara bağlı olarak sıcaklık değerlerinin değişimi.



Şekil 1.3. Adana ili için yağışın yıllara bağlı olarak değişimi.

İnceleme alanı mahalle bazında ele alındığında Seyhan ilçe sınırlarında yerleşimin fazlalığına bağlı olarak mahalle sayısının Yüreğir ilçesine göre daha fazla olduğu görülür (Çizelge 1.1). Yapılaşma ve yapı yoğunluğu açısından ele alındığında da yüksek katlı ve sık yapıların Seyhan ilçesinde Yüreğir ilçesine göre oldukça fazla olduğu dikkati çekmektedir. Seyhan ilçesi litolojik çeşitliliğe bağlı olarak daha farklı türdeki birimler üzerinde yer almaktadır. Yüreğir ilçesinde ise yapıların büyük çoğunluğu alüvyal çökeller üzerinde yer almaktadır.

Çizelge 1.1. Adana ili yerleşim alanı içerisinde mahallelerin ilçelere göre dağılımları.

SEYHAN İLÇESİ			YÜREĞİR İLÇESİ	
Kurttepe	Şakirpaşa	Gazipaşa	Kışla	Koza
100. Yıl	Onur	Namık Kemal	PTT Evleri	Atakent
Belediye Evleri	Uçak	Mithatpaşa	Köprülü	
Güzelyalı	Kayalıbağ	İsmetpaşa	Kazım Başer	
Mahfesığmaz	Karasoku	Aydınlar	Kiremithane	
Toros	Hanedan	Barış	Dadaloğlu	
Yurt	Kocavezir	Yeşilevler	Tahsilli	
Huzurevleri	Yeşilyuva	Bahçelievler	Yavuzlar	
Beyazevler	Sarıyakup	Narlıca	Akıncılar	
Pınar	Türkocağı	Denizli	Sarıçam	
2000 Evler	Mirzaçelebi	Cemalpaşa	Dervişler	
Gürselpaşa	Gülbahçesi	Kurtuluş	Yenidoğan	
Yeniyurt	Mestanzade	Döşeme	Özgür	
Yeşilyurt	Havuzlubahçe	A. Remzi Yüreğir	Sinanpaşa	
Yeni Baraj	Yenibey	Sakarya	Cumhuriyet	
Sümer	Akkapı	Hürriyet	Anadolu	
Fatih	Bey	Şehit Duran	Levent	
Ziyapaşa	Alidede	Dağlıoğlu	19 Mayıs	
Emek	Sucuzade	Barbaros	Yamaçlı	
İstiklal	Dumlupınar	Reşatbey	Güneşli	
Çınarlı	Beşocak	Meydan	Haydaroğlu	
Hurmalı	Tepебağ	Kireçobağı	Seyhan	

Bu çalışma ile Adana ili için eksik oldukları hissedilen ve aşağıda maddeler halinde sıralanan hususların bilinmesi, değerlendirilmesi ve sunulması amaçlanmıştır;

- 1- Adana ili kent yerleşim alanı için güncel bir genel jeoloji haritasının yapılması.
- 2- Yerleşim alanı içerisinde yer alan jeolojik birimlerin fiziksel ve mekanik özelliklerinin belirlenmesi.
- 3- Birimlere ait bazı özel mühendislik parametrelerinin (kaya dayanımı, elastisite modülleri, su emme, şişme ve büzülme, konsolidasyon özellikleri vb.) belirlenmesi.
- 4- Belirlenmiş birimlerin sismik ve elektrik özdirenç özelliklerinin araştırılması ve bu anlamda değerlendirilmesi.
- 5- Bölgenin hidrojeolojik koşullarının incelenmesi.
- 5- Bölgenin depremsellik riskinin araştırılması ve depremsellik parametrelerinin belirlenmesi.

6- Elde edilen verilerin bilgisayar ortamına girilerek yorumlanabilir hale getirilmesiyle jeoteknik veri tabanlı bir kent bilgi sisteminin oluşturulması ve farklı kullanıcılar tarafından gerektiğinde kullanılabilmesi için bu bilgilerin depolanması.

2. ÖNCEKİ ÇALIŞMALAR

Tez kapsamında incelenen farklı konular bir arada yer almaktan olduğundan önceki çalışmalar kısmı, bu farklılığa bağlı olarak alt bölümler halinde sunulmuştur. Bu kısımda mevcut literatür elenerek, çalışmaya daha fazla örnek teşkil edecek nitelikte olanlar seçilmiştir. Bölge olarak tek başına ele alındığında benzer bir çalışmanın Adana yerleşim alanı için yapılmamış olması önceki çalışmaların bu eksikliği de ortaya koymaktadır.

2.1. Genel Jeoloji Çalışmaları

Schmidt (1961), bölgede stratigrafik olarak detaylı çalışmaları yapan en eski araştırmacıdır. Adana havzasının büyük bölümünü çalışmış olan araştırmacı çoğu formasyonları da isimlendirip yaşılandıran kişi olmuştur.

Yetiş ve Demirkol (1986) tarafından yapılan “Adana Baseni Batı Kesiminin Detay Jeoloji Etüdü” isimli çalışma ile Adana ili yerleşim alanının da içinde bulunduğu geniş bir alanın 1/25.000 ölçekli detay jeoloji haritası yapılmıştır. Çalışma alanı içinde yer alan birimler temel olarak Handere Formasyonu, Taraça ve Kaliş ile eski ve yeni alüvyondanoluştuğu belirtilmiştir.

Demirkol ve diğ. (1991) tarafından 1/100.000 ölçekli olarak hazırlanan Kozan K-20 paftasında inceleme alanında yer alan temel jeolojik birimler ile ilgili tanımlamalarda bulunulmuştur.

2.2. Uzaktan Algılama Çalışmaları

Canigür ve Yerel (2001), uzaktan algılama yöntemlerini kullanarak Eskişehir ili için bir drenaj analizi yapmış, aynı zamanda Eskişehir ve çevresindeki fayların uzaktan algılamaya belirlenmesini sağlamışlardır. Görüntü analiz yöntemlerini kullanarak çizdikleri drenaj ağları yöneliklerinden bölgede yer alan fayların atımlarının hangi yönde olduğunu yorumlarını yapmışlardır. Benzer şekilde su kaynaklarının yoğunlaştığı yerleri fay olma olasılığı yüksek olan alanlar olarak değerlendirmiştir.

Şener ve Özçelik (2001), Burdur ili için yaptıkları çalışmada, jeolojik, jeofizik, sondaj, mühendislik jeolojisi, hidrojeoloji verileri ışığında, deprem hasarını artıran faktörleri dikkate alarak yerleşime uygun olmayan alanlar (UOA), uygun olan alanlar (UA) ve önlemlı uygun alanlar (OUA-1 ve OUA-2) olarak yerleşime uygun alanları sınıflandırılmış ve coğrafi bilgi sistemini kullanarak 1/5000 ölçekli yerleşime uygunluk haritası yapmışlardır. Çalışma ile Burdur yerleşim alanının mühendislik jeolojisi, yeraltı su seviyeleri, eğim grupları haritaları

ile imar haritalarının veri tabanları hazırlanarak mantıksal ve mekansal sorgulamalara uygun hale getirilmiştir.

2.3. Jeoteknik ve Arazi Kullanımı Çalışmaları

Henessy ve diğ. (1983), New Mexico'nun güneyinde bulunan kalişlerin su emme, permeabilite ve su muhtevası özelliklerini incelemiştir. İncelenen kalişlerin ortalama birim hacim ağırlıkları $1.8\text{-}2.0 \text{ gr/cm}^3$ olarak belirlenmiştir. Doygun hale getirilen kalişlerin atmosferik koşullarda bünyelerindeki suyu oldukça yavaş bir şekilde bırakıkları buna karşılık kaybettikleri suyu oldukça hızlı bir şekilde geri aldıkları belirtilmiştir.

Kasapoğlu (1986), Ankara kenti zeminlerini toprak zeminler ve kaya zeminler olarak iki grubu ayıracak $1/15.000$ ölçekli jeoloji ve mühendislik jeolojisi haritaları oluşturmuştur. Toprak zeminleri, akarsu ve göl çökelleri ile alüvyonlardan, kayaç zeminleri ise andezit, aglomera, tuf, grovak, kireçtaşı, sist ve spilitler olmak üzere ayıracak bu birimlerin jeolojik ve mühendislik jeolojisi özelliklerini ortaya koymuştur. Çalışma ile toprak zeminlerin büyük çoğunluğunun MH ve CH türü zemin sınıfında ve kaya zeminlerin ise Birleştirilmiş Kayaç Sınıflamasında CM grubunda (orta dayanıklı ve modül oranlı) yer aldıkları ortaya konulmuştur.

Yılmazer ve Smith (1992), Kalişin oluşum ortamlarından bahsederek Adana-Tarsus-Mersin arasında yer alan kalis birimlerinin jeolojik ve mühendislik özelliklerini ortaya koymuştur. Kaliş oluşumunun Üst Pliyosen'den günümüze kadar değişen hızlarla meydana geldiği belirtilmiştir. Çalışmada otoyol güzergahı boyunca görülen kalis birimleri içerisindeki kitle hareketlerinin mekanizmaları incelenmiş ve kalisin (yumuşakken) içsel sürtünme açısının $< 5^\circ$, rezidüel kohezyonun ise 25 kPa olduğu laboratuar deneyleri ile ortaya konulmuştur. Yumuşakken seviyelerinin plastisite indislerinin plastisite kartında A hattı üzerinde olduğu görülmüş ve dolgu malzemesi olarak kullanılmasının uygun olmayacağı vurgulanmıştır.

Gori (1994), farklı 3 grup kil numune üzerinde yaptığı deneyler ile killi zeminlerin kimyasal özelliklerinden pH ve CEC (katyon değişim kapasitesi) değerleri ile LL değerleri arasında ilişkileri incelemiştir. Kaolinit grubundaki killerin LL (likit limit) değerlerinin pH değerlerinden etkilenmediğini ortaya koymuştur. Pliyosen grubu killeri için ise bunun tersine LL değerlerinin kilin pH ve CEC değerlerinden etkilendiğini belirtmiştir.

Tsiambaos ve Tsaligopoulos (1995), Yunanistan'da şişme özelliği gösteren Neojen yaşılı sedimanlar ve Alüvyon çökellerle ilgili bir çalışma yaparak kil ve kil içerikli birimlerin

mineralojik ve petrografik analizlerini yapmıştır. Yazarlar, inceledikleri birimlerin şişme yüzdelerini ve şişme basınçlarını da bularak şişme basıncı oranı olarak isimlendirdikleri bir ifade elde etmişlerdir. Çalışma bu birimlerin şişme değerleri üzerinde yoğunlaşmıştır. İncelenen zeminlerin şişme basınçları 62-900 kPa olarak tespit edilmiştir.

Al-Homoud ve diğ. (1996), Ürdün'de Amman otoyol güzergahında kitle hareketlerine sebep olan şişen killer üzerinde yaptığı çalışmalarında petrografik, kimyasal ve mühendislik özelliklerini inceleyerek şişme ve konsolidasyon parametrelerini belirlemiş ve iyileştirme alternatifleri önermişlerdir.

Laman ve Yıldız (1996), zemin laboratuar deneyleri ve zemin etütlerinin yapılışı ile dikkat edilmesi gereken hususlarla ilgili bilgiler vermiş ve Seyhan Küçük Baraj gölü üzerinde yapılması planlanan bir asma köprü için yapılan zemin etüt çalışmasından bahsederek Çukurova bölgesinde yapılan zemin etütlerine örnek vermiştir.

Wei ve diğ. (1996), New Madrid sismik bölgesinde yer alan zeminlerden elde edilmiş SPT deney sonuçlarını kullanarak derinliğe bağlı olarak kayma dalgası hızlarının bulunması için empirik metoda dayalı olarak çeşitli abaklar üretmiştir. Çalışmada, kayma dalgası hızlarının özellikle zeminin tipi, boşluk oranı ve efektif çevre basıncı parametrelerinden etkilendiği vurgulanmaktadır. Çalışmada zeminler S1, S2, S3 kumlu zemin ve C1, C2 killi zemin kategorilerinde olmak üzere 5 tipe ayrılmışlardır. Üretilen abaklar da bu farklı zemin kategorileri için ayrı ayrı oluşturulmuştur.

Şimşek ve Dalgıç (1997), Düzce ovasındaki killerin konsolidasyon özelliklerini inceleyerek onların jeolojik evrimleriyle ilişkilerini araştırmışlardır. Bölgede yer alan killerin % 29'unun CH grubu, % 62.5'inin CL grubu siltli killerdenoluştugu belirlenmiştir. Killerin 3-10 m derinliklerdeki konsolidasyon özelliklerine göre aşırı konsolide oldukları bu derinliklerin altındaki derinliklerde ise normal konsolide kil özellikleri gösterdikleri tespit edilmiştir. Ovada yapılan otoyol güzergahı boyunca oturma plakaları ile yapılan ölçümler teorik yaklaşımı dayalı konsolidasyon hesaplamaları ile karşılaştırılmıştır. Sonuçta birbirlerine yakın olan sayısal değerler elde edilmiştir.

Yılmaz (1999), bir regülatör güzergahı üzerinde yer alan killi zeminlerin şişme özelliklerinin kanal yapısı üzerindeki etkilerini incelemiştir. Orta-yüksek şişme potansiyeline sahip killerin şişme basınçlarının inceleme alanı içersindeki bazı lokasyonlarda boş kanal sürşarj basıncını aştığını belirtmiştir. Kil tabakasının çok derinlerde olduğu durumlarda ise şişme basınçlarından doğan olumsuz bir durumun olmayacağı belirtmiştir.

Yılmaz (2000a), aşırı konsolide killerin kayma dayanımlarının konsolide olmamış killerden daha yüksek olduğunu vurgulayarak bunun su muhtevası farklılığına bağlı likitlik indisi değerine de bağlı olduğunu vurgulamıştır. Türkiye'nin çeşitli yerlerinden derlenen numuneler üzerinde yapılan üç eksenli test sonuçları ve likitlik indisi değerlerini korele ederek likitlik indisi parametresi kullanılarak kayma dayanımının elde edilebileceği empirik bir bağıntı önermiştir.

Attom ve dig. (2001), örselenmemiş ve sıkıştırılmış 3 farklı zemin grubu üzerinde yaptıkları deneyler ile şışme basıncı, şışme potansiyeli ve serbest basınç dayanımı değerleri arasındaki ilişkileri incelemiştir. Bu parametrelerin zemin örneklerinin hazırlanmasında kullanılan kompaksiyon yönteminden etkilendikleri belirlenmiştir. Aynı zamanda başlangıç su muhtevası değerlerinin örneklerin hem şışme basıncı ve hem de serbest basınç dayanımı değerlerini etkilediği görülmüştür. Örselenmemiş örneklerden elde edilen şışme basıncı, şışme potansiyeli ve serbest basınç dayanımı değerlerinin kompakte edilmiş örneklerde ait değerlerden daha yüksek değerler verdikleri de bu çalışmada ortaya konulmuştur.

Ergüler ve Ulusay (2002), Ankara kili üzerinde yaptıkları detaylı bir çalışma ile killi zeminlerin şışme potansiyellerinin belirlenmesine yarayan bir test yöntemi geliştirmiştir. Önerdikleri test yönteminde hem örselenmiş hem de örselenmemiş zemin örnekleri kullanılabilirliktedir. Çalışmalarında söz konusu zeminleri yatay ve düşey şışme miktarlarını da ölçmüştür ve yatay yöndeki şışme miktarının düşey yöndekinden daha yüksek olduğunu belirtmişlerdir. Yazarlar zamana karşı düşey şışme miktarlarını ve aynı şekilde basınca karşı şışme miktarları ilişkilerini veren şekiller ortaya koyarak değerlendirmelerde bulunmuşlardır.

Shi ve dig. (2002), Çin'de yaygın olarak gözlenen şisen zeminleri 6 farklı lokasyonu ele alarak incelemiştir. Buna göre şisen killeri oluşum ortamlarına bağlı olarak lakustrin, alüviyal, plüviyal ve elüviyal olarak ayırtlayarak kimyasal içeriklerini ortaya koymuşlardır. Yazarlar bu birimlerin fiziko-mekanik ve şışme özelliklerini de ortaya koyarak lokasyonlar arasında karşılaştırmalar yapmışlardır. Yapılan analizler ile zeminlerin tane boyu dağılımları, fiziko-kimyasal özellikleri, mikro yapıları ve mekanik özellikleri ortaya konulmuştur. Genel olarak ele alınıklarında şisen zeminlerin mühendislik özelliklerinin onların orijini, jeolojik tarihçeleri ve çökelme işlevleri, materyal kaynakları, bileşimleri ve mikro yapıları tarafından etkilenecekleri belirtilmiştir.

Yıldırım (2002), sıkıştırılmış killi zeminlerin şışme basınçları ile emme kapasitelerini bazı zemin özelliklerinden yararlanarak belirlemeyi amaçlayan bir çalışma yapmıştır. Bu amaçla plastisite indisleri farklı olan 6 grup kil numuneleri kullanmıştır. Ödometre deneyi ile

hesaplamış olduğu şişme basıncı sonuçlarından, su muhtevası artışına karşılık şişme basıncının azaldığını, kuru birim hacim ağırlığı ve plastisite indisinin artmasıyla şişme basıncının arttığını belirlemiştir. Çalışma ile belirli bir plastisite indisine sahip kılın emme kapasitesinin artmasıyla şişme basıncının azaldığı da ortaya konulan grafiklerle ifade edilmiştir.

Yıldırım ve Adatepe (2002), İstanbul'a bağlı Küçük Çekmece İlçe sınırlarındaki 14.63 km²'lik bir alanda jeoloji, jeofizik ve mikrotremor ölçüm sonuçlarını değerlendiren jeoteknik çalışmalarla bölgenin jeolojik yapısı ve zeminlerin mühendislik özelliklerini tespit etmişlerdir. Çalışma ile yerlesime uygunluk haritası oluşturularak inceleme alanı A, B, C ve D grubu yerlesime uygun alanlar olarak sınıflandırılmışlardır.

Xeidakis ve diğ. (2004), Yunanistan'ın kuzeyinde inşa edilen bir yol güzergahında yer alan şisen zeminlerin mineralojik, petrografik ve şişme karakteristikleri açısından ele alarak incelemiştir. Çalışmaya konu olan zeminlerde Katyon değişim kapasiteleri (KDK) 35-74 mek/100 g gibi yüksek değerler vermiştir. Bu değerlerin ise yüksek su emme kapasitesine bağlı olarak şişme kapasitesi yüksek smektit ve vermicülit türü kil minerallerinden kaynaklanacağı bildirilmiştir.

2.4. Zemin Dinamik Özellikleri Çalışmaları

Soydemir ve Özkan (1981), "Gevşek kumlu zeminlerin sıvılaşma yönünden değerlendirilmesi – Türkiye için bir taslak şartname önerisi" başlıklı çalışmalarında sıvılaşma analizinde kullanılan yöntemlerden bahsetmişler ve kum ve kumlu zeminlerde sıvılaşma analizi yapılabilmesi için bir yaklaşım metodu önermişlerdir. Bu yaklaşım için farklı deprem bölgelerini ele alarak değişik yeraltı tablası ve deprem ivmesi değerleri için abaklar önermişlerdir.

Teme (1990), "Liquefaction potentials of a sandy substratum in the South-Eastern Lower Niger Delta of Nigeria" isimli çalışmasıyla Nijerya'da Bori bölgesinde yapılacak bir enerji santrali sahasında yer alan zeminlerin sıvılaşma potansiyellerini incelemiştir. Bu amaçla inceleme bölgesinde yapılan SPT deney verilerini kullanmış ve magnitüdleri 6, 7.5 ve 8.25 olan 3 senaryo deprem durumunda sıvılaşmanın zemin içindeki durumlarını incelemiştir.

Trifunac (1995), "Empirical criteria for liquefaction in sands via standard penetration tests and seismic wave energy" isimli çalışmasında 90 lokasyondan alınan verileri değerlendirerek farklı sıvılaşma analiz yöntemleri ile ilgili değerlendirmelerde bulunmuştur.

Bu çalışmada yazar deprem magnitüdü, episantr uzaklığı, örtü basıncı ve düzeltilmiş SPT sayılarını da değerlendirmiştir.

Teri ve Tezcan (1996), “Zemin sıvılaşma kriterlerinin değerlendirilmesi” başlıklı çalışmalarında eşik ivme değerleri, efektif SPT sınırları, sıvılaşma endeksi ve granülometrik dağılım gibi sıvılaşma olasılığını saptamaya yarayan yöntemleri irdeleyerek İzmir Konak meydanı için olabilecek kuvvetli bir deprem durumunda sıvılaşma potansiyelini tespit etmişlerdir.

İyisan (1996), zeminlerin dinamik özelliklerini belirlemeye en önemli parametrelerden biri olan kayma dalgası hızını belirlemek için arazi penetrasyon dirençleri ile kayma dalgası hızları arasında bağıntılar ortaya koymuştur. Bu amaçla SPT, DPT ve dinamik sonda deney verileri kullanılmıştır. Çalışmada kayma dalgası hızına zemin tipinin ve düşey gerilmenin etkileri de ele alınmıştır. Özellikle SPT-N değerleri ile Vs kayma dalgası hızları arasında anlamlı korelasyonların olduğu vurgulanmıştır.

Ulusay ve diğ. (2000a), “Engineering geological characteristics of the 1998 Adana-Ceyhan earthquake, with particular emphasis on liquefaction phenomena and the role of soil behaviour” isimli makalelerinde 6.2 büyüklüğündeki Adana-Ceyhan depreminde yerel zemin koşullarını incelemişler ve depremin mühendislik jeolojisi açısından ele alarak sıvılaşma olgusu ile zemin ve yeraltı suyu koşullarını ele alarak depremin zemin koşulları ve mevcut binalar üzerindeki etkilerini araştırmışlardır.

Ulusay ve diğ. (2000b), “Türkiye’de son depremlerde gözlenen sıvılaşma olgusu ve Batı Anadolu’da sıvılaşma potansiyeline genel bir bakış” isimli çalışmalarında oluşturdukları veri tabanı ile Türkiye’de son depremlerde gözlenen sıvılaşma olgusunu değerlendirmiştir. Bu çalışmalarında ayrıca Türkiye için Kuvaterner çökelleri ile gözlenmiş sıvılaşma lokasyonlarının dağılımlarını ortaya koymuşlardır.

Chu ve diğ. (2003), Taiwan’daki 1999 yılında meydana gelen 7.6 büyüklüğündeki Chi-Chi depreminde meydana gelen zemin yenilmelerini incelemiştir. Bu amaçla depremden sonra araştırmanın yapıldığı Wufeng bölgesinde 25 adet sondaj ve 6 adet koni penetrasyon deneyi yapılmıştır. Elde edilmiş olan SPT, CPT ve Vs kayma dalgası hızı verileri kullanılarak NCEER tarafından önerilen metod ile sıvılaşma analizleri yapılmıştır. Çalışmada sıvılaşmanın daha çok eski nehir yatakları çevresinde yoğunlaştığı belirtilmiştir.

Özay ve Erken (2003), örselenmemiş düşük plastisiteli ($I_p=21-24$) killi zeminlerin sismik gerilmelerden nasıl etkilendiklerini ortaya koymak amacıyla bu zeminler üzerinde dinamik üç eksenli basınç deneyleri yapmışlardır. Tekrarlı gerilmeler etkisi ile boşluk suyu

basınçları ve deformasyonların arttuğu, gerilme-şekil değiştirme ilmiklerinin yatkılaştığı, rıjitiğin azaldığı, iç yapının bozularak zeminde yumuşamanın meydana geldiği belirtilmiştir.

Erken ve diğ. (2003), Kocaeli depreminde oluşan hasarlı bölgeler ile yerel zemin koşulları arasındaki ilişkileri incelemiştir. Buna göre hasarın en fazla olduğu kesimlerde temel zemininin düşük plastisiteli veya plastik olmayan siltli zemin tabakalarından (ML, SM) olduğu belirlenmiştir. Bu tabakaların kimi yerlerinde kum içeriğinin % 50'ye kadar ulaştığı görülmüştür. Çalışmada Japon Yol Kurumu tarafından önerilen bir sivilaşma analiz yöntemi irdelenerek sivilaşma analizleri de yapılmıştır.

Gündoğdu ve diğ. (2003), kent depremi olarak nitelendirdiği Gölcük depremi ile ilgili yaptığı çalışmada depremin eş şiddet haritasını çizmiş ve arazi gözlemleriyle elde etmiş olduğu verilerle ilgili değerlendirmelerde bulunmuştur. Adapazarı ve Gölcük için maksimum şiddeti XI olarak belirtmiştir.

Ulusay ve diğ. (2003), Çay-Eber depremi olarak adlandırılan 3 Şubat 2002 tarihli depremin özelliklerini ve yerel zemin koşulları açısından ele alarak zemin-hasar ilişkisi ile ilgili değerlendirmelerde bulunmuştur. Deprem etkisi ile meydana gelen sivilaşma olgusu da incelenerek sivilaşmanın 1-1.5 m derinliklerde meydana geldiği bildirilmiştir. Geriye dönük yapılan sivilaşma ve dinamik üç eksenli deneylerinden, sivilaşmanın gerçekleşebilmesi için en az 210 g değerindeki bir ivmenin etkisi olmasının gerekliliği belirlenmiştir.

2.5. Depremsellik ve Sismik Risk Çalışmaları

Villacis ve diğ. (1997), Ekvador'un Quito bölgesi için yapılan çalışma ile, oluşturulmuş bir sismik senaryo için azalım ilişkileri ortaya konularak sismik tehlike analizi yapılmıştır. Bölgedeki mevcut binalar, betonarme ve çelik mühendislik binaları ile kerpiç ve yiğma şahıs yapısı binalar olmak üzere iki gruba ayrılarak ortaya konulan veriler ışığında meydana gelebilecek sismik tehlikenin boyutları tartışılmıştır.

Arioglu ve diğ. (1999), aktif fayların tüm depremsellik parametrelerinin önceden kestirilmesi konusunu sayısal bir örnek üzerinde incelemiştir. Çalışmada deprem büyüklüğünün fayın uzunluğu ile olduğu kadar fayın türü ile de alakalı olduğu ifade edilmiştir.

Gülkan ve diğ. (1999), mevcut olan deprem bölgelendirme haritasıyla ilgili eksiklikleri vurgulayarak Adana ve yöresi için geçerli olacak bir harita önermişlerdir. Bu haritanın günümüzde kullanılan deprem bölgelendirme haritasından ciddi derecede farklı olduğu dikkat çekmektedir. Yazarlar halen kullanılmakta olan deprem bölgeleri haritasında olan eksiklik ve

hataların varlığına dikkati çekerek yapılabileceklerle ilgili önerilerde bulunmuşlardır. Makalede, aktifliği tartışılan fayların durumları ile ilgili belirsizliklerin, fay bölgeleri ile bina hesabında alınacak kuvvetler arasındaki ilişkinin ve kullanılan azalım ilişkileri geçerliliğinin ekonomik olmayan deprem haritalarını ortaya çıkarmakta olduğu da vurgulanmıştır.

Bağcı (2000), 1900-1999 yılları arasında İzmir ve çevresinde meydana gelen ve magnitüdü 4 ve daha büyük olan depremleri inceleyerek bölge için bir magnitüd-frekans bağıntısı ortaya koymuştur. Yazar, Poisson ve Gumbel üç değerler dağılım modelini kullanarak depremlerin gelecekte olma olasılıklarını ve dönüş periyotlarını belirlemiştir.

Öztemir ve dig. (2000), 36-38 K enlemleri ile 35-38 D boyamları arasında kalan alan için Antakya ve çevresinin depremselliğini araştırmışlar ve çeşitli aletsel dönem depremleri için odak mekanizması çözümlerine gitmişlerdir. Yazarlar depremlerde açığa çıkan enerjinin yıllara göre değişimlerini de inceleyerek 1945 yılında açığa çıkan enerji miktarını 7.6×10^{20} erg olarak hesaplamışlardır.

Romeo ve dig. (2000), İtalya için yaptıkları çalışma ile bölgenin depremsellik parametrelerini inceleyerek sismik risk analizi yapmışlar ardından zeminleri zemin katlığına ve kayma dalgası hızına bağlı olarak A, B1 ve B2 olmak üzere 3 kategoriye ayırmışlardır. Buna göre Pliyo-Kuvaterner yaşılı A grubu zeminler için $V_s > 800$ m/sn, Pliyo-Pleyistosen yaşılı B2 grubu zeminler için V_s 400-800 m/sn ve Holosen yaşılı B1 grubu zeminler için $V_s < 400$ m/sn olarak alınmıştır. Yazarlar çalışmanın son kısmında eldeki veriler ışığında pik zemin ivmesine göre, V_s kayma dalgası hızına göre ve zemin büyütmesine göre sismik tehlike haritası oluşturmuşlardır. Buna göre bölge aşağıda sıralanan pik zemin ivmesi değerlerine göre hasar seviyeleri belirlenmiştir;

0.05 – 0.15 g düşük hasar seviyeli alan

0.15 – 0.25 g orta hasar seviyeli alan

0.25 – 0.35 g yüksek hasar seviyeli alan

> 0.35 g çok yüksek hasar seviyeli alan

Bauer ve dig. (2001), Amerikanın çeşitli eyaletleri için yaptıkları çalışma ile zemin büyütme haritaları oluşturmuşlardır. Bu amaçla FEMA (Federal Emergency Management Agency) tarafından önerilen zemin sınıflamalarını kullanmış ve birimleri esas olarak tabaka kalınlığı, zemin homojenliği ile sıkılık ve yoğunluk değerlerinin değişimi faktörlerine bağlı çökeller olarak sınıflandırılmışlardır. Yaptıkları haritalama çalışmaları için zeminlere ait kayma dalgası parametrelerini kullanmışlardır.

Kalafat ve Bağcı (2001), Doğu Anadolu fay zonunun depremsellik özelliklerini inceleyerek 35-39 K Enlemleri ile 35-41 D Boylamları arasındaki alan içinde meydana gelmiş depremleri ele alarak magnitüd-frekans ilişkisini ortaya koymışlardır. Bu çalışma ile depremsellik parametreleri olarak a için 5.056 ve b için 0.63 değerlerini elde etmişlerdir. Çalışmada Poisson modeli kullanılarak sismik risk analizi yapılmış ve 6.5 büyüklüğündeki bir depremin 10 yıllık bir süre içerisinde olma olasılığı % 50 olarak bulunmuştur.

Marinos ve dig. (2001), Atina'da 1999 yılında meydana gelen 5.9 büyüklüğündeki deprem sonrası bölge için bir sismik mikro bölgeleme yapmıştır. Bu amaçla mevcut mühendislik jeolojisi ve jeoteknik verileri bölgesel gözlemler ve arazi çalışmalarıyla birleştirmiştir. Bu çalışmada yazarın kullanmış olduğu Yunan sismik yönetmeliği A, B, C, D ve X kategorilerinde olmak üzere zemin ve kayaları 5 farklı grubu ayırmaktadır. Yazar bu farklı kategorileri kullanarak oluşturduğu mikro- bölgeleme haritası ile depremde meydana gelen hasar dağılımını da korele ederek çalışmanın uygunluğunu ortaya koymuştur.

Campbell ve dig. (2002), tektonik ve sismik verileri kullanarak Taiwan için bir sismik tehlike modeli oluşturmuşlardır. Çalışmada Taiwan'da kullanılan M_L lokal magnitüd ölçüği ile M_w moment magnitüdü ölçüği arasındaki ilişki incelenmiş ve bu amaçla bazı eşitlikler önerilmiştir. Çalışma için ele alınan maksimum deprem büyüklüğü tarihsel depremlerin incelenmesi ile belirlenmiş ve 4.0 – 8.0 M_w moment magnitüdü büyülüklerindeki depremlerin tekrarlanma periyotları hesaplanmıştır. Buna göre bölge için 6.5-7.0 büyüklüğündeki bir depremin tekrarlanma periyodu 100 yıl olarak bulunmuştur. Çalışmada kayma dalgası hızlarına bağlı olarak 5 farklı zemin grubu ayırt edilmiştir.

Kayabaklı (2002), Türkiye için 14 ayrı sismik zon belirlemiş ve her sismik zon içinde kırılabilecek fay uzunluklarını kullanarak oluşabilecek maksimum deprem magnitüdlerini ortaya koymuştur. Ardından yine aynı sismik zonlar için regresyon katsayıları, fay uzunlukları ve maksimum deprem magnitüdlerini diğer araştırmacıların ortaya koydukları sayısal değerler ile karşılaştırmıştır. Yazar elde ettiği veriler ile 100 ve 475 yıllık dönüş periyodunu kullanarak Türkiye için eş ivme haritası ile deprem hasar haritası oluşturmuştur.

Ulutaş ve dig. (2001), Çukurova bölgesinin depremsellliğini belirlemek amacıyla 35.5-38 K enlemleri ve 34.5-37 D boylamları arasında kalan bölge için aletsel dönem depremleri inceleyerek bölgenin magnitüd-frekans ilişkisini $\log N = 6.06-0.94 M$ bağıntısıyla ortaya koymışlardır. İncelenen bölge için Poisson, Gumbel ve Weibull modellerini kullanarak sismik risk analizleri yapmış ve depremlerin tekrarlanma periyotları ile sismik çekincelerini belirlemiştirlerdir.

Özmen (2002), İstanbul kenti için yaptığı deprem senaryosu çalışmasında, kentsel deprem senaryolarının hazırlanmasında depremsellik ve mikro-bölgelendirme çalışmaları, hasar görebilirlik belirlemeleri ile deprem risk senaryolarının bir arada etüt edilmesi gerektiğini vurgulamıştır. Yazar bu çalışmasıyla bölgede meydana gelebilecek senaryo deprem ile İstanbul'un farklı semtlerinde meydana gelecek ağır, orta, hafif hasarlı bina sayılarını da ortaya koymuştur.

Tepeuğur ve Kaplan (2002), Hatay ve çevresinin depremselliğinin belirlemeye yönelik yapmış olduğu çalışma ile tarihsel ve aletsel dönem deprem kayıtlarını incelemiş, deprem sayıları ve depremde açığa çıkan enerji miktarlarının incelenen yıllar içerisindeki dağılımlarını belirtmiştir. Depremlerin en fazla 1071, 1986 ve 1998 yıllarında meydana geldiğini belirterek Ceyhan-Karataş fayının deprem oluşumlarında en önemli rolü oynadığını belirtmiştir.

2.6. Hidrojeoloji Çalışmaları

Abacı (1997), Adana ili yer altı suyu kalitesini belirlemeye yönelik olarak yaptıkları çalışmada suyun içme ve kullanma açısından uygunluğunu ortaya koymuştur. Çalışmadan elde edilen verilerle tuzluluk, alkalinite, sodyum absorbsiyon oranı ve Mg tehlikeleri belirlenerek suyun sulama suyu olma özellikleri incelenmiştir.

Abacı (1997) tarafından yapılan bir diğer çalışma ile Adana ovasının hidrojeolojik koşulları tanımlanmış ve özellikle yer altı suyu kalitesi ile kirlilik potansiyeli araştırılmıştır.

Çobanoğlu (2001), Adana ili Yüreğir ilçesi için yapmış olduğu çalışmada, bu bölgede yer alan birimlerin hidrojeolojik özelliklerini incelemiş ve bölgenin yeraltı su tablası haritasını çıkararak, su kalitesinin belirlenmesine yönelik su kimyası çalışmaları yapmıştır. Elde edilen verilere göre bölgedeki suların hafif ve orta sert su sınıfında ve içilebilirlik diyagramına göre ise içilebilir sular sınıfında oldukları ifade edilmiştir. Çalışmada, suların kimyasal özelliklerinin tarımsal amaçlı ve endüstriyel alanlarda kullanım özellikleri de araştırılmıştır.

İzcankurtaran (2003), Yüreğir bölgesinin hidrojeolojik incelemesini yaparak bölgenin hidrojeolojik durumunu ve suların kimyasal özelliklerini belirlemeye çalışmıştır. Çalışmacı, kimyasal analiz sonuçlarını kullanarak suları Piper, Schöller ve Stiff diyagramlarını kullanarak sınıflandırılmış ve yorumlamıştır.

2.7. Coğrafi Bilgi Sistemi ve Bölgelendirme Çalışmaları

Ondrasik ve diğ. (1992), Çekoslovakya'nın Danube şehri için mühendislik jeolojisi ve sismik özellikleri bünyesinde bulunduran bir mikro-zonlama çalışması yapmışlardır. Bu çalışmada zemin türlerindeki farklılıklarla birlikte bina tiplerini de çalışma kapsamına almıştır.

Ayday (1993), Ankara ili için yerleşimin yoğun olduğu kuzey-orta kısımlarındaki 20 km²'lik bir alanı ele alarak ve daha önceden elde edilmiş mühendislik jeolojisi verileri kullanarak coğrafik bilgi sistemi ile 1/50.000 ölçekli mühendislik jeolojisi haritaları oluşturmuştur. Çalışmada kaya kütelerinden alınmış süreksızlık ölçümlerinin yer aldığı aynı ölçekli bir süreksızlık haritası da ortaya konmuştur.

Doroudan ve diğ. (1996), "Development of 3- Dimensional Geotechnical Data Base for Los Angeles Seismic Microzonation" isimli çalışmalarında bir bölgeye ait zeminlerin tabakalanma durumlarını, fiziksel ve mekanik özelliklerini, SPT-N darbe sayılarını ve kayma dalgası hızlarını coğrafi bilgi sisteminde 3 boyutlu olarak analiz edip sismik mikro-bölgelendirme yaparak sonuçları daha önceden karşılaşılan yapısal hasarlarla korele etmişlerdir.

Luzi ve Pergalani (1996), "Applications of Statistical and GIS Techniques to Slope Instability Zonation, Soil Dynamics and Earthquake Engineering" isimli makalelerinde coğrafi bilgi sistemini kullanarak çalışıkları bölgenin statik ve dinamik durumları için şev stabilitesi analizleri yapmıştır.

Güllü ve diğ. (1998), Afyon'un Dinar ilçesinde 1995 depreminden sonra yapılan arazi deneylerinden elde edilen mikrotremor ve sondaj verileri ışığında eşdeğer kayma dalgası hızlarını hesaplayarak elde ettikleri büyütme katsayılarına göre coğrafi bilgi sistemini kullanarak zemin büyütmesinin Dinar sınırları içindeki değişimini incelemiştir. Bu sayede ilçe için farklı bölgelendirme haritaları ortaya koymuşlardır.

Koikis ve Sabatakakis (2000), "Engineering geological environment of Athens, Greece" isimli çalışmalarında Atina (Yunanistan) şehrinin mühendislik jeolojisini inceleyerek yerleşim amaçlı planlamalara esas teşkil edecek bir jeoteknik veri tabanı oluşturmuşlardır. Bölgede yer alan birimleri 11 gruba ayırarak, bu birimlere ait jeoteknik özellikleri belirlemiştir. Elde etmiş oldukları jeoteknik verilere göre üniteler oluşturarak bir mühendislik jeolojisi zonlama haritası ortaya koymışlardır.

Lav (2001), tarafından yapılan çalışma ile Eski İstanbul'da zemin büyütme özelliklerinin coğrafi dağılımı, en büyük ivme değerleri 0.25-0.35 g aralığındaki depremler için oluşturulmuştur. Çalışmada yüksek plastisiteli zeminlerin bünyelerinde büyük kahci deformasyonlar oluşturmadan kayma deformasyonları yapabildikleri belirtilerek bunun incelenen bölge zeminleri ile ilişkisi de ele alınmıştır. Zemin büyütme fonksiyonlarının belirlenmesinde SHAKE bilgisayar yazılım programı kullanılmıştır.

Nas ve Berkay (2001), Konya kenti için yaptıkları çalışmada su sondaj kuyusu verilerini kullanarak bölge için yeraltı suyu sertlik haritası oluşturmuşlardır. Yazarlar yaptıkları haritaya göre, gelecekte açılacak kuyu yerlerinin daha uygun bir şekilde belirlenmesine yardımcı olmayı amaçlamışlardır. Verilerinin değerlendirilmesinde Arcview 3.2 ve Spatial Analyst 1.1 programlarından faydalanılmışlardır.

Nefeslioğlu ve diğ. (2001), yaptıkları çalışmalarıyla Kuzey Anadolu fayı'na 80 km uzaklığındaki Eskişehir ili için bir çalışma yapmışlar ve Eskişehir ilindeki zemin türlerini ve sıvılaşma potansiyellerini konik penetrasyon test cihazı ile belirlemiştir. Bu amaçla inceleme alanında yapılan 40 CPT deneyi sonuçlarına ait 495 katmandan alınan veriler incelenerek coğrafik bilgi sistemi ile değerlendirilmiş ve sıvılaşmaya aday bölgelerin haritaları oluşturulmuştur. Çalışma ile 2 m derinlik seviyesinde 0.57 km^2 ve 5 m derinlik seviyesinde 6.36 km^2 alanın sıvılaşma potansiyeli taşıdığı ortaya çıkarılmıştır.

Kumsar ve diğ. (2003) Denizli ili yerleşim alanı için JEO-BS adlı bir jeolojik ve jeoteknik bilgi sistemi oluşturmuşlardır. Sistem içerisinde topografik veriler, imar adalarına ait sınırların koordinatları, jeolojik ve tektonik bilgiler ile sondaj logları, jeoteknik parametreler gibi çeşitli veriler konulmuştur. Yazarlar elde etmiş oldukları verileri değerlendirerek yerleşime temel teşkil edecek uygunluk haritaları hazırlamışlardır.

Topal ve diğ. (2003), Bursa'nın Yenişehir yerleşim alanı için sismik tehlikeye yönelik bir mikro-bölgelendirme çalışması yapmışlardır. Bu amaçla kuyu loglarına ait bilgiler, zeminlerin indeks ve mekanik özellikleri, SPT test sonuçları ve yeraltı su seviye ölçümleri verilerini kullanmışlardır. Elde edilen veriler ve yapılan analiz bilgileri kullanılarak bölge 2 jeoteknik zona ayrılmıştır. Bunlardan kuzeydeki alanın killi zeminlerden oluştuğu ve yüksek şisme özelliği gösterdikleri, bu bakımından sığ temellerden kaçınılması gereği, güneydeki bölgenin ise kumlu ve killi birimlerden oluştuğu ve dinamik etkiler altında sıvılaşma tehlikesi taşıdığı belirlenmiştir.

3. MATERİYAL VE METOD

3.1. Materyal

Çalışma alanı başta Adana ili kent merkezi olmak üzere kent merkezi ile bağlantılı yakın çevreden oluşmaktadır. Arazi incelemelerinde çalışma alanını teşkil eden 1/25.000 ölçekli N 34 c3, N 34 c4, N 34 d3, O 34 b1, O 34 b2 ve O 34 a2 paftalarına ait 6 topografik haritadan faydalanyılmıştır. Ancak incelenen alan büyüklükleri paftalar içinde eşit olarak dağılmış durumda bulunmamaktadır. Bu konuda kısıtlayıcı etmen, yerleşim alanlarının yayılımları ve arazi inceleme olanakları olmuştur. Zira özellikle eski Adana olarak adlandırılan Güney Adana bölgesi, eski yapılaşmanın yaygın olması ve kentleşmenin kökenini oluşturmaması nedeniyle arazi çalışmalarına uygun olmayan bölgeleri oluşturmaktadır. Bu yüzden bu tür yerler ancak yapılan sondaj ve jeofizikli çalışmalar ve önceden o bölgede yapılmış etüt çalışmalarından elde edilen bilgilerle detaylı olarak incelenebilir hale gelmiştir. Yeni yapılaşmanın yaygın olarak geliştiği N 34 c4 paftası detaylı arazi incelemelerinin yapılabildiği ve alan olarak da en büyük çalışma bölgesini oluşturmaktadır.

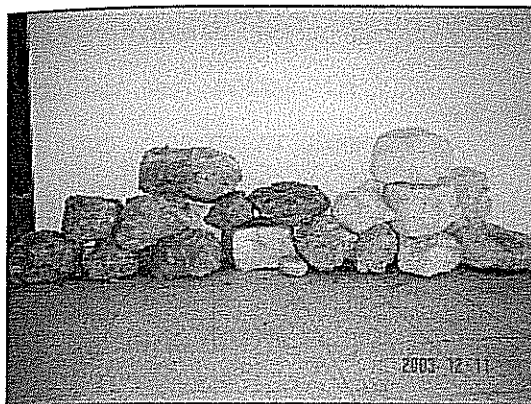
Arazi çalışmaları, yerleşim alanı içerisinde yer alan birimlere ait dokanakların sınırlarının ortaya konulması, yüzey kazısı, yarma veya doğal şev gibi örnekleme ve litolojik tanımlamaya uygun yerlerden örnekleme ve tanımlama işlemlerinin yapılması şeklinde yürütülmüştür. Bu aşamada incelenen lokasyonlardan alınan örselenmiş ve örselenmemiş deney numuneleri laboratuar ortamına taşınarak mühendislik özelliklerini belirlemeye yönelik çeşitli deneylere tabi tutulmuşlardır. Lokasyon ve dokanak noktalarının sonradan sayısal ortama taşınmasından dolayı nokta bazında koordinatlar GPS kullanılarak alınmıştır.

İnceleme alanında hem zemin ve hem de kaya özelliği gösteren materyalin bulunması nedeniyle örnek alım işlemlerinde farklılıklar bulunmaktadır. Arazide yerinde deney yapma imkanının olmadığı durumlarda mümkün olduğunda blok kaya numuneleri alınarak laboratuarda 42 mm ve 54 mm'lik karotlar haline getirilerek fiziksel ve mekanik özellikleri belirlemeye yönelik deneylere tabi tutulmuşlardır (Şekil 3.1a ve b).

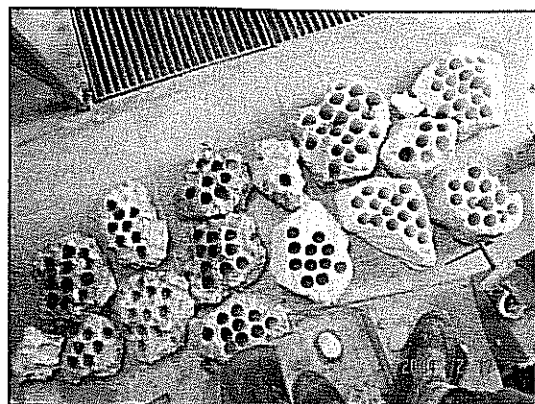
3.2. Metod

Çalışma, bölgede daha önceden yapılan verilerin toplanması ile arazi, laboratuar ve büro çalışmaları şeklinde yürütülmüştür. Yerleşim alanı içerisinde yer alan birimlerin özellikleri arasındaki farklılıklar yüzünden araştırma sırasında uygulanan analiz yöntemleri de

farklılıklar sunmaktadır. Bu kapsamda uygulanan çalışma yöntemi detaylı şekilde alt başlıklar halinde aşağıda sunulmuştur.



Şekil 3.1a. Karot alımı için araziden getirilen bazı blok örnekler.



Şekil 3.1b. Örneklerin karot alımından sonraki görünümü.

3.2.1. Mevcut Literatür İncelemeleri

Çalışma başlangıcından yazım aşamasına kadar, daha önce konuya ilgili yapılmış yayın, rapor ve tezler incelenmiştir. Bu amaçla özellikle yurt dışı içerikli internet sitelerinden de faydalanyılmıştır.

3.2.2. Topografik Haritaların Temini

Çalışmada Adana ili yerleşim yeri ve yakın çevresine ait 1/25.000 ölçekli topografik haritalardan faydalanyılmıştır. Arazi çalışmaları sırasında araziden elde edilecek veriler lokasyonları küresel konumlandırma sistemi (GPS, Global Positioning System) ile belirlenerek bu topografik haritalar üzerine işlenmiştir.

Kullanılacak uydu görüntüleri üzerindeki unsurların topografik haritalarla uyumlu olması için inceleme alanına ait 1/25.000 ölçekli topografik haritalar lisanslı Arcview 3.3 programı kullanılarak sayısallaştırılmıştır. Bu işlemler için Ç.Ü. Ziraat Fakültesi Toprak Bölümü Uzaktan Algılama Laboratuvarı kullanılmıştır.

3.2.3. Jeoloji Haritalarının İncelenmesi ve Yeni Jeolojik Haritanın Oluşturulması

Şimdiye kadar yapılmış jeolojik çalışmalarдан ve Maden Tetkik Arama Enstitüsü'nün 1/25.000 ve 1/100.000 ölçekli jeoloji haritalarından yararlanılmıştır. Ancak bir kısım yerlerde özellikle nokta belirlemede koordinatlar hassas bir şekilde belirleneceğinden mevcut olan jeolojik haritanın revize edilmesi işlemi de gerçekleştirilmiştir.

Çalışma alanı bir yerleşim yeri olduğundan ve dokanakların izlenip sınırların uzaktan ve gözle ayırt etme ile çizimi mümkün olmadığından bu çalışmada “*dokanak tamamlama*” yöntemi kullanılarak harita alımı gerçekleştirilmiştir. Dokanakların hassas olabilmesi amacıyla her veri noktası GPS ile sayısal koordinatlarıyla haritaya işlenerek sınırların geçerliliğinin daha doğru olması sağlanmıştır. Kaliş ve taraça birimleri içinde çeşitliliğin yanal yayılımdan ziyade düşey olarak değişmekte olmasından dolayı bu birimler sadece anılan adları ile haritalanabilmişlerdir.

3.2.4. Uydu Görüntülerinden Faydalananma

Adana Metropolitan alanına ait 30x30 m çözünürlüğündeki LANDSAT TM uydu görüntüleri kullanılmıştır. Çalışmada uydu görüntüleri yardımıyla yerleşim alanı gelişimi de inceleneceden bu görüntülerin eski (1992) ve en yeni (2002) olanları ayrı ayrı değerlendirilmiştir. Böylelikle yerleşimin eski ve yeni durumu ile ilgili bir karşılaştırma yapılmış ve alansal büyütükleri ile birlikte mevcut kent gelişiminin hangi jeoteknik unsurlar üzerinde gelişmekte olduğu ortaya konulabilmiştir. Bu yöntem kullanılarak birimlerin yansımaya karakteristiklerine bağlı olarak bölgeye ait eğitsizsiz (unsupervised) sınıflandırma haritası oluşturularak mevcut olan jeolojik harita ile denetirilmiştir. Bu çalışma sırasında yansımaya karakteristikleri yerleşim alanına ait yapısal donanımdan etkilenmiş olmalarından ötürü bu haritalama ile özellikle çiplak arazi yüzeylerinin bulunduğu alanlar incelenebilmiştir. Uydu görüntüleri ile ilgili çalışmalarda Ziraat Fakültesi Toprak Bölümü Uzaktan Algılama Laboratuvarı ve lisanslı Erdas Imagine 8.4 bilgisayar programından faydalanyılmıştır.

3.2.5. Jeoteknik Verilerin Temini

Bölgeyle ilgili jeoteknik veriler, şu ana kadar bu amaçla açılmış olan mevcut sondaj kuyusu bilgilerinden, yapılmış zemin etütlerinden, arazi çalışmaları kapsamında incelenen yüzey kazılarından ve **TÜBİTAK** bütçesi ile araştırma amaçlı olarak açılmış sondaj kuyuları ile yapılan jeofizik sismik ve özdirenç çalışmalarından elde edilmiştir. Bu konuda Bayındırlık İl Müdürlüğü, Seyhan Belediyesi, Yüreğir Belediyesi, Devlet Su İşleri, Köy Hizmetleri, İnşaat Mühendisleri Odası Adana Şubesi, Jeoloji Mühendisleri Odası Adana Şubesi, ASKİ ve özel olarak çalışan bazı mühendislik bürolarının araştırma verilerinden yararlanılmıştır. İnceleme alanının hidrojeolojik koşullarının da yapılan analizlerde kullanılmış olmasından dolayı bu durum ile ilgili veri ve analizler de değerlendirilip

yorumlanmıştır. Bu çalışma ile elde edilenler ve temin edilenlerle birlikte toplam 111 adet araştırma çukuru, 129 adet sondajlı zemin etüdü, 17 adet jeofizik sismik etüt, 16 adet rezistivite ölçümü, 96 adet yeraltı su seviye ölçümü ve 44 adet yeraltı suyu kimyasal analiz verisi değerlendirme aşamasında kullanılmıştır.

3.2.6. Arazi Çalışmaları

Elde edilen verilerle birlikte yapılacak laboratuar deneyleri için araziden örnek alımı yapılmıştır. Bu çalışmalarla özellikle yapışmanın yoğun olduğu alanlar üzerinde yoğunlaşılmıştır.

Arazi çalışmalarında örneklemeler özellikle yarma, yüzey kazıları (temel çukurları) ve doğal şeşlerden elde edilmiştir. Bu verilerin haritaya işlenmesinde lokasyon belirlemeye yarayan GPS cihazından faydalanılmıştır. Araziden veri elde edilecek her araştırma lokasyonu 1/25.000 ölçekli topografik harita üzerine işaretlenmiştir. Arazi çalışmaları sırasında sistematik örnek alım işlemleri gerçekleştirilmiş, bu örneklemeler sırasında farklı özelliklere sahip birimlerin ayrı edilmesi yönünde çaba sarf edilmiştir. İnceleme alanı içerisinde hem zemin ve hem de kaya türünden malzemeler bulunduğu için hem örnek alım ve hem de yapılan deney türleri farklılıklar sunmuştur. Taraça birimlerinde arazi Schmidt çekici deneyleri yapılırken imkan bulunmamış olmasından dolayı sert kaliş birimleri üzerinde laboratuar Schmidt sertlik deneyleri yapılmıştır. Zeminlerden örnek alımı örselenmiş ve örselenmemiş olmak üzere iki ayrı şekilde yapılırken taraça ve sert kaliş birimlerinden alınan blok numuneler üzerinde deneyler yapılmıştır.

Arazi çalışmaları kapsamında yapılan sondajlı etüt çalışmaları ve örnek alım işlemleri TS 1901 (1975) ile TS 5744 (1988), standardına göre gerçekleştirilmiştir.

3.2.7. Laboratuvar Çalışmaları

Çalışma alanından alınmış örselenmiş ve örselenmemiş örnekler üzerinde fiziksel ve mekanik özellikleri ortaya koymaya yönelik zemin ve kaya mekaniği deneyleri yapılmıştır. Özellikle mekanik parametreleri belirlemeye yönelik yapılan bazı deneyler (serbest basınç dayanımı ve kesme kutusu) için bölüm imkanları uygun olmadığından Alfa Zemin ve Beton Laboratuvarı laboratuar cihazlarından faydalanılmıştır. Deneylerin yapımı TS 1900 (1987), TS 699 (1987) ve ISRM (1981) standartlarına göre gerçekleştirilmiştir.

3.2.8. Uzaktan Algılama Çalışmaları

Uzaktan algılama, güneş ışınlarının herhangi bir yeryüzü objesine gelip yansımıası ve bu yansımıma değerlerinin bir algılayıcı tarafından sayısal olarak ölçüülerek değerlendirilmesi çalışmasıdır. Bu yansımıma değerleri farklı disiplin grupları tarafından farklı amaçlarla kullanılırlar. Zira bu değerler kaya türleri, mineral içerikleri, yüzeyin doygunluğu, bitki örtüsünün türü, su yüzeylerinin kirliliği, yapıların fiziksel konumları gibi farklı bir çok özellik hakkında bilgi verebilmektedirler.

Tarım ve ormancılık, haritacılık, arkeoloji, jeolojik araştırmalar ve arazi kullanımı, askeri ve stratejik araştırmalar gibi farklı amaçlara yönelik olarak Amerikan Havacılık ve Uzay Araştırmaları Merkezi (NASA) tarafından 1972 yılında başlatılan LANDSAT uydu projeleri uzaktan algılama çalışmalarının günümüzdeki teknolojik imkanlara kavuşmasına neden olmuştur. 30^*30 m hassasiyetinde olan bu görüntüler, fazla spektral (renk) özellikleri barındıran bantlardan oluştugundan, özellikle geniş alan kullanımı içeren mekansal işlemlerde yoğun olarak kullanılmaktadır.

Bu çalışmada kentsel gelişimin zaman içerisindeki değişiminin incelenmesi ve yeryüzü objelerinin bir arada görüntülenebilmesi amacıyla 1992 ve 2002 yıllarına ait 4., 3. ve 2. banda ait Landsat sayısal uydu görüntülerini kullanılmıştır.

3.2.8.1. Landsat TM Bantları

Landsat 7 uydusı farklı dalga boylarında yansımıma değerlerini algılama gücüne sahip 7 bant içermektedir. Bu bantlardan hangilerinin kullanılacağı yapılan çalışmanın amacına göre kullanıcı tarafından belirlenmektedir. Temel özellikleriyle bantlar ve belirgin özellikleri şunlardır;

1. Blue (Mavi Bant, $0.45-0.52 \mu\text{m}$ dalga boyu): Mavi renge, su yüzeylerine, nemli alanlara ve H_2O içeren minerallere hassastır. Su yüzeylerinin tespiti, toprak ve bitkilerin ayırt edilmesi, orman tiplerinin belirlemesi ve yapay materyallerin tespitinde kullanılır.

2. Green (Yeşil Bant, $0.52-0.60 \mu\text{m}$ dalga boyu): Yeşil renge hassastır. Bitki örtüsünün ve yapay materyallerin tespitinde kullanılır.

3. Red (Kırmızı Bant, $0.63-0.69 \mu\text{m}$ dalga boyu): Kırmızı renge ve demir içeren minerallere hassastır. Bitki türlerinin ayırt edilmesi, yapay materyallerin tespiti, toprak sınıfları ve jeolojik sınırların tespitinde kullanılır.

4. Near Infrared-NIR (Yakın Kızılıötesi Bant, $0.76\text{-}0.90 \mu\text{m}$ dalga boyu): Klorofile hassastır. Bitki örtüsünün tespitinde ve bitkilerin ayırt edilmesinde kullanılır. Toprak, bitki ve su yüzeyleri arasındaki farklılıklarını belirginleştirir.

5. Mid Infrared-MIR (Orta Kızılıötesi Bant, $1.55\text{-}1.75 \mu\text{m}$ dalga boyu): Organik topraklardaki hidroksil iyonuna, kalsit, siderit gibi karbonit minerallerine, bitkilerin içerdiği suya hassastır. Tarımsal ve jeolojik çalışmalarda, bulut, kar ve buzun ayırt edilmesinde kullanılır.

6. Thermal Infrared (Termal Kızılıötesi, $10.40\text{-}12.50 \mu\text{m}$ dalga boyu): Isı yayan materyallere hassastır. Suda kirlenme tespitinde, yerleşim-üretim alanlarının tespitinde kullanılır.

7. Mid Infrared (Kızılıötesi, $2.08\text{-}2.35 \mu\text{m}$ dalga boyu): Hidroksil iyonuna ve karbonat minerallerine hassastır. Jeolojik kaya formasyonları ve toprak sınıflarını tespit etmekte kullanılır.

Bu çalışmada uydu görüntülerini (4., 3. ve 2. bant) Erdas Imagine 8.4 bilgisayar programı kullanılarak zenginleştirilmiş ve unsupervised sınıflandırılmış görüntüler haline getirilerek yorumlanmıştır.

3.2.8.2. Uzaktan Algılama Sınıflandırma Yöntemleri

Uzaktan algılama yöntemiyle yeryüzünden olan yansımaların sayısal değerlerini kullanılarak yeryüzü objelerine ait sınıflandırmalar ve buna bağlı haritalar yapılmaktadır. Burada, görüntü içindeki yansımaların değerini içeren her piksel o noktaya ait bir sayısal değeri ifade eder. Bu yöntemlerde kullanılan sayısal görüntüye ait her bir piksel çeşitli algoritmalar yoluyla komşu piksellerdeki değerleri ile karşılaştırılır. Elde edilen yakınlık ve benzerlik bulguları kullanılarak pikseller birbirleri ile karşılaştırılarak gruplandırılırlar. Temelde kullanılan 2 tür sınıflandırma yöntemi bulunmaktadır;

1- Supervised (eğitimli- denetimli) sınıflandırma:

Bu sınıflandırmada analizcinin elinde sınıfı bilinen veriler bulunur. Bu veriler denetimi analizci tarafından yapılacak bir sınıflandırmanın olmasını sağlar.

2- Unsupervised (eğitsiz -denetimsiz) sınıflandırma:

Bu sınıflandırmada ise analizcinin elinde sınıfı bilinen veriler bulunmaz. Bu nedenle bu sınıflandırmada sadece aynı sınıfa ait piksel değerlerinin birbirleri ile benzeştirilerek kümelenmesi sağlanır. Analizcinin doğrudan müdahale edebilecek bir girişimi olmamaktadır. Sadece oluşturulacak kümeye (sınıf) sayısının amacına uygun olarak seçilmesini ve haritada kullanılacak renk kombinasyonlarının belirlenmesi şeklinde bir tercih yapılmaktadır.

3.2.9. Coğrafi Bilgi Sistemi Çalışmaları

Coğrafi bilgi sistemleri önceleri çeşitli amaçlarla hazırlanmış haritaların bilgisayar ortamlarında saklanması amacıyla oluşturulmuş fakat sonraları konu gruplarına ait olarak farklı verilerin hem grafik ve hem de sözel bilgiler şeklinde depolanmasını ve sorgulanmasını sağlayan genel amaçlı ve kapsamlı bir yazılım ve donanım sistemi haline gelmiştir. Bu sistemin bir özelliği de farklı veri gruplarına ait bilgilerin (yollar, göller, eş yükselti eğrileri, yerleşim alanları, ormanlık alanlar vb.) katmanlar halinde alt alta program içinde tutulabilmeleridir.

3.2.9.1. Coğrafi Bilgi Sisteminin Yararları

Coğrafi Bilgi Sistemi ile ilgilenen farklı sektör ve kuruluşlar sistemin kendi konularına getirebileceği yararlardan faydalama amacını güderler. Günümüzde coğrafik elemanların kullanıldığı her meslek kolu için farklı ölçekli topografik haritaların büyük bir önemi vardır. Böylesi öneme sahip bilgileri içeren ve boyutsal olarak oldukça fazla yer kaplayan paftaların uzaydaki gerçek koordinatları ile bir bilgisayar ortamına taşınarak kullanılabilir hale getirilmesi her şeyden önce büyük bir işlem kolaylığı sağlayacaktır. Genel hatları ile ele alınındıklarında CBS sistemlerinin yararlarını maddeler halinde şu şekilde özetleyebiliriz;

- Veri üretimi ve üretilen verilerin sürekli güncelleştirilebilmeleri mümkün olabilmektedir. Bu işlemler için sonradan bir masrafa gerek duyulmaz.
- Veri üretimi zamandan büyük tasarruf sağlar.
- Sistem maddi açıdan olduğu gibi insan gücü açısından da tasarruf sağlar.
- CBS sayesinde sistemi kullanan kişi hataları daha kolay fark eder ve gereken düzeltmeleri yaparak olumsuzlukları ortadan kaldırabilir.
- Farklı disiplin grupları arasında ortak kullanımının olabilirliğini sağlayarak efektif kazanç elde edilmesine yardımcı olur.

3.2.9.2. Coğrafi Bilgi Sisteminin Bileşenleri

Coğrafi Bilgi Sistemleri teknolojik açıdan farklı bileşenlerden meydana gelmektedir. Bileşenlerin sayısı ve çeşitliliği sistemin özelliklerine bağlıdır. Genel hatlarıyla CBS sistemlerinde verilerin depolanması, işlenmesi, güncellenmesi, sunulması ve analiz edilebilir olması gereklidir. Bu genel özelliklerin yerine getirilmesinden ise teknolojik imkanlar

sorumludurlar. Bu amaçla üretici firmalar tarafından çeşitli donanımlar ve yazılımlar geliştirilerek kişilerin kullanımına sunulmuşlardır. Genel olarak bir CBS'nin kullanılabilir olması için gerekli temel elemanlar şu şekilde sıralanabilir;

- 1- Coğrafi tabanlı veriler
 - Grafiksel (konumsal) veriler
 - Grafik olmayan (özniteliksel) veriler
 - Topolojik veriler
- 2- CBS için uygun olacak bir donanım (bilgisayar, tarayıcı, sayısallaştırıcı, yazıcı vb.)
 - Veri giriş elemanları (sayısallaştırıcılar)
 - Veri depolama elemanları (disket, cd, flashdisk vb.)
 - Veri işleme elemanı (bilgisayar işlemcileri)
 - Veri sunuş elemanları (çizici-plotter-, printer)
- 3- CBS için üretilmiş bir yazılım (Arc/Info, ArcView, ErMapper, Cad-GIS, Tigris vb.)
- 4- Sistemin kullanımı için bu konuda eğitim görmüş personel.

Bu çalışmada kapsamında elde edilen veriler farklı alanlarda değerlendirebilmek amacıyla coğrafi bilgi sistemine aktarılmıştır. Bu amaçla Ziraat Fakültesi Toprak Bölümü Uzaktan Algılama Laboratuvarı bünyesinde bulunan lisanslı Arcview 3.3 coğrafik bilgi sistemi ve ilgili modülleri (Spatial Analyst 1.0a) kullanılmıştır.

3.2.10. Elde Edilen Verilerle İlgili Analizlerin Yapılması

Elde edilmiş veriler kullanılarak, incelenen bölge için kayma dalgası hızları, farklı derinliklere bağlı olarak zemin özdirenç değerleri, zemin hakim titreşim periyotları, zemin büyütmeleri, SPT-N ve bazı fiziksel ve mekanik zemin parametreleri ile ilgili değerlendirmelerde bulunulmuştur. Hidrojeolojik çalışmalarla ilgili olarak su sondaj kuyusu verilerine ait kimyasal analiz sonuçları ve bunlardan elde edilen bazı parametreler kullanılarak sertlik, EC, pH, SO₄ haritaları oluşturularak yorumlanmıştır.

3.2.10.1. Kayma Dalgası Hızlarının Belirlenmesi

Zeminin dinamik etkiler altındaki davranışını belirlemeye yönelik olarak kullanılan parametrelerden en önemli zemin veya kayanın kayma dalgası yani S dalgası hızı (Vs) parametresidir. Bu parametre jeofizik sismik yöntemlerle doğrudan veya çeşitli

araştırmacıların önermiş oldukları empirik bağıntılarla SPT-N değerlerinden dolayı olarak bulunabilmektedir.

3.2.10.2. Sıvılaşma Risk Analizlerinin Yapılması

Jeoteknik mühendisleri 1964 Nigata ve Alaska depremlerinden sonra bu konu ile ilgili detaylı incelemelerde bulunmuşlardır. Bu çalışmalar sıvılaşmanın olduğu zemin ve deprem koşullarının belirlenmesini sağlamıştır. Sıvılaşma esas olarak aşağıda sıralanan tüm kriterlerin sağlanması durumunda meydana gelebilmektedir,

- Zemin kohezyonsuzdur
- Zemin suya doygundur
- Zemin gevşektir
- Zeminde belirli bir süre devam eden belirli bir şiddette deprem hareketi vardır
- Zemin hareketi drenajsız zemin koşullarını ortaya çıkarır.

Sıvılaşmaya neden olan ana etkenleri aşağıdaki şekilde ifade etmek mümkündür;

- a- Depremin büyüklüğü
- b- Deprem kaynağına olan uzaklık
- c- Yeraltı su seviyesi
- d- Rölatif sıkılık
- e- Zeminin ince tane yüzdesi
- f- İnce tanelerin plastisitesi
- g- Ortalama tane çapı
- h- Aşırı konsolidasyon oranı

Sıvılaşma analizlerinde kullanılan çeşitli kriterler bulunmaktadır. Bunlar şu şekilde sıralanabilir;

- 1- Eşik İvme Kriteri
- 2- Devirsel Kayma Gerilmesi Kriteri (Seed ve Idriss., 1971)
- 3- Sıvılaşma İndisi Kriteri
- 4- Kumların Rölatif Sıkılıklarının İrdelenmesi
- 5- Boşluk Suyu Basıncı Artış Oranı
- 6- Tane Boyu Dağılımı
- 7- Kritik Boşluk Oranı
- 8- SPT verileri

Sıvılaşma analizlerinde “*Devirsel Kayma Gerilmesi Kriteri*” ya da “*Devirsel Kayma Oranı*” isimleri ile bilinen yöntem kullanılmıştır. Bu amaçla sıvılaşması muhtemel lokasyonlar aranmış ve belirlenenler üzerinde adı geçen yöntem kullanılarak risk analizleri yapılmıştır.

Seed ve Idriss, (1971) tarafından oluşturulan ve yaygın olarak kullanım bulan “*Devirsel Gerilme Oranı Kriteri*” sıvılaşmaya karşı bir güvenlik sayısı önermektedir. Buna göre güvenlik sayısı ;

$$\boxed{F_s = \frac{\tau_s}{\tau_o}} \quad (3.1)$$

bağıntısı ile ifade edilmektedir. Burada;

τ_s = sıvılaşan zemin için devirsel kayma gerilmesi,

τ_o = deprem tarafından üretilen kayma gerilmesi değerleridir.

Bu kriterde de sıvılaşma rıskı güvenlik sayısının 1'den küçük yada büyük olmasına göre irdelenir.

$F_s \leq 1$ \Rightarrow kolay sıvılaşabilir

$1 < F_s \leq 1.2$ \Rightarrow potansiyel sıvılaşabilir

$F_s > 1.2$ \Rightarrow sıvılaşma olmaz, şeklinde yorum yapılır.

Bu kriterle verilen eşitlik zemin tabakasının derinliğini, yeraltı suyu konumunu ve deprem şiddetini dikkate almış olmasından ötürü önem kazanmaktadır.

Araziden elde edilmiş veriler de kullanılarak elde edilmiş devirsel kayma gerilmesi oranı aşağıdaki eşitlik kullanılarak belirlenebilmektedir;

$$\boxed{\frac{(\tau_o)_{ort}}{\sigma_o^{-1}} = \frac{a_{max}}{g} * \frac{\sigma_v}{\sigma_o^{-1}} * r_d} \quad (3.2)$$

Bu bağıntıda;

$\frac{(\tau_o)_{ort}}{\sigma_o^{-1}}$ = deprem tarafından oluşturulacak devirsel kayma gerilmesi oranı

a_{max} = zemin yüzündeki maksimum ivme

σ_v = incelenen derinlikteki düşey toplam gerilme

σ_o^{-1} = incelenen derinlikteki düşey efektif gerilme

r_d = gerilme indirgeme faktörü = $1 - 0.015 z$

r_d gerilme indirgeme faktörü zemin yüzeyinde 1 olup zemin yüzeyinden 10 m derinlikte 0.9 değerine sahip olmaktadır. Devirsel kayma gerilmesi oranı (α) devirsel kayma gerilmesinin $(\tau_v)_{ort}$ efektif düşey gerilmeye (σ_v') oranı şeklinde ifade edilmektedir.

Daha önce meydana gelmiş depremlerden elde edilen düzeltilmiş SPT direnci (N_1) değerlerine karşılık belirlenmiş devirsel gerilme oranları kullanılarak sıvılaşmaya karşı riskli alanların belirlenmesi için bir abak geliştirilmiştir.

Şekil 3.2'deki abakta N_1 penetrasyon direnci 10 t/m^2 'lik efektif düşey gerilmeye göre düzelttilerdir. Bu düzeltme için;

$$N_1 = C_N * N \quad (3.3)$$

bağıntısı kullanılmaktadır.

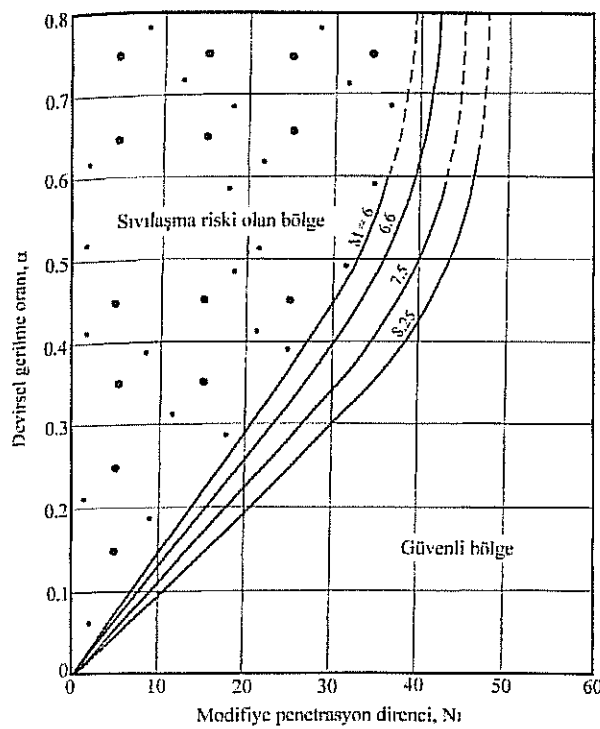
Bu bağıntıda C_N değeri incelenen derinlikteki efektif düşey gerilmenin fonksiyonu olup aşağıdaki bağıntıdan bulunmaktadır;

$$C_N = 0,85 * \log\left(\frac{145}{\sigma_v'}\right) \quad \sigma_v' = \text{t/m}^2 \quad (3.4)$$

Bu yöntem kullanılarak yapılacak hesaplama basamakları şöyle sıralanabilir;

- 1- Devirsel kayma gerilmesi eşitliği kullanılarak $(\tau_v)_{ort}$ değeri belirlenir.
- 2- Efektif düşey gerilmesinin belirlenmesinden sonra C_N düzeltme faktörü yukarıda bahsedilen ilgili bağıntı kullanılarak bulunur (bunun için oluşturulmuş bir abak da bulunmaktadır).
- 3- $N_1 = C_N * N$ bağıntısı kullanılarak düzeltilmiş SPT direnci belirlenir.
- 4- Devirsel gerilme oranı (α), deprem magnitüdü ve N_1 değerine bağlı olarak Şekil 3.2'den belirlenir.
- 5- Devirsel gerilme oranı (α), eşitliğinden zeminin devirsel kayma gerilmesi (τ_s) bulunur ve ardından $F_s = \tau_s / \tau_v$ bağıntısı kullanılarak güvenlik katsayısı belirlenir.

Sonuçta, $F_s > 1$ için sıvılaşma potansiyelinin olmadığı ve $F_s \leq 1$ için yüksek sıvılaşma riski bulunduğu sonucuna varılır.



Şekil 3.2. Devisel gerilme oranı ve penetrasyon direncine bağlı olarak sivilasca riskinin belirlenmesi (Seed ve Idriss, 1971).

3.2.10.3. Zeminin Şişme Potansiyelinin Belirlenmesi

Yüksek plastisiteli zeminler tane yapılarına, kıl mineralinin türüne ve miktarına, doğal su muhtevasına ve boşluk oranı değerlerine bağlı olarak hacim değişimleri gösterirler. Bu tür zeminler su ile temaslarında duraylı yapılarını kaybederek bazı olumsuz davranış şıkları gösterirler. Bunlara genel olarak “problemli zeminler” denilmektedir. İklimsel su muhtevası değişimlerine bağlı olarak hacimsel değişim gösteren plastik killar şisen kıl olarak tanımlanmaktadır. Bu tür zeminler kuruduklarında büzülürler ve islandıklarında şiserler.

Bu çalışmada şişme deneyleri sadece Handere Formasyonu’na ait killar (Handere-Kili) için yapılmış ve incelenen lokasyonlar için şişme dereceleri ile ilgili değerlendirmelerde bulunulmuştur. Şişme deneyleri “serbest şişme”, “düzeltilmiş (modifiye) serbest şişme” ve “konsolidasyon cihazında tek boyutlu şişme” olarak gerçekleştirilmiştir.

3.2.10.4. Zemin Taşıma Gücü Analizleri

Zemin taşıma güçleri zemine ait parametreler olduğu kadar bina tipi ve boyutlarına da bağlıdır. Taşıma güçleri ile ilgili analizlerin yapılması ve elde edilen verilerin birlikte değerlendirilebilmeleri amacıyla her veri noktası için aynı olacak bir model oluşturulmuştur. Hesaplamaların tamamında Terzaghi ve Peck (1967) temel taşıma gücü (q_{surr}) bağıntısı kullanılmıştır. Hesaplamalar Excel program kodları kullanılarak oluşturulmuş bir bilgisayar

programı yardımı ile yapılmıştır. Programda temel tipi verisi girildiğinde temel şekil katsayıları (k_1 , k_2) ve aynı şekilde içsel sürtünme açıları girildiğinde taşıma gücü katsayıları (N_c , N_q , N_r) otomatik olarak bağıntılardaki yerlerini almaktadır. Zemin emin taşıma gücü (q_{emin}) net taşıma gücünün (q_{net}) bir güvenlik katsayısına (G_s) bölünmesiyle bulunmuştur. Emín taşıma yükü de (Q_{emin}) emin taşıma gücünün temel genişliği (B) ve temel uzunluğu (L) ile çarpılmasıyla elde edilmiştir;

$$q_{simir} = k_1 \cdot c \cdot N_c + \gamma \cdot D_f \cdot N_q + 0,5 \cdot \gamma \cdot B \cdot N_r \quad (3.5)$$

$$q_{net} = q_{simir} - (\gamma \cdot D_f) \quad (3.6)$$

$$q_{emin} = q_{net} / G_s \quad (3.7)$$

$$Q_{emin} = q_{emin} * (B \cdot L) \quad (3.8)$$

Şekil 3.3. taşıma güçleri ile ilgili analizlerin yapılmasında kullanılan Excel formatında oluşturulmuş bilgisayar programı ekran görüntüsü ile girdi ve çıktı parametrelerini göstermektedir.

TEMELE AİT VERİLER			TAŞIMA GÜCÜ PROGRAMI		
Temel tipi		Birimler			
Koefisyon	6	t/m ²			
\emptyset	0	Derece			
B.h.a.	1,944	t/m ³	ZEMİN TAŞIMA GÜCÜ BİLGİLERİ		
D_f	3	m	$qsınır =$	44,592 t/m ²	4,4592 kg/cm ²
B	2	m	$qemin =$	14,864 t/m ²	1,4864 kg/cm ²
L	3	m	$Qemin =$	89,184 t	89184 kg
G_s	3		$qnet =$	38,76 t/m ²	3,876 kg/cm ²

Şekil 3.3. Zemin taşıma güçlerinin hesaplanması sırasında kullanılan bilgisayar programının girdi ve çıktı bilgileri.

Hesaplamlarda, tüm veri noktalarının birlikte değerlendirilebilmesi için temel tipi ve boyutlarına ait parametreler her veri noktası için aynı seçilmiştir. Bu amaçla zemin yüzeyinden 3 m derinlikte 2x3 m boyutlarında dikdörtgen şekilli bir temel model alınmıştır. Hesaplamların tamamında güvenlik katsayısı 3 olarak alınmıştır. Temel tipi dikdörtgen olduğu için temel şekil katsayıları da her veri noktası için aynı olmuştur. Hesaplamlarda kullanılan taşıma gücü eşitliği, oturma hesapları ile ilgili eksikliklerden dolayı oturmalar açısından ayrıca değerlendirilmemiştir. Dolayısıyla bahsedilen taşıma gücü değerleri zemine ait genel taşıma gücü değerleridir.

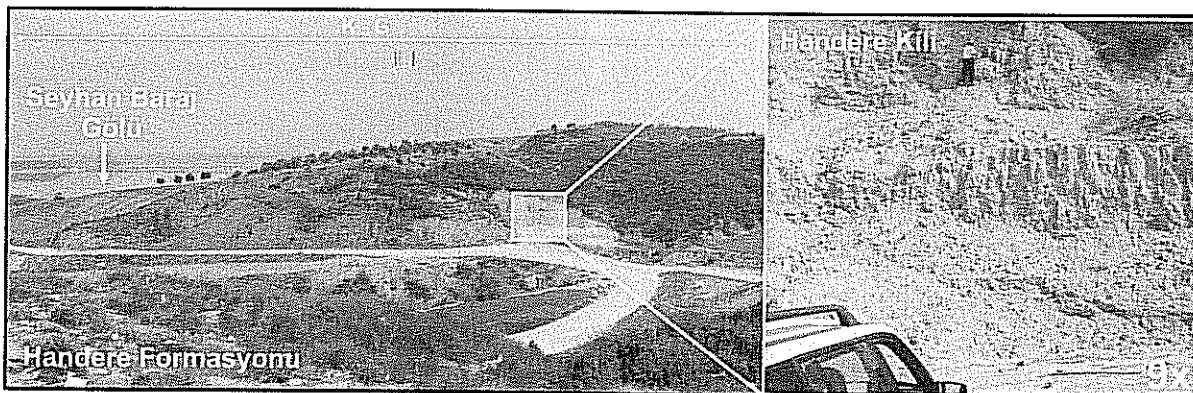
4. ARAŞTIRMA BULGULARI

4.1. Genel Jeoloji

Çalışma alanının da içerisinde bulunduğu geniş bir bölgenin jeolojisi çeşitli araştırmacılar tarafından detaylı olarak çalışılmıştır. Bu bakımdan bu bölümde sadece incelenen alan içerisinde yer alan birimlerin jeolojik özelliklerine degnişmiş ve bu çalışma kapsamında çizilen yeni jeoloji haritası sunulmuştur. Önceki araştırmacılarca ortaya konulanlarla birlikte yapılan arazi çalışmalarına ait bilgiler de bu bölümde yer almaktadır. İnceleme alanında yer alan en yaşlı birim Üst Miyosen – Pliyosen yaşı Handere Formasyonu'dur. Handere Formasyonu'nun üzerine Kuvaterner yaşı Taraça ve Kaliş birimleri gelmektedir. Tüm bu birimleri ise genç alüvyon çökelleri üstlemektedir.

4.1.1. Handere Formasyonu

Formasyon niteliğinde ilk olarak Schmidt (1961) tarafından adlandırılan birim Adana ili yerleşim alanı kuzeyinde geniş yayılım sunmaktadır. Bu yayılım çalışma alanı içerisinde de verdiği geniş mostralalarla dikkat çekmektedir. Birimin esas olarak çakıltaşı, kumtaşı ve silttaşından olduğu bildirilmiş ve birime Üst Miyosen – Pliyosen yaşı verilmiştir (Schmidt, 1961). Birimin kalınlığı Yetiş ve Demirkol (1986) tarafından 120 – 700 m olarak bildirilmiştir. Seyhan ilçesinde yeni yapışmanın olduğu Kuzey Adana bölgesinde Seyhan baraj gölü güney sahili boyunca ve doğu-batı uzanımında geniş bir yayılım sunmaktadır (Şekil 4.1).

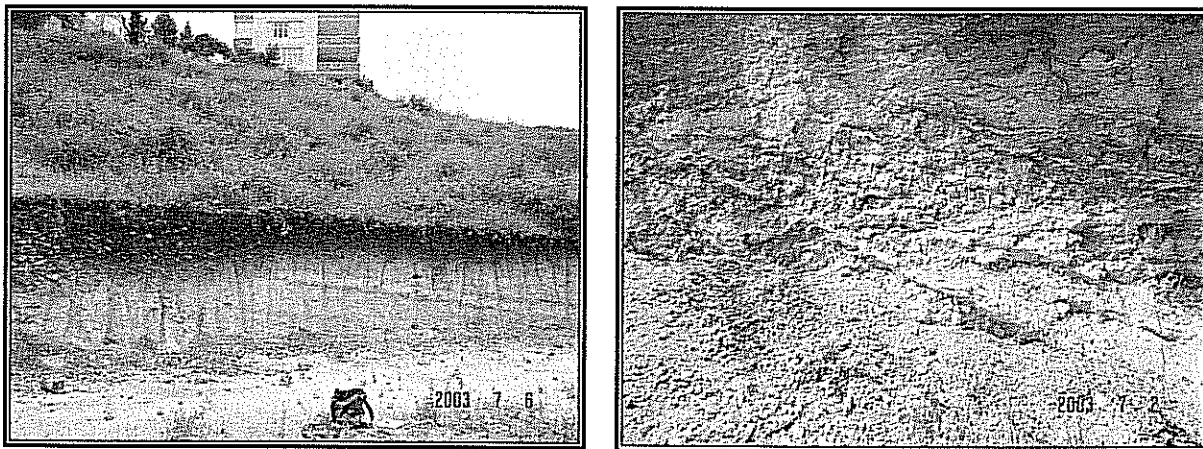


Şekil 4.1. Handere Formasyonu'nun (Handere kili) inceleme alanındaki genel görünümü ve incelenen bir yarma.

Birim, inceleme alanı içerisinde geniş yayılım sunan Kuvaterner yaşı taraça, kaliş ve alüvyon çökelleri ile örtülmektedir. Ortam olarak Handere Formasyonunun tabandan tavana

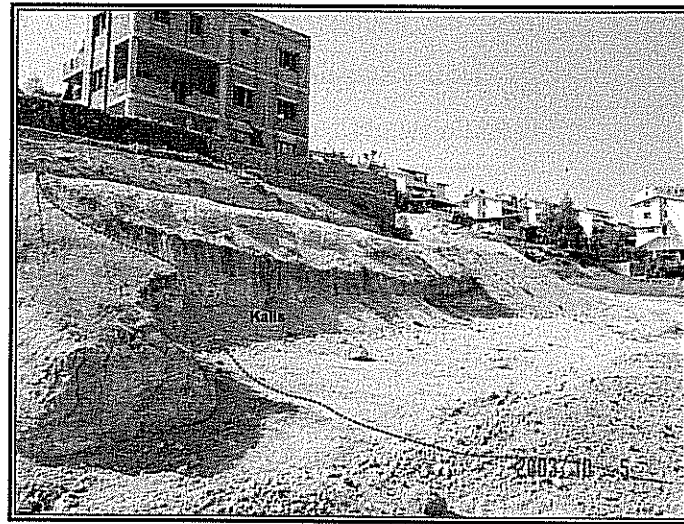
doğru sığ deniz, akarsu ve göl ortamlarını karakterize eden istifler sunduğu bildirilmiştir (Yetiş ve Demirkol, 1986).

Birden fazla litolojik birim içeren Handere Formasyonu'nun inceleme alanı içerisinde baskın olarak yüksek ve düşük plastisiteli kil grubundaki ince taneli malzemelerden oluşturukları tespit edilmiştir. Bu bakımdan çeşitli araştırmacılarca "*Handere Kili*" adıyla tanımlanan adın özellikle Adana ili yerleşim alanı için daha uygun olacağı düşünülmüştür. Zira inceleme alanı içerisinde yayılım sunan birimin geneline yakını kil, kilitası ve silt türündeki ince taneli malzemelerden oluşmaktadır. Bu bakımdan Handere Formasyonu'na ait mühendislik özelliklerinin incelenmesinde birim için "*Handere Kili*" adının kullanılması tercih edilmiştir. Birim, arazide genellikle açık kahverengi, bej ve sarımsı renklerde yayılım sunmaktadır. Sarımsı renkte görünüm sunan birim içerisinde kum ve silt boyutundaki malzeme miktarı daha fazla olup kil miktarı oldukça azalmaktadır. Birim inceleme alanında 80-120 metreler arasında yükseltilere sahip topografayı oluşturmaktır ve bu özelliği ile daha yüksek rakımdaki alanları kaplamaktadır. Handere Formasyonu içerisinde yer alan tabakalanmanın genel olarak $5-10^{\circ}$ GD eğimli oldukları belirlenmiştir. Ancak kaliş ile dokanakta bulunduğu kesimlerde ve kimi yerlerde mercek ve kama şekilli tabakalanmalar nedeniyle eğimlerde değişiklikler olabilmektedir (Şekil 4.2.)



Şekil 4.2. Handere Formasyonuna ait kilitleri içerisinde gözlenen eğimli tabakalar ve kama şekilli çapraz tabakalar.

Handere Formasyonu inceleme alanının kuzeyinde doğrudan kaliş birimi ile dokanak sunmaktadır (Şekil 4.3). Kalişin, bazı kısımlarda Handere Formasyonuna ait litolojiler içinde gelişmiş olması da bu dokanak ilişkisi nedeniyledir.



Şekil 4.3. İnceleme alanı kuzeyinde görülen Handere Formasyonu, kaliş dokanağı.

4.1.2. Taraça

Taraça çökellerinin Adana havzası içinde esas olarak iki tür malzeme sundukları daha önceki çalışmalar tarafından bildirilmiştir (Yetiş ve Demirkol, 1986). Nehir taraçalarının 50 m kadar kalınlığa eriği ifade edilmiştir (Schmidt, 1961). Birim Adana ili yerleşim alanları içerisinde Seyhan baraj gölünün batısında doğu-batı ve doğusunda kuzeydoğu-güney batı uzanımında yayılım sunmaktadır. Taraça biriminin üzerine Adana ovasının güncel alüvyon çökelleri gelmektedir.

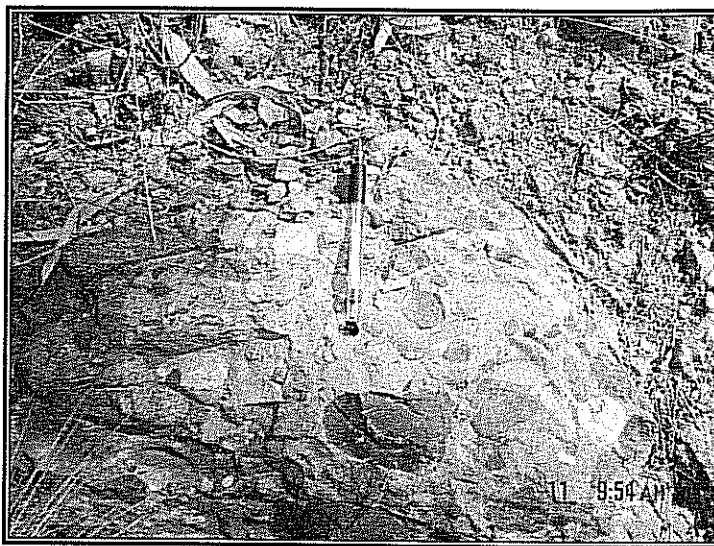
İnceleme alanı içerisinde esas olarak 3 tip taraça malzemesinin var olduğu bu çalışma sırasında yapılan arazi incelemeleri ile ortaya konmuştur. Bunlardan ilki, sıkı tutturulmuş, kil ve kum boyutu malzemenin daha az olduğu kompakt, dayanımı yüksek kaya özelliği gösteren taraçalardır, ikinci tip taraça malzemesi ise daha gevşek tutturulmuş, kil ve kum boyutu malzeme miktarı daha fazla ve nispeten daha düşük dayanımlıdır. Üçüncü tip ise karışmış taraçadan oluşmaktadır. Bu grupta diğerlerinden farklı olarak yaygın bir karış oluşumu ve karış birimine ait karbonatlı kesimler görülmektedir. Karıştırma neticesinde bu taraçalarda taraça özelliği kısmen yok olmakta, özellikle karbonat içeriği yüksek olan blok ve çakıl boyutundaki malzemelerde dayanım özellikleri tamamen kaybolmaktadır. Bu ise birim içerisinde kısmen ayırmaya bağlı kum boyutu malzeme miktarının artmasına neden olmaktadır. Bu tür taraçalarda birimin alta dayanımı yüksek 1. grup taraçalara geçişin olduğu gözlenmiştir. Tespit edilen taraça türlerinin düzensiz yayılımları, bir lokasyonda birden fazla türün aynı anda görülebilmesi nedenleriyle taraça biriminin alt türleri haritalanamamıştır. Taraça malzemesinin özellikleri ile ilgili tanımlamalar ancak lokasyon bazında ele alınabilmiştir.

Taraça birimi de Handere Formasyonuna ait ince taneli malzemeler gibi yüksek rakımlı topografyaya sahip bir morfolojiyi oluşturmaktadır. Birim Seyhan baraj gölü batısında göl kıyısı boyunca yüksekliği fazla olmayan diklikler oluşturmaktadır (Şekil 4.4).

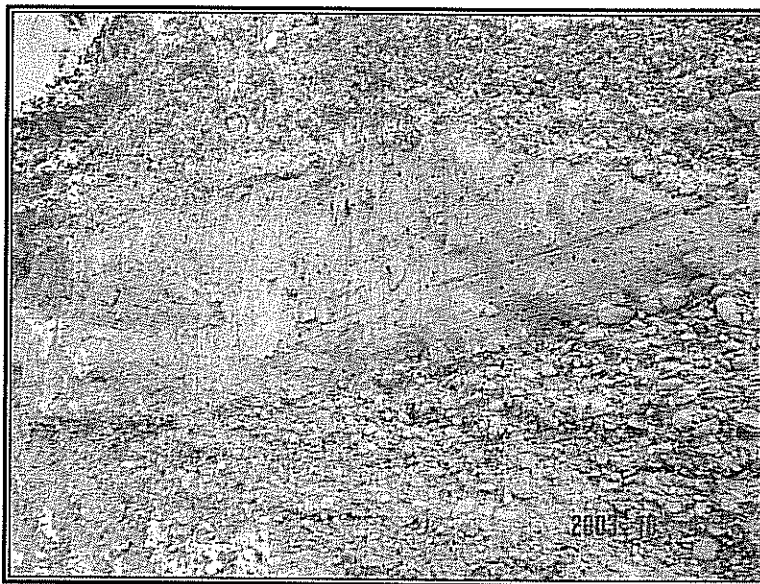


Şekil 4.4. Seyhan baraj gölü sahilinde mostra veren taraça birimlerinin görünümü.

Taraça birimi Köprülü mahallesinde, Seyhan ırmağının hemen bitişliğinde 20 m gibi düşük kotlarda olduğu gibi Toros mahallesinde 120 metrelük yüksek kotlarda da görülebilmektedir. Birim genel olarak iyi boylanmış, iyi yuvarlaklaşmış, kısmen matriks destekli çakıl ve blok boyutunda tanelerden oluşmaktadır (Şekil 4.5). Birimi oluşturan tanelerin büyük çoğunluğu bazalt, mikrogabro, diyabaz, diyorit, granit, radyolarit, kuvarsit ve kireçtaşı çakıl ve bloklarından oluşmaktadır. Oluşum esnasındaki farklı beslenime bağlı olarak birim içinde kum ve silt mercek ve kamaları ile tutturulmuş ve tutturulmamış gevşek zonlar bir arada bulunabilmektedir (Şekil 4.6).

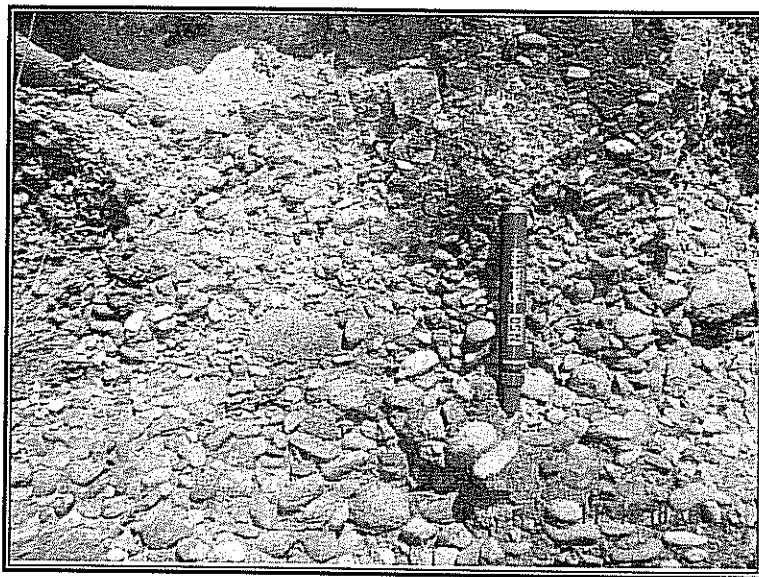


Şekil 4.5. Taraça içerisinde yer alan tanelerin birim içindeki dağılımları.



Şekil 4.6. Taraça birimi içerisinde kama şekilli kum merceği (AÇ 48, Ordu Evi doğusu).

Genel olarak ele alındığında taraça birimlerinde tanelerin kötü boyandıkları, kil ve karbonat bileşimindeki matriks ile birlikte tane destekli de oldukları görülmektedir. Gevşek tutturulmuş taraça malzemelerinin genelinde bağlayıcı malzemenin azlığı, taneler arasındaki bağın tam olarak oluşmamasına neden olmuştur (Şekil 4.7).

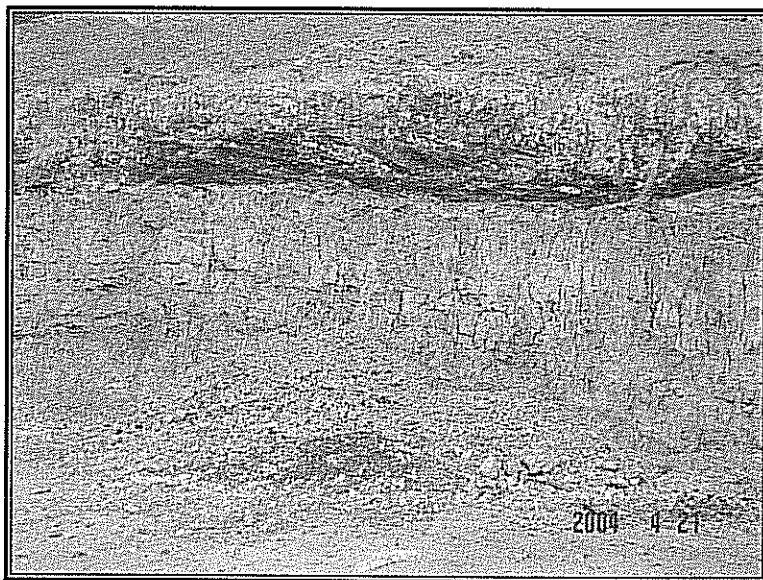


Şekil 4.7. Gevşek tutturulmuş taraçada tane destekli yapı ve boylanma.

4.1.3. Kalış

Yağışın buharlaşmadan daha az olduğu iklim koşullarına ait tipik oluşumlardan biri kaliş çökelleridir. İnceleme alanı içerisinde taraça çökelleri ile birlikte ancak ondan daha dar bir alanda yayılım sunan bir litolojiyi oluşturmaktadır. Bazı araştırmacılar tarafından sadece

taraça çökelleri içerisinde kaliş malzemesinin oluşmuş olduğu bildirilmekle birlikte arazi çalışmaları sırasında inceleme alanı içerisinde Handere Formasyonu ile dokanak halinde ve bu birim içerisinde oluşmuş olduğu düşünülen bir diğer kaliş birimine de rastlanmıştır (Şekil 4.8). Adana ili yerleşim alanı içerisinde birimin ayrıtlanan diğer tüm birimlerle dokanak halinde olduğu görülmektedir. Kaliş çökelleri altta Handere Formasyonu'na ait ince taneli birimler ve Taraça ile üstte ise Alüvyon birimleriyle ilişkilidir. Yetiş ve Demirkol (1986) birimin Kuvaterner yaşı olduğunu bildirmiştir.



Şekil 4.8. Handere Formasyonu ile dokanak halinde olan kaliş birimi.

Birim, yapışmanın yaygın olarak geliştiği Kuzey Adana bölgesinde geniş yayılım sunmaktadır. Kireçocağı Mah., Huzurevleri Mah, Belediye evleri Mah, 100. yıl Mah. ve Pınar Mah. yaygın kaliş birimlerinin gözlendiği yerleşim alanlarıdır. Bu bölgelerde yer alan kaliş birimleri de farklı litolojik özellikler sunmaktadır, ancak bunların içerisinde en fazla göze çarpan, karbonat tüplerinden oluşan toprağımsı özellikle kırmızı kaliş birimidir (Şekil 4.9). Bunun haricinde karbonat kabuk olarak nitelendirilebilecek özelliklere sahip kaliş birimi de Esenşehir mevkii’nde (Kurttepe mah.) olduğu gibi 123 m’lik yüksek rakımlardaki mostraları ile dikkat çekmektedir. Ayrıca 100. Yıl ve Belediye Evleri mahallelerinde de bu tür kabuk oluşumlarına rastlanmaktadır (Şekil 4.10). Bu bölgedeki kaliş birimi nispeten dayanıklı, kompakt bir görünüm sunmakta ve daha altta doğrudan Handere Formasyonu ile dokanak halinde bulunmaktadır.

Karbonat kabuk şeklindeki sert kaliş birimi de çökelim koşullarındaki değişikliklere bağlı olarak kısmen farklı özellikler sunmaktadır. Bunların bir kısmı beyaz, kırılgan ve breşik yapıda ve daha yüksek dayanımlıdır. Diğer bir kısmı ise kırmızımsı, yumuşak ve daha düşük

dayanımlıdır. Karbonat kabuk topografik olarak kısmen yüksek yererdeki mostrallarıyla dikkat çekmektedir. Karbonat kabuk olarak ele alınan kaliş birimi zayıf kaya, ve karbonat tüplü kırmızı kaliş birimi ise zemin olarak ele alınıp incelenecek özellikler taşımaktadır.



Şekil 4.9. Kuzey Adana bölgesinde geniş yayılım sunan kaliş birimi ve yaygın karbonat tüpü oluşumlarının görünümü (02950 D/ 02310 K noktası).



Şekil 4.10. Belediye Evleri Mahallesinde karbonat kabuk ve alta yumuşak kaliş biriminin görünümü (01098 D/ 02984 K noktası).

4.1.4. Alüvyon

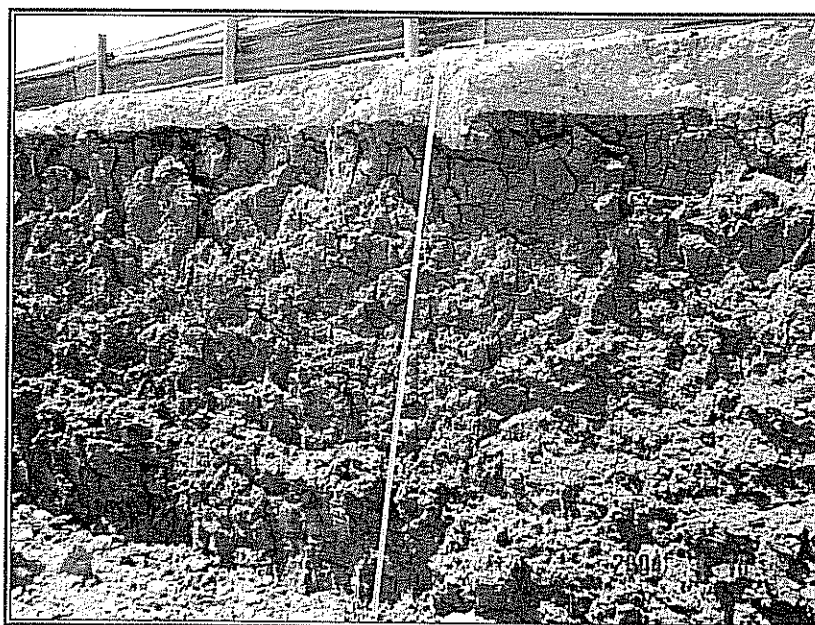
Önceki çalışmalarında Adana ovasını oluşturan alüvyonların eski ve yeni alüvyonlar olarak ikiye ayrıldıkları görülmektedir. Eski alüvyonların bitkisel toprakla örtülü oldukları, yeni alüvyonların ise daha çok dere kenarlarında gelişmiş kötü boyanmalı,

tutturulmamış çakıl, kum ve killi malzemeden oluştuğu belirtilmiştir (Yetiş ve Demirkol, 1986).

Adana ili yerleşim alanının özellikle de eski Adana'nın üzerinde gelişmiş olduğu litoloji Kuvaterner yaşılı alüvyon çökelleridir. Genel olarak ele alındıklarında, çökellerin çoğu ince taneli malzemeden oluşmaktadır. Bununla birlikte ince taneli malzemelerle beraber yayılım sunan ve ara seviyeler halinde yer alan kumlu ve çakılı birimlere de rastlanmaktadır. Alüvyon birimlerinin yayımı düz bir topografayı oluşturmaktır ve buna bağlı olarak yeraltı suyu seviyesi de yüzeye yaklaşmaktadır. Alüvyon içerisinde hakim litolojiyi oluşturan ve tipik taşkın ovası çökellerini temsil eden killi birimlerde güncel organizma kavkıları ile bitki kök kalıntılarına sıkılıkla rastlanmaktadır (Şekil 4.11). Kil türü ince taneli istif içerisinde kalişmeye bağlı olarak olmuş karbonatlı seviyeler yerleşim alanı içerisindeki geniş yayılmışları ile dikkat çekicidirler. Bu seviyeler içerisinde ince çakıl boyutu malzemeler gelişigüzel dağılmış durumda bulunmaktadır. Kaliş-alüvyon dokanlığında kaliş kili içerisindeki karbonatlaşmanın fazlalığı kaliş kili ile alüvyon klinin birbirinden ayırt edilebilmesini sağlamaktadır.

Adana yerleşim alanı içerisindeki alüvyon çökellerinin alansal yayımı Yüreğir ilçesinde Seyhan ilçesine göre daha fazladır.

Katı kıvamda yüksek plastisiteli kil (CH), düşük ve orta plastisiteli siltli ve kumlu killer (CL), siltli kum (SC, SM), siltli kumlu çakıl (GP, GC) alüvyon birimi içerisinde genel olarak yayılım gösteren zemin türlerini oluşturmaktadır.



Şekil 4.11. Alüvyon birimi içerisinde görülen koyu kahverenkli kil birimi ve beyaz renkli organizma kavkılarının görünümü.

Alüvyon çökellerinin tamamı 10 – 40 m. gibi düşük rakımlı topografyada yer almaktadır. Topografyadaki alçalmaya bağlı olarak yer altı suyundaki yükselme ve kısmen yüzey suları etkisiyle alüvyon çökelleri doğal halleri ile yüksek nem içeren çökellerdir. Killerde nem etkisiyle oluşan yumuşaklık kuruma etkisiyle kaybolarak sertleşmekte ve oldukça yüksek dayanım değerleri elde edilebilmektedir.

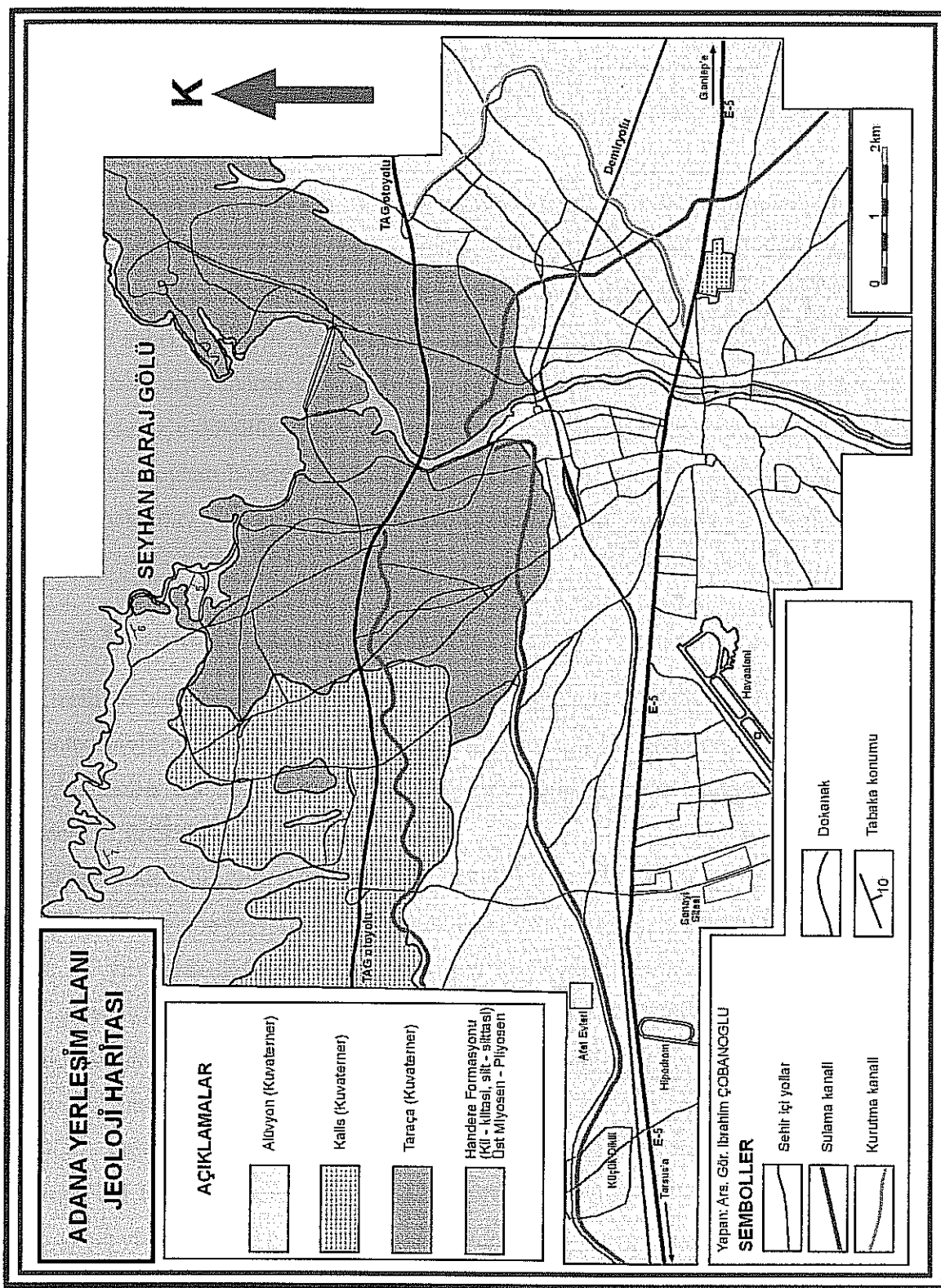
Üzerlerinin örtülü olmasından dolayı Alüvyon birimleri ile ilgili jeolojik çalışmalarında da yüzey kazısı ve sondajlardan elde edilmiş bilgiler kullanılmıştır.

Yukarıda açıklanan jeolojik birimlerin arazi incelemeleri ile ortaya konulmuş olan sınır ilişkilerini gösteren 1/25.000 ölçekli jeoloji haritası Şekil 4.12'de gösterilmiştir.

Bir jeolojik birim olarak ayırtlanmamış olmakla birlikte, inceleme alanında oldukça dar bir alan kaplayan bir materyal de dolgu malzemeleridir. Dolgu birimler arazi çalışmalarında tipik bazı özellikleri ile ayırt edilebilmektedirler. Tespit edilen bu özellikler şu şekilde sıralabilir;

- Homojen bir dağılım ve görünüm sunmamaktadırlar,
- Daha çok, gevşek ve tutturulmamış olarak bulunmaktadır,
- Kiremit, tuğla, döşeme taşı parçaları ve bazı sentetik malzemeler içermektedirler,
- Güncel bitki kalıntılarında zengin olmaları nebatı niteliklerini artırmaktadır,
- İncelenen kazı profilleri içerisinde belirli yönde bir çökelim izi göstermemektedirler.

Eski Adana'nın üzerinde kurulduğu Tepebağ bölgesi eski dolgu malzemelerinin olduğu bir bölgeyi oluşturmaktadır. Bu bölgedeki dolgunun yüksekliği incelenen bir araştırma kazısı kesitinde 4.00 m olarak ölçülmüştür. Bunun yanında Süleyman Demirel Bulvarı üzerinde güncel olarak oluşturulmuş bir diğer dolgu malzemesi lokasyonu Bilsen Okulları bitişliğinde yer almaktadır. Yayılmış alanı belirlenebilen bu dolgunun ölçülen bir kalınlığı bulunmamaktadır. Bununla birlikte korelasyon yoluyla elde edilen kalınlık değerinin 6-8 m olduğu düşünülmektedir. Bu lokasyonlarla birlikte Güney Adana'da yer alan Kocavezir mahallesinde de ölçülmüş kalınlığı 3.5 metreyi bulan ve içerisinde bol miktarda inşaat artıkları ve moloz içeren dolgu malzemesi bulunmaktadır. Cumhuriyet Mahallesinde 2 m kalınlığında, Mirzaçelebi Mahallesinde 3 m kalınlığında dolgu malzemesinin var olduğu tespit edilmiştir. Yapılan arazi incelemeleri birçok kazı kesitlerinde de kalınlığı 1 – 1.5 metreyi geçmeyen dolgu malzemelerine de rastlanmıştır. Ancak bu birimlerin tamamı mühendislik açısından bir önem taşımadıklarından mühendislik anlamında değerlendirilmemiş ve haritalama kapsamına alınmamışlardır.



Şekil 4.12. İnceleme alanı için oluşturulan ve mühendislik çalışmalarına esas tesisil eden genel jeoloji haritası.

4.2. Hidroloji

Akdeniz Bölgesinin önemli akarsularından olan 560 km uzunluğundaki Seyhan nehri Adana il sınırları içerisinde geçmektedir. Adana ili göller bakımından kısmen fakirdir. Seyhan baraj gölü ve sulama göletleri dışında inceleme alanı içerisinde başka göl bulunmamaktadır.

İnceleme alanında yılın 12 ayı akış halinde olan tek dere Seyhan nehridir. Harita alanını kuzeyden güneye yaklaşık 12 km kat eden ve güneye akışı olan Seyhan ırmağının debisi mevsimlere ve baraj tarafından kullanımına bağlı olarak değişmektedir.

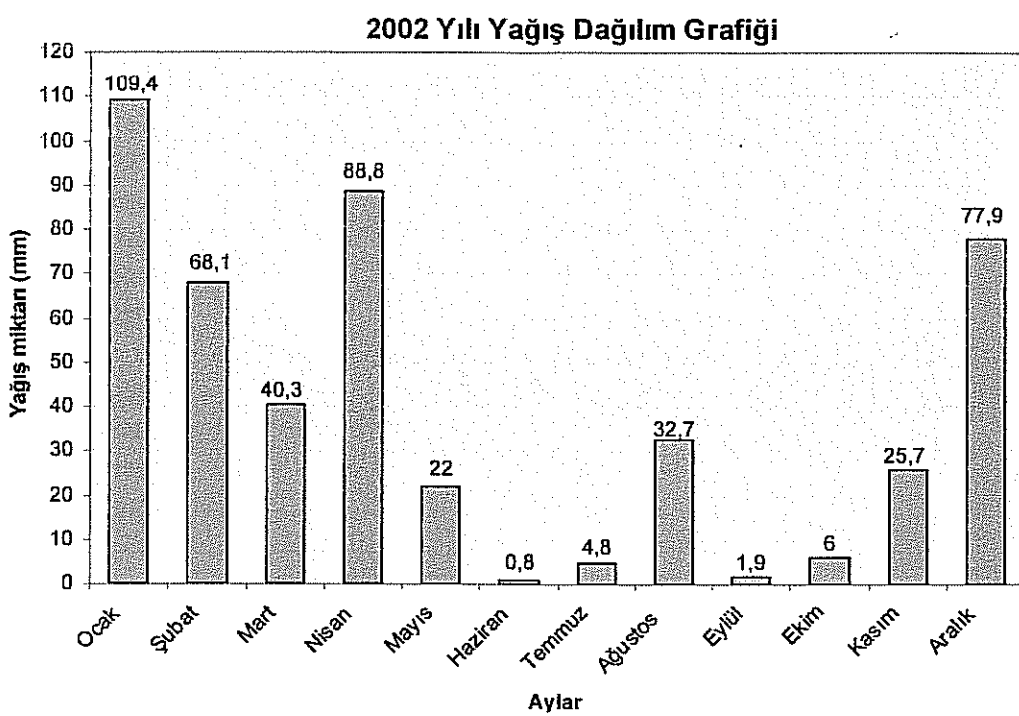
Seyhan nehri Hadırlı ve Yarbaşı dolaylarına kadar kuzey-güney istikametinde akarken bundan sonra bir kurp yaparak güneybatıya yönelir ve Berdan nehrine yaklaşarak Karaburun mevkiinde Akdeniz'e dökülür. Nehir üzerinde 60 Mw gücünde, 3 türbinli, elektrik ve sulama amaçlı yapılmış Seyhan barajı ve daha kuzeyde içme suyu amaçlı olarak yapılmış Çatalan barajı bulunmaktadır. Adana ili kuzeybatısını 1 milyon m^3 hacmiyle Seyhan baraj gölü kuşatmaktadır.

4.2.1. İstatistiksel Hidroloji Çalışmaları

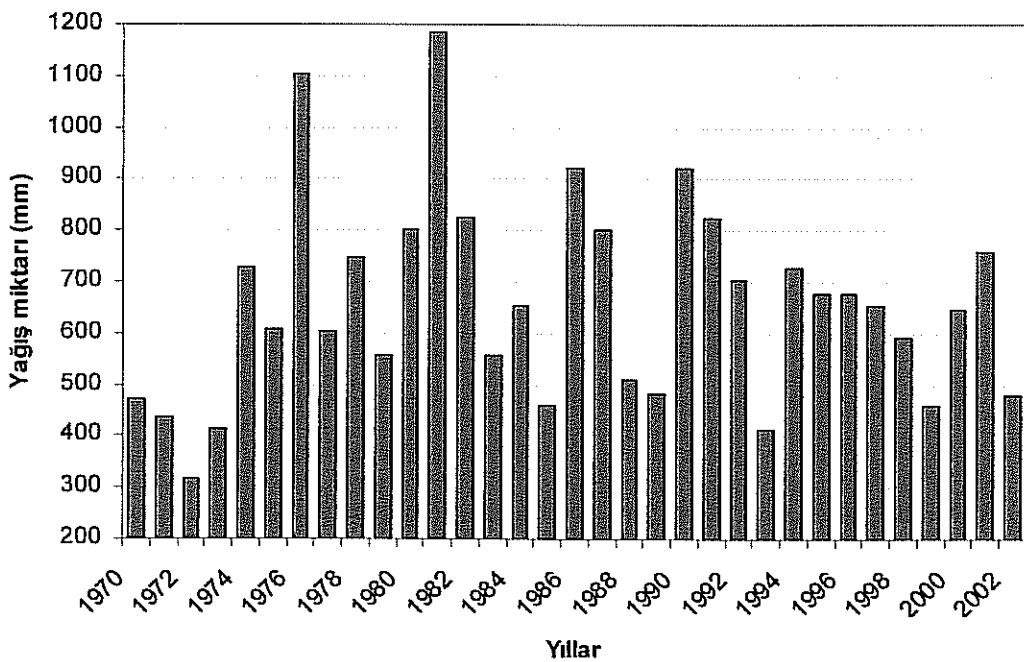
Özellikle hidrojeolojik çalışmalarında doğrudan kullanılan nitelikte veriler olmalarından dolayı meteorolojik ve hidrolojik bilgiler önem taşımaktadır. Akiferlerde uzun süreli doğal su seviyesi değişimlerinin yıllık yağış verileriyle olan anlamlı ilişkileri nedeniyle bu tür bilgiler ayrıca önem taşımaktadır.

Bölgeye ait 2002 yılı yıllık ortalama yağış değerlerine bakıldığından en fazla yağışın Ocak ve Nisan aylarında olduğu görülmektedir (Şekil 4.13). 1970-2002 yılları arası kapsayan 32 yıllık bir değerlendirme ile yıllara bağlı olarak ortalama yağış miktarlarının değişimi ortaya konulmuştur (Şekil 4.14). Bu periyot içerisinde 1976 ve 1982 yıllarında düşen yağış miktarlarının oldukça fazla olduğu dikkat çekmektedir.

Hidrolojik çalışmaların diğer bölümünde 1970 – 2002 yılları için elde edilmiş meteorolojik yağış verileri kullanılarak ortalama yıllık yağışlar ve ortalama yıllık yağıştan sapma değerleri hesaplanmıştır (Çizelge 4.1). İnceleme aralığındaki yıllar için hesaplanmış ortalama yağış yüksekliği 657.25 mm olarak bulunmuştur. Hesaplanan yıllık yağıştan eklenik sapma değerlerine göre çizilen grafik ile dönem içerisindeki kurak ve yağışlı periyotlar belirlenmiştir.

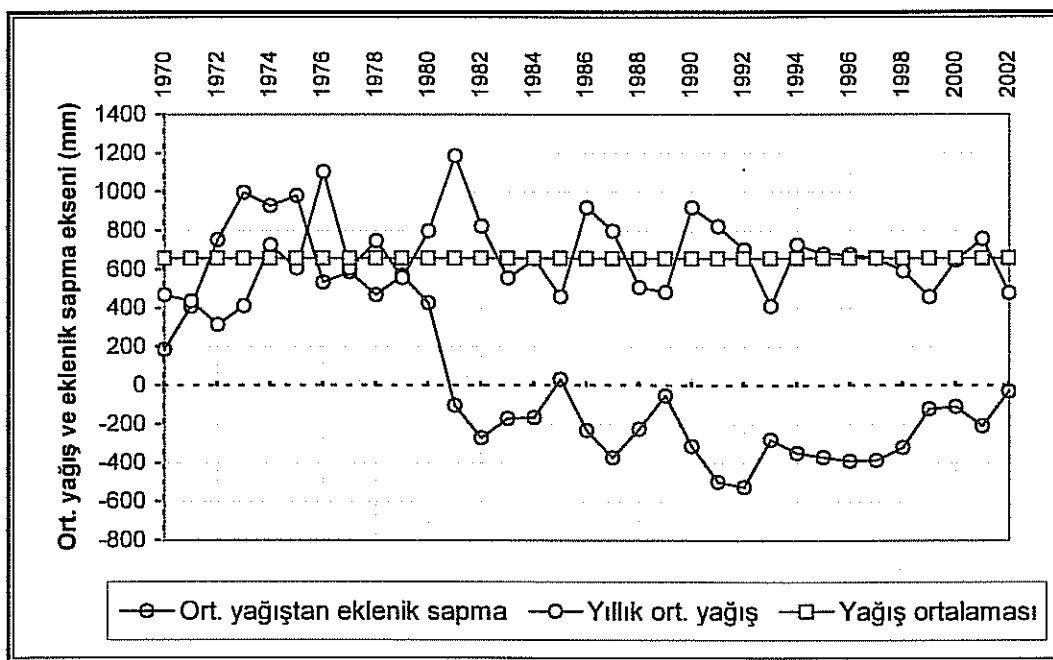


Şekil 4.13. Aylara bağlı olarak ortalama yağışın 2002 yılı içindeki değişimi.



Şekil 4.14. Ortalama yıllık yağış miktarlarının 1970-2002 yılları arasındaki değişimi.

Çizelge 4.1 verileri kullanılarak elde edilen ortalama yağıştan eklenik sapma, yıllık ortalama yağış eğrileri de Şekil 4.15'deki gibi elde edilmiştir.



Şekil 4.15. Yıllık yağış miktarları kullanılarak elde edilen eklenik sapma ve ortalama yağış grafikleri.

4.2.2. Su Bilançosu

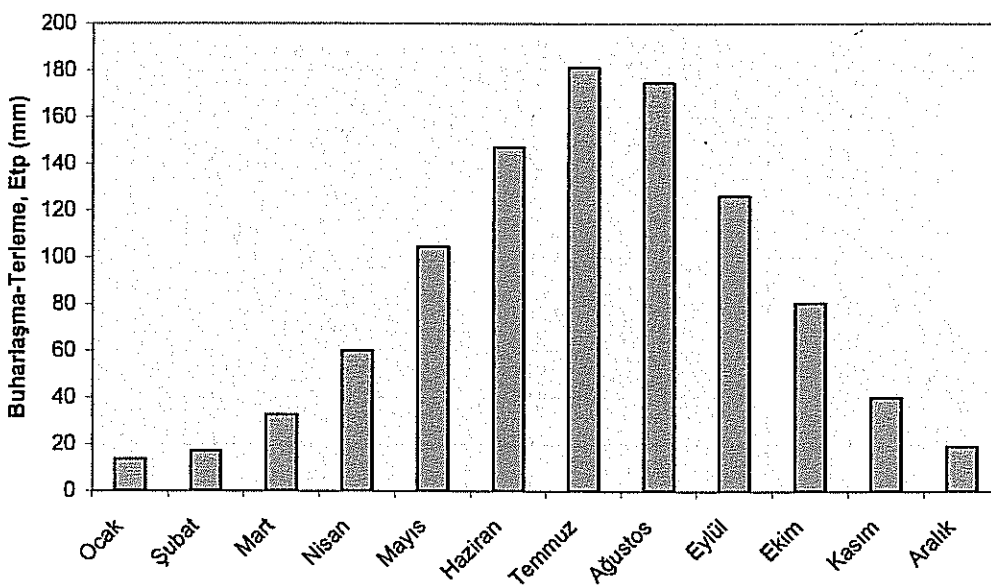
Çalışmanın bu bölümünde 1929 – 2001 yıllarına ait sıcaklık ve yağış verileri kullanılarak bölgenin su bilançosu çıkarılmıştır. Belirtilen yıllar için potansiyel ve gerçek buharlaşma-terleme değerleri, karşılaştırma için Thornthwait yöntemi ile hesaplanmıştır.

Bu yöntemle, 1929-2001 yılları için yıllık potansiyel buharlaşma-terleme (Etp) 1116.97 mm, yıllık gerçek buharlaşma-terleme (Etr) ise 409.28 mm hesaplanmıştır (Çizelge 4.2). Etp'nin aylık değişimleri Şekil 4.16'da verilmiştir.

Mart ayı sonuna kadar yağışın Etp'den fazla olduğu görülmektedir. Bu nedenle Etp, Etr'ye eşit olur. Yağış fazlası ise 221.67 mm'dir. Bu yağışın bir kısmı yüzeysel akışa geçer, bir kısmı da yeraltına süzülür. Mart ayı sonundan Mayıs ayı sonuna kadar zemin rezervi olan ve teorik olarak 100 mm kabul edilen su kullanılır. Mayıs ayı sonundan Ekim ayı sonuna kadar su noksası, başka bir deyişle tarım su açığı vardır. Etp'nin yağıştan fazla olduğu kurak dönemde Etp 1006.44 mm ve yağış 198.76 mm'dir. Buna göre su noksası 723.88'dir.

Çizelge 4.1. Gözlem yıllarına bağlı olarak inceleme alanındaki yağış miktarları ile yıllık yağıştan sapma ve eklenik sapma değerleri.

<i>Gözlem Yılları</i>	<i>Yağış Miktarı (mm)</i>	<i>Ortalama yıllık yağıştan sapma (mm)</i>	<i>Ort. yıllık yağıştan eklenik sapma (mm)</i>
1970	470	187,25	187,25
1971	435,7	221,55	408,80
1972	314,7	342,55	751,35
1973	411,5	245,75	997,10
1974	726,3	- 69,05	928,05
1975	605,2	52,05	980,10
1976	1104	- 446,75	533,35
1977	605	52,25	585,6
1978	774,7	- 117,45	468,15
1979	556,8	100,45	568,60
1980	798,9	- 141,65	426,95
1981	1186,3	- 529,05	-102,10
1982	823,1	- 165,85	-270,95
1983	555,8	101,45	-169,50
1984	653,6	3,65	-165,85
1985	460	197,25	31,40
1986	920	- 262,75	-231,35
1987	798,9	- 141,65	-373,00
1988	508,4	148,85	-224,15
1989	484,2	173,05	-51,10
1990	920	- 262,75	-313,85
1991	823,1	- 165,85	-497,70
1992	702,1	- 44,85	-524,55
1993	411,5	245,75	-278,80
1994	726,3	- 69,05	-347,85
1995	677,8	- 20,55	-368,40
1996	677	- 19,75	-388,15
1997	654,8	2,45	-385,7
1998	590,8	66,45	-319,25
1999	458,3	198,95	-120,3
2000	646,6	10,65	-109,65
2001	756,8	- 99,55	-209,20
2002	478,2	179,05	-30,15
Ortalama		657,25	

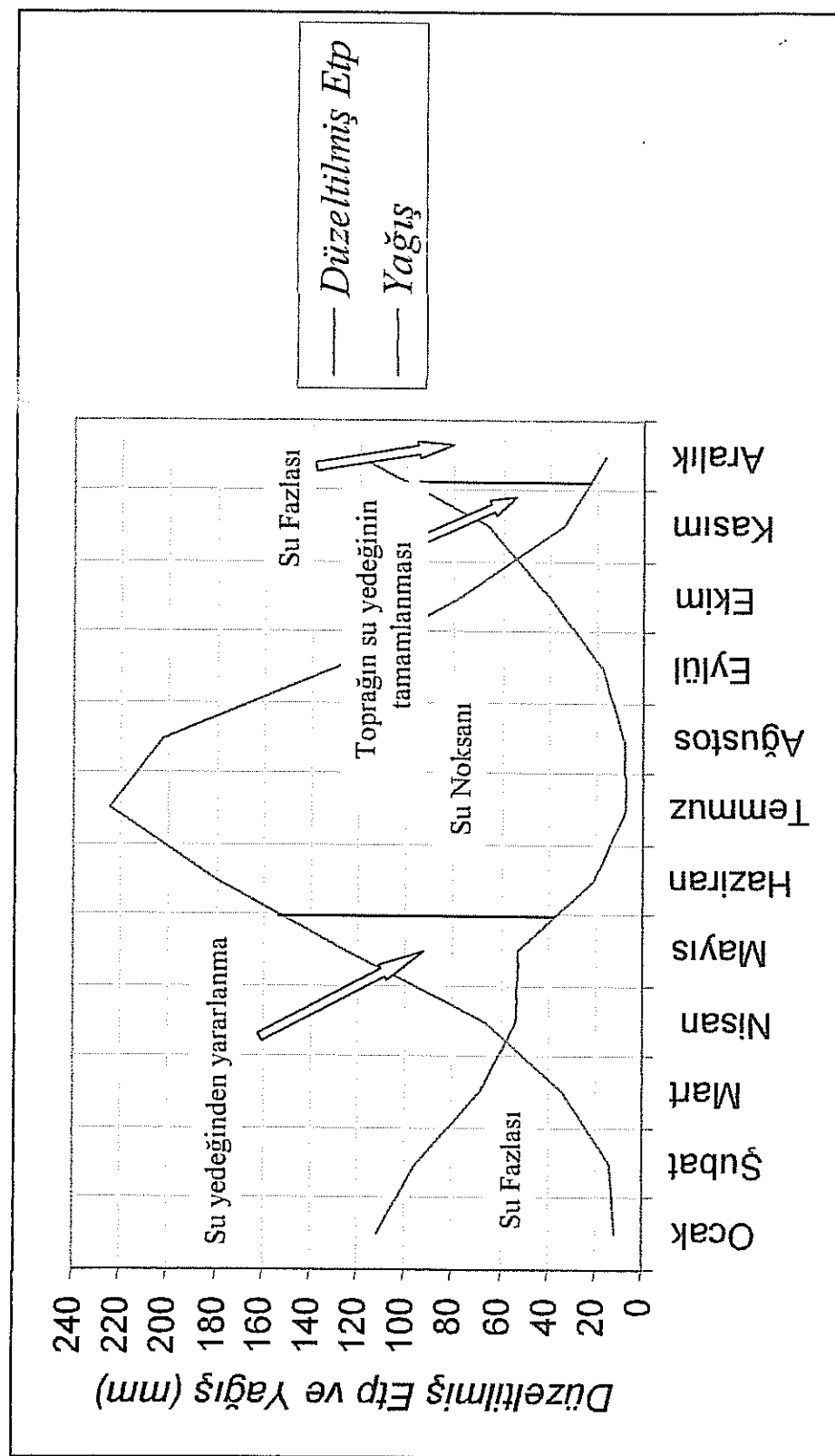


Şekil 4.16. Etp'nin aylık değişimleri.

Kasım ayından itibaren yağış Etp'den fazladır. Aralık ayı ortalarında fazla yağış zemin rezervini tamamlar. Bu hesaplamalara göre yıllık ortalama yağışın % 61.70'ine karşılık gelen 409.28 mm, buharlaşma-terleme ile atmosfere geri dönmektedir. Ocak, Şubat, Mart ve Aralık aylarında görülen yağış fazlası toplam yağışın % 33.42'sidir. Yapılan su bilançosu için kullanılan ve elde edilen değerler tablo halinde Çizelge 4.2'de verilmiş ve Şekil 4.17'de grafik olarak sunulmuştur.

Çizelge 4.2. Adana ilinin 1929-2001 yılları arasını kapsayan denetirmeli su bilançosu

METEOROLOJİK ELEMANLAR	AYLAR (1929-2001)											YILLIK TOPLAM	
	Ocak	Şubat	Mart	Nisan	Mayıs	Haziran	Temmuz	Augustos	Eylül	Ekim	Kasım	Aralık	
Ortalama sıcaklık (°C)	9.4	10.4	13.1	17.2	21.4	25.3	27.8	28.1	25.6	21.1	15.5	11.1	18.8
Aylık endeks	2.517	3.03	4.248	6.377	8.972	11.55	13.282	13.575	11.643	8.718	5.653	3.344	92.909
Etp (mm)	13.644	17.10	32.60	60.038	104.4	146.92	181.093	174.433	126.05	80.534	39.93	19.289	
Düzeltilme katsayısı	0.87	0.85	1.03	1.10	1.21	1.22	1.24	1.16	1.03	0.97	0.86	0.84	
Düzeltilmiş Etp (mm)	11.87	14.535	33.58	66.04	126.32	179.24	224.55	202.34	129.83	78.117	34.34	16.20	1116.97
Yağış (mm)	109.4	88.9	65.8	52.5	47	20.6	6.3	5.3	15.6	43.5	73.9	124.45	653.2
Zemin rezervi (mm)	100	100	100	87.81	13.99	0	0	0	0	0	32.28	100	
Etr (mm)	11.87	14.53	33.58	66.04	126.32	34.7	6.82	7.95	16.99	39.94	34.34	16.20	409.28
Su noksanı (mm)	0	0	0	0	0	144.54	217.73	194.39	112.85	38.17	0	16.20	723.88
Su fazlası (mm)	100.49	80.84	34.99	0	0	0	0	0	0	0	0	5.35	221.67



Şekil 4.17. Adana ilinin 1929-2001 yılları için yağış ve Etp değerlerinin aylık değişim grafiği (su bilancosu).

4.3. Birimlerin Mühendislik Özelliklerinin İncelenmesi

Bu bölüm, çalışma kapsamında incelenen birimlerin mühendislik özelliklerinin belirlenmesi amacıyla yapılan çalışmalara ait bilgileri içermektedir. Anlatımlarda birliktelik olabilmesi açısından tüm birimler için incelenen alt başlıkların aynı olmasına çalışılmıştır. Başlangıçta birimin yayılımı ve genel özellikleri verilmiş, sonuçların elde edilmesinde izlenen araştırma yöntemlerinden bahsedilmiş ve ardından birimlerin temel mühendislik özelliklerine geçilmiştir.

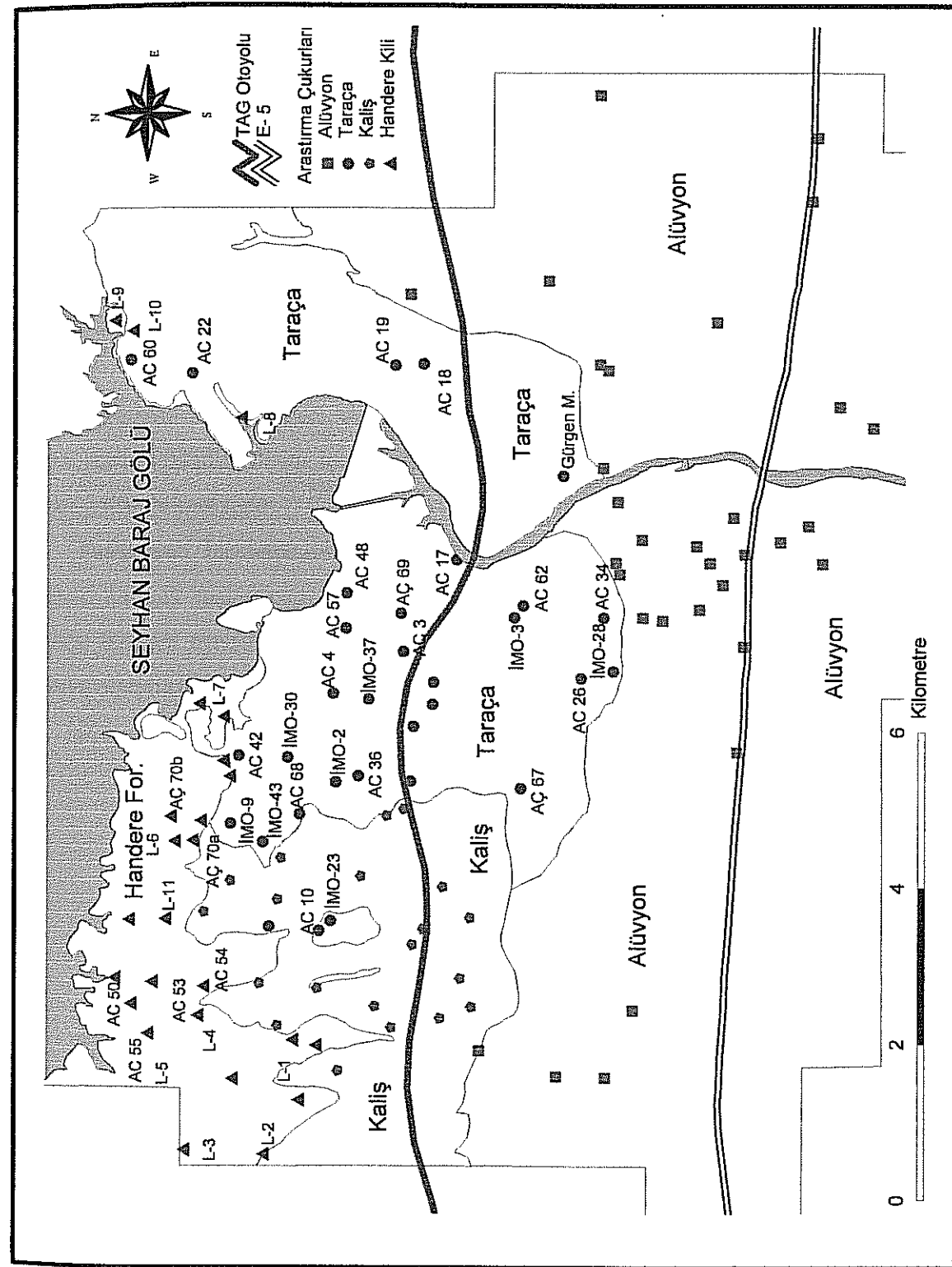
4.3.1. Handere Kili

Handere Kili, Seyhan baraj gölü güney kıyısı boyunca, doğu-batı uzanımında Adana ili yerleşim alanı içerisinde geniş bir alan kaplamaktadır (Şekil 4.12). Yeni yapışmanın da olduğu Kuzey Adana bölgesinin bir kısmı bu litoloji üzerinde kurulu bulunmaktadır. Birim tabakalı bir yapı göstermekle birlikte düzgün tabakalanmalı yapıyı her yerde görebilmek mümkün olamamaktadır.

Çalışmanın ilk aşamasında inceleme alanı içerisinde yeni yapışmanın sürdürülümekte olduğu alanlar gözetilerek örneklemelerin de kolay yapılabileceği bir lokasyon ağı oluşturulmuştur. Bu amaçla 11 veri noktası (L1 - L11) belirlenmiştir (Şekil 4.18). Her noktadan sayısal koordinatlar alınmış ve bunlar haritaya işlenmiştir. Veri noktaları içerisinde derinliğe bağlı olarak meydana gelebilecek farklı özellikleri belirleyebilmek amacıyla aynı noktanın değişik derinliklerinden örselenmiş ve örselenmemiş (blok) örnekler alınmıştır (Şekil 4.19).

Açılmış yol yarmaları, şevler ve yüzey kazılarının incelenmesi çalışmanın ikinci aşaması içerisinde gerçekleştirilmiştir.

Üçüncü aşamada birimin genel jeofizik özelliklerinin belirlenmesi amacıyla aynı nokta için geçerli olmak üzere jeofizik sismik ve rezistivite ölçümleri yapılmıştır. İncelenen tüm veri noktalarına ait konum bilgileri daha önceden elde edilmiş verilerle birlikte, bu çalışma kapsamında oluşturulmuş Coğrafi Bilgi Sistemi veri bankası içerisinde koordinatlarıyla birlikte yer almaktadır.



Şekil 4.18. Handere kili ve taraça araştırma çukuru yerlerinin çalışma alanı içindeki dağılımı

4.3.1.1. Fiziksel Özellikleri

Handere kili genel olarak yüksek, kısmen de düşük plastisiteli, katı-sert kil grubunda yer alan bir zemin türünü oluşturmaktadır. Fiziksel özellikler şu genel nitelikleri ile tanımlanmışlardır;

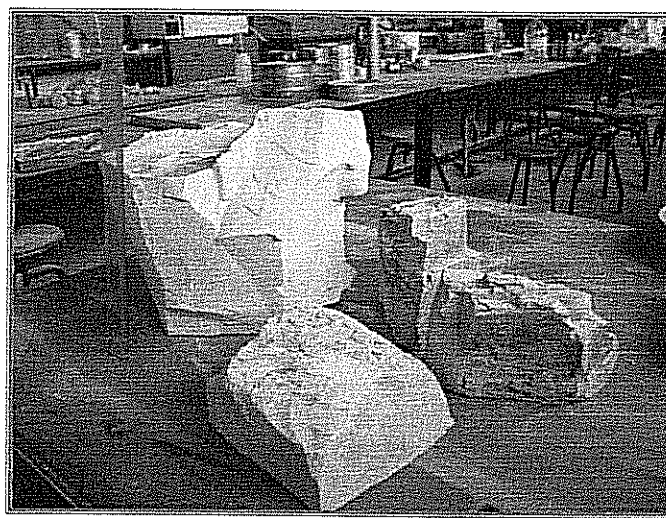
Renk: İnceleme alanı genelinde birim krem, açık sarımsı kahverengi ve açık kahverengi renk tonlarında görülmektedir. Silt oranının artması ile birim daha sarımsı bir renk almaktadır.

Doku: Birim ince taneli ve kısmen düzenli ince tabakalıdır.

Sertlik: Kultaşı ve silttaşlı litolojilerinde de görülebilen birim kolay ayırsabilir özellikte olduğundan daha çok toprağımsı bir görünüm sunmaktadır. Bu bakımdan sertliği çok düşüktür.

Ayırışma: Yüzey suları ve bitki örtüsü nedeniyle fiziksel ayırışma türlerinin yaygın olduğu görülmektedir. Birim içerisindeki bazı kısımlarda ayırışma etkisiyle tamamen zemin özelliği görülebilmektedir.

Taşlaşma: İnceleme alanındaki en yaşlı birim olan formasyon kısmen diyajenez etkisinde kalarak taşlaşmıştır. Ancak bu özellik birimin geneli için geçerli değildir. Zira özellikle fiziksel ayırışma tabakalı yapının bozulup, diyajenez süreci içerisinde taşlaşmaya başlamış olan birimin topraklaşarak zemin özelliğini kazanmasına neden olmuştur.



Şekil 4.19. Arazi çalışmaları sırasında alınan kultaşı blok numunelerinin görünümleri.

Çalışılan ilk 11 veri noktasındaki örneklemeler tamamen zeminin fiziksel özellikleri ile konsolidasyon özelliklerini belirlemek amacıyla yapıldığından bu bölümde sadece adı geçen lokasyonlardan elde edilmiş bilgiler sunulmuştur. Bunun dışında incelenen ve araştırma

cukuru olan ele alınan diğer lokasyonlara ait bilgiler bu bölümde incelenmiş 11 çalışma noktası ile birlikte EK 1'deki araştırma cukuru kesitlerinde verilmiştir.

Veri noktalarından alınan numunelerin tamamı kesek ve blok numuneler olduğundan doğal haldeki birim hacim ağırlıklarının belirlenmesinde parafinleme yöntemi kullanılmıştır. Her noktadan birden fazla sayıda örnek alınmış olduğundan birim hacim ağırlığı değerlendirmelerinde elde edilmiş olan en küçük, en büyük ve ortalama değerlerler ayrı ayrı belirlenmiştir (Çizelge 4.3). Buna göre incelenen noktalardan elde edilmiş örneklerin özgül ağırlıkları 2.50-2.68 arasında ortalama birim hacim ağırlıkları ise 1.58 gr/cm^3 ile 2.01 gr/cm^3 değerleri arasında değişim göstermektedir.

Çizelge 4.3. İncelenen noktalardan alınmış numuneler üzerinde yapılan deneylere göre elde edilmiş doğal birim hacim ağırlık ve özgül ağırlık değerleri.

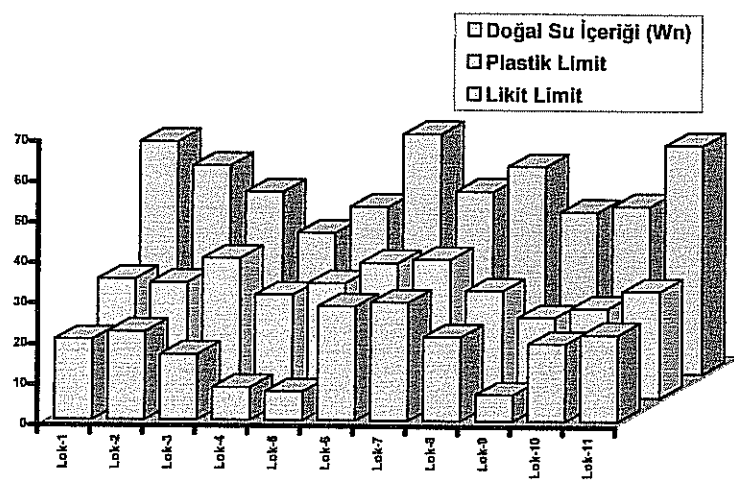
Veri Noktası	Doğal Birim Hacim Ağırlık (gr/cm^3)			
	Özgül Ağırlık	Minimum	Maksimum	Ortalama
L1	2.58	1.73	1.84	1.78
L2	2.68	1.61	1.67	1.64
L3	2.60	2.00	2.02	2.01
L4	2.68	1.66	1.72	1.69
L5	2.63	1.56	1.60	1.58
L6	2.60	1.67	1.69	1.68
L7	2.50	1.75	1.78	1.77
L8	2.68	1.71	1.76	1.74
L9	2.58	1.61	1.69	1.65
L10	2.61	1.71	1.73	1.72
L11	2.65	1.81	2.00	1.90

Birimlere ait diğer fiziksel parametreler temel faz ilişkilerinden yararlanarak ortaya konulmuş ve bu şekilde hesaplanmış olan doygunluk derecesi (S), boşluk oranı (e), porozite (n), kuru birim hacim ağırlık (γ_k), doygun birim hacim ağırlık (γ_d) ve batık birim hacim ağırlık (γ') Çizelge 4.4'de gösterilmiştir. Bu çizelgeden doygunluk derecesinin % 25.44 - % 84.94 gibi geniş bir aralıktır, boşluk oranının 0.50 ile 1.04 ve porozitenin % 33.47 - % 51.08 gibi daha dar bir aralıktır değişim sundukları görülmektedir.

Örneklemeler Eylül ayında yapılmış olup belirtilen ay için geçerli olmak üzere doğal haldeki su içerikleri ve bu değerlerin likit ve plastik limit deneylerinden elde edilen sonuçlarla birlikte Şekil 4.20'de gösterilmiştir.

Çizelge 4.4. Handere Kili'ne ait bazı fiziksel özelliklerin lokasyonlara bağlı olarak değişimleri.

Veri No	S (%)	e	n (%)	γ_k (gr/cm 3)	γ_d (gr/cm 3)	γ' (gr/cm 3)
L1	71.83	0.75	42.97	1.47	1.90	0.90
L2	60.22	1.00	50.05	1.34	1.84	0.84
L3	83.72	0.50	33.47	1.73	2.06	1.06
L4	30.30	0.71	41.65	1.56	1.98	0.98
L5	48.63	0.96	48.98	1.34	1.83	0.83
L6	79.89	1.04	51.08	1.27	1.78	0.78
L7	84.59	0.90	47.32	1.37	1.84	0.84
L8	64.64	0.86	46.22	1.44	1.90	0.90
L9	25.44	0.67	39.99	1.55	1.95	0.95
L10	61.92	0.81	44.71	1.44	1.89	0.89
L11	84.32	0.71	41.51	1.55	1.97	0.97



Şekil 4.20. Örnekleme yapılan yerlerdeki zemin numunelerine ait su muhtevası (w_n), likit limit (LL) ve plastik limit (PL) değerlerinin değişimleri.

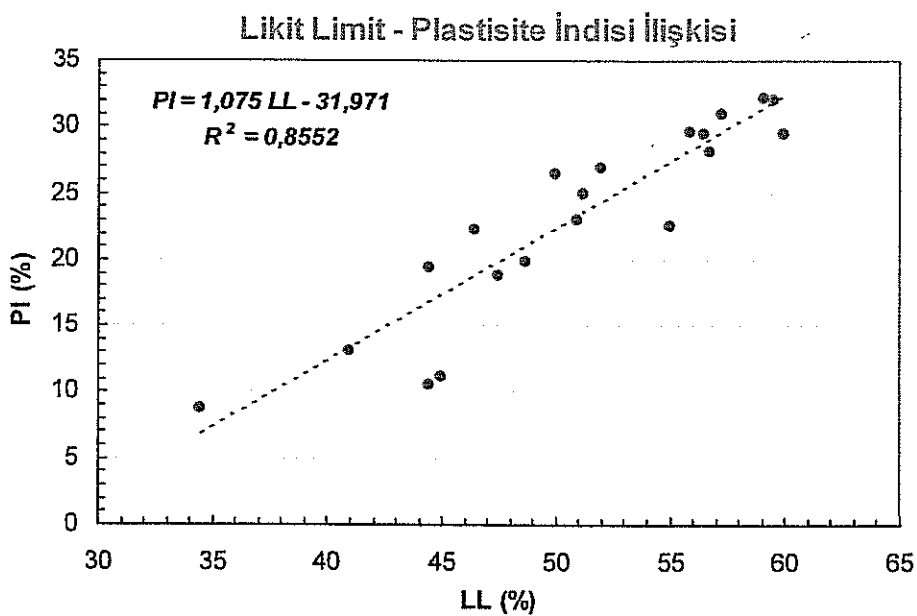
Her veri noktası için derinliğe bağlı olarak örnekleme yapıldığından, kıvam limiti deneylerinde seviyelerdeki değişimleri ve aynı şekilde zemin sınıfındaki değişimleri görebilmek amacıyla deneyler farklı derinliklerden alınmış örnekler için ayrı ayrı yapılmıştır. Elde edilen sonuçlar ve değişim aralıkları Çizelge 4.5'de sunulmuştur. Buna göre incelenen zeminlerin plastik limit değerleri % 22.00 - % 35.47 arasında değişmektedir ki bu değer likit limit değerlerine göre daha dar bir aralık sunmaktadır. Kıvam limitlerinden elde edilen değerlerin plastiçe kartında değerlendirmeleri ile Handere Formasyonu'na ait ince taneli zeminlerin CH, MH, CL ve ML zemin grubunda yer aldığı belirlenmiştir.

Çizelge 4.5. Derinliğe bağlı olarak kıvam parametreleri ile zemin sınıflarının değişimi.

<i>Veri No</i>	<i>Derinlik (m)</i>	<i>w_n (%) ort.</i>	<i>LL</i>	<i>PL</i>	<i>PI</i>	<i>I_L</i>	<i>Zemin Sınıfı</i>
L1 - SM2	3	19.81	59.1	26.88	32.22	- 0.219	CH
L1 - SM3	4	15.53	52.0	25.10	26.90	- 0.355	CH
L1 - SM4	5	20.98	59.5	27.51	31.99	- 0.204	CH
L1 - SM5	6	19.84	56.8	28.76	28.04	- 0.318	CH
L2 - SM1	1	20.50	56.5	27.04	29.46	- 0.221	CH
L2 - SM2	2	22.52	50.0	23.50	26.50	- 0.215	CH
L2 - SM3	3	21.76	51.0	28.00	23.00	- 0.462	CH
L3 - SM2	3	16.20	44.5	33.97	10.53	- 1.687	ML
L4 - SM2	2	8.07	34.5	25.74	8.76	- 2.017	ML
L5 - SM2	3	9.37	47.5	28.72	18.78	- 1.030	ML
L5 - SM3	4	17.75	48.7	28.83	19.87	- 0.557	ML
L5 - SM5	7	7.09	41.0	27.93	13.07	- 1.594	ML
L6 - SM1	2.5	24.35	60.0	30.60	29.40	- 0.212	CH
L6 - SM2	3.5	32.08	58.0	35.47	22.53	- 0.150	MH
L7 - SM3	3	29.22	45.0	33.92	11.08	- 0.424	ML
L8 - SM2	5	20.73	51.2	26.31	24.89	- 0.224	CH
L9 - SM3	3	6.57	40.0	19.75	19.35	- 0.681	CL
L10 - SM3	4	19.18	41.5	22.00	25.30	- 0.111	CL
L11 - SM1	9	20.22	57.25	26.32	30.93	- 0.197	CH
L11 - SM2	10	22.58	55.88	26.30	29.58	- 0.125	CH
Değer Aralığı	1 - 10	6.5 - 32.08	34.5 - 60	22 - 35.47	4.76 - 32.22		

Yapılan kıvam limit deneyleri likit limit (*LL*) ile plastisite indisi (*PI*) değerleri arasında oldukça anlamlı bir ilişkinin varlığını ortaya koymuştur (Şekil 4.21). Bu ilişki aşağıdaki bağıntı ile ifade edilmektedir;

$$PI = 1.075 LL - 31.97 \quad (4.1)$$



Şekil 4.21. Kıyam limiti deney sonuçlarına göre elde edilmiş likit limit- plastisite indisi ilişkisi.

4.3.1.2. Mekanik Özellikleri

Yukarıda incelenen örnek yerlerindeki zeminlerin mekanik özellikleri belirlemeye yönelik olarak yapılan kesme kutusu deney verileri incelenen yerlere ait profillerin tanımlamaları kısmında EK-1'de verilmiştir. Araştırma çukuru olarak incelenen diğer lokasyonlar üzerinde yapılan kesme kutusu deney sonuçları ile doğrudan elde edilen parametreler haricinde empirik bağıntılar da kullanılmıştır. Bunlardan en eskisi Skempton ve Bjerrum (1957) tarafından önerilen bağıntıdır ki killerin drenajsız kayma dayanımının bulunması amacıyla kullanılmaktadır;

$$\sigma_v' = \frac{c_u}{0.11 + 0.0037 * PI} \quad (4.2)$$

Bu bağıntıda,

c_u : drenajsız kayma dayanımı,

σ_v' : efektif düşey gerilme,

PI : plastisite indisi (%) değerleridir.

Daha güncel olan ve bu özelliği ile bu çalışmada da kullanılan bir diğer bağıntı ise Yılmaz (2000a) tarafından killi birimlerin drenajsız kayma dayanımlarının belirlenmesi için önerilmiş olan aşağıdaki bağıntıdır;

$$c_u = e^{(0.026 - 1.2I^* / I_L)} \quad (4.3)$$

Bu bağıntıda,

c_u : drenajsız kayma dayanımı (kg/cm^2)

I_L : likitlik indisi

Yılmaz (2000) tarafından kil zeminler için önerilen bağıntı kullanılarak elde edilmiş drenajsız kayma dayanımı parametreleri Çizelge 4.6'da gösterilmiştir. Bu hesaplamalarda önerilen bağıntının geçerlilik sınırlarını aşıyor olmasından dolayı ve likitlik indisi değerlerinin de yüksek olmasından ötürü ML türü zemin grupları kapsam dışı bırakılmıştır. Killerin drenajsız kayma mukavemetlerinin BSI (1975) tarafından önerilen sınıflandırmaya göre (Çizelge 4.7) "Çok Sert – Sert" dayanıma sahip oldukları görülmektedir. Birim içinde zemin araştırması amaçlarıyla yapılmış olan sondajlara ait SPT verileri de bu dayanım değerlerinin doğru olduğunu kanıtlamaktadır. Bu özellik, Handere killerin mühendislik açısından oluşabilecek bir çok probleminin kendiliğinden çözümlenmesini sağlamaktadır.

Çizelge 4.6. Handere Formasyonu içerisindeki kil grubu örneklere ait hesaplanmış drenajsız kayma dayanımı parametreleri.

Örnek Yeri	$c_u (\text{kg}/\text{cm}^2)$	Tanımlama	Örnek Yeri	$c_u (\text{kg}/\text{cm}^2)$	Tanımlama
L1 - SM2	1.312	Sert	L6 – SM1	1.326	Sert
L1 - SM3	1.577	Çok sert	L6 – SM2	1.231	Sert
L1 - SM4	1.313	Sert	L8 – SM2	1.345	Sert
L1 - SM5	1.507	Çok sert	L9 – SM3	2.340	Çok sert
L2 – SM1	1.340	Sert	L10 – SM3	1.174	Sert
L2 – SM2	1.331	Sert	L11 - SM1	1.302	Sert
L2 – SM3	1.795	Çok sert	L11 – SM2	1.193	Sert

Çizelge 4.7. British Standards Institution (1975), drenajsız kayma dayanımı değerine göre zeminlerin sınıflandırılması.

Drenajsız kayma dayanımı (kPa)	Drenajsız kayma dayanımı (kg/cm^2)	Tanımlama
< 20	< 0.2	Çok yumuşak
20 – 40	0.2 – 0.4	Yumuşak
40 – 75	0.4 – 0.75	Orta sert
75 – 150	0.75 – 1.5	Sert
> 150	> 1.5	Çok sert

4.3.1.3. Konsolidasyon Özellikleri

Özellikle üzerinde yapışmanın olduğu killi zeminlerde yapışma ile ilgili olarak karşılaşılan problemlerin en önemlisi killi zeminlerin gösterdikleri konsolidasyon davranışlarıdır. Zeminde meydana gelebilecek oturma miktarlarının belirlenmesini sağlayan laboratuar deneylerinin uzun ve zaman alıcı işlemler gerektirmesi, kimi zaman konuya gereken ilginin gösterilmemesine neden olmaktadır.

Çalışma alanındaki zeminlerin konsolidasyon özelliklerini belirlemek için araziden alınan blok numuneler 50 mm çapında ve 20 mm yüksekliğindeki konsolidasyon ringi içeresine alınarak yüklemeli ve boşaltmalı konsolidasyon deneyleri yapılmıştır (Şekil 4.20). Her deney 12 gün sürdürümüş ve deney safhası toplam 132 günde tamamlanmıştır. Elde edilen sıkışma ve kabarma eğrilerinden ön konsolidasyon basınçları (P_c), sıkışma (C_c) ve şişme indisleri (C_s) belirlenmiştir. Elde edilen değerler örtü yükü ve aşırı konsolidasyon oranı (OCR) değerleriyle birlikte Çizelge 4.8'de verilmiştir.

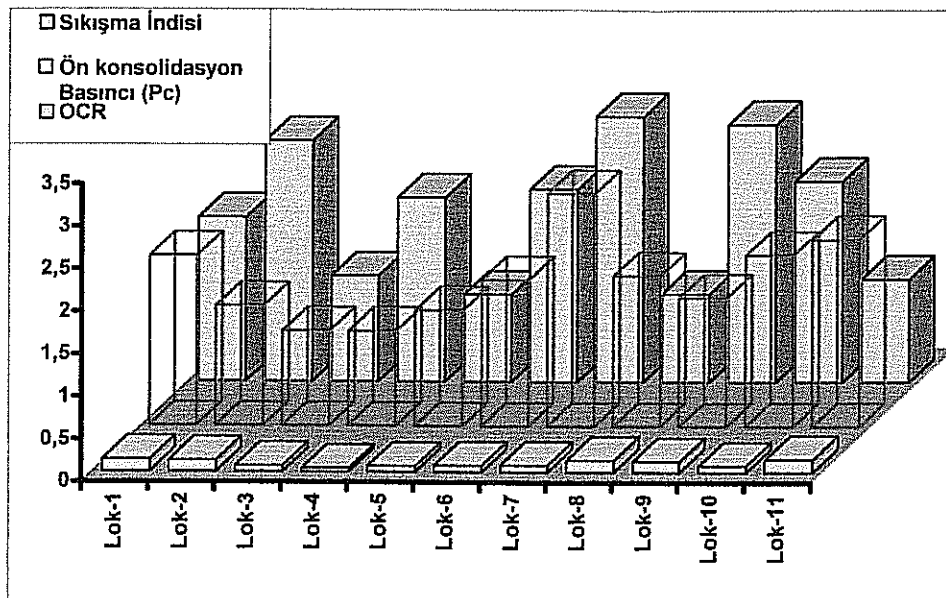


Şekil 4.22. Konsolidasyon deneyinde kullanılan örneklerin deney sonrası görünümleri

Çizelge 4.8. Konsolidasyon deneylerinden elde edilmiş konsolidasyon parametreleri.

Lokasyon	Örtü Yüklü	P_c	OCR	C_c	C_s	Zemin Türü
L1	1.038	2.00	1.926	0.142	0.05	CH
L2	0.498	1.410	2.831	0.132	0.035	CH
L3	0.900	1.118	1.242	0.065	0.036	ML
L4	0.516	1.116	2.162	0.040	0.017	ML
L5	1.326	1.360	1.025	0.066	0.034	ML
L6	0.760	1.720	2.263	0.076	0.042	CH
L7	0.875	2.740	3.130	0.079	0.031	ML
L8	1.710	1.775	1.038	0.139	0.047	CH
L9	0.501	1.520	3.033	0.126	0.050	CL
L10	0.855	2.02	2.36	0.073	0.039	CL
L11	1.818	2.20	1.21	0.149	0.038	CH
Değer Aralığı	0.5 – 1.82	1.1 – 2.75	1.2 – 3.13			

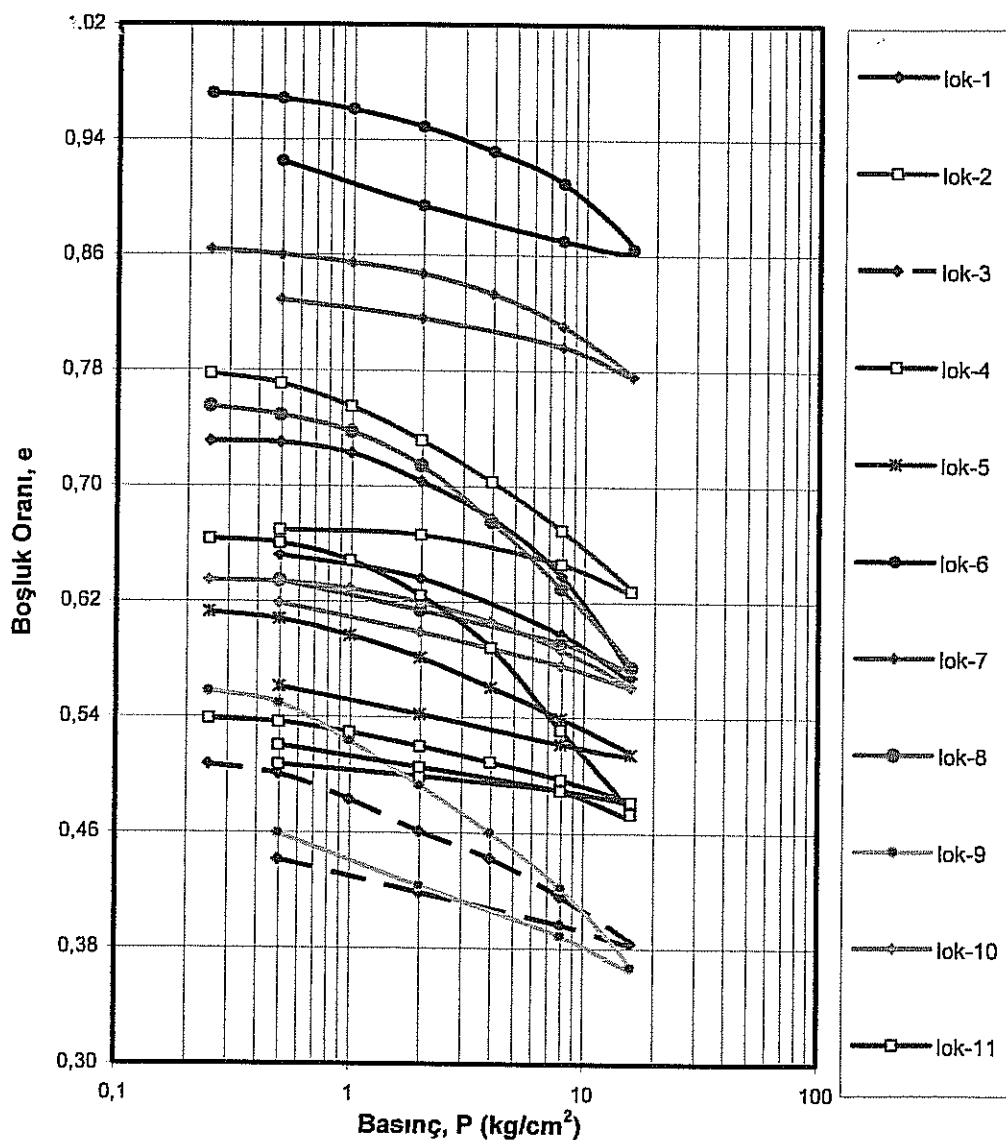
Konsolidasyon deneyleri ile belirlenmiş olan sıkışma indisi (C_c), ön konsolidasyon basıncı (P_c) ve aşırı konsolidasyon oranı (OCR) değerlerinin karşılaştırılması Şekil 4.23'de grafik halinde görülmektedir.



Şekil 4.23. Bazı konsolidasyon parametrelerinin lokasyonlara göre değişimleri

Konsolidasyon deneylerinden elde edilmiş olan konsolidasyon eğrileri e (boşluk oranı) – *logaritma gerilme* (yük kademesi) grafikleri cinsinden ifade edilerek çizilmiş ve Şekil 4.24'de gösterilmiştir.

Literatürde C_c sıkışma indisinin belirlenmesi amacıyla önerilmiş bir çok empirik bağıntı mevcuttur (Çizelge 4.9). Bu çalışmada elde edilen sıkışma indisi değerleri, literatürdeki çok sayıdaki bağıntıdan bu çalışmada ele alınan zemin türlerine benzer olanları kullanılarak elde edilmiş ve sonuçlar diğerleri ile karşılaştırılmıştır. Bu inceleme ile Şekil 4.25'de grafik halinde gösterilmiş olan ilişkiler ortaya çıkmıştır. Şekilde farklı araştırmacıların önerdikleri bağıntılar kullanılarak elde edilen sıkışma katsayısı değerlerinin de geniş bir aralıktaki yayılım sundukları görülmektedir. Ancak, bu çalışmada elde edilen parametrelerin Azzouz ve diğ. (1976 c) (Carter ve Bentley, 1996'dan) ile Nagaraj ve Murphy (1985) tarafından önerilen bağıntılarla elde edilen sonuçlara daha yakın olduğu dikkati çekmektedir.



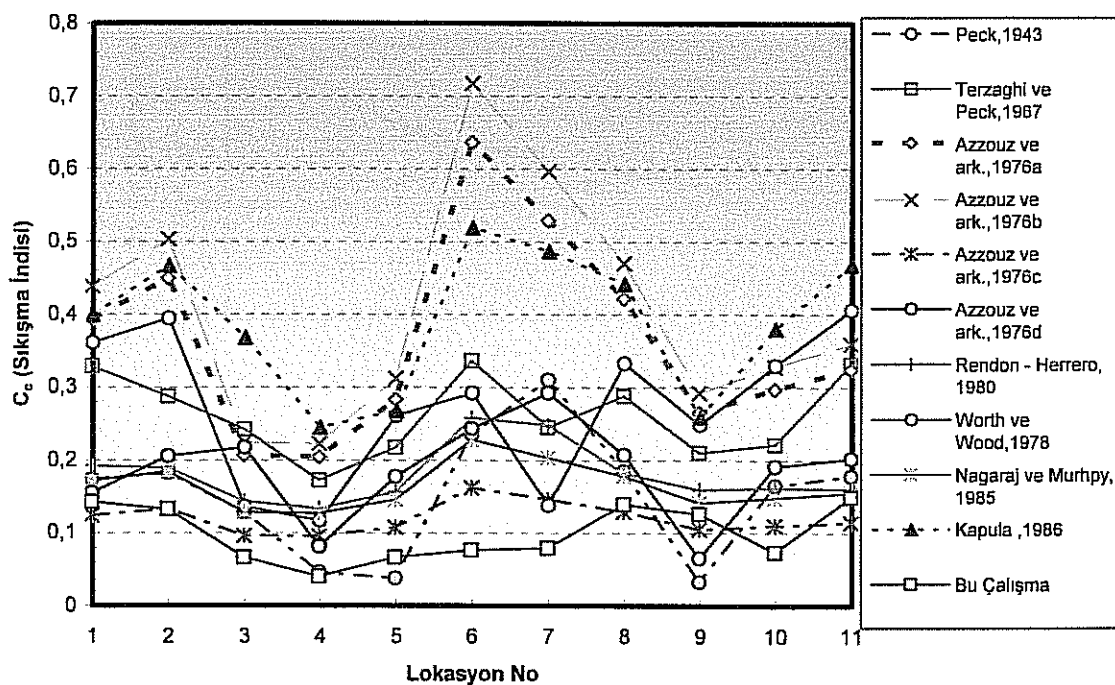
Şekil 4.24. Handere Kili örneklerinin konsolidasyon deneylerinden elde edilmiş deney eğrileri

Yapılan konsolidasyon deneylerinden elde edilen konsolidasyon parametreleri arasındaki ilişkiler incelendiğinde özellikle a_V (sıkışma katsayısı) ile m_V (hacimsel sıkışma katsayısı) arasında ve uygulanan gerilme kademeleriyle bu iki parametrenin her birisi arasında korelasyon katsayıları açısından oldukça yüksek ve anlamlı ilişkilerin olduğu belirlenmiştir (Şekil 4.26 - 4.28).

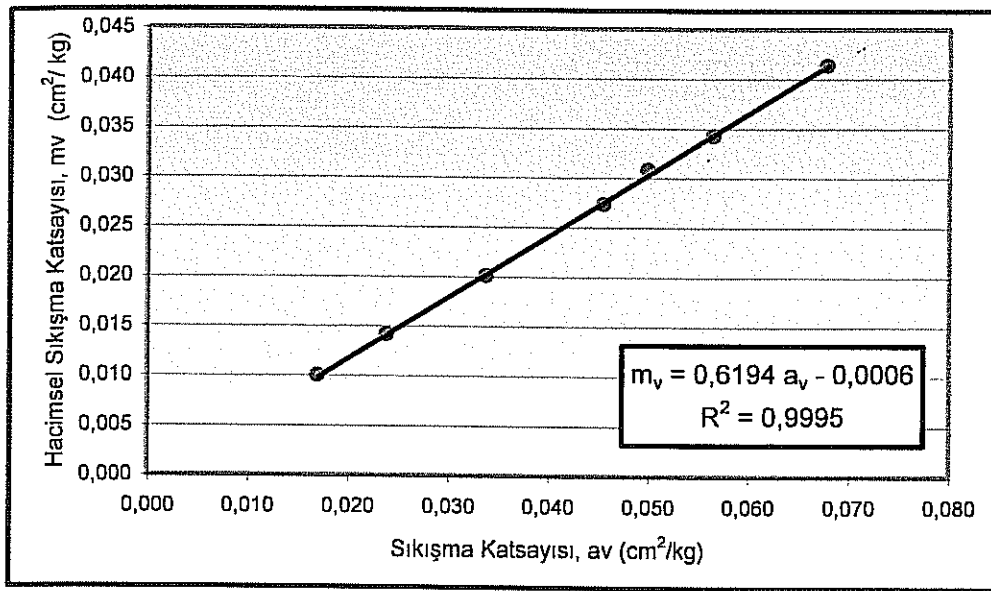
Çizelge 4.9. Sıkışma indisinin belirlenmesi amacıyla farklı araştırmacılar tarafından önerilmiş bağıntılar.

Bağıntı No	Bağıntı	Kaynak
1	$C_C = 1.766 w_n^2 + 0.593 w_n - 0.0135$ (Chicago killeri,)	Peck (1943)*
2	$C_C = 0.009 (w_L - 10)$	Terzaghi ve Peck (1967)
3	$C_C = 0.37*(e_o + 0.003 w_L + 0.0004 w_n - 0.34)$	Azzouz ve ark. (1976 a)*
4	$C_C = 1.15 (e_o - 0.35)$	Azzouz ve ark. (1976 b)*
5	$C_C = 0.156 e_o + 0.0107$	Azzouz ve ark. (1976 c)*
6	$C_C = 0.01 w_n$ (Chicago killeri)	Azzouz ve ark. (1976 d)*
7	$C_C = 0.5 * \left(\frac{1 + e_o}{G_S} \right)^{2.4}$ ($e_o \leq 0.8$)	Rendon-Herrero (1980)
8	$C_C = -0.0997 + 0.0009 w_L + 0.0014 I_p + 0.0036 w_n + 0.1165 e_o + 0.0025 c_p$ (c_p : kil yüzdesi)	Kappula (1981)*
9	$C_C = 0.2343 e_o$	Nagaraj ve Murthy (1985)
10	$C_C = 0.009 w_n + 0.005 w_L$	Kappula (1986)

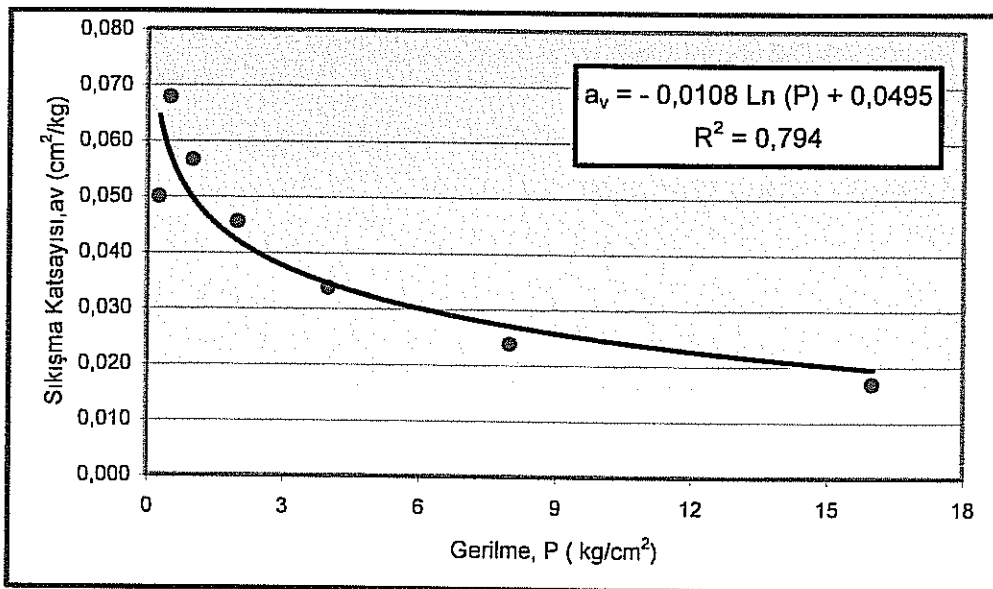
* Carter ve Bentley (1991)'den alınmıştır



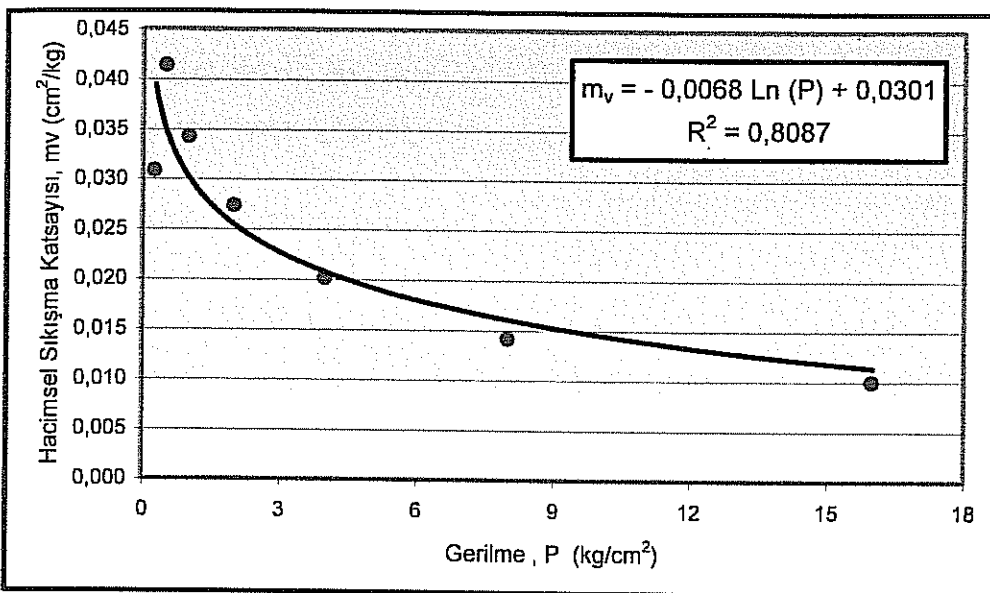
Şekil 4.25. Farklı araştırmacılar tarafından önerilen ampirik bağıntılar ile bu çalışmada elde edilen sıkışma indisi değerlerinin örnek yerlerine göre dağılımları.



Şekil 4.26. Bu çalışma ile elde edilmiş $m_v - a_v$ ilişkisi.



Şekil 4.27. Bu çalışma ile elde edilmiş $a_v - P$ (gerilme) ilişkisi.



Şekil 4.28. Bu çalışma ile elde edilmiş $m_v - P$ (gerilme) ilişkisi.

Konsolidasyon deney verilerinden m_v hacimsel sıkışma katsayısı ve a_v sıkışma katsayısı değerlerinin doğrusal ilişkisi;

$$m_v = 0,6194 a_v - 0,0006 \quad (4.4)$$

bağıntısıyla ortaya konulmuştur. Benzer olarak a_v ve m_v değerlerinin deneyde uygulanan gerilme kademelerine bağlı olarak değişimleri ile elde edilen ilişkiler aşağıdaki bağıntıların ortaya konulmasını sağlamıştır;

$$a_v = -0,0108 \ln(P) + 0,0495 \quad (4.5)$$

$$m_v = -0,0068 \ln(P) + 0,0301 \quad (4.6)$$

Üzerinde yapışmanın hızlı bir şekilde yayıldığı, incelenen Handere Formasyonu killi birimlerinin konsolidasyon özelliklerinin daha çabuk bir şekilde değerlendirilmesine olanak sağlayacak olmalardan dolayı bu ilişkiler anlamlıkk kazanmaktadır. Gerilme seviyelerinin yapılan konsolidasyon deneylerinde yüksek tutulmuş olması, yapı yüklerinin fazla olması durumları için de önerilen bağıntıların geçerlilik sunacak olmaları beklenmektedir.

4.3.1.4. Taşıma Gücü Özellikleri

Zemin taşıma gücü özelliklerinin belirlenmesi amacıyla mekanik zemin parametrelerinden yola çıkışmış ve oluşturulmuş bir temel tipi için taşıma gücü bağıntısı kullanılarak taşıma gücü değerleri belirlenmiştir. Bu amaçla oluşturulmuş olan bilgisayar programı ile ilgili bilgi “3.Materyal ve Metot” bölümünde verilmiştir.

Hesaplamalarda Handere Kili’nde yapılan 1. ve 2. aşama çalışmalardan elde edilen tüm veri noktaları birlikte değerlendirilmiştir. Temel tipi ve boyutlarına ait parametreler her

veri noktası için aynı seçilmiştir. Bu amaçla zemin yüzeyinden 3 m derinlikte 2x3 m boyutlarında dikdörtgen şekilli bir temel model alınmıştır. Sonuçlar olarak ele alındığında Çizelge 4.10'da sunulan taşıma gücü değerleri elde edilmiştir.

Çizelge 4.10. İncelenen Handere Kili örnek yerleri için elde edilmiş taşıma gücü değerleri.

Veri No	B.h.a (gr/cm ³)	Kohezyon (kg/cm ²)	İçsel sür. açısı	Sınır taşıma gücü (kg/cm ²)	Emin taşıma gücü (kg/cm ²)
L 1	1.78	1.30	-	8.93	2.98
L 2	1.64	1.34	-	9.15	3.05
L 3	2.01	1.41	-	9.71	3.24
L 4	1.69	1.01	-	7.03	2.34
L 5	1.58	0.88	-	6.16	2.05
L 6	1.68	1.23	-	8.45	2.82
L 7	1.77	1.13	-	7.83	2.61
L 8	1.74	1.34	-	9.18	3.06
L9	1.65	2.34	-	15.61	5.20
L10	1.72	1.17	-	8.07	2.69
L11	1.80	1.19	-	8.23	2.74
AÇ 50 (kumlu)	2.02	0.17	19.7	6.43	2.14
AÇ 53	1.99	0.38	-	3.05	1.02
AÇ 54	1.95	1.01	-	7.75	2.58
AÇ 55	1.92	0.74	-	5.36	1.79
AÇ 70a	1.92	1.44	-	9.87	3.29
AÇ 70b	1.84	1.43	-	9.78	3.26
<i>Değer Arahığı:</i>				3.05 – 15.61	1.02 – 5.20

Yüzey kazılarının incelenmesi ile elde edilmiş sınır taşıma gücü değerlerinin 3.05 ile 15.61 kg/cm² ve güvenlik sayısı 3 değeri için emin taşıma gücü değerlerinin 1.02 ile 5.20 kg/cm² değerleri arasında değiştiği belirlenmiştir.

4.3.1.5. Şevlerin Duraylılık Özellikleri

Handere Kili, Adana yerleşim alanı içinde üzerinde yapılışmanın da olduğu topografik yükseltiler oluşturmaktadır. Bu bakımından özellikle şev duraylılığı açısından incelenmesi gereken bir litolojiyi oluşturmaktadır. Bu çalışma kapsamında yapılan arazi incelemeleri ile birim içerisinde yerel kütle hareketleri belirlenmiştir. Ancak boyutları itibarıyle mühendislik açısından bir önem arz etmediğlerinden detaylı bir incelemeye alınmamışlardır. Adana Güçbirliği Vakfı (AGV) arazisi olarak bilinen ve yetkililer tarafından kaydettiği söylenen bölge

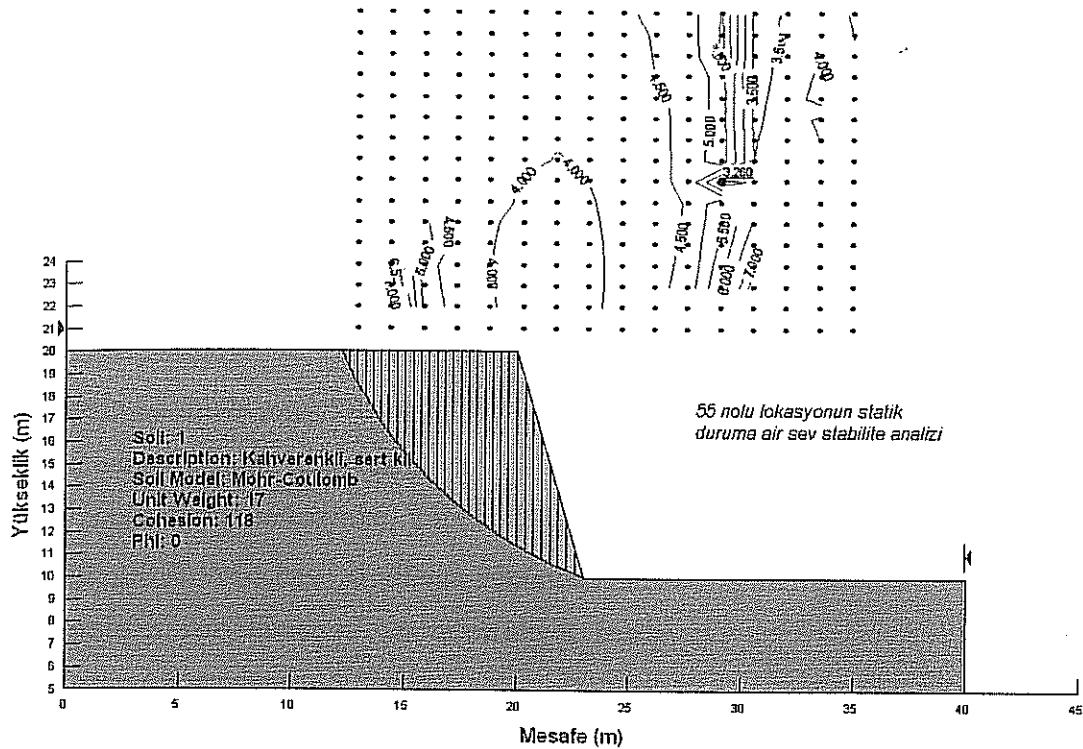
de bu çalışma kapsamında incelenmiş, ayrıca Ç.Ü. Müh.-Mim. Fak. Jeoloji Müh. Bölümü tarafından yapılan sondaj çalışmaları ile etüt edilmiştir. Bölgede yapışmanın olması ve buna bağlı olarak yüzey kazılarından çıkarılan yerli malzemelerin kontrolsüz bir şekilde en yakın yere serilmesi hem orijinal topografyanın yokmasına ve hem de dolgu özelliği kazanmış bir temel malzemesinin oluşturulmasına neden olmuştur. Bu durum yine en iyi şekilde AGV arazisinde (03321 D/ 03785 K, 03275 D/ 03839 K) gözlenmektedir. Bölgede yapılan sondajlarda da ilk 3 metrelık kısımda 13 ile 20 arasında değişen oldukça düşük SPT-N değerleri elde edilmişken bu derinlikten sonra aniden darbe sayılarında aşırı artışlar meydana gelmiştir. Bu da yerinden kaldırılarak taşınmış ve serilmiş, dolayısı ile yeniden oluşturulmuş dolgu niteliği kazanmış bir malzemenin o bölgede var olduğunu ortaya koymaktadır.

Duraylılık analizi yaparak oluşturulmuş bir şevin güvenlik katsayısını belirlemek amacı ile 55 numaralı araştırma çukuru (EK-1) örnek seçilmiştir. Bu seçimde şevin kısmen yüksek olması, eğim açısının fazla olması ve yanal devamlılığın bulunması gibi faktörler etkili olmuştur. Analizde Geo-Slope bilgisayar programı kullanılmıştır. Program farklı yöntemlere göre analize imkan vermekle birlikte zemin şev duraylılığında yaygın olarak kullanılmasından dolayı bu analizde Bishop (1955) yöntemi kullanılmıştır. Yüksekliği 9.5 metre olan şev için elde edilmiş olan zemin parametreleri kullanılarak kayma dairesini oluşturabilecek alan içerisinde vermiş olduğu en kritik güvenlik katsayısı değeri 3.26 olarak bulunmuştur (Şekil 4.29).

Elde edilen güvenlik katsayısı değerinin şev için oldukça emniyetli olması, incelenen birim içerisinde şev duraylılığı açısından olumsuz durumların beklenmeyeceği anlamını taşımaktadır. Bunda aşağıda sıralanan birime ait özelliklerin de etkili olduğu yapılan arazi incelemeleriyle de ortaya konulmuştur;

1. Handere Kili ayırtma neticesinde zemin özelliği göstermekle birlikte esas olarak tabakalı bir yapı sunmaktadır.
2. Tabakaların eğimleri genel olarak yamaç içine doğrudur.
3. Bölgede yeraltı suyu oldukça derindedir ve birim ancak yüzey sularının aşındırması ile yüzeysel olarak şekillenmektedir.

Kilin aşırı konsolidasyonu ve diyajenez etkisinde kalınlaşması duraylılığı olumlu yönden etkilemektedir.



Şekil 4.29. Analizi yapılan yol yarması şevinin statik durumdaki duraylılık analizi ve olması muhtemel kayma dairesi şekli.

4.3.1.6. Şişme ve Büzülme Özellikleri

Yüksek plastisiteli zeminler tane yapılarına, kıl mineralinin türüne ve miktarına, doğal su muhtevasına ve boşluk oramı değerlerine bağlı olarak hacim değişimleri gösterirler. Bu tür zeminler su ile temaslarında duraylı yapılarını kaybederek bazı olumsuz davranış şekilleri gösterirler. Bunlara genel olarak “*problemli zeminler*” denilmektedir.

Sridharan ve diğ. (1986) şişen zeminleri yarı kurak ve kurak iklim bölgelerinde oluşan, suyla temaslarında hacim değişimleri göstererek üstlerindeki hafif yapılara ve kazı destek sistemlerine zarar veren killer olarak tanımlamaktadır.

Başa Amerika olmak üzere, Avustralya, Hindistan, Sudan, Mısır, Etiyopya ve Küba şişen zeminlerin yaygın olarak bulunduğu ülkeler arasında yer almaktadır. Skempton’ın 1953 yılında “*Aktivite*” kavramını ortaya atması bu konudaki araştırmalarında başlangıç noktasını oluşturmaktadır (Yılmaz, 2000b). Holtz ve Gibbs (1956) Batı Amerika’daki şişen zeminler üzerinde yaptıkları çalışmalarla zeminlerin potansiyel hacim değişimlerinin kıl içeriği ve plastisite indisi değerlerine bağlı olduğu tespit edilmiştir. Gill ve Reaves (1957) yaptıkları çalışmalarda katyon değişim kapasitesi (DKK), özgül yüzey alanı, su içeriği ve plastisite indisi değerleri arasındaki ilişkileri incelemiştir. Ardından kıl minerali türünün önemi anlaşılmış ve şişmede rol oynayan mineralin smektit olduğu belirlenmiştir (Thomas, 1998).

Günümüzde çoğu geçmişte yapılan çalışmaların ışığında olmak üzere, şisen zeminlerin bir çok özellikleri bilinmektedir. Özetle, yüksek KDK, yüksek özgül yüzey alanı ve yüksek likit limit değerlerine sahip smektit grubu killerin şisen zeminler olarak tanımlanması uygun olacaktır.

Adana ilinde mevcut yapılaşma da dahil olmak üzere yeni yerleşime açılacak alanların bir bölümü Handere Formasyonu olarak adlandırılan birimin killi seviyeleri (Handere kili) üzerinde bulunmaktadır. Su içeriği değişikliklerine bağlı olarak hacimsel değişimler gösteren bu seviyelerin bir kısmı şisen killerdendir.

Son yıllarda bütün dünyada şisen killer ile ilgili araştırmalar genişleyerek artmaktadır. Atterberg limitleri, kil fraksiyonu, kilin türü ve serbest şışme gibi bilinen indeks özellikler kullanılarak geliştirilmiş basit sınıflama yöntemleri bulunmaktadır. Ancak ileri araştırmalar bu tür zeminler için kimyasal ve mineralojik incelemelerin de vazgeçilmez ve önemli olduğunu ortaya koymuştur.

4.3.1.6.(1). Handere Kilinin Kimyasal ve Mineralojik Özellikleri

Şışme, büzülme ve sıkışma özelliğine sahip zeminlerin büyük çoğunluğu kimyasal ve mineralojik özelliklerine bağlı olarak diğer fiziksel ve mekanik özelliklere sahip olurlar. Bu durum ince taneli zeminler için ayrıca önem kazanmaktadır. Özellikle Fe_2O_3 ve CaO kil taneleri arasındaki tutucu bağlı kuvvetlendirdiğinden hem kuru mukavemeti hem de şısmeye karşı direnci artmaktadır (Shi ve dig., 2002). Benzer şekilde SiO_2 , Al_2O_3 , Fe_2O_3 , CaO ve MgO yüzde değerlerinin yüksek olması smektit türü kil içeriğinin ve buna bağlı olarak yüksek şışme potansiyelinin varlığına işaret etmektedir (Abduljauwad, 1993; Ergüler ve Ulusay, 2002'den).

Bu çalışmada incelenmiş örneklerin kimyasal analizleri sonucunda elde edilmiş olan değerler Çizelge 4.11'de gösterilmiştir. Çizelge incelendiğinde elde edilen sayısal değerlerin dar bir aralıkta değişim sunduğu görülmektedir.

Katyon değişim kapasitesi (KDK) değerlerinin büyüklüğü ile şışme ilişkisinin incelenmesi amacıyla yapılan deneyler, incelenen zemin örneklerinin KDK değerlerinin 19.02 mek/100 gr ile 42.14 mek/100 gr arasında değişim gösterdiklerini ortaya koymuştur (Çizelge 4.12).

Çizelge 4.11. İncelenen örnek yerlerine ait kimyasal analiz (%) sonuçları.

Örnek Yeri	SiO_2	Al_2O_3	Fe_2O_3	CaO	MgO
L1	38.3	7.2	6.4	18.7	9.1
L2	39.2	8.5	8.0	12.5	9.5
L3	34.2	6.6	7.9	20.9	10.2
L4	38.6	5.6	4.6	19.5	8.2
L5	34.4	7.7	6.7	18.2	9.1
L6	44.9	8.7	8.9	9.0	11.3
L7	43.4	8.1	6.0	11.0	9.5
L8	26.3	5.9	6.0	22.1	12.2
L9	33.9	6.6	5.7	20.2	9.1
L10	32.6	6.6	3.9	20.9	9.9
L11	24.6	4.6	2.9	34.2	6.9

L-6 ve L-8 veri noktaları ile CH grubu zeminlerde KDK'nın en yüksek, L-3 ve L-7 noktalarının ise ML grubu zeminlerde en düşük değerleri verdiği tespit edilmiştir. Bu değerlerin Yılmaz (2000b) tarafından belirtilen Grim (1968) sınıflamasına göre Çizelge 4.13'de görüldüğü gibi illit, klorit veya halloysite ait KDK değerleri ile uyumlu oldukları görülmektedir. Ancak detaylı kil analizleri yapılamadığından kılın cinsi ile ilgili kesin bir bilgi elde edilememiştir.

Çizelge 4.12. İncelenen lokasyonlar için elde edilmiş pH ve KDK değerleri.

Örnek Yeri	pH	K.D.K (mek/100 gr)	Zemin sınıfı
L-1	8.91	21.89	CH
L-2	8.60	23.25	CH
L-3	8.25	21.08	ML
L-4	8.63	24.03	ML
L-5	8.30	23.00	ML
L-6	8.60	42.14	CH
L-7	8.73	19.02	ML
L-8	8.56	45.07	CH
L-9	8.59	23.77	CL
L-10	8.47	27.05	CL
L-11	8.52	25.38	CH

Kilde pH artışı karbonat miktarı artışına bağlı olduğu için normal olarak pH değeri yüksek olan kilde şişmenin daha az olması beklenenecektir. İncelenen killi zeminlerde 1/1

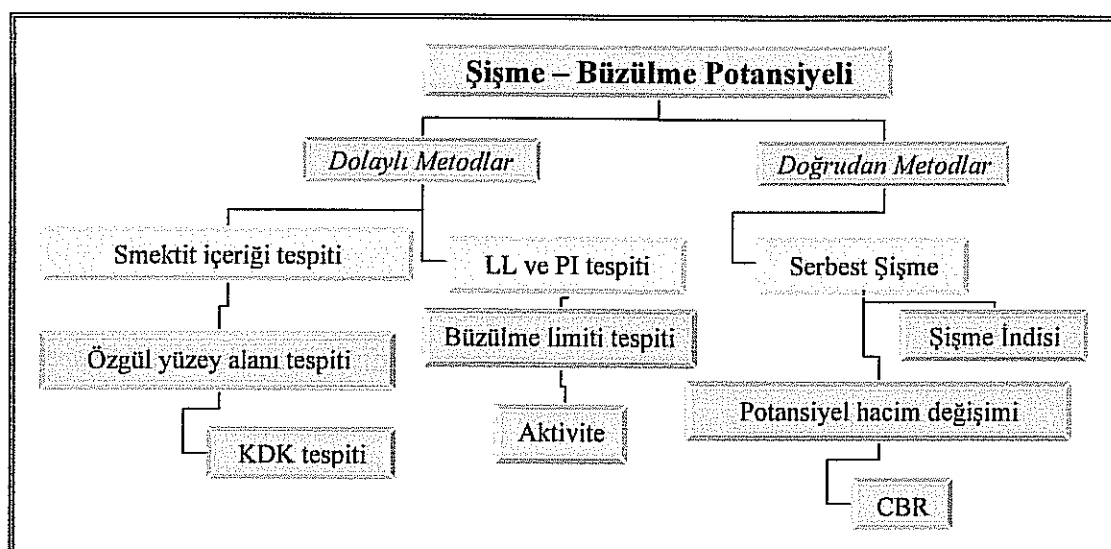
karışım ile hazırlanan çözeltiler ve dijital pH metre kullanılarak hesaplanan pH değerlerinin 8.25 – 8.91 gibi dar bir aralıkta değişiyor olması zeminlerin tamamının bazik özellik sunmakta oldukları göstermektedir (Çizelge 4.12).

Çizelge 4.13. Bazı kil minerallerinin KDK değerleri (Grim, 1968; Yılmaz, 2000b'den).

<i>Kil minerali</i>	<i>Katyon değişim kapasitesi (mek/100 gr)</i>
Kaolinit	3 – 15
Smektit	80 – 150
İllit	10 – 40
Klorit	10 – 40
Vermikülit	100 – 150
Halloysit	10 - 40

4.3.1.6.(2). Şişme Deneyleri

Zeminlerin şişme ve büzülme özelliklerinin belirlenmesi amacıyla ortaya konulmuş çeşitli deney yöntemleri bulunmaktadır. Bu yöntemler esas olarak 2 gruba ayrılabilir; doğrudan ve dolaylı yöntemler. (Şekil 4.30). Bunların içinden kıvam limitleri ve aktivitenin tespiti en fazla değerlendirmede bulunulan dolaylı yöntemlerdir. Serbest şişme ve şişme indisinin bulunması ise aynı şekilde en fazla kullanılan doğrudan yöntemlerdir.



Şekil 4.30. Zeminlerin şişme ve büzülmesinin tespitinde kullanılan yöntemler.

İnceleme alanındaki killi zeminlerin şişme karakteristiklerinin belirlenmesi amacıyla iki ayrı deney yöntemi uygulanmıştır. Bunlardan ilki serbest şişme deneyi olup sonradan modifiye serbest şişme deneyi olarak bir başka biçimde de ifade edilmiştir. Diğer ise konsolidasyon cihazıyla elde edilen serbest şişme deneyidir.

Holtz ve Gibbs (1956) tarafından önerilen şişme deneyi anlatılmaktadır. Bu deneyde 10 cm^3 kuru zemin 100 cm^3 su dolu dereceli silindire konur ve şışerek dengeye varan zeminin son hacmi ölçülür. Aşağıdaki bağıntı kullanılarak serbest şişme yüzdesi belirlenir.

$$\text{Serbest Şişme (\%)} = \frac{V_{\text{son}} - V_{\text{ilk}}}{V_{\text{ilk}}} * 100 \quad (4.7)$$

Serbest şişme değerinin $< \% 50$ olması şişmenin düşük, $> \% 100$ olması ise yüksek olduğunu ifade eder. Bu aralıktaki değerler için şişme potansiyelinin orta olduğu belirtilmiştir (Holtz ve Gibbs, 1956).

Değiştirilmiş (modifiye) şişme indisi deneyi Sivapullaiah ve diğ. (1987) tarafından önerilmiş olup bu deney için kurutulan ve daha sonra öğütülen 10 gramlık numuneler kullanılmaktadır. 100 cc'lik saf su dolu dereceli silindir içine aktarılan numunelerin 24 saat sonundaki hacimleri ölçülerek serbest şişme indisi değerleri aşağıdaki bağıntı kullanılarak belirlenmiştir (Şekil 4.31);

$$MS\dot{S}I = \frac{V - V_s}{V_s} \quad (4.8)$$

Bu bağıntıda,

$MS\dot{S}I$ = değiştirilmiş (modifiye) serbest şişme indisi

V = şişme sonrası zemin hacmi,

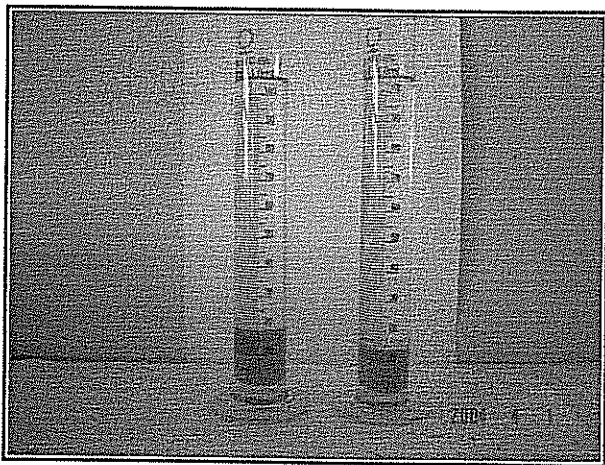
V_s = zeminin tane hacmi = $W_s / G_s * \gamma_w$

W_s = etüvde kurutulmuş zemin ağırlığı,

G_s = zeminin özgül ağırlığı,

γ_w = suyun birim hacim ağırlığıdır.

Bu çalışmada yapılan deneyler ile ortaya konulan serbest şişme ve modifiye serbest şişme değerleri ile şişmenin değer olarak tanımlanması Çizelge 4.15'de görülmektedir. Buna göre incelenen killerin tamamı “orta” derecede şişme göstermektedirler.



Şekil 4.31. Şişme deneyine tabi tutulmuş 2 farklı kil numunesinin deney sonundaki durumları.

Elde edilmiş modifiye serbest şişme değerleri Çizelge 4.14'e göre yorumlanmıştır.

Çizelge 4.14. Modifiye serbest şişme indisine bağlı olarak şişmenin tanımlanması (Sivapullaiah ve diğ., 1987).

<i>MSSI</i>	<i>Şişme Potansiyeli Tamamı</i>
< 2.5	Düşük
2.5 – 10	Orta
10 – 20	Yüksek
> 20	Çok yüksek

Çizelge 4.15. İnceleme noktalarına göre serbest ve modifiye şişme değerlerinin hesaplanmış değerleri ve şişme derecelerinin tanımı.

<i>Örnek Yeri</i>	<i>Özgül Ağırlık</i>	<i>Birim Hacim Ağırlık (gr/cm³)</i>	<i>Serbest Şişme Değeri (%)</i>	<i>Modifiye Serbest Şişme</i>	<i>Şişmenin Tanımı</i>
L1	2.58	1.73 – 1.84	50 - 81	3.64	Orta
L2	2.68	1.61 – 1.67	60 - 80	2.62	Orta
L3	2.60	2.00 – 2.02	40 - 60	2.38	Orta
L4	2.68	1.66 – 1.72	50 - 70	2.22	Orta
L5	2.63	1.56 – 1.60	40 - 60	2.42	Orta
L6	2.60	1.67 – 1.69	60 - 90	3.42	Orta
L7	2.50	1.75 – 1.78	50 - 74	2.75	Orta
L8	2.68	1.71 – 1.76	55 - 75	2.62	Orta
L9	2.58	1.61 – 1.69	71 - 90	2.61	Orta
L10	2.61	1.71 – 1.73	50 - 100	2.52	Orta

4.3.1.6.(3). Şişme Potansiyeli

Zeminlerin şişmesi konusunda ilk ortaya konulan parametrelerden biri de “şişme potansiyeli” olmuştur. Ancak şişme potansiyelinin tek başına şişmenin boyutu ile ilgili fikir veremeyeceği anlaşıldığında diğer şişme parametrelerinin de oluşturulması sağlanmıştır. Başlangıçta Holtz (1959) şişme potansiyelini havada kurutulmuş zemin numunelerinin hacim değişimi olarak ele almıştır. McCormack ve Wilding (1975), kıl içeriğinin şişmenin güvenilir bir şekilde belirlenmesinde önemli olduğunu belirterek bu amaçla Atterberg limitlerini kullanmıştır. Yule ve Ritchie (1980) ile Gray ve Allbrook (2002) ise bunun tersine bir fikir bildirerek kıl yüzdesi ile şişme arasında hiçbir ilişkinin olmadığını savunmuşlardır. Gill ve Reaves (1957) katyon değişim kapasitesi, su muhtevası ve plastisite indisi parametrelerinin şişme potansiyelini belirlemekte kullanılabileceğini belirtmiştir. Karathanasis ve Hajek (1985) smektit içeriğinin diğer laboratuar deneylerine göre şişme potansiyeli açısından daha önemli olduğunu ifade etmiştir. Parker ve diğ. (1977), şişme indisi ve plastisite indisi değerlerinin diğer parametrelerden daha fazla önem taşıdığını bildirmiştir.

Zeminin su muhtevası farklılıklarına bağlı olarak şişmesini ya da büzülmesini tespit edebilmek için “şişme potansiyeli testi” yapılmaktadır. Şişme potansiyeli kompaksiyon testine tabi tutularak optimum su muhtevası ve kuru birim hacim ağırlığı elde edilmiş zeminin konsolidasyon cihazında 6.9 kN/m^2 lik (1 psi) düşük bir sursarj yükü altında şişmesine müsaade edilmesiyle bulunur.

Çizelge 4.16'da Seed ve diğ. (1962) ile Krebs ve Walker (1971), (Carter ve Bentley, 1991'den) tarafından ortaya konulan plastisite indisi, şişme potansiyeli değerleri görülmektedir.

Çizelge 4.16. Plastisite indisine bağlı olarak şisen zeminlerin tanımlanması (Carter ve Bentley, 1991'den).

Şişme Potansiyeli	Plastisite İndisi (Seed ve ark, 1962)	Plastisite İndisi (Krebs ve Walker, 1971)
Düşük (% 0 – 1.5)	0 – 15	0 – 15
Orta (% 1.5 – 5)	10 – 30	15 – 24
Yüksek (% 5 – 25)	20 – 55	25 – 46
Çok Yüksek (> % 25)	> 40	> 46

Çizelge 4.17 ise likit ve plastik limit değerleri ile şişme potansiyeli ve şişme derecelerinin tanımını göstermektedir.

Çizelge 4.17 USAEWES şişme potansiyeli sınıflaması (O'Neill ve Poormoayed, 1980).

Likit Limit (%)	Plastik Limit (%)	Şişme Potansiyeli (%)	Sınıflandırma
< 50	< 25	0 – 1.5	Düşük
50 – 60	25 – 35	1.5 – 5	Orta
> 60	> 35	5 – 25	Yüksek

Bu çalışmada elde edilen değerler açısından ele alındıklarında O'Neill ve Poormoayed, (1980) ile Krebs ve Walker (Carter ve Bentley, 1991'den) kriterleri kullanılarak tanımlanmış şişme potansiyeli değerleri Çizelge 4.18'de gösterilmiştir.

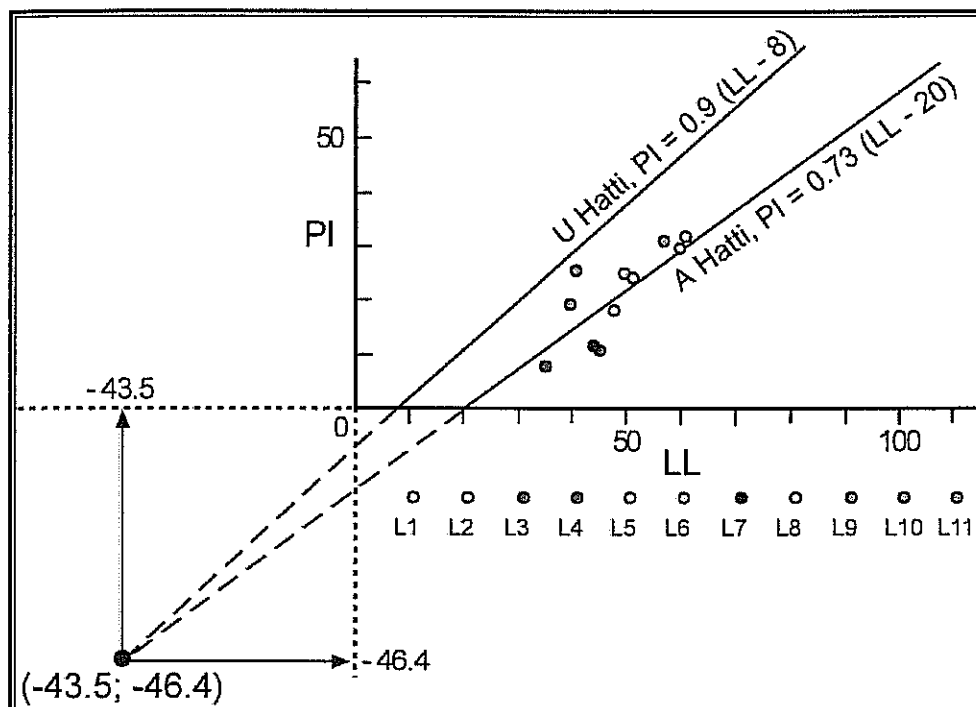
Çizelge 4.18. Örnek yerlerine göre tanımlanmış şişme potansiyeli değerleri.

Örnek Yeri	LL (%)	PL (%)	PI (%)	Şişme Potansiyeli Tanımı		Zemin Sınıfı
				O'Neill ve Poormoayed, 1980	Krebs ve Walker, 1971 (Carter, 1991)	
L1 - SM2	59.1	26.88	32.22	Orta	Yüksek	CH
L1 - SM3	52.0	25.10	26.90	Orta	Yüksek	CH
L1 - SM4	59.5	27.51	31.99	Orta	Yüksek	CH
L1 - SM5	56.8	28.76	28.04	Orta	Yüksek	CH
L2 - SM1	56.5	27.04	29.46	Orta	Yüksek	CH
L2 - SM2	50.0	23.50	26.50	Orta	Yüksek	CH
L2 - SM3	51.0	28.00	23.00	Orta	Orta	CH
L3 - SM2	44.5	33.97	10.53	Düşük	Düşük	ML
L4 - SM2	34.5	25.74	8.76	Düşük	Düşük	ML
L5 - SM2	47.5	28.72	18.78	Orta	Orta	ML
L5 - SM3	48.7	28.83	19.87	Orta	Orta	ML
L5 - SM5	41.0	27.93	13.07	Düşük	Düşük	ML
L6 - SM1	60.0	30.60	29.40	Orta	Yüksek	CH
L6 - SM2	58.0	35.47	22.53	Orta	Orta	MH
L7 - SM3	45.0	33.92	11.08	Düşük	Düşük	ML
L8 - SM2	51.2	26.31	24.89	Orta	Yüksek	CH
L9 - SM3	40.0	19.75	19.35	Düşük	Orta	CL
L10 - SM3	41.5	22.00	25.30	Düşük	Yüksek	CL
L11 - SM1	57.25	26.32	30.93	Orta	Yüksek	CH
L11 - SM2	55.88	26.30	29.58	Orta	Yüksek	CH

Bu çizelgeden likit limit değerlerinin ≥ 50 olduğu zeminlerin CH grubu yüksek plastisiteli killер oldukları görülmektedir. Bu, bazı araştırmacılara göre smektitin varlığına

işaret etmektedir ki bu sebeple şişme potansiyeli yükselmektedir (Means ve Parcher, 1963; Ergüler ve Ulusay, 2002'den). Literatürde bildirilen bu durum açısından da ele alındıklarında L1, L2, L6, L8 ve L11 noktalarının şişme potansiyellerinin diğer noktalara göre daha yüksek olduğu ortaya konulmuştur.

İncelenen veri noktalarından alınan örnekler üzerinde yapılan kıvam limiti deneyleri Casagrande abağı (Şekil 4.32) yardımıyla değerlendirilerek bulunan büzülme limiti değerleri Çizelge 4.19'da gösterilmiştir.



Şekil 4.32. Büzülme limitinin belirlenmesi amacıyla Casagrande tarafından önerilen abak (Carter ve Bentley, 1991'den) ve incelenen lokasyonların dağılımları.

Çizelge 4.20'de rötre limiti (büzülme limiti) ve lineer rötre (lineer büzülme) değerlerine bağlı olarak şişme potansiyeli derecelendirmesi gösterilmektedir. Bu çizelgedeki ilişkiler Altmeyer (1955) tarafından önerilmiştir. Ancak rötre limitinin potansiyel hacim değişiminin belirlenmesinde kullanılabilir olmasına rağmen bazı araştırmacılar rötre ile şişme potansiyeli arasında bir ilişki önermemiştirlerdir (Chen, 1988).

Hesaplanan büzülme limiti değerlerinin Çizelge 4.20'ye göre değerlendirilmesi, L10 dışındaki inceleme noktaları için şişmenin önemli olmadığını göstermektedir.

Büzülme limiti değerleri kullanılarak yapılan bir diğer değerlendirme Ranganatham (1965; Djedid ve diğ., 2001'den) tarafından önerilmektedir (Çizelge 4.21). Bu değerlendirmenin Altmeyer (1955) kriterinden sayısal değerlerin geniş bir aralık sunması

açısından farklı olduğu göze çarpmaktadır. Bu değerlendirmeye göre ise lokasyonlara ait tüm örneklerin “**düşük – orta**” şişme potansiyeline sahip oldukları görülmektedir.

Çizelge 4.19. Örnek yerlerine ait likit limit ve plastisite indisi parametreleri kullanılarak elde edilmiş büzülme limiti değerleri.

<i>Örnek Yeri</i>	<i>Hesaplamada Kullanılan LL (%)</i>	<i>Hesaplamada kullanılan Plastisite İndisi, PI (%)</i>	<i>Büzülme Limiti (%)</i>
L1	59.5	32.0	18.2
L2	50.0	26.5	19.0
L3	44.5	10.5	29.2
L4	34.5	8.8	23.0
L5	47.5	18.8	20.8
L6	60.0	29.4	19.8
L7	45.0	11.1	26.4
L8	51.2	25.0	19.4
L9	40.0	19.3	15.8
L10	41.5	25.3	10.8
L11	57.25	31.0	18.0

Çizelge 4.20. Büzülme limiti ve lineer büzülmeyi kullanarak şişme potansiyelinin belirlenmesi için önerilen rehber (Altmeyer, 1955).

<i>Şişme Potansiyeli</i>	<i>Büzülme Limiti (%)</i>	<i>Lineer Büzülme (%)</i>
Kritik	< 10	> 8
Sınırda	10 – 12	5 – 8
Kritik değil	> 12	0 - 5

Çizelge 4.21. Farklı araştırmacılar tarafından önerilmiş şişme potansiyeli kriterleri.

<i>Altmeyer (1955)</i>		<i>(Ranganatham 1965; Djedid ve dig. 2001'den)</i>	
<i>Su muht., w_n</i>	<i>Şişme potansiyeli</i>	<i>Büzülme limiti (%)</i>	<i>Şişme potansiyeli</i>
< 10	Yüksek	10 – 20	Düşük
10 – 12	Kritik	20 – 30	Orta
> 12	Düşük	30 – 60	Yüksek
		> 60	Çok yüksek

4.3.1.6.(4). Şişme İndisi (C_s)

Şişme indisi ile sıkışma indisi değerleri genellikle birbirleri ile yakın ilişkide olan parametreler olup, laboratuarda aynı deney işlemleri uygulanarak belirlenebilmektedir. Genel olarak zeminin şişme indisinin sıkışma indisinin $1/5 - 1/10$ 'u arasında değerler aldığı bilinmektedir. Nagaraj ve Murthy (1985) şişme indisinin belirlenmesi için aşağıdaki bağıntıların kullanılmasını önermiştir.

$$C_s = 0.0463 e_o \quad (e_o, \text{ boşluk oranı}) \quad (4.9)$$

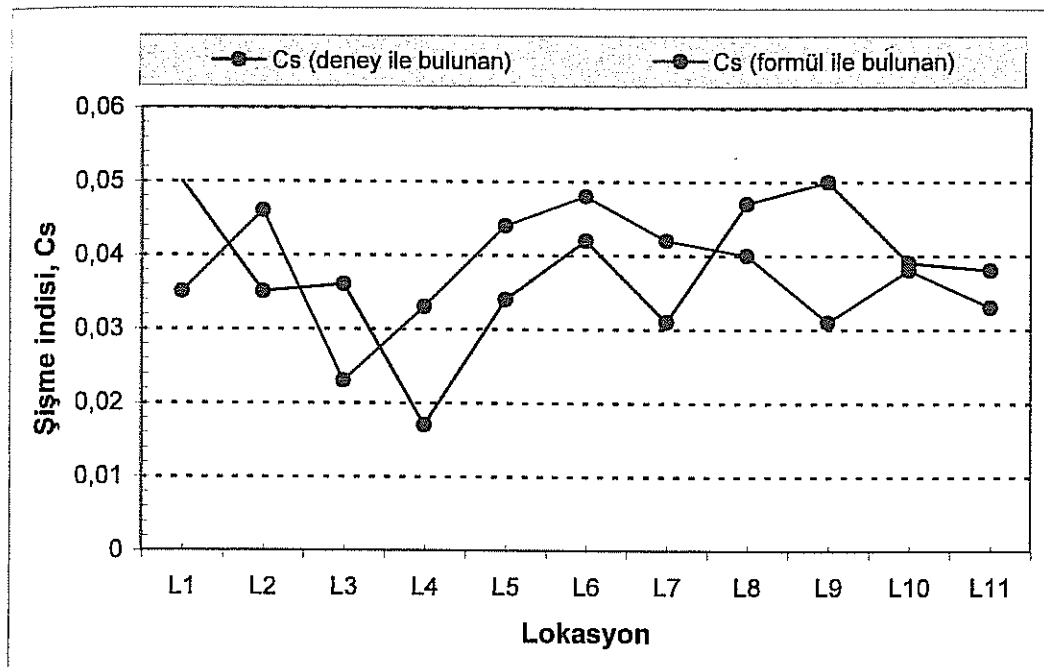
veya,

$$C_s = 0.0463 * (LL / 100) * G_s \quad (LL, \text{ likit limit; } G_s, \text{ özgül ağırlık}) \quad (4.10)$$

Konsolidasyon deneyleri sırasında elde edilmiş olan (deneyle bulunan) ve yukarıda belirtilen ilk bağıntı kullanılarak elde edilmiş olan (formülle bulunan) şişme indisi değerleri Çizelge 4.22'de gösterilmiştir. Bulunan her iki değerin lokasyonlara göre değişimlerinin kıyaslanması amacıyla ortaya konmuş grafik Şekil 4.33'de verilmiştir. Deney ile bulunan değerlerin bazı veri noktaları için daha düşük bazları için ise daha yüksek değerler verdikleri görülmektedir. Her iki değerlendirme için en büyük fark değeri 0.019 olarak görülmektedir.

Çizelge 4.22. Konsolidasyon deneyleri sırasında deneyle hesaplanan ve formülle bulunan sıkışma indisi değerlerinin veri noktalarına göre değişimleri.

Örnek Yeri	C_c	C_s (deney)	C_s (formül)	Zemin Türü
L1	0.142	0.05	0.035	CH
L2	0.132	0.035	0.046	CH
L3	0.065	0.036	0.023	ML
L4	0.040	0.017	0.033	ML
L5	0.066	0.034	0.044	ML
L6	0.076	0.042	0.048	CH
L7	0.079	0.031	0.042	ML
L8	0.139	0.047	0.040	CH
L9	0.126	0.050	0.031	CL
L10	0.073	0.039	0.038	CL
L11	0.149	0.038	0.033	CH



Şekil 4.33. Deney ve formülle bulunan sıkışma indisi değerlerinin örnek yerlerine göre dağılımları.

4.3.1.7. Zemin Emmesi ve Toplam Şişme

Konsolidasyon deneylerinde zemin örneklerinin başlangıçtaki su içeriği değerleri hem konsolidasyon hesaplamalarında ve hem de şişme değerlerinin belirlenmesinde önem taşımaktadır. Konsolidasyon deneylerinde başlangıç ile deney sonu su içeriği arasındaki fark zemin emmesi olarak bilinmektedir. Deney yapılan numunelere ait su içeriği alınan derinliklerin farklımasına bağlı olarak değişiklik sunduğundan bu değerler kendi içerisinde ayrıca yorumlanamamışlardır. Örneklerde ait derinlik, deney başı ve sonu su içeriği değerleri ile zemin emmesi ve şişme deneyi sonunda elde edilmiş toplam şişme değerleri Çizelge 4.23'de bir arada gösterilmiştir. Bu çizelgeye göre toplam şişmenin ve buna bağlı olarak şişme potansiyelinin en yüksek olduğu yerler L3, L4 ve L5 noktaları olarak ortaya çıkmaktadır. L6 ve L7 örnek noktaları ise en düşük şişme potansiyeli değerlerine sahiptirler.

Çizelge 4.23. Örnek yerlerine bağlı olarak zemin emmesi ve toplam şişme miktarlarının değişimi.

Örnek Yeri	Derinlik (m)	Deney başı su içeriği (%)	Deney sonu su içeriği (%)	Zemin Emmesi (%)	Toplam şişme (mm)	Şişme Potansiyeli (%)
L1	6	19.84	28.36	8.52	0.550	2.75
L2	3	20.50	29.40	8.90	0.670	3.35
L3	4.5	3.64	21.01	17.37	0.910	4.55
L4	3	2.02	20.28	18.26	0.924	4.32
L5	8.5	17.75	22.16	4.41	0.850	4.25
L6	3	28.28	36.40	8.12	0.220	1.10
L7	5	27.22	33.61	6.39	0.240	1.20
L8	10	0.00	24.82	24.82	0.546	2.73
L9	3	2.80	23.42	20.62	0.581	2.90
L10	4	20.86	24.36	3.50	0.474	2.37
L11	9	21.22	28.20	6.98	0.372	2.54

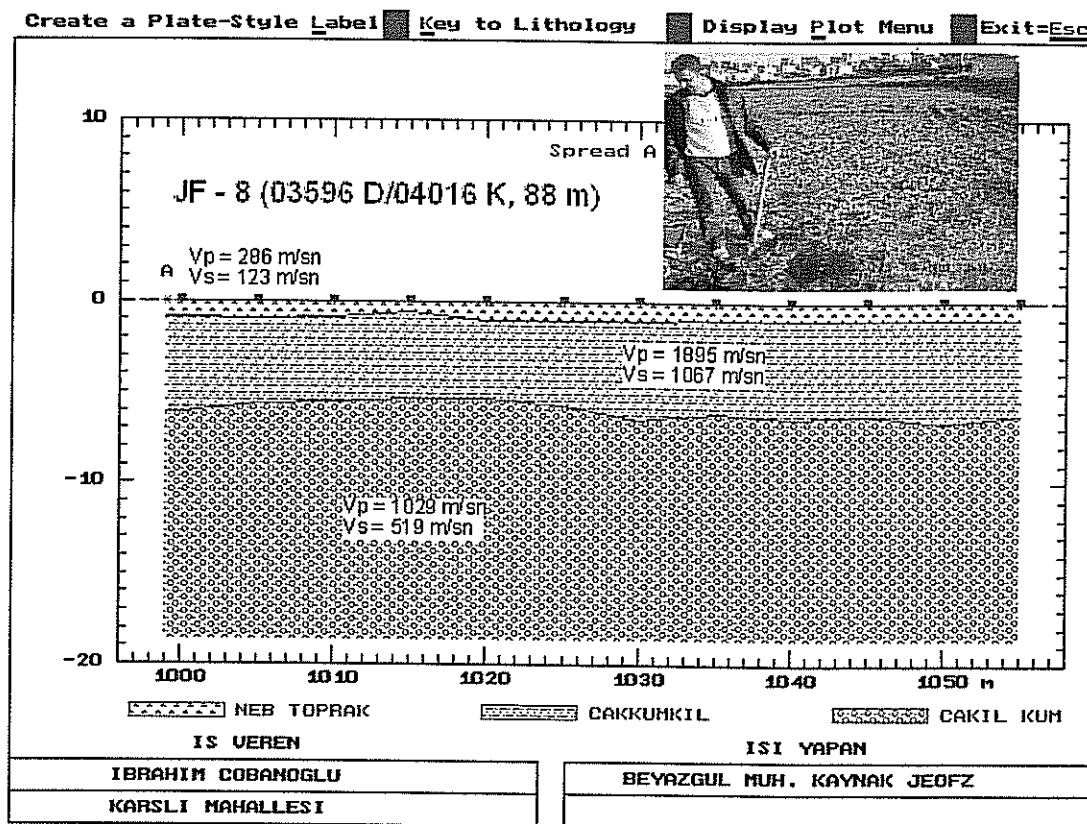
4.3.1.8. Jeofizik Özellikleri

Handere Kilinin sismik ve özdirenç parametrelerinin belirlenmesi amacıyla JF 8 (03596 D / 04016 K) ve JF 14 (02400 D / 02393 K) numaralı inceleme noktalarında jeofizik sismik ve rezistivite ölçümleri gerçekleştirılmıştır. Ölçüm yapılan açılımlara ait yer bilgileri “4.5. Jeofizik Deneyler” başlığı altında verilmiştir.

4.3.1.8.(1). Sismik Özellikler

Sismik ölçütler ile esas olarak birimlerin düşey yöndeki değişimleri, enine ve boyuna kayma dalgası hızları, zemin büyütmeleri ile zemin hakim titreşim periyotlarının belirlenmesi amaçlanmıştır.

JF 8 noktasında yapılan ölçütler nebatı örtü altında dayanımı yüksek, doğal nem düşük kil içeren ve yaklaşık 6 m kalınlığındaki bir birimin, daha altta ise doğal nem miktarının yükselmesine bağlı olarak dayanımı düşmüştür, inceleme derinliği olan 20 metreye kadar devam eden bir diğer killi birimin var olduğu görülmüştür (Şekil 4.34). Bu veri noktası için elde edilmiş parametreler Çizelge 4.24'de verilmiştir.

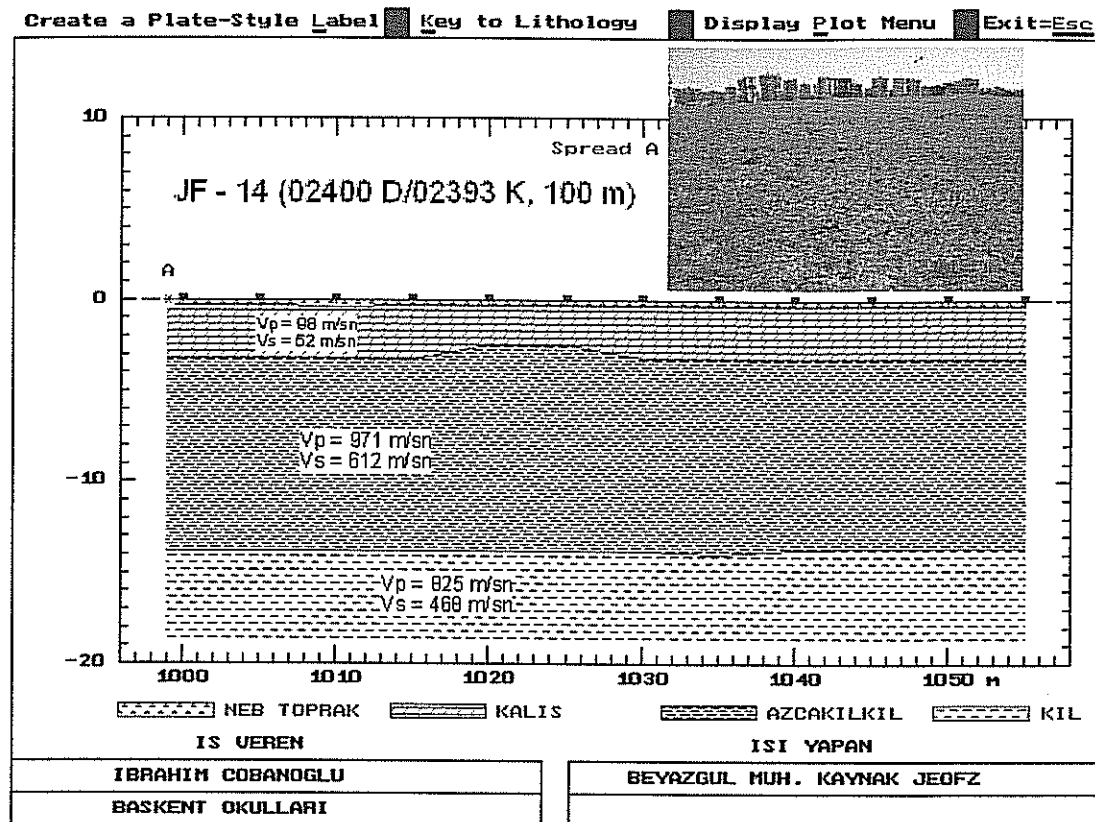


Şekil 4.34. JF-8 (AGV arazisi) ölçüm noktasına ait sismik serim kesiti.

Çizelge 4.24. Karşı Mahallesindeki (AGV arazisi batısı) sismik kırılma çalışması sonucu elde edilen parametreler (JF – 8).

	<i>1.TABAKA</i>	<i>2.TABAKA</i>	<i>3.TABAKA</i>
<i>P Hızı</i> (V_p , m/sn)	286	1895	1029
<i>S Hızı</i> (V_s , m/sn)	123	1067	519
<i>Zemin Büyüütmesi</i> (n)	2.7	0.82	1.45
<i>Poisson Oranı</i> (σ)	0.38	0.27	0.33
<i>Zemin Hak. Tit. Pr.</i> (T_0)		0.35 sn	
V_p/V_s	2.35	1.78	1.98

JF 14 ölçüm noktasında ise üstteki kaliş birimi altında 3 metreden başlayıp yaklaşık 14 metreye kadar devam eden kil (Handere kili), daha altta ise 14 metreden başlayıp inceleme derinliği olan 20 metreye kadar devam eden gevşek tutturulmuş konglomera yer almaktadır (Şekil 4.35).



Şekil 4.35. JF -14 (Başkent Okulları) ölçüm noktasına ait sismik serim kesiti.

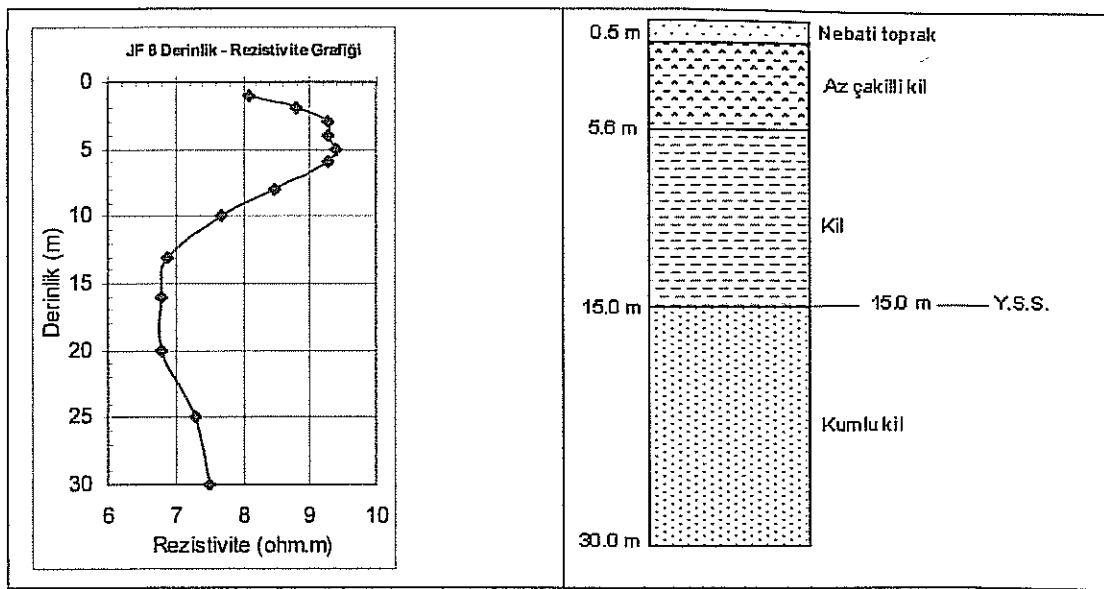
JF-14 ölçüm yerine ait mühendislik parametreleri de Çizelge 4.25'de verilmiştir.

	<i>1.TABAKA</i>	<i>2.TABAKA</i>	<i>3.TABAKA</i>
<i>P Hızı</i> (V_p , m/sn)	98	971	825
<i>S Hızı</i> (V_s , m/sn)	52	612	468
<i>Zemin Büyüütmesi</i> (n)	3.6	1.35	1.57
<i>Poisson Oranı</i> (σ)	0.3	0.16	0.26
<i>Zemin Hak. Tit. Pr.</i> (To)		0.49 sn	
V_p/V_s	1.88	1.59	1.76

Çizelge 4.25. Başkent Okulları sismik kırılma çalışması sonucu elde edilen parametreler (JF 14).

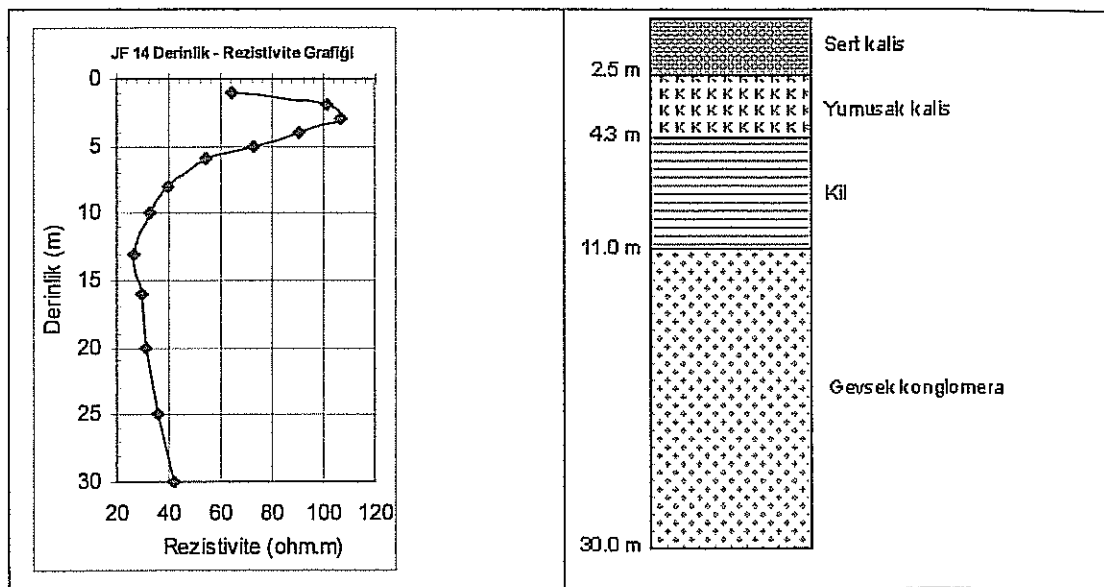
4.3.1.8.(2). Özdirenç Değerleri

Rezistivite ölçümlerinde elde edilen değerler ışığında litoloji değerlendirilmesi yapılmıştır. Her iki ölçüm noktası için de inceleme derinlikleri 30 m olarak seçilmiştir. JF 8 ölçüm noktasına ait derinlik – rezistivite ilişkisi Şekil 4.36'da görülmektedir. Üstte çakıl da içeren kil birimi altında Handere Kili 5.6 m derinlikte başlayıp inceleme derinliği sonu olan 30 metreye kadar devam etmektedir.



Şekil 4.36. JF 8 ölçüm noktasında derinliğe bağlı olarak elde edilmiş rezistivite değerleri.

JF 14 ölçüm noktasına ait derinlik – rezistivite ilişkisi Şekil 4.37'de verilmiştir. Bu noktada, üstte yer alan kaliş birimi altında Handere Kilinin 4.3 ile 11 metreler arasında düşey yayılım sunduğu görülmektedir.



Şekil 4.37. JF 14 ölçüm noktasında derinlige bağlı olarak elde edilmiş rezistivite değerleri.

4.3.1.9. Hidrojeolojik Özellikleri

Handere kili akifer özelliği taşımayan ve kısmen geçirimsiz bir birimdir. Ancak birim içerisinde yer alan ve geçirimliliği yüksek olan kumlu birimler akifer niteliği taşıyan çökellerdir. Bu anlamda Handere Formasyonu içerisinde açılan su sondaj kuyularında su veren birimin litolojik özelliği Hidrojeolojik çalışmalar açısından önem taşımaktadır. Handere

Kili olarak incelenen birim inceleme alanı içerisinde akifer özelliği taşımasa da formasyon olarak ele alındığında su alınabilecek seviyelerinin var olduğu bilinmelidir. İnceleme alanı içerisinde yeraltı suyu amaçlı açılacak sondajlarda bu birimin daha altında yer alan taraça çökellerinden su alınabilecektir.

4.3.1.10. Yorum ve Öneriler

Handere kili yapışma açısından uygun litolojideki bir birimdir. Ancak birimin yanal ve düşey devamlılıklarındaki değişimlerin, tabakalanmanın ve doğal nem içeriğinin mühendislik açısından önem taşıyacağı bilinmelidir. Birimin katı ve sert olması dayanımının yükselmesini sağlamaktadır. Yapışmaya esas teşkil edecek sondajlı etüt çalışmalarında SPT deneylerinden ziyade karotiyerle ya da SPT tüpü ile alınacak örnekler üzerinde yapılacak serbest basınç dayanımı deney verilerinin kullanılmasının daha doğru sonuçlar verebileceği düşünülmektedir. Zira SPT-N darbe sayıları birimin genelinde yüksek değerler vermektedir ve bu anlamda kullanımları zemin sınıfının ve kıvam tanımlamalarının dışında bir anlam ifade etmemektedir. Halbuki serbest basınç dayanımları derinliğe bağlı olarak oldukça farklılık sunmaktadır. Birimin üst seviyeleri her zaman yüzeysel akışa ve yeraltına süzülmeye bağlı fiziksel aşınma işlevlerine maruz kalmaktadır. Bu anlamda üst seviyeler daha fazla zemin özelliği göstermeye ve şev duraylılığı anlamında daha fazla problemli kısımlar olarak görülmektedir.

Genel şev duraylılık değerlendirmeleri, birimin ayrılmış seviyelerin kalınlığına bağlı olarak duraylılık problemleri ile karşılaşılabilğini göstermektedir. Bu tür durumlarda detaylı duraylılık analizleri yapılarak gerekli hallerde zemin ıslah yöntemleri değerlendirilmelidir.

4.3.2 Taraça Çökelleri

Taraça çökelleri Adana ili yerleşim alanı içerisinde geniş bir yayılıma sahip bir diğer litolojiyi oluşturmaktadır. Birimin tane boyu dağılımı ve tutturulmuşluk açısından kısmen farklı özellikler sunması diğer fiziksel ve mekanik özelliklerinin de değişiklikler sunmasına neden olmaktadır.

Adana ili yerleşim alanı yaygın taraça oluşumunun bulunduğu geniş bir alan üzerinde de kurulu bulunmaktadır. Genel olarak birimin Seyhan baraj gölü batısındaki yayılımı doğudakine göre daha fazladır. Birim topografik yükseklikleri oldukça farklı değerlere sahip alanlarda yayılım göstermektedir. Kurttepe Mahallesinde 122 m gibi yüksek topografyada görülürken, Pınar Mahallesinde 55 m ve Beyazevler Mahallesinde 32 m gibi daha düşük yüksekliklerde görülebilmektedir.

Birim Seyhan ilçesinde Kuzey Adana bölgesinde ve Yüreğir'de geniş alanlar kaplayan mostralalar vermektedir. Kalın tabaklı yapı yanında tabaka kalınlıklarının sıkça değiştiği de gözlenmektedir. Birim içerisinde kum mercekleri, çapraz tabakalanmalar ve kumlu-siltli ince tabakalar sıkılıkla gözlenmektedir. Özellikle kumlu seviyeler taraça birimi içerisinde yeraltı suyunu taşıyan doğal kanallar olarak görev yapmaktadır. Bu özellikleri, taraçada açılmış bazı yüzey kazılarında (özellikle Mahfesığmaz ve Barış Manço Bulvarı civarı) 3-4 metrelük temel çukurluklarının bile su ile dolmasına neden olmaktadır.

Bu çalışmada, taraça birimlerinin tamamı öncelikle arazide yeri saptanmış yüzey kazılarının incelenmesi şeklinde araştırılmıştır. Yüzey kazılarından alınan örselenmiş ve tutturulmuş taraça birimlerinden alınan blok numuneler üzerinde yapılan zemin ve kaya mekanığı ile arazide yapılan Schmidt çekici deneyleriyle mühendislik özelliklerinin belirlenmesine çalışılmıştır. Sonradan tespit edilmiş lokasyonlarda yapılan jeofizik çalışmalarla da birimlerin sismik ve elektrik özdirenç değerlerinin belirlenmesi amaçlanmıştır. Çalışmada kazı çukurlarından alınan blok örneklerden elde edilmiş olan 42 ve 54 mm çaplı karot numuneleri kullanılarak birimin fiziksel ve mekanik özelliklerini belirlenmiştir. Karot numuneler sadece tutturulmuş, nispeten sert taraçalardan alınabildiğinden burada sunulan parametreler bu özelliklere sahip taraçalar için geçerli olacaktır. Bunun yanında daha az veya gevşek tutturulmuş taraça birimlerinde karot alımı mümkün olmadığından bu birimler daha farklı şekilde değerlendirilmiştir. Bu çalışma kapsamında incelenmiş olan yüzey kazıları Şekil 4.38'de jeoloji haritası üzerinde gösterilmiştir.

4.3.2.1. Fiziksel Özellikleri

Fiziksel özelliklerin belirlenmesi amacıyla yüzey kazılarından, yol yarmalarından ve doğal şeşlerden alınan örselenmiş ve blok numuneler üzerinde laboratuar deneyleri yapılmıştır. Gevşek tutturulmuş taraça çökellerinden elde edilen numuneler üzerinde elek analizi deneyleri yapılırken, kaya özelliği gösteren tutturulmuş taraça çökellerinde su emme ve birim hacim ağırlık deneyleri yapılmıştır. Birimin geneline ait fiziksel özellik tanımlamaları şu şekildedir;

Renk: Inceleme alanı genelinde birim krem ve açık kahverengi renk tonlarında görülmektedir. Birim içerisindeki kumlu seviyeler tipik olarak gri renk tonlarında görülmektedirler.

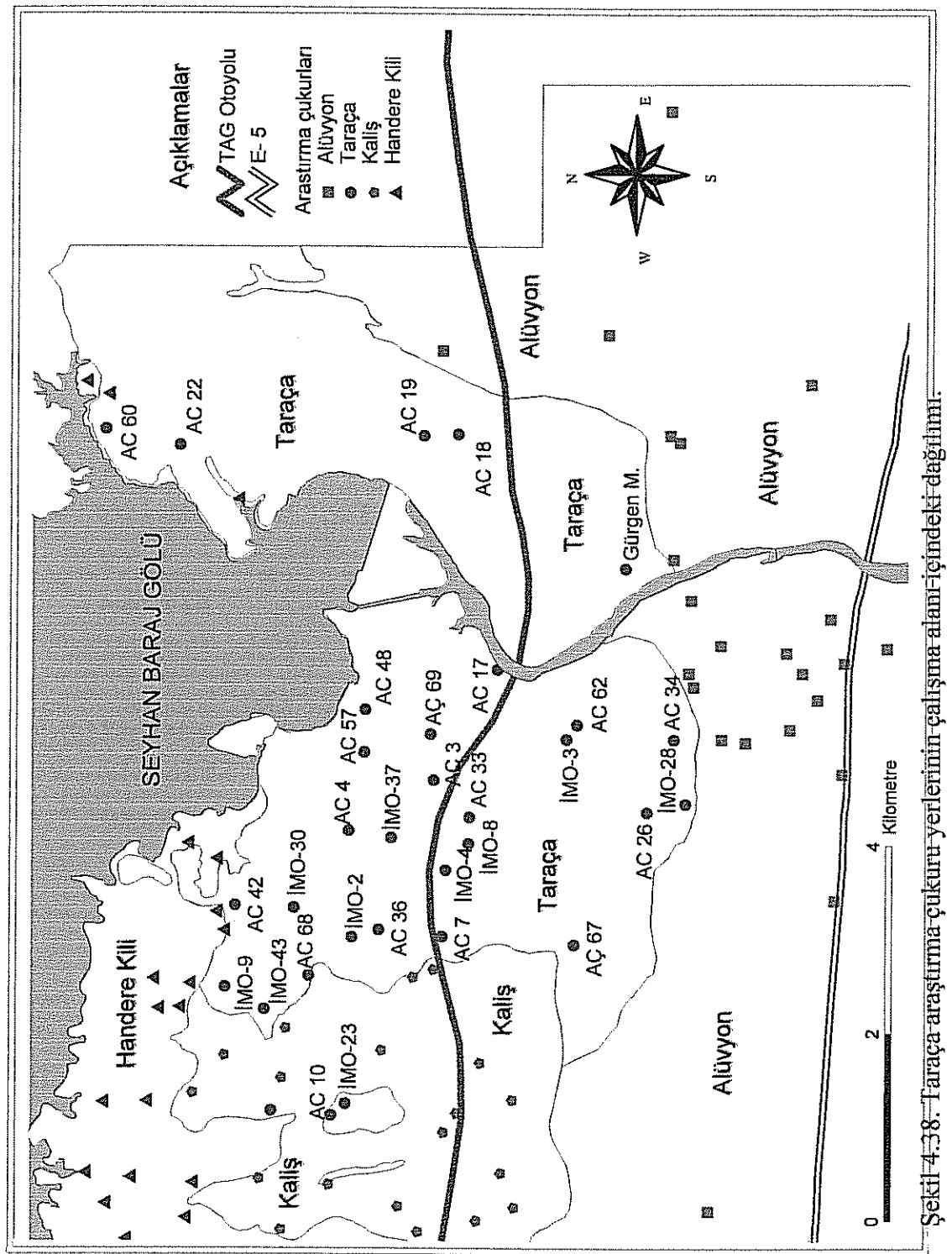
Doku: Birim blok, çakıl ve kum boyutu iri taneli malzemeler silt ve kısmen de kıl boyutu ince taneli malzemelerden oluşmaktadır. Tanelerde yuvarlaklık iyi, küresellik ortakötü arasında değişmektedir.

Sertlik: Sertlik değerleri birimi oluşturan tanelerin sertlik değerleri tarafından kontrol edilmektedir. Bazalt, mikrogabro, diyabaz, granit ve kireçtaşı blok ve çakılları yüksek sertlik değerleri verirken matriks ve tane desteği sağlayan ince taneli malzemeler düşük sertlik değeri vermektedir.

Ayrışma: Yüzey suları ve bitki örtüsü nedeniyle fiziksel ayrışma türlerinin yaygın olduğu görülmektedir. Kalişleşmeye bağlı olarak birim içerisinde seviyeler halinde ayrılmışlık dereceleri değişimektedir.

Taşlaşma: Taraça birimi hem zemin ve hem de kaya özelliği gösterebilen bir litolojiyi oluşturmaktadır. Bir bağlayıcı malzeme ile tutturulmuş taraça çökelleri kaya özelliği gösterirken, tutturulmamış veya gevşek tutturulmuş taraça çökelleri zemin özelliği göstermektedirler.

Taraça biriminin fiziksel özelliklerinin belirlenmesinde sondajlı etüt çalışmalarından ziyade yüzey kazılarından elde edilmiş örselenmiş numuneler üzerinde yapılan deney sonuçlarının daha geçerli olacağı düşünülmektedir.



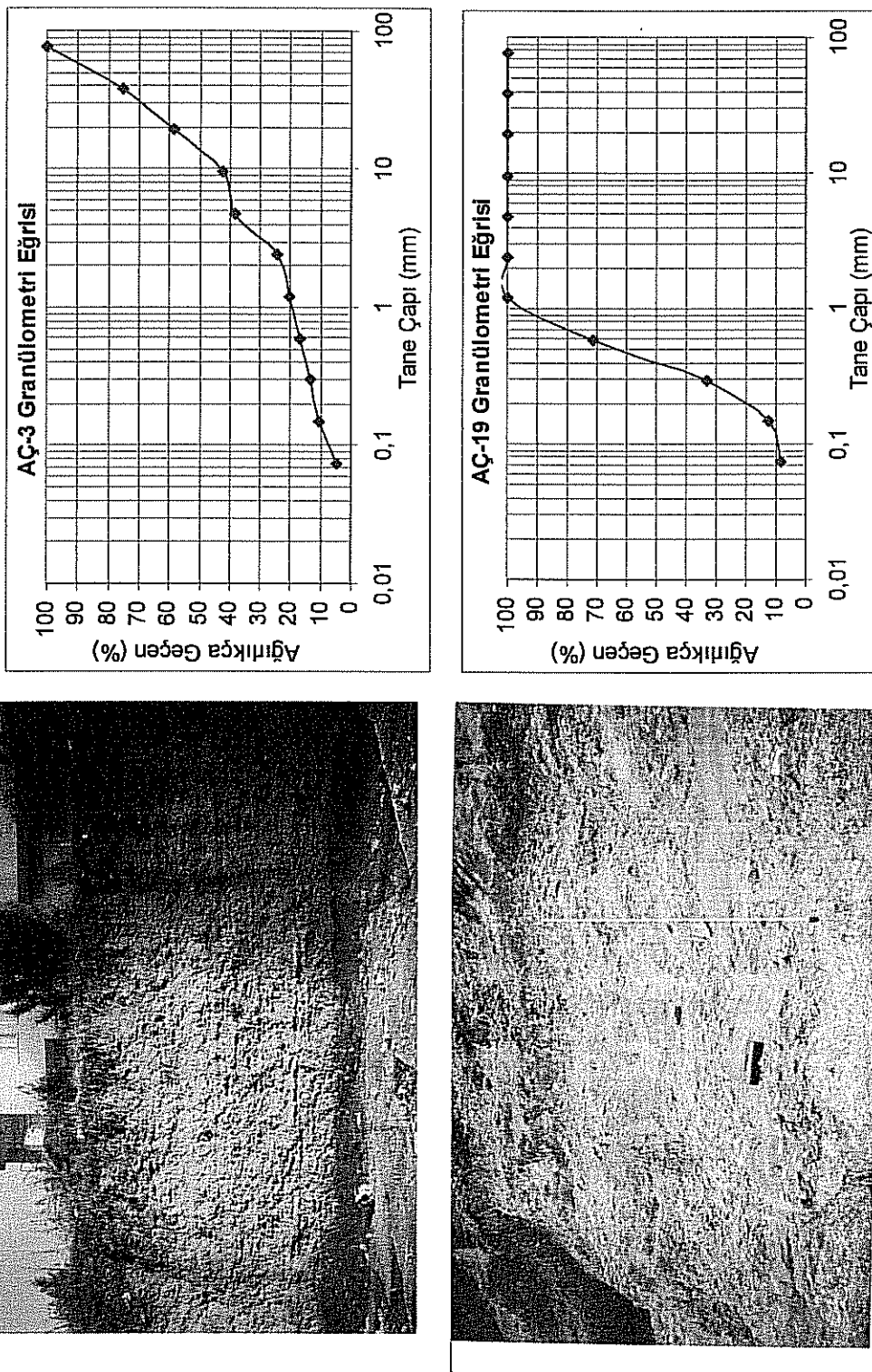
Sekil 4.38. Taraça-araşturma çukuru-yerlerinin çalışma alanları dağılımı.

Yüzey kazalarından elde edilmiş bazı verilere ait değerlendirme sonuçları Çizelge 4.26'da verilmiştir. Bu çizelgedeki veriler zemin özelliğindeki taraça çökellerine aittir.

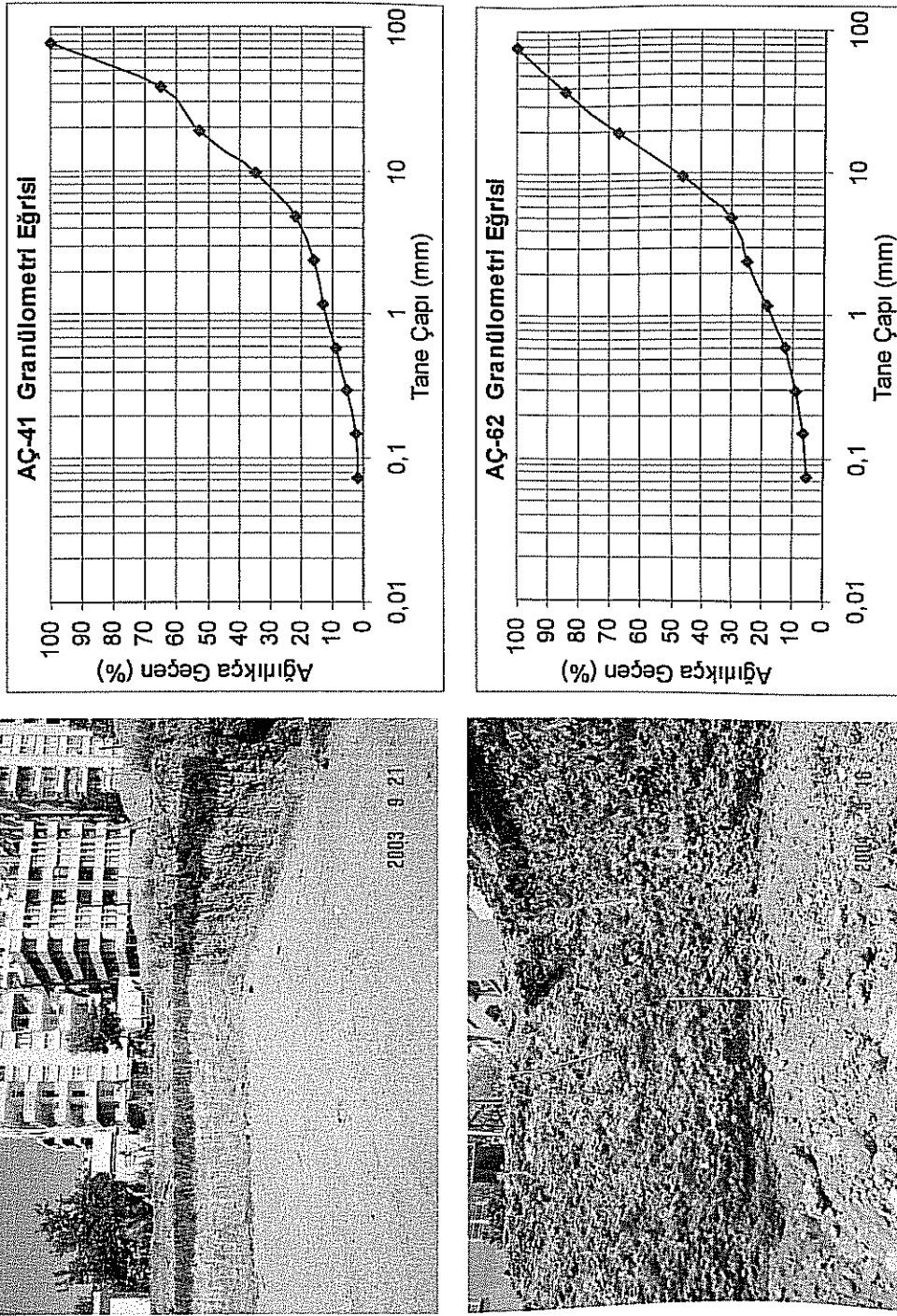
Çizelge 4.26. Elde edilen bazı verilerin değerlendirilmesiyle elde edilmiş bazı fiziksel özelliklerin taraça çökelleri içerisindeki değişimleri.

Veri No	Veri Yeri	C_u	C_c	D_{10} (mm)	k (cm/s)	D_{50} (mm)	Dr (%)	γ_a (gr/cm³)	USCS
İMO-3	Kurtuluş Mah.	43.8	3.0	0.40	0.16	10.0	78.4	2.06	GP-GM
İMO-8	Baraj Lisesi	42.9	1.8	0.49	0.24	16.8	79.2	2.18	GW
İMO-4	Kanalüstü	75.9	4.1	0.29	0.084	15.5	81.7	2.15	GP
İMO-16	Sevinç Abla Eğitim	-	-	-	-	-	79.5	2.14	GP-GM
İMO-23	Bilfen Güneyi	59.4	1.3	0.32	0.10	12.5	63.9	2.05	GW
İMO-1	Kurtuluş M.	350	10.3	0.06	0.0036	15.0	83.4	2.17	GP-GM
İMO-2	Mahfesığmaz PTT	28.2	3.5	0.55	0.30	21.0	79.7	2.20	GP
İMO-10	Kurttepe Anadolu Lis.	105	2.8	0.20	0.04	12.5	80.1	2.20	GW-GM
İMO-30	B.Manço Bul	155.6	2.6	0.10	0.01	10.0	67.4	2.00	GW-GM
İMO-28	Namık Kemal Mah.	55.8	3.7	0.43	0.18	19.0	74.5	2.16	GP
İMO-9	A.Türkeş Bul	96.8	2.9	0.32	0.10	20.0	73.6	2.13	GW
İMO-37	Mavi Bulvar	54.5	2.4	0.33	0.11	12.6	79.5	2.27	GW
İMO-43	Kurttepe	86.2	2.2	0.30	0.09	16.2	80.0	2.26	GW
JMO244	Kanalüstü	131.3	1.5	0.32	0.10	20.0	-	1.97	GC
ZE-359	Kanalüstü	208.3	12	0.12	0.014	18.2	-	2.14	GC
JMO203	Kanalüstü	116	11.2	0.25	0.062	14.2	-	2.00	GP

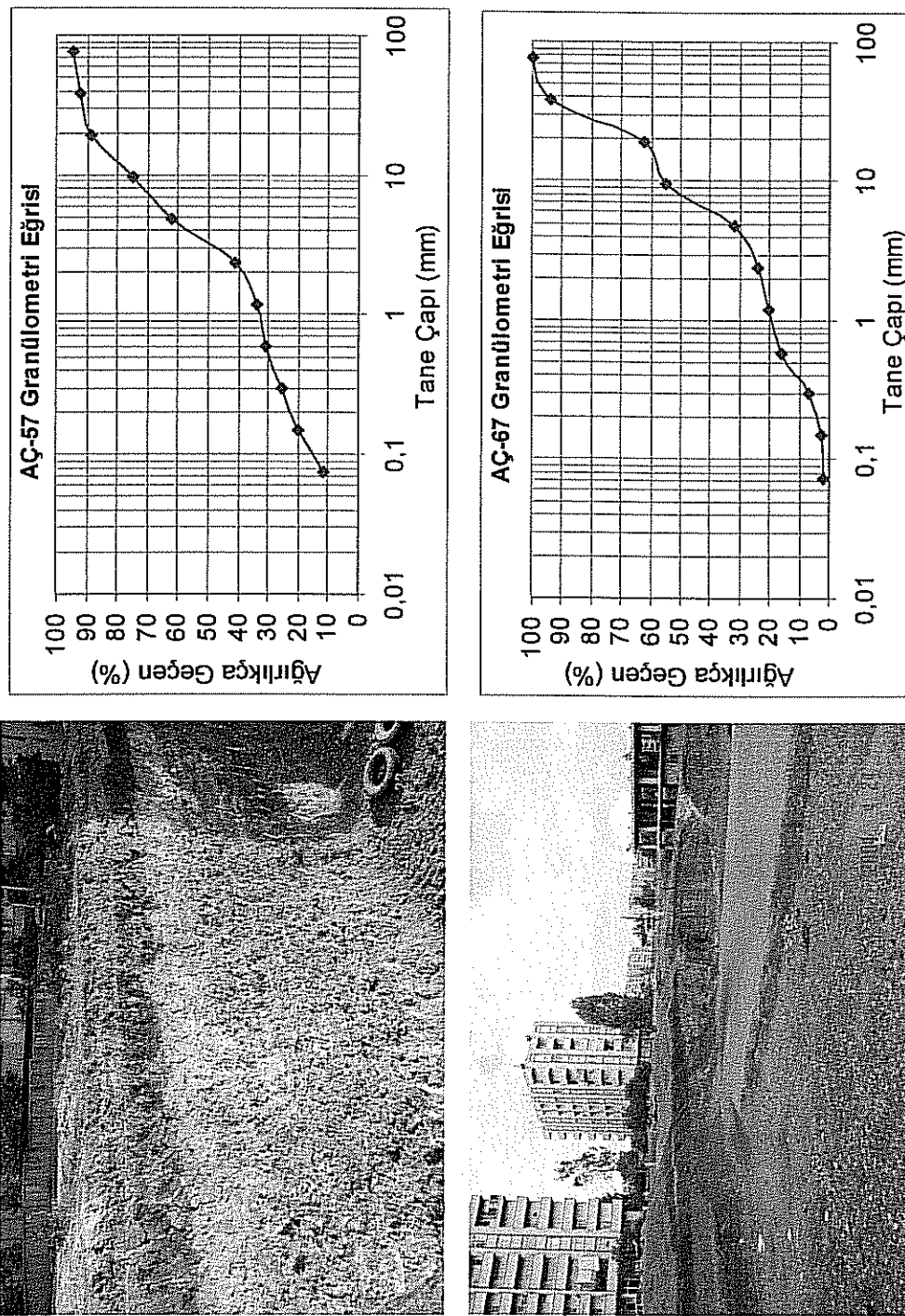
Gevşek tutturulmuş taraçalarda yapılan sınıflandırma deneyi sonuçları birimin büyük çoğunluğunun GW ve GP zemin grubunda bir kısmının ise GM ve GC zemin grubunda yer aldığı ortaya koymuştur. İncelenen bazı inceleme yerlerine ait tane boyu eğrileri Şekil 4.39 – 4.43'de verilmiştir.



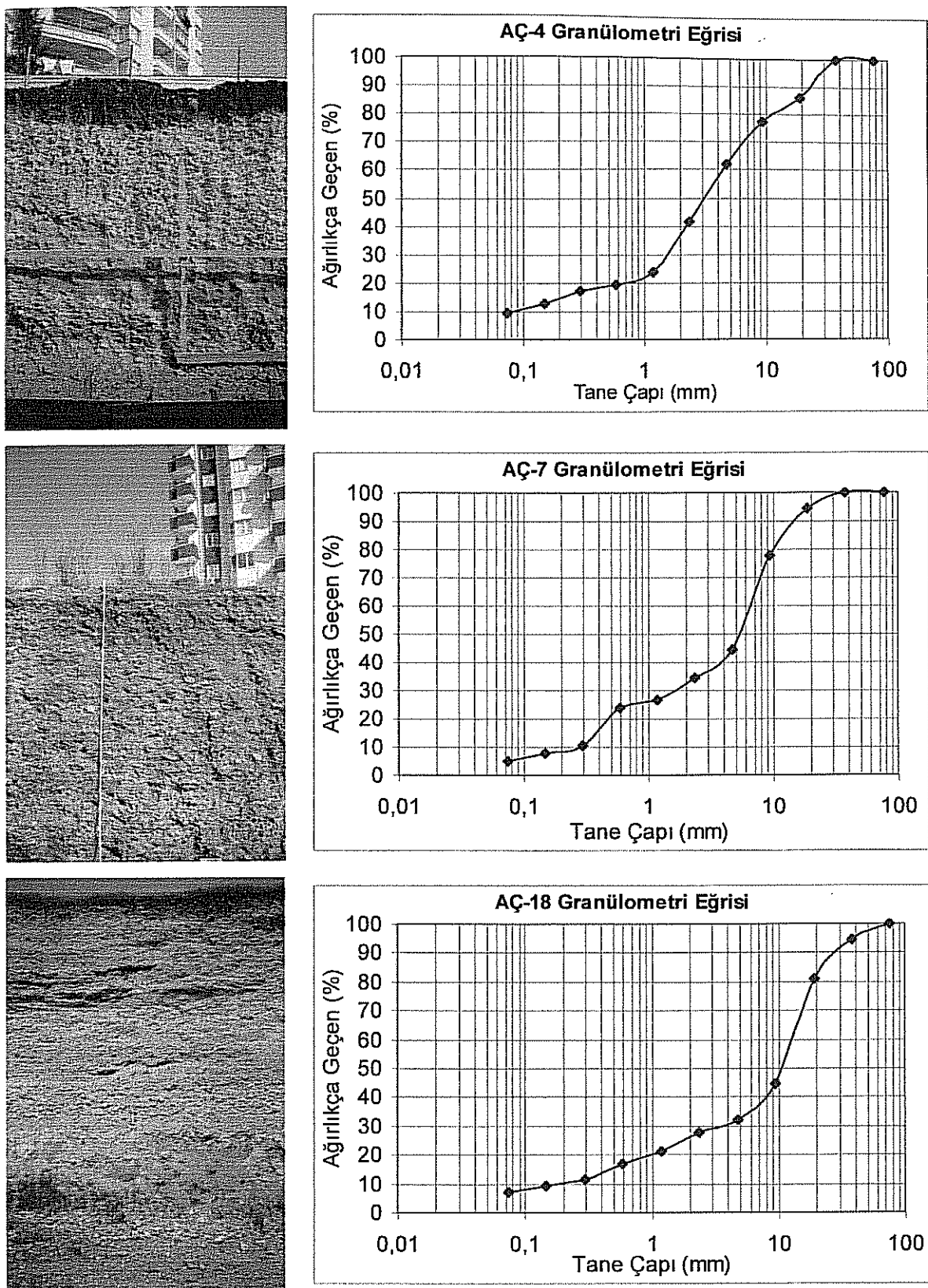
Sekil 4.39. İncelenen AC-3 ve AC-19 araştırma çukurlarına ait kesitler ve elde edilen tane boyu eğrileri.



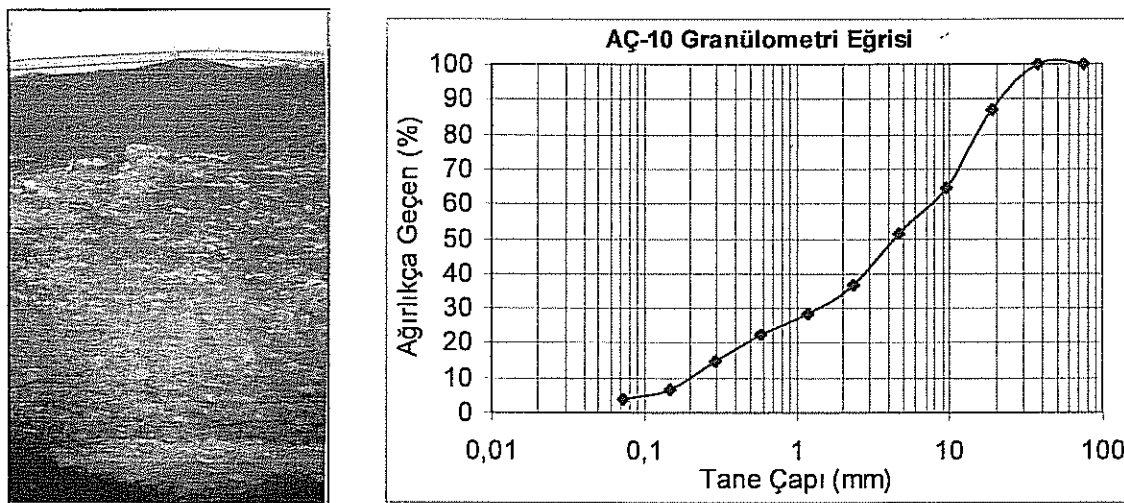
Şekil 4.40. İncelenen AC-41 ve AC-62 araştırma çukurlarına ait kesitler ve elde edilen tane boyu eğrileri.



Şekil 4.41. İncelenen AC-57 ve AC-67 araştırma çukurlarına ait kesitler ve elde edilen tane boyu eğrileri.



Şekil 4.42. İncelenen araştırma çukurları ve elde edilen tane boyu eğrileri.



Şekil 4.43. İncelenen AÇ-10 araştırma çukurlarına ait kesit ve elde edilen tane boyu eğrisi.

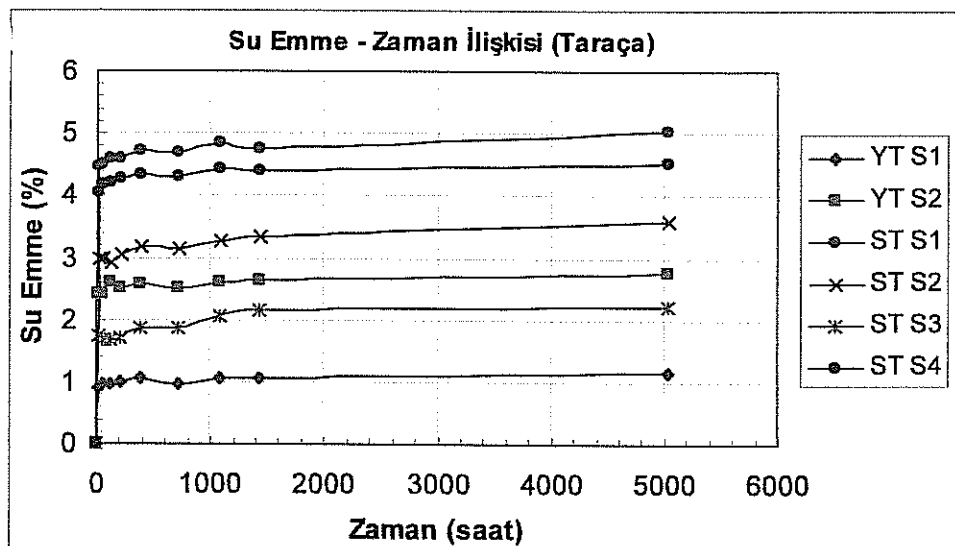
Taraça çökelleri ile ilgili yapılan incelemelerin bir diğer aşamasında örnek alımına uygun olan lokasyonlardan blok numuneler alınarak laboratuar ortamında deneye tabi tutulmuşlardır. Blok numunelerden alınan 42 mm çaplı karot örnekleri üzerinde birim hacim ağırlık, ağırlıkça ve hacimce su emme (görünür porozite) ile deformasyon kontrollü tek eksenli basma dayanımı deneyleri yapılmıştır. Hacimce su emme deneyleri için düzgün şekilli karot örnekleri kullanılırken, ağırlıkça su emme deneyleri için karotlardan artan boyutsuz parçalar (Şekil 4.44) kullanılmıştır. Birim hacim ağırlıkların belirlenmesinde her iki örnek grubundan malzeme de kullanılmıştır



Şekil 4.44. Ağırlıkça su emme deneylerinde kullanılan karot parçaları.

Kaya özelliği gösteren sıkı tutturulmuş taraça çökellerinden alınan karot numuneleri üzerinde yapılan ağırlıkça su emme deneyleri 210 günlük bir zaman dilimi içerisinde yapılan ölçütlerle değerlendirilmiştir. Örnekler üzerinde yapılan deneyler başlangıçta hızlı olan su

emmenin yaklaşık olarak 400 saatten sonra azaldığını ve bu arada doygunluğunu büyük oranda tamamladığını ortaya koymuştur. Şekil 4.45 ağırlıkça su emmenin zamana bağlı olarak değişimini ortaya koyarken Çizelge 4.27, değerlendirmelerin tamamlandığı 210 gün sonundaki ağırlıkça su emme değerlerini göstermektedir.



Şekil 4.45. Taraça örneklerinde ağırlıkça su emmenin zamana bağlı olarak değişimi.

Çizelge 4.27. Deney numunelerinin 210 gün sonundaki ağırlıkça su emme değerleri.

Örnek No	YT S1	YT S2	ST S1	ST S2	ST S3	ST S4
Su Emme (%)	1.14	2.75	5.02	3.61	2.22	4.51

Çizelge 4.28, birim hacim ağırlık değerleri hesaplanan kaya taraça örneklerine ait örnek yerleri ve elde edilmiş sayısal değerleri göstermektedir. Buna göre kuru birim hacim ağırlıkları 2.22 ile 2.67 gr/cm³ ve doygun birim hacim ağırlıkları 2.34 ile 2.70 gr/cm³ değerleri arasında değişim göstermektedir. Bu çizelgenin alt kısmında ise taraçayı oluşturan çakıl ve blok boyutu malzeme için elde edilmiş birim hacim ağırlığı değerleri yer almaktadır. Çizelgeden de görüleceği gibi oransal olarak fazlaca gabro türü malzeme içeren taraça çökellerinin de birim hacim ağırlıklarının yüksek olmaktadır.

Çizelge 4.28. Tutturulmuş taraça numuneleri ile taraçayı oluşturan tanelere ait birim hacim ağırlığı değerleri.

<i>Örnek No</i>	<i>Yer</i>	<i>Doygun Ağırhk (gr)</i>	<i>Sudaki Doygun Ağırhk (gr)</i>	<i>Kuru Ağırhk (gr)</i>	<i>Kuru B.h.a (gr/cm³)</i>	<i>Doygun B.h.a (gr/cm³)</i>
ST-Bha.1	Seyhan	161.75	97.33	154.95	2.41	2.51
ST-Bha.2	Seyhan	194.17	117.53	188.77	2.46	2.53
ST-Bha.3	Seyhan	125.98	76.17	121.85	2.45	2.53
ST-Bha.4	Seyhan	115.17	70.32	112.74	2.51	2.57
YT-Bha.1	Yüreğir	139.93	88.04	138.59	2.67	2.70
YT-Bha.2	Yüreğir	111.02	66.86	108.54	2.46	2.51
YT-Bha.3	Yüreğir	214.52	131.63	210.49	2.54	2.58
ATO 1	Yüreğir	309.03	193.02	308.29	2.65	2.66
TÖ 5	T.Özal Bul.	303.27	177.39	292.27	2.32	2.41
<i>Örnek No</i>	<i>Litoloji</i>	<i>Doygun Ağırhk (gr)</i>	<i>Sudaki Doygun Ağırhk (gr)</i>	<i>Kuru Ağırhk (gr)</i>	<i>Kuru B.h.a (gr/cm³)</i>	<i>Doygun B.h.a (gr/cm³)</i>
Ç 1	Gabro	148.50	101.28	147.59	3.12	3.14
Ç 2	Diyabaz	70.45	43.74	70.09	2.62	2.63
Ç 3	Gabro	125.49	79.22	125.04	2.70	2.71
Ç 4	Gabro	136.20	88.86	134.87	2.85	2.88
Ç 5	Granit	269.57	179.77	267.52	2.98	3.00
Ç 6	Mikrogabro	200.58	132.06	199.71	2.91	2.93
Ç 7	Diyorit	389.59	256.18	386.79	2.90	2.92
Ç 8	Diyabaz	39.14	24.10	38.88	2.58	2.60
Ç 9	Krist. Kçt	94.36	59.50	93.94	2.69	2.71
Ç 10	Gabro	169.87	104.37	160.68	2.45	2.59

4.3.2.2. Mekanik Özellikleri

Mühendislik anlamında tasarıma ait parametreler olmalarından dolayı kohezyon ve içsel sürtünme açısı değerlerinin önemli oldukları bilinmektedir. Taraça çökelleri açısından irdelendiğinde, kohezyonsuz bir zemin ve kısmen de kaya özelliği gösteren bu birimlerin en önemli mekanik parametresi olan içsel sürtünme açılarının gerçek anlamda belirlenebilmesi büyük bir problem olarak ortaya çıkmaktadır. Değerlerin düşük alınarak güvenli tarafta kalınmaya çalışılması aşırı mühendislik tasarımlarına sebep olabileceği gibi tam olarak bilinmeden yüksek alınması da risk taşıyabilecek durumların ortaya çıkmasına neden olabilecektir. Adana için bu birimlerde daha önce yapılmış çalışmalar incelendiğinde içsel

sürtünme açısı değerlerinin net bir şekilde hesaplanabildigine dair bir bilgi bulunamamaktadır. Bir kısım çalışmalarında refü elde edilen SPT-N darbe sayıları göz önüne alınmış ve çeşitli abaklar kullanılarak öngörülümsüz bazı içsel sürtünme açısı değerleri alınmıştır. Bazı çalışmalar da ise rölatif sıkılık değerleri kullanılarak dolaylı yoldan çeşitli değerler ele alınarak tasarıma esas teşkil eden parametreler belirlenmiştir.

Bu araştırmada taraça çökellerinin mekaniksel anlamdaki incelemelerinde farklı bir yaklaşımda bulunulmuş ve uygulama bu yaklaşım doğrultusunda gerçekleştirilmiştir. Normalde iri kum ve çakıl boyutu malzemenin test edilmesi için 12"x12" (30.48 cm) boyutlarındaki büyük kesme kutusu deney aletinin kullanılması gereklidir. Ancak cihazın her yerde bulunmaması ve deney prosedürlerinin oldukça zaman alıcı olması, bu konuda çalışanları farklı arayışlara itmiştir. Bu anlamda da küçük (6 cm'lik) kesme kutusu aletinin kullanılabileceği ancak taraça malzemesi içinden belli tane boyundaki bir kısmın alınarak test edildiği bir yöntem uygulanmıştır. Akroyd (1969), büyük ve küçük kesme kutusu deney aletinin kullanılabilıldığı durumlar için deney prosedürlerini anlattığı yayınında kohezyonlu zeminlerin küçük kesme kutusu deney aletindeki testi için 1/8" (3.175 mm) çaplı elekten geçen kısmın alınması gerektiğini bildirmektedir. Yazar büyük kesme kutusu için deneye tabi tutulacak malzemenin ise 1.5" (3.81 cm) çaplı elekten elenerek üste kalanın alınmasını istemektedir.

Bu çalışmada küçük kesme kutusu deney aleti kullanılmış ve gevşek tutturulmuş taraça zemin örnekleri 4 no'lu (4.76 mm) elekten elenerek 4.76 mm ve altının tamamı deneye tabi tutulmuştur. Deney sonunda elde edilen içsel sürtünme açısı değerleri ve birim hacim ağırlıklarının bu çalışmada incelenen lokasyonlara göre dağılım değerleri Çizelge 4.29'da gösterilmiştir. Çizelgedeki lokasyonlar için kohezyon değerleri sıfır çıkmaktadır. Bu yüzden ayrıca çizelgeye konulmamışlardır.

Çizelge 4.29. İncelenen yüzey kazılarına ait sürtünme açısı ve birim hacim ağırlık değerleri.

<i>Örnek Yeri</i>	<i>Koordinat</i>	<i>Derinlik (m)</i>	<i>Sürtünme Açısı</i>	$\gamma_n (\text{kg}/\text{cm}^3)$
AÇ-3	05581 D/00971 K	1.5	20.20	1.98
AÇ-3	"	4.1	24.68	2.08
AÇ-4	05056 D/ 02038 K	4.0	20.76	2.12
AÇ-7	03933 D/ 00871 K	3.5	31.5	2.18
AÇ-10	02048 D/ 02267 K	6.5	36.0	2.31
AÇ-18	09181 D/ 00865 K	4.0	29.5	2.24
AÇ-19	09225 D/ 01225 K	4.5	28.5	2.32

Çizelge 4.29 devamı

<i>Örnek Yeri</i>	<i>Koordinat</i>	<i>Derinlik (m)</i>	<i>Sürtünme Açısı</i>	γ_n (kg/cm^3)
AÇ-34	05949 D/ 98500 K	4.0	32.0	2.11
AÇ-36	04000 D/ 01733 K	7.0	34.0	2.41
AÇ-41	06043 D/ 98054 K	5.5	24.8	2.10
AÇ-42	04226 D/03256 K	4.0	38.0	2.04
AÇ-57	05965 D/01897 K	4.0	30.4	1.98
AÇ-57	"	8.0	34.2	2.22
AÇ-60	09327 D/04663 K	4.0	26.5	2.22
AÇ-62	06210 D/99594 K	5.0	32.5	2.04
AÇ-67	03818 D/ 99656 K	3.0	28.5	2.36
AÇ-69	06088 D/01160 K	4.5	28.8	2.14

4.3.2.2.(1). Schmidt Çekici Deneyleri

Daha önce de bahsedildiği gibi, taraça çökelleri zemin özelliği gösteren gevşek tutturulmuş (kalişlemiş olan taraçalar dahil) ve kaya özelliği gösteren sıkı tutturulmuş taraçalar olmak üzere farklı özellikler sunmaktadır.

Belirlenmiş çeşitli inceleme noktalarındaki (Şekil 4.46 ve Şekil 4.47) taraça biriminden alınan 470 adet Schmidt çekici darbe sayısı değerlendirilerek sonuçlar şeklinde Çizelge 4.30'da sunulmuştur. Schmidt çekici uygulamalarının tamamında çekiç uygulama yüzeyine dik ve yatay konumda tutulmuştur. Taraça konglomerasını oluşturan tane ve çimentonun yayılım açısından homojen bir kaya özelliği göstermemesi, birim içerisinde 60 cm olarak ölçülmüş büyülüklüklerde bile malzeme olması, taraçayı oluşturan tanelerin ve bağlayıcı malzemenin her nokta için ayrı ayrı değerlendirilmesini gerektirmiştir. Bu da her iki bileşen için farklı dayanım özelliklerinin ortayamasına neden olmuştur.

Çalışmada incelenen veri noktalarından elde edilen deneylere ait sınıflandırmalar aynı grup kaya sınıflarını verdiği için ayrıca nokta bazında bir değerlendirmede bulunulmamıştır.

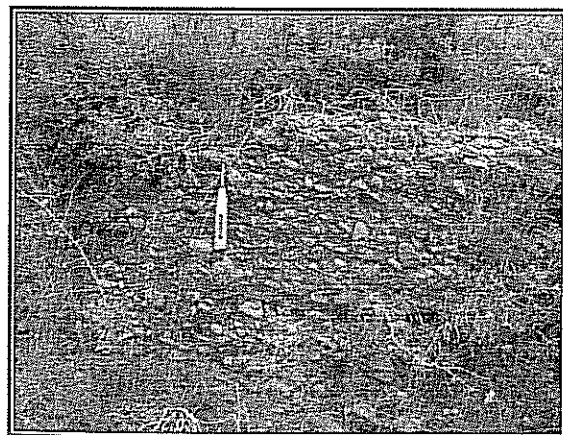
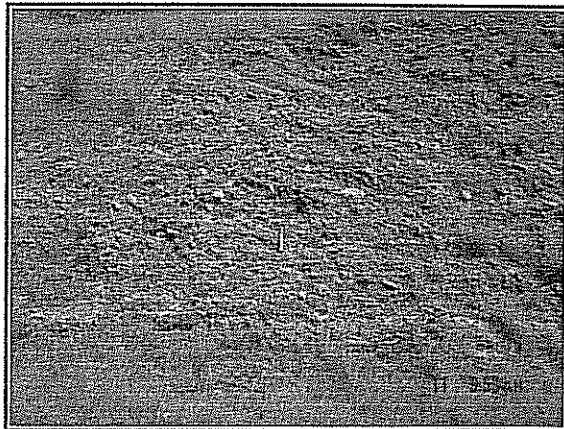
Taraçayı oluşturan çimento ve tanede olmak üzere ayrı ayrı yapılan Schmidt sertlik çekici deneyleri ile Çizelge 4.30'da sunulan değerler elde edilmiştir. Dilberler Sekisi yolu boyunca taranan yol yamasından elde edilen darbe sayılarının diğer inceleme noktalarına göre daha yüksek oldukları görülmektedir.



Şekil 4.46. Dilberler sekisi boyunca görülen yol yarmasında Schmidt çekici ile taranan taraça çökelleri.

Lokasyon koordinatları:

06761 D/ 00460 K (D1)
06721 D/ 00364 K (D2)
06653 D/ 00155 K (D3)
06700 D/ 99716 K (D4)
06949 D/ 99061 K (D5)



Ç.Ü. Araştırma görevlisi lojmanları veri noktası, Güzelyalı Mah. veri noktası, 04848 D/ 03070 K (S1) (09143 D/ 03855 K, Ç.Ü 1)

Şekil 4.47. Schmidt çekici ile taranan bazı taraçaların arazi görüntümeli.

Çizelge 4.30. Taraçalarda elde edilen Schmidt çekici darbe sayılarının dağılımı.

Lokasyon	Schmidt sertliği darbe sayısı (SRH)									
	D1	D2	D3	D4	D5	ÇÜ1	ÇÜ2	ÇÜ3	S1	S2
Tane	57.11	54.42	54.43	57.67	55.36	51.11	57.00	52.42	50.16	54.21
Çimento	26.50	21.00	24.21	27.31	24.53	20.89	22.00	23.20	22.26	25.64
Ortalama	41.80	37.71	39.32	42.49	39.95	36.00	39.50	29.22	27.90	28.57

Çizelge 4.31, elde edilen Schmidt çekici sertlik değerlerine göre kaya tanımlamalarını göstermektedir. Çoğu karbonat bileşiminde olan bağlayıcı malzeme ile taraçayı oluşturan tanelerin sertlik tanımlamaları birleştirildiğinde, ortalama bir değer olarak taraçalar sertlik değerleri 40 - 50 arasında değişen “sert kaya” grubunda bir malzeme olarak tanımlanabilirler.

Çizelge 4.31. Schmidt sertlik değerlerinin tanımlanması (Schmidt, 1951).

<i>Tanımlama</i>	<i>Schmidt Sertliği (SRH)</i>	
Yumuşak kaya	0 – 10	
Az yumuşak kaya	10 – 20	
<i>Az sert kaya</i>	<i>20 – 40</i>	<i>cimento</i>
Sert kaya	40 – 50	
<i>Çok sert kaya</i>	<i>50 – 60</i>	<i>tane</i>
Aşırı sert kaya	> 60	

4.3.2.2.(2). Tek Eksenli Basma Dayanımı Deneyleri

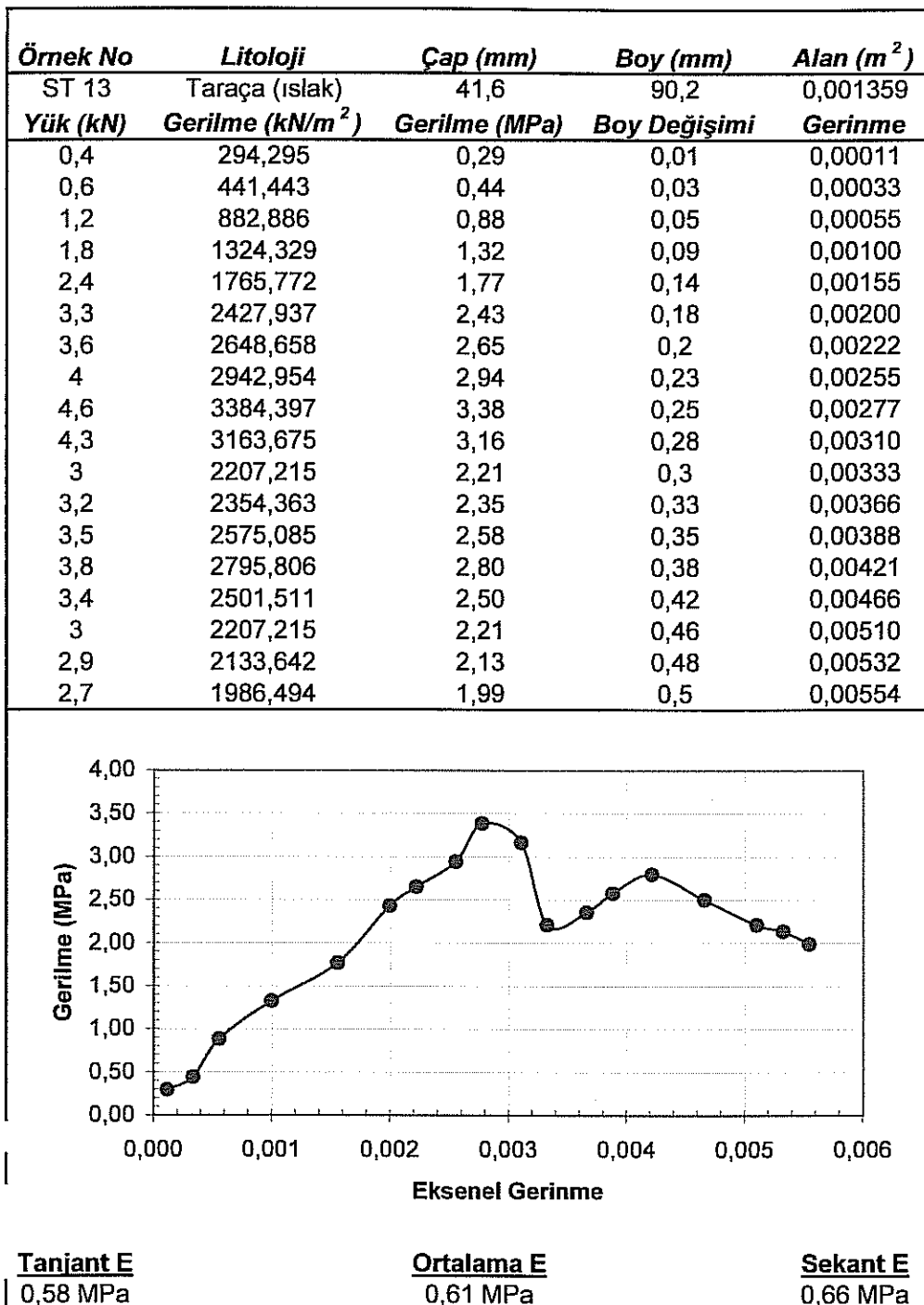
Blok numunelerden alınan 42 mm çaplı karot örnekleri üzerinde (Şekil 4.48) düşey deformasyon kontrollü tek eksenli basma dayanımı deneyleri yapılmıştır. Tek eksenli basma dayanımları hem kuru ve hem de suya doygun örnekler üzerinde olmak üzere ayrı ayrı yapılmıştır. Karot numuneler üzerinde tek yönlü deformasyon okumaları da alınabilecek şekilde yükleme deneyleri yapılmış, deneylerde yükleme hızı 0.1 kN/sn olarak seçilmiştir. Elde edilen değerlere göre taraçalar Deere ve Miller (1966), ISRM (1978) ve Hoek (1998) kaya sınıflandırılmalarına göre sınıflandırılmışlardır.

Tek eksenli basma dayanımı deneylerinde toplam 46 adet numune deneye tabi tutulmuş ancak bunlardan bir kısmı elenmiş ve 34 tanesi için gerilme – birim deformasyon eğrileri çizilerek tanjant, sekant ve ortalama elastisite modülleri hesaplanmıştır. Bu çalışma için elde edilmiş olan gerilme – birim deformasyon eğrilerinin tamamının fazla yer tutması yüzünden tipik olan birkaç tanesi konulmuş ve Şekil 4.49, Şekil 4.50 ve Şekil 4.51'de gösterilmiştir.

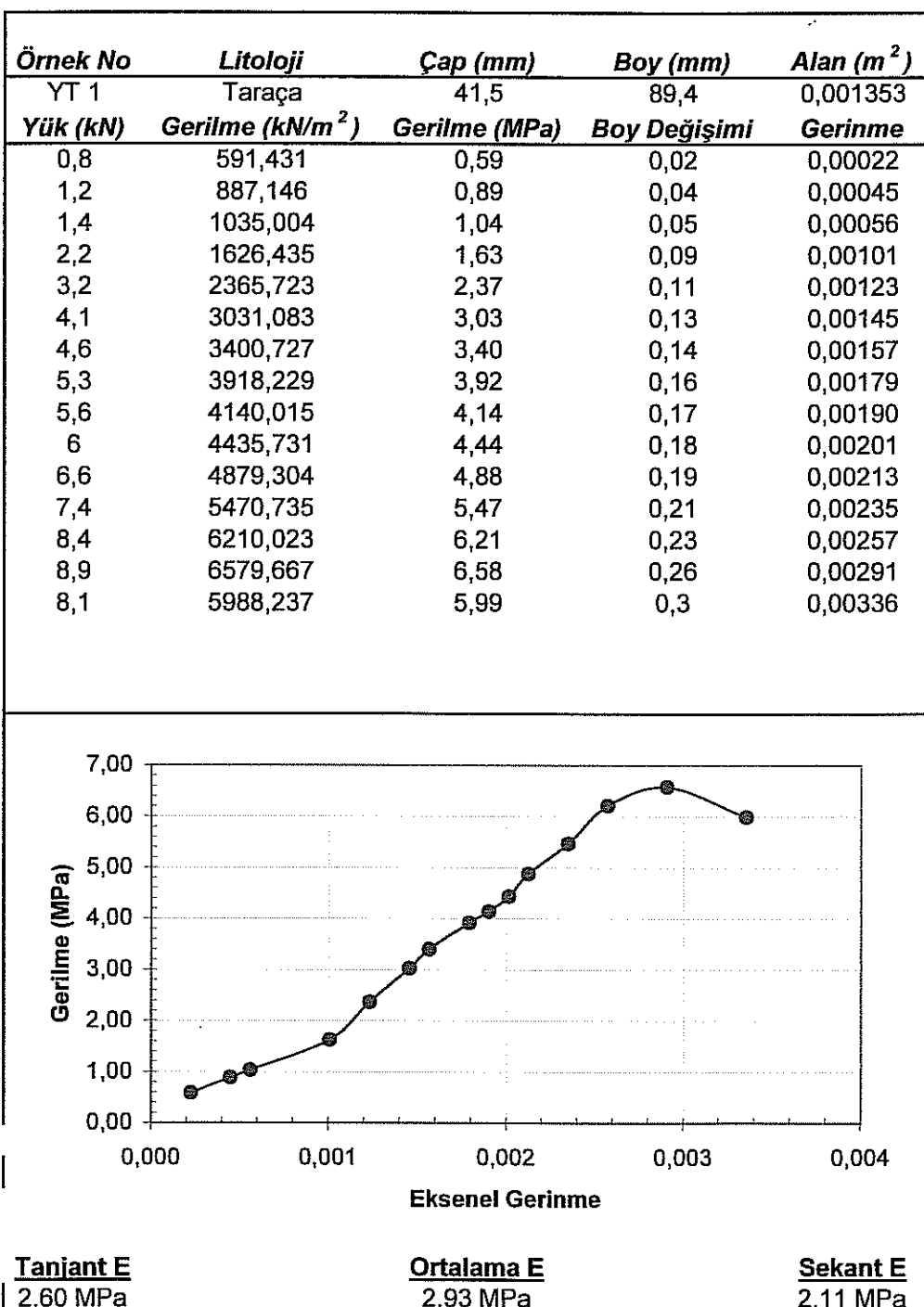


Şekil 4.48. Tek eksenli basma dayanımı deneylerinde kullanılan karot numuneler

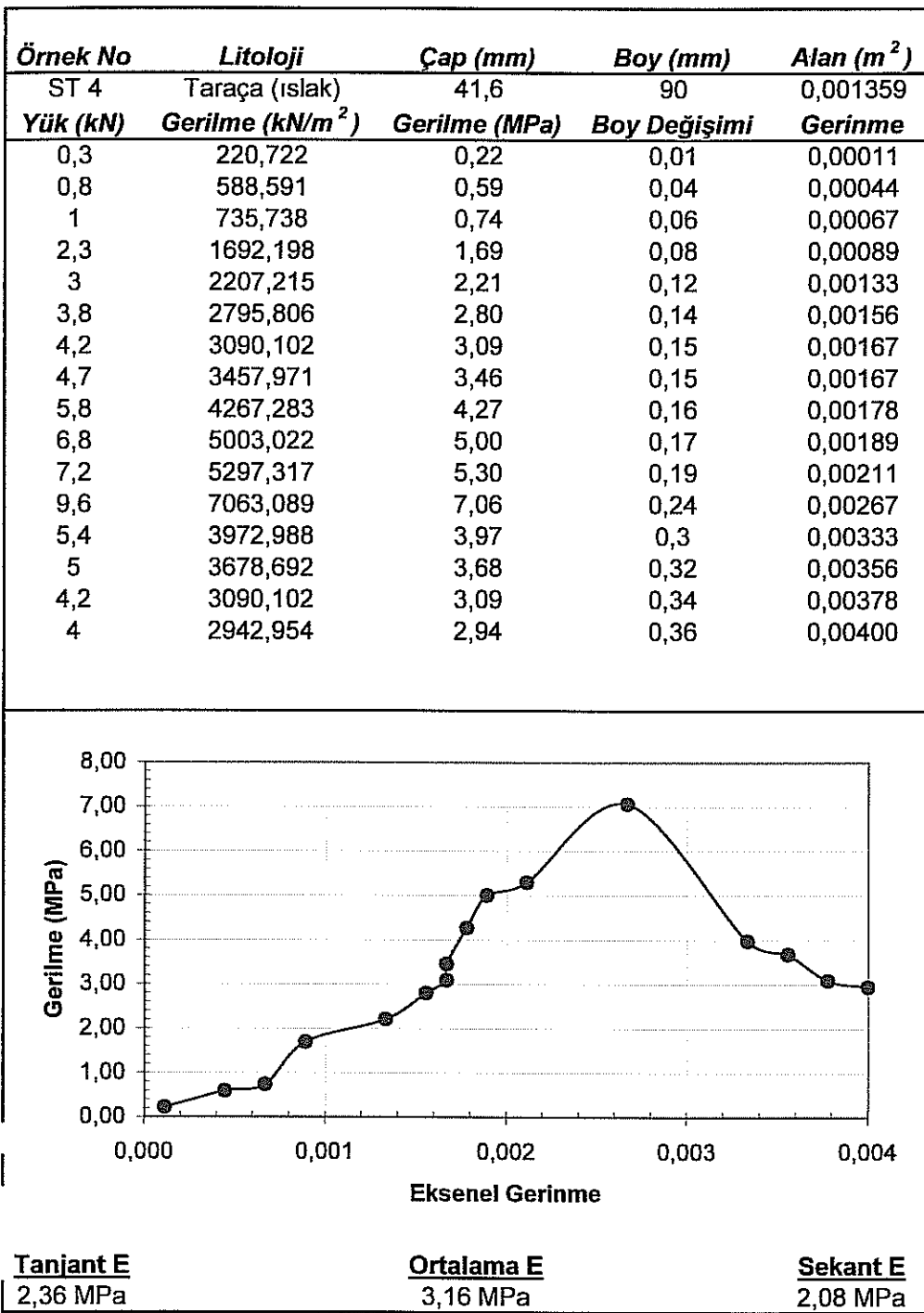
Deneyler sırasında, taraça birimi içerisindeki tane ve çimento dayanımlarındaki farklılıklara, karot içerisinde yer alan çakıl tanelerinin boyutlarına bağlı olarak elde edilmiş gerilme-birim deformasyon eğrilerinde bazı şekil değişiklikleri dikkat çekmektedir. Tek eksenli basma dayanımı deneyleri sırasında yük etkisi ile kayada ilksel yenilmenin olması fakat ardından yeniden paketlenme ile tekrar dayanım kazanılıp kayanın ikincil yenilmesi şeklinde devam eden bir durumla karşılaşılmıştır. Bu durumlar Şekil 4.49 ve 4.50'deki gibi gerilme-birim deformasyon eğrilerinin elde edilmesine neden olmuştur. Bununla birlikte Şekil 4.51'de görülen ve tam bir kayacın gerilme-birim deformasyon eğrisine uyan durumlarla seyrek de olsa karşılaşılmıştır.



Şekil 4.49. ST 13 numaralı taraça örneğine ait tek eksenli basma dayanımı deney verileri ve gerilme – birim deformasyon grafiği.



Şekil 4.50. YT 1 numaralı taraça örneğine ait tek eksenli basma dayanımı deney verileri ve gerilme – birim deformasyon grafiği.



Şekil 4.51. YT 1 numaralı taraça örneğine ait tek eksenli basma dayanımı deney verileri ve gerilme – birim deformasyon grafiği.

Yapılan deneylerden elde edilmiş olan tek eksenli basma dayanımı değerleri ile elastisite modülleri, deneyin yapıldığı örneğe ait su içeriği değerleri ile birlikte Çizelge 4.32'de sunulmuştur.

Çizelge 4.32. Taraça kaya örneklерinin tek eksenli basma dayanımı deneylerinden elde edilen veriler.

Örnek No	B.h.a (kN/m³)	Yenilme Yüklü (kN)	Maks. düşey yer. (mm)	UCS (MPa)	Su icerigi (%)	E_f (GPa)	E_s (GPa)	E_{ort} (GPa)
YT 1	-	8.9	0.24	6.59	0	2.60	2.11	2.93
YT 2	25.5	5.1	0.79	3.77	2.01	1.66	1.62	1.71
YT 3	-	9.2	1.30	6.80	0.0	1.01	1.07	0.68
YT 4 bloklı	-	9.6	0.68	7.13	0.0	0.60	0.84	0.64
YT 5	-	6.1	0.68	4.49	2.86	0.86	1.17	0.83
YT 6	-	8.5	0.72	6.21	0	1.21	0.61	1.30
YT 7 bloklı	-	9.0	0.27	6.70	1.84	2.70	2.81	2.56
YT 8	-	7.7	-	5.60	0	-	-	-
YT 9 kumlu	-	2.5	0.55	1.80	0	0.20	0.31	0.28
YT 10	-	6.6	0.82	4.88	0	0.81	0.76	0.76
YT 11	25.5	5.9	0.48	4.34	3.11	0.88	0.82	0.98
YT 12	-	5.0	0.38	4.56	3.00	2.21	1.62	2.46
YT14 bloklı	-	10.6	0.95	10.30	0	1.20	1.40	0.81
YT15 kumlu	-	3.0	0.78	2.31	7.13	0.22	0.26	0.11
TÖ 1	-	2.9	0.60	2.39	13.97	1.30	1.63	1.44
TÖ 2	-	4.2	0.11	3.11	0	0.52	0.50	0.55
TÖ 3	-	4.0	0.65	2.97	0	0.50	0.61	0.48
TÖ 4	-	4.5	0.52	3.33	0	0.96	0.62	0.91
ST 1	-	6.7	0.65	5.00	0	0.82	0.85	0.78
ST 2	-	6.1	0.64	4.55	0	1.52	1.54	1.52
ST 3	-	12.8	0.73	9.61	0	1.40	1.15	1.41
ST 4	26.7	9.6	0.30	7.06	2.03	2.36	2.08	3.16
ST 5	-	5.6	1.32	4.12	0	0.92	0.70	1.04
ST 6	-	5.6	0.68	5.44	0	1.50	1.48	1.56
ST 7	-	5.8	0.41	4.27	0	1.08	0.85	1.17
ST 8	24.9	2.6	0.95	2.43	4.82	0.38	0.50	0.24
ST 9	-	2.6	0.50	1.91	3.85	0.59	0.61	0.43
ST 10	26.6	6.7	0.48	4.86	3.67	1.92	1.80	1.90
ST 11 killı	-	4.7	0.60	3.47	0	0.82	0.89	0.80
ST 12	-	4.9	0.89	3.77	0	0.61	0.71	0.58
ST 13	2.50	3.8	0.45	3.38	3.58	0.58	0.66	0.61
ST 14 killı	-	2.4	0.68	1.77	7.04	0.26	0.21	0.28
ST 15 kumlu	-	5.5	0.72	4.05	2.00	0.58	1.40	0.55
ST 16	-	6.0	0.65	4.41	4.68	0.74	0.67	0.70
Minimum	24.9	2.4	0.24	1.77	1.84	1.00	0.21	0.24
Maksimum	26.7	12.8	1.32	10.30	13.97	2.60	2.11	2.93

Çizelge 4.32, killi ve kumlu malzeme içeren taraça örneklerinde elde edilen dayanım değerlerinin oldukça düşük olduğunu, buna karşılık blok boyutu malzeme içeren örneklerde ise dayanımın yüksek olduğunu göstermektedir. Örneklerde ait tek eksenli basma dayanımı değerleri 1.77 ile 10.30 MPa ($17.7 - 103.0 \text{ kg/cm}^2$) değerleri arasında değişmektedir. Çizelgede, hesaplanan farklı elastisite modüllerinin değişim aralıkları da görülmektedir.

ISRM (1978) sınıflamasına göre incelenen karot örneklerinden elde edilmiş tek eksenli basma dayanımı değerleri kayaçların “*Çok zayıf – zayıf dayanımlı*” kaya grubunda yer aldılarını göstermektedir (Çizelge 4.33).

Çizelge 4.33. Kayaçların tek eksenli sıkışma dayanımının tanımlanması (ISRM, 1978).

Tanımlama	Tek eksenli sıkışma dayanımı (MPa)
Aşırı zayıf dayanımlı	0.25 – 1.0
<i>Çok zayıf dayanımlı</i>	<i>1.0 – 5.0</i>
<i>Zayıf dayanımlı</i>	<i>5.0 – 25.0</i>
Orta dayanımlı	25.0 – 50.0
Dayanımlı	50 – 100
Çok dayanımlı	100 – 250
Aşırı dayanımlı	> 250

Kayaçların tek eksenli basma dayanımı değerlerine göre tanımlamalarında en fazla kullanılan sınıflamalardan biri olan Deere ve Miller (1966) sınıflaması ise incelenen kaya türlerinin tamamı için “*Çok düşük dayanımlı*” kaya sınıfını öngörmektedir (Çizelge 4.34).

Çizelge 4.34. Deere ve Miller (1966) kaya dayanımı sınıflaması.

Tek Eksenli Sıkışma Dayanımına Göre Sınıflama		
Sınıf	Dayanım	Tek eksenli sıkışma dayanımı (kg/cm^2)
A	Çok yüksek	> 2200
B	Yüksek	2200 – 1100
C	Orta	1100 – 500
D	Düşük	500 – 275
E	<i>Çok düşük</i>	< 275

Kayaçların dayanım değerlerine göre sınıflandırılmalarında son zamanlarda ortaya konulmuş ve sıkça kullanılan bir diğer sınıflandırma Hoek (1998) tarafından ifade edilmiştir. Bu sınıflamada tek eksenli basma dayanımı değerleri ile birlikte nokta yük dayanım indisi ve Schmidt darbe sayısı değerleri de dikkate alınmaktadır.

Elde edilen sonuçlar Hoek (1998) sınıflamasına göre değerlendirildiğinde diğer sınıflamalarla uyumlu olarak “*Çok zayıf – zayıf dayanımlı (R1-R0)*” kaya grubunda oldukları görülmektedir (Çizelge 4.35).

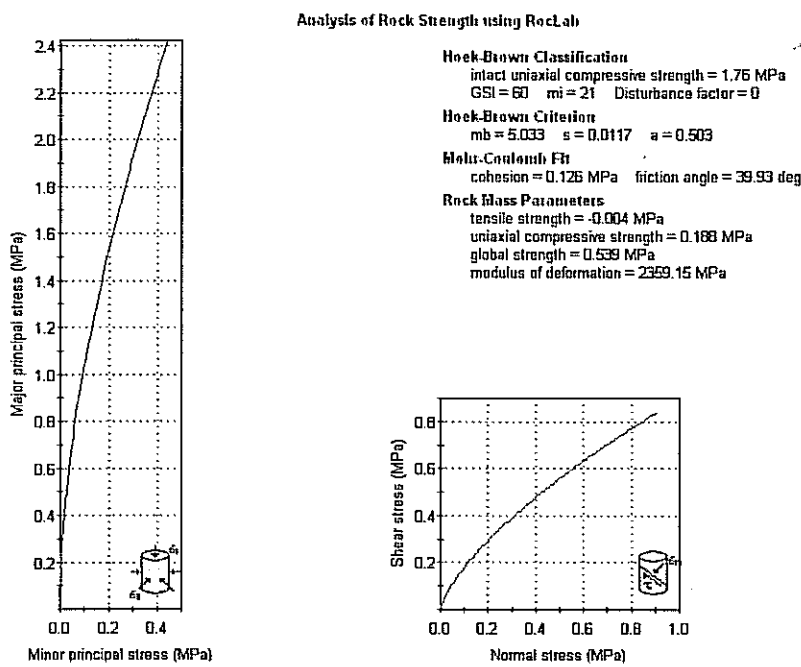
Çizelge 4.35. Kayaçların dayanım deney sonuçlarına göre sınıflandırılmaları (Hoek, 1998).

Tanım	Tek Eksenli Basma Dayanımı, (MPa)	Nokta Yük Dayanımı (MPa)	Schmidt Darbe Sayısı	Arazideki Dayanım Tanımlaması	Örnek Kayaçlar*
Oldukça Dayanımlı, R5	> 250	> 10	50 – 60	Kayaç tekrarlanan çekici darbeleriyle sadece ufak parçalara ayrılabilir	Taze bazalt, çört, diyabaz, gnays, granit, kuvarsit
Çok Dayanımlı, R4	100 – 250	4 – 10	40 – 50	Kayaç birkaç çekici darbesiyle parçalanabilir	Amfibolit, kumtaşı, bazalt, gabro, granodiyorit, kiraçtaşı, mermér, riyolit
Dayanımlı, R3	50 – 100	2 – 4	30 – 40	Elde tutulan bir örnek tek çekici darbesiyle kırılabilir	Kireçtaşı, mermér, fillit, kumtaşı, şist, şeyl
Orta Dayanımlı, R2	25 – 50	1 – 2	15 – 30	Çekicin sert bir darbesi ile kayada 5 mm'lik bir kertik açılabilir, bıçak ile yüzeye çizik oluşturulabilir.	Kiltası, kömür, beton, şist, şeyl, silttaşısı
<i>Zayıf, R1</i>	<i>5 – 25</i>	**	< 15	Bıçak kayacı keser fakat kayaca şekil vermek kısmen güçtür.	Tebeşir, kayatuzu
<i>Çok Zayıf, R0</i>	<i>1 – 5</i>	**	-	Kayaç sert çekici darbeleri ile uflatlanabilir, bıçak ile kazınabilir.	Oldukça ayırmış ve altere kayaçlar
Çok Fazla Zayıf	0.25 – 1	**	-	Tırnak ile kentik açılabilir	Kıl dolgu malzeme

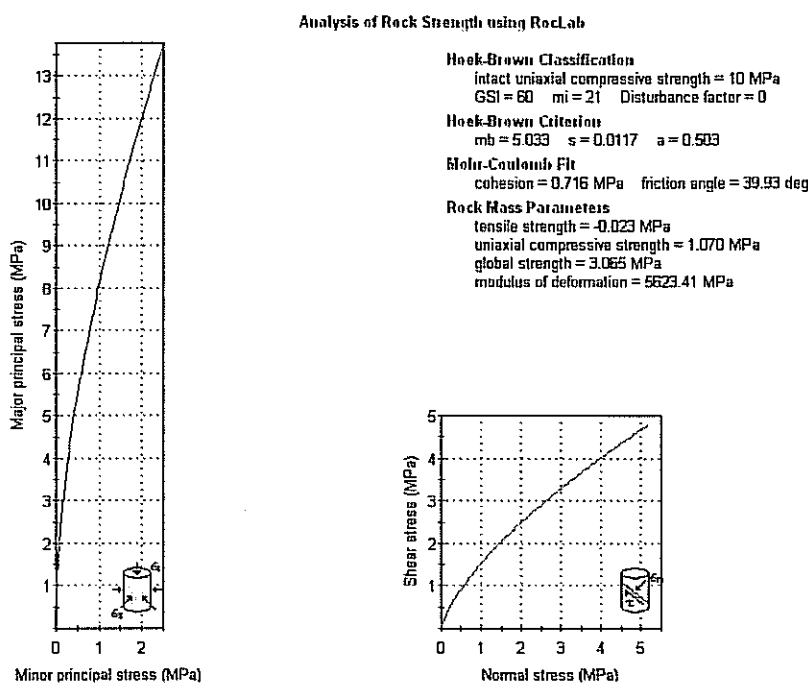
* Tüm kayaçlar geniş bir aralıktaki değişen UCS değerine sahiptirler. Bu yapıdaki anizotropiyi yansıtır. Dayanımlı kayaçlarda taneler arasındaki kenetlenme kuvvetlidir ve boşluklar azdır.

** Bu grupperde kayaçların UCS (tek eksenli basma dayanımı) değerleri 25 MPa'dan daha küçüktür, ancak nokta yük dayanımı testindeki yenilme değerlerinde belirsizlik söz konusudur.

Tek eksenli basma dayanımı deneyleri ile belirlenen değerler ile taraça biriminin yüzey koşulları dikkate alınarak kayma dayanımı parametreleri belirlenmeye çalışılmıştır. Bu amaçla RockLab 1.06 bilgisayar programından faydalanyılmıştır. Program jeolojik dayanım indisi değerinin (GSI) yüzey koşullarına bağlı olarak bilgisayar ortamında belirlenebilmesine de olanak sağlamaktadır. Bu program yardımıyla elde edilmiş kaya dayanım parametreleri ve programa ait çalışma görüntüsü Şekil 4.52'de görülmektedir.



a) ST 14 karotuna ait kaya dayanım parametreleri



b) YT 14 karotuna ait kaya dayanım parametreleri

Şekil 4.52. En düşük ve en yüksek tek eksenli basma dayanımı değerlerine sahip karot numuneleri için elde edilmiş taraça kaya dayanımı parametreleri.

Örneklerin tamamı için GSI değeri 60 olarak alınmıştır. GSI değerinin tüm örnekler için sabit olması içsel sürtünme açısının 39.93° olarak sabit bir değer almasına neden olmuştur. Ancak bu değerle birlikte önem taşıyan kohezyon (c), çekme dayanımı (σ_t) ve

elastisite modülü, (E) değerlerinin örneklerre göre değişimleri Çizelge 4.36'da verilmiştir. Bu çizelgede belirlenmiş parametrelere ait değişim aralıkları da verilmiştir. Taraça numunelerinin tamamı için Hoek-Brown sabitleri, mb: 5.033, s: 0.0117 ve a: 0.503 olarak elde edilmiştir.

Çizelge 4.36. Taraça örneklerine ait kaya dayanım parametreleri.

<i>Örnek No</i>	<i>UCS (MPa)</i>	<i>c (MPa)</i>	σ_c (MPa)	<i>E (MPa)</i>
YT 1	6.59	0.472	0.015	4565
YT 2	3.83	0.274	0.009	3480
YT 3	7.30	0.522	0.017	4805
YT 4	7.11	0.509	0.017	4742
YT 5	4.47	0.320	0.010	3760
YT 6	6.30	0.451	0.015	4463
YT 7	7.20	0.515	0.017	4772
YT 8	5.60	0.401	0.013	4208
YT 9	1.80	0.129	0.004	2385
YT 10	4.80	0.344	0.011	3896
YT 11	4.51	0.323	0.011	3776
YT 12	4.54	0.325	0.011	3789
YT 14	10.30	0.716	0.023	5623
YT 15	3.12	0.223	0.007	3141
TÖ 1	2.38	0.170	0.006	2743
TÖ 2	3.10	0.222	0.007	3130
TÖ 3	2.90	0.208	0.007	3028
TÖ 4	3.40	0.243	0.008	3279
ST 1	4.90	0.351	0.011	3936
ST 2	4.60	0.329	0.011	3814
ST 3	9.60	0.687	0.022	5510
ST 4	7.33	0.525	0.017	4814
ST 5	4.12	0.295	0.010	3610
ST 6	5.40	0.386	0.013	4132
ST 7	4.29	0.307	0.010	3683
ST 8	2.39	0.171	0.006	2749
ST 9	1.91	0.137	0.004	2458
ST 10	4.90	0.351	0.011	3936
ST 11	3.46	0.248	0.008	3307
ST 12	3.89	0.278	0.009	3507
ST 13	3.45	0.247	0.008	3303
ST 14	1.77	0.126	0.004	2359
ST 15	4.12	0.295	0.010	3609
ST 16	4.30	0.308	0.010	3687
<i>Değer Aralığı</i>	<i>0.126-0.716</i>	<i>0.004-0.023</i>	<i>2359-5623</i>	

4.3.2.3. Taşıma Gücü Özellikleri

Taşıma gücü analizlerinde taraçanın türüne göre iki farklı değerlendirmede bulunulmuştur. Zemin olarak değerlendirilen *gevşek tutturılmış ve karışmış taraçalar* için zemin taşıma gücü analizleri, kaya özelliği gösteren *tutturılmış taraça çökelleri* içinse kaya taşıma gücü analizleri yapılmıştır.

4.3.2.3.(1). Zemin Özelliği Gösteren Taraça Çökelleri İçin Taşıma Gücü Analizleri

Daha önce Handere killeri ile ilgili bölümde anlatılan taşıma gücü değerlendirmeleri bu bölümde de taraça çökelleri için yapılmıştır. Temel boyutları yine oluşturulan modeldeki gibi alınmıştır (bkz. Bölüm 3.2.10.4.). Zemin özelliği gösteren taraçalar için hesaplamalara esas teşkil eden parametre içsel sürtünme açısı ile birim hacim ağırlığı değerleri olmaktadır. Bu hesaplamalarda kaya özelliği gösteren taraçalardan farklı olarak kohezyon değerleri sıfır alınmıştır. Daha önce Çizelge 4.26'da bu çalışma kapsamında incelenmiş olan taraça veri noktaları taşıma gücü değerleri açısından incelendiklerinde Çizelge 4.37'de görülen sınır taşıma gücü ve güvenlik katsayısı 3 alınarak elde edilmiş olan emin taşıma gücü değerleri elde edilmektedir. Taşıma gücü değerleri açısından elde edilmiş veri gruplarına ait bilgiler bu kapsamda sunulacak bilgiler açısından oldukça fazla yer kaplayacağından sadece CBS içerisinde oluşturulan veri bankasında yer almaktadır.

4.3.2.3.(2) Kaya Özelliği Gösteren Taraça Çökelleri İçin Taşıma Gücü Analizleri

Kaya temellerin taşıma güçleri ile ilgili çok farklı yaklaşımlar ve geliştirilmiş çok sayıda bağıntı olduğu bilinmektedir (El-Naqa, 2004). Bunların çoğunun da Terzaghi bağıntısına dayandığı görülmektedir.

Sower (1979; El-Naqa, 2004'den) intakt kaya kütlelerinin maksimum taşıma kapasitelerinin belirlenmesi için aşağıdaki bağıntının kullanılmasını önermiştir;

$$q_{sinur} = 2c \cdot \tan(45 + \phi/2) \quad (4.11)$$

Az kırıklı ve zayıf kayaçlarda taşıma gücünün belirlenmesinde ise aşağıdaki bağıntı sıkılıkla kullanılmaktadır (Ulusay, 2001'den);

$$q_{sinur} = c \cdot C_f \cdot N_c + (C_{f2} \cdot \gamma/2 \cdot N_\gamma) + \gamma \cdot D_f \cdot N_g \quad (4.12)$$

Bu bağıntılarda;

c : kohezyon C_f : temel tipi düzeltme faktörü

ϕ : içsel sürtünme açısı N_γ : taşıma gücü faktörü

γ : birim hacim ağırlığı N_c : taşıma gücü faktörü
 D_f : temel derinliği N_g : taşıma gücü faktörü
 C_f : temel tipi düzeltme faktörü q_{suar} : sınır taşıma gücü
 değerleridir.

Çizelge 4.37. İncelenen taraça lokasyonları için elde edilmiş taşıma gücü değerleri.

Lokasyon No	Koordinat	ϕ	γ_a (kg/cm^3)	q_{suar} (kg/cm^2)	q_{emin} (kg/cm^2)
AÇ-3	05581 D / 00971 K	20.20	1.98	5.25	1.75
AÇ-3	"	24.68	2.08	8.64	2.88
AÇ-4	05056 D / 02038 K	20.76	2.12	5.62	1.88
AÇ-7	03933 D / 00871 K	31.5	2.18	18.82	6.27
AÇ-10	02048 D / 02267 K	36.0	2.31	42.78	14.26
AÇ-18	09181 D / 00865 K	29.5	2.24	19.34	6.44
AÇ-19	09225 D / 01225 K	28.5	2.32	14.95	4.98
AÇ-34	05949 D / 98500 K	32.0	2.11	22.66	7.55
AÇ-41	06043 D / 98054 K	24.8	2.10	8.73	2.91
AÇ-42	04226 D / 03256 K	38.0	2.04	52.25	17.42
AÇ-57	05965 D / 01897 K	30.4	1.98	17.09	5.70
AÇ-57	"	34.2	2.22	30.90	10.30
AÇ-60	09327 D / 04663 K	26.5	2.22	11.44	3.81
AÇ-62	06210 D / 99594 K	32.5	2.04	21.91	7.30
AÇ-67	03818 D / 99636 K	28.5	2.36	15.21	5.07
AÇ-69	06088 D / 01160 K	28.8	2.14	13.79	4.60

Zemin taşıma gücü hesaplamalarında olduğu gibi emin taşıma gücünün (zemin emniyet gerilmesi) bulunmasında da sınır (maksimum) taşıma gücü belirlenmiş bir güvenlik katsayısına bölünür.

Bu bölümde yapılan hesaplamalarda da zeminlerde yapılan hesaplamalara benzer şekilde, değerlendirmelerde bir bütünlük olması açısından aynı temel tipi ve boyutları ele alınmış ve zemin taşıma gücü analizleri için oluşturulan bilgisayar programı kayalar için aynı formatta olmak üzere revize edilmiştir (Şekil 4.53). Oluşturulan programda (4.12) numaralı bağıntı kullanılmış ve temel derinliği 3 m, eni 2 m ve boyu 3 m olan dikdörtgen şekilli bir temel ele alınmıştır. Emin taşıma gücünün hesaplanması zeminlerde olduğu gibi sınır taşıma gücü güvenlik sayısı olan 3'e bölünmüştür.

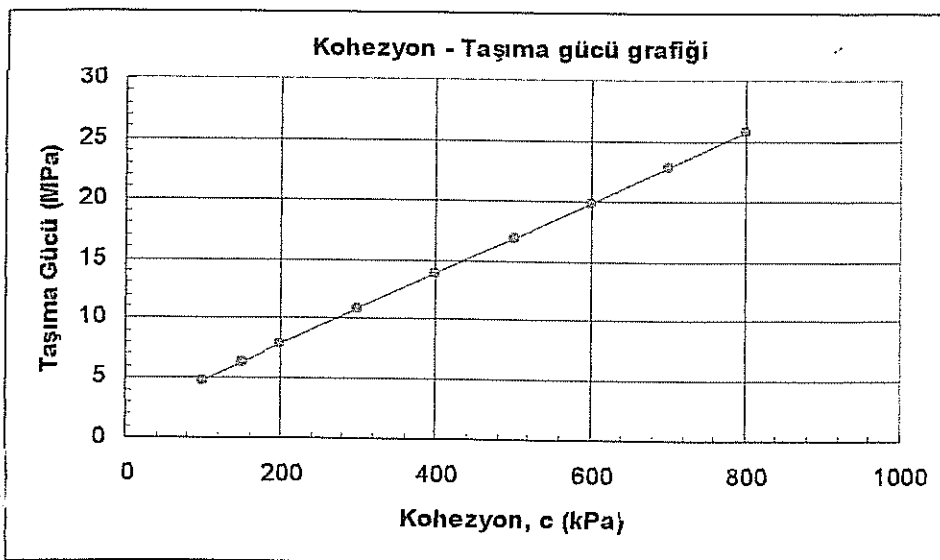
TEMELE AİT VERİLER			KAYA TAŞIMA GÜCÜ PROGRAMI			
Temel tipi		Birimler				
Kohezyon	600	kPa	Lokasyon :	Taraca		
\varnothing	38	Derece	Program:	Arş. Gör. İbrahim ÇOBANOĞLU		
B.h.a.	28	kN/m^3	KAYA TAŞIMA GÜCÜ BİLGİLERİ			
D_f	3	m	$q_{\text{sinir}} =$	60068,4	kPa	60,0684 MPa
B	2	m	$q_{\text{emin}} =$	20022,8	kPa	20,0228 MPa
L	3	m	$Q_{\text{emin}} =$	120137	kN	
G_s	3		$q_{\text{net}} =$	59984,4	kPa	5998,44 MPa

Sekil 4.53. Kaya taşıma gücünün belirlenmesi için oluşturulmuş bilgisayar programına ait veri giriş parametreleri ve hesaplananlar.

Daha önce de incelendiği gibi kayalarda tutturulmuşluğa bağlı olarak meydana gelen kohezyon değerlerinin belirlenmesinde Rock Lab 1.06 bilgisayar programından faydalanyılmıştır. İncelenen örnekler için bu değerin 0.126 ile 0.716 MPa (126-716 kPa) arasında değişmekte olduğu belirlenmiştir. Yine incelenen örnekler için birim hacim ağırlıkları $24 - 28 \text{ kN/m}^3$ değerleri arasında yer almaktadır. Kaya taşıma güçlerinin belirlenmesinde içsel sürtünme açısı 38° olarak alınmıştır. Belirtilen kohezyon ve birim hacim ağırlığı değerleri için hesaplamalar yapıldığında Şekil 4.54'de gösterilen taşıma gücü ilişkisi ortaya konulmuştur. Bu grafikte elde edilmiş değerler en düşük birim hacim ağırlığı (24 kN/m^3) için hesaplanmıştır. Yapılan diğer hesaplamalara ait sonuçlar tablo halinde Çizelge 4.38'de sunulmuştur.

4.3.2.4. Şev Duraylılık Özellikleri

Duraylılık problemleri açısından taraça çökelleri en sorunsuz zemin türünü oluşturmaktadır. Tabakaların yatay, kalınlıklarının fazla ve birimin genel olarak yüksek birim hacim ağırlıklı olması duraylı olmasını sağlamaktadır. Tanelerin fiziksel ayrışmaya dayanıklı olması da oluşan şev ve yarmalarda kaya düşmesi ya da devrilmesi türünde kütle hareketlerinin oluşmasını engellemektedir. Kritik bir durum tespit edilmediğinden bu özellikle ilgili herhangi bir duraylılık analizi yapılmamıştır.



Şekil 4.54. Taraça örnekleri için kohezyon değerlerinin kaya taşıma gücü ile ilişkisi (birim hacim ağırlığı 24 kN/m³ olan numuneler için).

Çizelge 4.38. Taraçalara ait emin taşıma gücü değerlerinin kohezyon ve birim hacim ağırlığı değerlerine bağlı olarak değişimi.

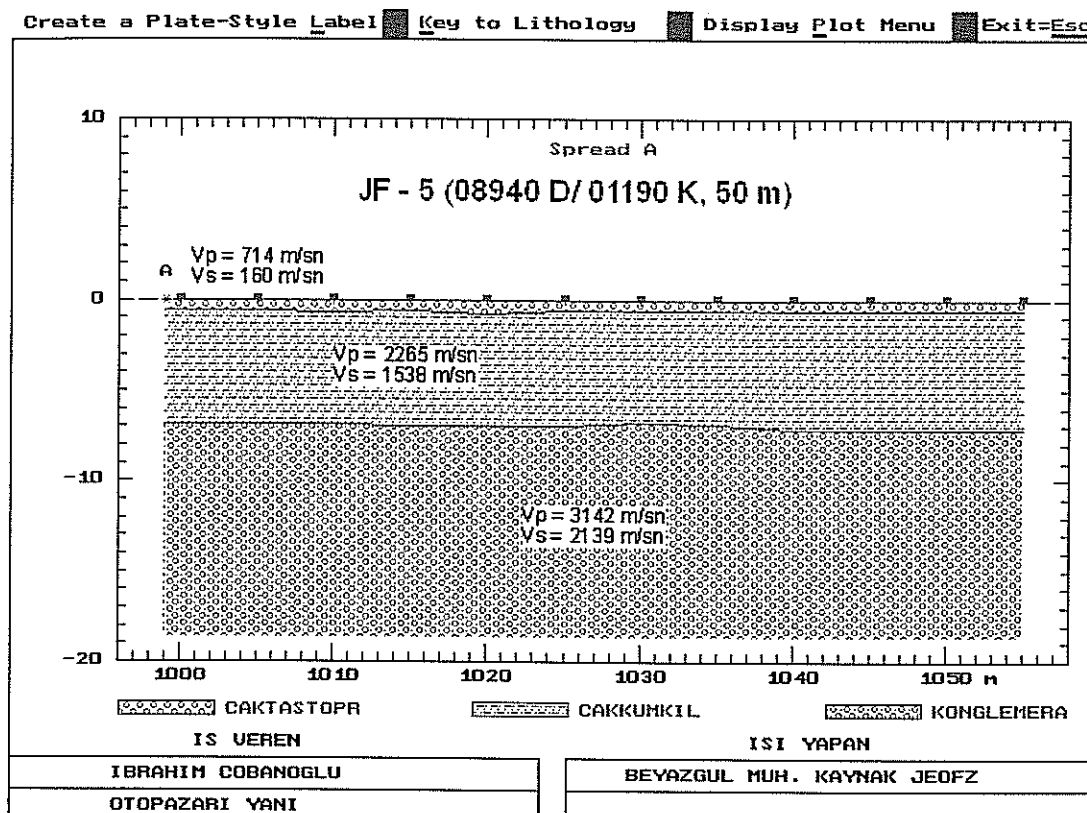
Kohezyon (kPa)	Birim Hacim Ağırlıkları (kN/m ³)				
	24	25	26	27	28
Emin Taşıma Gücü Değerleri (MPa)					
100	4,789	4,864	4,939	5,014	5,089
150	6,282	6,357	6,432	6,508	6,582
200	7,775	7,851	7,926	8,000	8,076
300	10,762	10,838	10,913	10,988	11,063
400	13,749	13,824	13,899	13,974	14,049
500	16,736	16,811	16,886	16,961	17,036
600	19,722	19,798	19,873	19,948	20,023
700	22,709	22,784	22,859	22,934	23,009
800	25,696	25,771	25,846	25,921	25,996

4.3.2.5. Jeofizik Özellikleri

JF 5 (08940 D/ 01190 K), JF 6 (06412 D/ 00665 K), JF 7 (04479 D/ 03152 K) ve JF 15 (04522 D/ 00703 K) ölçüm noktaları taraça içerisinde yer alan jeofizik ölçüm lokasyonlarıdır. Diğer birimlerde olduğu gibi bu birim için de aynı nokta da hem jeofizik sismik ve hem de özdirenç ölçümüne yönelik çalışmalar yapılmış ve aşağıda alt bölümler halinde sunulmuştur.

4.3.2.5.(1). Sismik Özellikler

JF 5 ölçüm noktası Mithat Özsan Bulvarı üzerinde yer alan oto pazarı içerisinde oluşturulmuştur. Üsteki toprak örtü altında çakıl, kum ve kil boyu malzemeden oluşan kısmen gevşek tutturulmuş 9 m kalınlığındaki birimin altında tamamen kaya özelliği gösteren sıkı tutturulmuş taraça inceleme derinliği olan 20 metreye kadar devam etmektedir (Şekil 4.55). Birimlerden elde edilen sismik hızlar ve bunlara bağlı olarak belirlenmiş olan diğer parametreler Çizelge 4.39'da gösterilmiştir.

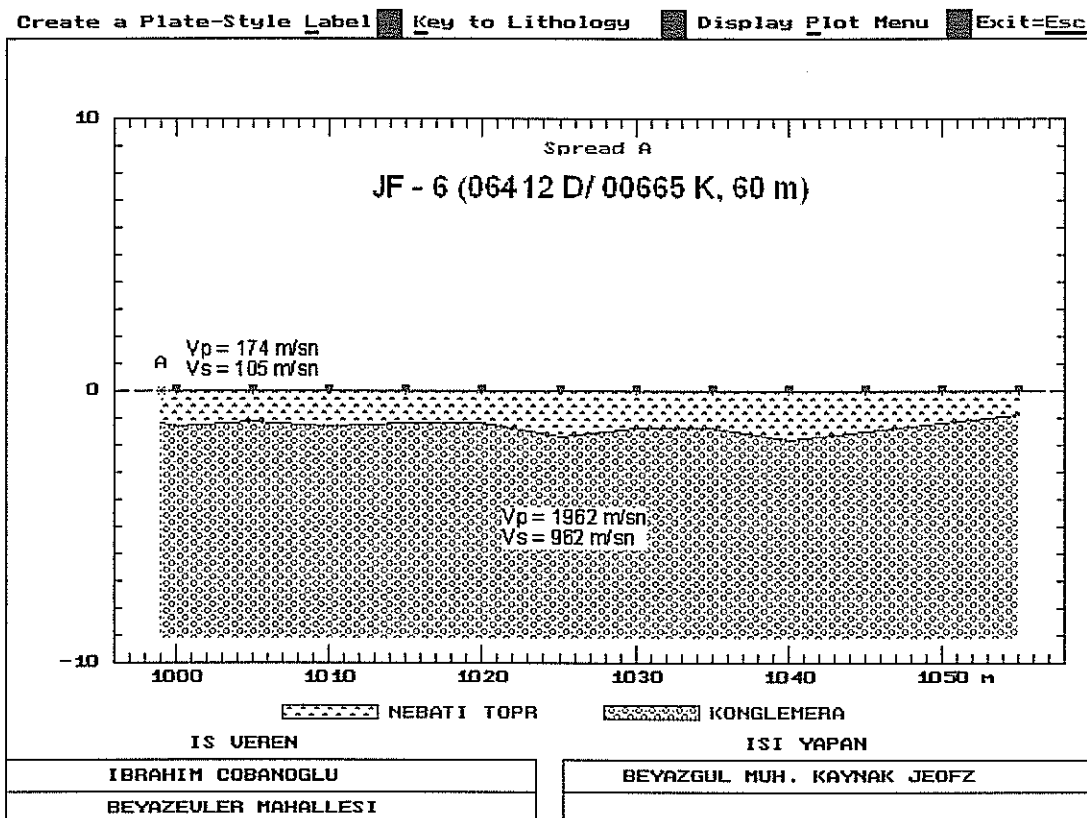


Şekil 4.55. JF-5 (oto pazarı) ölçüm noktasına ait sismik serim kesiti.

Beyazevler Mahallesi içerisinde yer alan JF 6 ölçüm noktasında üstte toprak örtü olarak yer alan ve çoğunu daha altta yer alan taraçadan türeme malzemeden oluşan çakılı bir birim bulunmaktadır. Bu birimin altında yer alan taraça çökelleri ise kısmen tutturulmuştur (Şekil 4.56). Bu çalışma noktasında belirlenmiş olan birimlere ait parametreler Çizelge 4.40'da verilmiştir.

Çizelge 4.39. Oto Pazarı (Çukurova Ünv. güneyi) sahasındaki sismik kırılma çalışması sonucu elde edilen parametreler (JF- 5).

	1.TABAKA	2.TABAKA	3.TABAKA
P Hızı (V_p , m/sn)	714	2265	3142
S Hızı (V_s , m/sn)	160	1538	2139
Zemin Büyüütmesi (n)	2.37	0.52	0.22
Poisson Oranı (σ)	0.47	0.069	0.058
Zemin Hak. Tit. Pr. (To)		0.16 sn	
V_p/V_s	4.46	1.47	1.47



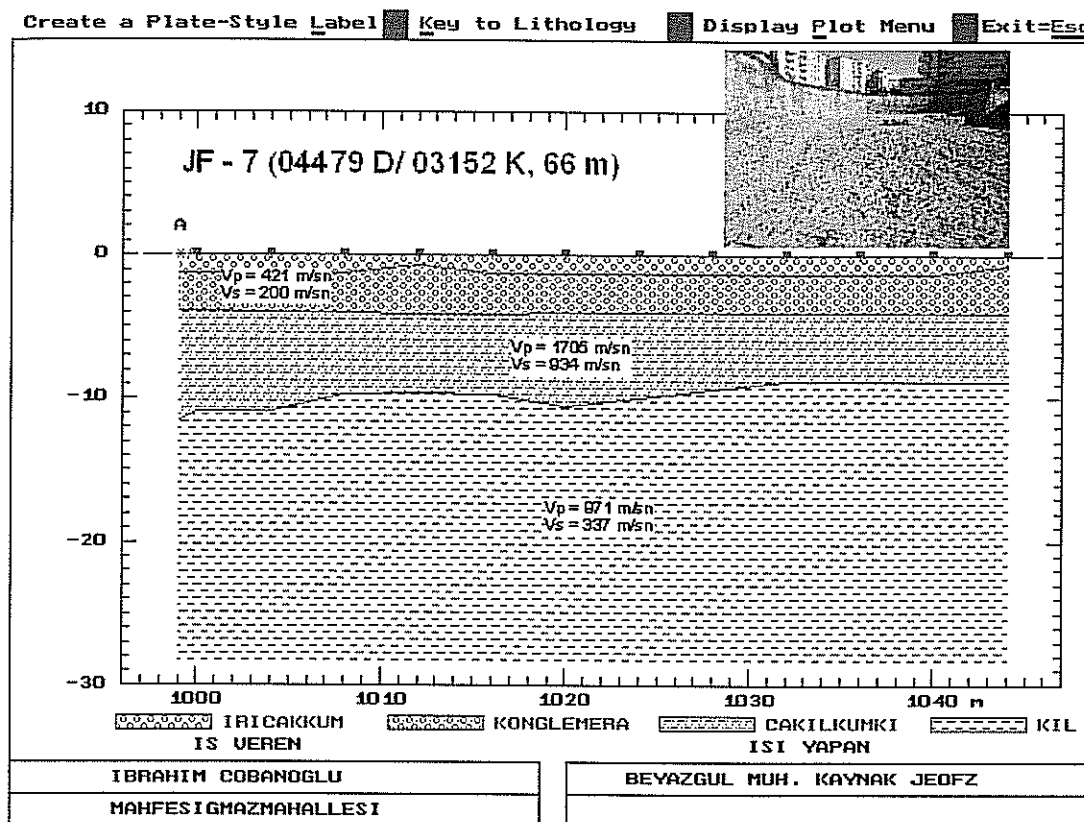
Sekil 4.56. JF-6 (Beyazevler Mah) ölçüm noktasına ait sismik serim kesiti.

Çizelge 4.40. Beyazevler Mahallesindeki sismik kırılma çalışması sonucu elde edilen parametreler (JF – 6).

	1.TABAKA	2.TABAKA
P Hızı (V_p , m/sn)	174	1962
S Hızı (V_s , m/sn)	105	962
Zemin Büyüütmesi (n)	2.9	0.87
Zemin Hak. Tit. Pr. (To)		0.24 sn
V_p/V_s	1.66	2.04

Kenan Evren Bulvarı üzerinde, Kapi Pide Restaurant yanında konumlandırılan JF-7 ölçüm noktası yaklaşık derinliği 8 m olan bir bina temel kazısıdır. Bu noktadaki ölçümler kazı çukuru içerisinde serim yapılarak alınmıştır. Burada üstteki 3 farklı taraşa seviyesinden sonra

yaklaşık 11 metre derinlikte Handere Kili ile karşılaşılmaktadır (Şekil 4.57). Bu noktadan elde edilen mühendislik parametreleri Çizelge 4.41'de gösterilmiştir. Kazı çukuru içerisinde ölçüm alınan yüzeydeki birim kazı işlemi ile gevşek bir hal alarak orijinal yapısını yitirmiştir olduğundan sismik serim profilinde en üstte yer alan birim değerlendirme dışı tutulmuştur.

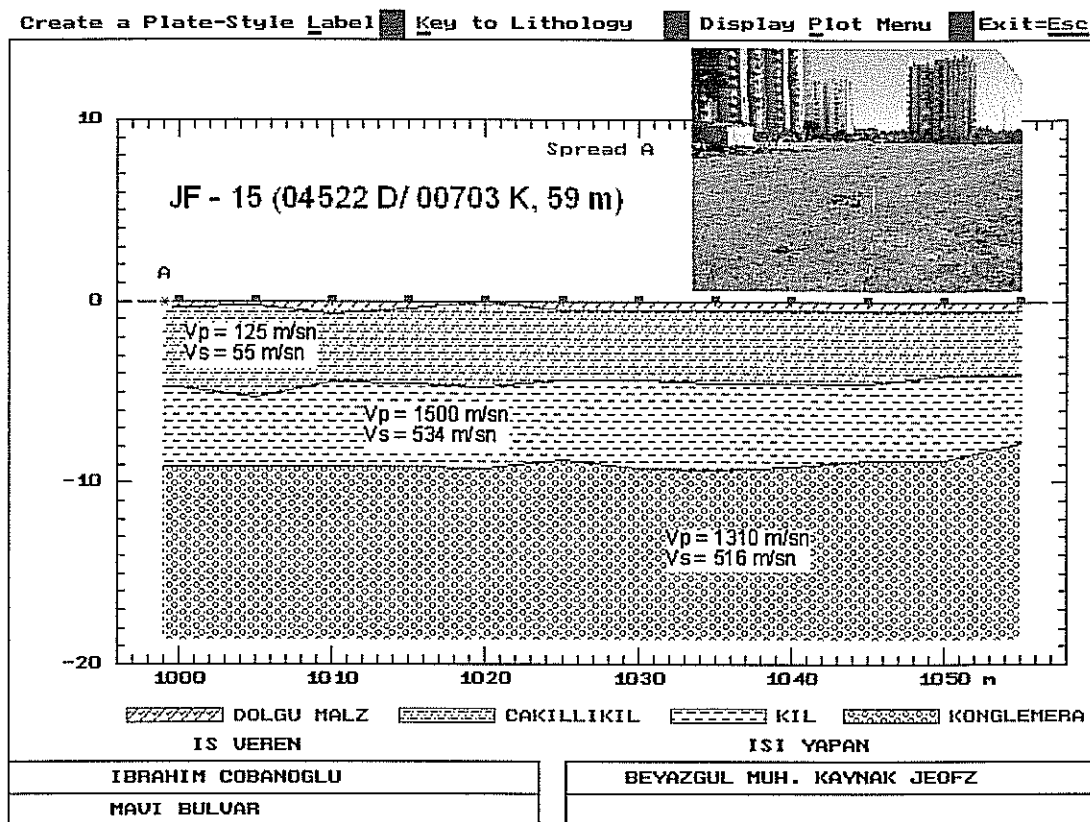


Şekil 4.57. JF-7 (Mahfesiğmaz Mahallesi) ölçüm noktasına ait sismik serim kesiti.

Çizelge 4.41. Mahfesiğmaz Mahallesindeki sismik kırılma çalışması sonucu elde edilen parametreler (JF - 7).

	1.TABAKA	2.TABAKA	3.TABAKA
P Hızı <i>(V_p, m/sn)</i>	421	1705	971
S Hızı <i>(V_s, m/sn)</i>	200	934	337
Zemin Büyütmesi <i>(n)</i>	2.3	0.9	1.78
Poisson Oranı <i>(σ)</i>	0.35	0.28	0.43
Zemin Hak. Tit. Pr. <i>(To)</i>		0.5 sn	
V_p/V_s	2.1	1.82	2.88

Mavi Bulvar üzerinde yer alan JF-15 ölçüm noktasında, yüzeyde temel kazılarından çıkan malzemelerin yiğilmasıyla oluşturulmuş bir dolgu ve altında yine oldukça zayıf kısmen çakıl boyutu malzeme de içeren killi bir seviye ve onun altında çakılı killi bir birim yer almaktadır. Bu noktada, taraça çökelleri karışmış olup 9. metreden başlayıp inceleme derinliği olan 20 metreye kadar devam etmektedir (Şekil 4.58). Bu noktaya ait sismik hızlar ve bulunmuş diğer parametreler Çizelge 4.42'de gösterilmiştir.



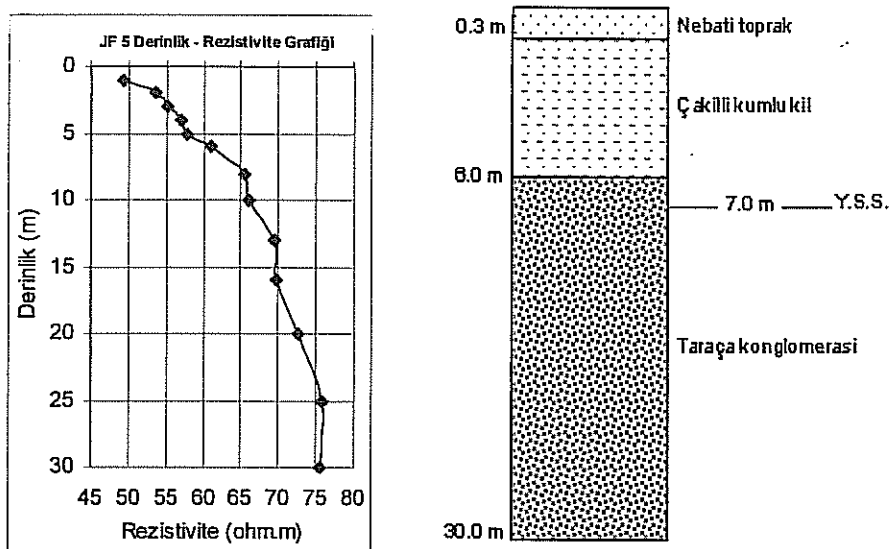
Sekil 4.58. JF-15 (Mavi Bulvar) ölçüm noktasına ait sismik serim kesiti.

Çizelge 4.42. Mavi Bulvar ölçüm noktasında sismik kırılma çalışması sonucu elde edilen parametreler (JF – 15).

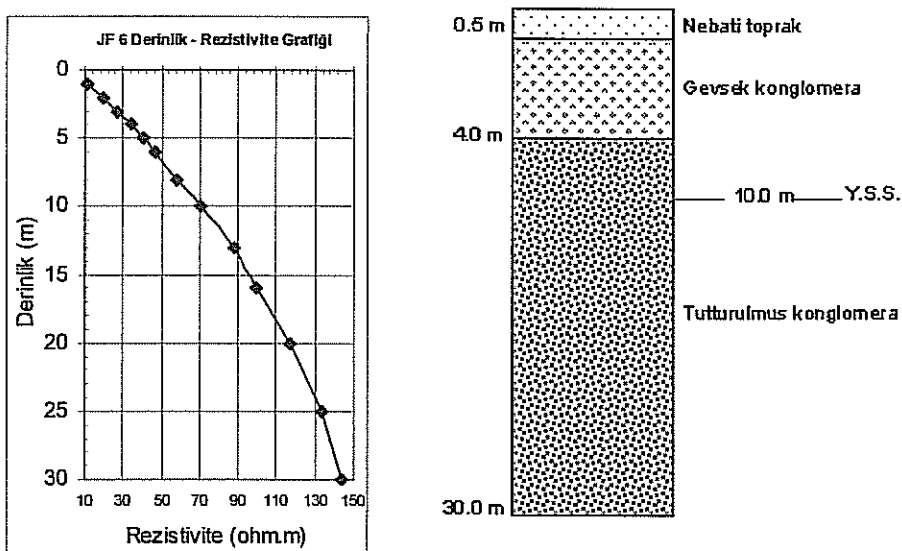
		1.TABAKA	2.TABAKA	3.TABAKA
P Hızı	(V_p , m/sn)	125	1500	1310
S Hızı	(V_s m/sn)	55	534	516
Zemin Büyütmesi	(n)	3.5	1.37	1.4
Bulk Modülü	(K_d)	115 kg/cm ²	35526 kg/cm ²	25316 kg/cm ²
Zemin Hak. Tit. Pr.	(To)		0.41 sn	
V_p/V_s		2.27	2.81	2.54

4.3.2.5.(2). Özdirenç Değerleri

JF 5, JF 6, JF 7 ve JF 15 ölçüm noktalarında yapılan düşey elektrik sondajları ile özellikle tabaka değişimleri ile kalınlıklarının doğruluklarının belirlenmesi amaçlanmıştır. Ölçüm noktalarından elde edilmiş özdirenç değerlerinin derinliğe bağlı olarak değişimleri ve bu bilgilerle çıkarılmış zemin kesitleri Şekil 4.59 – 4.62'de verilmiştir.



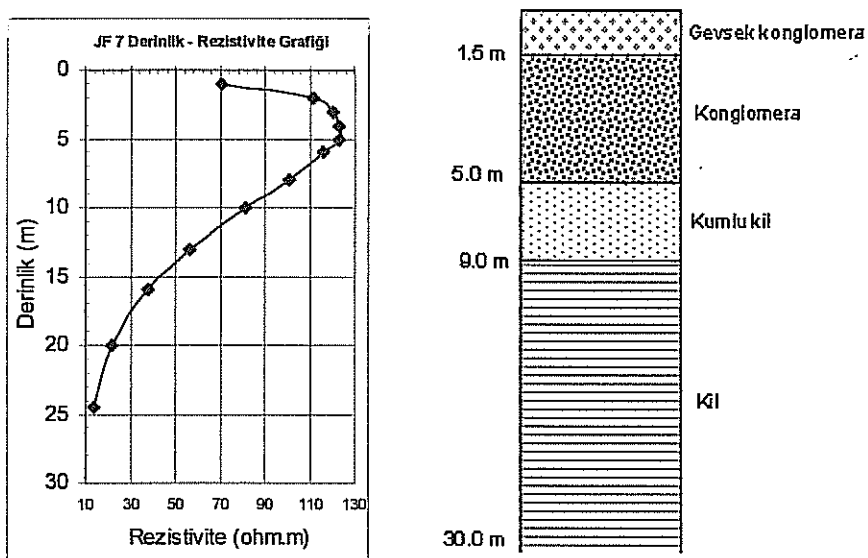
Şekil 4.59. JF 5 ölçüm noktasında derinliğe bağlı olarak elde edilmiş rezistivite değerleri



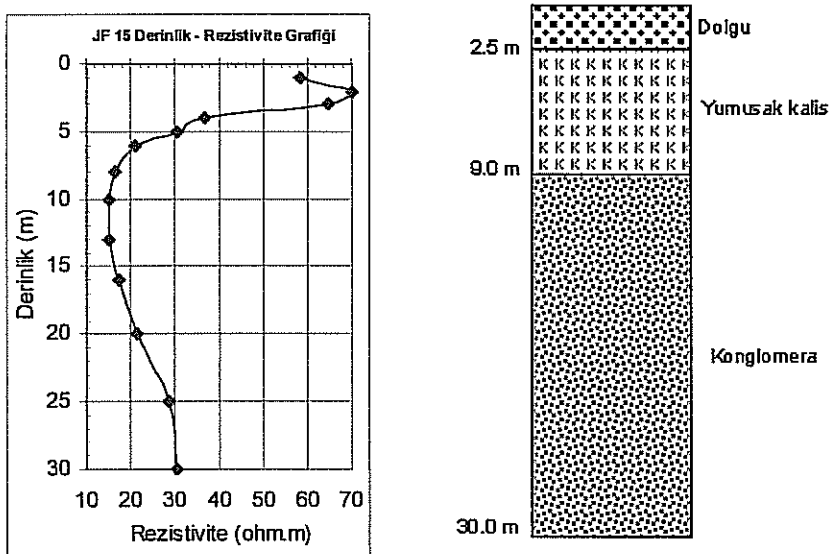
Şekil 4.60. JF 6 ölçüm noktasında derinliğe bağlı olarak elde edilmiş rezistivite değerleri.

4.3.2.6. Hidrojeolojik Özellikleri

Taraça çökelleri akifer olma özelliği taşıyan bir litolojiyi oluşturmaktadır. İstifin kalın olması ve kısmen yüksek topografik alanları oluşturuyor olması nedeniyle su seviyeleri oldukça derinlerde bulunmaktadır. Elde edilmiş veriler statik su seviyelerinin 14 – 40 metre arasında değişmekte olduğunu göstermektedir.



Şekil 4.61. JF 7 ölçüm noktasında derinliğe bağlı olarak elde edilmiş rezistivite değerleri



Şekil 4.62. JF 15 ölçüm noktasında derinliğe bağlı olarak elde edilmiş rezistivite değerleri

4.3.2.7. Yorum ve Öneriler

Taraça birimi mühendislik anlamında yapılışma açısından uygun olan bir birimdir. Bununla birlikte, mühendislik tasarımları için gerekli olan mekanik parametrelerin belirlenmesinin en zor olduğu bir litolojiyi oluşturmaktadır. Özellikle teknik donanım yetersizliklerinin olması durumunda mekanik parametrelere ait sayısal değerlerin ortaya konulması oldukça güçleşmektedir. Taraça çökelleri üzerinde, yapışmaya yönelik yapılan zemin etütlerindeki en büyük yanlış bu birimlerin klasik zemin sondajları ile araştırılıyor

olmasıdır. SPT, bu birimlerde kesinlikle sonuç vermeyecek, boş zaman ve para harcanmasına neden olacak bir yöntemdir. Bu anlamda daha önce de belirtildiği gibi derin yüzey kazılarından ve araştırma çukurlarından elde edilen numuneler üzerinde yapılacak deneyler daha doğru tasarım parametrelerinin elde edilmesini sağlayacaktır. Özellikle, presiyometre deneyi gibi sondaj kuyusunda doğrudan ölçümün yapılamadığı sondajlı zemin etütlerinin taraça çökelleri için bir anlam taşımayacağı bilinmelidir.

Tutturulmamış veya gevşek tutturulmuş taraça çökelleri genel anlamda GW- GP türü iri taneli zemin özelliği sunmakla birlikte birimi oluşturan tanelerin kökensel farklılıklarının olması, birim hacim ağırlıklarının çok dar bir alanda bile değişmesine neden olmaktadır. Tasarımlarda bu durumların dikkate alınması, elde edilmiş en düşük ve en yüksek değerlerin zemin araştırmalarını yapan kişi ya da kurumlardan istenmesi gerekmektedir.

Taraça birimi içerisinde kalismiş seviyeler birimin zemin özelliği gösteren kısımlarını oluşturmaktadır. Kayma dalgası hızları birimin kaya olan kısımlarında 900 – 2000 m/sn değerleri verirken, ayrılmış ve kalismiş seviyelerde 530 m/sn ve daha düşük değerler vermektedir. Kaya kütlesinde tutturulmuşluğa bağlı olarak dayanımının artması ile sismik hızlarda da artışların olduğu görülmektedir.

Statik koşullarda duraylı özellikler sergileyen taraça çökellerinin özellikle 1998 Ceyhan depreminde dinamik etkilerle duraylılıklarını kısmen yitirdikleri görülmüştür. Bu depremde birim içerisinde gerilme çatlaklarının geliştiği ve bazı kopma – düşme hareketlerininoluştuğu da bilinmektedir. Bu duraylılık problemlerinin oluşmasında birimin kısmen zayıf tutturulmuş ve zayıf dayanıklı kaya özelliği göstermesi etkili olmaktadır. Tane boyu ve litolojik dağılım açısından birimin heterojen özellik sergilemesi de duraylılık açısından olabilecek olumsuzlukların nedeni olarak düşünülmektedir. Bu tür riskli durumların belirlenmesi amacıyla arazi çalışmaları ile belirlenmiş alanlarda detaylı mühendislik çalışmalarının yapılması gerekmektedir. Bu anlamda gerekli görülen hallerde statik koşullarla birlikte şevin dinamik koşullardaki duraylılık analizlerinin de yapılması önem kazanmaktadır. Bu analizler sırasında da birime ait temel fiziksel ve mekanik parametrelerin önceden çok iyi bilinmesi gerekmektedir. Bu anlamda analiz sırasında tek bir parametre ile çalışmak yerine birden fazla parametrenin içerisinde bulunduğu bir değer aralığını analiz kapsamına almak daha gerçekçi olacaktır.

4.3.3. Kaliş Çökelleri

Bu bölümde daha önce Genel Jeoloji bölümünde sunulmuş olan kaliş birimlerinin mühendislik açısından değerlendirmeleri ele alınmıştır. Bu ve bundan sonraki bölümlerde anlatılan birimlere ait özelliklerin daha önce anlatılan diğer birimlerle aynı alt başlıklar altında sunulmalarına çalışılmıştır.

Kaliş çökelleri, inceleme alanı içerisinde Seyhan nehri batısında, baraj gölünün güneyinde yayılım sunmakta ve inceleme alanın da dışında batıya doğru yayılımını sürdürmektedir.. Kuzeyde Handere Formasyonu'na ait killi birimlerle, doğuda taraça ve güneyde altıvyon çökelleri ile dokanak halinde bulunmaktadır. Birim inceleme alanı içerisinde sadece Seyhan ilçesinde yayılım sunmaktadır. Kaliş çökelleri sert kaliş olarak adlandırılan ve kaya özelliği gösteren kısımlar ile yumuşak kaliş olarak adlandırılan ve zemin özelliği gösteren kısımlar olmak üzere 2 ayrı litolojik özellik sunmaktadır. Yumuşak kalişın içerisinde çakıl ve kum boyutu malzemenin de bulunduğu, bununla birlikte ayrisma ve karbonatlaşma etkisiyle çakıl boyutundaki malzemelerin dağılgan bir yapıya sahip oldukları arazi gözlemleri ile belirlenmiştir. Karbonat kapak veya masif kaliş olarak da adlandırılan sert kaliş genel olarak topografyada kısmen yüksek alanları oluşturmaktadır. Bu birimin kalınlığı yumuşak kalişe göre daha azdır. Zemin özelliği gösteren yumuşak kaliş ise daha düşük topografyaya sahip alanlarda yer almaktadır.

Arazi çalışmalarının temelini oluşturan yüzey kazısı, yarma ve şevlerin incelenmesi, bu birim için de ayrıntılı olarak yapılmıştır. Sert kaliş biriminden arazide örnek alınmanın zorluklarıyla karşılaşıldığından, bu birimlerde açılmış yüzey kazılarından elde edilen blok numuneler ile örneklemeler yapılmıştır. Blok numunelerden 42 ve 54 mm çaplı karot örnekler alınmış ve temel fiziksel ve mekanik özellikler bu karotlar üzerinde yapılan deneylerle tespit edilmiştir. Yumuşak kaliş biriminden alınan örneklerin büyük çoğu ince taneli malzemeden oluştuğundan bu birim ile sınıflama ve mekanik özellikleri belirlemeye yönelik deneylerin yapılması zemin mekaniği deneyleri ile mümkün olmuştur. Sert kaliş biriminin düşey bir istif içerisinde bile seviyeden seviyeye değişmekte olduğu görülmüş ve önce arazi gözlemleri ve ardından mikroskop çalışmaları ile masif kaliş birimleri 3 gruba ayrılmıştır. Kaliş çökellerinin dar alanda bile değişen özellikler sergilemeleri nedeniyle kaliş türlerinin ayırtlanmasına yönelik bir haritalama çalışması yapılamamıştır.

Çukurova havzası içerisinde geniş bir yayılım sunan kaliş çökelleri Adana ili yerleşim alanının kuzeyinde mevcut yapışmanın devam etmekte olduğu alan içerisinde yaygın olarak

gözlenmektedir. Kalişlerin oluşum şekillerine bağlı olarak farklı zonlar halinde bulundukları bilinmektedir. Bu çalışmada kalişler 3 alt başlık altında incelenmişlerdir. Bunlar,

1 - *Karbonat tüplerinden oluşan kaliş (Paleosilik kaliş, kolon horizonu)*

2 - *Karbonat kapak (karbonat kabuk, masif kaliş)*

- *Beyaz kaliş (BK grubu kalişler)*
- *Kırmızı kaliş (KK grubu kalişler)*
- *Çakılı kaliş (ÇK grubu kalişler)*

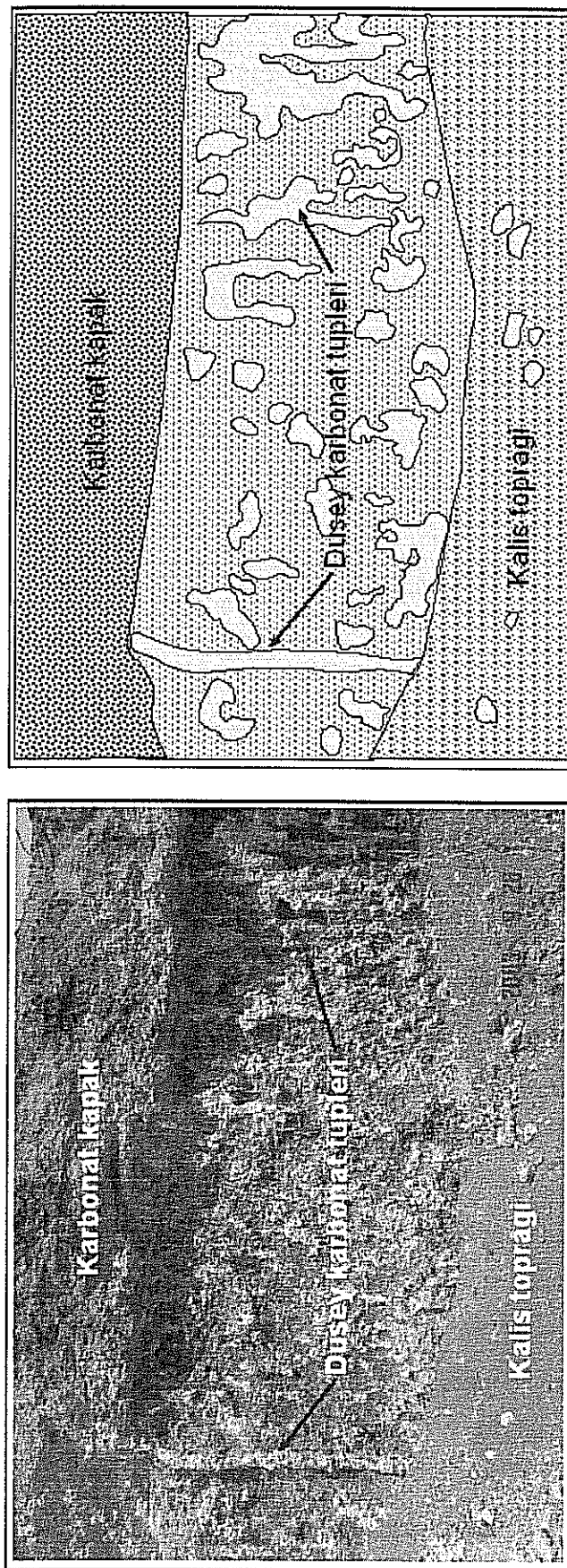
3 - *Kaliş toprağıdır.*

Kaliş toprağı olarak adlandırılmış olan birim diğer kaliş türlerinden türeme olduğundan ve kalınlıkları itibariyle mühendislik açısından bir önem taşımadıklarından bu çalışma kapsamında incelemeye alınmamışlardır.

4.3.3.1. Karbonat Tüplerinden Oluşan Kaliş

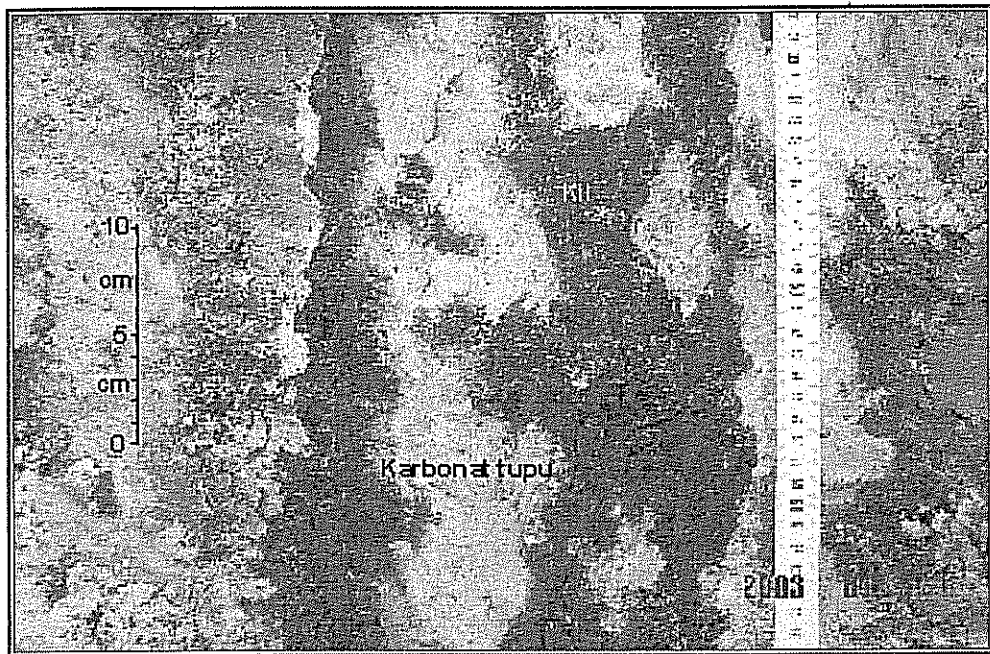
Açık kırmızımsı kahverenkli, tutturulmamış, zemin içerisinde bazen uzunlamasına yerleşmiş dikey tüpler ve bazen de saçılımış, dağınık yumrular şeklinde görülmektedirler. Bu oluşumun yukarıdan aşağıya doğru gerçekleşen bir su hareketi ile olduğu bilinmektedir (Hatipoğlu, 1998). Arazi incelemelerinde karbonat tüplerinin genişliklerinin 6 ile 17 cm arasında değiştiği belirlenmiştir. Karbonat tüplerinin oluşumunun ileri safhalarında tüplerin birleşerek karbonat kapağı oluşturdukları görülmektedir ki bu oluşum ve birimler arasındaki geçiş en tipik haliyle Belediye Evleri Mahallesi’ndeki 47 numaralı veri noktasında tespit edilmiştir. (Şekil 4.63). Karbonatça zengin suların kapilarite etkisiyle zemin içerisinde yükselserek kalsit bileşiminde killi birimler içerisinde oluşan ve Kapur ve diğ. (1998) tarafından “*kolon horizonu*” olarak adlandırılan kaliş türü Adana yerleşim alanı içerisinde yayılımı en fazla olan kaliş birimidir.

Kapur ve diğ. (1998) kolon horizonundaki kil minerallerini paligorskít ve smektít olarak belirlemiştir. Araştırmacı tarafından belirtilen yüksek miktardaki kalsit matriksin varlığına bu çalışma kapsamında yapılmış olan ince kesit çalışmalarında da rastlanmıştır. Arazi gözlemleri karbonatça zengin tüplü kesimin yanal devamlılıklarının olmadığını ve kendi içlerinde düzenli süreklilıklarının de bulunmadığını ortaya koymuştur (Şekil 4.64).



Sekil 4.63. Değişik kaliş oluşum seviyelerinin 47 numaralı inceleme noktasında tespit edilmiş görünümü ve aynı yerin şematik gösterimi (00805 D/ 02769 K, 123 m).

Gösterim	Litojoloji	Inceleme Yeri	SiO_2	Al_2O_3	Fe_2O_3	CaO	MgO	$CaCO_3$
[Dotted pattern]	Karbonat kapak	Belediye evleri (47)	4.41	0.64	0.41	50.68	1.37	90.36
[Solid line pattern]	Karbonat tüpü	Belediye evleri (51)	2.09	0.36	0.24	52.20	0.70	93.07



Sekil 4.64. Karbonat tüplü kalisin killi birim içindeki sütunsu görünümü.

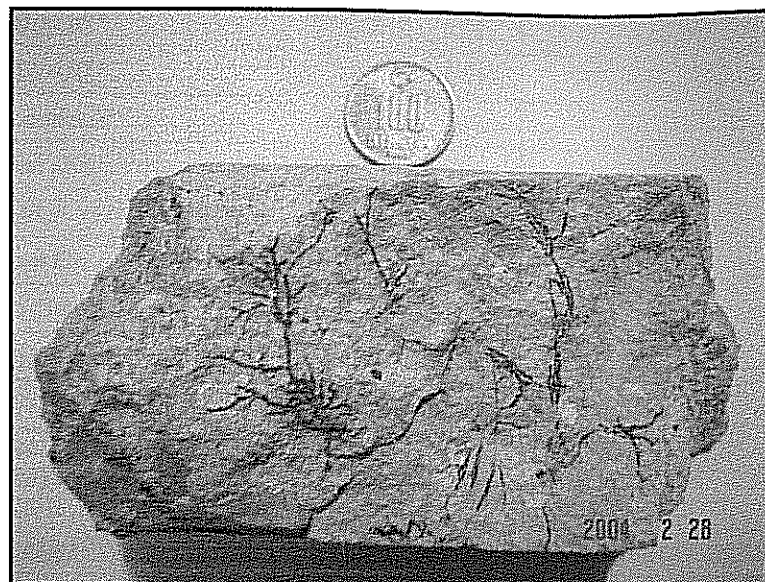
4.3.3.2. Karbonat Kapak (Karbonat Kabuk, Masif Kalış)

Bu çalışma kapsamında yapılan arazi incelemeleri karbonat kabuğun fiziksel özellikleriyle belirgin bir şekilde ayırt edilebilen değişik çeşitlerinin olduğunu ortaya koymuştur. Alınan blok örneklerin laboratuarda karot haline getirilmeleri esnasında su ile temaslarında gösterdikleri renk ve fiziksel özellik farklılıklarını nedeniyle, kalis kabuk aşağıda tanımlanan alt gruplar halinde adlandırılmış ve incelenmişlerdir. Bu alt grupların bir lokasyonda beraberce görünebilmeleri, kısa mesafelerde bir gruptan diğerine geçişin olabilmesi, yersel anlamda birimlerin ayrılanmasını imkansız kılmıştır. Bu yüzden bu çalışmada böyle bir ayrım gidilememiştir.

Karbonat kapak, kalis birimi içerisinde en sert olan kaya kısmını oluşturmaktadır. İncelenen bazı lokasyonlarda karbonat tüplü kalişten karbonat kabuğa geçiş net olarak izlenebilmektedir. Karbonat kapak tamamen zayıf kaya özellikleri sunmaktadır. Birim aynı zamanda bol bitki kalıntıları ve kök izleri içermektedir (Şekil 4.65). Bitki kalıntılarının varlığı kabuğun laminalı yada damarlı bir görünüm sunmasına neden olmaktadır. Kaya kütlesi içinde bitki kök artıkları ve kalıntıları boyunca oksidasyondan etkilenmenin fazlalığı dikkati çekmektedir.

Yapılan kimyasal analiz sonuçları, kayaçların yüksek oranda kalsiyum karbonat içerdiklerini ortaya koymuştur. Kimyasal analizler hem karbonat kapaktan alınan kaya

numunelerinden ve hem de karbonat tüplü kalişten oluşan kesimden alınan örnekler üzerinde yapılmıştır. Elde edilen sonuçlar karbonat yumrulu ve tüplü kaliş numuneleri ile karbonat kabuğa ait örneklerin kimyasal bileşimlerinin birbirlerine yakın olduğunu ortaya koymuştur (Çizelge 4.43). Bu, kaliş tüplerinden oluşan kalişın, karbonat kabuk oluşumunun başlangıç safhası olduğu teorisini de doğrulamaktadır.



Şekil 4.65. Karbonat kabuk içerisinde yer alan bitki kök kalıntıları.

Kapur ve diğ. (1998), kalişın karbonat kapak kesiminde (paleosilik kaliş) smektit türü kıl minerallerinin var olduğunu bildirmiştir.

Bu çalışmada karbonat kabuk birimi 3 ayrı grup altında incelenmiştir. Bu ayrimda gözlemlsel tanımlamaların ve ayırmaların doğruluklarını kontrol etmek amacıyla mikroskopik incelemelerde bulunulmuştur. Aşağıda bu incelemelerden elde edilen sonuçlar ana hatlarıyla verilmektedir.

4.3.3.2.(1). BK (Beyaz Kaliş) Grubu Kalişlere Ait İnce Kesit İncelemeleri

BK grubu kalişler arazide tipik beyaz ve kirli beyazimsı renkleri ile dikkat çekmektedirler. Organik madde kalıntıları ve bitki kök izleri diğer kaliş gruplarında olduğu gibi bu kaliş grubunda da göze çarpmaktadır. İncelenen alan içerisinde görülen karbonat kapaktan alınan numunelerin ince kesit incelemeleri ile aşağıdaki özellikler tespit edilmiştir.

Çizelge 4.43. İnceleme alanı içerisinde yer alan kaliş numuneleri ile çevredeki farklı kaliş birimlerine ait kimyasal analiz (%) sonuçları.

Numune Yeri	pH	SiO_2	Al_2O_3	Fe_2O_3	CaO	MgO	$CuCO_3$
Şambayat*	-	2.80	1.20	0.45	53.30	-	-
Kabasakal*	-	3.08	1.78	0.32	52.90	-	-
ME.Ü.Kongre Binası**	-	15.75	1.51	-	41.81	0.87	95.55
ME.Ü.Kongre Binası**	-	7.8	1.94	-	46.49	0.90	89.07
ME.Ü. Spor Kompleksi**	-	7.45	1.60	-	47.94	0.82	75.52
<i>Mavi Bulvar sonu (28)</i>	8.60	2.66	0.50	0.27	52.85	0.23	94.23
<i>Belediye evleri Mah. (51)</i>	8.45	2.09	0.36	0.24	52.20	0.70	93.07
<i>Seyhan İlköğretim Ok. (46)</i>	8.45	1.34	0.14	0.13	52.93	1.15	94.37
<i>Carrefour batısı (38 a, KK)</i>	8.33	1.96	0.35	0.22	51.66	1.11	92.11
<i>Carrefour güneyi (38 b, BK)</i>	8.38	2.85	0.33	0.20	51.68	0.83	92.16
<i>Belediye evleri (47, BYK)</i>	8.42	4.41	0.64	0.41	50.68	1.37	90.36

* Yetiş ve Demirkol (1986) verileri

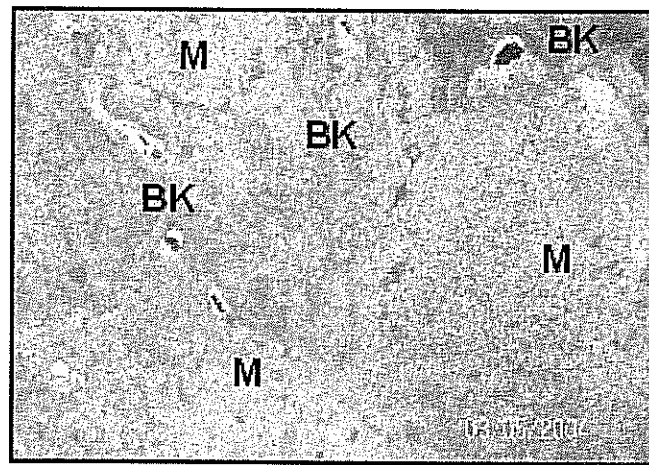
** Hatipoğlu (1998) verileri

A Kesiti (Beyaz kaliş)

Bol miktarda bitki kök izleri dikkati çekmektedir. Bu bitki kök izlerinin bulunması makro yapıya laminalı bir görünüm vermektedir. Bu laminalı görünüm kesitte ayırt edilememektedir. Aynı zamanda bitki kök izlerinin çevresindeki boşlukların yarı köşeli-köşeli kuvars taneleri ile doldurulduğu görülmektedir. Kesitin geneli mikro-kristalin kalsitten oluşmaktadır. Oksidasyon bitki kök izleri boyunca izlenebilmektedir.

B Kesiti (Beyaz kaliş)

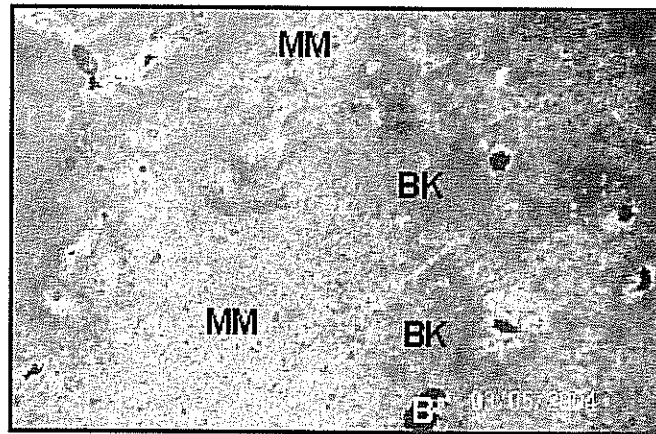
Kesitte bitki köklerinin çürümesi ile oluşan boşlukların etrafında mikrosparikalsit oluşumları gözlenmektedir. Kök dolgu duvarlarında kahverengi oksidasyon izleri bulunmaktadır. Çok az miktarda da olsa kuvars tanelerinin varlığı dikkati çekmektedir. Kesit az boşluklu sıkı bir görünüm sergilemektedir. A kesiti ile aynı özelliklerini taşıdığından sadece B kesitine ait polarizan mikroskop görüntüsü Şekil 4.65'de verilmiştir.



Şekil 4.65. B kesitine ait polarizan mikroskop görüntüsü

C Kesiti (Beyaz kaliş)

B kesiti ile oldukça benzer özellikler göstermektedir, ancak daha gevşek ve daha okside olmuş bir görünüm sunmaktadır. Oksidasyonun hakim olduğu kesimlerde mikrosparit kalsit taneleri daha iri taneler olarak görülmektedir (Şekil 4.66).

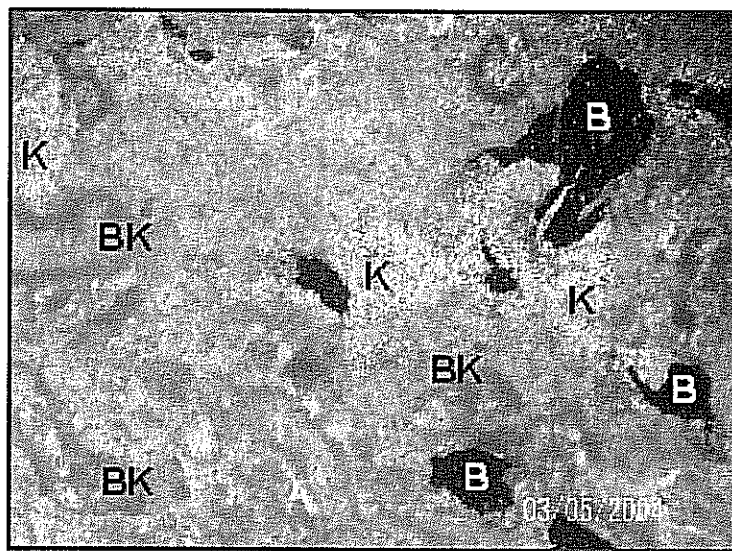


Şekil 4.66. C kesitine ait polarizan mikroskop görüntüsü.

MM: Mikritik matriks; BK: Bitki kalıntılı kesim; B: Boşluk

D Kesiti (Beyaz kaliş)

Bitki köklerinin oluşturduğu boşluklar belirgin bir şekilde görülmektedir. Bu kesitte kuvars tanelerinin görülmemiği dikkat çekmektedir (Şekil 4.67).

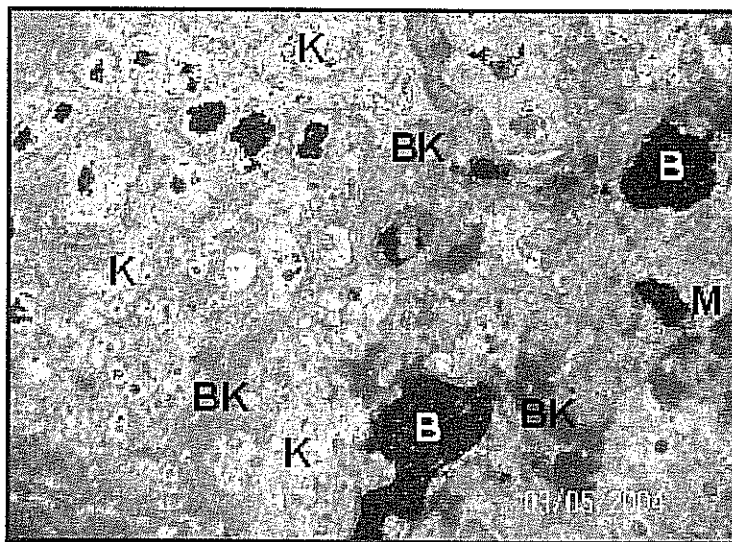


Şekil 4.67. D kesitine ait polarizan mikroskop görüntüsü.

BK: Bitki kalıntılı kesim; K: Kalsit dolgu; B: Boşluk

E Kesiti (Beyaz kaliş)

Kuvars oranı çok az olan kesitte, kuvars taneleri oldukça küçük ve yaklaşık silt boyutundadır (Şekil 4.68). Gevşek bir görünüm sunmaktadır. Taneler daha saçılımlı bir yapı göstermektedir.

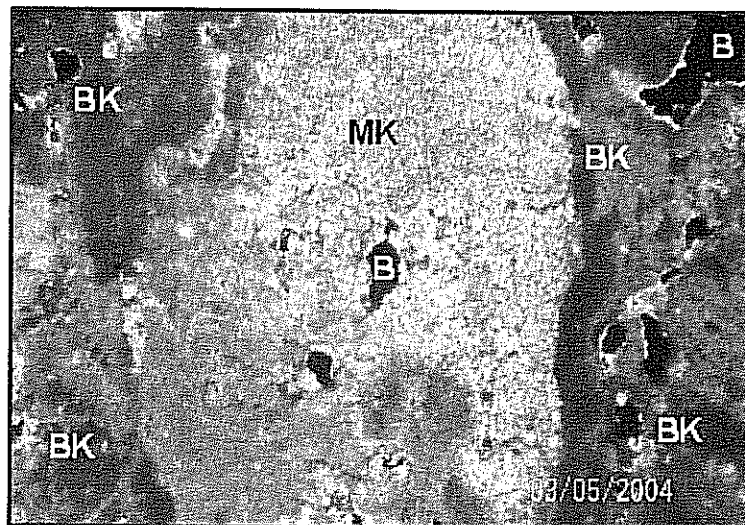


Şekil 4.68. E kesitine ait polarizan mikroskop görüntüsü.

BK: Bitki kalıntılı kesim; M: Mikritik malzeme; K: Kalsit dolgu malzemesi; B: Boşluk

F Kesiti

Bu kesitte de kuvars taneleri bulunmaktadır. KK kesitinden farklı olarak kuvars tanelerinin miktarı daha fazladır. Kuvarların kesitin gevşek kısımlarındaki boşlukları doldurur şekilde yerleşikleri görülmektedir. Kesitte, mikrokristalin kalsitten oluşan yumrular bulunmaktadır (Şekil 4.69).

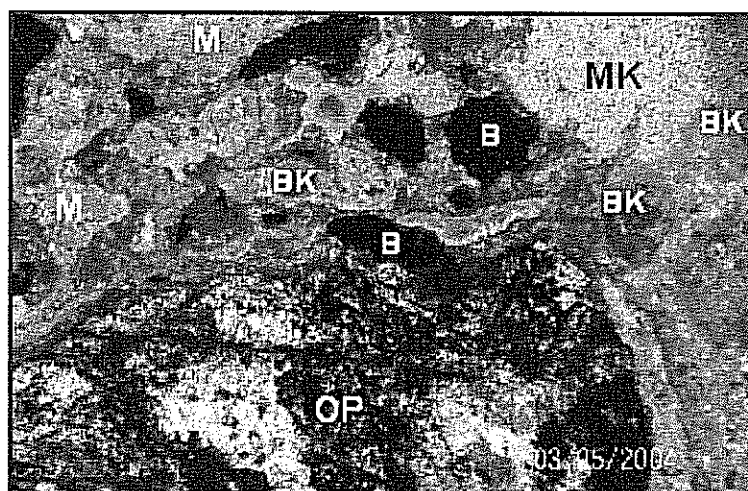


Şekil 4.69. F kesitine ait polarizan mikroskop görüntüsü.

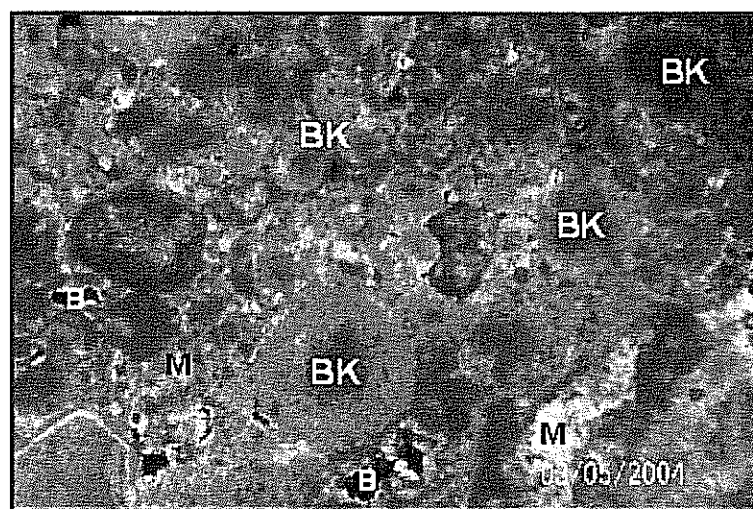
BK: Bitki kalıntıları kesim; MK: Mikrokristalin kalsit; B: Boşluk

4.3.3.2.(2). KK Grubu (Kırmızı Kaliş) Kalişlere Ait Kesit İncelemeleri

Bu kesitte çakıl boyutunda (> 2 mm) ofiyolit tanesinin var olduğu görülmektedir (Şekil 4.70). Bunun yanında kuvars tanelerinin varlığı da dikkati çekmektedir. Tanelerin matriks içinde üzeren bir görünümü vardır (yüzey dokusu, floating texture) ve dağılmış halde bulunmaktadırlar. Tanelerin etrafını lifsi yapıda sparitin çevrelediği görülmektedir. Kesit bitki kök izli ve boşlukludur (Şekil 4.71). Sparikalsitler daha çok yumru şeklinde görülmektedir.



Şekil 4.70. KK kesitine ait polarizan mikroskop görüntüsü.

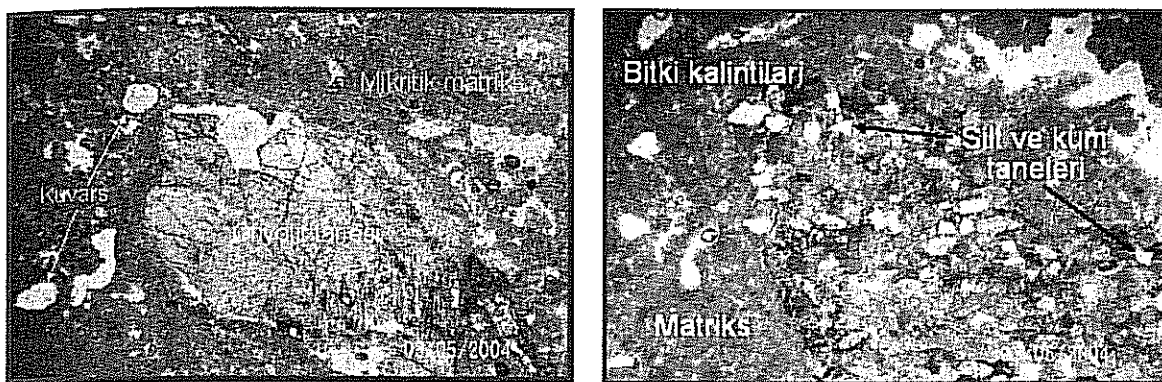


Şekil 4.71. KK kesitine ait polarizan mikroskop görüntüsü.

M: Mikrit; BK: Bitki kalıntıları kesim; MK: Mikrokristalın kalsit; OP: Ofiyolit tanesi; B: Boşluk

4.3.3.2.(3). ÇK Grubu (Çakılılı kaliş) Kalişlere Ait Kesit İncelemeleri

Bu kesitte bitki kalıntıları ve mikritik matriks ile birlikte ofiyolitik kayaç parçaları ile kuvars taneleri bulunmaktadır. Bu taneler matriks içerisinde dağılmış şekilde görülmektedir. Matriks içerisinde, silt boyutunda malzeme de bulunmaktadır (Şekil 4.72).



Sekil 4.72. ÇK kesitlerinin polarizan mikroskoptaki tipik görünümleri.

4.3.3.3. Kalış Toprağı

Kalış toprağı, özellikle karbonat tüplü kalişin olduğu birim içerisinde fiziksel ve kimyasal ayrışma neticesinde ortaya çıkan ikincil birim olup, bu çalışmada bu isimle adlandırılmıştır. Birim tamamen zemin özelliği göstermekte ve bol karbonat ihtiva etmektedir. İçerisinde çakıl boyutunda malzeme bulunabildiği gibi tamamen ince taneli malzemeden de oluşabilmektedir. Tipik özellikleriyle görünüm sunan kaliş toprağı yeri AÇ 13'te görülmektedir (EK-1) Çakıl boyutundaki malzemenin geçirmiş olduğu karışışme ve topraklaşma evrelerinden dolayı tane özelliklerini yitirdikleri, elde sıkmayla bile kolayca dağılabilcek bir dayanıma sahip oldukları görülmektedir. Bu durum elek analizleri ile yapılacak zemin sınıfı tanımlamalarında hataların oluşmasına sebebiyet vermektedir. Birim, genelde çok fazla kalın olmayan bir istif sunmaktadır.

4.3.3.4. Fiziksel Özellikleri

Kalış çökelleri oldukça değişen fiziksel ve mekanik özellikler göstermektedirler. Bu açıdan deney prosedürleri ve yapılan deneylerin hassaslığı büyük önem taşımaktadır. Bu çalışma kapsamında araştırma çukurları olarak incelenen ve deneyleri yapılan lokasyonlarla birlikte elde edilmiş çeşitli verilere ait fiziksel ve mekanik parametreler Çizelge 4.44'de verilmiştir. Çizelge, hem yumuşak, zemin ve hem de kaya özelliği gösteren kalişler için elde edilmiş değerleri göstermektedir. Zemin sınıflarına bakıldığından yumuşak kalişların CH, MH, CL ve ML türü ince taneli zemin litolojilerinde oldukları görülmektedir.

Çizelge 4.44. Elde edilen bazı verilerin değerlendirilmesiyle elde edilmiş bazı fiziksel özelliklerin kalis çökelleri içerisindeki değişimleri.

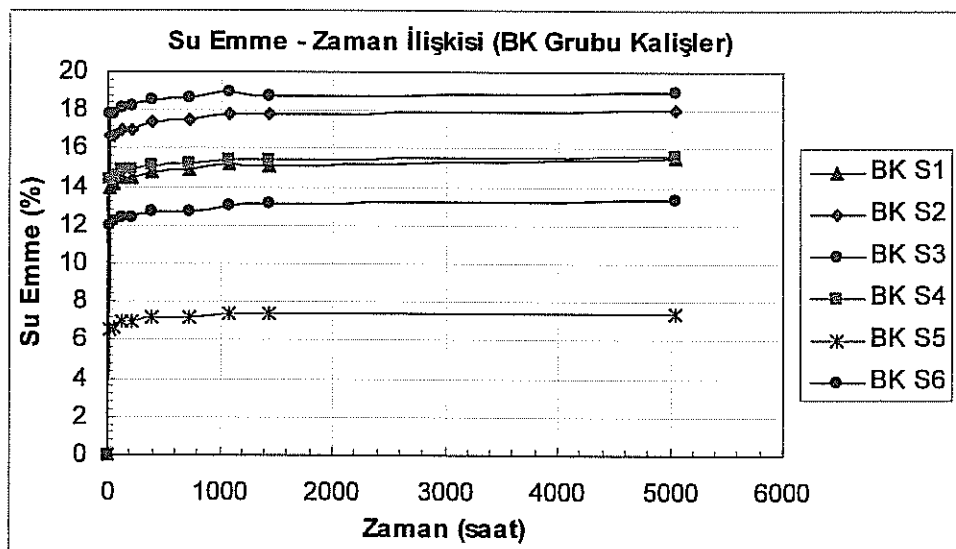
<i>Veri No</i>	<i>Veri Yeri</i>	<i>Derinlik (m)</i>	<i>LL (%)</i>	<i>PL (%)</i>	γ_n (kg/cm^3)	c (kg/cm^2)	ϕ	<i>Zemin Tanımı</i>
ZE-366	Belediye Ev.	1.50	37.0	21.1	2.06	3.36	0	CL
MES-1	Kireçocağı	2.20	51.0	28.0	1.71	1.30	0	CH
ZE-375	Esentepe	3.00	69.9	29.0	2.00	1.64	0	CH
İMO-10	100. Yıl M.	1.80	57.0	20.8	1.97	0.50	0	CH
İMO-15	Kurttepe	5.50	78.7	41.4	1.92	4.00	0	MH
İMO-32	Umudum Ok	3.50	60.4	28.9	2.00	2.00	0	CH
İMO-42	Kurttepe	3.50	58.4	20.6	1.88	0.67	4.0	CH
AÇ-51	Belediye Ev.	4.50	-	-	1.71	0.12	23.2	-
AÇ-47	Belediye Ev.	4.00	-	-	1.97	-	-	Kaya
AÇ-47 a	Esenşehir	3.50	-	-	1.93	-	-	Kaya
AÇ-47b	Belediye Ev.	5.00	-	-	2.02	-	-	Kaya
AÇ-46	Seyhan İlk.	1.00	-	-	1.92	-	-	Kaya
AÇ-43	Huzurevleri	4.00	52.0	27.6	1.81	0.38	5.0	CL
AÇ-38	Carrefour	3.50	-	-	2.06	-	-	Kaya
AÇ-38a	Carrefour	5.00	41.1	18.6	1.96	0.43	8.0	CL
AÇ-28	Mavi Bulvar	4.00	32.4	18.0	1.79	0.55	16.0	CL
AÇ-14	Yeşiloba	3.00	42.3	28.5	1.79	0.36	13.3	ML
AÇ-13	Mavi Bulvar	4.00	61.0	24.2	1.73	0.11	14.6	CH
AÇ-11	Huzurevleri	6.00	-	-	1.94	0.30	18.5	-
AÇ- 8	Yurt Mah.	4.30	-	-	1.76	0.16	19.0	-
<i>Değer Aralığı</i>			32-79	18-42	1.7-2.1	0.1-4.0	5-24	

Kaya özelliği gösteren ve bu çalışma kapsamında 3 gruba ayrılarak incelenen kalis biriminden alınan karot numuneleri (Şekil 4.73) üzerinde yapılan ağırlıkça su emme deneyleri 210 günlük bir zaman dilimi içerisinde yapılan ölçümle degerlendirilmiştir.

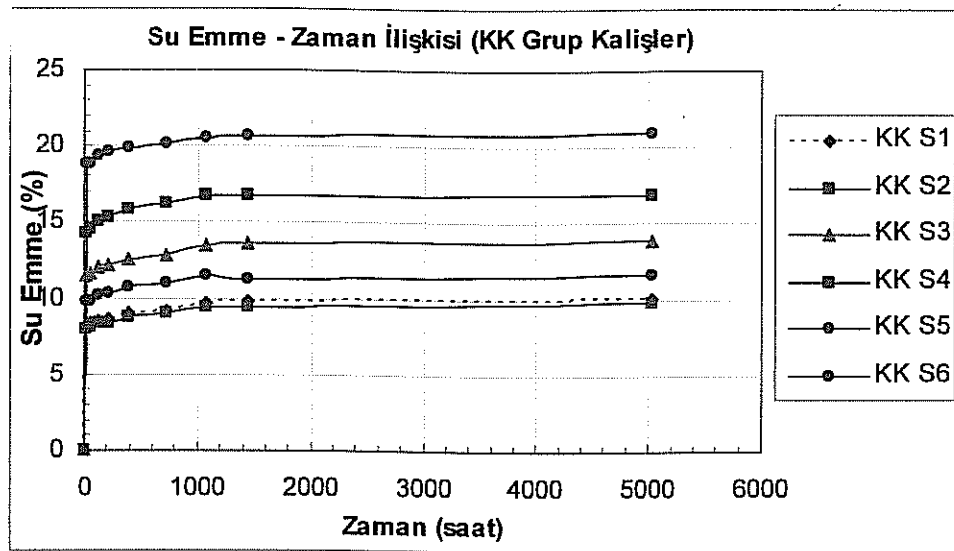


Sekil 4.73. Ağırlıkça su emme deneylerinde kullanılan karot parçaları.

Örnekler üzerinde yapılan deneyler başlangıçta hızlı olan su emmenin yaklaşık olarak 1000 saatten sonra azaldığını ve bu arada doygunluğunu büyük oranda tamamladığını ortaya koymuştur. Şekil 4.74, Şekil 4.75 ve Şekil 4.76 ağırlıkça su emmenin bu çalışma ile ayırtlanmış olan farklı karbonat kabuk numuneleri için zamana bağlı olarak değişimini ortaya koymaktadır. Çizelge 4.45, değerlendirmelerin tamamlandığı 210 gün sonundaki ağırlıkça su emme değerlerini göstermektedir. Bu değerler taraçalardan elde edilen değerlerle kıyaslandığında nihai su emmenin kalişerde çok daha yüksek olduğu ortaya çıkmaktadır.

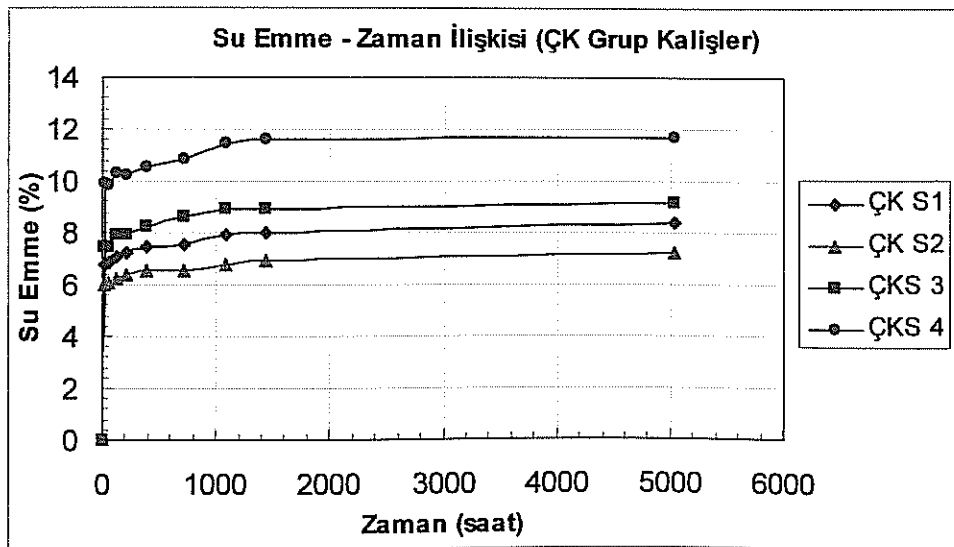


Sekil 4.74. Beyaz kalişerde ağırlıkça su emmenin zamana bağlı olarak değişimi.



Şekil 4.75. Kırmızı kalışlerde ağırlıkça su emmenin zamana bağlı olarak değişimi.

ÇK grubu kalışlerde ağırlıkça su emmenin BK ve KK grubu kalışlere oranla daha düşük olduğu görülmektedir. Bunun nedeni çakıl boyutu malzemenin litolojik özellikleri itibariyle su emmeye uygun olmamasıdır. KK ve BK grubu kalışlerin su emme değerleri ise maksimum % 19 – % 21 gibi birbirine oldukça yakın değerlerdir.



Şekil 4.76. Çakılı kalışlerde ağırlıkça su emmenin zamana bağlı olarak değişimi.

Karot örnekleri üzerinde yapılan ve birim hacim ağırlıkları hesaplamaya yönelik deneylere ait sonuçlar Çizelge 4.46'da verilmiştir. Düzgün şekilli olmayan örneklerin suya daldırma yöntemiyle hesaplanan bazı fiziksel özellikleri de Çizelge 4.47'de sunulmuştur.

Çizelge 4.45. Deney numunelerinin 210 gün sonundaki ağırlıkça su emme değerleri.

<i>Örnek No</i>	<i>KK S1</i>	<i>KK S2</i>	<i>KK S3</i>	<i>KK S4</i>	<i>KK S5</i>	<i>KK S6</i>
Su Emme (%)	10.12	9.88	13.93	16.92	20.91	11.68
<i>Değer Aralığı (%) : 9.0 – 21.0</i>						
<i>Örnek No</i>	<i>BK S1</i>	<i>BK S2</i>	<i>BK S3</i>	<i>BK S4</i>	<i>BK S5</i>	<i>BK S6</i>
Su Emme (%)	15.48	18.03	18.98	15.61	7.41	13.35
<i>Değer Aralığı (%) : 7.0 – 19.0</i>						
<i>Örnek No</i>	<i>ÇK S1</i>	<i>ÇK S2</i>	<i>ÇK S3</i>	<i>ÇK S4</i>		
Su Emme (%)	8.42	7.22	9.19	11.73		
<i>Değer Aralığı (%) : 7.0 – 12.0</i>						

Çizelge 4.47. Kaliş numunelerine ait bazı fiziksel parametreler.

<i>Örnek No</i>	<i>Doygun Ağırlık (gr)</i>	<i>Sudaki Doygun Ağırlık (gr)</i>	<i>Kuru Ağırlık (gr)</i>	<i>Kuru B.h.a (gr/cm³)</i>	<i>Doygun B.h.a (gr/cm³)</i>	<i>Porozite (%)</i>
KK-Bha.1	126.36	68.42	112.14	1.93	2.18	24.54
KK-Bha.2	161.18	90.53	148.70	2.40	2.28	17.66
KK-Bha.3	127.39	69.77	115.06	2.00	2.21	21.40
BK-Bha.1	256.56	139.20	229.50	1.95	2.19	23.05
BK-Bha.2	147.85	80.00	130.03	1.92	2.18	26.26
BK-Bha.3	134.20	73.14	118.47	1.94	2.20	25.76
BK-Bha.4	108.10	59.82	96.86	2.00	2.24	23.28
ÇK-Bha.1	127.30	71.54	118.12	2.12	2.28	16.46
ÇK-Bha.2	135.97	79.36	129.78	2.29	2.40	10.93
ÇK-Bha.3	257.73	146.98	240.97	2.18	2.33	15.13
<i>Değer Aralığı 1.90-2.40 2.15-2.40 10.5-25.0</i>						

Çizelge 4.47'e ait sonuçlar değerlendirildiğinde en düşük porozite değerlerinin ve en yüksek kuru birim hacim ağırlığı değerlerinin ÇK grubu kalişlere ait örneklerde elde edildiği görülmektedir. Aynı sonuçlar Çizelge 4.46 ile ortaya konulan verilerle de elde edilmektedir. Bu durumun esas olarak kalis içerisinde yer alan çakıl boyutu tanelerin kendi birim ağırlıklarından kaynaklandığı düşünülmektedir. Masif kalişlere ait deney sonuçları kuru birim hacim ağırlıklarının 1.90 ile 2.40 gr/cm³ ve doygun birim hacim ağırlıklarının 2.15 ile 2.40 gr/cm³ değerleri arasında değişmekte olduğunu ortaya koymuştur.

Cizelge 4.46. Kaliş karbonat kabuk gruplarına ait birim hacim ağırlıklarının değişimi.

<i>Önemk No</i>	<i>Tanım</i>	<i>Boy (cm)</i>	<i>Çap (cm)</i>	<i>Hacim (cm³)</i>	<i>Kuru Ağr.(gr)</i>	<i>Doygun Ağr.(gr)</i>	<i>Kuru</i>	<i>Doygun B.h.a</i>	<i>Doygun B.h.a</i>	<i>Ağırılıkça Su Emme</i>	<i>Güreliktir Porozite (%)</i>
KK 4	Kırmızı kaliş	9.02	4.12	120.25	261.66	280.87	2.17	2.33	7.34	15.97	
KK 10	Kırmızı kaliş	8.95	4.15	121.06	225.71	256.94	1.86	2.12	13.84	25.80	
KK 12	Kırmızı kaliş	8.98	4.16	122.05	225.62	257.41	1.85	2.11	14.09	26.05	
KK 7	Kırmızı kaliş	9.00	4.15	121.73	238.49	-	1.89	-	-	-	
KK 8	Kırmızı kaliş	9.01	4.15	121.87	229.65	-	1.89	-	-	-	
KK 9	Kırmızı kaliş	8.90	4.16	120.96	238.43	-	1.97	-	-	-	
KK 13	Kırmızı kaliş	8.91	4.15	122.41	243.16	-	2.02	-	-	-	
KK 14	Kırmızı kaliş	9.03	4.14	121.55	244.80	-	2.01	-	-	-	
KK 17	Kırmızı kaliş	9.02	4.15	122.01	250.24	-	2.05	-	-	-	
KK 18	Kırmızı kaliş	9.00	4.15	121.73	251.15	-	2.06	-	-	-	
KK 19	Kırmızı kaliş	8.97	4.15	121.33	247.52	-	2.04	-	-	-	
KK 20	Kırmızı kaliş	9.05	4.15	122.41	248.82	-	2.03	-	-	-	
KK 21	Kırmızı kaliş	9.06	4.15	122.55	246.52	-	2.01	-	-	-	
KK 22	Kırmızı kaliş	8.98	4.15	121.47	239.67	-	1.97	-	-	-	
KK 23	Kırmızı kaliş	8.96	4.15	121.20	245.21	-	2.02	-	-	-	
KK 24	Kırmızı kaliş	9.01	4.15	121.87	250.70	-	2.06	-	-	-	
BK 1	Beyaz kaliş	9.06	4.12	120.78	227.56	-	1.88	-	-	-	
BK 3	Beyaz kaliş	9.05	4.12	120.65	231.83	-	1.92	-	-	-	
BK 4	Beyaz kaliş	9.12	4.12	121.58	240.97	-	1.98	-	-	-	
BK 5	Beyaz kaliş	9.05	4.12	120.65	224.59	257.76	1.86	2.14	14.77	27.49	
ÇK 10	Çaklılı kaliş	9.04	4.17	123.46	280.09	292.83	2.27	2.37	4.55	10.32	
ÇK 11	Çaklılı kaliş	9.05	4.17	123.60	268.28	-	2.17	-	-	-	
ÇK 12	Çaklılı kaliş	9.00	4.16	122.33	280.47	-	2.30	-	-	-	
ÇK 5	Çaklılı kaliş	11.04	5.39	251.90	548.58	585.23	2.18	2.32	6.68	14.55	
		<i>Değer Aralığı</i>		1.85-2.30	2.10-2.35	4.50-15.0	10.0-27.5				

4.3.3.5. Mekanik Özellikleri

Tasarıma esas teşkil eden yumuşak kaliş birimine ait temel mekanik parametrelerin (kohezyon ve içsel sürtünme açısı) belirlenmesinde 6x6 cm boyutlarındaki küçük kesme kutusu deney aletinden faydalanyılmıştır. Örneklerin bir kısmında kum ve ince çakıl boyutu malzemenin de bulunması içsel sürtünme açısı değerlerinin ortaya çıkmasına neden olmuştur (Çizelge 4.44). Masif kaliş örneklerine ait mekanik özelliklerin belirlenmesinde ise karot numunelerden elde edilmiş tek eksenli basma dayanımı değerlerinden faydalanyılmıştır. Sert kaliş biriminin arazideki incelemeleri sırasında Schmidt çekicinden de faydalanyılmıştır.

4.3.3.5.(1). Schmidt Çekici Deneyleri

Arazi incelemeleri sırasında masif kaliş birimine ait dayanım özelliklerinin belirlenmesi amacıyla yapılan Schmidt çekici deneyleri sonunda elde edilen darbe sayıları ve darbe sayılarının Schmidt (1951)'e göre tanımlanması Çizelge 4.48'de verilmiştir. Deneye tabi tutulan örneklerin tamamı "*Az sert kaya*" sınıfında çıkmaktadır.

Çizelge 4.48. Masif kaliş numunelerinden elde edilen Schmidt çekici darbe sayılarının dağılımı ve kaya tanımlaması.

Schmidt Sertliği Darbe Sayısı (SRH)									
Lokasyon	AÇ46	AÇ46	AÇ46	AÇ47	AÇ47	AÇ47	AÇ38	AÇ38	AÇ38
	24.73	22.12	24.20	28.80	20.24	21.00	23.26	21.40	24.84
Tanımlama	AZ SERT KAYA								

4.3.3.5.(2). Tek Eksenli Basma Dayanımı (UCS) Deneyleri

Araziden alınan blok numunelerden elde edilen 42 mm çaplı karot örnekleri üzerinde (Şekil 4.77) düşey deformasyon kontrollü tek eksenli basma dayanımı deneyleri yapılmıştır. Tek eksenli basma dayanımları taraça örneklerinde olduğu gibi hem kuru ve hem de suya doygun olmak üzere ayrı ayrı yapılmıştır. Karot numuneler üzerinde tek yönlü deformasyon okumaları da alınabilecek şekilde yükleme deneyleri yapılmış, deneylerde yükleme hızı 0.1 kN/sn olarak seçilmiştir. Elde edilen değerlere göre taraçalar Deere ve Miller (1966), ISRM (1978) ve Hoek (1998) kaya sınıflandırımlarına göre sınıflandırılmışlardır.

Elde edilmiş tipik gerilme-birim deformasyon eğrileri BK, KK ve ÇK kaliş grupları için Şekil 4.78 - 4.80'de verilmiştir. Şekillerden BK ve KK grubu örnekler ait deformasyon eğrilerinin oldukça düzgün olduğu buna karşılık ÇK grubu örnekler için eğrinin çakıl boyutu

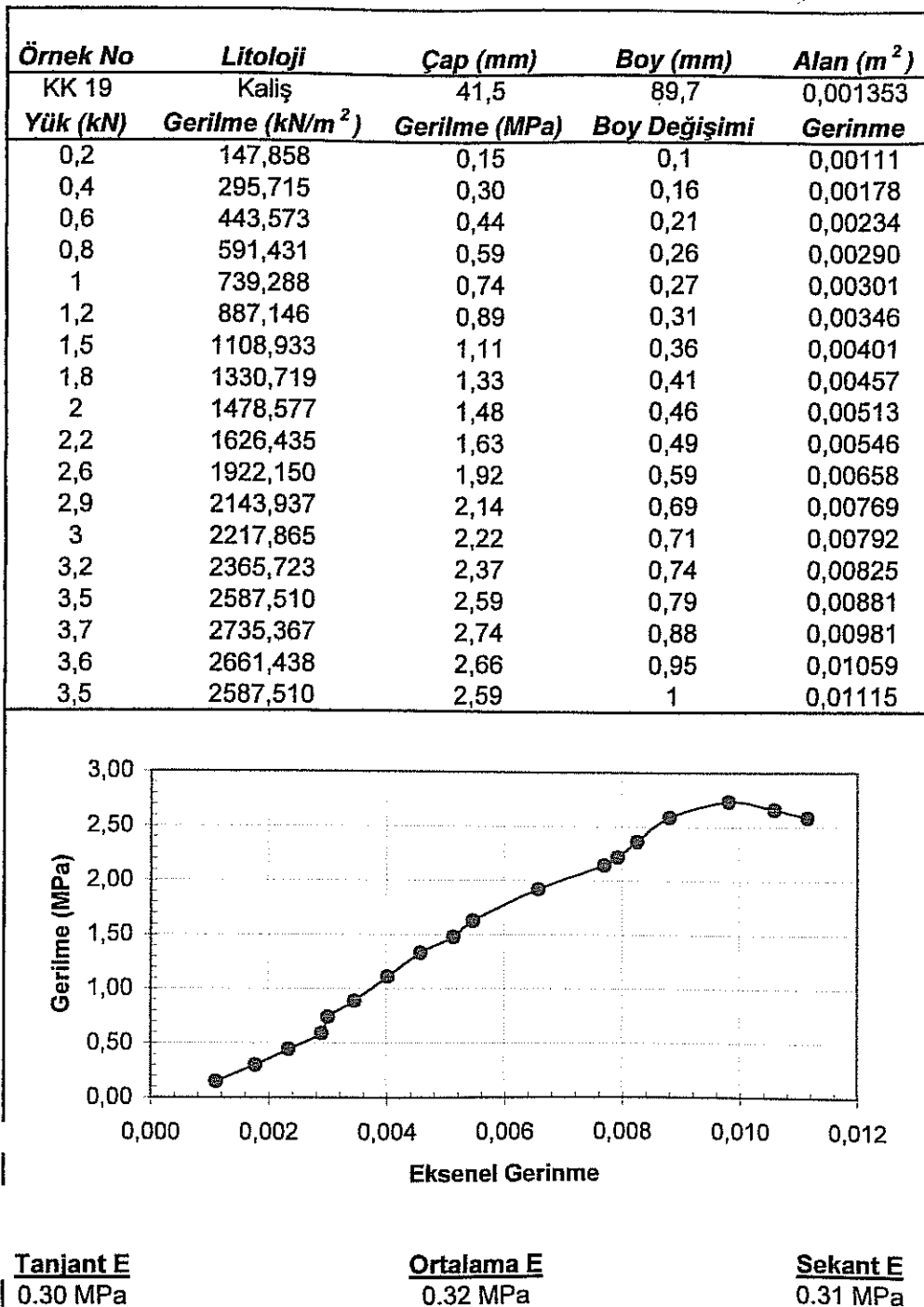
malzemelerden kaynaklanan şekilde farklılık sunduğu görülmektedir. Bu duruma çakılların dayanımları ile bağlayıcı malzemenin dayanımlarının farklı olması neden olmaktadır.

Tek eksenli basma dayanımı (UCS) deneylerinden elde edilmiş sonuçlar değer aralıklarını da içerecek şekilde Çizelge 4.49'da verilmiştir.

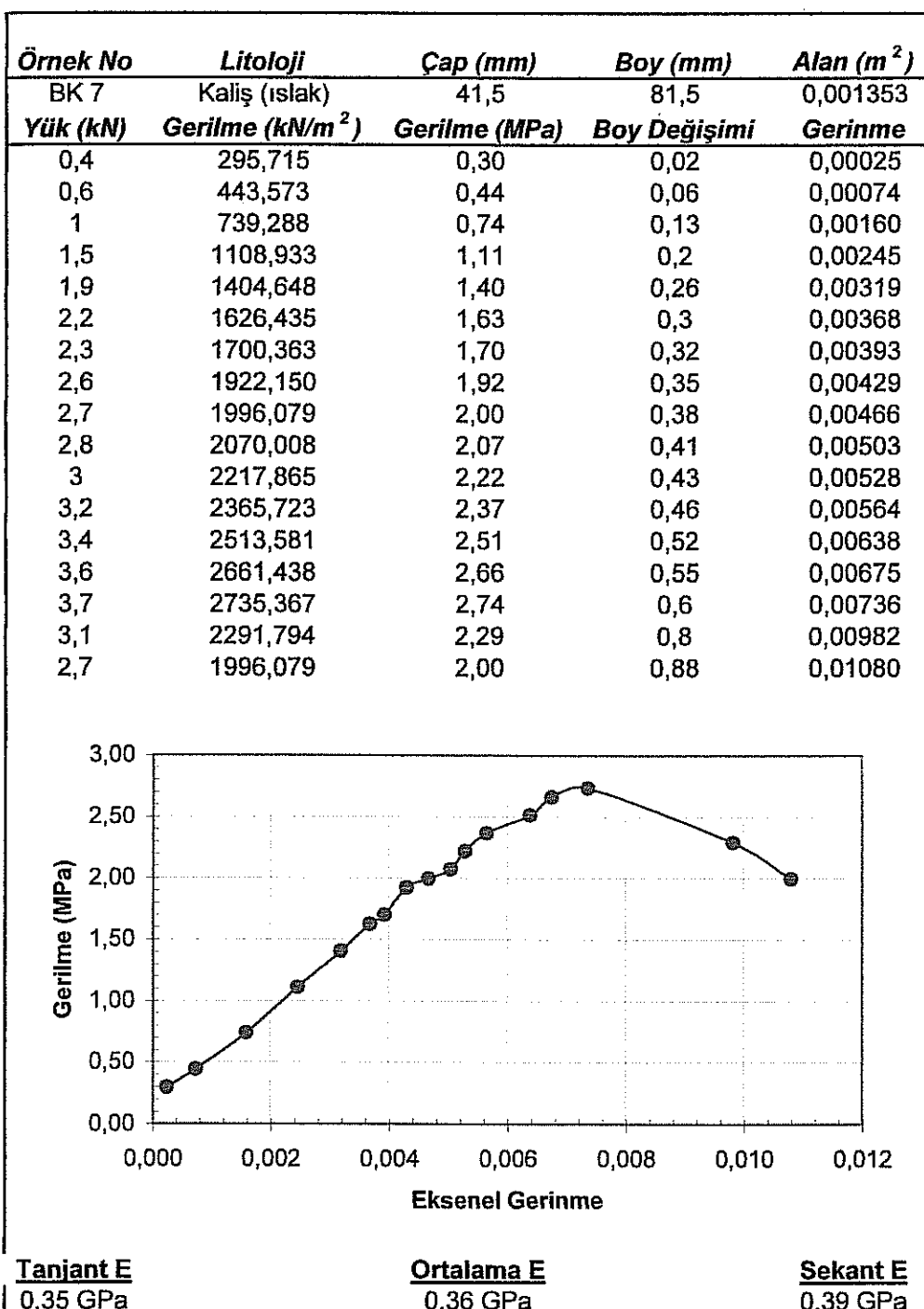


Şekil 4.77. Tek eksenli basma dayanımı (UCS) deneylerinde kullanılan kalış gruplarına (BK, KK ve CK) ait karot örnekleri.

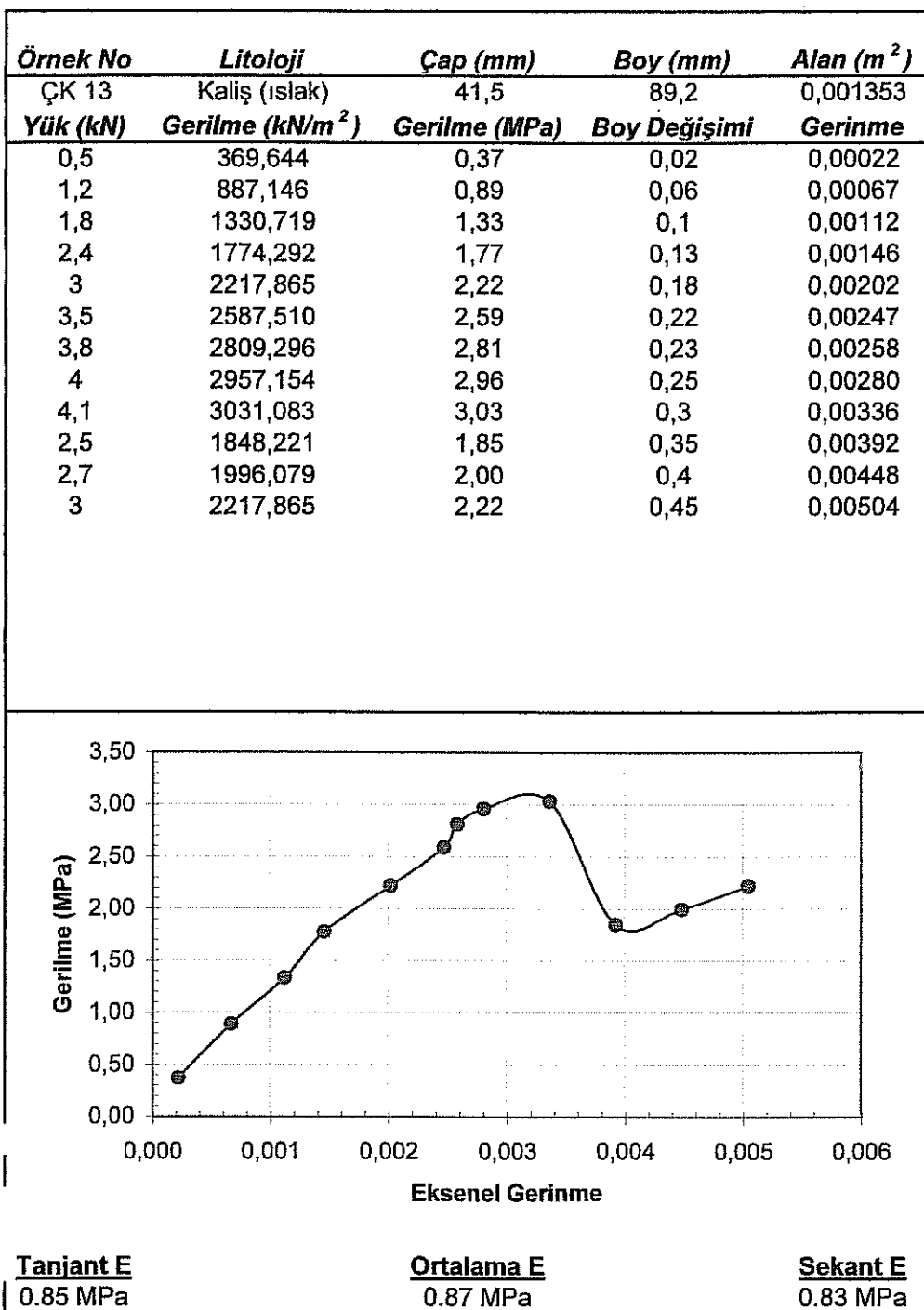
Çizelge 4.49'daki tek eksenli basma dayanımı değerlerine göre kalışlar tanımlandıklarında, ISRM (1978)'e göre "*Çok zayıf dayanımlı*" (UCS değerleri 1.0-5.0 MPa arasında) kaya sınıfında, Deere ve Miller (1966) sınıflamasına göre "*Çok düşük dayanımlı*" (UCS değerleri $< 275 \text{ kg/cm}^2$) kaya sınıfında ve Hoek (1998) sınıflamasına göre "*Çok zayıf dayanımlı, Ro*" (UCS değerleri 1.0-5.0 MPa arasında) kaya sınıfında oldukları görülmektedir.



Şekil 4.78. KK grubu kalişörneğinde yapılan deformasyon kontrollü tek eksenli basma dayanımı deneyi ile elde edilmiş gerilme – gerinme eğrisi ve hesaplanmış elastisite modülü değerleri.



Şekil 4.79. BK grubu kalişörneğinde yapılan deformasyon kontrollü tek eksenli basma dayanımı deneyi ile elde edilmiş gerilme – gerinme eğrisi ve hesaplanmış elastisite modülü değerleri.



Şekil 4.80. ÇK grubu kalişörneğinde yapılan deformasyon kontrollü tek eksenli basma dayanımı deneyi ile elde edilmiş gerilme – gerinme eğrisi ve hesaplanmış elastisite modülü değerleri.

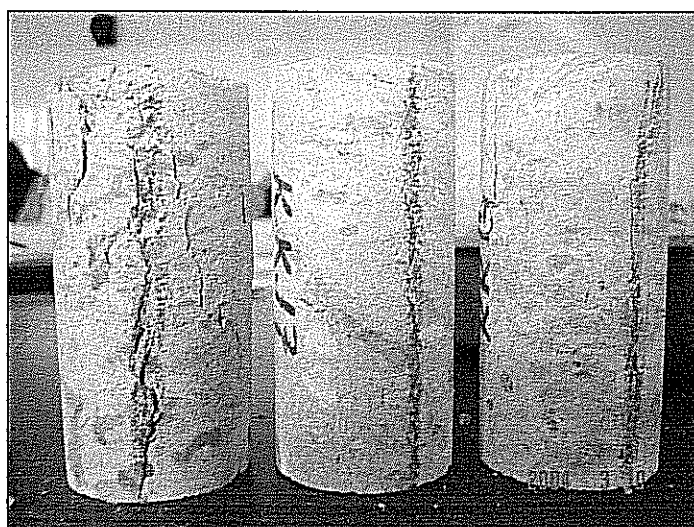
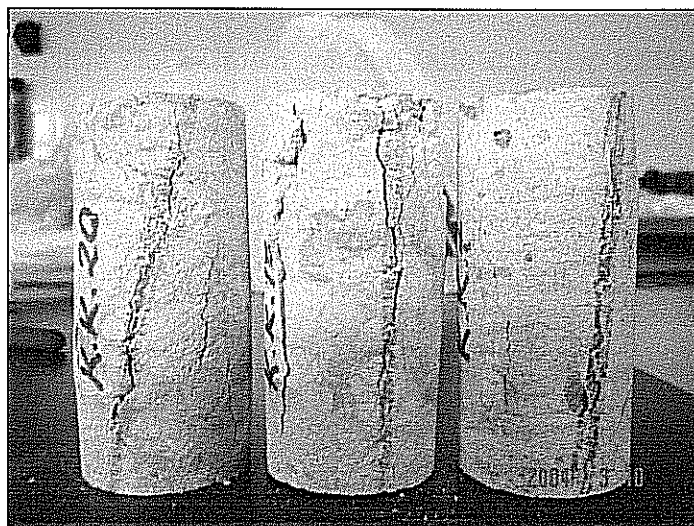
Şekil 4.81 tek eksenli basma dayanımı deneyleri sonucunda kaliş numunelerinde tipik olarak oluşan dik veya dike yakın kırılma yüzeylerini göstermektedir.

Çizelge 4.49. Tek eksenli basma dayanımı (UCS) deneylerinden elde edilen veriler.

Örnek No	B.h.a (kN/m ³)	Yenilme Yükü (kN)	Maks. düsey yer. (mm)	UCS (MPa)	Su İçeriği (%)	E _t (GPa)	E _s (GPa)	E _{ort} (GPa)
KK 1	-	2.9	0.95	2.10	0	0.93	0.62	0.45
KK 2	-	2.0	0.50	1.49	0	0.57	0.58	0.51
KK 3	18.7	1.6	1.10	1.20	0	0.20	0.23	0.28
KK 4	-	2.9	0.72	2.10	11.38	0.24	0.36	0.30
KK 4*	-	5.3	0.72	3.98	8.24	0.73	0.66	0.76
KK 5	-	2.6	0.95	1.96	0	0.36	0.34	0.30
KK 6	-	1.4	0.30	1.07	0	0.25	0.26	0.28
KK 7	19.6	3.0	0.72	2.37	0	0.58	0.40	0.67
KK 8	18.9	3.7	0.68	2.74	0	0.77	0.59	0.70
KK 9	19.7	4.5	0.73	3.31	0	0.75	0.92	0.55
KK 10	-	2.0	0.52	1.15	15.15	0.28	0.43	0.22
KK 11	-	2.2	0.63	1.63	10.50	0.55	0.50	0.52
KK 12	-	2.3	0.61	1.69	10.12	0.44	0.53	0.30
KK 13	20.2	-	-	2.30	0	-	-	-
KK 14	20.1	2.9	0.83	2.11	0	0.38	0.40	0.54
KK 15	-	3.0	0.68	2.21	0	0.48	0.28	0.44
KK 16	-	2.8	0.43	2.07	0	0.73	0.75	0.72
KK 17	20.5	3.1	0.54	2.30	0	0.42	0.27	0.53
KK 18	21.4	-	-	3.60	0	-	-	-
KK 19	20.4	3.7	0.95	2.74	0	0.30	0.31	0.32
KK 20	21.1	3.8	0.59	2.81	0	0.69	0.71	0.67
KK 21	20.1	1.7	0.70	1.26	0	0.34	0.48	0.26
KK 22	19.7	2.9	1.02	2.16	0	0.40	0.51	0.64
KK 23	20.2	2.9	0.47	2.14	0	0.69	0.81	0.66
KK 24	20.6	3.5	0.81	2.60	0	0.42	0.28	0.40
<i>Değer Aralığı</i>		<i>1.4-5.3</i>		<i>1.2-4.0</i>		<i>0.20-0.93</i>	<i>0.23-0.92</i>	<i>0.22-0.76</i>
BK 1	18.8	2.9	0.70	2.25	0	0.33	0.73	0.55
BK 3	19.2	5.2	0.73	3.90	0	0.76	0.73	0.75
BK 4	19.8	4.3	0.96	3.23	0	0.74	0.42	0.66
BK 5	-	2.2	1.29	1.65	15.59	0.23	0.24	0.21
BK 6	laminalı	2.3	1.04	1.73	14.33	0.32	0.34	0.30
BK 7	laminalı	3.7	0.86	2.74	12.79	0.35	0.39	0.36
BK 8	-	2.8	0.80	2.07	13.11	0.51	0.44	0.49
B2	-	5.4	1.10	3.09	0	0.60	0.35	0.40
B3	-	5.1	1.05	2.93	0	0.55	0.61	0.46
B4	-	4.9	1.75	2.81	0	0.33	0.21	0.46
<i>Değer Aralığı</i>		<i>2.2-4.3</i>		<i>1.7-4.0</i>		<i>0.23-0.76</i>	<i>0.21-0.73</i>	<i>0.21-0.75</i>
ÇK 8	-	4.1	1.12	3.02	8.74	0.49	0.28	0.50
ÇK 9	-	5.2	0.48	3.84	0	0.68	0.60	0.76
ÇK 10	-	3.2	0.67	2.34	5.53	0.40	0.50	0.37
ÇK 11	21.7	7.4	0.64	5.42	0	0.84	0.91	0.78
ÇK 12	-	5.1	-	3.70	7.19	-	-	-

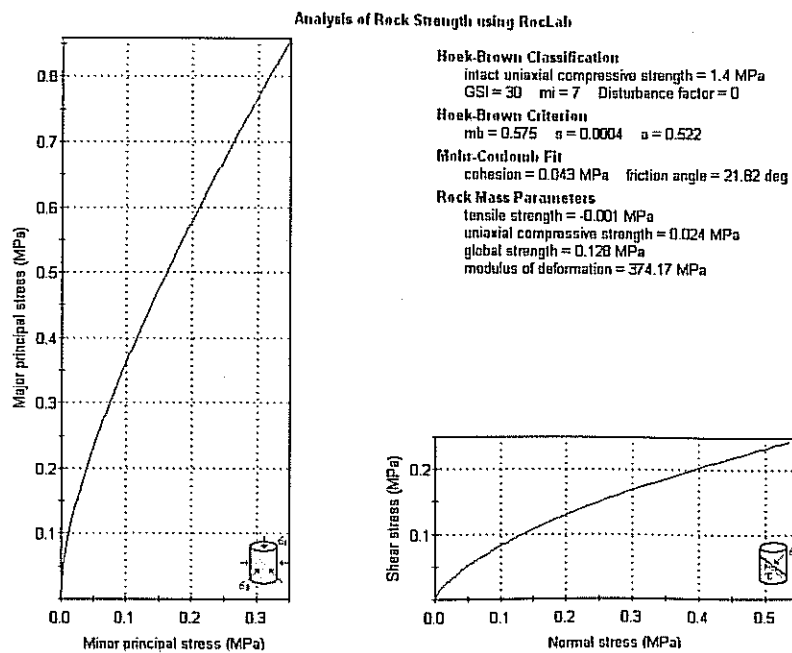
Çizelge 4.49 devamı

<i>Örnek No</i>	<i>B.h.a (kN/m³)</i>	<i>Yenilme Yüklü (kN)</i>	<i>Maks. düşey yer. (mm)</i>	<i>UCS (MPa)</i>	<i>Su İçeriği (%)</i>	<i>E_t (GPa)</i>	<i>E_s (GPa)</i>	<i>E_{ort} (GPa)</i>
ÇK 13	-	4.1	0.43	3.03	8.21	0.85	0.83	0.87
A1	-	7.2	0.70	4.15	0	1.00	0.66	0.95
A2	-	7.5	0.70	4.32	0	1.00	0.72	0.88
<i>Değer Aralığı</i>		<i>3.2-7.5</i>		<i>3.0-5.5</i>		<i>0.40-1.00</i>	<i>0.20-0.91</i>	<i>0.37-0.95</i>
<i>Minimum</i>	18.7	1.4	0.30	1.30	-	0.20	0.21	0.22
<i>Maksimum</i>	21.7	7.4	1.29	5.50	-	1.00	0.91	0.95



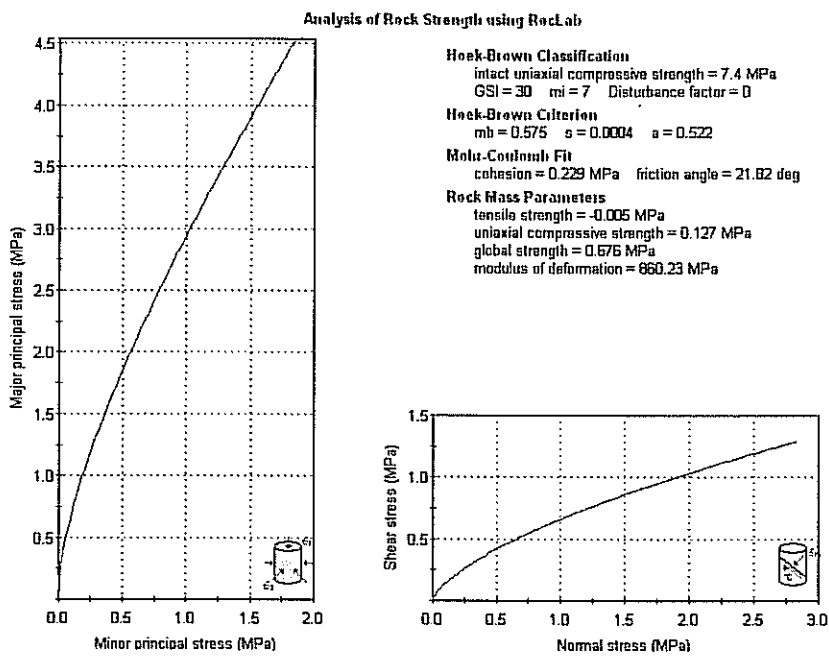
Şekil 4.81. Kaliş örneklerinde tek eksenli basma dayanımı deneyleri sonucu oluşan dik ya da dike yakın tipik kırılma yüzeyleri.

Tek eksenli basma dayanımı (UCS) deneyleri ile belirlenen değerler ile masif kaliş biriminin yüzey koşulları dikkate alınarak kayma dayanımı parametreleri belirlenmeye çalışılmıştır. Bu amaçla RockLab 1.06 bilgisayar programından faydalانılmıştır. Bu program yardımıyla elde edilmiş kaya dayanım parametreleri ve programa ait çalışma görüntüsü Şekil 4. 82 a ve b'de görülmektedir. Örneklerin tamamı için GSI değeri 30 olarak alınmıştır. GSI değerinin tüm örnekler için sabit olması içsel sürtünme açısının 21.82° olarak sabit bir değer almasına neden olmuştur. Diğer dayanım parametreleri; kohezyon (c), çekme dayanımı (σ_t) ve elastisite modülü, (E) değerlerinin örnekler göre değişimleri Çizelge 4.50'de verilmiştir. Bu çizelgede, belirlenmiş parametrelere ait değişim aralıkları da verilmiştir. Kaliş numunelerinin tamamı için Hoek-Brown sabitleri, m_b : 0.575, s : 0.0004 ve a : 0.522 olarak elde edilmiştir.



KK 6 karotuna ait kaya dayanım parametreleri

Şekil 4.82 a. En düşük tek eksenli basma dayanımı değerine sahip karot numuneleri için elde edilmiş kaya dayanım parametreleri.



CK 11 karotuna ait kaya dayanım parametreleri

Şekil 4.82 b. En yüksek tek eksenli basma dayanımı değerine sahip karot numuneleri için elde edilmiş kaya dayanım parametreleri.

Elde edilmiş değerler sert kaliş örneklerinin kohezyon değerlerinin (c) 0.095 ile 0.230 MPa ve elastisite modüllerinin (E) 374 ile 860 MPa arasında değiştığını ortaya koymuştur. Kaliş grupları kendi aralarında değerlendirildiğinde çakılı kaliş (ÇK) biriminin elastisite modülü değerlerinin KK ve BK grubu kalişlere göre daha yüksek olduğu görülmektedir. BK ve KK grubu kalişların hem UCS ve hem de kohezyon ve elastisite modülü değerlerinin birbirine oldukça yakın değerler verdikleri de dikkat çekmektedir. Çizelge 4.50'de koyulaştırılmış harflerle gösterilen değerler o birim için en yüksek ve en düşük tek eksenli basma dayanımı (UCS) değerleri ile kohezyon, çekme dayanımı (σ_t) ve elastisite modülü değerleridir.

4.3.3.6. Konsolidasyon Özellikleri

Yumuşak kalişın konsolidasyon özelliklerinin belirlenmesi amacıyla araştırma çukurlarından alınan 3 farklı zemin sınıfındaki örnek konsolidasyon deneyine tabi tutulmuştur. Bunlardan AÇ-43 noktası CL, AÇ-14 noktası ML ve, AÇ-13 noktası CH türü zemin sınıfında yer almaktadır.

Çizelge 4.50. Kaliş örneklerine ait kaya dayanım parametreleri.

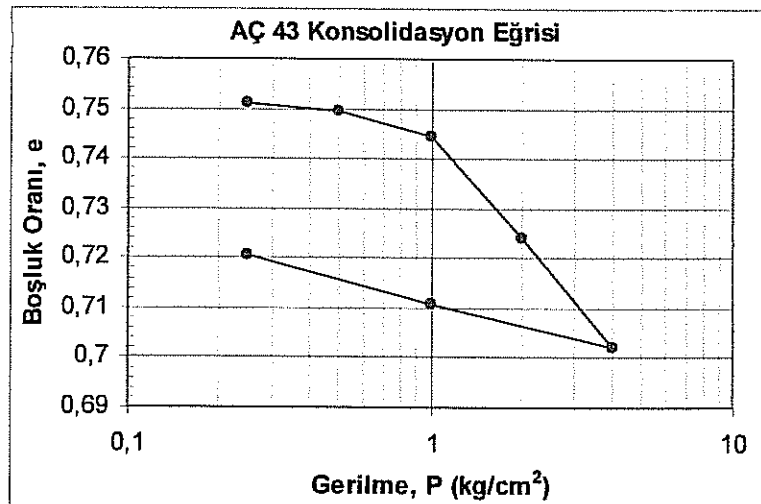
<i>Örnek No</i>	<i>UCS (MPa)</i>	<i>c (MPa)</i>	<i>σ_t (MPa)</i>	<i>E (MPa)</i>
KK 1	2.9	0.090	0.002	538
KK 2	2.0	0.062	0.001	447
KK 3	1.6	0.049	0.001	400
KK 4	2.9	0.090	0.002	538
KK 4*	5.3	0.164	0.001	728
KK 5	2.6	0.080	0.002	510
KK 6	1.4	0.043	0.001	374
KK 7	3.0	0.093	0.002	548
KK 8	3.7	0.114	0.003	608
KK 9	4.5	0.139	0.003	671
KK 10	2.0	0.062	0.001	447
KK 11	2.2	0.068	0.002	469
KK 12	2.3	0.071	0.002	479
KK 14	2.9	0.575	0.002	538
KK 15	3.0	0.093	0.002	548
KK 16	2.8	0.086	0.002	529
KK 17	3.1	0.096	0.002	557
KK 19	3.7	0.114	0.003	608
KK 20	3.8	0.117	0.003	616
KK 22	2.9	0.575	0.002	538
KK 23	2.9	0.575	0.002	538
KK 24	3.5	0.108	0.003	592
<i>Değer Aralığı</i>	0.045-0.165	0.001-0.003	370-730	
BK 1	2.9	0.575	0.002	538
BK 3	5.2	0.161	0.004	721
BK 4	4.3	0.133	0.003	656
BK 5	2.2	0.068	0.002	469
BK 6	2.3	0.071	0.002	479
BK 7	3.7	0.114	0.003	608
<i>Değer Aralığı</i>	0.060-0.165	0.002-0.004	465-725	
ÇK 8	4.1	0.127	0.003	640
ÇK 9	5.2	0.161	0.004	721
ÇK 10	3.2	0.099	0.002	566
ÇK 11	7.4	0.229	0.005	860
ÇK 12	5.1	0.158	0.004	714
ÇK 13	3.8	0.117	0.003	616
<i>Değer Aralığı</i>	0.095-0.230	0.002-0.005	565-860	
Minimum	0.043	0.001	374	
Maksimum	0.229	0.005	860	

Konsolidasyon deneyleri sonucunda elde edilen sıkışma katsayıları (a_v) ve hacimsel sıkışma katsayıları (m_v) , uygulanan gerilme kademeleri ve elde edilmiş boşluk oranı değerlerine bağlı olarak Çizelge 4.51-4.53'de sunulmuştur. Boşluk oranları ve gerilme

değerleri kullanılarak çizilen $e - \log(P)$ grafikleri her 3 lokasyon için ayrı ayrı olmak üzere Şekil 4.83, Şekil 4.84 ve Şekil 4.85'de verilmiştir.

Çizelge 4.51. AÇ 43 inceleme yerine ait, elde edilmiş konsolidasyon deney parametreleri.

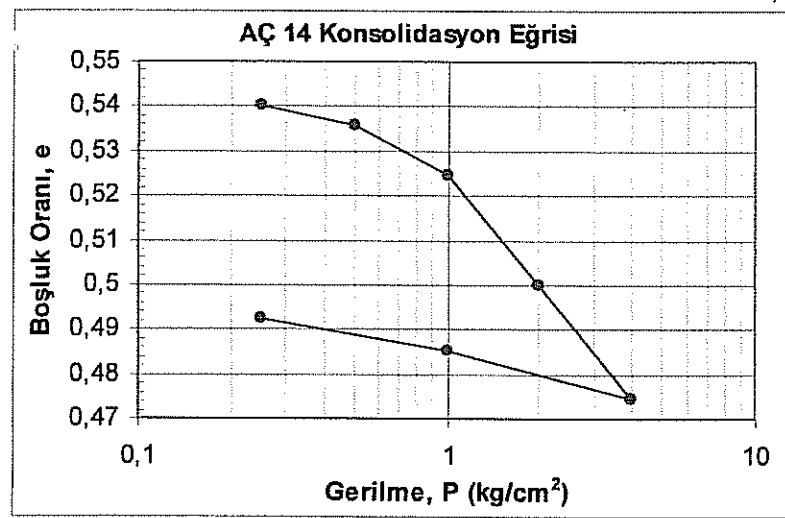
<i>Gerilme (kg/cm²)</i>	<i>Gerilme Artışı</i>	<i>Boşluk Oranı, e</i>	<i>a_v (cm²/kg)</i>	<i>m_v (cm²/kg)</i>
0	0	0.7529	0	0
0.25	0.25	0.7512	0.00701	0.004
0.50	0.25	0.7494	0.00701	0.004
1.00	0.50	0.7442	0.01052	0.006
2.00	1.00	0.7240	0.02016	0.012
4.00	2.00	0.7021	0.01096	0.006
1.00	3.00	0.7109	0.00292	0.002
0.25	0.75	0.7205	0.01285	0.007



Şekil 4.83. AÇ-43 inceleme yerine ait konsolidasyon eğrisi.

Çizelge 4.52. AÇ 14 inceleme yerine ait, elde edilmiş konsolidasyon deney parametreleri.

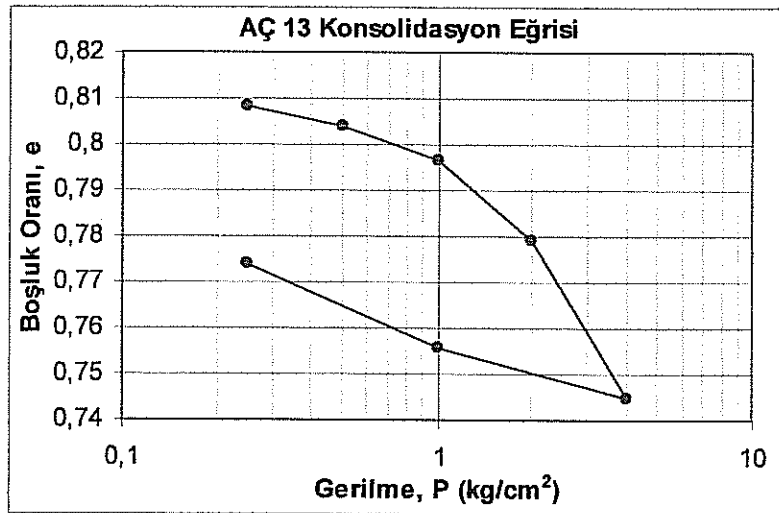
<i>Gerilme (kg/cm²)</i>	<i>Gerilme Artışı</i>	<i>Boşluk Oranı, e</i>	<i>a_v (cm²/kg)</i>	<i>m_v (cm²/kg)</i>
0	0	0.5440	0	0
0.25	0.25	0.5401	0.01544	0.010
0.50	0.25	0.5355	0.01853	0.012
1.00	0.50	0.5247	0.02162	0.014
2.00	1.00	0.5000	0.02470	0.016
4.00	2.00	0.4745	0.01274	0.009
1.00	3.00	0.4853	0.00360	0.002
0.25	0.75	0.4922	0.00926	0.006



Şekil 4.84. AÇ-14 inceleme yerine ait konsolidasyon eğrisi.

Çizelge 4.53. AÇ 13 inceleme yerine ait, elde edilmiş konsolidasyon deney parametreleri.

Gerilme (kg/cm^2)	Gerilme Artışı	Böşluk Oranı, e	a_v (cm^2/kg)	m_v (cm^3/kg)
0	0	0.8100	0	0
0.25	0.25	0.8082	0.00724	0.004
0.50	0.25	0.8037	0.01810	0.010
1.00	0.50	0.7964	0.01448	0.008
2.00	1.00	0.7792	0.01720	0.010
4.00	2.00	0.7449	0.01720	0.010
1.00	3.00	0.7557	0.00362	0.002
0.25	0.75	0.7738	0.02413	0.014



Şekil 4.85. AÇ-13 inceleme yerine ait konsolidasyon eğrisi.

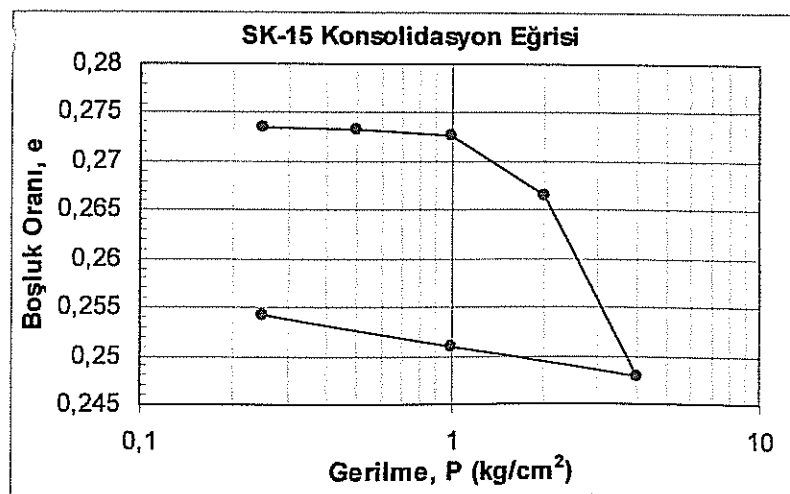
Konsolidasyon eğrilerinden hesaplanan ön konsolidasyon basıncı değerleri AÇ-43 noktası için 1.01, AÇ-14 noktası için 0.92 ve AÇ-13 noktası için 1.60 olarak elde edilmiştir.

Pınar Mahallesi’nde yapılan SK-15 sondajında kesilen CH sınıfındaki kaliş kiline ait zeminden alınan örselenmemiş numune türlerinde yapılan konsolidasyon deneyi ile de Çizelge 8.8’de gösterilen konsolidasyon parametreleri elde edilmiştir.

Çizelge 4.54. SK-15 inceleme yerine ait (2.50-3.00 m) konsolidasyon deney parametreleri.

<i>Gerilme (kg/cm²)</i>	<i>Gerilme Artışı</i>	<i>Böşluk Oranı, e</i>	<i>a_v (cm²/kg)</i>	<i>m_v (cm²/kg)</i>
0	0	0,2738	0,00000	0,000
0,25	0,25	0,2735	0,00102	0,001
0,50	0,25	0,2733	0,00102	0,001
1,00	0,50	0,2726	0,00127	0,001
2,00	1,00	0,2664	0,00624	0,005
4,00	2,00	0,2478	0,00930	0,007
1,00	3,00	0,2510	0,00106	0,001
0,25	0,75	0,2542	0,00425	0,003

SK-15 sondajı için *böşluk oranı (e) – logaritma gerilme (log P)* şeklinde çizilen konsolidasyon eğrisi ise Şekil 4.86’da görüldüğü gibi elde edilmiştir.



Şekil 4.86. SK-15 sondaj inceleme yerine ait konsolidasyon eğrisi.

İncelenen araştırma noktalarının geneli için bir değerlendirme yapıldığında ön konsolidasyon basınçlarının 0.90 ile 1.85 kg/cm² arasında, sıkışma indislerinin 0.040 ile 0.090 arasında ve şışme indislerinin 0.050 ile 0.024 değerleri arasında değişmekte olduğu görülmektedir (Çizelge 4.55).

Çizelge 4.55. İncelenen sondaj inceleme noktaları için konsolidasyon eğrilerinden elde edilmiş olan bazı konsolidasyon parametreleri.

<i>İnceleme Yeri</i>	<i>Zemin Türü</i>	<i>Ön kons. basıncı</i> (kg/cm ²)	<i>Stıkışma indisi, C_c</i>	<i>Şişme indisi, C_s</i>
AÇ-13	CH	1.60	0.0855	0.0240
AÇ-14	ML	0.92	0.0833	0.0147
AÇ-43	CL	1.01	0.0699	0.0152
SK-15	CH	1.82	0.0411	0.0053
<i>Değer Aralığı</i>		<i>0.90 - 1.85</i>	<i>0.040 - 0.090</i>	<i>0.0050 - 0.024</i>

4.3.3.7. Taşıma Gücü Özellikleri

Diğer birimlerin için yapılan taşıma gücü analizleri bu birim için de aynı şekilde yapılmıştır. Kaliş çökelleri, zemin ve kaya olmak üzere iki ayrı özellik sunduklarından taşıma gücü analizleri de zemin ve kaya türü olmak üzere değerlendirilmiştir.

4.3.3.7.(1). Yumuşak Kaliş Biriminin Taşıma Gücü Özellikleri

Yumuşak kalis zemin özellikleri gösteren bir litolojiyi oluşturmaktadır. Taşıma gücü değerlendirmelerinde kesme kutusu deneylerinden elde edilmiş olan mekanik parametreler kullanılmıştır. Temele ait parametreleri ise diğer taşıma gücü hesaplarında olduğu gibi alınmış ve yine oluşturulan bilgisayar programı yardımıyla hesaplanmıştır. Bu çalışma kapsamında incelenmiş yüzey kazıları (AÇ) ile elde edilmiş bazı veri gruplarına ait lokasyon bilgileri ve bu lokasyonlardan elde edilmiş taşıma gücü değerleri Çizelge 4.56'da verilmiştir. Yumuşak kalis biriminin sınır ve emin taşıma gücü değerlerindeki aşırı farklılıklar zeminin kendi özellikleri ile ilgili olduğu kadar mekanik parametrelerin bulunmasında kullanılan deney yöntemlerine ve deneylerin hassaslığına da bağlı olmaktadır.

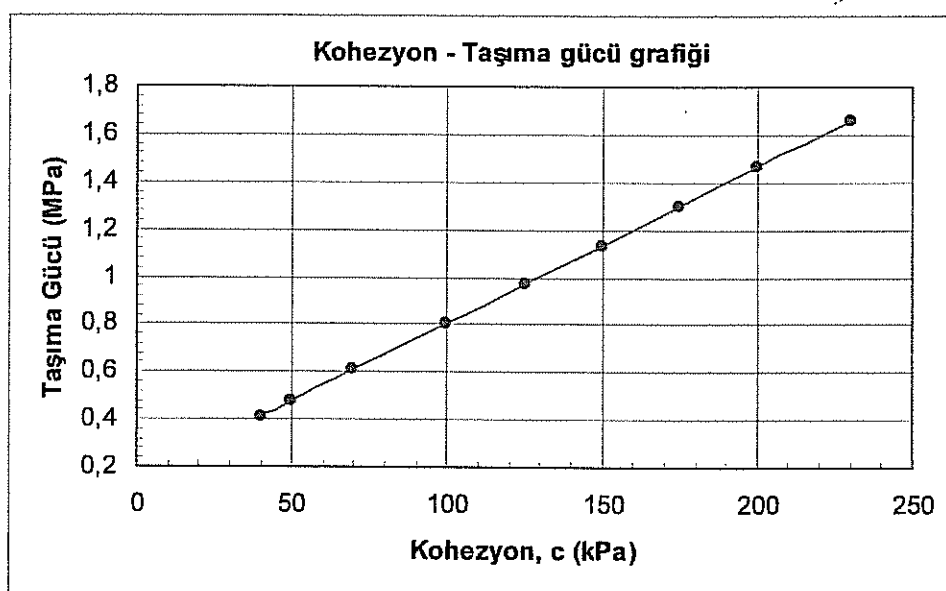
Kalis içerisinde kum ve çakıl boyutu malzemenin çıkışması kohezyon değeri ile birlikte içsel sürtünme açısının da önem kazanmasına sebep olmaktadır. Böylesi durumlarda taşıma gücü değerlerinde artışların olduğu görülmektedir.

Çizelge 4.56. Yumuşak kaliş birimindeki lokasyonlardan elde edilmiş taşıma gücü parametreleri.

Veri No	Veri Yeri	Derinlik (m)	γ_n (kg/cm ³)	c (kg/cm ²)	ϕ	q_{sinir} (kg/cm ²)	q_{emin} (kg/cm ²)
ZE-366	Belediye Ev.	1.50	2.06	3.36	0	22.32	7.44
ZE-271	2000 Evler	2.50	1.90	0.57	0	4.25	1.42
MES-1	Kireçocağı	2.20	1.71	1.30	0	8.91	2.97
ZE-375	Esentepe	3.00	2.00	1.64	0	11.19	3.74
İMO-10	100. Yıl M.	1.80	1.97	0.50	0	3.82	1.27
İMO-15	Kurttepe	5.50	1.92	4.00	0	26.42	8.80
İMO-32	Umutdum Ok	3.50	2.00	2.00	0	13.52	4.51
AÇ-43	Huzurevleri	4.00	1.81	0.38	5.0	3.00	1.00
AÇ-38a	Carrefour	5.00	1.96	0.43	8.0	3.36	1.12
AÇ-28	Mavi Bulvar	4.00	1.79	0.55	16.0	4.09	1.36
AÇ-14	Yeşiloba	3.00	1.79	0.36	13.3	2.86	0.95
AÇ-13	Mavi Bulvar	4.00	1.73	0.11	14.6	1.22	0.41
AÇ-11	Huzurevleri	6.00	1.94	0.30	18.5	2.52	0.84
AÇ-8	Yurt Mah.	4.30	1.76	0.16	19.0	1.56	0.52

4.3.3.7.(2). Sert Kaliş Biriminin Taşıma Gücü Özellikleri

Sert kaliş birimi düşük dayanımlı kaya özelliği gösteren bir litolojiyi oluşturmaktadır. Karot numuneleri üzerinde yapılmış olan tek eksenli basma dayanımı verilerinden elde edilen kohezyon değerleri 0.045 ile 0.230 MPa (45 – 230 kPa) arasında değişmektedir. Birim hacim ağırlıklarının ise 18 – 23 kN/m³ değerleri arasında değiştiği bilinmektedir. Oluşturulan bilgisayar programında bu birime ait içsel sürtünme açısı değeri 20° olarak alınmıştır. Belirlenmiş olan kohezyon ve birim hacim ağırlığı değerleri için hesaplamalar yapıldığında Şekil 4.87'de gösterilen taşıma gücü ilişkisi ortaya çıkmıştır. Bu grafikte elde edilmiş değerler en düşük birim hacim ağırlığı (18 kN/m³) için hesaplanmıştır. Yapılan diğer hesaplamalara ait sonuçlar farklı birim hacim ağırlığı değerleri için Çizelge 4.57'de sunulmuştur.



Şekil 4.87. Kaliş örneklerinin kohezyon değerlerinin taşıma gücü ile ilişkisi (birim hacim ağırlıkları 18 kN/m^3 olan örnekler için hesaplanmıştır).

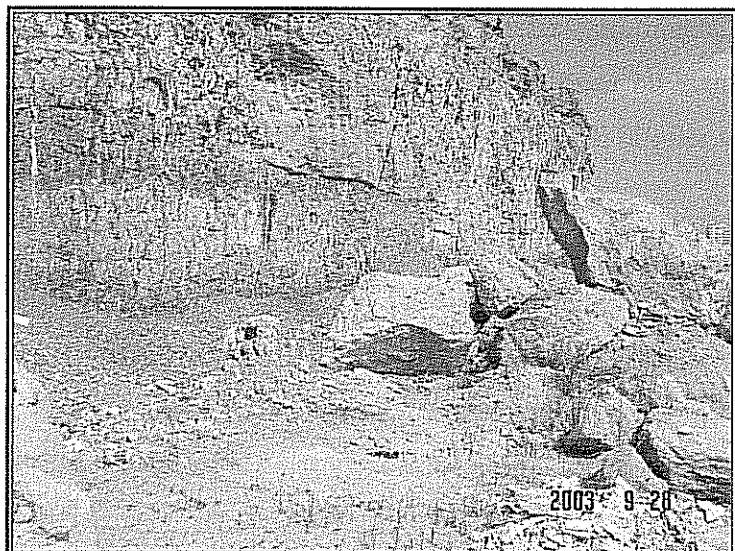
Çizelge 4.57. Sert kaliş birimine ait emin taşıma gücü değerlerinin kohezyon ve birim hacim ağırlığı değerlerine bağlı olarak değişimi.

Kohezyon (kPa)	Birim Hacim Ağırlıkları (kN/m^3)					
	18	19	20	21	22	23
Emin Taşıma Gücü Değerleri (MPa)						
40	0,4095	0,4177	0,4258	0,434	0,4421	0,4503
50	0,4752	0,4834	0,4915	0,4997	0,5078	0,516
70	0,6066	0,6148	0,6229	0,6311	0,6392	0,6474
100	0,8038	0,8119	0,8201	0,8282	0,8364	0,8445
125	0,968	0,9762	0,9843	0,9925	1,0006	1,0088
150	1,1323	1,1405	1,1486	1,1568	1,1649	1,1731
175	1,2966	1,3047	1,3129	1,321	1,3292	1,3373
200	1,4608	1,469	1,4771	1,4853	1,4934	1,5016
220	1,658	1,6661	1,6743	1,6824	1,6906	1,6987

4.3.3.8. Şev Duraylılık Özellikleri

Daha önce de deiginildiği gibi sert kaliş çökelleri daha çok topografik yükseklikleri oluşturacak şekilde bulunmaktadır. Yumuşak kaliş çökelleri ise daha düşük kotlarda yayılmış bulunmaktadır. Bu bakımından sert kaliş çökelleri içerisinde stabilite açısından duraysızlıklar bulunamamaktadır. Kaya devrilmeleri bu birim içerisinde en fazla görülen duraysızlık türüdür

(Şekil 4.88). Şekil 4.88, içerisindeń yarma açılarak yol geçirilen bir incelemé noktasına aittir. Şev yüksekliğinin fazla (8 m) ve şevin dike oldukça yakın bir eğimle açılmış olması şev duraysızlığına neden olan ana etmenlerdir. Yumuşak kalişlerde genel olarak duraylılık açısından problem bulunmamaktadır, zira bu kaliş birimleri kritik yamaç eğimleri oluşturacak bir konumda bulunmamaktadırlar. Ancak istisnai bazı durumlar arazi gözlemleri sırasında tespit edilebilmiştir. Şekil 4.89, yumuşak kaliş biriminin olduğu bir dere yamacında yüzey sularının da etkisiyle meydana gelmiş küçük boyuttaki bir kütle hareketini göstermektedir.



Şekil 4.88. 100. Yıl Mahallesinde. sert kaliş birimi içerisinde görülen kaya düşmesi türü kütle hareketleri.



Şekil 4.89. Belediye Evleri Mahallesinde bir dere yamacındaki yumuşak kalişlerde oluşan küçük boyuttaki kütle hareketi.

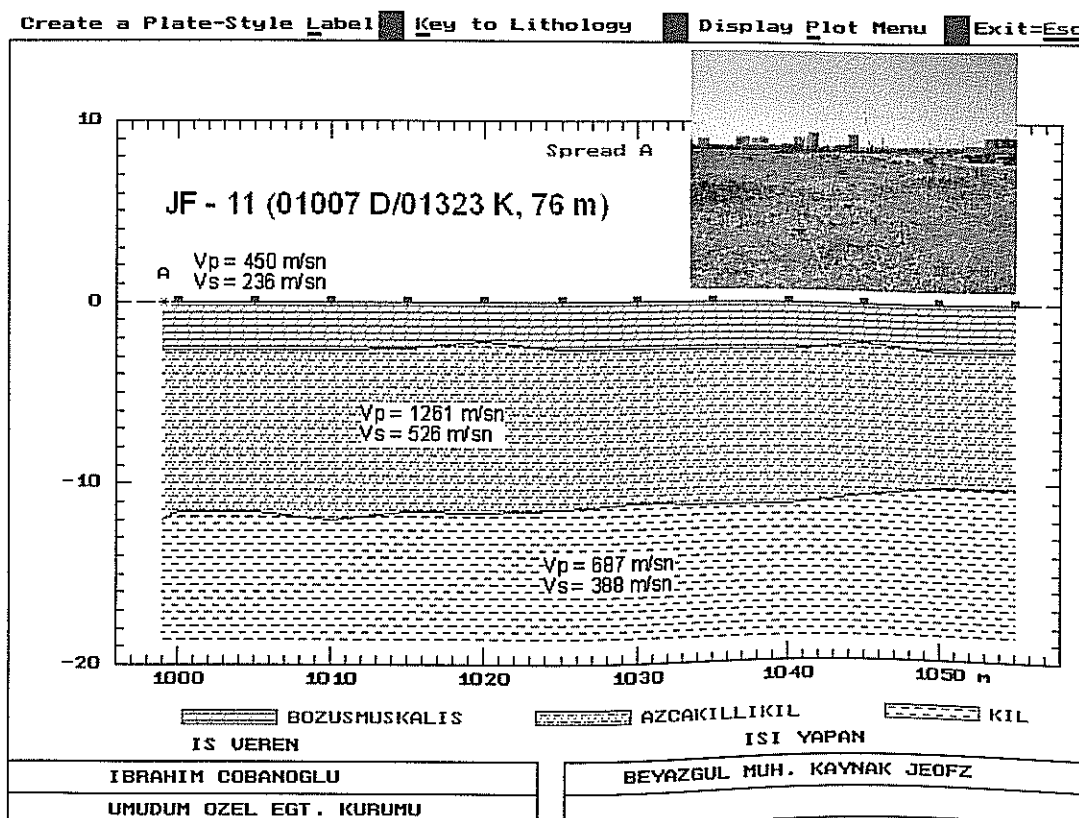
Kritik şev eğimine sahip alanlar olmadığından ve arazi gözlemleriyle tespit edilmiş, doğrudan bu birimlerle ilişkili kütle hareketlerine rastlanmadığından ayrıntılı duraylılık analizlerinin yapılmasına gerek duyulmamıştır.

4.3.3.9. Jeofizik Özellikleri

JF 11, JF 12, JF 13 ve JF 14 noktaları kaliş çökelleri içerisinde yer alan jeofizik ölçüm lokasyonlarıdır. Diğer birimlerde olduğu gibi bu birim için de aynı nokta için hem jeofizik sismik ve hem de özdirenç ölçümlerini yönelik çalışmalar yapılmıştır. Bunlardan JF 14 lokasyonu Handere Kili'ne ait birimi de içerdigidinden daha önce bu birim ile ilgili kısımda verilmiştir. Bu yüzden bu bölümde diğer 3 ölçüm noktası ile ilgili bilgiler sunulmuştur.

4.3.3.9.(1). Sismik Özellikler

JF 11 Belediye Evleri Mah. Umudum Özel Eğitim Kurumu doğusundaki boş arazi içerisinde yer almaktadır (01007 D/ 01323 K). Sismik kesitin en üstünde yer alan ve yaklaşık kalınlığı 3 m olan birim, kalişın toprak özelliği kazanmış olan yumuşak kesimidir (Şekil 4.90).



Şekil 4.90. JF-11 ölçüm noktasına ait sismik serim kesiti.

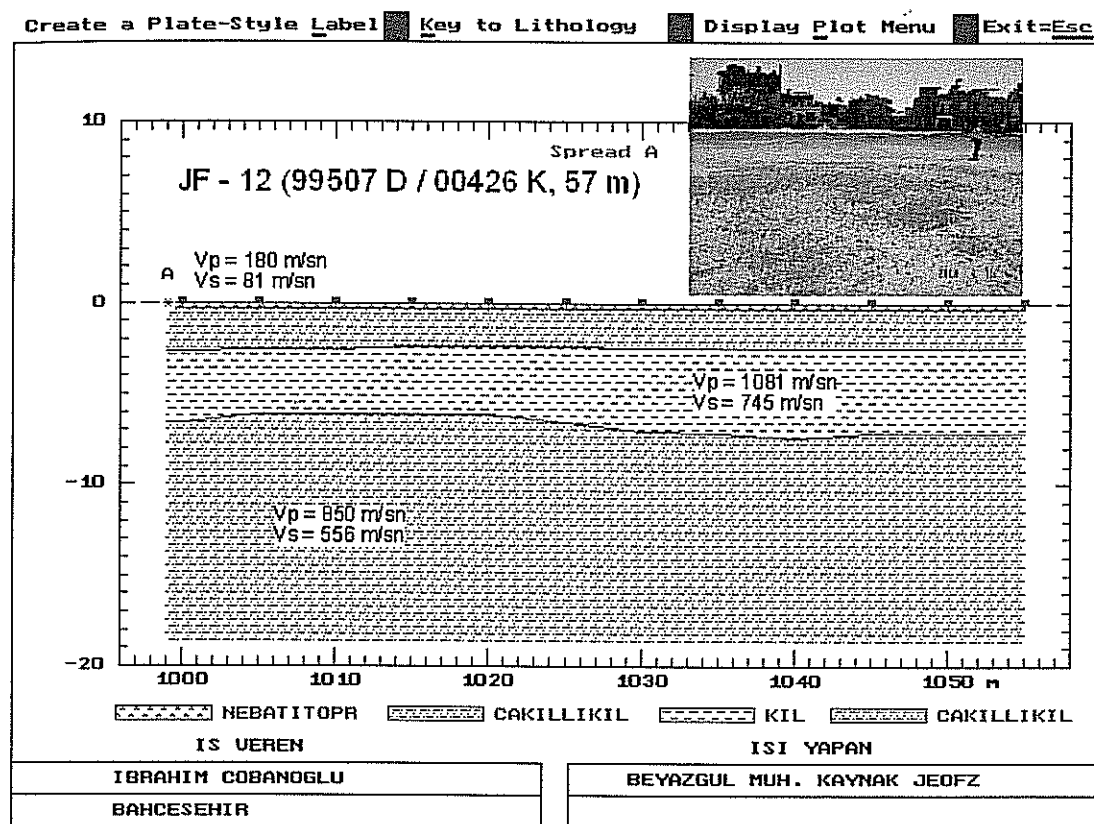
Bu birimin altında Handere Formasyonu'nun killi seviyelerine geçiş vardır, ancak bu birimin içerisinde de kalışlaşmelerin olduğu arazi gözlemleriyle tespit edilmiştir. Ölçüm noktasına ait elde edilmiş mühendislik parametreleri Çizelge 4.58'de sunulmuştur.

Çizelge 4.58. Umudum Özel Eğitim Kurumu (JF – 11) doğusundaki sahada yapılan sismik kırılma çalışması sonucu elde edilen parametreler.

	1.TABAKA	2.TABAKA	3.TABAKA
P Hızı (V_p , m/sn)	450	1261	687
S Hızı (V_s , m/sn)	236	526	388
Zemin Büyüütmesi (n)	2.2	1.4	1.7
Poisson Oranı (σ)	0.30	0.39	0.26
Zemin Hak. Tit. Pr. (To)		0.37 sn	
V_p/V_s	1.91	2.40	1.77

Bahçeşehir (Kireçocağı) Mahallesinde yer alan JF 12 (99507 D/ 00426 K) ölçüm noktasında, üstte toprak özelliği gösteren yine kaliş birimine ait bir seviye ve onun altında esas olarak karbonatça zengin ve kısmen yoğun yumuşak kaliş birimi yaklaşık 8 metrelük bir derinliğe kadar ulaşmaktadır (Şekil 4.91). Bu birim altında da Handere Kili'ne ait ince taneli malzemenin bulunduğu düşünülmektedir. Ölçüm noktasına ait elde edilmiş mühendislik parametreleri Çizelge 4.59'da sunulmuştur

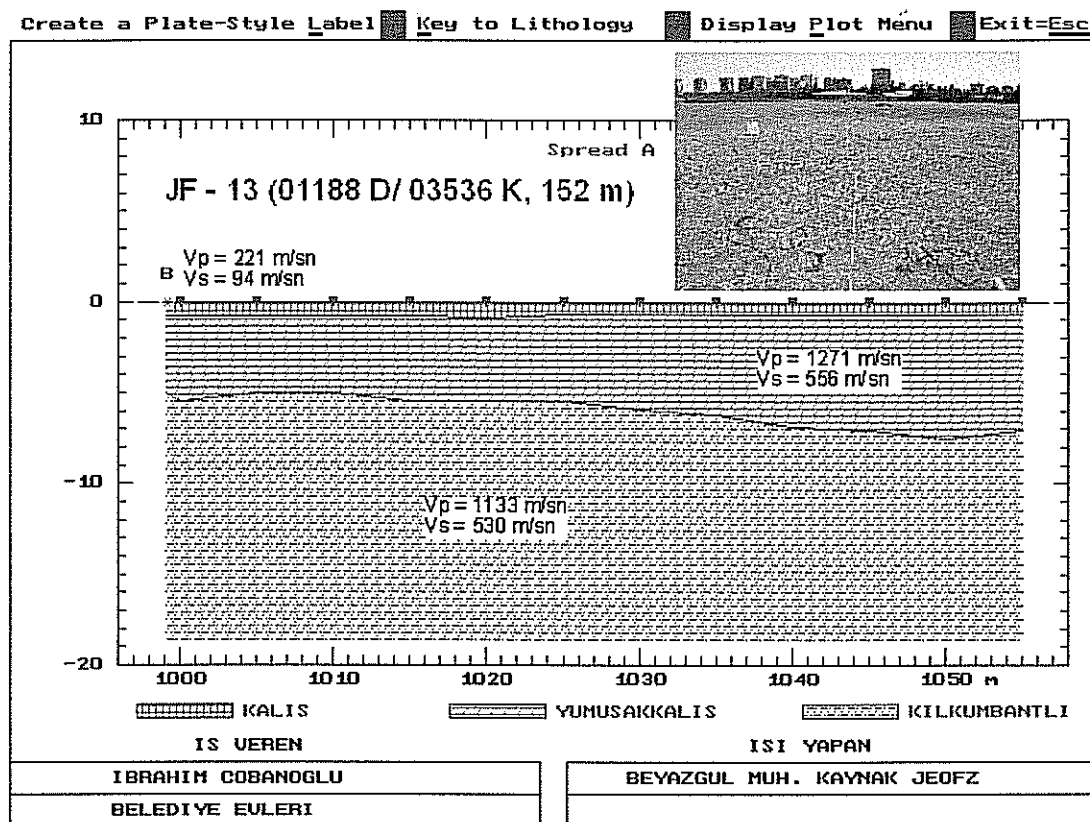
Belediye Evleri Mahallesinde yer alan JF 13 noktasında (01188 D/ 03536 K) üstte yaklaşık 1 m kalınlığında sert kaliş birimi bulunmaktadır. Ancak bu seviye oldukça ayırmış ve aşınmış olduğundan toprak özelliği kazanmıştır. Bu birimin altında kalişın oldukça karbonatlı ve kısmen yoğun olan yumuşak kesimi yer almaktadır. Bu seviye yaklaşık 9 metre derinliğe kadar devam etmektedir (Şekil 4.92). Bu birimin de altında Handere Formasyonu'na ait kil birimi gelmektedir. Ölçüm noktasına ait elde edilmiş mühendislik parametreleri Çizelge 4.60'da sunulmuştur.



Şekil 4.91. JF-12 ölçüm noktasına ait sismik serim kesiti.

Çizelge 4.59. Bahçeşehir (Kireçocağı) Mahallesindeki sismik kırılma çalışması sonucu elde edilen parametreler (JF - 12).

	1.TABAKA	2.TABAKA	3.TABAKA
P Hızı (V_p , m/sn)	180	1081	850
S Hızı (V_s , m/sn)	81	745	556
Zemin Büyütmesi (n)	3.1	1.18	1.44
Poisson Oranı (σ)	0.37	0.05	0.13
Zemin Hak. Tit. Pr. (To)		0.3 sn.	
V_p/V_s	2.22	1.45	1.53



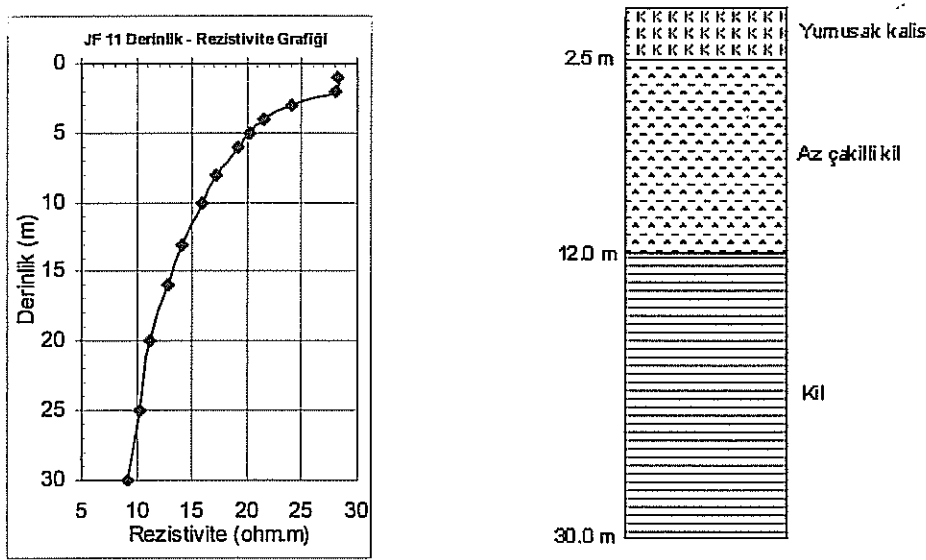
Sekil 4.92. JF-13 ölçüm noktasına ait sismik serim kesiti.

Çizelge 4.60. Belediye Evleri Mahallesindeki sismik kırılma çalışması sonucu elde edilen parametreler (JF – 13).

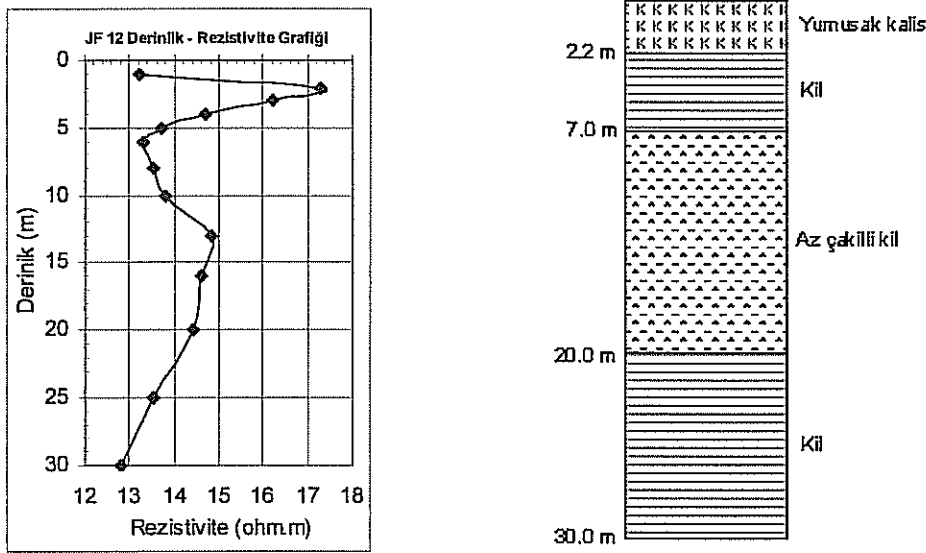
	<i>1.TABAKA</i>	<i>2.TABAKA</i>	<i>3.TABAKA</i>
<i>P Hizi</i> <i>(V_p, m/sn)</i>	221	1271	1133
<i>S Hizi</i> <i>(V_s, m/sn)</i>	94	556	530
<i>Zemin Büyütmesi</i> <i>(n)</i>	2.97	1.35	1.41
<i>Poisson Oranı</i> <i>(σ)</i>	0.38	0.30	0.35
<i>Zemin Hak. Tit. Pr.</i> <i>(To)</i>		0.10 sn	
<i>V_p/V_s</i>	2.35	2.28	2.14

4.3.3.9.(2). Özdirenç Değerleri

Ölçüm noktalarından elde edilmiş özdirenç değerlerinin derinliğe bağlı olarak değişimleri ve bu bilgilerle çıkarılmış zemin profilleri Şekil 4.93 – 4.95 ‘de verilmiştir.



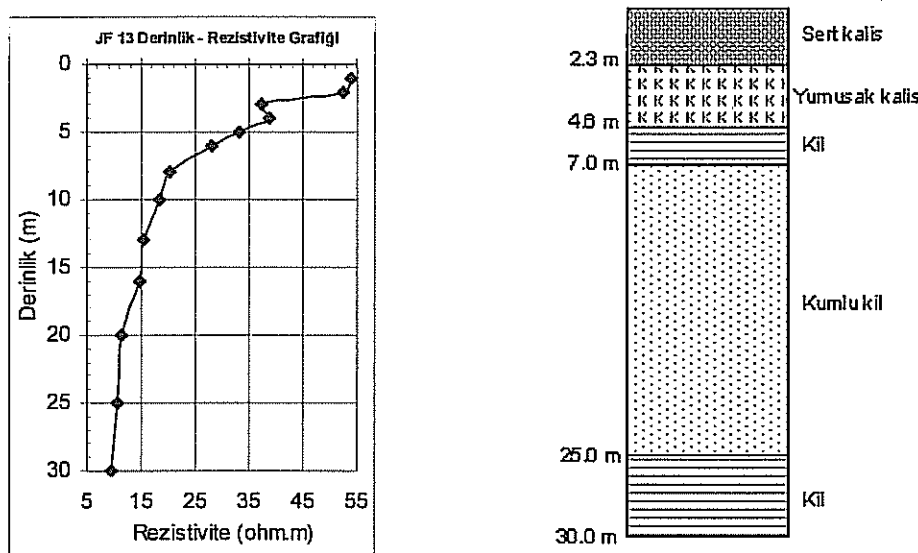
Şekil 4.93. JF 11 ölçüm noktasında derinliğe bağlı olarak elde edilmiş rezistivite değerleri



Şekil 4.94. JF 12 ölçüm noktasında derinliğe bağlı olarak elde edilmiş rezistivite değerleri

4.3.3.10. Hidrojeolojik Özellikleri

Kalış çökelleri gerek kalınlıkları itibariyle ve gerekse bulundukları topoğrafya itibariyle akifer olma özelliği taşımayan bir litolojiyi oluşturmaktadır. Geçirimli olmaları bu birim altında yer alan başka birimlerin akifer özelliği kazanmalarını sağlamaktadır.



Şekil 4.95. JF 13 ölçüm noktasında derinliğe bağlı olarak elde edilmiş rezistivite değerleri

4.3.3.11. Yorum ve Öneriler

Kalış birimi oluşum itibariyle heterojen bir çökelim ürünü olduğundan, özellikleri yersel olarak değişimler gösterebilmektedir. Karbonat içeren bağlayıcı maddenin artması, birimin sertlik ve yoğunluğunun artmasını sağlasa da özellikle yüzey sularından aşırı derecede etkilenir hale getirmektedir. İnceleme alanı içerisinde karbonat kabuk kalınlıkları değişken olmakla birlikte birkaç metreyi geçmemektedir. Bu birim içerisinde yapılmış olan sondajlı zemin araştırmaları genellikle başarılı olamamıştır. Bunun nedeni, yumuşak kaliş birimi içerisindeki karbonat yumruları ve tüplerinin SPT deneyleri sırasında refü değerleri vermesidir. Bu durum yanlış bir değerlendirme olarak, birimin gerçektekinden daha dayanıklı ve sert olduğunun sanılmasına neden olunmasıdır. Sulu sistem rotary sondajlarda ise sudan dolayı birimde meydana gelen fiziksel parçalanma örnek alımını imkansız hale getirmektedir. Bunun yanında kuru sistem sondajlarda ilerlemeler oldukça güç olmakta, UD tüpünün zemine çakılması da imkansız hale gelmektedir. Adana ili yerleşim alanı içerisinde yer alan taraça birimlerinde olduğu gibi kaliş çökellerinin olduğu alanlarda da klasik yöntemlerle yapılacak (SPT ve UD ile yapılan) sondajlı etüt çalışmalarının güvenilir sonuçlar vermeyeceği bilinmelidir. Bu yüzden bu birimlerde yapılacak etüt çalışmalarında da açılan sondaj kuyusu içerisine yerleştirilecek presiyometre cihazı ile doğrudan ve yerinde değerler elde edilmesi yoluna gidilmesi daha uygun olacaktır.

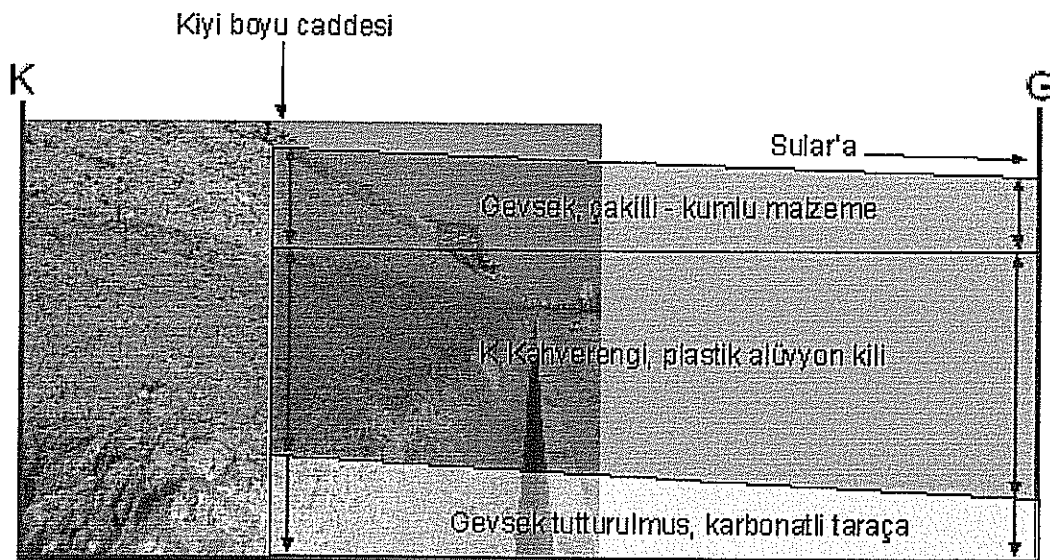
Yumuşak kalış birimi ile ilgili zemin etüdü çalışmalarında yerinde örselenmemiş numune almak son derece zor ve çoğu zaman da imkansız olabilmektedir. Buna rağmen bu tür durumlarda zeminin arazideki birim ağırlık değerinde kesme kutusu deneyine tabi tutulması durumlarında oldukça iyi sonuçların alındığı görülmüştür. Bu, bir çok durumda sondajlı etüt çalışmalarından daha doğru ve elde edilmesi kolay sonuçlar vermektedir.

Masif kalış olarak da adlandırılan kalışın kabuk kesimi inceleme alanı içerisinde en fazla 4 m olarak tespit edilmiştir. Kalışın sert kesimi ile yumuşak kesimi arasındaki temel mühendislik parametreleri farklılığına bağlı olarak taşıma gücü hesaplamalarında da farklılıklar olacaktır. Bu yüzden temelin oturacağı seviyenin kesin olarak bilinmesi ile birlikte sert kalış kalınlığının ve daha alta yer alan yumuşak kalış kalınlığının da bilinmesi gerekmektedir. Aksi takdirde gerçekte yumuşak kalış birimine oturan bir temel için daha yüksek taşıma gücü değerleri elde edilebilir. Kalış birimi içerisinde yer alan ve temel derinliği 3 m'den büyük tüm temeller için esas olarak yumuşak kalış birimine ait fiziksel ve mekanik parametrelerin kullanılması daha uygun olabilir. Aynı zamanda, kalışın sert kısmındaki litolojik farklılık yumuşak kısmındakine göre daha fazladır. Bu özellikle kuvvetli yer hareketleri sırasında kabuk malzemesinin daha fazla etkilenecek şekilde tepki göstermesine sebep olmaktadır.

4.3.4. Alüvyon Çökelleri

Alüvyon çökelleri Adana ili yerleşim alanı, içerisinde en eski yapılaşmanın üzerinde bulunduğu, geniş alan kaplayan bir diğer litolojiyi oluşturmaktadır. Bu bölümde, diğer bölgelerde de olduğu gibi öncelikle bu çalışma kapsamında elde edilen bulgular sunulmuştur. Elde edilmiş olan veri gruplarına ait bilgiler ise bu çalışmada ortaya konulanlarla ilişkilendirilmek açısından ayrıca verilmiştir. Alüvyon çökelleri Seyhan Irmağının her iki tarafında olmak üzere doğu-batı uzanımında yayılım sunmaktadır. Seyhan Irmağı doğusunda taraça çökelleri ile dokanak ilişkisinde olan alüvyon çökelleri, Seyhan Irmağı batısında hem taraça ve hem de kaliç çökelleri ile dokanak ilişkisine sahiptir. İnceleme alanı geneli için ele alındığında, alüvyonu oluşturan çökellerin büyük çoğunluğunun ince taneli malzemeler olduğu görülmektedir.

Arazi incelemeleri ile özellikle Seyhan Irmağı batısında, kuzeyden güneye doğru istifteki kalınlaşma görülebilmiştir. AÇ 39 numaralı araştırma çukurunun bulunduğu güzergahta alüvyon kilinin kuzeyden güneye yani ovaya doğru giderek kalınlaştiği görülmektedir. Bu yerde, taraça biriminin üzerindeki kil tabakası kalınlığının artması ile taraça birimi de daha alt seviyelere inmektedir (Şekil 4.96). Bu durum AÇ 1 numaralı Sular kazı çukurunda taraça biriminin 7.00 m gibi bir seviyede görülmemesine neden olmaktadır. Oysa Seyhan Hastanesi yakınlarında ayırtmış taraça birimine 2.5 m derinlikte rastlanmaktadır. AÇ 1 noktasından sonra ise Atatürk Caddesi boyunca güneye doğru gidildiğinde, artık kesitlerdeki hakim litolojinin killi ve siltli birimler olduğu, aralarına yer yer kumlu seviyelerin girdiği ve taraça biriminin 15 – 20 m gibi çok daha derinlerde kaldığı görülmektedir.



Şekil 4.96. Taraça biriminin güneye doğru yüzeyden derine doğru inmesi ile alüvyon kilindeki kalınlaşmayı gösteren şematik kesit (ölçeksizdir).

Alüvyon çökelleri, üzerinde yoğun bir yapışmanın olduğu ve diğer birimlere göre yeni yapışmanın çok daha az olduğu bir birimdir. Bu yüzden, bu birimin incelenmesi, ömekleme yapacak uygun yüzey kazlarının az olması nedeni ile daha zor olmuştur. Birim hakkında bilgi alabilmek için sondajlı ve jeofizik araştırmaların büyük çoğunluğu bu birim üzerinde yoğunlaştırılmıştır. Bununla birlikte M.E.B tarafından Bayındırlık İl Müdürlüğü'ne yaptırılan resmi okullara ait etütlerin değerlendirilmeleri ile de oldukça kullanışlı bilgiler elde edilmiştir.

4.3.4.1. Fiziksel Özellikleri

Düzen birimlere ait fiziksel özelliklerin belirlenmesinde olduğu gibi alüvyonlarla ilgili incelemelerde de yüzey kazlarından elde edilen örselenmiş ve örselenmemiş numunelerden faydalanyılmıştır. Örselenmemiş örnek alımlarında ince taneli zeminler için yaptırılmış olan 36 mm iç çaplı çelik örnek alıcılarından faydalanyılmıştır. Daha iri taneli malzemeler için 50 mm iç çaplı olarak yaptırılan örnek alıcılar kullanılmıştır. Bu çalışma kapsamında incelenen tüm yüzey kazısı lokasyonları (EK-1) diğer birimlerde olduğu gibi "AC" (araştırma çukuru) ile gösterilmiştir.

4.3.4.1.(1). Zemin Sınıfları

Alüvyon birimleri içerisinde incelenmiş olan yüzey kazlarından elde edilmiş numuneler üzerinde yapılmış sınıflandırma deneyleri, taşkın ovası niteliğindeki alüyon çökellerinin büyük çoğunluğunun CH ve CL türü killer olduklarını ortaya koymuştur. Bununla birlikte bu birimlere eşlik eden SW, SC, SM ile GP, GM ve GC türü iri taneli malzemeler de görülmektedir. Yüzey kazısı olarak incelenmiş araştırma çukurları ile veri gruplarına ait ortalama tane boyu (D_{50}) değerleri zemin sınıfları ile birlikte Çizelge 4.61'de verilmiştir.

Seyhan ırmağına yakın kısımlara bakıldığından alüyon içerisindeki litolojik çeşitliliğin arttığı, buna karşılık ırmağın hem doğusuna hem de batısına gidildiğinde litolojinin daha tekdüze olduğu görülmektedir. Yüreğir ilçesi genelinde alüyon killeri CL grubu killerle temsil edilirken Seyhan ilçesi tarafında CH grubu yüksek plastisiteli killerin baskın oldukları dikkati çekmektedir.

Çizelge 4.61. Alüvyon biriminde farklı veri noktalarından alınan örneklere ait fiziko-mekanik parametreler.

<i>Veri No</i>	<i>Veri Yeri</i>	<i>Derinlik (m)</i>	<i>D₅₀ (mm)</i>	<i>LL (%)</i>	<i>PL (%)</i>	<i>n (%)</i>	<i>γ_n (kg/cm³)</i>	<i>c (kg/cm²)</i>	<i>USCS</i>
İMO-41	Kocavezir Mah.	4.50	0.013	37.7	22.4	45.0	1.78	0.50	CL
ZE-365	Cemalpaşa	2.45	-	68.1	23.2	-	1.98	0.81	CH
İMO-36	Cumhuriyet Mah	4.50	-	61.0	25.1	43.0	1.93	0.60	CH
İMO-5	K.Başer M.	3.50	0.012	55.2	25.3	46.0	1.70	0.80	CH
İMO-11	İstiklal Mh	4.50	-	-	-	43.0	1.62	0	SM-SP
İMO-31	Karasoku	3.50	0.075	51.5	32.6	48.0	1.83	0.55	MH
İMO-6	Reşatbey	3.50	16.0	-	-	21.0	2.14	0	GW
İMO-14	Real	4.50	0.01	44.2	21.8	39.0	1.88	1.00	CL
İMO-7	Yüreğir E5	3.00	0.06	53.4	22.2	37.0	1.94	0.60	CH
İMO-13	Çınarlı Mh.	4.50	0.023	45.0	19.6	43.0	1.86	0.50	CL
İMO-25	Cumhuriyet	3.00	0.002	59.8	14.7	39.0	1.88	1.10	CH
AÇ 1	Sular	4.00	-	38.4	22.0	42.5	1.88	0.24	CL
AÇ 2	Kurtuluş M	4.00	0.15	-	-	-	1.82	0.06	SM
AÇ 5	Kurtuluş M	8.00	-	42.0	20.0	42.4	1.82	0.26	CL
AÇ 12	Gazipaşa	4.00	-	47.0	22.0	43.0	1.88	0.33	CL
AÇ 16	Mavi Bul.	2.00	-	56.0	28.4	40.1	1.91	0.63	CH
AÇ 20	Demirköprü	4.00	-	46.0	22.0	40.7	1.92	0.21	CL
AÇ 21	Kurtuluş M	4.50	-	62.0	26.0	40.9	1.92	0.92	CH
AÇ 23	M.Akif Ersoy	2.20	0.44	-	-	45.0	1.89	0.11	SW
AÇ 25	K.Karabekir	4.50	-	48.8	24.0	43.1	1.86	0.84	CL
AÇ 29	Kıyı boyu	3.00	-	44.2	21.0	44.0	1.91	0.91	CL
AÇ 58	PTT Evleri	3.50	-	40.8	18.6	39.5	1.89	0.28	CL
AÇ 61	Real güneyi	6.00	-	48.6	19.6	41.6	1.85	1.01	CL
AÇ 65	Ç.Ü.Tarla	4.00	-	45.2	16.3	46.5	1.87	0.89	CL
<i>Değer Aralığı</i>				38-67	14-33	21-47	1.6-2.2	0.06-1.10	

4.3.4.1.(2). Kivam Özellikleri

Kivam limitlerini belirlemeye yönelik olarak yapılan deneyler hem sondajlardan elde edilen örnekler üzerinde ve hem de yüzey kazılarından alınmış örselenmiş örnekler üzerinde yapılmıştır. Sondajlardan elde edilen numunelerden elde edilen sonuçlar “Sondaj Çalışmaları” başlığı altındaki bölümde ayrıca ele alınmıştır. Araştırma çukurlarından ve incelenen veri grubuna ait inceleme noktalardan elde edilmiş kivam limiti değerleri de Çizelge 4.61’de sunulmuştur. Bunlarla birlikte sondajlı veri grupları içerisinde incelenen lokasyonlardan elde edilmiş kivam limiti değerleri mevki ve mahalle bazında Çizelge 4.62’de verilmiştir.

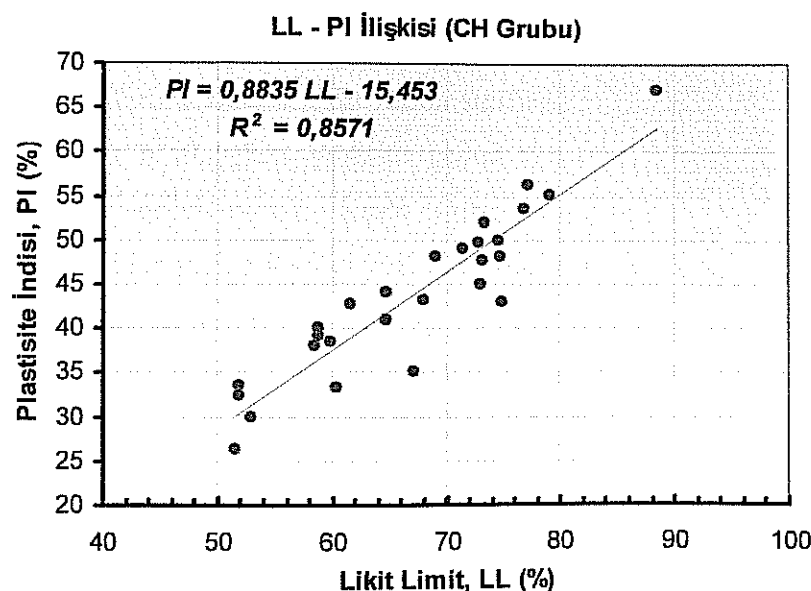
Çizelge 4.62. Veri gruplarından elde edilmiş kivam parametreleri ve plastisite tanımları.

Yer	Likit Limit, LL	Plastik Limit, PL	Plastisite İndisi, PI	Plastisite Tanımı	Zemin Sınıfları
Küçük Dikili	61.7	19.0	42.7	Çok Plastik	CH
“	77.1	20.8	56.3	Çok Plastik	CH
“	73.3	21.3	52.0	Çok Plastik	CH
Akkapı Mah	40.0	17.7	22.3	Plastik	CL
“	32.0	15.5	16.5	Plastik	CL
“	49.0	23.0	26.0	Plastik	CL
“	53.0	23.0	30.0	Plastik	CL
Hurmalı Mah.	67.2	32.1	35.1	Plastik	CH
“	74.8	26.7	48.1	Çok Plastik	CH
“	75	32.1	42.9	Çok Plastik	CH
“	73	27.9	45.1	Çok Plastik	CH
K.Sanayi Sitesi	69.0	20.9	48.1	Çok Plastik	CH
“	74.6	24.6	50.0	Çok Plastik	CH
Cemalpaşa Mah.	29.0	17.3	11.7	Az Plastik	CL
“	36.0	16.6	19.4	Plastik	CL
Köprülü Mah.	64.8	20.8	44.0	Çok Plastik	CH
Kurtuluş Mah.	72.8	23.1	49.7	Çok Plastik	CH
Eski Seyhan Bld.	58.5	20.4	38.1	Plastik	CH
Gazipaşa Mah.	28.4	18.1	10.3	Az Plastik	CL
“	36.3	16.3	20.0	Plastik	CL
“	40.6	17.5	23.1	Plastik	CL
“	41.2	14.0	27.2	Plastik	CL
Sümerbank Arazi	46.8	24.1	22.2	Plastik	CL
Gümrtük	34.3	13.0	21.3	Plastik	CL
Gülbahçe Mah.	43.0	18.0	25.0	Plastik	CL
“	35.0	18.0	17.0	Plastik	CL
Aslandamı Mev.	52.0	18.5	33.5	Plastik	CH
“	68.0	24.9	43.1	Çok Plastik	CH
“	73.2	25.4	47.8	Çok Plastik	CH
“	88.5	21.5	67.0	Çok Plastik	CH
“	79.0	23.8	55.2	Çok Plastik	CH
Değer Aralığı	28 - 89	13 - 33	10 - 67		

Plastisite indisi değerleri incelendiğinde Leonards (1962) sınıflamasına göre kil zeminlerin büyük çoğunluğunun plastik ve çok plastik zemin grubunda yer aldıkları görülür (Çizelge 4.63). Yapılan kıvam limit deney sonuçları ile veri gruplarından elde edilen kıvam parametreleri plastisite indisi ile likit limit değerleri arasında doğrusal ve oldukça anlamlı ilişkilerin olduğunu ortaya koymuştur. Bu incelemelerde CH grubu alüvyon killeri ile CL grubu alüvyon killeri ayrı ayrı ele alınmışlardır. CH grubu killer için plastisite indisi (PI), likit limit (LL) ilişkisi Şekil 4.97'de ve CL grubu killer için Şekil 4.98'de verilmiştir.

Çizelge 4.63. İnce taneli zeminlerin plastisite derecesi sınıflamaları (Leonards, 1962).

<i>Plastisite İndisi, PI (%)</i>	<i>Plastisite Tanımı</i>
0 – 5	Plastisik Değil (NP)
5 – 15	Az plastik
15 – 40	Plastik
> 40	Çok Plastik



Şekil 4.97. CH grubu alüvyon killeri için ortaya konulan PI – LL ilişkisi

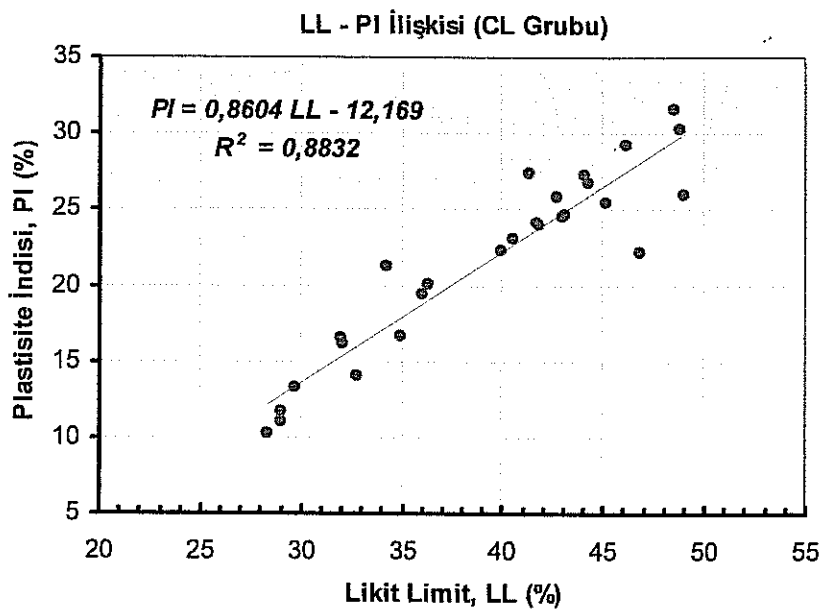
CH grubu alüvyon killeri için;

$$PI = 0,8835 LL - 15,453 \quad (4.13)$$

ve, CL grubu alüvyon killeri için;

$$PI = 0,8604 LL - 12,169 \quad (4.14)$$

bağıntıları ile elde ifade edilen ilişkiler elde edilmiştir.



Şekil 4.98. CL grubu alüvyon killeri için ortaya konulan PI – LL ilişkisi.

4.3.4.2. Mekanik Özellikleri

Alüvyon çökellerinin birden fazla zemin sınıfında yer alan türde çeşitlilik göstermesi mekanik özelliklerinin de değişken olmasına neden olmaktadır. CH ve CL türü zeminlerde içsel sürtünme açısı genel olarak zemin içerisinde var olan kum ve çakıl boyutu malzemelerden kaynaklanırken SW-SM türü iri taneli zeminlerde kohezyonun önüne geçen parametre olmaktadır. Bu çalışmada daha çok çalışma kapsamında elde edilen bulgular ve sonuçlar sunulmaya çalışıldığından veri gruplarına ait diğer mekanik parametreler CBS çalışmaları kapsamında oluşturulmuş veri tabanlarında depo edilmiştir. Bunun yanında bu çalışma kapsamında yapılan sondajlardan elde edilen örselenmemiş ince taneli zemin örnekleri üzerinde yapılan çok sayıdaki serbest basınç dayanımı deney sonuçları ve bunların değerlendirmeleri “4.4. Sondaj Çalışmaları” başlıklı bölümde ayrıntılı olarak ele alınmıştır. Araştırma çukuru (AC) olarak incelenen yüzey kazılarından alınmış örselenmemiş numuneler üzerinde yapılan kesme kutusu ve serbest basınç dayanımı deneylerinden elde edilmiş olan kayma dayanımı parametreleri de daha önce Çizelge 4.61’de verilmiştir.

4.3.4.3. Konsolidasyon Özellikleri

Daha önce de belirtildiği gibi Seyhan nehrinin taşkın çökelleri alüvyona ait kil ve silt türü ince taneli malzemeyi oluşturmaktadır. Su tablasının yüzeye yakın ve çökellerin oldukça

genç olmaları, herhangi bir diyajenez evresi geçirmemiş olmaları gibi sebepler alüvyona ait killi birimlerin konsolidasyon açısından önem kazanmalarına neden olmaktadır.

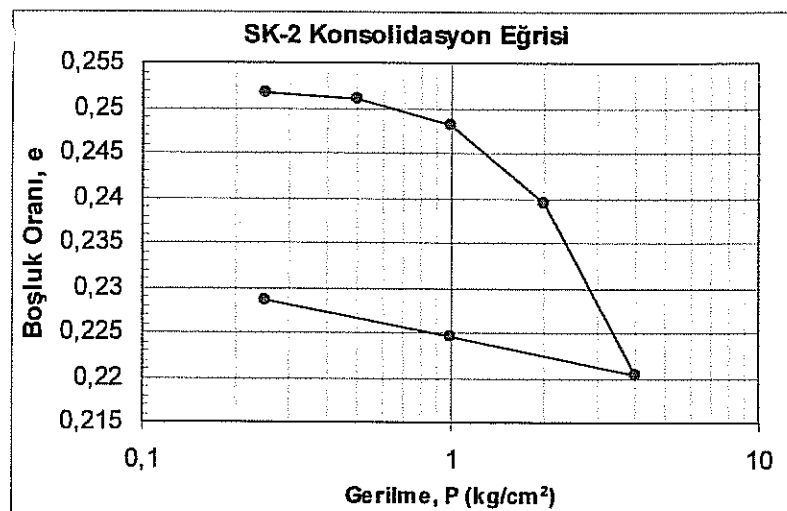
Çalışmanın bu bölümünde Adana ili yerleşim alanı içerisinde, bu çalışma kapsamında yapılan sondajlardan elde edilen örselenmemiş numuneler üzerinde gerçekleştirilen toplam 8 adet konsolidasyon deneyine ait değerlendirilmiş sonuçlar yer almaktadır.

Başak Mahallesi’nde yapılan SK-2 sondajında kesilen alüyon kili CL ve CH zemin sınıfındadır. CH zemin grubundaki seviyeden alınan örselenmemiş numune üzerinde yapılan konsolidasyon deneyi ile Çizelge 4.64’de gösterilen konsolidasyon parametreleri elde edilmiştir.

Çizelge 4.64. SK-2 sondajına ait (11.50-12.00 m.) konsolidasyon deney parametreleri.

<i>Gerilme (kg/cm²)</i>	<i>Gerilme Artışı</i>	<i>Böşluk Oranı, e</i>	<i>a_v (cm²/kg)</i>	<i>m_v (cm²/kg)</i>
0	0	0,2517	0,00000	0,000
0,25	0,25	0,2516	0,00050	0,000
0,50	0,25	0,2511	0,00200	0,002
1,00	0,50	0,2482	0,00576	0,005
2,00	1,00	0,2394	0,00876	0,007
4,00	2,00	0,2204	0,00951	0,008
1,00	3,00	0,2245	0,00138	0,001
0,25	0,75	0,2285	0,00534	0,004

Böşluk oranı (e) – logaritma gerilme (log P) şeklinde çizilen konsolidasyon eğrisi ise Şekil 4.99’da görüldüğü gibi elde edilmiştir.



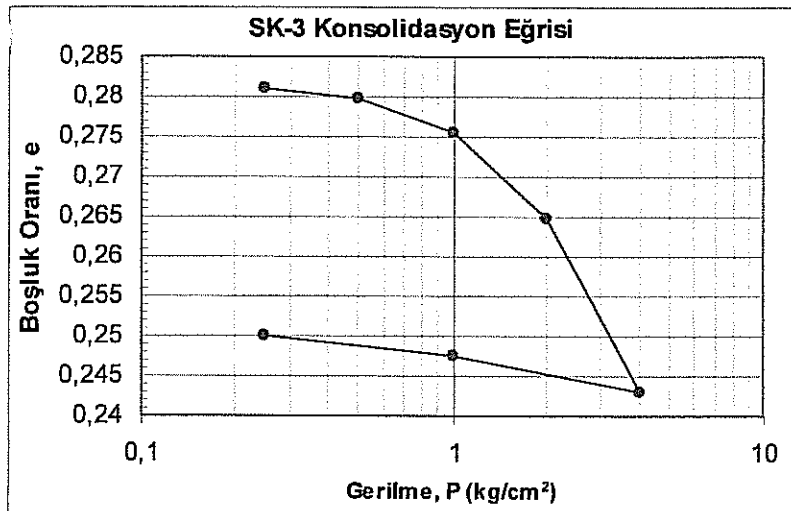
Şekil 4.99. SK-2 sondajına ait konsolidasyon eğrisi.

Bahçelievler Mahallesi’nde yapılan SK-3 sondajında kesilen CL sınıfındaki zeminden alınan örselenmemiş numune üzerinde yapılan konsolidasyon deneyi ile Çizelge 4.65’de gösterilen konsolidasyon parametreleri elde edilmiştir.

Çizelge 4.65. SK-3 sondajına ait (11.50-12.00 m) konsolidasyon deney parametreleri.

<i>Gerilme (kg/cm²)</i>	<i>Gerilme Artışı</i>	<i>Böşluk Oranı, e</i>	<i>a_v (cm²/kg)</i>	<i>m_v (cm²/kg)</i>
0	0	0,2820	0,00000	0,000
0,25	0,25	0,2810	0,00410	0,003
0,50	0,25	0,2798	0,00462	0,004
1,00	0,50	0,2755	0,00872	0,007
2,00	1,00	0,2647	0,01077	0,008
4,00	2,00	0,2429	0,01090	0,009
1,00	3,00	0,2475	0,00154	0,001
0,25	0,75	0,2501	0,00342	0,003

SK-3 sondajı için *böşluk oranı (e) – logaritma gerilme (log P)* şeklinde çizilen konsolidasyon eğrisi ise Şekil 4.100’de görüldüğü gibi elde edilmiştir.



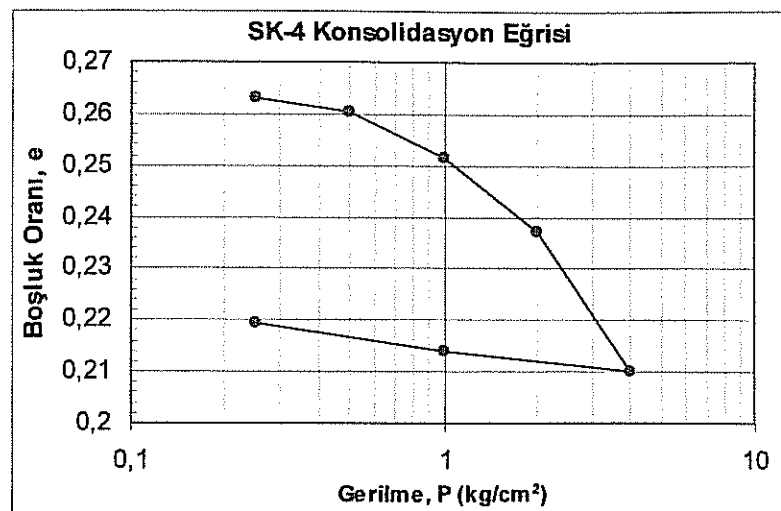
Şekil 4.100. SK-3 sondajına ait konsolidasyon eğrisi.

Çamlıbel Mahallesi’nde yapılan SK-4 sondajında kesilen CL sınıfındaki zeminden alınan örselenmemiş numune üzerinde yapılan konsolidasyon deneyi ile Çizelge 4.66’da gösterilen konsolidasyon parametreleri elde edilmiştir.

Çizelge 4.66. SK-4 sondajına ait (2.50-3.00 m) konsolidasyon deney parametreleri.

<i>Gerilme (kg/cm²)</i>	<i>Gerilme Artışı</i>	<i>Boşluk Oranı, e</i>	<i>a_v (cm²/kg)</i>	<i>m_v (cm²/kg)</i>
0	0	0,2649	0,00000	0,000
0,25	0,25	0,2632	0,00708	0,006
0,50	0,25	0,2604	0,01113	0,009
1,00	0,50	0,2515	0,01771	0,014
2,00	1,00	0,2371	0,01442	0,012
4,00	2,00	0,2099	0,01360	0,011
1,00	3,00	0,2141	0,00139	0,001
0,25	0,75	0,2192	0,00675	0,006

SK-4 sondajı için *boşluk oranı (e) – logaritma gerilme (log P)* şeklinde çizilen konsolidasyon eğrisi ise Şekil 4.101'de görüldüğü gibi elde edilmiştir.



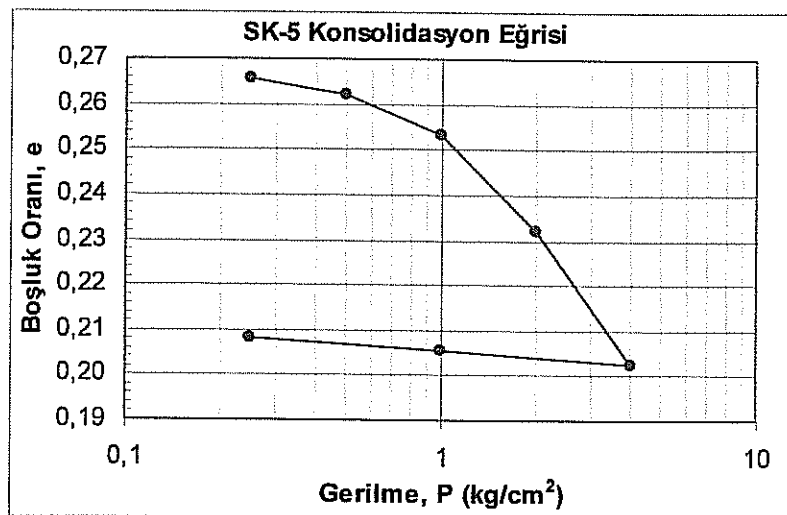
Şekil 4.101. SK-4 sondajına ait konsolidasyon eğrisi.

Yenidoğan Mahallesi’nde yapılan SK-5 sondajında kesilen CH sınıfındaki zeminden alınan örselenmemiş numune üzerinde yapılan konsolidasyon deneyi ile Çizelge 4.67’de gösterilen konsolidasyon parametreleri elde edilmiştir.

SK-5 sondajı için *boşluk oranı (e) – logaritma gerilme (log P)* şeklinde çizilen konsolidasyon eğrisi ise Şekil 4.102’de görüldüğü gibi elde edilmiştir.

Çizelge 4.67. SK-5 sondajına ait (9.00-9.55 m) konsolidasyon deney parametreleri.

<i>Gerilme (kg/cm²)</i>	<i>Gerilme Artışı</i>	<i>Boşluk Oranı, e</i>	<i>a_v (cm²/kg)</i>	<i>m_v (cm²/kg)</i>
0	0	0,2670	0,00000	0,000
0,25	0,25	0,2654	0,00608	0,005
0,50	0,25	0,2620	0,01368	0,011
1,00	0,50	0,2530	0,01799	0,014
2,00	1,00	0,2319	0,02116	0,017
4,00	2,00	0,2022	0,01482	0,012
1,00	3,00	0,2053	0,00101	0,001
0,25	0,75	0,2083	0,00405	0,003



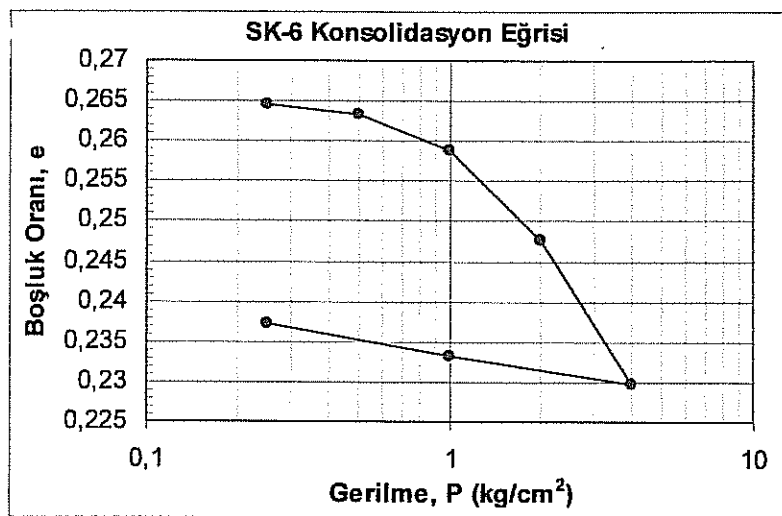
Şekil 4.102. SK-5 sondajına ait konsolidasyon eğrisi.

Levent Mahallesi’nde yapılan SK-6 sondajında kesilen CL sınıfındaki zeminden alınan örselenmemiş numune üzerinde yapılan konsolidasyon deneyi ile Çizelge 4.68’de gösterilen konsolidasyon parametreleri elde edilmiştir.

Çizelge 4.68. SK-6 sondajına ait (11.50-12.00 m) konsolidasyon deney parametreleri.

<i>Gerilme (kg/cm²)</i>	<i>Gerilme Artışı</i>	<i>Boşluk Oranı, e</i>	<i>a_v (cm²/kg)</i>	<i>m_v (cm²/kg)</i>
0	0	0,2657	0,00000	0,000
0,25	0,25	0,2646	0,00456	0,004
0,50	0,25	0,2633	0,00506	0,004
1,00	0,50	0,2587	0,00911	0,007
2,00	1,00	0,2476	0,01114	0,009
4,00	2,00	0,2296	0,00899	0,007
1,00	3,00	0,2333	0,00122	0,001
0,25	0,75	0,2373	0,00540	0,004

SK-6 sondajı için *boşluk oranı* (e) – *logaritma gerilme* ($\log P$) şeklinde çizilen konsolidasyon eğrisi ise Şekil 4.103’de görüldüğü gibi elde edilmiştir.



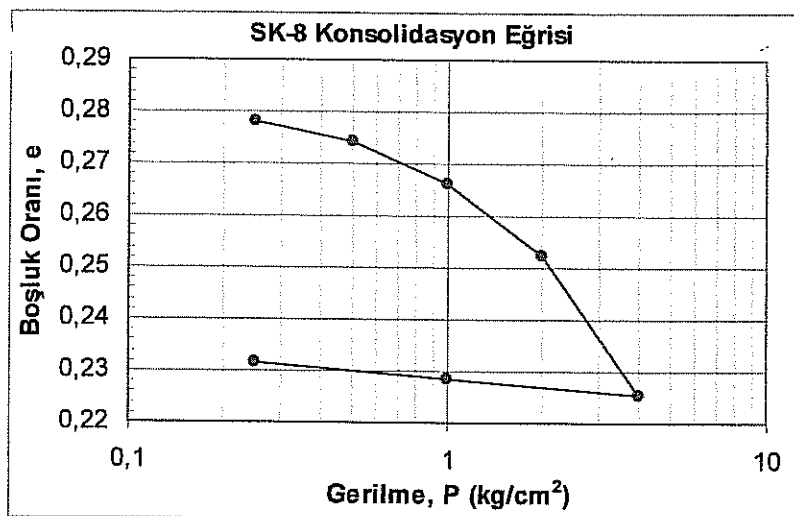
Şekil 4.103. SK-6 sondajına ait konsolidasyon eğrisi.

Narlıca Mahallesi’nde yapılan SK-8 sondajında kesilen CH sınıfındaki zeminden alınan örselenmemiş numune üzerinde yapılan konsolidasyon deneyi ile Çizelge 4.69’da gösterilen konsolidasyon parametreleri elde edilmiştir.

Çizelge 4.69. SK-8 sondajına ait (5.50-6.00 m) konsolidasyon deney parametreleri.

Gerilme (kg/cm^2)	Gerilme Artışı	Boşluk Oranı, e	a_v (cm^2/kg)	m_v (cm^2/kg)
0	0	0,2803	0,00000	0,000
0,25	0,25	0,2782	0,00871	0,007
0,50	0,25	0,2743	0,01536	0,012
1,00	0,50	0,2661	0,01639	0,013
2,00	1,00	0,2522	0,01396	0,011
4,00	2,00	0,2255	0,01332	0,011
1,00	3,00	0,2283	0,00094	0,001
0,25	0,75	0,2317	0,00444	0,004

SK-8 sondajı için *boşluk oranı* (e) – *logaritma gerilme* ($\log P$) şeklinde çizilen konsolidasyon eğrisi ise Şekil 4.104’de görüldüğü gibi elde edilmiştir.



Şekil 4.104. SK-8 sondajına ait konsolidasyon eğrisi.

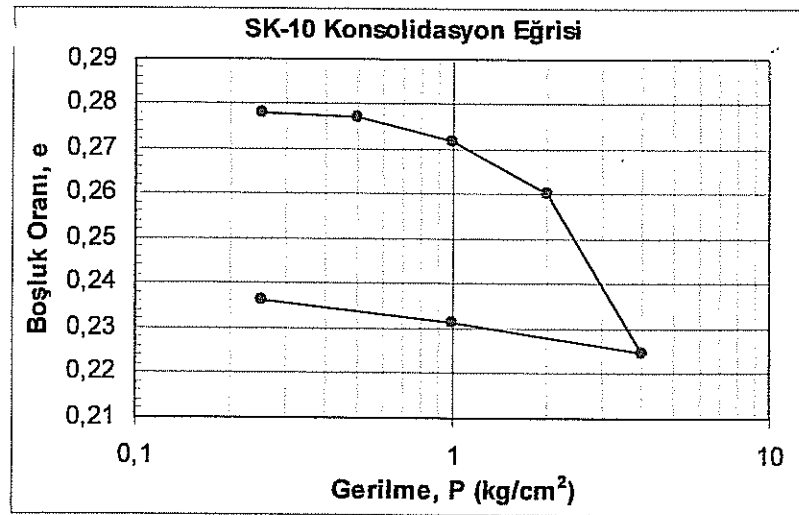
Yeşiloba Mahallesi’nde yapılan SK-10 sondajında kesilen CH sınıfındaki zeminden alınan örselenmemiş numune üzerinde yapılan konsolidasyon deneyi ile Çizelge 4.70’de gösterilen konsolidasyon parametreleri elde edilmiştir.

Çizelge 4.70. SK-10 sondajına ait (5.50-6.00 m) konsolidasyon deney parametreleri.

<i>Gerilme (kg/cm2)</i>	<i>Gerilme Artışı</i>	<i>Boşluk Oranı, e</i>	a_v (cm^2/kg)	m_v (cm^2/kg)
0	0	0,2783	0,00000	0,000
0,25	0,25	0,2779	0,00153	0,001
0,50	0,25	0,2773	0,00256	0,002
1,00	0,50	0,2716	0,01150	0,009
2,00	1,00	0,2604	0,01112	0,009
4,00	2,00	0,2246	0,01790	0,014
1,00	3,00	0,2314	0,00226	0,002
0,25	0,75	0,2361	0,00631	0,005

SK-10 sondajı için *boşluk oranı* (e) – *logaritma gerilme* ($\log P$) şeklinde çizilen konsolidasyon eğrisi ise Şekil 4.105’de görüldüğü gibi elde edilmiştir.

Mirzaçelebi Mahallesi’nde yapılan SK-17 sondajında kesilen SC sınıfındaki zeminden alınan örselenmemiş numune üzerinde yapılan konsolidasyon deneyi ile Çizelge 4.71’de gösterilen konsolidasyon parametreleri elde edilmiştir.

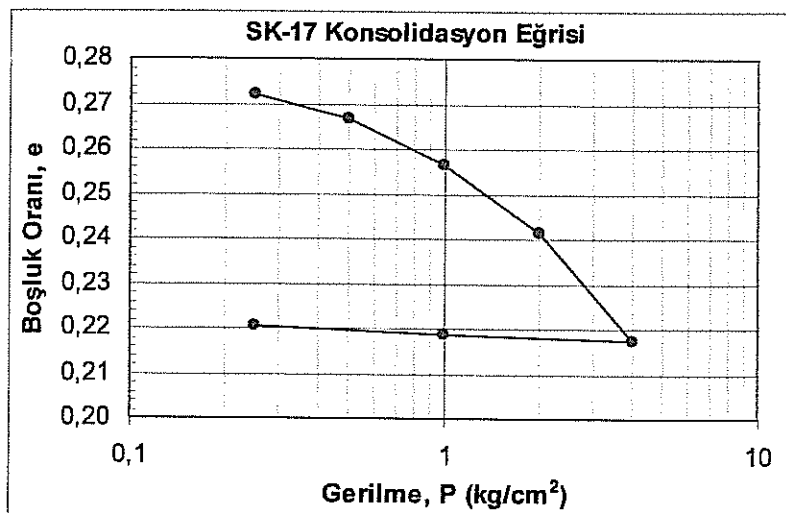


Şekil 4.105. SK-10 sondajına ait konsolidasyon eğrisi.

Çizelge 4.71. SK-17 sondajına ait (9.00-9.50 m) konsolidasyon deney parametreleri.

Gerilme (kg/cm ²)	Gerilme Artışı	Boşluk Oranı, e	a _v (cm ² /kg)	m _v (cm ² /kg)
0	0	0,2755	0,00000	0,000
0,25	0,25	0,2718	0,01480	0,012
0,50	0,25	0,2666	0,02092	0,016
1,00	0,50	0,2564	0,02041	0,016
2,00	1,00	0,2412	0,01518	0,012
4,00	2,00	0,2173	0,01199	0,010
1,00	3,00	0,2188	0,00051	0,000
0,25	0,75	0,2204	0,00221	0,002

SK-17 sondajı için *boşluk oranı (e)* – *logaritma gerilme (log P)* şeklinde çizilen konsolidasyon eğrisi ise Şekil 4.106'da görüldüğü gibi elde edilmiştir.



Şekil 4.106. SK-17 sondajına ait konsolidasyon eğrisi.

SK-17 sondajındaki SC zemin grubuna ait konsolidasyon eğrisi ve deney parametreleri dışında, deneyi yapılan CL ve CH türü alüvyon killerinden elde edilen değerlerin birbirlerine kısmen yakın oldukları görülmektedir. Konsolidasyon deney eğrileri kullanılarak elde edilmiş olan ön konsolidasyon basıncları ile zemin sıkışma (C_c) ve kabarma indisleri (C_s) toplu halde Çizelge 4.72.'de sunulmuştur.

Çizelge 4.72. İncelenen sondaj noktaları için konsolidasyon eğrilerinden elde edilmiş olan bazı konsolidasyon parametreleri.

Lokasyon	Zemin Türü	Ön kons. basıncı (kg/cm ²)	Sıkışma indisı, C_c	Şişme indisı, C_s
SK-2	CH	1.55	0.0498	0.00830
SK-3	CL	1.50	0.0540	0.00598
SK-4	CL	1.45	0.0691	0.00772
SK-5	CH	1.30	0.0843	0.00506
SK-6	CL	1.42	0.0483	0.00639
SK-8	CH	1.33	0.0674	0.00514
SK-10	CH	1.64	0.0781	0.00955
SK-17	SC	1.12	0.0649	0.00257
<i>Değer Aralığı</i>		<i>1.10 - 1.65</i>	<i>0.048 - 0.085</i>	<i>0.0025 - 0.0083</i>

Yapılan deneyler ön konsolidasyon basıncı değerlerinin CH ve CL türü killer için 1.30 ile 1.64 kg/cm² değerleri arasında değişmekte olduğunu göstermektedir. İncelenen birimlerin geneli için sıkışma indisleri 0.048 ile 0.085 arasında ve şişme indisleri 0.0025 ile 0.0083 arasında değişmektedir.

4.3.4.4. Taşıma Gücü Özellikleri

Alüvyonlarda yapılan taşıma gücü hesaplamalarında 2 ayrı yol benimsenmiştir. Araştırma çukurları için taşıma gücü değerleri laboratuar deneylerine bağlı olarak belirlenmiş olan birim hacim ağırlık, kohezyon ve içsel sürtünme açısı parametreleri kullanılarak Terzaghi ve Peck (1967) temel taşıma gücü bağıntısıyla bulunmuştur. Bu amaçla diğer jeolojik birimler için yapılan taşıma gücü hesaplamalarında olduğu gibi, zemin yüzeyinden 3 m derinlikte 2 m genişliğinde ve 3 m uzunluğunda dikdörtgen şekilli bir temel model alınmıştır. Temel tipi dikdörtgen olduğu için temel şekil katsayıları da her veri noktası için aynı olmuştur. Taşıma gücü değerlendirmelerinin tamamında zemin koşullarının kuru şartlarda olduğu varsayılmıştır. Güvenlik katsayısı değerleri de tüm veri noktaları için 3

olarak alınmıştır. Sonuçta bu çalışma kapsamında incelenen araştırma çukurları için Çizelge 4.73'de gösterilmiş olan taşıma gücü değerleri elde edilmiştir.

Çizelge 4.73. Alüvyon yüzey kazalarından elde edilmiş olan taşıma gücü değerleri.

<i>Lokasyon</i>	<i>B.h.a (gr/cm³)</i>	<i>Kohezyon (kg/cm²)</i>	<i>İçsel sırtlanma açısı, φ</i>	<i>Sınır taşıma gücü (kg/cm²)</i>	<i>Emin taşıma gücü (kg/cm²)</i>
AÇ 1	1.88	0.24	4	2.73	0.91
AÇ 2	1.82	0.06	18	4.99	1.66
AÇ 5	1.86	0.07	26	6.05	2.02
AÇ 12	1.88	0.33	4	3.42	1.14
AÇ 16	1.71	0.22	15	5.50	1.83
AÇ 20	1.92	0.21	12	4.80	1.60
AÇ 21	1.92	0.92	0	6.52	2.17
AÇ 23 (GM)	2.01	0.03	28	14.01	4.67
AÇ 25	1.86	0.84	0	5.98	1.99
AÇ 29	1.91	0.91	0	6.45	2.15
AÇ 58	1.89	0.28	0	2.38	0.79
AÇ 61	1.76	1.52	0	10.34	3.45
AÇ 65	1.87	0.89	0	6.31	2.10

Yapılan sondajlardan ve sondajlı veri gruplarından elde edilen SPT darbe sayılarına göre yapılan taşıma gücü hesaplamaları diğer birimlerde olduğu gibi CBS kapsamında değerlendirilmiş ve aynı şekilde CBS veri bankasında depolanmıştır. Bu yüzden bu tür bilgiler sadece bu çalışma ile birlikte sunulmuş olan CBS dosyalarında yer almaktadır.

4.3.4.5. Sıvılaşma Özellikleri

Adana ili alüvyonları için stabilité anlamında önem taşıyan konuların zemin şişme ve büzülmesi ile sıvılaşma olduğu düşünülmektedir. Zeminin sıvılaşma özellikleri, yapısal anlamda yıkıcı etkiler doğurabildiğinden bu bölümde ele alınarak irdelenmiştir.

Kuvvetli yer hareketleri neticesinde suya doygun kumlu zeminlerde meydana gelen ve üzerinde bulunan binalarda yıkıcı yapısal hasarlara neden olan bir olay zemin sıvılaşmasıdır. Zemin sıvılaşması ile ilgili kriterler bir çok araştırmacı tarafından incelenerek ortaya konmuştur. Bu konuda farklı ülkelerin de kendilerine özgü kriterler ortaya koydukları da bilinmektedir. Bunlara örnek olarak Çin Kriteri verilebilir.

Ceyhan depremi sonrası bölgede meydana gelen sıvılaşma olgularının incelenmesi, sıvılaşan zeminlerde ince-orta kum boyutundaki malzemelerin % 82-93 oranında olduğunu

ortaya koymuştur (Ulusay ve diğ., 2000). Aynı çalışma, sivilaşmanın oluşturduğu zeminlerin büyük çoğunluğunun ince tane muhtevası az olan SP grubu kumlu zeminler olduğunu ve birim hacim ağırlıklarının $17 - 19 \text{ kN/m}^3$ arasında değişmekte olduğunu belirtmektedir.

4.3.4.5.(1) Sivilaşmanın Oluşması İçin Gereken Kriterlerin Belirlenmesi

Bir yerleşim alanını etkileyen her deprem, zemin sivilaşabilir nitelikte olsa bile sivilaşma oluşturmayabilir. Bu bakımdan inceleme alanında sivilaşma oluşturabilecek en küçük deprem büyüklüğünün bilinmesi gerekir. İnceleme alanından deprem oluşturacak faya olan en kısa uzaklığın bilinmesi durumunda aşağıdaki bağıntı kullanılarak en küçük Richter magnitüdü belirlenebilmektedir;

$$M = 0.18 + 9.2 * 10^{-8} L + 0.90 \log L, \text{ (Ercan, 2001);} \quad (4.15)$$

Bu bağıntıda,

M : depremin magnitüd büyüklüğü,

L : deprem oluşturabilecek faya olan en yakın uzaklık (cm cinsinden alınmalıdır) değerleridir.

Belirli bir büyüklüğe sahip olan depremin sivilaşma oluşturabileceği uzaklığın önceden belirlenmiş olması sivilaşma analizleri açısından önemli olmaktadır. Ercan (2001) bu amaçla Tatsuoka (1991) bağıntısının kullanılmasını önermektedir. Bağıntı şu eşitlikle ifade edilmektedir;

$$D = 10^{0.77M-3.6} \quad (4.16)$$

Bağıntıdaki D , sivilaşma oluşturabilecek uzaklık km birimi ile ifade olunmaktadır.

Deprem etkisiyle sivilaşmanın olabileceği uzaklığı belirlemeye yönelik önerilen bir diğer bağıntı Wang ve Law (1994) bağıntısı olup Ercan (2001) tarafından şöyle verilmiştir.

$$D = 0.82 * 10^{0.862(M-5)} \quad (4.17)$$

1998 Ceyhan depremine benzer ancak büyüklüğü 6.0 ile 6.8 arasında değişimilecek olan bir başka depremin sivilaşma açısından Adana'ya etkisini yukarıda verilen bağıntılar yardımıyla belirlendiğinde Çizelge 4.74'de elde edilen değerlerle karşılaştırılmaktadır. Bu çizelge sivilaşma analizi açısından Adana için önemli olacak deprem magnitüdünün saptanması açısından değer taşımaktadır. Yine çizelgedeki değerler ile Adana ili yerleşim alanına en yakın deprem üretebilecek fayın uzaklığı değerleri karşılaştırılırsa hangi mesafeden sonrasında sivilaşma açısından tehlikeli olduğu yorumu yapılabilir. Ceyhan depremini üreten Misis fayının Adana'ya olan en yakın ortalama uzaklığı 25 km (2.500.000 cm) olarak alındığında, Ercan (2001) bağıntısı kullanılarak sivilaşma oluşturacak deprem büyüklüğü 6.2 olarak bulunur;

$$M = 0.18 + 9.2 \cdot 10^{-8} \cdot 2500000 + 0.90 \log 2500000$$

$$M = 6.2$$

Çizelge 4.74. Deprem magnitüdune bağlı olarak sıvılaşmaya oluşabilecek alanın faydan uzaklıklarının, D (km cinsinden) hesaplanan değerleri.

Önerilen Bağıntı	Deprem Magnitüdü, (M)								
	6.0	6.1	6.2	6.3	6.4	6.5	6.6	6.7	6.8
Tatsuoka (1991)	10.47	12.50	14.93	17.82	21.28	25.40	30.34	36.22	43.25
Wang ve Law (1994)	5.96	7.28	8.88	10.82	13.20	16.10	19.63	23.94	29.20

Çizelge 4.74, Adana yerleşim alanı için sıvılaşma oluşturabilecek bir depremin öngörülen faydan uzaklısına göre 6.5 (Tatsuoka, 1991 bağıntısından elde edilen sonuç) ile 6.7 (Wang ve Law, 1994 bağıntısından elde edilen sonuç) büyüklik değerleri arasında olmasını gerektirmektedir. Bu sonuç, sıvılaşma analizleri için önemli bir hususu ortaya koymaktadır. Zira zeminin sıvılaşabilir özellikleri olsa bile yeterli magnitüd büyüklüğüne sahip olmayan bir depremin sıvılaşma oluşturması beklenmemelidir. Yukarıda bahsedilen tespitlerin ardından 2. aşama olarak zeminin sıvılaşma olgusu irdelenmelidir. 1998 Ceyhan depreminde de görülmüş olduğu gibi, deprem kaynak alanı uzaklışı ve deprem büyüklüğünün yeterli olmaması nedeniyle Adana ili yerleşim alanı içerisinde hiçbir sıvılaşma olgusu meydana gelmemiştir. Bunda ileride bahsedilecek çeşitli hususların da rol oynadığı belirlenmiştir.

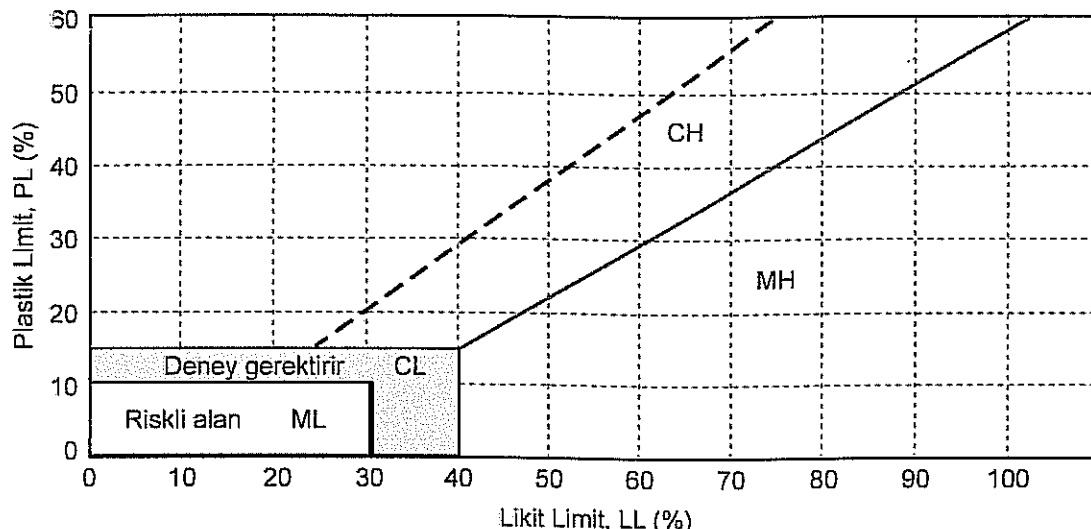
Daha önce de belirtildiği gibi sıvılaşma analizlerinde kullanılan çok çeşitli yöntemler ve kriterler bulunmaktadır. Örneğin, Finn ve ark., (1994; Çetin ve diğ., 2002'den) tarafından geliştirilmiş olan ve "Çin Kriterleri" adı verilen metod, tahmin kalitesi konusunda halen bir görüş birliği kurulamamış olmasına rağmen özellikle son dönemde yaygın olarak kullanılır durumdadır. Bu kritere göre;

1- $< 0.005 \text{ mm}'\text{den küçük tane (kil)} \% 15'$ den küçükse

2- Likit limit $\leq \% 35$ ise

3- Su muhtevası likit limit değerinin $\% 90$ 'ına eşit ya da daha fazlaysa bu tür zeminler potansiyel olarak sıvılaşabilirler.

TS 1500 standarı da siltlerle, siltli, killi kumların sıvılaşma açısından ön değerlendirilebilmesi amacıyla kullanılmak üzere Şekil 4.107'de gösterilmiş olan plastisite kartını önermiştir. Buna göre ML grubunda yer alan zeminlerin sıvılaşma riski açısından irdelenmeleri gerekmektedir.



Şekil 4.107. Siltlerin sıvılaşma potansiyellerinin belirlenmesinde kullanılan plastisite kartı (TS 1500, 2000).

4.3.4.5.(2). Adana İli Yerleşim Alanı İçin Sıvılaşma Analizi

Bu çalışmada yapılan sıvılaşma analizleri için yukarıda daha önce “3. Materyal ve Metod” bölümünde anlatılan “Devirsel Gerilme Oranı Kriteri” modelini (bkz. Bölüm 3.2.10.2) kullanan bir bilgisayar programı Excel programlama kodları kullanılarak yapılmıştır. “Devirsel gerilme oranı” değeri Şekil 3.2 kullanılarak bulunup programa girilmektedir. Pik zemin ivmesi değeri ise o noktada yapılmış bir jeofizik çalışma varsa bulunmuş değer kullanılarak ya da literatürlerde de belirtilmiş olan bazı uygun değerler alınarak programda kullanılabilirichtetir. Bu değerlerin haricinde, sıvılaşma riski incelenen derinlik, deney ile belirlenmiş olan birim hacim ağırlığı, yeraltı su seviyesi ile araziden elde edilmiş SPT darbe sayısı değerleri programın kullandığı veriler kısmına girilecek diğer parametrelerdir. Program, yöntemin anlatıldığı teorik kısımda olduğu gibi, sıvılaşma olacak zemin için devirsel (döngüsel) kayma gerilmesi (sıvılaşma gerilmesi) değerinin depremin oluşturacağı devirsel kayma gerilmesine bölünmesiyle elde edilecek olan sıvılaşmaya karşı güvenlik sayısını vererek bu değeri sonuç kısmında sıvılaşma riski ile birlikte görüntülemektedir (Şekil 4.108).

Sıvılaşma açısından tehlike oluşturabilecek alanların tespiti amacıyla bu çalışma kapsamında alüvyon çökelleri içerisinde açılan 14 sondaj, 8 rezistivite ve 7 sismik etüt ile 37 yüzey kazısının değerlendirilmesi neticesinde sıvılaşma oluşturabilecek bir lokasyon belirlenmemiştir. Bu değerlendirmelerde aşağıda sıralanan gerekçeler ele alınmıştır;

	A	B	C	D	E	F	G	H	I	J	K
1 Devirsel Kayma Gerilmesi Kriterine Göre Sıvılaşma Risk Analizi											
2 Veriler											
3 İnceleme derinliği (m)	13,25										
4 Birim hacim ağırlığı (t/m^3)	1,7										
5 PİK zemin ivmesi (g)*	0,4										"(Hesaplanarak ya da tahmin edilerek belirlenecek)
6 Yeraltı su seviyesi (m)**	11										"(Tabaka ortası derinliğinin yss'ne olan yüksekliği alınacak)
7 SPT darbe sayısı (N)	12										
8 Devirsel gerilme oranı***	0,13										***(Devirsel gerilme oranı abagi kullanılarak bulunacak)
9											
10 Hesaplananlar											
11 Normal gerilme (t/m^2)	22,525										ELDE EDİLEN SONUÇ
12 Gerilme indirgeme faktörü (r_d)	0,80										
13 Etkiif gerilme (t/m^2)	11,525										SIVILASMA RİSKİ YÜKSEK
14 Düzeltme faktörü (C_d)	0,93										
15 Düzeltilmiş SPT-N (N_1)	11,22										
16 Depremle oluşacak kayma ger.	7,22										
17 Sıvılaşma gerilmesi (t/m^2)	1,50										
18 Sıvılaşma güvenlik sayısı, FS	0,21										
19											
Hazırlayan: Arş. Gör. İbrahim ÇOBANOĞLU											

Şekil 4.108. Sıvılaşma risk analizi için oluşturulmuş programa ait ekran görüntüsü ile girdi ve çıktı parametreleri.

- 1- Bu çalışmada kapsamında yapılan etütlerde, Seyhan nehrinin geçmiş biriktirdiği taşın ovası çökellerinin büyük bölümünün ince taneli (kil, siltli kil) malzemedenoluştugu tespit edilmiştir.
- 2- Üstte geçirimsiz kapak niteliginde yer alan alüvyon kili oldukça kalın (kimi yerde > 10 m) olup, içinde kalsifikasyona bağlı olarak gelişmiş düzensiz dağılımlı karbonat yumruları bulunmaktadır.
- 3- Sondajlarda kil içinde kum merceklerine rastlanmıştır. Ancak bunlar sıvılaşma oluşturabilecek kalınlıkta değildirler.
- 4- Yerleşim alanı içerisinde yeraltı su seviyesi kuzeyden güneye doğru sıqlasmaktadır. Alüvyonun kuzey kesimlerinde yeraltı su seviyesi 10 metreden daha derinlerde bulunmaktadır. Güneyde, yeraltı su seviyelerinin daha yüzeye yakın olmasına rağmen üstte bulunan ve kapak görevi yapan kalın kil çökelleri daha altta var olabilecek kum çökellerinin sıvılaşmasına imkan vermeyecektir. Böyle bir durumun meydana gelmesi söz konusu olsa bile sıvılaşmanın izlerini yüzeyde görmek mümkün olmayacak ancak binalarda oturmalarına bağlı hasarlar oluşabilecektir.
- 5- Daha önce de bahsedildiği gibi sıvılaşma olgusunun oluşabilmesi için gerekli olan kuvvetli yer hareketi büyüklüğünün 6.5 ve daha büyük olması gerekmektedir.

İnceleme alanı içerisinde, sivilaşma olgusu açısından risk oluşturabilecek bölgelerin belirlenebilmesi için bir diğer aşama olarak daha önceden yapılmış zemin araştırmalarına ait verilerin irdelenmesi benimsenmiştir. Bu amaçla alüvyon çökelleri içerisinde açılmış diğer sondajlı ve araştırma çukurlu etüt çalışmalarına ait zemin profilleri incelenmiş ve özellikle sivilaşma açısından uygun olan SW, SP ve ML türü zemin profilleri aranmıştır. Bunun sonucunda Köprülü Mahallesinde 1, Reşatbey Mahallesinde 1, Tepebağ Mahallesinde 1 ve Döşeme Mahallesinde 1 olmak üzere 4 lokasyon tespit edilmiştir. Bu lokasyonlara ait kuyu bilgileri Çizelge 4.75'de topluca sunulmuştur.

Sivilaşma analizleri neticesinde elde edilmiş parametreler ve sivilaşma risk tanımlamalarının lokasyonlara göre dağılımları Çizelge 4.76'da gösterilmiştir.

Çizelge 4.75. Sivilaşma analizleri kapsamında incelenen veri noktaları.

Yer No ve Adı	Koordinat	Zemin Türü	Tbk. Kalınlığı (m)	Doğal b.h.a. (kg/cm³)	Y.S.S (m)	SPT-N
1- Köprülü Mah	10304 D 98203 K	SP - SM	1.50 (6.7-8.2 m)	1.88	6.00	11
2- Reşatbey Mah		SM	2.50 (6.0-8.5 m)	1.74	6.00	25
3- Tepebağ Mah	07276 D 96490 K	SM	2.00 (4.5-6.5 m)	1.77	2.40	12
4- Döşeme Mah.	06704 D 96620 K	SP	4.00 (3.8-7.8 m)	1.84	5.00	13

Yapılan sivilaşma analizleri 1 (Köprülü Mah), 3 (Tepebağ Mah.) ve 4 (Döşeme Mah) numaralı noktalarda sivilaşma riskinin yüksek olduğunu ortaya koymuştur. Buna karşılık 2 (Reşatbey Mah.) numaralı nokta sivilaşmanın olmayacağı ancak 1.07 güvenlik sayısı değeri ile kritik duruma kısmen yakın sayılabilenek bir lokasyondur.

Çizelge 4.76. İncelenen veri noktaları için sivilaşma risk değerlendirmesi.

Veri Noktası	1	2	3	4
Derinlik (m)	7.50	7.50	5.50	6.00
SPT-N_1	9.92	23.35	13.60	12.81
Pik zemin ivmesi	0.28	0.28	0.28	0.28
Devirsel gerilme oranı	0.15	0.30	0.18	0.16
Sivilaşma gerilmesi (t/m^2)	1.89	3.47	1.21	1.61
Sivilaşma güvenlik katsayısı	0.54	1.07	0.48	0.57
Sivilaşma riski	Yüksek	Kritik	Yüksek	Yüksek

Sıvılaşma analizlerinde kullanılan program için pik zemin ivmesi değerleri Çizelge 4.77 kullanılarak belirlenmiştir. Bu çizelgede, episantırdan 20 km uzaklıkta ve 6.5 büyüklüğündeki deprem için öngörülmüş olan pik zemin ivmesi değeri 0.28 olarak alınmıştır.

Çizelge 4.77. Farklı araştırmacıların deprem episantırdan uzaklığa bağlı olarak oluşacak maksimum ivme (a_{maks}) değerleri (Kramer, 1996).

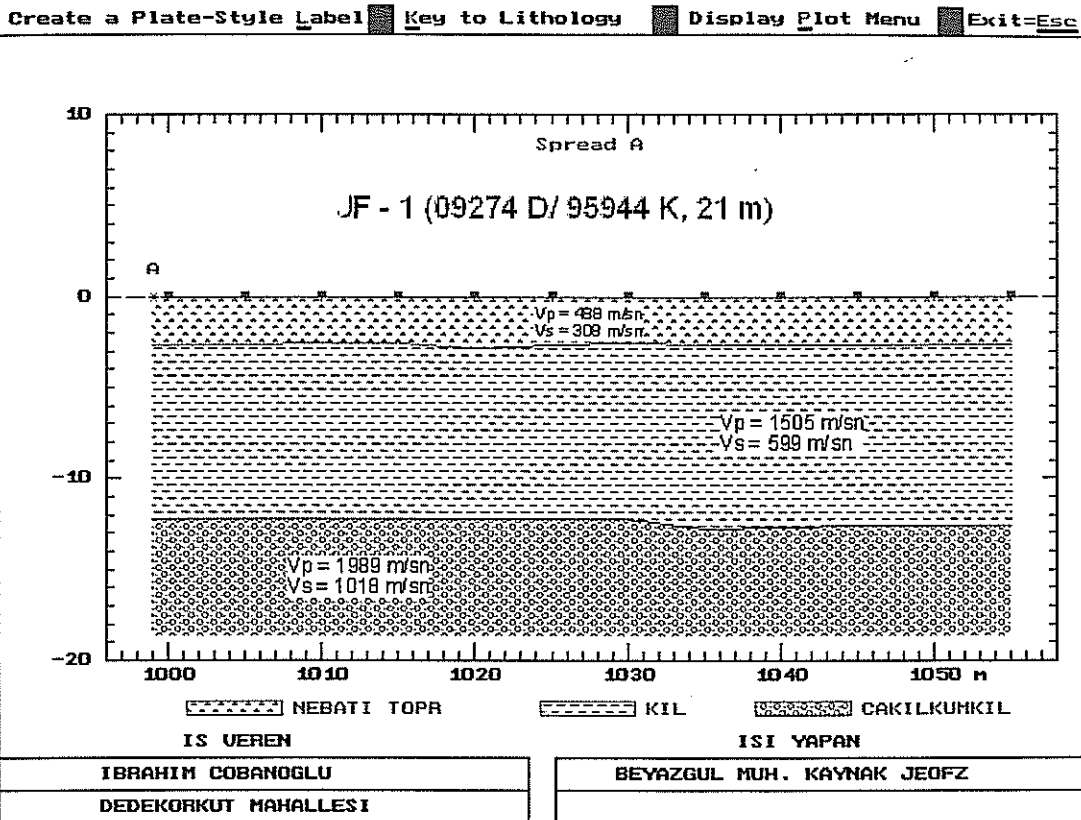
M	$\Delta = 10 \text{ km}$		$\Delta = 20 \text{ km}$	
	Hausner (1965)	Schnabel ve ark. (1972)	Hausner (1965)	Schnabel ve ark. (1972)
5	0.16	0.07	0.12	0.04
5.5	0.20	0.26	0.18	0.17
6	0.26	0.36	0.23	0.22
6.5	0.30	0.44	0.28	0.28
7	0.36	0.50	0.35	0.33
7.5	0.40	0.53	0.39	0.38
8	0.45	0.57	0.44	0.42

4.3.4.6. Jeofizik Özellikleri

JF 1, JF 2, JF 3, JF 4, JF 9, JF 10, JF 16 ve JF 17 ölçüm noktaları alüvyon çökelleri içerisinde yer alan jeofizik ölçüm yerleridir. Diğer birimlerde olduğu gibi bu birim için de aynı noktada hem jeofizik sismik ve hem de özdirenç ölçümlü yönelik çalışmalar yapılmıştır. Sadece JF 1 ölçüm noktasında özdirenç ölçümü yapılamamıştır.

4.3.4.6.(1). Sismik Özellikler

Dedekorkut Mahallesi’nde (Yüreğir) yer alan JF 1 ölçüm noktasında, üstte tarımsal amaçlı olarak kullanılan organik malzeme içerikli bir toprak bulunmaktadır. Altta, sondajlarda koyu kahverengi, kiremit kırmızısı renklerde çıkmış olan plastik alüvyon kili bulunmaktadır. Bu birime ait kayma dalgası hızı 599 m/sn olarak tespit edilmiştir. Tespit edilen en alt seviyede ise kalışlaşmeye bağlı olarak oluşmuş karbonat yumruları ve çakıl boyutu malzeme içeren bir diğer kil birimi bulunmaktadır. Şekil 4.109, bu veri noktası için elde edilmiş olan sismik serim profilini ve Çizelge 4.78, birimlere ait bazı sismik ve mühendislik parametrelerini göstermektedir.

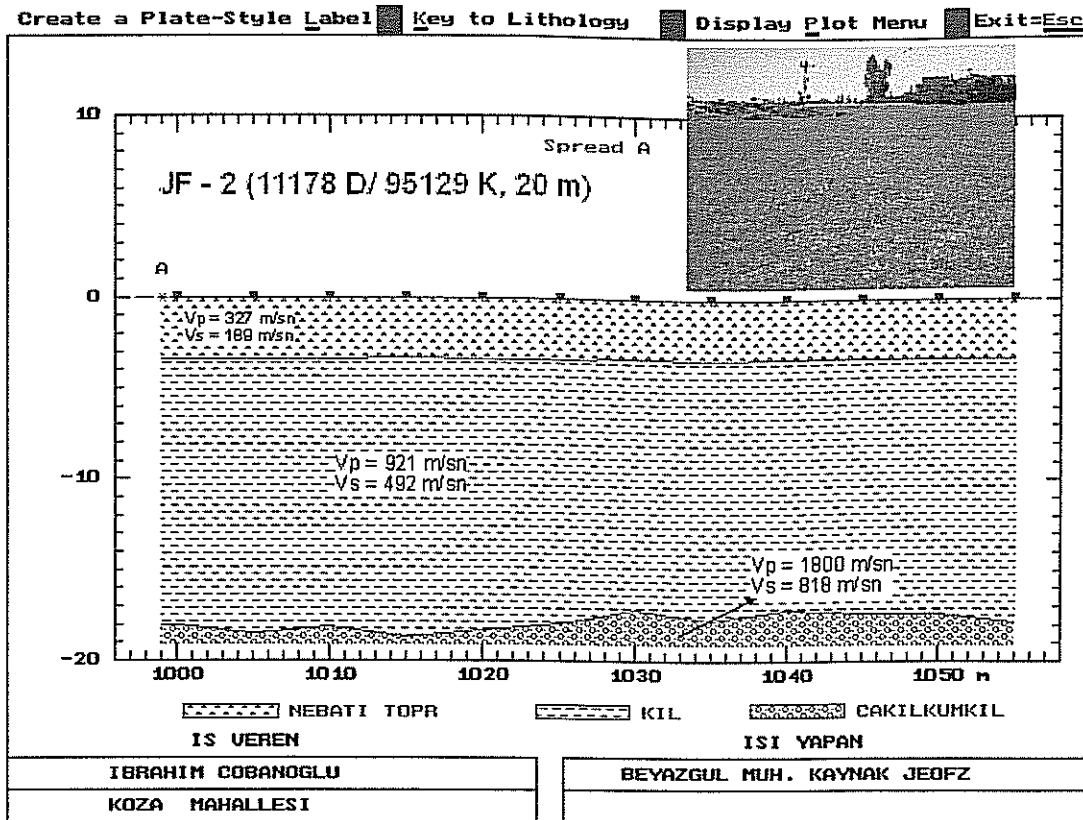


Şekil 4.109. JF-1 ölçüm noktasına ait sismik serim kesiti.

Çizelge 4.78. Dede korkut (Anadolu) Mahallesindeki sismik kırılma çalışması sonucu elde edilen parametreler (JF - 1).

	1.TABAKA	2.TABAKA	3.TABAKA
P Hızı ($V_p, \text{m/sn}$)	488	1505	1989
S Hızı ($V_s, \text{m/sn}$)	308	599	1018
Zemin Büyüütmesi (n)	1.97	1.28	0.87
Poisson Oranı (σ)	0.16	0.40	0.32
Zemin Hak. Tit. Pr. (To)		0.25 sn	
V_p/V_s	1.58	1.47	1.47

Koza Mahallesi'nde (Yüreğir) yer alan JF-2 ölçüm noktası da JF-1 noktasına çok benzeyen özellikler göstermektedir. Üstte tarım yapılan organik içerikli toprak altında kayma dalgası hızı 492 m/sn ölçülen alüvyon kili ve daha altta ise SPT darbe sayılarında da artışlara sebep olan karbonat yumruları ve çakıl boyutu malzeme içeren alüvyon kili yer almaktadır. Bu noktaya ait sismik serim kesiti Şekil 4.110'da ve elde edilen parametreler Çizelge 4.79'da verilmiştir.



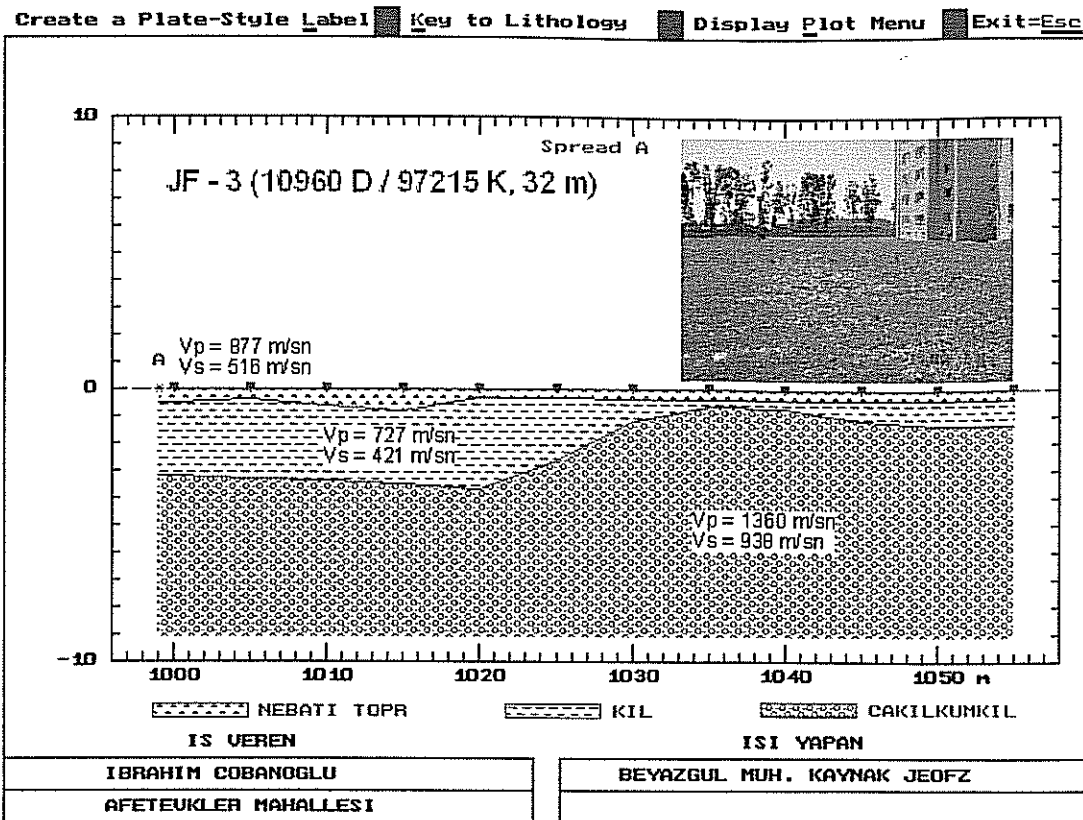
Şekil 4.110. JF-2 ölçüm noktasına ait sismik serim kesiti.

Çizelge 4.79 Koza Mahallesindeki sismik kırılma çalışması sonucu elde edilen parametreler (JF-2).

	1.TABAKA	2.TABAKA	3.TABAKA
P Hızı (V_p , m/sn)	327	921	1800
S Hızı (V_s , m/sn)	189	492	818
Zemin Büyüütmesi (n)	2.4	1.5	0.99
Poisson Oranı (σ)	0.25	0.3	0.4
Zemin Hak. Tit. Pr. (To)		0.34 sn	
V_p/V_s	1.73	1.87	2.20

JF-3 ve JF-4 ölçüm noktaları da önceki diğer noktalara benzer litolojik özellikler sunmaktadır. JF-3 Atakent Mahallesi’nde (Yüreğir) ve JF-4 PTT Evleri Mahallesi’nde (Yüreğir) yer almaktadır. Bu veri noktalarına ait sismik serim kesitleri Şekil 4.111 ile Şekil 4.112’de ve elde edilen mühendislik parametreleri Çizelge 4.80 ile Çizelge 4.81’de verilmiştir.

JF-3 noktasında elde edilen sismik serim kesiti farklı özellikler gösteren alüvyon klinin varlığını ortaya koymaktadır. JF-4 ölçüm noktasında, üstte düşük kayma dalgası hızına sahip alüvyon birimi altında yer alan birimin gevşek tutturulmuş taraça olduğu düşünülmektedir.

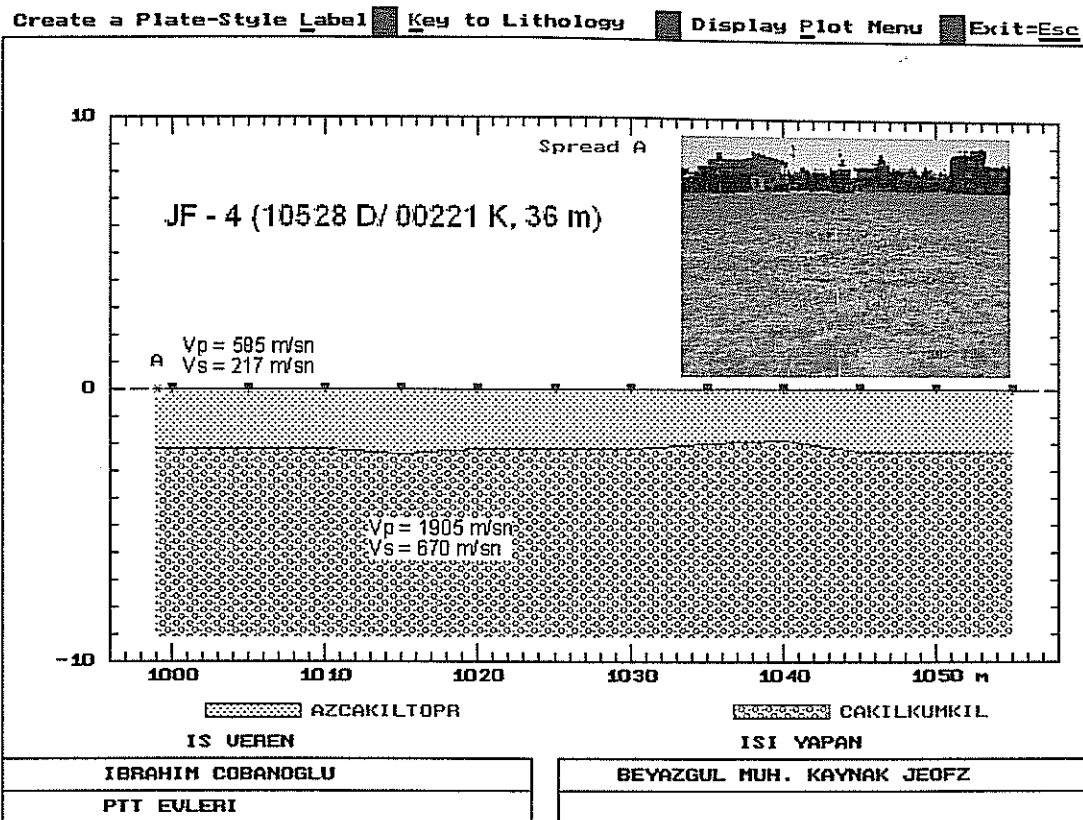


Şekil 4.111. JF-3. ölçüm noktasına ait sismik serim kesiti.

Çizelge 4.80. Atakent (Afetevleri) Mahallesindeki sismik kırılma çalışması sonucu elde edilen parametreler (JF – 3).

		1.TABAKA	2.TABAKA	3.TABAKA
P Hızı	(V_p , m/sn)	877	727	1360
S Hızı	(V_s , m/sn)	516	421	938
Zemin Büyütmesi	(n)	1.49	1.67	0.97
Poisson Oranı	(σ)	0.23	0.25	0.03
Zemin Hak. Tit. Pr.	(T_0)		0.26 sn.	
V_p/V_s		1.70	1.73	1.45

JF-9 noktasından itibaren Seyhan ırmağının batı tarafına geçilmiştir ki burada alüvyon daha plastik kil özelliği sunmaktadır. Otogar güneyinde yer alan JF-9 ölçüm noktası sismik serim kesiti (Şekil 4.113) derinliğe bağlı olarak artan sismik hız değerleri vermemiştir. Bunun nedeni daha derinde su etkisiyle birimdeki yumuşama ve karbonat yumrulu seviyelerin yayılımının az oluşuna bağlanmıştır. Profil tamamen alüvyon kiline ait birimlerin varlığını ortaya koymaktadır. Bu noktaya ait mühendislik parametreleri de Çizelge 4.82'de sunulmuştur.

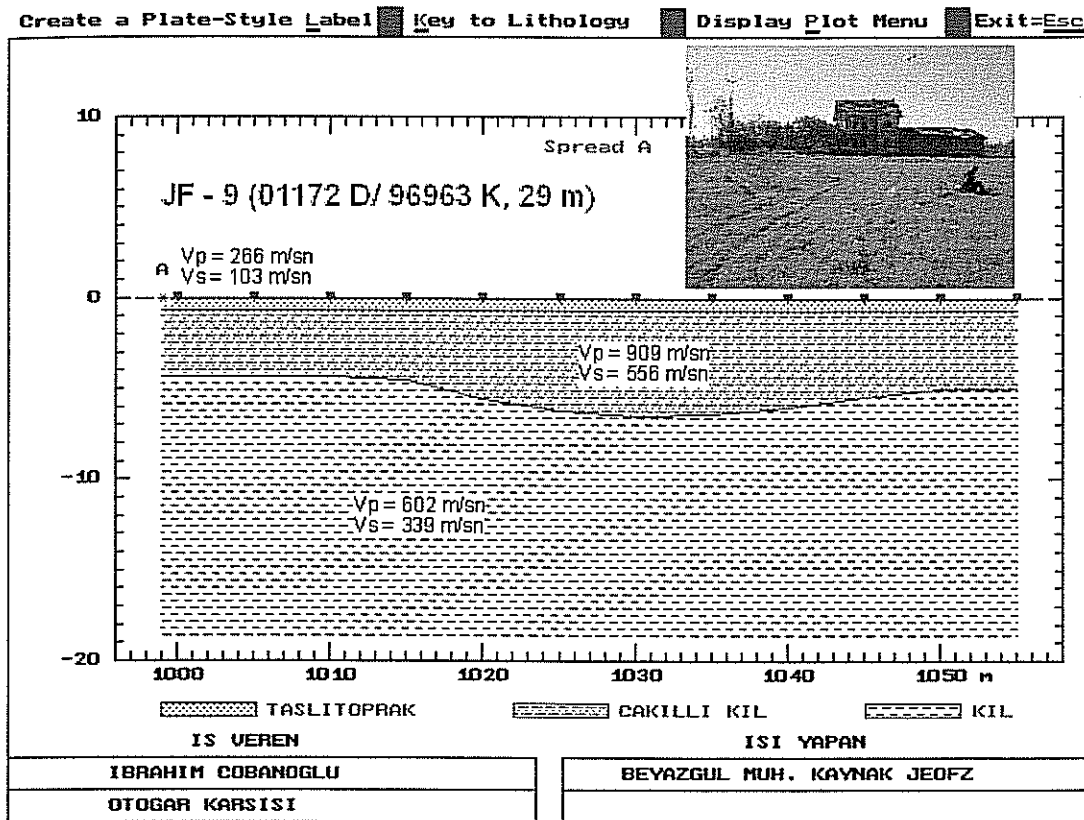


Şekil 4.112. JF-4 ölçüm noktasına ait sismik serim kesiti.

Çizelge 4.81. PTT Evleri Mahallesi’ndeki (JF 4) sismik kırılma çalışması sonucu elde edilen parametreler.

		1.TABAKA	2.TABAKA
P Hızı	(V_p , m/sn)	585	1905
S Hızı	(V_s , m/sn)	217	670
Zemin Büyüütmesi	(n)	2.2	0.67
Poisson Oranı	(σ)	0.42	0.42
Zemin Hak. Tit. Pr.	(T_0)	0.30 sn	
V_p/V_s		2.69	2.84

Real güneyi, Öğretmenler Bulvarı üzerinde yer alan JF-10 noktasında da yine ince taneli malzemeden oluşan alüvyon birimleri görülmektedir. Sismik kesit (Şekil 4.114) üstten alta doğru sismik hızların arttığını göstermektedir. Bu noktada da yaklaşık 11 metreden sonra alüvyon kılindeki kalışlaşmeye bağlı sertlik artışı dikkati çekmektedir. Bu durum, birimin sismik dalga hızlarının diğer alüvyon killerine göre daha yüksek olmasına neden olmaktadır. JF 10 sismik ölçüm noktası 688 m/sn ile alüvyondaki en yüksek kayma dalgası hızının elde edildiği veri yeridir. Sismik çalışma ile elde edilmiş mühendislik parametreleri Çizelge 4.83’de verilmiştir.

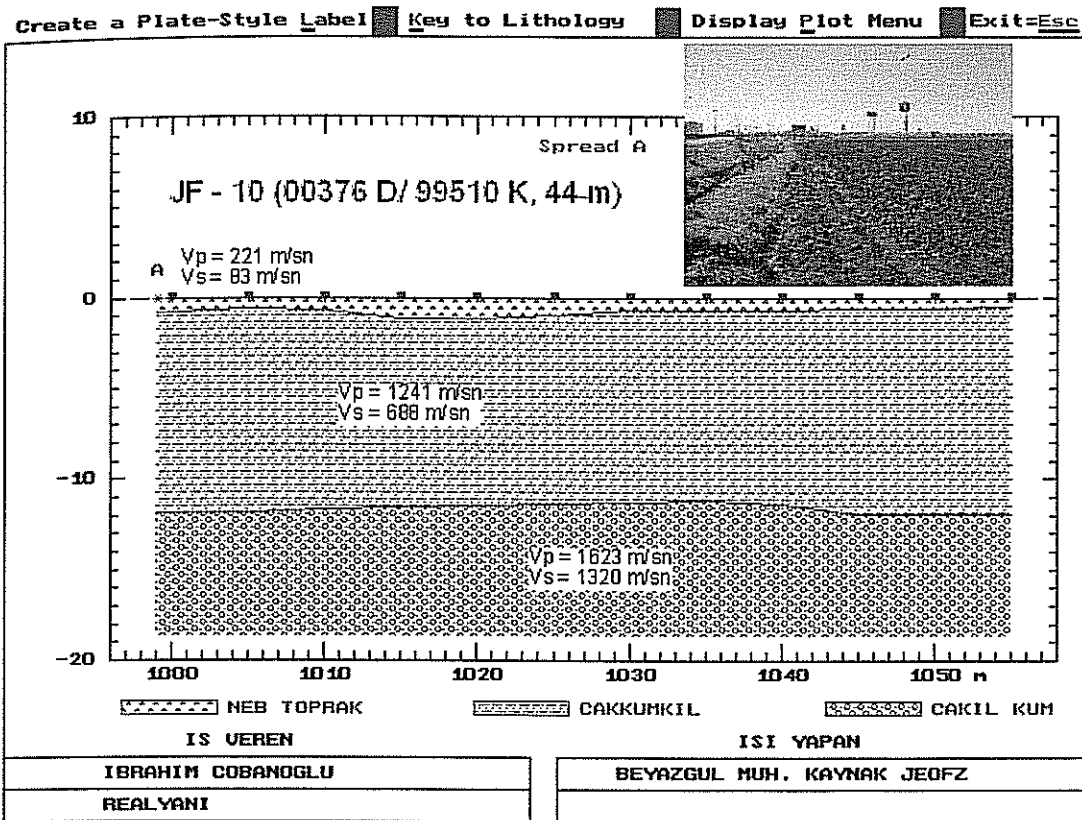


Şekil 4.113. JF-9 ölçüm noktasına ait sismik serim kesiti.

Çizelge 4.82. Onur Mahallesindeki (Otogar karşısısı) sismik kırılma çalışması sonucu elde edilen parametreler (JF – 9).

	1.TABAKA	2.TABAKA	3.TABAKA
P Hızı <i>(V_p, m/sn)</i>	266	909	602
S Hızı <i>(V_s, m/sn)</i>	103	556	339
Zemin Büyüütmesi <i>(n)</i>	3.4	1.4	1.8
Poisson Oranı <i>(σ)</i>	0.41	0.18	0.27
Zemin Hak. Tit. Pr. <i>(To)</i>		0.57 sn	
<i>V_p/V_s</i>	2.58	1.63	1.77

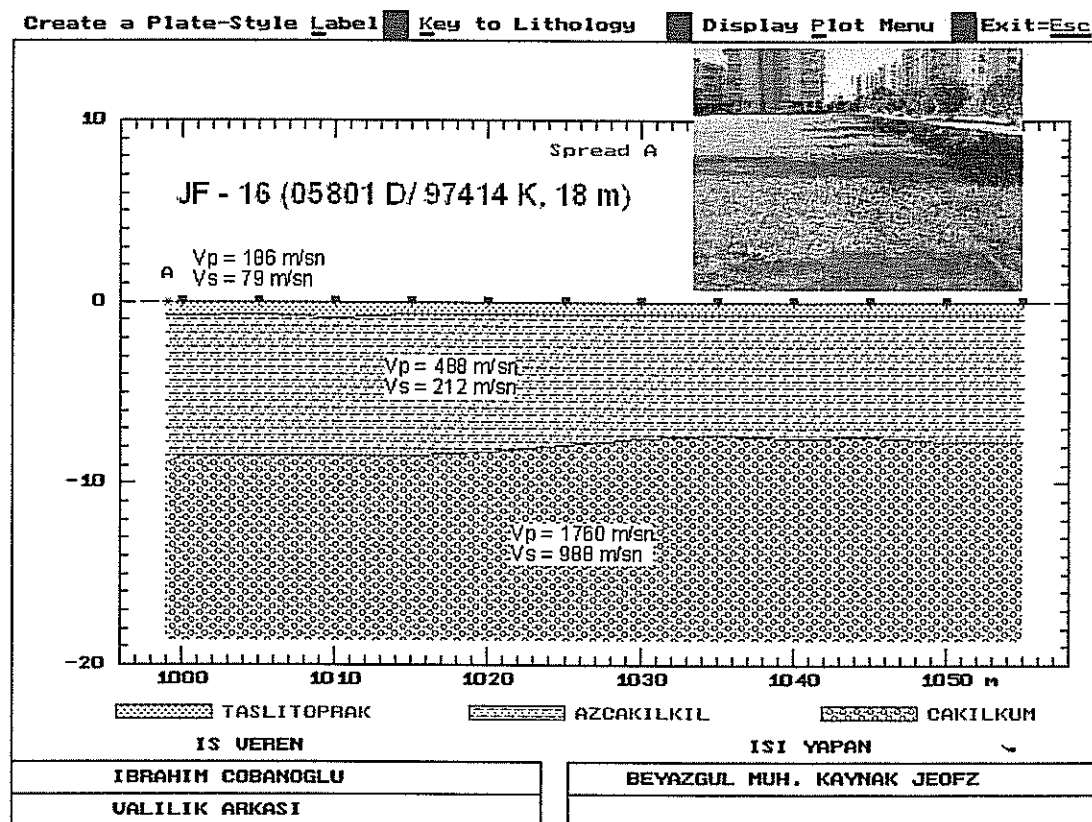
Şekil 4.115'de görülen JF-16 (Döşeme Mahallesi) sismik kesitinde 2. tabaka olarak az çakılı kil birimi (V_s 212 m/sn) ile daha alta sert karbonat yumrulu ve çakılı bir litoloji ile karşılaşılmaktadır. Kayma dalgası hızı daha yüksek (988 m/sn) olan bu seviye taraçanın kısmen ayırmış olan üst kısımları olarak değerlendirilmiştir. Bu veri noktasına ait mühendislik parametreleri Çizelge 4.84'de verilmiştir.



Şekil 4.114. JF-10 ölçüm noktasına ait sismik serim kesiti.

Çizelge 4.83. Real kuzeyindeki sahada yapılan sismik kırılma çalışması sonucu elde edilen parametreler (JF – 10).

		1.TABAKA	2.TABAKA	3.TABAKA
P Hızı	(V_p , m/sn)	221	1241	1623
S Hızı	(V_s , m/sn)	83	688	1320
Zemin Bütünlüğü	(n)	3.0	1.23	0.69
Poisson Oranı	(σ)	0.4	0.27	0.30
Zemin Hak. Tit. Pr.	(T_0)		0.21 sn	
V_p/V_s		2.66	1.80	1.23

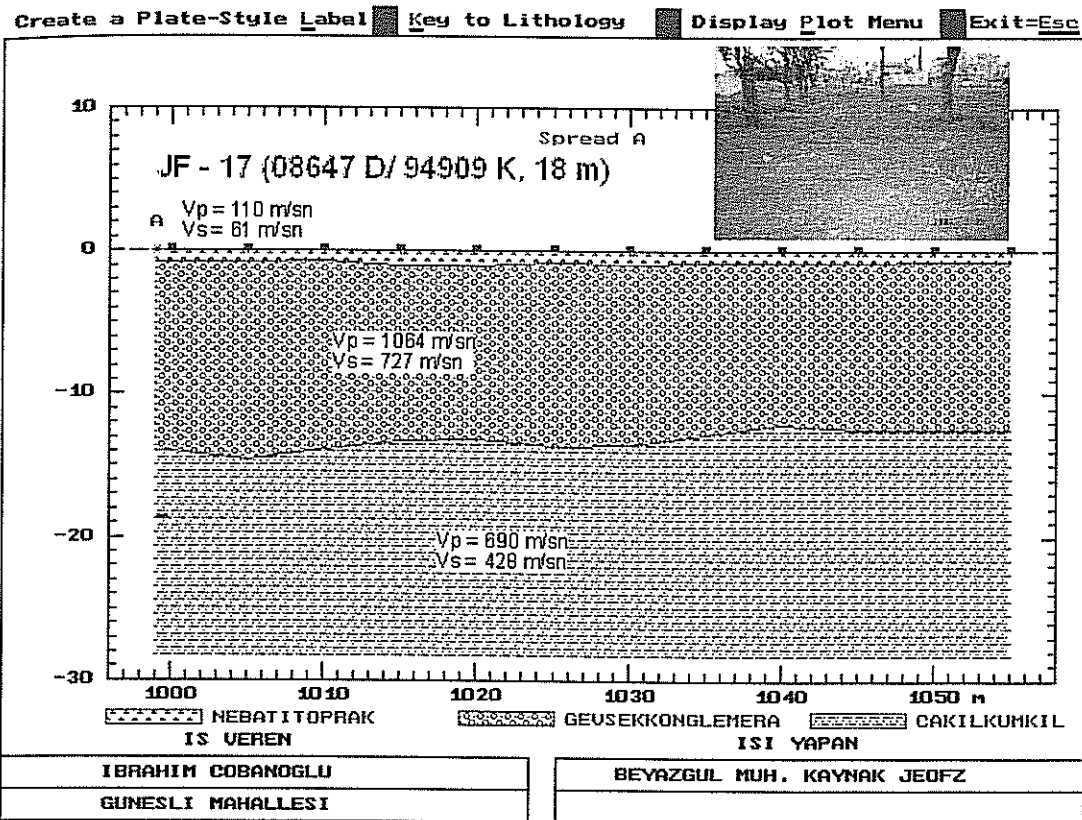


Şekil 4.115. JF-16 ölçüm noktasına ait sismik serim kesiti.

Çizelge 4.84. Döşeme Mahallesindeki (valilik arkası) sismik kırılma çalışması sonucu elde edilen parametreler (JF – 16).

		1.TABAKA	2.TABAKA	3.TABAKA
P Hızı	(V_p , m/sn)	186	488	1760
S Hızı	(V_s , m/sn)	79	212	988
Zemin Büyütmesi	(n)	3.1	2.2	0.89
Poisson Oranı	(σ)	0.38	0.38	0.23
Zemin Hak. Tit. Pr.	(To)		0.29 sn	
V_p/V_s		1.91	2.40	1.77

Alüvyondaki son ölçüm noktası Güneşli Mahallesi'nde yer almaktadır. JF-17 veri noktası için yine 3 tabaka ayırtlanmıştır (Şekil 4.116). Kayma dalgası hızı 727 m/sn olan 2. tabaka her ne kadar sismik yorumlama esnasında gevşek konglomera olarak adlandırılmış ise de bölgeye ait jeolojik bilgiler bu litolojinin çakıl ve karbonat yumruları içeren sert kil olduğunu göstermektedir. Altta ise daha yumuşak bir diğer alüvyon kili birimi yer almaktadır. Bu noktaya ait mühendislik parametreleri de Çizelge 4.85'de sunulmuştur.



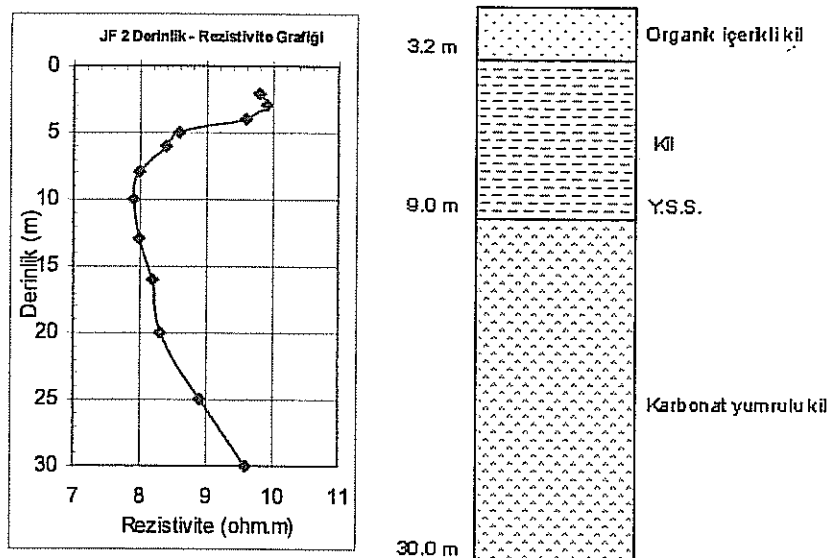
Şekil 4.116. JF-17 ölçüm noktasına ait sismik serim kesiti.

Çizelge 4.85. Güneşli Mahallesindeki sismik kırılma çalışması sonucu elde edilen parametreler (JF – 17).

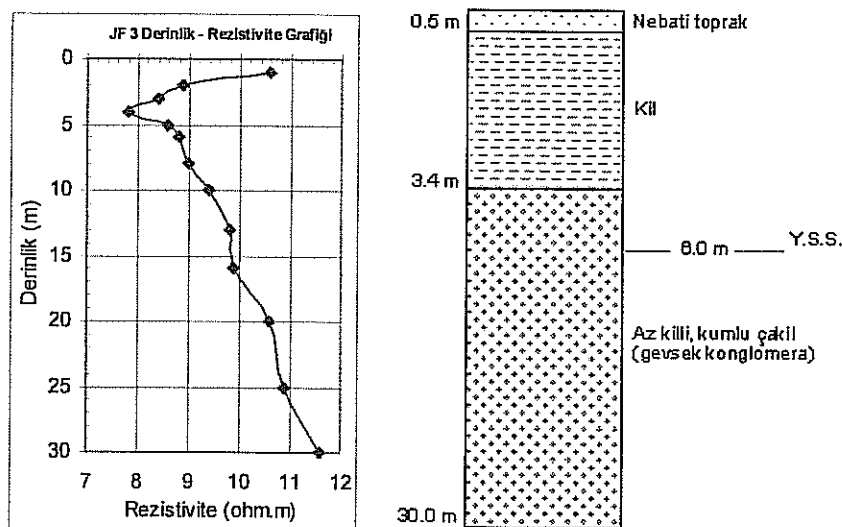
		1.TABAKA	2.TABAKA	3.TABAKA
P Hızı	(V_p , m/sn)	110	1064	690
S Hızı	(V_s , m/sn)	61	727	428
Zemin Büyütmesi	(n)	3.4	1.66	1.66
Poisson Oranı	(σ)	0.28	0.058	0.18
Zemin Hak. Tit. Pr.	(T_0)		0.42 sn	
V_p/V_s		1.80	1.46	1.61

4.3.4.6.(2). Özdirenç Değerleri

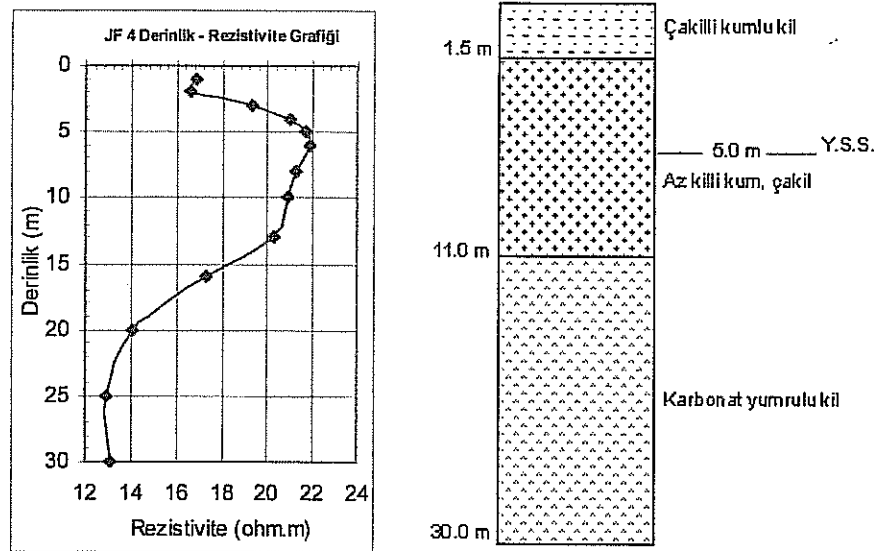
Ölçüm noktalarından elde edilmiş özdirenç değerlerinin derinliğe bağlı olarak değişimleri ve bu bilgilerle çıkarılmış zemin profilleri Şekil 4.117 – 4.123’de verilmiştir.



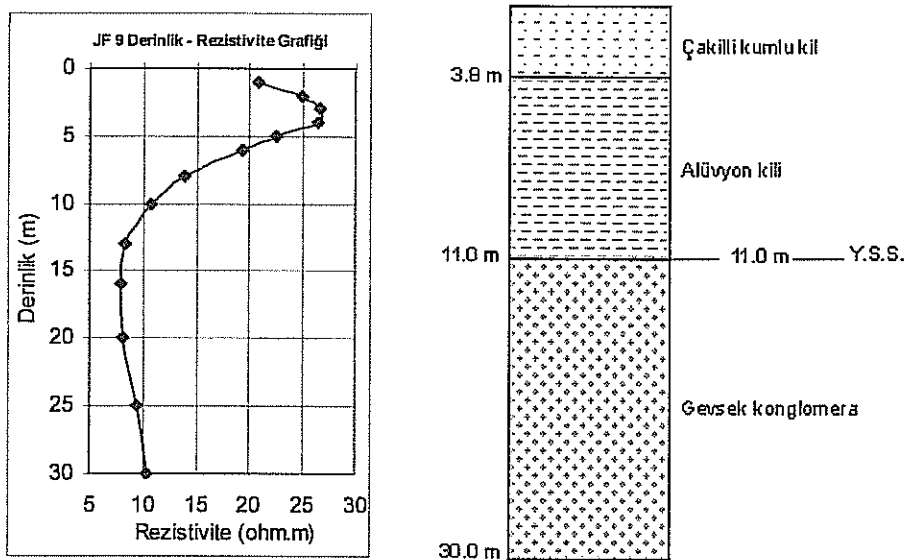
Şekil 4.117. JF 2 ölçüm noktasında derinliğe bağlı olarak elde edilmiş rezistivite değerleri.



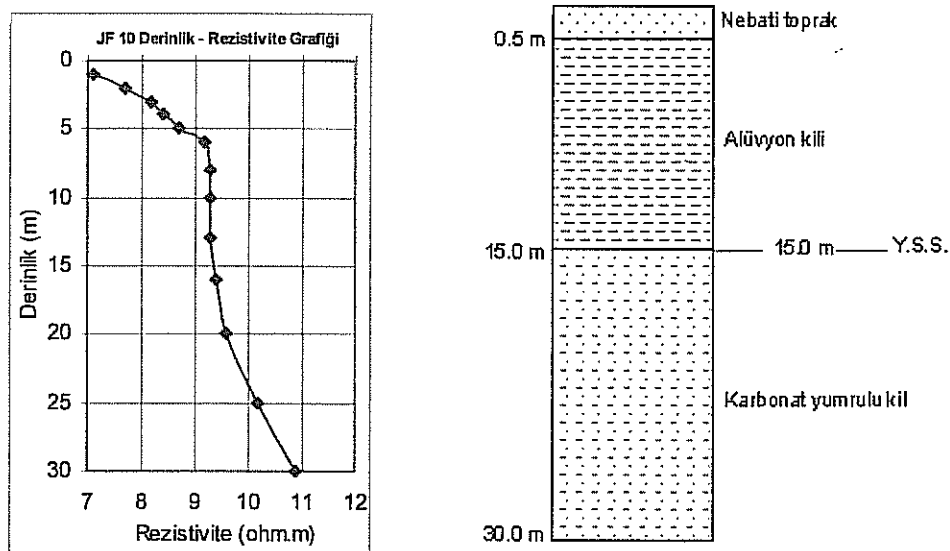
Şekil 4.118. JF 3 ölçüm noktasında derinliğe bağlı olarak elde edilmiş rezistivite değerleri.



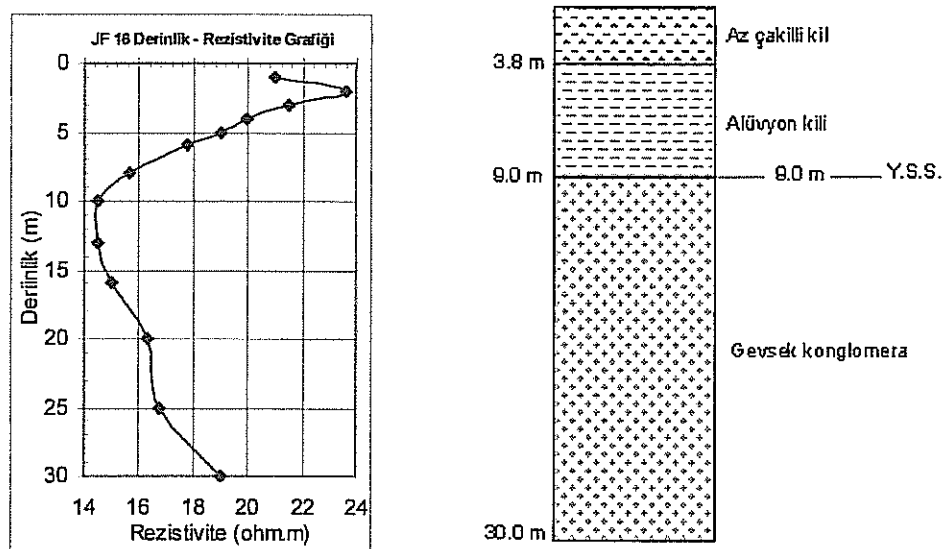
Şekil 4.119. JF 4 ölçüm noktasında derinliğe bağlı olarak elde edilmiş rezistivite değerleri.



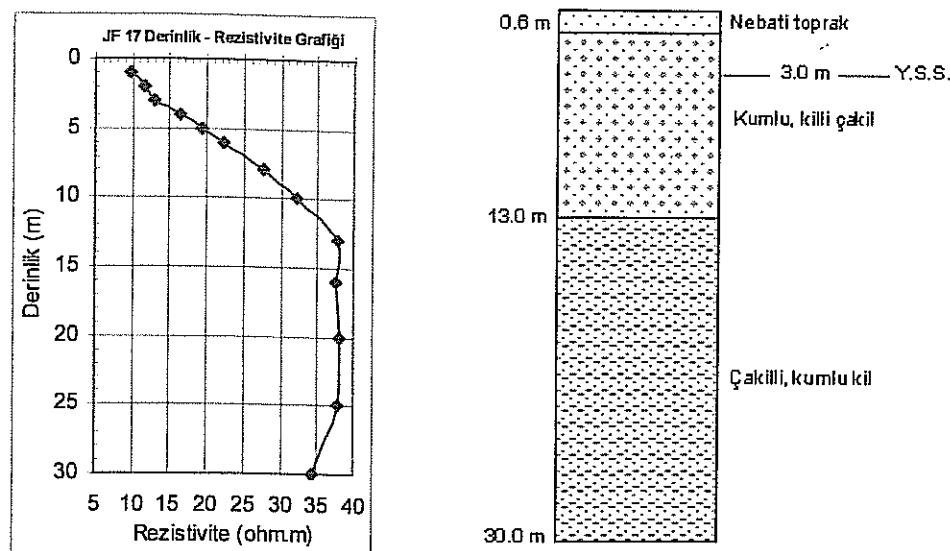
Şekil 4.120. JF 9 ölçüm noktasında derinliğe bağlı olarak elde edilmiş rezistivite değerleri.



Şekil 4.121. JF 10 ölçüm noktasında derinliğe bağlı olarak elde edilmiş rezistivite değerleri.



Şekil 4.122. JF 16 ölçüm noktasında derinliğe bağlı olarak elde edilmiş rezistivite değerleri.



Şekil 4.123. JF 17 ölçüm noktasında derinliğe bağlı olarak elde edilmiş rezistivite değerleri.

4.3.4.7. Hidrojeolojik Özellikleri

Alüvyon çökelleri akifer olma özelliği taşıyan birimlerden oluşmaktadır. Ovada güneye doğru gidildikçe rakımdaki azalmaya bağlı olarak yeraltı su seviyeleri de yüzeye yaklaşmaktadır. Genel olarak ele alındığında, alüvyon çökellerinin olduğu alan içerisinde yeraltı su seviyeleri mevsimsel koşullara da bağlı olarak 2 m ile 17 m arasında değişim göstermektedir. Alüvyon çökellerinin büyük çoğunluğu kil türü geçirimsiz malzemelerden oluşmasına rağmen akifer niteliği kazanmalarını sağlayan bazı etmenler bulunmaktadır; öncelikle kil birimi yaygın karbonatlaşmaların olduğu seviyeler içermektedir, bununla birlikte birime kimi zaman kumlu ve çakılı seviyeler eşlik etmektedir. Alüvyonun daha altında yer alan konglomera birimi de su tutan bir litolojiye sahiptir ve suyun basıncı altında bulunduğu durumlarda açılan kuyu içerisinde kuyunun yarı artezyen yapmasına neden olmaktadır.

4.3.4.8. Yorum ve Öneriler

Alüvyon çökelleri, üzerinde yapışmanın yaygın olduğu bir birimdir ve bu yapılar genel olarak eski yapılardır. Yeraltı su seviyelerinin yüzeye yakın olması, alüvyon killerinin konsolidasyon oturmaları meydana getirebilecek bir zemin sınıfını oluşturuyor olması, bu birimin mühendislik açısından problemlı kısımlarını oluşturmaktadır. SPT darbe sayılarının yüksek değerler vermesi alüvyon killeri içerisinde sıkça görülmekte olan karbonat çakılları ile karbonat yumrulu seviyelerden kaynaklanmaktadır. Alüvyonda yapılan zemin araştırmalarına yönelik çalışmalarla karşılaşılan bu durum taşıma gücü değerlerinin de gerçekten farklı

olarak oldukça yüksek çıkışına neden olmaktadır. Bu bakımdan sondajlardan elde edilen örselenmemiş numuneler üzerinde yapılacak fiziksel ve mekanik deneyler de arazi deneyleri kadar önemsenmelidir. Alüvyondaburgu ile ve kuru sistem yapılan delgilerden oldukça iyi sonuçlar elde edilebilmektedir. Bu, aynı zamanda kuyu içerisinde daha az örselenerek numune alınının gerçekleşmesini sağlamaktadır.

Alüvyonda yapılan jeofizik ölçümleler elde edilmiş sonuçlara bakıldığında, zemin hakim titreşim periyodu değerlerinin litolojik farklılığa bağlı olarak 0.25 sn ile 0.57 sn arasında değişim gösterdiği görülmektedir. Bu aralık, titreşim periyodu değeri için geniş bir araliktır. Kuvvetli yer hareketleri sırasında rezonans açısından yapısal bir tehlike oluşmaması için titreşim periyodu değerlerinin yersel anlamda önceden belirlenmesi gereklidir.

Bu çalışmada yapılamamış olmasından dolayı ancak bir tavsiye ve öneri niteliğinde ifade edilebilecek olan konu, alüvyon killerinin muhtemel şişme ve kabarma dereceleridir. Plastisite derecelerinin yüksek oluşları şişme ve kabarmanın Adana ili alüvyon killeri için önemli olabileceğini düşündürmektedir. Bu amaçla konunun ayrıntılı olarak araştırılması gerekmektedir.

4.4. Sondaj Çalışmaları

Bu bölümde, yürütülen çalışma kapsamında Adana ili yerleşim alanı zeminlerinin fiziksel ve mekanik özelliklerini belirlemek amacıyla yapılmış olan sondaj çalışmalarından bahsedilmiştir. Sondajlar, veri eksikliklerinin olduğu bölgelerde uygun yerler seçilerek yapılmıştır. Daha önce de bahsedildiği gibi taraça çökelleri klasik sondajlı yöntemlerle incelenmesi uygun olmayan bir litolojisi oluşturmaktadır. Bu yüzden seçilen sondaj yerlerinin hiçbir taraça içerisinde konumlandırılmamıştır. Ancak SK-7 ve SK-16 sondaj yerlerinde olduğu gibi alüvyon biriminin daha altında taraça çökelleri ile karşılaşılabilmiştir. Handere Formasyonu'na ait killi birimler de yüzeyde oldukça kalın istifler sunduklarından (tepeler şeklinde) ve özellikleri ile ilgili yeteri kadar bilgi sahibi olunduğundan sondajlı incelemeye tabi tutulmamışlardır. Sonuçta, geniş alanlar kaplayan alüvyon çökelleri ile daha fazla bilgi sahibi olunması istenen kaliş çökellerinde sondaj çalışmaları yapılmıştır.

Bu çalışma kapsamında yapılmış olan sondaj çalışmalarında Amerikan yapımı kamyona monte, kızaklı TSM 750 marka rotary sistem çalışan sondaj makinesi kullanılmıştır (Şekil 4.124).



Şekil 4.124. Bu çalışmada kullanılan TSM 750 kızaklı sondaj makinesi.

Çalışmalarda zeminin delinebilme durumuna göre ilerleme yöntemi seçilmiştir. Altıvyon killerinin büyük çoğunuğunda burgulu delicilerle (auger) kuru sistem ilerlenirken, kaliş birimi sulu sistem ilerlemeyi gerekli kılmıştır. Yapılan sondajların mahallelere göre dağılımları ve küresel konumlandırma sistemi (GPS) ile alınmış koordinatları ile bazı kuyu bilgileri Çizelge 4.86'da sunulmuştur.

Tablo 4.86. Yapılan sondайлara ait genel bilgiler.

Etit No	Koordinat	Rakum	Yer Adı	Derinlik (m)	Y.S.S. (m)	Litoloji
SK 1	08237 D 96626 K	20 m	Sinanpaşa Mah.	10.00	-	Alüvyon
SK 2	10606 D 95795 K	27 m	Başak Mah.	15.45	-	Alüvyon
SK 3	09838 D 94470 K	17 m	Bahçelievler Mah.	15.45	-	Alüvyon
SK 4	12205 D 97032 K	38 m	Çamlıbel Mah.	9.80	-	Alüvyon
SK 5	12633 D 96533 K	34 m	Yenidoğan Mah.	10.00	-	Alüvyon
SK 6	12110 D 94980 K	24 m	Levent Mah.	15.45	5.40	Alüvyon
SK 7	08621 D 98282 K	19 m	Yavuzlar Mah.	10.00	4.80	Alüvyon + taraça
SK 8	04018 D 97066 K	20 m	Narlıca Mah.	12.00	7.00	Alüvyon
SK 9	00944 D 97725 K	25 m	Fevziipaşa Mah.	14.55	12.70	Alüvyon
SK 10	99524 D 97579 K	25 m	Yeşiloba Mah.	14.90	11.30	Alüvyon
SK 11	98171 D 96555 K	21 m	Hipodrom	15.45	2.70	Alüvyon
SK 12	03272 D 98111 K	22 m	Yeşilevler Mah.	12.45	-	Alüvyon
SK 13	01443 D 00512 K	70 m	2000 Evler Mah.	12.45	-	Kalış
SK 14	00079 D 01665 K	82 m	100. Yıl Mah.	10.00	-	Kalış
SK 15	03505 D 00085 K	55 m	Pınar Mah.	10.00	-	Alüvyon
SK 16	04536 D 98360 K	25 m	Mithatpaşa Mah.	6.00	-	Alüvyon + taraça
SK 17	06397 D 95683 K	22 m	Mirzaçelebi Mah.	10.00	5.80 m	Alüvyon

Çalışmanın başlangıcında her 1.5 metrede SPT ve her 3 metrede örselenmemiş zemin örneği (UD) alınması tasarlanmış ve uygulamada zemin koşullarının elverdiği ölçüde bu tasarıma uyulmuştur.

4.4.1. SPT Darbe Sayılarının Değerlendirilmesi İle Taşıma Gücü Değerlerinin Belirlenmesi

Zemin taşıma güçlerinin SPT verileriyle değerlendirilmesinde kullanılan bir çok yöntem bulunmaktadır. Terzaghi ve Peck tarafından 1967 yılında önerilen yöntem bu konuda en kolay değerlendirmenin yapılabildiği en eski uygulamadır. Daha sonraları Meyerhof, Bowles gibi tanınmış araştırmacıların yöntemleri de oldukça geniş kullanım alanı bulmuştur.

Çalışmanın bu bölümünde yapılmış standart penetrasyon deney verileri kullanılarak emin taşıma güçlerinin belirlenmesi amaçlanmıştır. Hesaplamalarda Meyerhof (1974; Carter ve Bentley, 1991'den) tarafından önerilen bağıntılar kullanılmıştır. Bunun seçilmesindeki etmen Meyerhof'un Bowles ve Terzaghi yöntemleri ile elde edilmiş değerlere göre ortalama bir değer veriyor olmasıdır. Kullanılan bağıntı şu şekilde ifade edilmektedir;

$$q_a = 12N * k_d \quad B \leq 1.22 \text{ m ise} \quad (\text{kN/m}^2) \quad (4.18)$$

$$q_a = 8N * \left(\frac{B + 0.305}{B} \right)^2 * k_d \quad B > 1.22 \text{ m ise} \quad (\text{kN/m}^2) \quad (4.19)$$

Bu bağıntılarda;

q_a : izin verilebilir taşıma gücü

N : 30 cm giriş için SPT darbe adedi

B : temel genişliği (m)

D : temel derinliği (m)

$$k_d = 1 + 0.33 * \left(\frac{D}{B} \right) \leq 1.33$$

olarak ifade edilen bir değerdir

Meyerhof bağıntısı kullanılarak yapılan taşıma gücü hesaplamalarında $k_d \leq 1.33$ kriterinin sağlanması amacıyla temel genişliği ve temel derinliği 3 m olarak alınmıştır. Elde edilen izin verilebilir taşıma kapasitesi değerleri (q_a) her sondaja ait SPT verisi ilgili sondajlar bölümünde çizelgeler halinde gösterilmiştir.

4.4.2. Kuyu Tanımlamaları ve Kuyu Örneklerinin Fiziko-Mekanik Özelliklerinin İncelenmesi

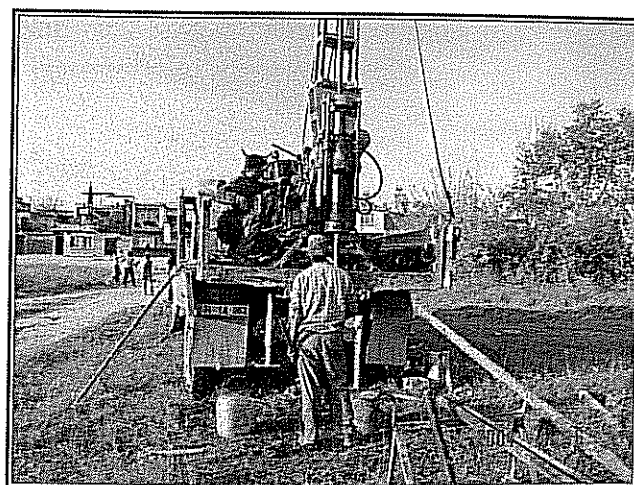
Bu bölümde, yapılan 17 adet sondajın her birinden alınan örselenmemiş zemin örnekleri üzerinde gerçekleştirilen deneyler ile elde edilmiş bazı fiziksel ve mekanik özellikler

sunulmuştur. Çok sayıda alt başlık oluşturulmasından kaçınmak için sondaj kuyularına ait bilgiler sadece başlıklar şeklinde verilmiştir. Sondajlara ait verileri içeren çizelgelerde N_{60} düzeltilmiş SPT darbe sayıları ve V_s kayma dalgası hızı değerleridir. Kayma dalgası hızları Imai ve Tonouchi (1982) bağıntısı kullanılarak elde edilmiş değerleri içermektedir (bknz Bölüm 4.10.7).

SK-1 Sondajı (08327 D/ 96626 K)

Yüreğir ilçesi Sinanpaşa mahallesinde yapılmıştır (Şekil 4.125). Kuyu yeri Seyhan nehrine yaklaşık 250 metre uzaklıktadır. Kuyu 10.60 m'de sonlandırılmış olup kuyu boyunca kesilen litoloji değişmemiştir. Üstte yer alan koyu kahverengi, plastik alüvyon kili karbonat yumruları ve çakıl boyutu malzeme içermediği için SPT darbe sayıları oldukça düşük elde edilmiştir. Ancak daha alta 6. metre ve sonrasında, bu kil birim içerisinde çakıl boyutu malzemelerde görüldüğünden SPT darbe sayıları birden yükselmiştir. Bu sondaja ait kuyu logu EK-2'de verilmiştir. Kuyu sonunda SPT çakma başlığının boş gelmesi ve SPT-N darbe sayılarının 50 değerini geçmesi 7. metreden sonra çakıl boyutunun artmış olduğu şeklinde yorumlanmıştır.

CH ve CL türünde olduğu tespit edilen killerin doğal birim hacim ağırlık değerleri 1.43 ile 1.82 gr/cm³, likit limitleri % 40.51 ile % 60.40 ve plastik limitleri % 16.30 ile % 25.23 değerleri arasında değişmektedir (Çizelge 4.87). SPT deneylerinden elde edilmiş darbe sayıları (N) ile elde edilmiş düzeltilmiş darbe sayıları (N_{60}) ve darbe sayılarına bağlı olarak hesaplanmış taşıma gücü değerleri (q_a) ile kayma dalgası hızları (V_s) Çizelge 4.88'de sunulmuştur.



Şekil 4.125. SK 1 (Sinanpaşa Mah.) no'lu sondaj çalışmasından görünüm.

Çizelge 4.87. SK 1 sondajından elde edilmiş örnekler üzerinde yapılmış deney verileri.

<i>Derinlik (m)</i>	γ_n (gr/cm ³)	γ_k (gr/cm ³)	<i>c</i> (kg/cm ²)	<i>LL (%)</i>	<i>PL (%)</i>	<i>Zemin Cinsi</i>
1.50 – 1.95	1.71	1.63	0.30	50.50	24.13	CH
3.00 – 3.45	1.82	1.70	0.28	44.21	17.70	CL
4.50 – 4.95	1.43	1.37	0.16	40.51	16.30	CL
6.00 – 6.45	1.73	1.65	4.51	60.40	25.23	CH

Çizelge 4.88. SK 1 sondajından elde edilen SPT darbe sayıları ve hesaplanan parametreler.

<i>Derinlik (m)</i>	<i>SPT – N₆₀</i>	<i>N₆₀</i>	<i>q_a</i> (kN/m ²)	<i>V_s</i> (m/sn)
1.50	9	5	64.6	193
3.00	15	8	103.3	227
4.50	17	10	129.1	236
6.00	53	30	387.4	337
7.50	R	-	-	-
9.00	R	-	-	-
10.50	R	-	-	-

SK-2 Sondajı (10606 D/ 95795 K)

Yüreğir ilçesi Başak mahallesinde yapılmıştır (Şekil 4.126). Kuyu yeri, E-5 karayolunun yaklaşık 100 m güneyindedir. Kuyu 15.45 metrede sonlandırılmış olup litolojik yayılım çok değişken değildir. 5 metreden sonra SPT darbe sayılarının artması kil birimi içerisindeki taşlaşmış karbonat yumrularının varlığından kaynaklanmıştır. Bu sondaja ait kuyu logu EK-2'de verilmiştir.



Şekil 4.126. SK 2 (Başak Mah.) no'lu sondaj çalışmasından görünüm.

SK 2 sondajından elde edilen numuneler üzerinde yapılan deneyler zeminin CL ve CH türü killerden oluştuğunu ortaya koymuştur. Doğal birim hacim ağırlıkları 1.65 ile 1.93 gr/cm³, likit limit (%) 36.30 ile 58.80 ve plastik limit (%) değerleri 17.21 ile 25.24 arasında değişmektedir (Çizelge 4.89).

Bu sondajda SPT darbe sayılarının 15 ile 46 arasında değiştiği görülmektedir. Darbe sayılarının derinliğe bağlı olarak değişimleri ile bu değerlerin kullanılmasıyla elde edilmiş taşıma gücü (q_a) değerleri ile kayma dalgası hızları (V_s) Çizelge 4.90'da verilmiştir.

Çizelge 4.89. SK 2 sondajından elde edilmiş örnekler üzerinde yapılmış deney verileri.

<i>Derinlik (m)</i>	γ_n (gr/cm ³)	γ_k (gr/cm ³)	<i>c</i> (kg/cm ²)	<i>LL (%)</i>	<i>PL (%)</i>	<i>Zemin Cinsi</i>
1.50 – 1.95	1.65	1.58	0.58	36.30	17.21	CL
3.00 – 3.45	1.74	1.66	1.31	-	-	-
4.50 – 4.95	1.74	1.66	1.72	-	-	-
7.50 – 7.95	1.85	1.77	4.98	46.82	25.24	CL
9.00 – 9.45	1.67	1.60	1.56	58.80	22.44	CH
10.50 – 10.95	1.75	1.68	2.91	53.20	23.42	CH
12.00 – 12.45	1.73	1.66	2.65	-	-	-
13.50 – 13.95	1.93	1.75	3.40	41.34	13.98	CL
15.00 – 15.45	1.92	1.83	0.52	46.80	24.11	CL

Çizelge 4.90. SK 2 sondajından elde edilen SPT darbe sayıları ve hesaplanan parametreler.

<i>Derinlik (m)</i>	<i>SPT – N₆₀</i>	<i>N₆₀</i>	q_a (kN/m ²)	V_s (m/sn)
1.50	15	8	103.3	227
3.00	25	14	180.8	266
4.50	24	14	180.8	263
6.00	-	-	-	-
7.50	45	25	322.8	320
9.00	42	24	309.9	313
10.50	46	26	335.7	322
12.00	35	20	258.3	296
13.50	46	26	335.7	322
15.00	44	25	322.8	318

SK-3 Sondajı (09838 D/ 94470 K)

Yüreğir ilçesi Bahçelievler mahallesinde yapılmıştır (Şekil 4.127). Kuyu yeri, İmadettin Levent İlköğretim Okulu'na yaklaşık 300 metre uzaklıktadır. Kuyu 15.45 m'de sonlandırılmış olup kuyu boyunca kesilen litoloji çok fazla değişmemiştir. Bu sondajda da üstteki 5 metrelük seviye için SPT değerleri oldukça uyumlu çıkmıştır. Üstte yine koyu kahverengi, plastik alüvyon kili yer almaktadır. 10. metreden sonra bu birim içerisinde karbonat çakılları ile birlikte kum boyutu malzeme de görülmektedir. Bu sondaja ait kuyu logu EK-2'de verilmiştir.

Bu sondajda kesilen kil birimi CL zemin sınıfında yer almaktadır. Doğal birim hacim ağırlıkları 1.66 ile 1.84 gr/cm³, likit limit % 29.10 ile % 48.80 ve plastik limit % 13.30 ile % 18.52 değerleri arasında değişmektedir (Çizelge 4.91).



Şekil 4.127. SK 3 (Bahçelievler Mah.) no'lu sondaj çalışmasından görünüm.

Çizelge 4.91. SK 3 sondajından elde edilmiş örnekler üzerinde yapılmış deney verileri.

<i>Derinlik</i>	γ_n (gr/cm ³)	γ_k (gr/cm ³)	<i>c</i> (kg/cm ²)	<i>LL (%)</i>	<i>PL (%)</i>	<i>Zemin Cinsi</i>
1.50 – 1.95	1.66	1.59	0.81	29.92	13.30	CL
4.50 – 4.95	1.71	1.63	1.25	29.10	17.24	CL
5.50 – 5.95	1.72	1.65	2.01	-	-	-
6.50 – 6.95	1.76	1.68	2.44	-	-	-
7.50 – 7.95	1.84	1.76	2.72	40.04	17.70	CL
9.00 – 9.45	1.79	1.71	2.54	48.80	18.52	CL
10.50 – 10.95	1.79	1.71	2.18	41.81	17.35	CL
12.00 – 12.45	1.72	1.65	1.56	-	-	-
13.50 – 13.95	1.75	1.68	2.60	45.20	20.05	CL
15.00 – 15.45	1.70	1.62	1.91	34.90	18.52	CL

SPT darbe sayıları SK 2 sondajına oldukça benzer şekilde 16 ile 49 arasında değişmektedir. SPT darbe sayılarının derinliğe bağlı olarak değişimleri ile bu değerlerin kullanılmasıyla elde edilmiş taşıma gücü (q_u) değerleri ile kayma dalgası hızları (V_s) Çizelge 4.92'de verilmiştir.

Çizelge 4.92. SK 3 sondajından elde edilen SPT darbe sayıları ve hesaplanan parametreler.

<i>Derinlik (m)</i>	<i>SPT – N₃₀</i>	<i>N₆₀</i>	<i>q_u (kN/m²)</i>	<i>V_s (m/sn)</i>
1.50	16	9	116.2	231
3.00	22	12	155.0	256
4.50	26	15	193.7	270
6.00	37	21	271.2	301
7.50	40	23	297.0	309
9.00	38	21	271.2	304
10.50	36	20	258.3	299
12.00	28	16	206.6	276
13.50	42	24	309.9	313
15.00	49	28	361.6	329

SK-4 Sondajı (12205 D/ 97832 K)

Yüreğir ilçesi Çamlıbel mahallesinde yapılmıştır (Şekil 4.128). Sondaj yeri, Şehit Gaffar Okan İlköğretim Okulu'na yaklaşık 100 metre uzaklıktadır. Kuyu 10.00 m'de sonlandırılmış olup kuyu boyunca kesilen litoloji değişmemiştir. Üstte yer alan koyu kahverengi, plastik alüvyon kili nispeten düşük SPT sayıları verirken 7. metreden sonra ince çakıl boyutu malzeme ile birlikte karbonat yumrularının artması nedeniyle SPT değerlerinde artışlar meydana gelmiştir. Bu sondaja ait kuyu logu EK-2'de verilmiştir.



Şekil 4. 128. SK 4 (Çamlıbel Mah.) no'lu sondaj çalışmasından görünüm.

Sondajda CL türü ince taneli zeminlerle birlikte SC-SM zemin grubunda iri taneli zeminlerin yer aldığı görülmüştür. CL türü killerin birim hacim ağırlıkları $1.865 - 1.95$ gr/cm^3 , likit limitleri % $22.80 - 46.60$ ve plastik limitleri % $13.28 - 24.13$ değerleri arasında değişmektedir (Çizelge 4.93).

Çizelge 4.93. SK 4 sondajından elde edilmiş örnekler üzerinde yapılmış deney verileri.

<i>Derinlik (m)</i>	γ_n (gr/cm^3)	γ_k (gr/cm^3)	c (kg/cm^2)	<i>LL (%)</i>	<i>PL (%)</i>	<i>Zemin Cinsi</i>
1.50 – 1.95	1.95	1.86	0.52	40.54	18.82	CL
3.00 – 3.45	1.99	1.91	1.38	22.80	16.55	SC-SM
4.50 – 4.95	1.92	1.84	0.23	34.36	13.28	CL
6.00 – 6.45	1.87	1.78	0.78	46.60	24.13	CL
7.50 – 7.95	1.86	1.78	0.96	35.04	18.00	CL
9.55 – 9.80	1.92	1.84	0.68	34.92	18.45	CL

SPT darbe sayılarının 19'dan başlayıp refü veren değerlere kadar gittiği görülmektedir. Darbe sayılarının derinliğe bağlı olarak değişimleri ile bu değerlerin kullanılmasıyla elde edilmiş taşıma gücü (q_a) değerleri ile kayma dalgası hızları (V_s) Çizelge 4.94'de verilmiştir.

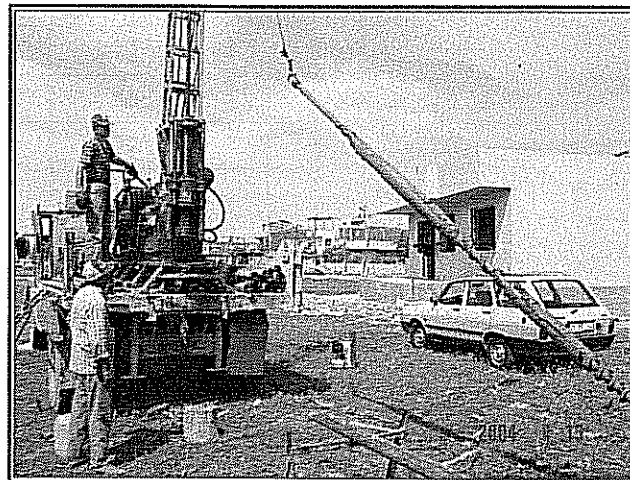
Çizelge 4.94. SK 4 sondajından elde edilen SPT darbe sayıları ve hesaplanan parametreler.

<i>Derinlik (m)</i>	<i>SPT – N_{30}</i>	N_{60}	q_a (kN/m^2)	V_s (m/s)
1.50	19	11	142.0	244
3.00	28	16	206.6	276
4.50	35	20	258.3	296
6.00	34	19	245.4	293
7.50	R	-	-	-
9.00	R	-	-	-

SK-5 Sondajı (12633 D/ 96533 K)

Yüreğir ilçesi Yenidoğan mahallesinde yapılmıştır (Şekil 4.129). Sondaj, İncirlik havaalanının yaklaşık 1 km batısındadır. Kuyu 10.00 m'de sonlandırılmış olup kuyu boyunca kesilen litoloji kısmen değişen özellikler göstermektedir. Diğer lokasyonlardan en belirgin fark koyu kahverengi alüvyon kili içerisindeki karbonat yumrularının 3 m gibi düşük bir

derinlikten hemen sonra görülmeye başlanmasıdır (Şekil 4.130). Bu durum SPT sayılarına artışlar şeklinde yansımıştır. Bu sondaja ait kuyu logu EK-2'de verilmiştir.



Şekil 4.129. SK 5 (Yenidoğan Mah.) no'lu sondaj çalışmasından görünüm.



Şekil 4.130. Karnıyarık tüpü içinden çıkan karbonat yumrulu kil birimi.

Kuyuda kesilen birimlerin diğer sondajlardakine benzer şekilde CL ve CH türü kiler oldukları tespit edilmiştir. Zeminlerin geneli için doğal b.h.a değerleri (γ_n) 1.73 ile 1.92 gr/cm³, likit limitleri % 28.48 ile % 58.80 ve plastik limitleri % 14.12 ile % 22.15 değerleri arasında değişmektedir (Çizelge 4.95).

SPT darbe sayıları sondaj derinliği boyunca 23 ile 60 arasında değişmektedir. Darbe sayılarının derinliğe bağlı olarak değişimleri ile bu değerlerin kullanılmasıyla elde edilmiş taşıma gücü (q_a) değerleri ile kayma dalgası hızları (V_s) Çizelge 4.96'da verilmiştir.

Çizelge 4.95. SK 5 sondajından elde edilmiş örnekler üzerinde yapılmış deney verileri.

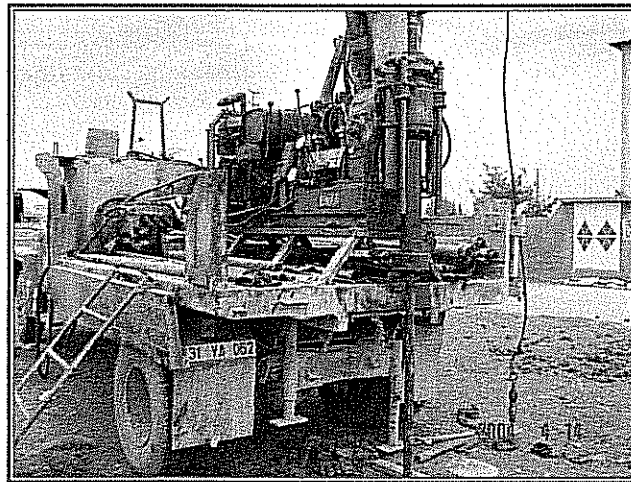
<i>Derinlik (m)</i>	γ_n (gr/cm ³)	γ_k (gr/cm ³)	<i>c</i> (kg/cm ²)	<i>LL (%)</i>	<i>PL (%)</i>	<i>Zemin Cinsi</i>
1.50 – 1.95	1.73	1.65	0.92	36.21	16.62	CL
3.00 – 3.45	1.86	1.77	0.30	28.48	14.12	CL
4.50 – 4.95	1.77	1.69	1.22	58.80	18.96	CH
6.00 – 6.45	1.82	1.74	1.06	51.62	22.15	CH
7.50 – 7.95	1.92	1.84	0.80	43.08	18.16	CL
9.55 – 10.00	1.91	1.84	0.60	41.81	17.88	CH

Çizelge 4.96. SK 5 sondajından elde edilen SPT darbe sayıları ve hesaplanan parametreler.

<i>Derinlik (m)</i>	<i>SPT – N₆₀</i>	<i>N₆₀</i>	<i>q_a</i> (kN/m ²)	<i>V_s</i> (m/sn)
1.50	23	13	167.9	259
3.00	40	23	297.0	309
4.50	40	23	297.0	309
6.00	37	21	271.2	301
7.50	32	18	232.4	288
9.00	60	34	439.1	350

SK-6 Sondajı (12110 D/ 94980 K)

Yüreğir ilçesi Levent mahallesinde yapılmıştır (Şekil 4.131). Kuyu yeri, E-5 karayolunun yaklaşık 2 km güneyindedir. Kuyu 15.45 m'de sonlandırılmış olup kuyu boyunca kesilen litoloji fazla değişken özellikler göstermemektedir. Diğer lokasyonlardan farklı olarak bu sondaj kuyusunda ölçülen değeriyle 5.40 m'de yer altı suyu ile karşılaşılmıştır. Birimin geneli az çakıl içeren karbonat yumrulu kilden oluşmaktadır. Kuyu sonunda elde edilen numunelerde karbonat yumrularının boyutlarında artış olmuştur, ancak bunun derinliğe bağlı olarak oluşumu ile ilgili bir tespitte bulunulamamıştır. Bu sondaja ait kuyu logu EK-2'de verilmiştir.



Şekil 4.131. SK 6 (Levent Mah.) no'lu sondaj çalışmasından görünüm.

SK 6 sondajında kesilen birimlerin CL türü killer oldukları belirlenmiştir. Birimlerin geneli için birim hacim ağırlıkları 1.71 ile 2.02 gr/cm^3 , likit limit değerleri % 32.30 ile % 42.70 ve plastik limit değerleri % 14.26 ile % 17.70 arasında değişim göstermektedir (Çizelge 4.97).

Çizelge 4.97. SK 6 sondajından elde edilmiş örnekler üzerinde yapılmış deney verileri.

<i>Derinlik (m)</i>	γ_n (gr/cm ³)	γ_k (gr/cm ³)	<i>c</i> (kg/cm ²)	<i>LL (%)</i>	<i>PL (%)</i>	<i>Zemin Cinsi</i>
3.00 – 3.45	1.71	1.64	2.14	32.30	15.56	CL
4.50 – 4.95	1.81	1.73	1.15	-	-	-
6.00 – 6.45	1.65	1.58	0.82	-	-	-
7.50 – 7.95	1.85	1.77	0.98	40.11	17.70	CL
9.00 – 9.45	2.02	1.93	0.62	42.70	16.86	CL
10.50 – 10.95	1.78	1.70	0.78	41.84	16.78	CL
12.00 – 12.45	1.69	1.62	0.74	-	-	-
13.50 – 13.95	1.89	1.81	1.12	36.28	14.26	CL
15.00 – 15.45	1.88	1.79	1.32	-	-	-

SK 6 sondajı da tipik alüvyon kili birimlerine ait özelliklerin tespit edildiği bir veri noktasıdır. Örselenmemiş zemin örnekleri üzerinde yapılmış serbest basınç dayanımı deney sonuçları birimin kohezyon değerlerinin 0.74 ile 2.14 kg/cm^2 arasında değişmekte olduğunu ortaya koymaktadır. Derinliğe bağlı olarak dayanım parametresinde artışın olduğu bir duruma rastlanmamıştır. Bunda, derinlik artışı ile birlikte karşılaşılan yeraltı suyunun birimin doygunluğunu artırarak dayanımının düşmesine neden olduğu etkili olmaktadır.

SPT darbe sayılarının 23 ile 56 değerleri arasında değiştiği lokasyon için SPT darbe sayılarının derinliğe bağlı olarak değişimleri ile bu değerlerin kullanılmasıyla elde edilmiş taşıma gücü (q_a) değerleri ve kayma dalgası hızları (V_s) Çizelge 4.98'de verilmiştir.

Çizelge 4.98. SK 6 sondajından elde edilen SPT darbe sayıları ve hesaplanan parametreler.

Derinlik (m)	$SPT - N_{30}$	N_{60}	q_a (kN/m ²)	V_s (m/sn)
1.50	23	13	167.9	259
3.00	24	14	180.8	263
4.50	26	15	193.7	270
6.00	35	20	258.3	296
7.50	35	20	258.3	296
9.00	26	15	193.7	270
10.50	32	18	232.4	288
12.00	25	14	180.8	266
13.50	45	24	310.0	320
15.00	56	32	413.2	343

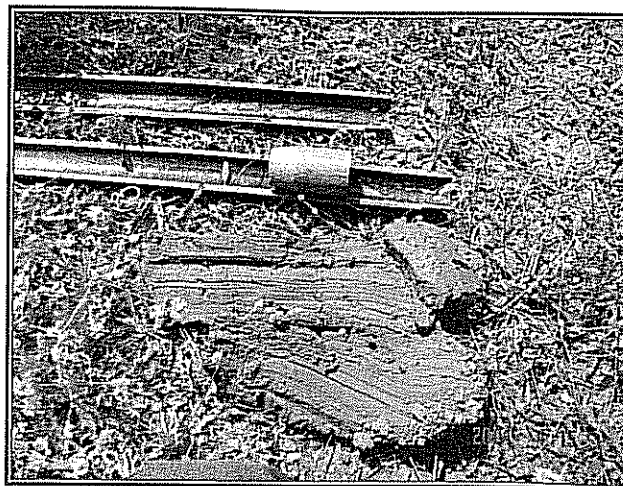
SK-7 Sondajı (08621 D/ 98282 K)

Yüreğir ilçesi Yavuzlar mahallesinde yapılmıştır (Şekil 4.132). Sondaj yeri, İl Jandarma Komutanlığı sınırları içerisinde yer almaktadır. Kuyu 10.00 m'de sonlandırılmış olup kuyu boyunca kesilen litoloji değişen özellikler göstermektedir. Yaklaşık 5.5-6.0 metre kalınlığındaki alüvyon kili (Şekil 4.133), altında gevşek kumlu çakıl ve bu birimin de altında kısmen ayrılmış, çimentolu kumlu taraça konglomerası yer almaktadır. Çakılı birim ve daha alttaki kumlu taraça biriminde yapılan SPT deneylerinde 50 darbe ile ancak 12 cm'lik ilerlemeler kaydedilmiştir. Bu seviyelerden örselenmemiş örnek alımı mümkün olamamıştır. Ancak SPT tüpleri içerisinde çıkan iri taneli malzemeler değerlendirilebilmiştir. Bu sondaja ait kuyu logu EK-2'de verilmiştir.

CL grubunu temsil eden alüvyon kiliinin birim hacim ağırlıkları 1.69 ile 1.82 gr/cm³, likit limit değerleri % 34.98 ile % 42.74 ve plastik limit değerleri % 14.18 ile % 17.00 arasında değişmektedir (Çizelge 4.99).



Şekil 4.132. SK 7 (Yavuzlar Mah.) no'lu sondaj çalışmasından görünüm.



Şekil 4.133. Burgu ile 4 m derinlikten çıkarılan alüvyon kili.

Çizelge 4.99. SK 7 sondajından elde edilmiş örnekler üzerinde yapılmış deney verileri.

<i>Derinlik (m)</i>	γ_n (gr/cm ³)	γ_k (gr/cm ³)	<i>c</i> (kg/cm ²)	<i>LL (%)</i>	<i>PL (%)</i>	<i>Zemin Cinsi</i>
1.50 – 1.95	1.69	1.61	1.20	34.98	14.18	CL
3.00 – 3.45	1.82	1.74	4.30	42.74	17.00	CL
4.50 – 4.95	1.63	1.56	2.21	-	-	-
7.50 – 7.95	1.80	1.73	0.61	-	-	Taraça

SPT darbe sayıları ilk 6 metrelük derinlik için 18 ile 25 arasında değişen değerler vermişlerdir. Darbe sayılarının derinliğe bağlı olarak değişimleri ile bu değerlerin kullanılmasıyla elde edilmiş taşıma gücü (q_a) değerleri ile kayma dalgası hızları (V_s) Çizelge 4.100'de verilmiştir.

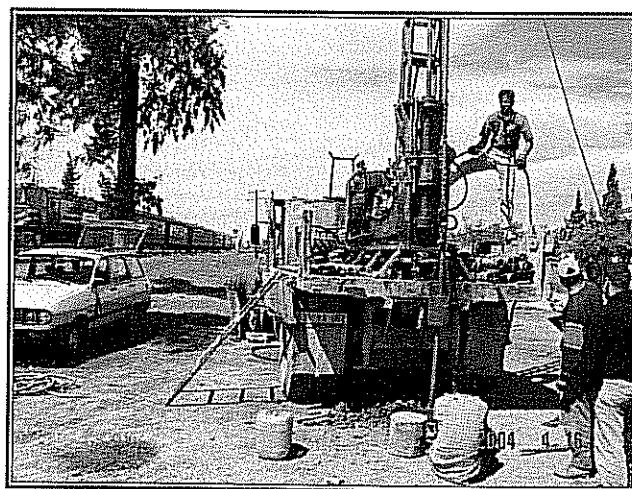
Çizelge 4.100. SK 7 sondajından elde edilen SPT darbe sayıları ve hesaplanan parametreler.

<i>Derinlik (m)</i>	<i>SPT – N₆₀</i>	<i>N₆₀</i>	<i>q_a (kN/m²)</i>	<i>V_s (m/sn)</i>
1.50	25	14	180.8	266
3.00	35	20	258.3	296
4.50	34	19	245.4	293
6.00	18	10	129.1	240
7.50	R	-	-	-
9.00	R	-	-	-

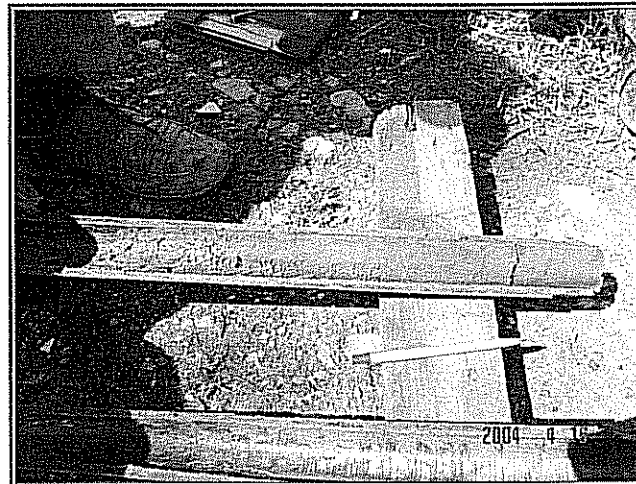
SK-8 Sondajı (04018 D/ 97066 K)

Seyhan ilçesi Narlıca mahallesinde yapılmıştır (Şekil 4.134). Sondaj yeri, 19 Mayıs Süper Lisesi'nin yaklaşık 300 m batısındadır. Başlangıçta 15.00 m olarak açılması düşünülen bu kuyu derine doğru göçmelerin başlaması nedeniyle 12.00 m'de sonlandırılmıştır. Kuyu boyunca alüvyon kili (Şekil 4.135), siltli kum, çakılı kum, kumlu çakıl litolojilerindeki birimlerle karşılaşılmıştır. 6. metreden sonra rastlanılan kum boyutu malzeme derine gittikçe irileşmiş ve çakıl, blok boyutları mertebesine ulaşmıştır. Kuyuda 7.0 metrede yeraltı suyuna rastlanmıştır. Bu durum iri taneli malzemenin doygun olmasına bu ise SPT değerlerinin değişmesine neden olmuştur. Bu sondaja ait kuyu logu EK-2'de verilmiştir.

Alüvyon klinin CH zemin grubunda olduğu, birim hacim ağırlığının 1.67 ile 1.82 gr/cm³, likit limit değerinin % 55.85 – 69.00 ve plastik limit değerinin % 16.49 – 23.62 arasında değiştiği belirlenmiştir (Çizelge 4.101).



Şekil 4.134. SK 8 (Narlıca Mah.) no'lu sondaj çalışmasından görünüm.



Şekil 4.135. SPT tüpü ile 4.50 m derinlikten çıkarılan plastik alüvyon kili.

Çizelge 4.101. SK 8 sondajından elde edilmiş örnekler üzerinde yapılmış deney verileri.

<i>Derinlik (m)</i>	γ_n (gr/cm ³)	γ_k (gr/cm ³)	<i>c</i> (kg/cm ²)	<i>LL (%)</i>	<i>PL (%)</i>	<i>Zemin Cinsi</i>
1.50 – 1.95	1.73	1.66	1.93	61.71	23.62	CH
3.00 – 3.45	1.82	1.78	1.91	69.00	20.91	CH
4.50 – 4.95	1.67	1.60	1.27	55.85	16.49	CH

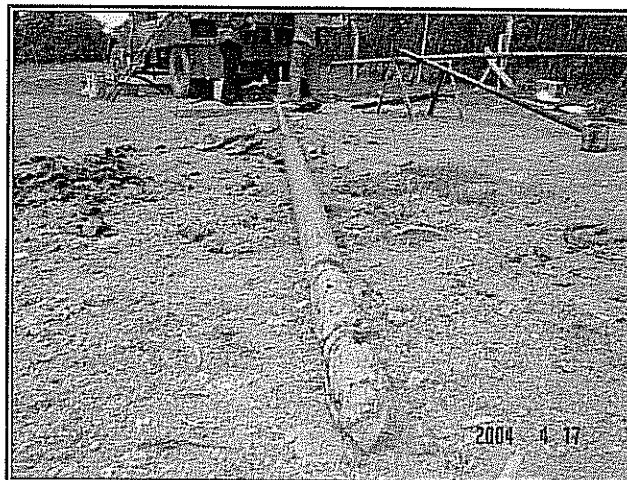
İnceleme derinliği boyunca SPT darbe sayılarının 27 ile 45 arasında değişmekte olduğu görülmüştür. Darbe sayılarının derinliğe bağlı olarak değişimleri ile bu değerlerin kullanılmasıyla elde edilmiş taşıma gücü (q_a) değerleri ile kayma dalgası hızları (V_s) Çizelge 4.102'de verilmiştir.

Çizelge 4.102. SK 8 sondajından elde edilen SPT darbe sayıları ve hesaplanan parametreler.

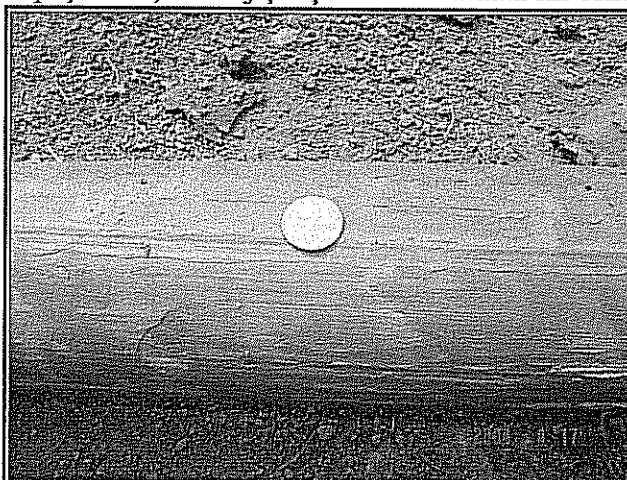
<i>Derinlik (m)</i>	<i>SPT – N₆₀</i>	<i>N₆₀</i>	q_a (kN/m ²)	<i>V_s</i> (m/sn)
1.50	34	19	245.4	293
3.00	36	20	258.3	299
4.50	29	16	206.6	279
6.00	27	15	193.7	273
7.50	R	-	-	-
9.00	37	21	271.2	301
10.50	45	24	310.0	320

SK-9 Sondajı (00944 D/ 97725 K)

Seyhan ilçesi Fevzipaşa mahallesinde yapılmıştır (Şekil 4.136). Sondaj yeri merkez otogarın yaklaşık 800 m kuzeybatısında yer almaktadır. Bu lokasyonda da yine hakim litoloji olarak kil birimi ile karşılaşılmıştır (Şekil 4.137). Kil birimine ince karbonat taneleri, ve kısmen çakıl boyutu malzemeler eşlik etmektedir. Birim içinde yer alan çakılların aşırı derecede altere oldukları ve el ile kolayca dağılabildikleri görülmektedir.

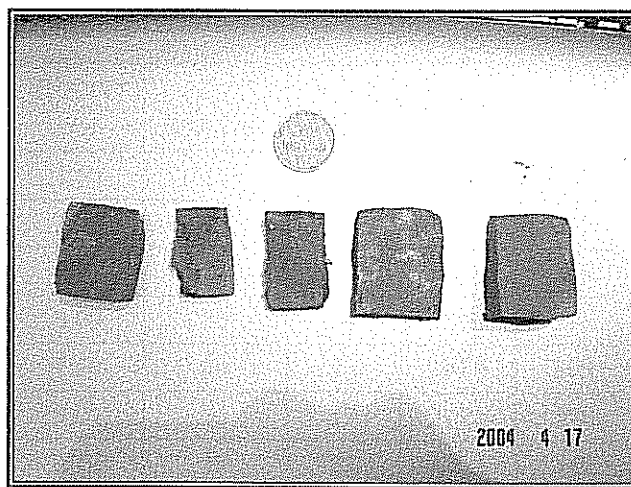


Şekil 4.136. SK 9 (Fevzipaşa mah) sondaj çalışmasından alınan kil örneğinin görünümü.



Şekil 4.137. SK-9 sondajında kesilen yüksek plastisiteli alüvyon kili.

Derine doğru inildikçe karbonat yumrularının boyutu ve sıklığı artmaktadır. Bu durum kuyu sonuna doğru SPT darbe sayılarının da ani artmasına neden olmuştur. 9. metreden sonra klin rengi kiremit kırmızısına yakın bir renge dönüşmüştür (Şekil 4.138). Kuyuda ölçülmüş olan yeraltı su seviyesi 12.70 m'dir. Kuyu 15.00 metrede sonlandırılmış olup kuyuya ait log EK-2'de verilmiştir.



Şekil 4.138. 9.00 metreden sonra karşılaşılan kırmızı renkli alüvyon kütlesi

CH zemin grubunda olduğu tespit edilen killerin birim hacim ağırlıkları 1.62-1.93 gr/cm³, likit limit değerleri % 52.23 – 78.52 ve plastik limit değerleri % 18.84- 25.50 değerleri arasında değişmektedir (Çizelge 4.103).

Çizelge 4.103. SK 9 sondajından elde edilmiş örnekler üzerinde yapılmış deney verileri.

<i>Derinlik (m)</i>	γ_n (gr/cm ³)	γ_k (gr/cm ³)	c (kg/cm ²)	<i>LL (%)</i>	<i>PL (%)</i>	<i>Zemin Cinsi</i>
1.50 – 1.95	1.70	1.63	0.72	52.23	18.84	CH
3.00 – 3.45	1.63	1.55	0.57	68.24	25.29	CH
4.50 – 4.95	1.62	1.55	0.82	-	-	-
6.00 – 6.45	1.65	1.58	0.31	73.25	21.50	CH
7.50 – 7.95	1.64	1.57	0.37	78.52	25.50	CH
9.00 – 9.45	1.93	1.85	0.74	-	-	-
10.50 – 10.95	1.63	1.56	0.81	67.22	23.11	CH

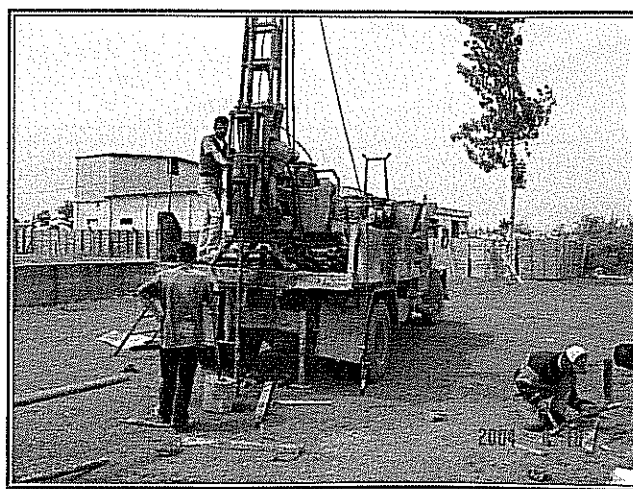
Bu sondajda SPT darbe sayıları en küçük 16 ve en yüksek refü veren değerler elde edilmiştir. Darbe sayılarının derinliğe bağlı olarak değişimleri ile bu değerlerin kullanılmasıyla elde edilmiş taşıma gücü (q_a) değerleri ile kayma dalgası hızları (V_s) Çizelge 4.104'de verilmiştir.

Çizelge 4.104. SK 9 sondajından elde edilen SPT darbe sayıları ve hesaplanan parametreler.

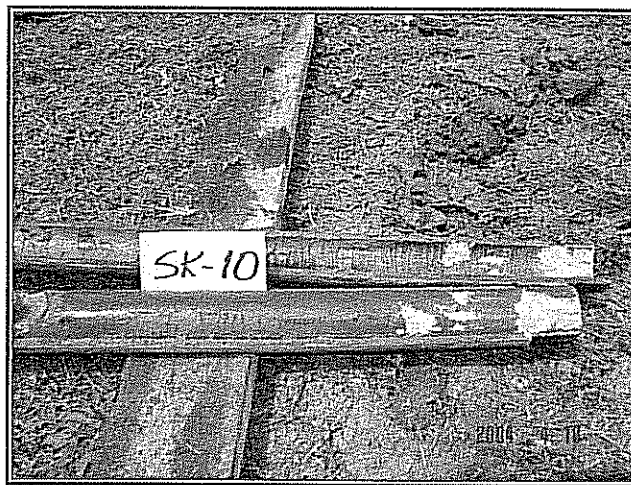
<i>Derinlik (m)</i>	<i>SPT – N₆₀</i>	<i>N₆₀</i>	<i>q_a (kN/m²)</i>	<i>V_s (m/sn)</i>
1.50	18	10	129.1	240
3.00	16	9	116.2	231
4.50	23	13	167.9	259
6.00	35	20	258.3	296
7.50	40	23	297.0	309
9.00	30	17	219.5	282
10.50	59	33	426.1	349
12.00	R	-	-	-
13.50	42	24	310.0	313
15.00	R	-	-	-

SK-10 Sondajı (99524 D/ 97579 K)

Seyhan ilçesi Yeşiloba Afetevleri’nde yapılmıştır (Şekil 4.139). Kuyu 14.90 metrede sonlandırılmış olup kuyu derinliği boyunca litolojik açıdan çok fazla değişim gözlenmemiştir. Üstte yer alan alüvyon kili diğer sondaj noktalarındakilerden farklı olmamakla birlikte daha alttaki açık kahve renkli ve onun altındaki kırmızımsı renkli, karbonatlı kil (Şekil 4.140) birimiyle SK 9 sondaj yeri kesitiyle eşleşmektedir. Bu kuyuda da SK 9 kuyusunda olduğu gibi derine doğru inildikçe karbonat yumrularının birim içerisindeki dağılımı artmaktadır. Ölçülen yeraltı su seviyesi 11.30 metredir. SK 10 sondajı kuyu logu EK-2’de verilmiştir.



Şekil 4.139. SK 10 (Yeşiloba Mah.) no'lu sondaj çalışmasından görünüm.



Şekil 4.140. Alüvyon kili içerisindeki karbonatlı seviyelerden birinin görünümü.

CH grubu zemin oldukları tespit edilen alüvyon killerinin doğal birim hacim ağırlıkları $1.68 - 1.72 \text{ gr/cm}^3$, likit limit değerleri % $51.88 - 76.90$ ve plastik limit değerleri % $16.23 - 23.37$ arasında yer almaktadır (Çizelge 4.105).

Çizelge 4.105. SK 10 sondajından elde edilmiş örnekler üzerinde yapılmış deney verileri.

<i>Derinlik (m)</i>	γ_n (gr/cm ³)	γ_k (gr/cm ³)	<i>c</i> (kg/cm ²)	<i>LL (%)</i>	<i>PL (%)</i>	<i>Zemin Cinsi</i>
1.50 – 1.95	1.69	1.62	1.17	58.04	16.23	CH
3.00 – 3.45	1.67	1.60	0.80	-	-	-
4.50 – 4.95	1.72	1.65	2.34	51.88	18.21	CH
6.00 – 6.45	1.69	1.62	1.51	69.28	21.00	CH
7.50 – 7.95	1.72	1.64	0.95	64.84	21.22	CH
9.00 – 9.45	1.68	1.61	1.12	70.53	16.85	CH
10.50 – 10.95	1.68	1.60	0.53	-	-	-
12.00 – 12.45	1.72	1.65	0.86	76.90	23.38	CH
14.55 – 14.90	1.74	1.66	0.12	71.63	22.44	CH

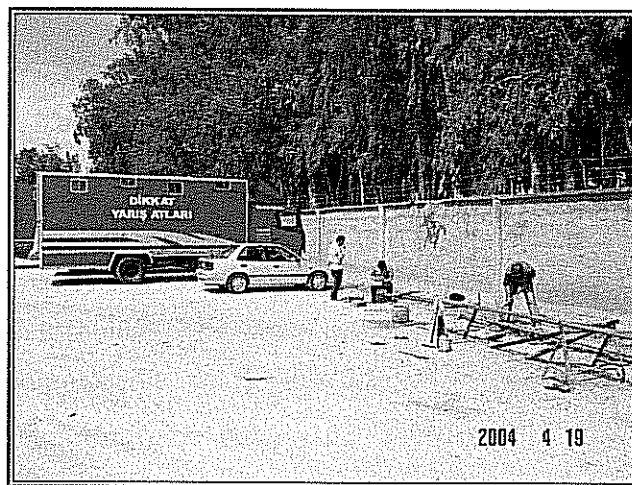
SPT darbe sayılarının derinliğe bağlı olarak değişimleri ile bu değerlerin kullanılmasıyla elde edilmiş taşıma gücü (q_a) değerleri ile kayma dalgası hızları (V_s) Çizelge 4.106'da verilmiştir.

Çizelge 4.106. SK 10 sondajından elde edilen SPT darbe sayıları ve hesaplanan parametreler.

<i>Derinlik (m)</i>	<i>SPT – N₆₀</i>	<i>N₆₀</i>	<i>q_a (kN/m²)</i>	<i>V_s (m/sn)</i>
1.50	23	13	167.9	259
3.00	23	13	167.9	259
4.50	35	20	258.3	296
6.00	41	23	297.0	311
7.50	44	25	322.8	318
9.00	44	25	322.8	318
10.50	36	20	258.3	299
12.00	R	-	-	-
13.50	R	-	-	-
15.00	R	-	-	-

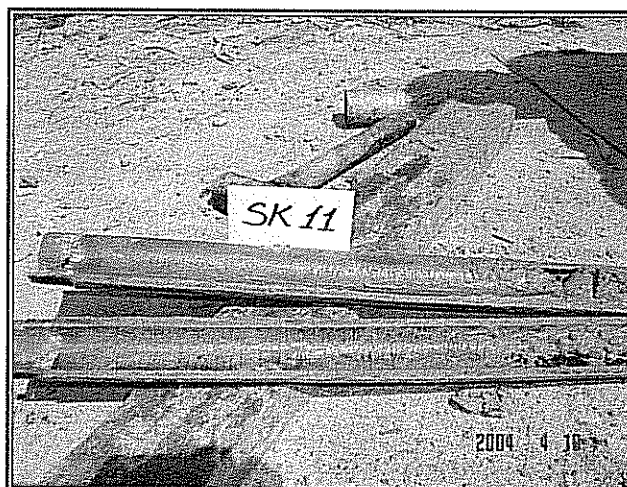
SK-11 Sondajı (98171 D/ 96555 K)

SK 11 sondajı, Adana il merkezi batısında yer alan hipodrom yerleşim alanı içerisinde yapılmıştır (Şekil 4.141). Sondaj noktası, E-5 karayolunun yaklaşık 300 metre güneyindedir. Kuyu 15.45 metrede tamamlanmış olup derinlik boyunca aykırı bir litoloji değişimi görülmemiştir.

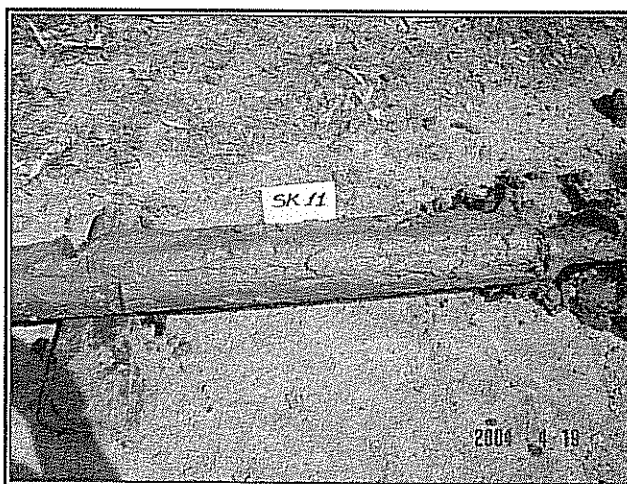


Şekil 4.141. SK 11 (Hipodrom) no'lu sondaj çalışmasından görünüm.

Üst seviyelerden itibaren karşılaşılan koyu kahverengi, yüksek plastisiteli, ince karbonat taneli ve az çakılı kil birimi kuyu sonuna kadar devam etmiştir (Şekil 4.142 ve Şekil 4.143).



Şekil 4.142. SK 11 sondajında kesilen koyu kahverengi, plastik saf alüvyon kili.



Şekil 4.143. Yeraltı su seviyesi altında burgu ile çıkarılmış alüvyon kili.

Seviyeler halinde kılın bileşimine kum boyutu malzemelerde eşlik etmiştir. Bu kumlu seviyeler kuyuya yeraltı su akışının olmasını sağlamış ve yeraltı su seviyesi 2.70 m olarak ölçülmüştür. Kuyunun genelinde SPT darbe sayılarının çok değişken olmayan düzenli bir dağılım sergilediği görülmektedir. Bu kuyuda, kil içerisinde yer alan karbonat yumrularının miktarı diğer sondaj yerlerine göre daha azdır. SK 11 sondajına ait kuyu logu EK-2'de verilmiştir.

Lokasyondan elde edilen örselenmemiş zemin numuneleri üzerinde yapılan deneyler CH zemin grubundaki killerin doğal birim hacim ağırlıklarının 1.60 ile 1.88 gr/cm³, likit limit değerlerinin % 58.52 ile % 73.11 ve plastik limit değerlerinin % 18.86 ile % 30.16 arasında değiştiği belirlenmiştir (Çizelge 4.107).

SK 11 sondajında SPT darbe sayılarının 12 ile 44 arasında değişmekte olduğu görülmüştür. SPT darbe sayılarının derinliğe bağlı olarak değişimleri ile bu değerlerin

kullanılmasıyla elde edilmiş taşıma gücü (q_a) değerleri ile kayma dalgası hızları (V_s) Çizelge 4.108'de verilmiştir.

Çizelge 4.107. SK 11 (Hipodrom) sondajından elde edilmiş örnekler üzerinde yapılmış deney verileri.

<i>Derinlik (m)</i>	γ_n (gr/cm ³)	γ_k (gr/cm ³)	<i>c</i> (kg/cm ²)	<i>LL (%)</i>	<i>PL (%)</i>	<i>Zemin Cinsi</i>
1.50 – 1.95	1.60	1.53	0.30	58.52	19.64	CH
3.00 – 3.45	1.72	1.65	0.63	59.80	21.13	CH
4.50 – 4.95	1.88	1.80	1.00	-	-	-
7.50 – 7.95	1.73	1.66	0.69	60.42	28.14	CH
9.00 – 9.45	1.79	1.71	0.67	58.95	18.86	CH
10.50 – 10.95	1.78	1.70	1.20	-	-	-
12.00 – 12.45	1.81	1.73	0.71	67.21	30.16	CH
13.50 – 13.95	1.72	1.65	1.16	61.77	19.18	CH
15.00 – 15.45	1.88	1.80	1.37	73.11	28.29	CH

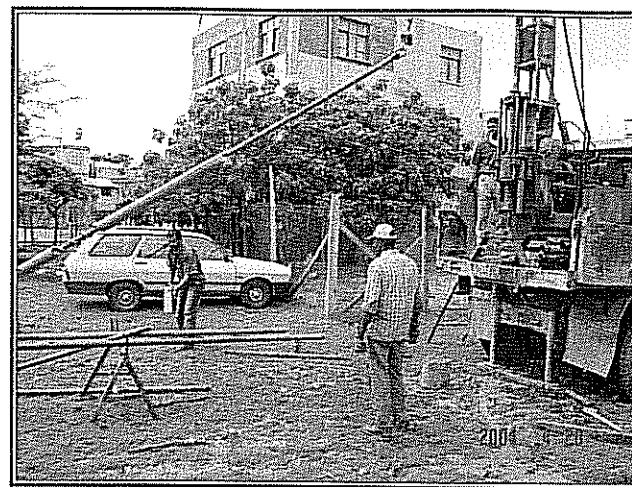
Çizelge 4.108. SK 11 sondajından elde edilen SPT darbe sayıları ve hesaplanan parametreler.

<i>Derinlik (m)</i>	<i>SPT – N₆₀</i>	<i>N₆₀</i>	<i>q_a</i> (kN/m ²)	<i>V_s</i> (m/sn)
1.50	12	7	90.4	211
3.00	21	12	155.0	252
4.50	44	25	322.8	318
6.00	35	20	258.3	296
7.50	27	16	206.7	273
9.00	29	16	206.7	279
10.50	36	20	258.3	299
12.00	35	20	258.3	296
13.50	31	17	219.5	285
15.00	43	24	310.0	316

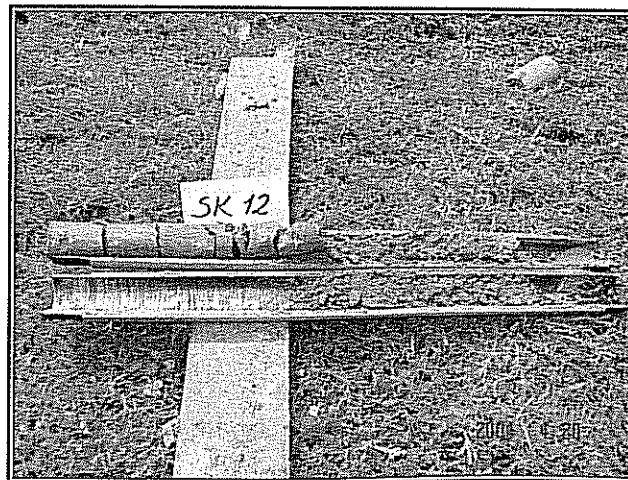
SK-12 Sondajı (03272 D/ 98111 K)

Seyhan ilçesi Yeşilevler mahallesinde yapılmıştır (Şekil 4.144). Sondaj, Kıyı Boyu Caddesi güneyinde yer almaktadır. Kuyu 12.15 metrede sonlandırılmış olup kuyu genelinde kesilmiş litoloji alüvyon kilidir. Kuyudan alınan örneklerin bazı seviyelerde az kum içeren kıl oldukları görülmektedir (Şekil 4.145). Kum içeriğine bağlı olarak birimin rengi koyu

kahverenginden açığa doğru değişmekte ve litoloji kumlu siltli kil, kumlu silt halini almaktadır. 6. metreden sonra SPT darbe sayılarında belirgin bir artış göze çarpmaktadır. Bunun nedeni, kum ile kılın, bağlayıcı vazifesi gören karbonatla bir araya gelmesi sonucu sertleşerek taşlaşmış olmasıdır. Bu seviyeden sonra birim kısmen pekleşmiş bir durumda bulunmaktadır. Kuyuda yeraltı su seviyesine rastlanmamış olup kuyu logu EK-2'de verilmiştir.



Şekil 4.144. SK 12 (Yeşilevler Mah) no'lu sondaj çalışmasından görünüm.



Şekil 4.145. SPT tüpü ile alınmış kum içeren alüyon kili örneği.

Alüyon kılının hem CH ve hem de CL zemin grubunda olduğu tespit edilmiştir. Birimin geneli için doğal birim hacim ağırlıkları 1.66 ile 1.74 gr/cm^3 , likit limitleri % 40.85 ile % 51.62 ve plastik limitleri % 17.23 ile % 24.13 değerleri arasında değişmektedir (Çizelge 4.109).

Çizelge 4.109. SK 12 sondajından elde edilmiş örnekler üzerinde yapılmış deney verileri.

<i>Derinlik (m)</i>	γ_n (gr/cm ³)	γ_k (gr/cm ³)	<i>c</i> (kg/cm ²)	<i>LL (%)</i>	<i>PL (%)</i>	<i>Zemin Cinsi</i>
3.00 – 3.45	1.71	1.63	1.03	51.62	24.13	CH
4.50 – 4.95	1.69	1.62	0.91	43.18	18.25	CL
9.00 – 9.45	1.66	1.60	2.98	40.85	17.23	CL
12.00 – 12.45	1.74	1.66	0.55	-	-	-

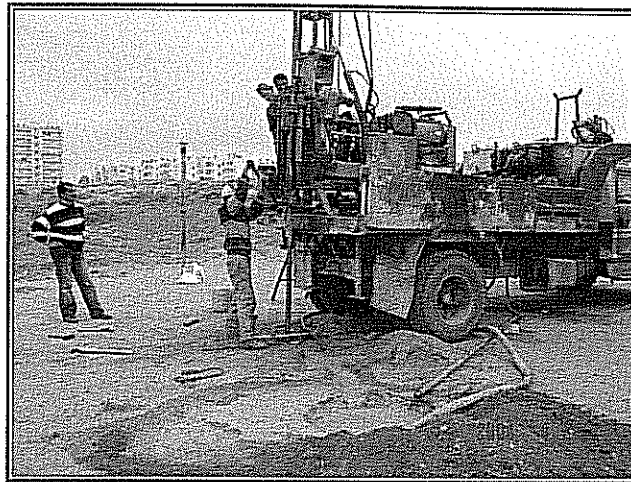
SPT darbe sayıları 6. metreden sonra artarak refü değerleri vermiştir. Bununla birlikte daha üst seviyelerde 21 ile 46 değerleri arasında değişen darbe sayıları elde edilmiştir. SPT değerleri kullanılarak elde edilmiş taşıma gücü (q_a) değerleri ile kayma dalgası hızları (V_s) Çizelge 4.109'da verilmiştir.

Çizelge 4.110. SK 12 sondajından elde edilen SPT darbe sayıları ve hesaplanan parametreler.

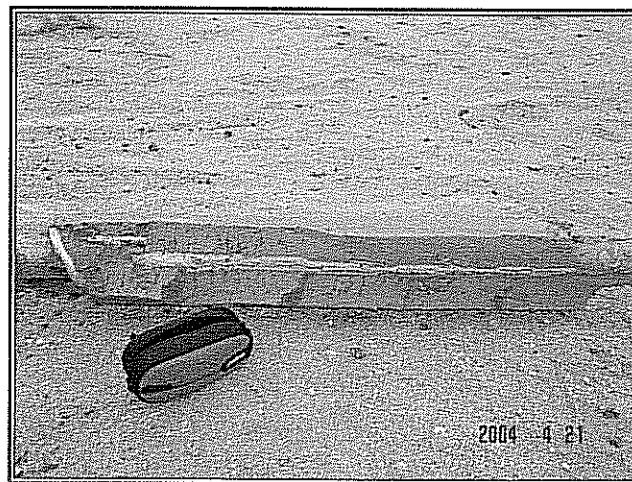
<i>Derinlik (m)</i>	<i>SPT – N₆₀</i>	<i>N₆₀</i>	q_a (kN/m ²)	V_s (m/sn)
1.50	21	12	155.0	252
3.00	33	19	245.4	290
4.50	46	26	335.7	322
6.00	R	-	-	-
7.50	R	-	-	-
9.00	R	-	-	-
10.50	R	-	-	-
12.00	R	-	-	-

SK-13 Sondajı (01443 D/ 00512 K)

Seyhan ilçesi 2000 Evler mahallesinde yapılmıştır (Şekil 4.146). Kuyu 12.15 metrede sonlandırılmıştır. Kaliş birimi içerisinde açılmış olan bir kuyudur. Kuyuda ilerlemeye başlangıçta kuru sistem başlanmış ancak ilerleme kaydedilemediği için ardından sulu sisteme geçilmiştir. Kaliş kili olarak isimlendirilen birim sondajın ilk metrelerinden itibaren görülmeye başlanmıştır (Şekil 4.147), daha derinlere doğru ise birim sert karbonat yumruları ile birlikte bulunmuştur. 4. metreden sonra ilerleme hızındaki yavaşlama ile birlikte SPT darbe sayıları da artmaya başlamıştır. 10 m derinlikten sonra, krem-açık sarı renkli, bitki kalıntıları içeren Handere Kili'ne girilmiştir. Kuyuda yeraltı suyuna rastlanmamış olup kuyu logu EK-2'de verilmiştir.



Şekil 4.146. SK 13 (2000 Evler Mah.) no'lu sondaj çalışmasından görünüm.



Şekil 4.147. SK 13 lokasyonu üst seviyelerinde kesilen karbonatsız kaliş kili.

SK 13 sondajında kesilen kaliş kili CH zemin grubunda yer almaktadır. Kilin birim hacim ağırlığı $1.69 - 1.93 \text{ gr/cm}^3$, likit limit değerleri % $59.74 - 61.46$ ve plastik limit değerleri % $18.68 - 24.22$ arasında değişmektedir (Çizelge 4.111).

Çizelge 4.111. SK 13 sondajından elde edilmiş örnekler üzerinde yapılmış deney verileri.

<i>Derinlik (m)</i>	γ_n (gr/cm ³)	γ_k (gr/cm ³)	<i>c</i> (kg/cm ²)	<i>LL (%)</i>	<i>PL (%)</i>	<i>Zemin Cinsi</i>
1.50 – 1.95	1.69	1.62	0.88	60.00	20.33	CH
3.00 – 3.45	1.88	1.71	1.11	61.46	18.68	CH
4.50 – 4.75	1.91	1.77	0.71	59.74	24.22	CH
7.50 – 7.74	1.93	1.84	0.98	60.61	20.98	CH

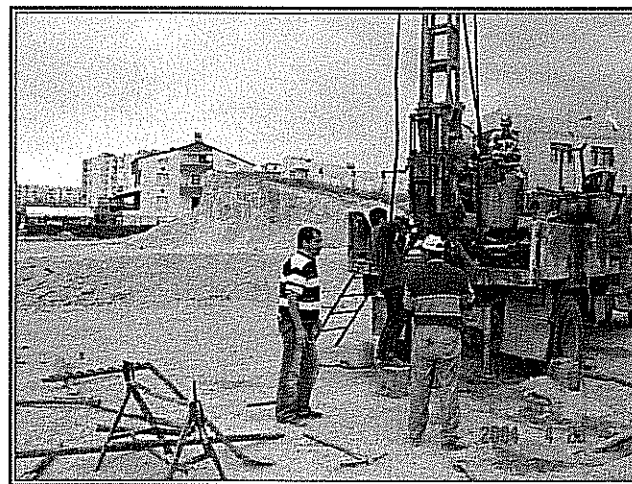
SPT darbe sayılarının derinliğe bağlı olarak değişimleri ile bu değerlerin kullanılmasıyla elde edilmiş taşıma gücü (q_a) değerleri ile kayma dalgası hızları (V_s) Çizelge 4.112'de verilmiştir.

Çizelge 4.112. SK 13 sondajından elde edilen SPT darbe sayıları ve hesaplanan parametreler.

<i>Derinlik (m)</i>	<i>SPT – N₃₀</i>	<i>N₆₀</i>	<i>q_a (kN/m²)</i>	<i>V_s (m/sn)</i>
1.50	40	23	297.0	309
3.00	74	42	542.4	374
4.50	R	-	-	-
6.00	R	-	-	-
7.50	R	-	-	-
9.00	R	-	-	-
10.50	R	-	-	-
12.00	R	-	-	-

SK-14 Sondajı (00079 D/ 01665 K)

Seyhan ilçesi 100.Yıl Kadırbeyoğlu mahallesinde yapılmıştır. Yüzeyde kaliş mostrallarının da görülebildiği SK 14 sondajı 10.00 metrede sonlandırılmış olup tamamen kaliş birimi içinde ilerlenmiştir (Şekil 4.148). SPT yüzeyden itibaren yüksek değerler vermiştir. Bu durum kaliş içerisinde yer alan çakıl boyutu taneler ve karbonat yumrularından kaynaklanmıştır. Karot alımı çalışmalarında başarılı olunamaması, sediman örnekler ve SPT tüplerinden çıkan örneklerin değerlendirilmelerini zorunlu kılmıştır. Kuyuda yeraltı suyuna rastlanmamış olup kuyu logu EK-2'de verilmiştir.



Şekil 4.148. SK 14 (100 Yıl Kadırbeyoğlu Mah.) no'lu sondaj çalışmasından görünüm.

Sondajda ilk SPT seviyesinden sonra hem örselenmemiş örnek alımı ve hem de SPT yapımı imkansız hale geldiğinden bu anlamda istenilen bilgiler tam olarak alınamamıştır. Deney yapılan seviyeye ait bilgiler Çizelge 4.113'de verilmiştir.

Çizelge 4.113. SK 14 sondajından elde edilmiş örnekler üzerinde yapılmış deney verileri.

<i>Derinlik</i>	γ_n (gr/cm ³)	γ_k (gr/cm ³)	<i>c</i> (kg/cm ²)	<i>LL (%)</i>	<i>PL (%)</i>	<i>Zemin Cinsi</i>
1.50 – 1.95	1.60	1.53	1.33	68.58	22.75	CH

SK-15 Sondajı (03505 D/ 00085 K)

Seyhan ilçesi Pınar mahallesinde yapılmıştır (Şekil 4.149). Sondaj yeri Ayfer Doğruol İlköğretim okuluna yaklaşık 150 m mesafededir. Kuyu 10.00 metrede sonlandırılmış olup seviyelere bağlı olarak belirgin litoloji değişimleri tespit edilmiştir. Üstte yer alan kırmızı renkli karbonat yumrulu kil birimi (Şekil 4.150) 4.5 – 5.0 metreden sonra çakılı kil halini almıştır. Bu seviyeden sonra SPT değerlerindeki artışın nedeni de kil içerisinde yer alan çakıllar ve karbonat yumrulu seviyeler olmuştur. Kuyuda yeraltı suyuna rastlanılmamış olup kuyu logu EK-2'de verilmiştir.



Şekil 4.149. SK 15 (Pınar Mah.) no'lu sondaj çalışmasından görünüm.

CH zemin grubu kil olduğu tespit edilmiş olan birime ait birim hacim ağırlıklarının, likit limit ve plastik limit değerlerinin oldukça dar bir aralıkta değişmekte olduğu dikkat çekicidir (Çizelge 4.114).



Şekil 4.150. Kırmızı renkli karbonat yumrulu kaliş kili.

Çizelge 4.114. SK 15 sondajından elde edilmiş örnekler üzerinde yapılmış deney verileri.

<i>Derinlik (m)</i>	γ_n (gr/cm ³)	γ_k (gr/cm ³)	<i>c</i> (kg/cm ³)	<i>LL (%)</i>	<i>PL (%)</i>	<i>Zemin Cinsi</i>
1.50 – 1.95	1.74	1.65	1.03	68.15	22.32	CH
3.00 – 3.45	1.72	1.65	0.94	64.40	21.91	CH
7.50 – 7.86	1.71	1.64	0.23	59.74	20.24	CH
9.55 – 10.00	1.74	1.66	0.26	52.22	24.21	CH

Karbonat yumrulu seviyelerin fazlalığı SPT darbe sayılarında da artışlara neden oluşturur. Darbe sayılarının derinliğe bağlı olarak değişimleri ile bu değerlerin kullanılmasıyla elde edilmiş taşıma gücü (q_a) değerleri ile kayma dalgası hızları (V_s) Çizelge 4.115'de verilmiştir.

Çizelge 4.115. SK 15 sondajından elde edilen SPT darbe sayıları ve hesaplanan parametreler.

<i>Derinlik (m)</i>	<i>SPT – N₃₀</i>	<i>N₆₀</i>	q_a (kN/m ²)	V_s (m/sn)
1.50	24	14	180.8	263
3.00	52	29	374.5	335
4.50	R	-	-	-
6.00	R	-	-	-
7.50	R	-	-	-
9.00	55	31	400.3	341

SK-16 Sondajı (04536 D/ 98360 K)

Seyhan ilçesi Mithatpaşa mahallesinde yapılmıştır. Sondaj yeri Defne caddesi üzerinde yer almaktadır. Sondaj çalışmaları ile ilgili planlama öncesi, alüvyon içerisinde ilerleneceği düşünülen ve bu yüzden 10.00 m olarak tasarılanan kuyuda 2 metreden sonra taraça birimine girilmiş olmasından dolayı kuyu 5.00 metrede sonlandırılmıştır. Taraça birimi içerisindeki ilerlemeler, taraçanın gevşek tutturulmuş ve büyük ölçüde ayrılmış olmasından ötürü zor olmuş ve bu, örnek alımını da imkansız hale getirmiştir. SK 16 sondajına ait kuyu logu EK-2'de verilmiştir. Bu sondajdan elde edilen kısıtlı bilgiler Çizelge 4.116'da verilmiştir.

SPT darbe sayılarının derinliğe bağlı olarak değişimleri ile bu değerlerin kullanılmasıyla elde edilmiş taşıma gücü (q_a) değerleri ile kayma dalgası hızları (V_s) Çizelge 4.117'de verilmiştir.

Çizelge 4. 116. SK 16 sondajından elde edilmiş örnekler üzerinde yapılmış deney verileri.

<i>Derinlik (m)</i>	γ_n (gr/cm ³)	γ_k (gr/cm ³)	<i>c</i> (kg/cm ²)	<i>LL (%)</i>	<i>PL (%)</i>	<i>Zemin Cinsi</i>
1.50 – 1.95	1.69	1.61	0.98	61.17	22.74	CH
2.00 – 5.00	-	-	-	-	-	Taraça

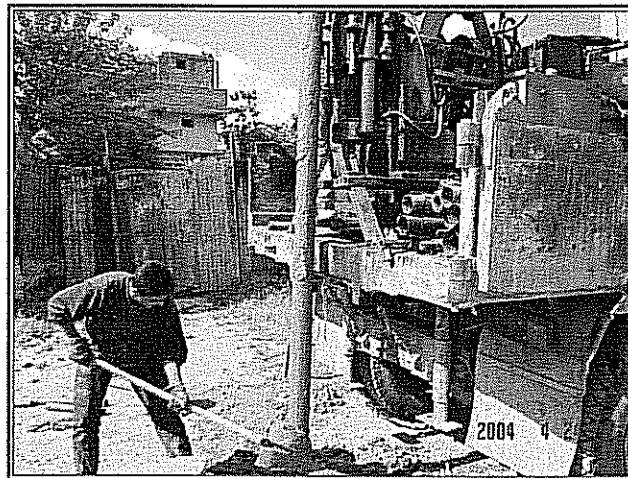
Çizelge 4.117. SK 16 sondajından elde edilen SPT darbe sayıları ve hesaplanan parametreler.

<i>Derinlik (m)</i>	<i>SPT – N₃₀</i>	<i>N₆₀</i>	q_a (kN/m ²)	V_s (m/s)
1.50	51	29	374.5	333
3.00	R	-	-	-
4.50	-	-	-	-

SK-17 Sondajı (06397 D/ 95863 K)

Seyhan ilçesi Mirzaçelebi mahallesinde yapılmıştır (Şekil 4.151). Kuyu 10.00 metrede sonlandırılmıştır. Alüvyon içerisinde yapılan sondajlar içinde sadece bu lokasyon, ortaya çıkardığı sonuçlar açısından diğerlerinden farklılık sunmaktadır. Üstte 3.5 m kalınlığındaki alüvyon kili ile karışık dolgu malzemenin varlığı başlangıçta beklenenden çok farklı bir birimle karşılaşmasına neden olmuştur. Bu dolgu malzeme zaman içerisinde sıkışmış olduğundan SPT darbe sayıları kısmen yüksek değerler vermiştir. Dolgu malzemenin altında (4.50 m) SPT darbe sayıları çok düşük değerler (6-8) veren çamur niteliğinde (siltli kil) bir birim ile karşılaşılmıştır (Şekil 17). Kuyuda ölçülen yeraltı su seviyesi 5.80 metredir. Yeraltı

suyunun da etkisiyle iyice yumuşayan bu birim kuyu sonuna doğru (8.5 – 9.0 metreler arasında) kumlu kil – killi kum litolojisine dönüşmektedir (Şekil 4.152). Üstteki seviyeye göre daha sert bir litolojiyi oluşturan bu seviye içerisinde iri çakıl boyutu malzemelerin varlığı da dikkati çekmektedir. Lokasyona ait kuyu logu EK-2'de verilmiştir.



Şekil 4.151. SK 17 (Mirzaçelebi Mah.) no'lu sondaj çalışmasından görünüm.

Alüvyon kili CL zemin grubunda yer almaktadır. Birimin doğal birim hacim ağırlığı 1.71 ve 1.75 gr/cm^3 , likit limit değeri % 34.88 – 43.62 ve plastik limit değeri % 16.15 – 18.52 olarak belirlenmiştir. SC zemin grubu ile tanımlanmış olan kumlu kil birimi ise 1.89 ile 1.94 gr/cm^3 doğal birim hacim ağırlığı değerleri vermiştir (Çizelge 4.118).



Şekil 4.152. SK 17 sondajından alınan alüvyon kilinin örneğinin görünümü.

Üstte yer alan dolgudan dolayı ilk 2 SPT seviyesi değerlendirme dışı tutulduğunda, SPT darbe sayılarının 6 ile 23 arasında değiştiği görülür. Darbe sayılarının derinliğe bağlı olarak değişimleri ile bu değerlerin kullanılmasıyla elde edilmiş taşıma gücü (q_a) değerleri ile kayma dalgası hızları (V_s) Çizelge 4.119'da verilmiştir.

Çizelge 4.118. SK 17 sondajından elde edilmiş örnekler üzerinde yapılmış deney verileri.

<i>Derinlik (m)</i>	γ_n (gr/cm ³)	γ_k (gr/cm ³)	<i>C</i> (kg/cm ²)	<i>LL (%)</i>	<i>PL (%)</i>	<i>Zemin Cinsi</i>
1.50 – 1.95	1.74	1.66	3.99	-	-	Dolgu
3.00 – 3.45	1.76	1.68	2.01	-	-	Dolgu
4.50 – 4.95	1.71	1.65	0.88	43.62	18.52	CL
6.00 – 6.45	1.75	1.61	0.74	34.88	16.15	CL
7.50 – 7.95	1.89	1.78	0.46	41.48	28.20	SC
9.55 – 10.00	1.94	1.81	0.39	35.20	24.13	SC

Çizelge 4.119. SK 17 sondajından elde edilen SPT darbe sayıları ve hesaplanan parametreler.

<i>Derinlik (m)</i>	<i>SPT – N₃₀</i>	<i>N₆₀</i>	<i>q_a</i> (kN/m ²)	<i>V_s</i> (m/sn)
1.50	52	29	374.5	335
3.00	26	15	193.7	270
4.50	6	3	38.7	170
6.00	8	5	64.6	186
7.50	18	10	129.1	240
9.00	23	13	167.8	259

4.4.3. Arazi ve Laboratuar Deney Verilerinin Değerlendirilmesi

Bu bölümde, yapılan sondajlardan elde edilen SPT-N değerleri ve örselenmemiş deney numuneleri üzerinde yapılan serbest basınç dayanımı deney verilerinin değerlendirilmesi yapılmıştır. Bilindiği gibi SPT-N darbe sayıları ile ince taneli zeminlerin kıvamları arasında tanımlanmış ilişkiler bulunmaktadır. Terzaghi ve Peck tarafından ilk kez 1948 yılında tanımlanan bu ilişkiler, sonradan çeşitli araştırmacılarla değişikliklere uğramış olsa da temel özellikleriyle aynı kalmıştır. Das (1998), killerin kıvamları ile SPT darbe sayıları arasındaki bu ilişkiyi Çizelge 4.120'deki haliyle tanımlamıştır.

Sondaj çalışmaları esas olarak alüvyon çökellerinin mühendislik özelliklerini belirlemek amacıyla yapılmıştır. Kaliş birimlerinde açılan SK 13 ve SK 14 sondajları ise alüvyonlarda açılmış sondajlara göre zemin hakkında daha az bilginin alınıldığı kuyular olmuşlardır. Bu durum karış çökellerinin kendi özelliklerinin klasik sondaj yöntemleri ile zemin incelemelerine uygun olmamalarından kaynaklanmaktadır. Bu bakımdan SK 13 ve SK 14 sondaj noktalarının değerlendirme dışı bırakılması daha uygun görülmüştür.

Çizelge 4.120. SPT-N değerleri ile killerin kıvam dereceleri arasındaki ilişki (Das, 1988).

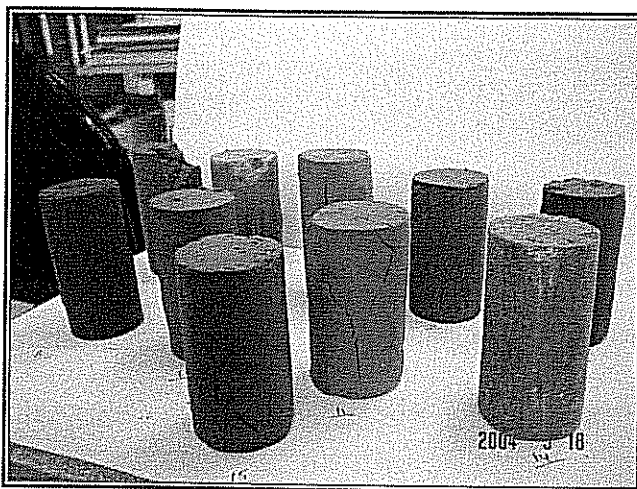
SPT-N	Kıvam Tanımı	Serbest basıncı dayanımı	
		kN/m ²	kg/cm ²
0 - 2	Çok yumuşak	0 - 25	0 - 0.25
2 - 4	Yumuşak	25 - 50	0.25 - 0.50
4 - 8	Orta katı	50 - 100	0.50 - 1.00
8 - 16	Katı	100 - 200	1.00 - 2.00
16 - 32	Çok katı	200 - 400	2.00 - 4.00
> 32	Sert	> 400	> 4.00

Alüvyon çökelleri içerisinde yapılan sondajlardan elde edilen SPT-N değerleri 6 ile 60 arasında değişim göstermektedir. Geneli ince taneli zeminler olarak ele alındığında, yapılan sondajlarda SPT-N darbe sayılarına göre zeminin kıvam tanımlamaları Çizelge 4.121'de görüldüğü şekilde ortaya çıkmaktadır. Buna göre alüvyon killerinin büyük çoğunluğu “Çok katı – Sert” kil grubunda yer almaktadır.

Çizelge 4.121. Yapılan sondajlardan elde edilmiş SPT-N değerlerine göre kıvam tanımı.

Sondaj No	SPT-N		Kıvam Tanımı	
	Minimum	Maksimum	Minimum	Maksimum
SK – 1	9	53	Katı	Sert
SK – 2	15	46	Katı	Sert
SK – 3	16	49	Katı	Sert
SK – 4	19	35	Çok katı	Sert
SK – 5	23	60	Çok katı	Sert
SK – 6	23	56	Çok katı	Sert
SK – 7	18	35	Çok katı	Sert
SK – 8	27	45	Çok katı	Sert
SK – 9	16	59	Çok katı	Sert
SK – 10	23	44	Çok katı	Sert
SK – 11	12	44	Katı	Sert
SK – 12	21	46	Çok katı	Sert
SK – 15	24	55	Çok katı	Sert
SK – 16	-	51	-	Sert
SK – 17	6	52	Orta katı	Sert

Alüvyon kılının mekanik özelliklerinin belirlenmesi amacıyla sondajlardan elde edilen örselenmemiş zemin örnekleri üzerinde serbest basınç dayanımı deneyleri yapılmıştır. Bu amaçla 36 mm çapında ve 72 mm yüksekliğinde hazırlanmış deney numuneleri kullanılmıştır (Şekil 4.153). Daha önceki bölümde her sondaj noktası için seviyelere bağlı olarak elde edilmiş kohezyon değerleri verilmiştir. Burada, elde edilen kohezyon değerlerinin geneli ile ilgili bir değerlendirmede bulunulmuştur.



Şekil 4.153. Serbest basınç dayanımı deneylerinde kullanılmış bazı örneklerin deney sonrası görünümü.

Literatürde ince taneli zeminlerde SPT-N değerlerine bağlı olarak kohezyon değerlerinin belirlenmesinde kullanılan çeşitli empirik bağıntılar mevcuttur. Bunlardan en fazla kullanılanları Hara ve diğ, 1971 (Yıldırım, 2002'den) ve Stroud, 1974 (Yıldırım, 2002'den) tarafından verilmektedir;

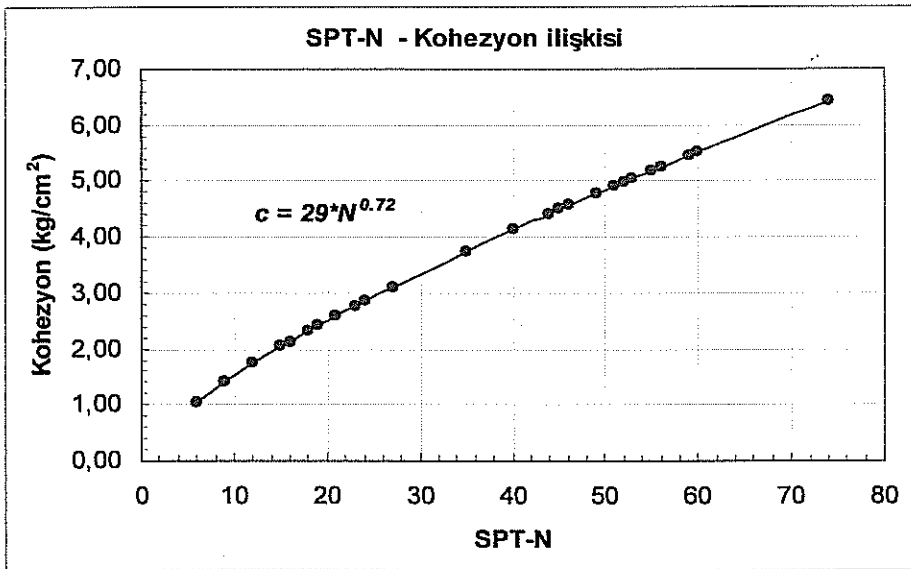
$$c = 29 * N^{0.72} \text{ (kN/m}^2\text{)} \quad (\text{Hara ve diğ, 1971; Yıldırım, 2002'den}) \quad (4.20)$$

$$c = f_l * N \quad (\text{kN/m}^2\text{)} \quad (\text{Stroud, 1974; Yıldırım, 2002'den}) \quad (4.21)$$

Bu bağıntıda;

f_l , yüksek plastisiteli zeminlerde 4.0 ve orta plastisiteli zeminlerde 6.0 değerini alan bir sayıdır.

(4.20) bağıntısı yardımıyla, bu çalışmada elde edilmiş olan en düşük ve en yüksek SPT-N değerleri kullanılarak hesaplanmış kohezyon değerlerinin değişimleri Şekil 4.154'de görülmektedir.



Şekil 4.154. Hara ve diğ., 1971 (Yıldırım, 2002'den) bağıntısı kullanılarak elde edilmiş SPT-N, kohezyon değerleri ilişkisi.

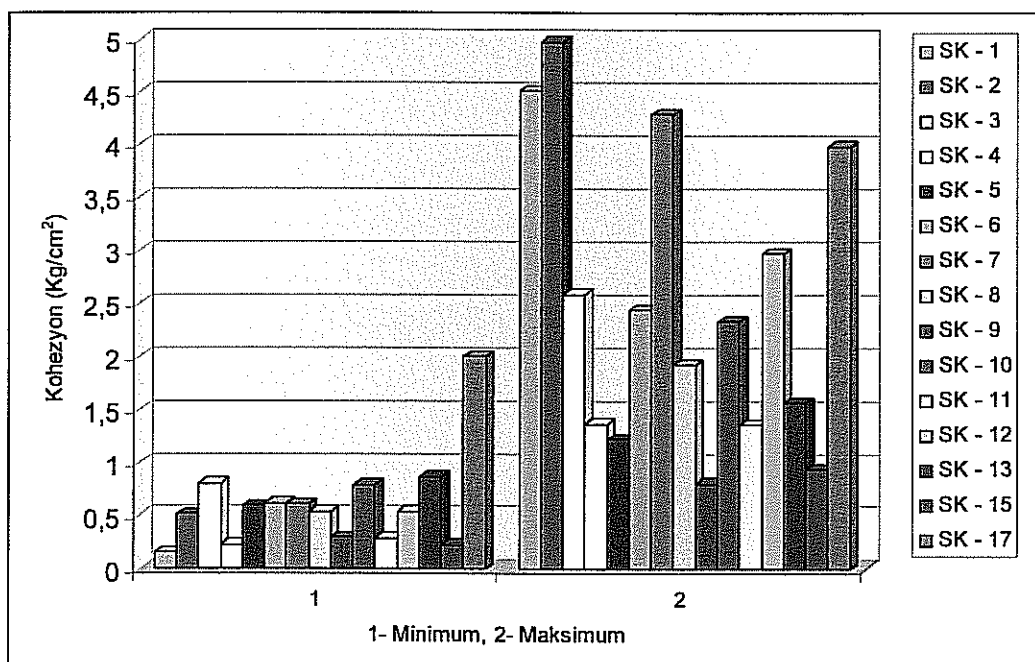
Çizelge 4.122 ise yapılan sondajlardan elde edilen ve bu amaçla seçilen 88 adet örselenmemiş silindirik zemin numunesi üzerinde gerçekleştirilen serbest basınç deneyi sonuçlarına ait minimum ve maksimum değerleri vermektedir. Her sondaj lokasyonu için elde edilmiş olan en düşük ve en yüksek SPT darbe sayıları kullanılarak hesaplanmış kohezyon değerleri Çizelge 4.122'de ayrı bir sütun içerisinde belirtilmiştir. Ampirik bağıntı kullanılarak elde edilmiş olan kohezyon değerlerinin deneyeyle bulunan değerlere göre oldukça yüksek oldukları dikkat çekicidir. Şekil 4.155'deki grafik de değerlerin kolay değerlendirilmesini sağlamak amacıyla laboratuar deneyleri ile elde edilmiş aynı verileri göstermektedir.

Birim içerisinde elde edilmiş minimum ve maksimum Kohezyon değerleri arasındaki fark özellikle SK-1, SK-2 ve SK-7 sondajlarında yüksek çıkan değerle vermektedir. Bu farklılık birimler için elde edilmiş SPT-N değerlerine de kısmen yansımaktadır. Laboratuar deneyleri ile elde edilmiş kohezyon değerlerinin sondaj veri noktalarına göre değişmesinde birimin doygunluğunun, homojenliğinin, ince tane içerisindeki iri tane miktarının ve karbonatlı seviye fazlalığının etkili olacağı düşünülmektedir. Özellikle alüvyon kili içerisindeki karışışmeye bağlı karbonat içeriği, birimin sertliğini yükselterek dayanım parametrelerinin daha fazla çıkışmasına neden olmaktadır.

Şekil 155, laboratuar deneyleri ile elde edilmiş kohezyon değerlerinin değerlendirilmesinde SK-1 ve SK-2 kuyularının maksimumlar açısından en yüksek değerler verdiği göstermektedir.

Çizelge 4.122. Sondajlardan elde edilmiş kohezyon değerlerinin değişim aralıkları.

Sondaj No	Kohezyon, c (kg/cm^2) (deney ile bulunan)		Deney Sayısı	SPT-N		Kohezyon, c (kg/cm^2) (bağıntı ile bulunan)	
	Minimum	Maksimum		Minimum	Maksimum	Minimum	Maksimum
SK - 1	0.16	4.51	3	9	53	1.41	5.05
SK - 2	0.52	4.97	9	15	46	2.04	4.57
SK - 3	0.81	2.59	9	16	49	2.13	4.77
SK - 4	0.23	1.37	6	19	35	2.41	3.75
SK - 5	0.60	1.22	6	23	60	2.77	5.53
SK - 6	0.62	2.44	10	23	56	2.77	5.26
SK - 7	0.61	4.29	4	18	35	2.32	3.75
SK - 8	0.55	1.92	3	27	45	3.11	4.49
SK - 9	0.31	0.81	7	16	59	2.13	5.46
SK - 10	0.80	2.33	9	23	44	2.77	4.42
SK - 11	0.29	1.36	9	12	44	1.73	4.42
SK - 12	0.55	2.98	4	21	46	2.59	4.56
SK - 13	0.88	1.56	2	40	74	4.13	6.43
SK - 14	1.32	1.32	1	-	-	-	-
SK - 15	0.23	0.94	3	24	55	2.86	5.19
SK - 16	0.98	0.98	1	-	51	-	4.91
SK - 17	2.00	3.98	2	6	52	1.05	4.98



Şekil 4.155. Deneye tabi tutulan örneklerden elde edilen kohezyon değerlerinin sondaj noktalarına göre değişimleri.

Laboratuar deneyleri ile elde edilmiş kohezyon değerleri ile ampirik bağıntı ile bulunan kohezyon değerleri arasındaki belirgin fark, bağıntı ile bulunan değerlerin daha yüksek olduğunu ortaya koymaktadır. Bu anlamda deneysel olarak bulunmuş laboratuar deney verilerinin daha doğru olacakları düşünülmektedir.

4.5. Jeofizik Çalışmalar

Jeofizik yöntemlerle mühendislik jeolojisi uygulamalarına ait çözümlerin üretilmesi gelişmiş teknolojik aletlerin ortaya çıkması ile daha kolay bir hal almıştır. Jeofizik yöntemlerin yerinde yapılan arazi deneyleri olması bazen tercih edilirliklerine neden olmaktadır. En yaygın olarak kullanılan jeofizik yöntemler rezistivite (özdirenç) ve sismik yöntemleridir. Bu yöntemler ile elde edilen farklı jeolojik bilgiler karşılaştırılmalı olarak Çizelge 4.123'de gösterilmiştir.

Çizelge 4.123. Farklı jeofizik yöntemlerin elde edilen bilgiler açısından karşılaştırılması.

JEOFİZİK YÖNTEM	
Rezistivite yöntemleri	Sismik yöntemler
Tabaka kalınlıkları	Tabaka kalınlıkları
Tabaka derinlikleri	Tabaka derinlikleri
Tabaka özdirenç değerleri	P ve S dalga hızları
-	Yeraltı suyu derinliği
Yeraltı suyu derinliği	Zemin dinamik özellikleri
-	-

Bu çalışma kapsamında Adana ili yerleşim alanı içerisinde önceden yerleri belirlenmiş toplam 17 lokasyonda jeofizik yöntemler kullanılarak incelemeler yapılmıştır. Lokasyonların belirlenmesinde uygun serim yapılabilecek, gürültü açısından nispeten durgun, yüksek gerilim hatlarının olmadığı, ölçüm cihazlarının kolay yerleştirilebileceği düz alanlar seçilmiştir. Ölçüm yerlerinin tamamında (JF 1 numaralı ölçüm noktası hariç) aynı nokta için ard arda önce sismik serim ardından rezistivite (Düşey elektrik sondajı) ölçüm çalışmaları yapılmıştır. Bu şekilde, alınacak bilgilerin doğruluklarının korele edilebilmeleri amaçlanmıştır. Çizelge 4.124, bu çalışma kapsamında yapılmış olan jeofizik ölçüm lokasyonlarına ait yer bilgileri ile etüt güzergahı ve etüdüne yapıldığı litolojiye ait bilgileri vermektedir.

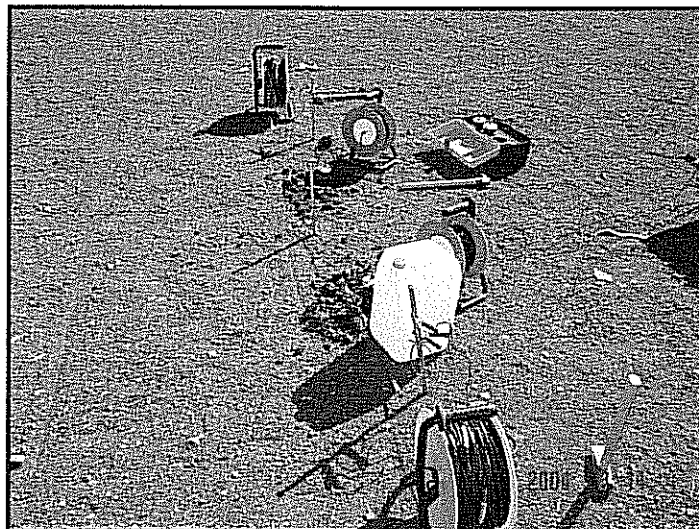
4.5.1. Rezistivite Ölçümleri

Bu çalışmadaki rezistivite ölçümlerinde 12 volt akü beslemeli, 6 kademeli Kanada üretimi Fonics marka rezistivite cihazı kullanılmıştır (Şekil 4.156). Pot aralıkları 1 m olarak uygulanmış ve ölçümler potlardan 1, 2, 3, 4, 6, 8, 10, 13, 16, 20, 25 ve 30 metrelilik uzaklıklar için alınmıştır. Bu sayede yerin 30 m altı ile ilgili bilgi sahibi olunması amaçlanmıştır. Yanal süreksizliklerden daha az etkilenen ve derinden cevap alma yeteneği daha yüksek olan

Schlumberger açılımı bu rezistivite yöntemi için uygun olarak seçilmiştir. Bilindiği gibi Schlumberger açılımında elektrotlar bir doğru boyunca dizilirler ve merkezdeki bir noktaya göre simetrik olarak yer alırlar.

Çizelge 4.124. Jeofizik ölçüm yapılan araştırma noktalarına ait bilgiler.

<i>Etit No</i>	<i>Koordinat</i>	<i>Rakam</i>	<i>Yer Adı</i>	<i>Serim Yönü</i>	<i>Serim boyu</i>	<i>Litoloji</i>
JF 1	09274 D 95944 K	21 m	Dedekorkut (Anadolu) Mah.	G – K	60 m	Alüvyon
JF 2	11178 D 95129 K	20 m	Koza Mah.	K – G	60 m	Alüvyon
JF 3	10960 D 97215 K	32 m	Atakent Mah.	K – G	60 m.	Alüvyon
JF 4	10528 D 00221 K	36 m	PTT Evleri Mah.	K – G	60 m	Alüvyon
JF 5	08940 D 01190 K	50 m	Oto pazarı	K – G	60 m	Taraça
JF 6	06412 D 00665 K	60 m	Beyazevler Mah.	K – G	60 m	Taraça
JF 7	04479 D 03152 K	66 m	K.Evren Bulvarı (kazı çukuru içi)	K – G	60 m	Taraça
JF 8	03596 D 04016 K	88 m	AGV batısı, göl kenarı	K - G	60 m	Handere Kili
JF 9	01172 D 96963 K	29 m	Otogar güneyi	K – G	60 m	Alüvyon
JF 10	00376 D 99510 K	44 m	Real kuzeyi	KB - GD	60 m	Alüvyon
JF 11	01007 D 01323 K	76 m	Umutum özel eğitim kurumu	K – G	60 m	Kalış
JF 12	99507 D 00426 K	57 m	Kireçocağı (Bahçeşehir) Mh.	K – G	60 m	Kalış
JF 13	01188 D 03536 K	152 m	Belediye evleri Mah.	K – G	60 m	Kalış
JF 14	02400 D 02393 K	100 m	Başkent okulları güneyi	K – G	60 m	Kalış
JF 15	04522 D 00703 K	59 m	Mavi Bulvar	K – G	60 m	Taraça
JF 16	05801 D 97414 K	18 m	Döşeme Mah.	GD – KB	60 m	Alüvyon
JF 17	08647 D 94909 K	18 m	Güneşli Mah.	G - K	60 m	Alüvyon



Şekil 4.156. Düşey elektrik sondajı (DES) ölçümlerinde kullanılan rezistivite sistemi.

Zemin ve kaya türlerinin farklı elektrik direnç değerleri sunmaları onların litolojik olarak ayırt edilebilmelerine olanak sağlamaktadır. Ancak değişik litolojiye sahip birimlerin aynı elektrik özdirenç değerlerine sahip olabildikleri sıkça görülmektedir. Bu durumda bölgesel jeolojinin kısmen bilinmesi bu dezavantajın ortadan kaldırılmasını sağlayabilmektedir.

Zemin içerisindeki kıl oranı arttıkça özdirenç değeri düşmektedir, kıl oranı azaldıkça veya yerini silt, kum ve çakıla bırakıkça özdirenç değeri yükselmektedir. Literatürde çeşitli litolojik birimler için öngörülen tipik özdirenç değerleri bulunmaktadır (Schroeder ve Dickenson, 1996).

Çalışma alanı içerisinde önceden belirlenmiş olan 16 noktada düşey elektrik sondajı (DES) çalışması yapılmıştır. Veri kıyaslamaları yapılırken özdirenç değerleri yerel jeolojik birimlerle korele edilerek yorumlanmıştır. Bu çalışmalar ile bölgenin 30 m derinliğe kadar olan kısmı için özdirenç seviye haritaları çizilerek yeraltını oluşturan birimlerin doğal görünümleri ortaya konulmaya çalışılmıştır. Çalışmada ölçüm yapılan lokasyonlarda derinliklere bağlı olarak elde edilmiş özdirenç değerleri her lokasyon için ayrı olacak şekilde daha önceki bölgelerde birimlere ait alt başlıklar altında anlatılmıştır. Bu çalışmada düşey elektrik sondajı ölçümleri ile elde edilmiş değerlerin lokasyonlara göre değişimleri Çizelge 4.125'de gösterilmiştir.

4.5.2. Sismik Ölçümler

Sismik yöntem ile araştırmalar yer içinden sismik dalga geçişine karşı yer süreksizliklerinin gösterdiği farklı tepkilerin belirlenmesini kapsar. Herhangi bir kaynaktan yayılan dalgalar farklı uzaklıklardaki alıcılarla izlenirken, yayının geometrisine bağlı olarak bu yöntem;

*Sismik Kırılma (Seismic Refraction)

*Sismik Yansıma (Seismic Reflection)

olmak üzere ikiye ayrılır. Bu çalışmada bu yöntemlerden sismik kırılma uygulanmıştır.

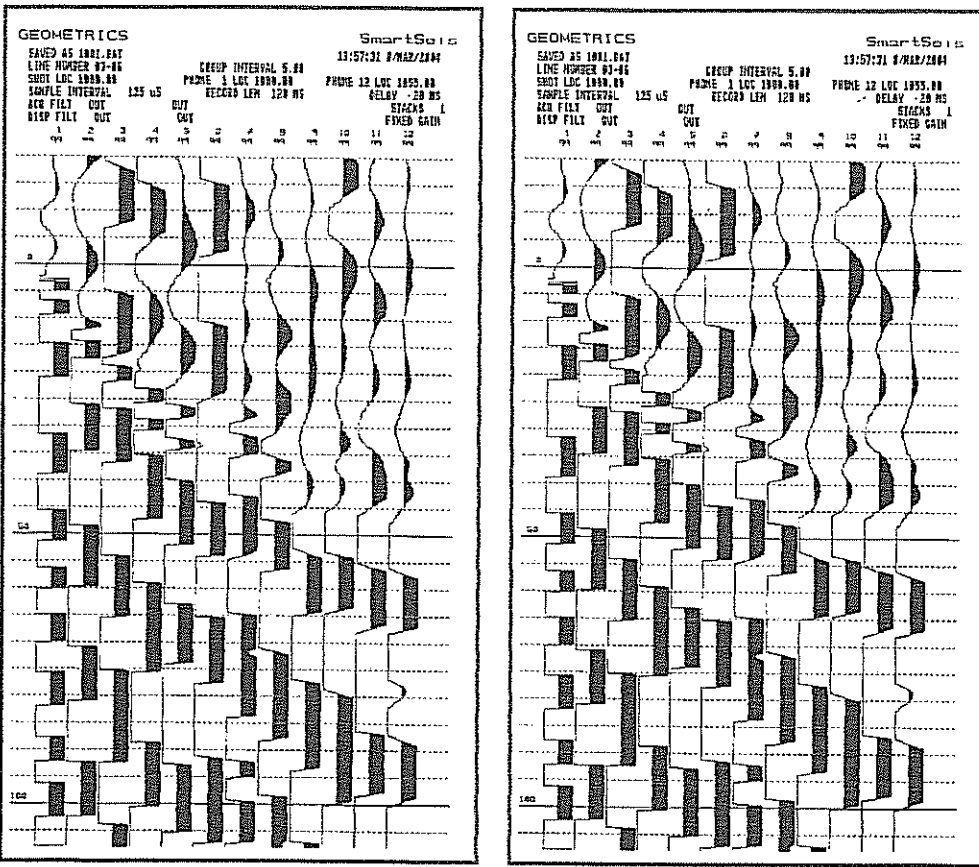
Sismik çalışmalar, zeminde yapay bir kaynak tarafından üretilen elastik dalgaların yer içerisinde yayılırken kırılma ve yansımı ile zemin ortamının fiziksel özelliklerini kaydedici cihaza taşımaları prensibine dayanır. Yöntem üretilen P ve S dalgalarının yer içinde yayılma ve yansımı hızlarının tespit edilmesine olanak verir. Bunlardan özellikle sismik enine-kayma-dalgası (V_s) zeminin mekanik özelliklerini belirlemeye kullanılan en önemli parametredir. Kayma mukavemeti düşük olan zeminlerde sismik kayma dalgası hızları düşüktür. Kayma dalgası hızının artması ortamın sertlik ve yoğunluğunun artmasını ifade eder. Kayma dalgası hızları 700 m/s den büyük olan jeolojik birimler ana kaya olarak kabul edilmektedirler. Kayma dalgası hızlarının 200 m/s den küçük olduğu jeolojik birimler ise yeraltı su seviyesinin yüksek olduğu yumuşak, kalın alüvyon tabakalar, gevşek kum, yumuşak kil ve siltli kil zeminler olarak tanımlanabilirler.

Bu çalışmada Amerikan malı, 12 kanallı, Geometrics marka sismik ölçüm cihazı kullanılmıştır. 60 m uzunluk için 12 P dalgası ve 12 S dalgası ölçüm jeofonu serilmiştir. Enerji üretiminde impulsif enerji kaynaklarından 8 kg'lık balyoz kullanılmış, jeofon aralıkları 5 m ve off-set aralıkları 1 m olarak seçilmiştir. Cihaz ile elde edilen kayıtlardan sismik boyuna dalgaların (V_p) ve sismik enine dalgaların (V_s) jeofonlara geliş zamanları okunarak yol-zaman grafikleri elde edilmiştir. Bu değerlendirmelerle sismik hızlar, tabaka kalınlıkları, ve zeminlerin dinamik parametreleri hesaplanmıştır. Şekil 4.157 bu çalışmada kullanılan sismik kayıt cihazı ile elde edilmiş bazı kayıt verisi grafiklerini göstermektedir.

Sismik ölçümler yer içinde yayılan boyuna (longitudinal) veya sıkışma (kompressional) V_p , ayrıca enine (transversal) veya kayma (shear) V_s , sismik dalga türlerinin her ikisinin ölçülmesi şeklinde yapılmıştır. Sismik çalışmalarla belirlenmiş olan mühendislik parametreleri de rezistivite değerleri gibi “Birimlerin Mühendislik Özellikleri” başlıklı bölümde her birim için ayrı olmak üzere verilmiştir.

Çizelge 4.125. Rezistivite ölçüm noktalarında derinlige bağlı olarak elde edilmiş özdirenç değerleri.

Düşey Elektrik Sondajı Ölçüm Noktası ve Özdirenç (ohm.m) Değerleri																
Derinlik (m)	JF-2	JF-3	JF-4	JF-5	JF-6	JF-7	JF-8	JF-9	JF-10	JF-11	JF-12	JF-13	JF-14	JF-15	JF-16	JF-17
1	-	10.6	16.9	49.2	11.1	70.4	8.1	20.9	7.1	28.2	13.2	53.8	64.7	58.2	21.0	9.7
2	9.8	8.9	16.6	53.4	19.3	111.1	8.8	25.0	7.7	28.0	17.3	52.4	101.2	70.2	23.6	11.8
3	9.9	8.4	19.4	55.2	26.6	119.8	9.3	26.7	8.2	24.0	16.2	37.4	107.0	64.8	21.5	13.1
4	9.6	7.8	21.0	56.8	33.7	123.2	9.3	26.4	8.4	21.4	14.7	38.8	90.9	36.8	20.0	16.5
5	8.6	8.6	21.7	57.7	39.6	122.5	9.4	22.5	8.7	20.3	13.7	33.2	73.0	30.5	19.0	19.4
6	8.4	8.8	21.9	60.8	46.2	116.0	9.3	19.4	9.2	19.2	13.3	28.0	54.4	21.0	17.8	22.4
8	8.0	9.0	21.3	65.3	58.2	101.0	8.5	14.0	9.3	17.1	13.5	20.0	40.2	16.2	15.7	27.8
10	7.9	9.4	20.9	66.0	70.4	80.8	7.7	10.7	9.3	15.9	13.8	18.2	33.3	14.8	14.5	32.2
13	8.0	9.8	20.3	69.5	88.0	56.2	6.9	8.4	9.3	14.0	14.8	15.4	27.3	14.9	14.5	37.9
16	8.2	9.9	17.3	69.7	98.8	37.3	6.8	8.0	9.4	12.7	14.6	14.6	30.1	17.4	15.0	37.7
20	8.3	10.6	14.1	72.6	116.5	21.4	6.8	8.2	9.6	11.2	14.4	11.4	31.4	21.1	16.3	38.1
25	8.9	10.9	13.0	75.7	133.6	(24.5 m) 13.5	7.3	9.5	10.2	10.3	13.5	10.5	36.4	28.7	16.8	37.9
30	9.6	11.6	13.1	75.4	144.1	-	7.5	10.5	10.9	9.1	12.8	9.4	42.5	30.4	19.0	34.4
													JF 12	Bahçeşehir Mah.		
													JF 13	Karslı Mah. (AGV)		
													JF 14	Otogar		
													JF 15	Real kuzeyi		
													JF 16	Umudum Özel Eğitim		
													JF 17	Güneşli Mah.		



Şekil 4.157. Sismik cihaz ile elde edilmiş veri kavıtlarından örnekler:

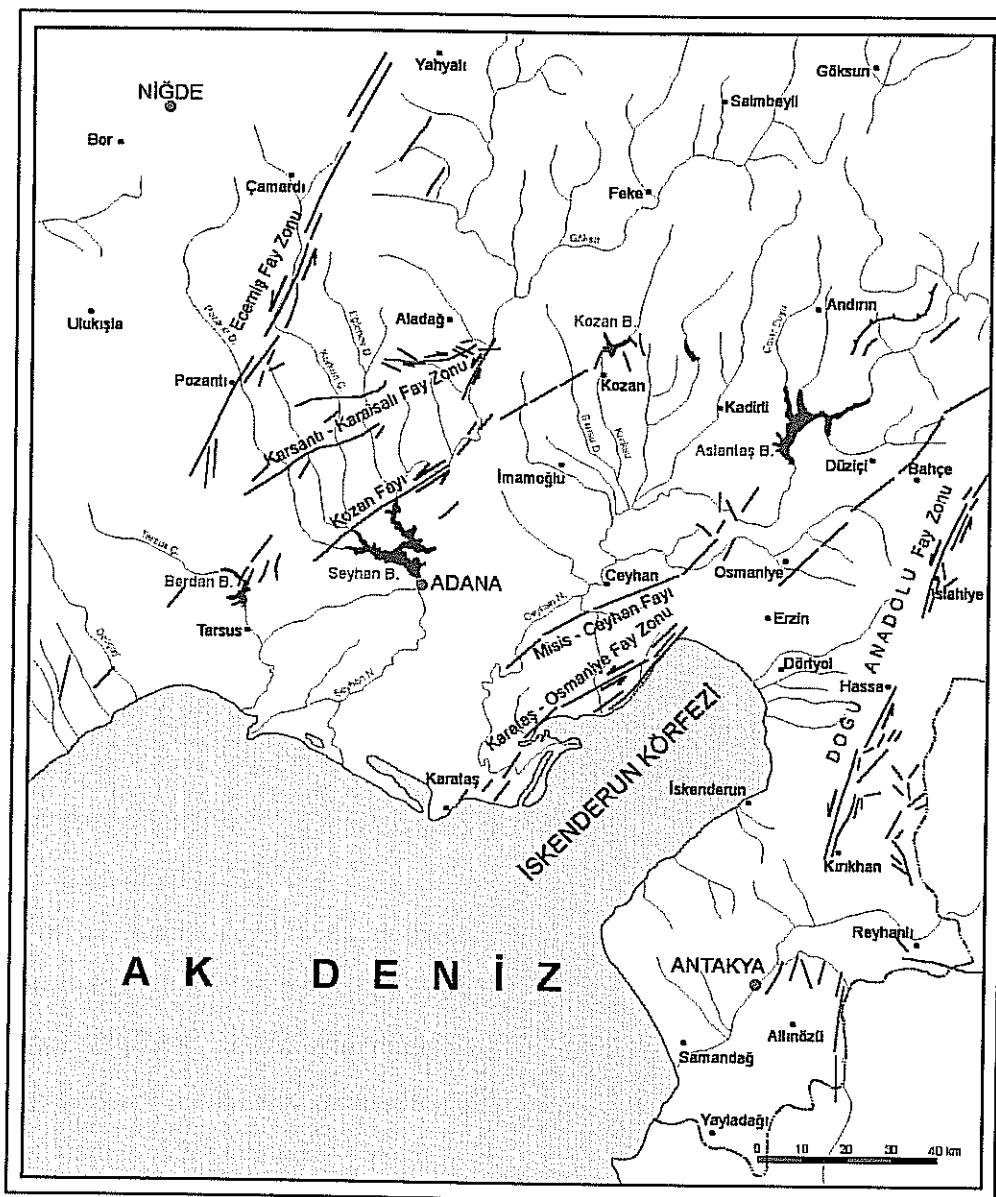
Bu parametrelerden V_p/V_s oranı olarak ifade edilen parametre poisson oranına benzer olarak zemin türünü belirlemeye kullanılan bir değerdir. Güncel araştırmalarla zeminin diğer özellikleri ile sismik hız oranları arasında ilişkiler incelenmektedir. Bu değerin ortamın gözenekliliği ve doygunluğu ile olan ilişkisi ortaya konulmuş olup V_p/V_s oranı doygunluğun azalmasıyla daha düşük değerler almaktadır. Poisson ve V_p/V_s oranları kullanılarak tanımlanan zeminin sıkılık tanımlamaları Çizelge 4.126'da görülmektedir. Buradaki sıkılık kavramı, iri taneli zeminlerdeki sıkılık olmayıp sadece birimin zemin-kaya geçisi arasındaki sertlik tanımını içermektedir.

Çizelge 4.126. Poisson ve V_p/V_s oranlarına göre zemin sıkılık tanımlaması (Ercan, 2001).

Poisson Oranı	V_p/V_s	Sıkılık Tanımı
0.50	∞	Sıvı
0.49 – 0.40	∞ – 2.49	Çok gevşek
0.39 – 0.30	2.49 – 1.87	Gevşek
0.29 – 0.20	1.87 – 1.71	Sıkı – katı
0.19 – 0.10	1.71 – 1.50	Katı
0.10 – 0	1.50 – 1.41	Sağlam kaya

4.6. Depremsellik Parametrelerinin Belirlenmesi İçin Aktif Fay Verilerinin Kullanılması

Adana ili yerleşim alanının da içinde bulunduğu Çukurova havzasının oluşumunda da etkili olan en önemli faylar batıda Kozan fayı, kuzey doğuda Misis fayı (Misis – Ceyhan fayı) ve bölgenin yaklaşık 55 km kuzey batısında yer alan Ecemîş fayıdır. Bölgede yer alan faylar Şekil 4.158'de gösterilmiştir.



Şekil 4.158. Çukurova bölgesine ait fay haritası (Perinçek ve diğ., 1987'den değiştirilerek).

Bu bölümde, depremsellik açısından tehlike arz eden aktif fay verileri kullanılarak bazı depremsellik parametrelerinin belirlenmesi amaçlanmıştır. Bu amaçla kullanılan

eşitliklerin büyük çoğunluğu aletsel deprem kayıtlarından elde edilen bilgiler kullanılarak önerilmiş ampirik bağıntılardır.

1945 Misis (M: 5.7) ve 1998 Adana - Ceyhan (M: 6.3) depremlerini üreten ve Adana ili yerleşim yeri içerisinde de hasar yapan Misis fayının toplam uzunluğu 24.5 km'dir. Bu bölümde yapılan hesaplamalarda da kırık uzunluğu 24.5 km ve deprem odak derinliği 20 km (1998 Ceyhan depreminde 23 km) olarak alınmıştır. Faya ait kırık uzunluğu ve fayın Adana iline olan uzaklığı kullanılarak çeşitli depremsellik parametrelerinin ortaya konulması amaçlanmıştır.

4.6.1. Depremin Olası Moment Büyüklüğü (M_w) :

Moment büyülüğu değerinin bulunması için çeşitli araştırmacılar tarafından önerilmiş çok sayıda bağıntı bulunmaktadır. Bunlardan en yaygın olanı Wells ve Coppersmith (1994) tarafından önerilen bağıntıdır;

$$M_w = a + b * \log L \quad (4.22)$$

Wells ve Coppersmith (1994) fay türlerine bağlı olarak a ve b katsayılarını belirleyerek aşağıdaki bağıntıların kullanılmasını önermiştir;

$$M_w = 4.86 + 1.32 \log L \quad (\text{normal faylar için}) \quad (4.23)$$

$$M_w = 5.16 + 1.12 \log L \quad (\text{doğrultu atımlı faylar için}) \quad (4.24)$$

$$M_w = 5.00 + 1.22 \log L \quad (\text{ters faylar için}) \quad (4.25)$$

Bu bağıntıda;

M_w : moment magnitüdü (6.5 – 8 arasındaki değerleri için $M_w = M_s$)

L : fay kırığı uzunluğudur (km).

Naeim ve Kelly (1999) de doğrultu atımlı bir fay için bu bağıntıdaki a ve b katsayılarının sırasıyla 5.16 ve 1.12 olarak kullanılabilceğini belirtmiştir. Onların bu katsayıları belirledikleri analiz için standart sapma (S) değeri 0.28 olarak bulunmuştur. Önerilen bağıntıda 24.5 km kırık uzunluğu için olusabilecek maksimum deprem büyülüğu;

$$M_w = 5.16 + 1.12 * \log 24.5 \quad (4.26)$$

$M_w = 6.7$ olarak bulunur.

Standart sapmanın etkisini formüle yansıtarak alt ve üst sınır değerler elde edilmiş olur;

$$M_w = 6.7 + 0.28 = 6.98 \quad \text{üst sınır,}$$

$$M_w = 6.7 - 0.28 = 6.42 \quad \text{alt sınır değerleridir.}$$

Kramer (1996), moment büyüklüğünün belirlenmesi için sismik momente dayalı aşağıdaki bağıntının kullanılmasını önermiştir;

$$M_w = \frac{\log M_o}{1.5} - 10.7 \quad (4.27)$$

$$M_w = \frac{26.10}{1.5} - 10.7 = 6.7 \text{ bulunur.}$$

4.6.2. Sismik Moment (M_o) :

Sismik moment (M_o) deprem mühendisliğinde sıkça kullanılan ve bu bakımdan bilinmesine ihtiyaç duyulan bir sayısal parametredir. Hesaplanmasında kayma modülü, fay boyunca oluşacak ortalama ötelenme gibi değişik parametrelere ihtiyaç duyulması çeşitli deprem büyüklükleri ile sayısal ilişkilerinin incelenmesini gerektirmiştir. Hanks ve Kanamori (1979), (dePolo ve Slemmons, 1990'dan) sismik moment ile magnitüd ilişkisini aşağıdaki bağıntı ile ifade etmiştir;

$$M_w = \frac{2}{3} \log M_o - 10.7 \quad (4.28)$$

Bu bağıntı kullanılarak,

$$6.7 = \frac{2}{3} \log M_o - 10.7$$

$$\log M_o = 26.10 \text{ ve buradan,}$$

$$M_o = 1.26 * 10^{26} \text{ dyne.cm} \text{ olarak bulunur.}$$

4.6.3. Yüzey ve Cisim Dalgalarına Göre Deprem Büyüklüğü (M_S ve M_b):

Bayrak ve Yılmaztürk, (1999) tarafından önerilen sismik moment – yüzey dalgası büyülüklüğü ilişkisini veren bağıntı kullanıldığında,

$$\log M_o = 1.33 M_S + 17.32 \quad (4.29)$$

$$26.10 = 1.33 M_S + 17.32$$

$$M_S = 6.60 \text{ olarak bulunur.}$$

Bonilla ve diğ., (1984) aynı parametrenin bulunması için aşağıdaki bağıntının kullanılmasını önermişlerdir;

$$M_S = 6.04 + 0.704 * \log 24.5 \quad (4.30)$$

$$M_S = 7.02 \text{ olarak bulunur.}$$

Bu bağıntıda;

M_S = Yüzey dalgası büyülüğine bağlı olarak hesaplanmış deprem magnitüdü.

L = Yüzey kırığı uzunluğu (km).

Benzer şekilde Lillie (1999) (Arioglu 1999'dan) tarafından önerilen cisim – yüzey dalga büyüklüğü bağıntısı kullanılarak,

$$M_b = 0.56 M_s + 2.9 \quad (4.31)$$

$M_b = 6.59$ olarak bulunur.

M_b = Cisim dalgası büyüklüğüne bağlı olarak hesaplanmış deprem magnitüdü değeridir.

Wells ve Coppersmith (1994), tarafından önerilen aşağıdaki bağıntı ile de maksimum deprem büyüklüğü belirlenebilmektedir;

$$M_s = 5.08 + 1.16 \log L \quad (4.32)$$

$$M_s = 5.08 + 1.16 \log 24.5$$

$$M_s = 6.69$$

4.6.4. Depremin Enerjisi (E):

Gutenberg ve Richter (1956) deprem sırasında aşağı çıkan sismik enerjinin erg birimi cinsinden büyüklüğünü aşağıdaki bağıntı ile ifade etmişlerdir.

$$\log E = 11.8 + 1.5 M_s \quad (4.33)$$

İncelenen söz konusu deprem için ele alındığında (M_s , 6.69 için)

$$\log E = 21.83 \Rightarrow E = 6.84 \cdot 10^{21} \text{ erg} \text{ olarak bulunur.}$$

4.6.5. Depremin Olası Şiddeti (I_o):

Deprem moment büyüklüğü ile şiddet ilişkilerini veren farklı araştırmacılara ait bağıntılar bulunmaktadır. Bunlardan özellikle ülkemiz için kullanılabilir olanı Tezcan ve diğ. (1979) (Arioglu 1999'dan), yabancı kaynaklı olanı ise Pinter (1996)'ya (Arioglu 1999'dan) aittir. Bu bağıntılar kullanılarak elde edilen şiddet değerleri şu şekilde belirlenmiştir;

$$M_w = 0.59 * I_o + 1.63 \quad (\text{Tezcan ve diğ., 1979}), (\text{Arioglu 1999'dan}) \quad (4.34)$$

$$6.7 = 0.59 * I_o + 1.63$$

$$I_o = 8.6$$

$$I_o = 2M_w - 4.6 \quad (\text{Pinter, 1996}), (\text{Arioglu 1999'dan}) \quad (4.35)$$

$$I_o = 2 * 6.7 - 4.6$$

$$I_o = 8.8$$

Ercan (2001) bu amaçla bir başka bağıntı bildirmektedir. Bu bağıntı kullanıldığında,

$$I_o = 1.69 M_w - 2.76 \quad (4.36)$$

$I_o = 8.6$ olarak bulunur.

4.6.6. Ortalama Yüzey Kırığı Uzunluğu (L):

Bu ilişki aynı zamanda başlangıçta ele alınan senaryo deprem parametrelerinin doğruluklarının uygunluğunun tespitini de sağlamaktadır. Kramer (1996)'da verilen ve San Andreas doğrultu atımlı fayı için geliştirilmiş olan aşağıdaki bağıntı kullanılarak 6.7 büyüklüğündeki depremin oluşturacağı yüzey kırığı uzunluğu belirlenmiştir.

$$\log L = 0.74 M_w - 3.55 \quad (4.37)$$

$$\log L = 0.74 * 6.7 - 3.55 = 1.408$$

$$L = 10^{1.408} = 25.58 \text{ km} \text{ olarak bulunur.}$$

Başlangıçtaki senaryo deprem için alınan 24.5 km'lik kırık uzunluğu için, Misis-Ceyhan fayında olacak kırık uzunluğunun 24.5 km'den daha büyük olma ihtimalinin belirlenmesi için bu yüzey kırığının standart normal değişken değeri aşağıdaki gibi belirlenir;

$$z = (\log 24.5 - \log 25.58) / 0.23$$

$$z = 0.08$$

Standart normal değişken değerine bağlı olarak olasılık değeri bu amaçla hazırlanan tablo kullanılarak belirlenmiş ve kırığın 24.5 km'den daha büyük olma olasılığı 0.0814 yani % 8.14 olarak bulunmuştur.

4.6.7. Fayın Olası Yırtılma Alanı (R) :

Oluşacak depremde yırtılabilcek olası yüzeyin belirlenebilmesi amacıyla önerilmiş farklı empirik bağıntılar mevcuttur. Bu çalışmada Naeim ve Kelly (1999) ile özellikle KAFZ depremlerinin istatistiksel incelemeleri ile elde edilmiş olan Ezen (1981) bağıntıları kullanılmıştır. $M_w = 6.7$ ve $M_s = 6.69$ değerleri kullanılarak elde edilen sonuçlar aşağıda sunulmuştur.

Araştırmacı	Önerilen bağıntı	Elde edilen sonuç
Naeim ve Kelly (1999)	$\log R = -3.42 + 0.90 * M_w$ (4.38)	407.38 km^2
Ezen (1981)	$\log R = 0.58 M_s - 1.05$ (4.39)	676.39 km^2

4.6.8. Fayın Ortalama Atımı (RA):

Deprem sırasında kırık üzerinde oluşabilecek yanal atım miktarının tahmin edilebilmesi amacı ile de önerilmiş bağıntılar bulunmaktadır. Bu hesaplama da Ezen (1981) tarafından önerilen bağıntı kullanılmış ve,

$$\log RA = 0.65 M_s - 2.43 \quad (4.40)$$

$$\log RA = 0.65 * 6.69 - 2.43$$

$RA = 0.82 \text{ m}$ olarak bulunmuştur.

4.6.9. Depremin Süresi (t):

Arioglu (1999) depremin süresinin tahmini için Watabe (1977) bağıntısının kullanılabilceği belirtilmiştir. Bu bağıntı kullanılarak M_w 6.7 değeri için yer sarsıntısının olası süresi

$$t = 10^{\frac{M-2.5}{3.23}} = 19.96 \text{ sn} \text{ olarak bulunur.} \quad (4.41)$$

Ercan (2001), Donovan (1973) bağıntısı ile de deprem süresinin hesaplanabileceğini bildirmiştir. Bu bağıntı kullanıldığında ise deprem süresi,

$$t = 11M - 51 \quad (4.42)$$

$$t = 11 * 6.7 - 51 = 22.7 \text{ sn} \text{ olarak bulunur.}$$

Elde edilen bu değerlerin Türkiye'de ve özellikle bölgede meydana gelen deprem süreleri ile kıyaslandığında fazlaca yüksek oldukları dikkati çekmektedir.

4.6.10. Maksimum Yer İvmesi (a , a_{\max} veya pga):

Hesaplamların bu bölümünde farklı araştırmacılar tarafından önerilen bağıntılar incelenmiş ve inceleme alanı için maksimum yer ivmesi değerlerinin değişimleri araştırılmıştır.

Ansal (1997), maksimum yer ivmesinin yatay bileşeninin belirlemesi için aşağıdaki bağıntının kullanılmasını önermiştir;

$$\log(a) = 0.329M - 0.00327R - 0.792 \log R + 1.177 \quad (4.43)$$

Ansal (1997) maksimum yer ivmesinin yatay bileşeninin belirlemesi için önerilen bağıntıda hiposantır mesafesi için,

$$R^2 = \sqrt{20^2 + 30^2}$$

$R = 36.05 \text{ km}$ olarak bulunan değer kullanılmıştır. Bu hesaplama için kırık hattına 30 km uzaklıktaki bir nokta ele alınmıştır.

Arioglu (1999)'dan alınan Ambraseys ve Bommor bağıntısındaki P değeri % 50 olasılık için 0 ve % 84 olasılık için 1 alınacak bir katsayıdır. Burada 1 olarak alınmıştır. Aynı kaynak Gutenberg (1956) ve Donovan (1973) bağıntılarını da şu şekilde bildirmektedir;

$$\log(a) = -2.1 + 0.81M - 0.027M^2 \quad \text{Gutenberg (1956); (Arioglu, 1999'dan)} \quad (4.44)$$

$$a = \frac{1080 * e^{0.5M}}{(R + 25)^{1.32}} \quad \text{Donovan (1973); (Arioglu, 1999'dan)} \quad (4.45)$$

<i>Araştırmacı</i>	<i>Önerilen bağıntı</i>	<i>Elde edilen sonuç</i>
Ansal (1997)	$\log(a) = 0.329M - 0.00327R - 0.792 \log R + 107.23 \text{ cm}/\text{sn}^2$ 1.177	
Ambraseys ve Bommor , 1991 (Arioglu, 1999'dan)	$\log(a) = -0.87 + 0.217M_s - \log R - 174.48 \text{ cm}/\text{sn}^2$ $0.00117R + 0.26P$	$(R: 30 \text{ km})$
Gutenberg (1956)	$\log(a) = -2.1 + 0.81M - 0.027M^2$	$130.30 \text{ cm}/\text{sn}^2$
Donovan ,1973; (Ercan 2001'den)	$a = \frac{1080 * e^{0.5M}}{(R + 25)^{1.32}}$	$135.27 \text{ cm}/\text{sn}^2$
	<i>Ortalama</i>	$136.82 \text{ cm}/\text{sn}^2$

Yer ivmesi değerlerine bağlı olarak ülkemiz için ortaya konulmuş bölgelendirmeler Çizelge 4.127'de gösterilmiştir (DAD, 2004).

Çizelge 4.127. Maksimum yer ivmesi (a_{\max}) değerlerinin deprem bölgelerine göre değişimi (DAD, 2004).

İvme (a_{\max})	Bölge
$a < 0.1$	5
$0.1 \leq a < 0.2$	4
$0.2 \leq a < 0.3$	3
$0.3 \leq a < 0.4$	2
$0.4 \leq a$	1

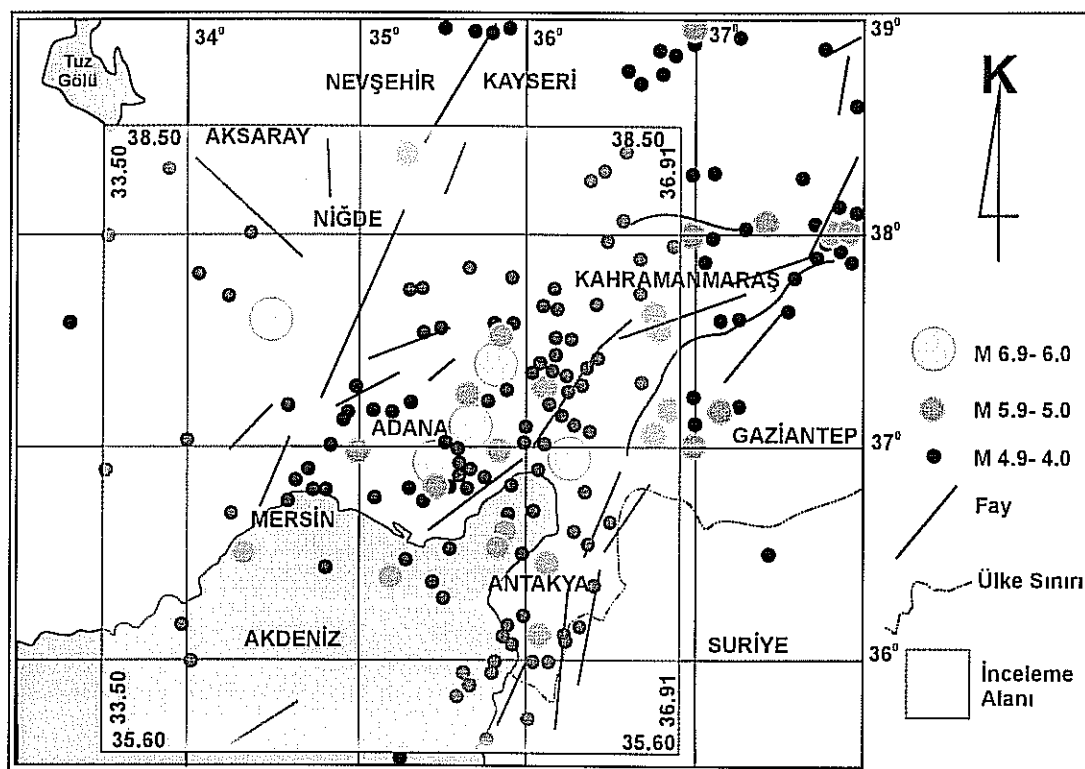
Ancak bu hesaplamalarla elde edilen değerlerin 1. ve 2. derece deprem bölgesi olan Adana ili için oldukça düşük değerler oldukları görülmektedir. Bu bakımından özellikle pik zemin ivmesi değerlerinin bölgeler tektoniğe bağlı olarak ortaya konmuş ve özellikle o bölge için karakteristik olabilecek farklı ilişkilerle araştırılması gerekmektedir.

4.7. Sismik Risk Çalışmaları

Sismik aktivitesi olan bölgelerde yapılan risk analizleri depremlerin oluş sikliklarının ve tekrarlanma periyotlarının belirlenmesi açısından önem kazanmaktadır. Bu amaçla çeşitli modeller oluşturulmuş olup, bunların bir kısmı istatistiksel yöntemleri içermektedir.

Bölgelinin deprem etkinliğini ortaya koymak için depremlerin zaman içindeki dağılımları ele alınarak magnitüd – frekans ilişkileri ortaya konmuştur. İstatistiksel hesaplamalar için Üstel Dağılım Fonksiyonu modeli, Poisson modeli ve Gumbel modeli kullanılarak depremlerin gelecekte olma olasılıkları ve tekrarlanma periyotları hesaplanmış ve incelenen üç model karşılaştırılmıştır.

Çalışmanın bu bölümünde 35.60° – 38.50° K ve 33.50° – 36.91° D koordinatları arasında kalan bölgede 1900 – 2001 yılları arasında meydana gelmiş 4 ve daha büyük magnitüdü depremler analiz kapsamına alınmıştır (Şekil 4.159 ve EK-3).

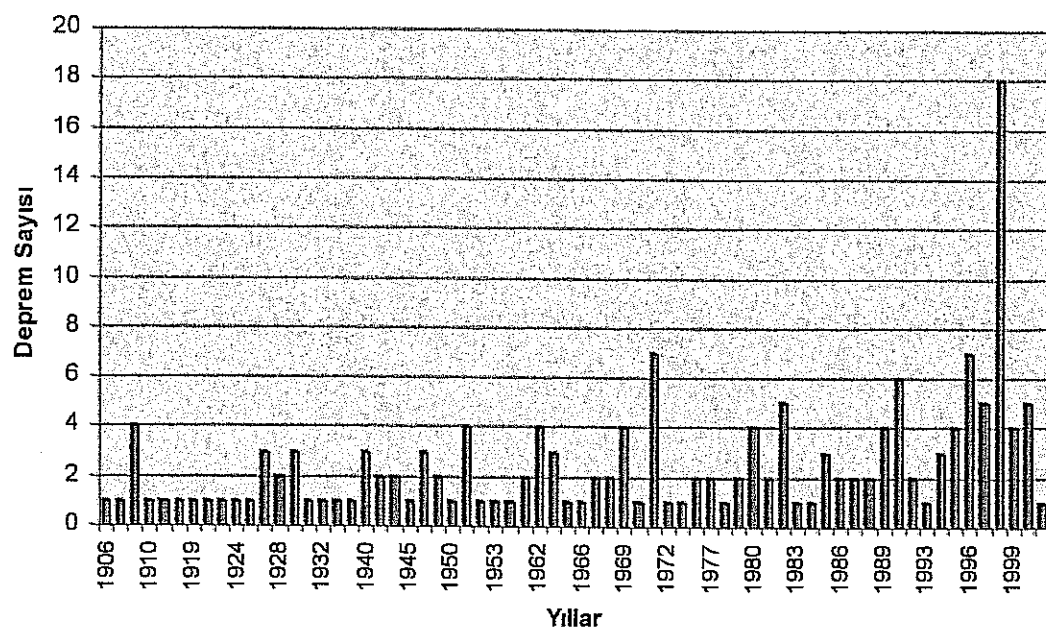


Şekil 4.159. Bu çalışma kapsamında incelenen Çukurova bölgesi episantır dağılım haritası.

4.7.1. Deprem Sıklıkları ve Magnitüd – Frekans İlişkisinin Değerlendirilmesi

Bölgede meydana gelen tarihsel dönem depremler incelendiğinde en şiddetli depremin M.Ö. 245 yılında Antakya'da 10 şiddetinde (büyülüğu 7.5) olduğu görülür (Soysal ve diğ., 1981). Aletsel dönem depremlere bakıldığından ise (1900 – 2001 yılları için) 1971 – 2000 yılları arasında deprem sayılarında yoğunlaşmaların olduğu görülmektedir. Çukurova

bölgesinin deprem etkinliğini incelemek için depremlerin yıllara bağlı olarak dağılım grafiği Şekil 4.160'da görülmektedir.



Şekil 4.160. Deprem sayılarının yıllara göre değişimi (1900 – 2001 yılları için)

İncelenen zaman dilimine ait depremler için yıl içerisinde meydana gelen depremlerin aylara göre dağılımları incelendiğinde Haziran, Temmuz ve Ocak aylarında depremlerin daha fazla sayıda meydana geldikleri görülmektedir (Şekil 4.161).

Gutenberg ve Richter (1954) tarafından önerilen temel magnitüd – frekans ilişkisi deprem oluşumunun fiziksel özellikleri ile de doğrudan bağlantılı olması nedeniyle büyük bir öneme sahiptir. Bu ilişki deprem oluş sayılarını magnitüdün fonksiyonu olarak incelemektedir;

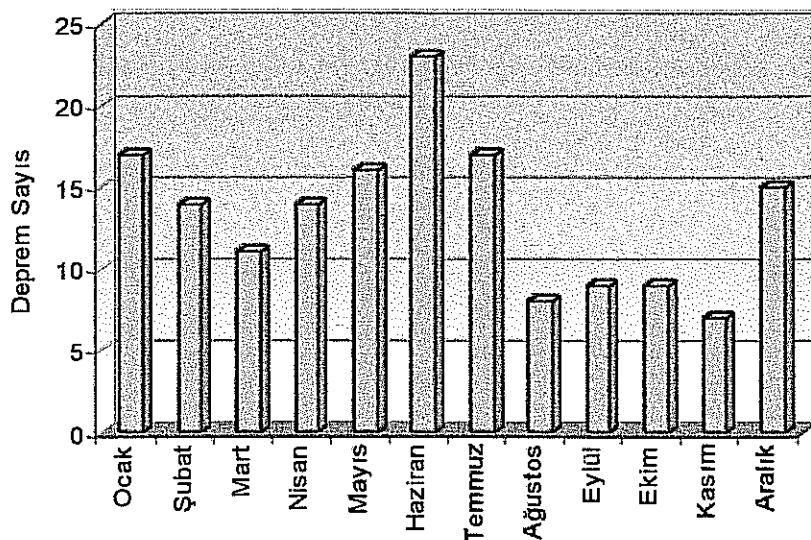
$$\log N = a - bM$$

Bu bağıntıda;

N : Birikimli deprem sayısı

M : Büyüklük (magnitüd)

a ve b ise katsayılardır.



Şekil 4.161. Yıl içerisinde oluşan depremlerin aylara göre oluş sayılarının dağılımı.

Bu ilişkinin ortaya çıkarılması amacıyla inceleme alanında $M_S \geq 4$ olan 165 deprem ele alınmıştır (EK 3). Magnitüd aralıkları 0.1 birim alınarak hesaplanan deprem oluş sayıları ve normal frekans değerleri Çizelge 4.128'de verilmiştir.

Çizelge 4.128. İncelenen depremler için magnitüd – deprem sayıları

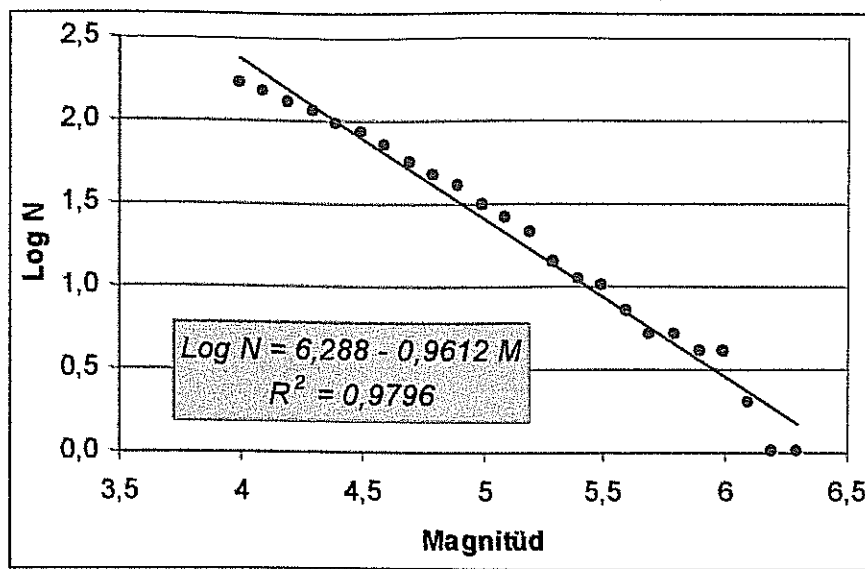
M	N	Toplam N	$\log N$	M	N	Toplam N	$\log N$
4.0	19	165	2.217	5.3	3	14	1.146
4.1	19	146	2.164	5.4	1	11	1.041
4.2	16	127	2.104	5.5	3	10	1.000
4.3	16	111	2.045	5.6	2	7	0.845
4.4	10	95	1.977	5.7	0	5	0.699
4.5	15	85	1.929	5.8	1	5	0.699
4.6	15	70	1.845	5.9	0	4	0.602
4.7	9	55	1.740	6.0	2	4	0.602
4.8	6	46	1.663	6.1	0	2	0.301
4.9	9	40	1.602	6.2	1	2	0.000
5.0	5	31	1.491	6.3	1	1	0.000
5.1	5	26	1.415	6.4	0	0	0.000
5.2	7	21	1.322				

Çizelge 4.128'deki değerler kullanılarak Çukurova bölgesinin magnitüd – frekans ilişkisi;

$$\log N = 6.29 - 0.96 M$$

bağıntısı ile ortaya konmuştur (Şekil 4.162). Bu ilişkiye göre a değeri 6.29 ve b değeri 0.96 olarak belirlenmiştir. Bu bağıntı, Çizelge 4.128'deki $\log N$ ile M arasında basit doğrusal regresyon modeli oluşturularak elde edilmiştir. Gutenberg – Richter bağıntısında a

katsayısının büyülüüğü küçük depremlerin çok olduğunu ve b sayısının küçük olması büyük depremlerin baskın olduğunu vurgulamaktadır. Elde edilen ilişki, bölgenin küçük depremler açısından baskınılığını göstermektedir.



Şekil 4.162. İncelenen veriler için ortaya konulan magnitüd – frekans ilişkisi

4.7.2. Üstel Dağılım Modeli İle Sismik Tehlichenin Belirlenmesi

X , M magnitüd değerlerini alan rasgele değişken olsun. Bu çalışmada, X rasgele değişkeni ya da Çukurova bölgesinde 1900-2001 yılları arasında meydana gelmiş magnitüdları 4 ve daha büyük olan depremler için λ ve θ parametreli üstel dağılım modeli önerilmiştir. X rastgele değişkeninin olasılık yoğunluk fonksiyonu,

$$f_M(x) = \lambda e^{-\lambda(x-\theta)} \quad \lambda > 0 \quad \theta \leq x < +\infty \quad (4.46)$$

biçimindeki üstel fonksiyondur (Ramachandran, 1980). Üstel olasılık yoğunluk fonksiyonunda λ parametresinin değeri,

$$\lambda = (\bar{x} - \theta)^{-1} \quad (4.47)$$

eşitliğiyle hesaplanır. Burada \bar{x} : çok sayıda deprem verisinden elde edilen ortalama magnitüd değerini ve θ : en küçük magnitüd değerini göstermektedir.

X rastgele değişkeninin dağılım fonksiyonu, üstel olasılık yoğunluk fonksiyonu kullanılarak,

$$F_M(x) = \int_{\theta}^{x} \lambda e^{-\lambda(U-\theta)} dU = 1 - e^{-\lambda(x-\theta)} \quad \lambda > 0 \quad \theta \leq x < +\infty \quad (4.48)$$

olarak bulunur (Hahn ve Shapiro, 1994).

4.7.2.1. Ki - Kare (χ^2) Uyumun İyiliği Testi

1889 yılında Karl Pearson tarafından bulunan Ki - kare (χ^2) testi, test gruplarının gözlenen değerleri ile beklenen değerlerinin karşılaştırılmasına dayanır. Bu test ile iki ve daha fazla gruba düşen değerlerin dağılımı aynı anda karşılaştırılabilmektedir. Bu çalışmada 165 gözlem için deneysel dağılımin, teorik üstel dağılıma uygunluğunu kontrol etmek amacıyla Ki - kare uyum testi uygulanmıştır. Ki - kare uyum testi uygulanırken her bir sınıf için deneysel (ampirik) dağılım fonksiyonu değerleri ile dağılım fonksiyonu bağıntısı kullanılarak elde edilen teorik dağılım fonksiyonu değerleri karşılaştırılır. Hesaplanan χ^2 değerinin (χ^2_h), Tablo χ^2 değerinden (χ^2_t) küçük olması durumunda hipotezin uygunluğu kabul edilir. Tersi bir durumda ise hipotez red edilir (Hahn ve Shapiro, 1994).

Uyumun iyiliği testi, herbir sınıf için deneysel dağılım fonksiyonu değerleri ile dağılım fonksiyonu bağıntısı kullanılarak elde edilen teorik dağılım fonksiyonu değerleri arasındaki farkın geçerliliğini araştırmaktadır. Bu çalışmada da benzer amaç için deprem sayılarına ait örneklerden elde edilen verilerin teorik üstel dağılıma uyup uymadığının kontrolü yapılacaktır. Bu amaç için

$$\chi^2 = \sum_{i=1}^k \frac{(F_{M_g}(O_i) - F_{M_b}(O_i))^2}{F_{M_b}(O_i)} \quad (4.49)$$

birimindeki test istatistiği kullanılacaktır. Burada k : veriler için sınıf sayısını, O_i : i -inci sınıfın sınıf orta değerini, $F_{M_g}(O_i)$: i -inci sınıfın sınıf orta değerinde gözlenen deneysel dağılım fonksiyonunun değerini ya da birikimli yüzdeleri ve $F_{M_b}(O_i)$: i -inci sınıfın sınıf orta değerinde beklenen teorik dağılım fonksiyonunun değerini göstermektedir.

Uygulanan test için dağılıma ait bir anlamlılık düzeyi seçilmektedir. Seçilen bu anlamlılık düzeyine göre χ^2 uyum iyiliği testi ile hipotezin geçerliliği veya redi onaylanır. Bu çalışma için Ki - kare testi anlamlılık düzeyi $\alpha = 0.05$ olarak alınmıştır.

4.7.2.2. Veri Analizi

Bu çalışma $35.60^0 - 38.50^0$ K ve $33.50^0 - 36.90^0$ D koordinatları arasında kalan alanda 1900 – 2001 yılları arasında meydana gelmiş 4 ve daha büyük magnitüdü depremleri analiz kapsamına almaktadır. Magnitüdlere göre oluşan toplam deprem sayıları, Çizelge 4.129 ‘da verilmiştir.

Çizelge 4.129. İnceleme alanı için magnitüd değer aralıkları ve bu aralıklarda meydana gelen deprem sayıları.

Magnitüd M (x)	Sayı (f_i)
4.0 – 4.4	80
4.5 – 4.9	54
5.0 – 5.4	21
5.5 – 5.9	6
6.0 – 6.4	4

Çizelge 4.129'daki veriler kullanılarak, $\bar{x} = \left(\sum_{i=1}^k O_i f_i \right) / \left(\sum_{i=1}^k f_i \right)$ bağıntısından

$$\bar{x} = \left(\sum_{i=1}^5 O_i f_i \right) / \left(\sum_{i=1}^5 f_i \right) = \frac{758}{165} = 4.6 \quad \text{ve} \quad \lambda = (\bar{x} - \theta)^{-1}$$

$$\lambda = (\bar{x} - \theta)^{-1} = \frac{1}{4.6 - 4.2} = \frac{1}{0.4} = 2.5 \text{ bulunur. Burada } \theta \text{ için en küçük değer olarak, ilk}$$

sınıfin sınıf orta değeri ($\theta = O_1 = 4.2$) alınmıştır. Bu durumda üstel olasılık yoğunluk fonksiyonu,

$$f_M(x) = 2.5e^{-2.5(x-4.2)} \quad \theta \leq x < +\infty$$

büçümeye dönüşür. Üstel olasılık yoğunluk fonksiyonu kullanılarak X rastgele değişkeninin dağılım fonksiyonu da,

$$F_M(x) = \int_{\theta}^x 2.5e^{-2.5(U-4.2)} dU = 1 - e^{-2.5(x-4.2)} \quad 4.2 \leq x < +\infty$$

olur.

Çizelge 4.130, oluşturulan sınıflara ait deprem magnitüd aralıklarını, oluşum sıklıklarını ve sıklıklara ait yüzdelerini göstermektedir.

Çizelge 4.131'de incelenen 165 deprem verisine ait her bir sınıf için deneysel (ampirik) dağılım fonksiyonu değerleri ve dağılım fonksiyonu bağıntısı kullanılarak elde edilen teorik dağılım fonksiyonu değerleri bulunmaktadır. Çizelgedeki deneysel dağılım fonksiyonu değerleri, yüzdelerin kümülatif olarak toplanmasıyla elde edilmiştir. Çizelgedeki teorik birikimli dağılım fonksiyonu değerleri ise her bir sınıf için teorik dağılım fonksiyonu değerlerinin kümülatif olarak toplanmasıyla elde edilmiştir.

Çizelge 4.130. Oluşturulan sınıflara ait sıkılık dağılım çizelgesi.

Sınıf No <i>i</i>	Sınıf Alt Sınırı	Sınıf Orta Değeri (O_i)	Sınıf Üst Sınırı	Sıklık Sayısı (f_i)	%
1	4.0	4.2	4.4	80	0.4848
2	4.5	4.7	4.9	54	0.3273
3	5.0	5.2	5.4	21	0.1273
4	5.5	5.7	5.9	6	0.0364
5	6.0	6.2	6.4	4	0.0242
Toplam				165	1.0000

Oluşturulan modelin uygunluğunun kontrolü amacıyla incelenen 165 deprem verisinin üstel dağılıma uygunluğu χ^2 uyumun iyiliği testi ile araştırılmıştır. Hesaplanan $Ki - kare$ değeri, $\chi_h^2 = 0.0196$ olarak elde edilmiştir. $\alpha = 0.05$ anlamlılık düzeyinde ve serbestlik derecesi 3 için $Ki - kare$ tablo değeri de $\chi_h^2 = 7.8147$ 'dir (<http://www.an.psu.edu/jxm57/irp/chisquar.html>).

Çizelge 4.131. Oluşturulan model için deneysel ve teorik dağılım fonksiyonlarına ait değerler tablosu.

Sınıf No <i>i</i>	Sınıf Ortalama Değeri (O_i)	Sıklık Sayısı (f_i)	%	Deneysel $F_{M_a}(x)$	Teorik $F_{M_b}(x)$	Fark Değerleri
1	4.2	80	0.4848	0.4848	0.3983	0.0865
2	4.7	54	0.3273	0.8121	0.8310	-0.0189
3	5.2	21	0.1273	0.9394	0.9525	-0.0132
4	5.7	6	0.0364	0.9758	0.9867	-0.0109
5	6.2	4	0.0242	1.0000	0.9963	0.0037

Hesaplanan ve tablo değerleri karşılaştırıldığında deneysel dağılımin, üstel dağılıma uydugu kabul edilerek hipotez onaylanmıştır. Beklenen birikimli olasılık değerleri kullanılarak çeşitli büyüklüklerdeki depremlerin meydana gelme olasılıkları ($F_M(x)$), yıllık beklenen sıkılık değerleri (F_i) ve ortalama yıllık tekrarlanma periyotları Çizelge 4.132'de gösterilmiştir. Tablodaki $F_M(x)$ değerleri hesaplamaları için yıllık ortalama gözlenen ≥ 4 magnitüdülu deprem sayısının bulunması gerekmektedir. Bunun için, ≥ 4 magnitüdülu toplam deprem sayısı (165) / incelenen süre aralığı (100 yıl) şeklindeki oran kullanılmıştır (1.65).

Çizelge 4.132. Modele ait sınıf değerleri için tekrarlanma periyotları.

Sınıf Orta Değeri (O_i)	Teorik $F_{M_b}(x)$	$f_M(x)$	F_i	Ortalama Tekrarlanma Süresi
4.2	0.3983	0.3983	0.6572	1.5216
4.7	0.8310	0.4327	0.7140	1.4006
5.2	0.9525	0.1215	0.2005	4.9872
5.7	0.9867	0.0341	0.0563	17.7589
6.2	0.9963	0.0096	0.0158	63.2367

Çizelge 4.132'deki F_i değerleri yıllık beklenen sıklık sayıları olup $f_M(x)$ değerlerinin yıllık ortalama gözlenen deprem sayısı ile çarpılmasıyla elde edilmektedir. Ortalama tekrarlanma süreleri ise $\frac{1}{F_i}$ bağıntısı kullanılarak bulunmaktadır. Çizelge 4.132, 4.2 büyüklüğündeki bir depremin 1.5 (yaklaşık 2) yılda bir ve 5.7 büyüklüğündeki bir depremin ise 17.8 (yaklaşık 18) yılda bir tekrarlanacağını göstermektedir. 1998 Ceyhan depremine yakın büyülükte bir depremin tekrarlanma süresi ise 63 yıl olarak öngörülmüştür.

4.7.3. Poisson Modeli Kullanılarak Sismik Tehlikelerin Belirlenmesi

Deprem oluşumunu modellemeye en fazla kullanılan yöntemlerden biri de Poisson modelidir. Bu modele göre, bir depremden sonra oluşacak başka bir deprem için geçen bekleme zamanının dağılımı, bir önceki depremin oluşundan itibaren geçen zamanın etkilenmez (Öztemir ve ark., 2000). İstatistiksel veriler Poisson modelinin özellikle büyük depremler için geçerli olduğunu göstermektedir. Kiremidjian (1982) tarafından yapılan bir çalışmada Poisson ve Markov modelleri karşılaştırılarak sık ve orta büyülükte deprem oluşumlarını içeren bölgelerdeki deprem tehlikesinin tahmini için Poisson modelinin yeterli olacağı belirtilmiştir. Seyrek fakat çok büyük deprem oluşumlarına maruz bölgelerde ise Poisson modelinin kullanılmasının kısa vadeden deprem tehlikesi tahminlerinde gerçekten daha büyük, uzun vadeden deprem tehlikesi tahminlerinde ise gerçekten daha küçük aşılma olasılıklarına yol açacağı belirtilmektedir.

Bu model için depremsellik parametreleri aşağıda tanımlanan ilgili bağıntılar kullanılarak hesaplanmış ve Çizelge 4.133'de görüldüğü gibi elde edilmiştir.

Çizelge 4.133. Çalışma alanı için depremsellik parametreleri

a	b	a'	a_I	a'_I
6.29	0.96	5.945	4.285	3.941

$$a' = a - \log(b * \ln 10) \quad (4.50)$$

$$a_I = a - \log T \quad (4.51)$$

$$a'_I = a' - \log T \quad (4.52)$$

Bu bağıntılarda,

T = incelenen zaman periyotudur (yıl).

Sismik tehlikeden belirlenmesinde kullanılan normal frekans değeri $N(O_i)$,

$$N(O_i) = 10^{a'_I - bO_i} \quad (4.53)$$

bağıntısıyla bulunur. $N(O_i)$ değeri, deprem magnitüdü ve depremsellik parametrelerine bağlı olarak hesaplanmakta olup yıllık ortalama deprem oluş sayısını ifade etmektedir.

Verilen bir dönem için magnitüdleri verilen bir O_i değerinden büyük veya ona eşit olan depremlerin yıllık ortalama oluş sayıları $N(O_i)$ bağıntısı kullanılarak ve $R(O_i)$ bağıntısında yerine konularak belirli yıllar için sismik risk değerleri hesaplanmıştır. $R(O_i)$ sismik risk değerleri,

$$R(O_i) = 1 - e^{-N(O_i)T^*} \quad (4.54)$$

bağıntısıyla bulunur (Kiremidjian, 1982). Bu bağıntıdaki T^* değeri diğerlerinden farklı olarak deprem oluşumunun hesaplanacağı gelecek zaman dilimini göstermektedir.

Poisson modeline göre hesaplanacak dönüşüm periyotları ise,

$$Q(O_i) = \frac{1}{N(O_i)} \quad (4.55)$$

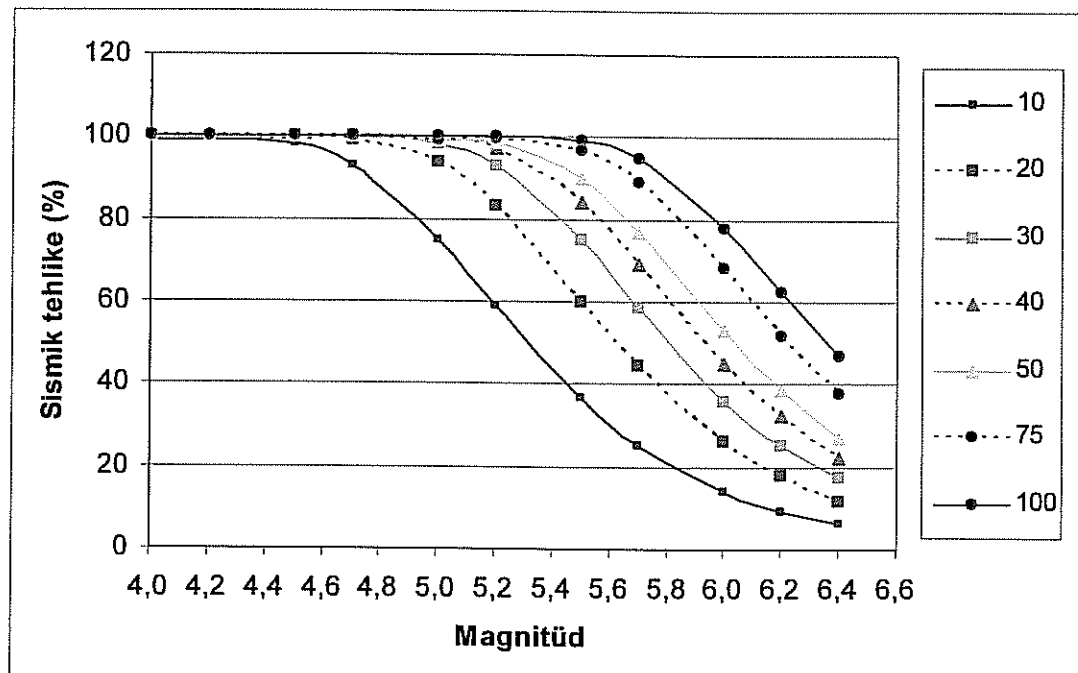
bağıntısı kullanılarak yıl olarak hesaplanmıştır.

İnceleme alanından elde edilmiş veriler ışığında $M \geq 4$ için hesaplanmış olan sismik tehlike değerleri ve geri dönüş periyotları Çizelge 4.134'de görülmektedir.

Bu modele göre de 4.2 büyüklüğündeki bir deprem için dönüşüm periyodu 1.23 ve 6.0 büyüklüğündeki bir deprem için 65.92 yıl olarak bulunmuştur. Magnitüdü 6.2 olan bir depremin 30 yıllık bir süre içerisinde olma olasılığı ise % 36 olarak tespit edilmiştir. Poisson modeliyle hesaplanan deprem olma olasılıkları 100 yıllık zaman periyodunu içerecek şekilde Şekil 4.163'de gösterilmiştir.

Çizelge 4.134. Çalışma alanı için elde edilmiş sismik tehlike ve dönüş periyotları.

x (O_i)	$N(O_i)$	Sismik Tehlike (%)							$Q(O_i)$	
		Yıllar								
		10	20	30	40	50	75	100		
4.0	1.261	99	100	100	100	100	100	100	0.79	
4.2	0.811	99.9	99.9	99.9	100	100	100	100	1.23	
4.5	0.418	98	99	100	100	100	100	100	2.40	
4.7	0.268	93.1	99	100	100	100	100	100	3.72	
5.0	0.138	75	94	98	99	99	99	100	7.28	
5.2	0.089	58.9	83.1	93.1	97.1	98.8	99.8	100	11.25	
5.5	0.0458	37	60	75	84	90	97	99	21.83	
5.7	0.0294	25.4	44.4	58.6	69.1	77	89	94.7	33.96	
6.0	0.0151	14	26	36	45	53	68	78	65.92	
6.2	0.0097	9.3	17.7	25.4	32.3	38.6	51.8	62.3	102.56	
6.4	0.0063	6.1	11.8	17.2	22.2	27	37.6	46.7	159.58	



Şekil 4.163. İnceleme alanı için Poisson modeliyle hesaplanmış sismik tehlike değerleri.

Ulutaş ve dig. (2001) tarafından çalışma alanına yakın bir bölge için Poisson modeli kullanılarak elde edilmiş olan sismik risk değerleri bu çalışmada elde edilenlerle korele edilebilmek amacıyla Çizelge 4.135'de verilmiştir.

Çizelge 4.135. Ulutaş ve dig. (2001) tarafından Poisson modeli kullanılarak yapılan çalışmaya ait sismik risk değerleri.

M	N(Q)	Q(Q)
4.0	1.013	0.99
4.5	0.343	2.91
5.0	0.116	8.60
5.5	0.039	25.37
6.0	0.013	74.88
6.5	0.005	221.0
7.0	0.002	652.2

4.7.4. Gumbel Modeli Kullanılarak Sismik Tehlikedenin Belirlenmesi

Eski yıllara ait depremlerin genellikle en şiddetlileri kataloglara girdiği için, sadece her yılda oluşan en şiddetli depremi esas alan sismik tehlike yöntemi geliştirilmiştir. Bu metodun ayrıntılı olarak açıklaması Lomnitz (1966), Cornell (1968) ve Oliveria (1975) tarafından verilmiştir.

Gumbel modeli yılda oluşan en büyük magnitüdü depremi esas almaktadır. Bu nedenle yöntem “en büyük yıllıklar (yıllık maksimumlar)” yöntemi olarak da bilinmektedir. Bu yöntem Gumbel (1958) tarafından ortaya konulmuştur. Modelin dağılım fonksiyonu aşağıdaki bağıntı ile ifade edilmektedir;

$$G(M) = e^{-\alpha \cdot e^{-\beta \cdot M}} \quad (4.56)$$

Bu bağıntıda M deprem magnitüdü, α ve β depremselliğe bağlı regresyon katsayıları olup aşağıdaki bağıntılarla hesaplanmaktadır;

$$\alpha = 10^a \quad (4.57)$$

$$\beta = b * \ln(10) \quad (4.58)$$

Gumbel formülü Gutenberg ve Richter (1954) tarafından önerilen bağıntı ile çok yakından ilişkilidir. Bu ilişkiler bağıntılar şeklinde aşağıda özetlenmiştir;

$$N = \alpha e^{-\beta M} \quad (4.59)$$

$$G(M) = e^{-N} \quad (4.60)$$

$$N = -\ln G(M) \quad (4.61)$$

$$a = \log \alpha \quad (4.62)$$

$$b = \beta \log e \quad (4.63)$$

Sismik tehlikeden belirlenmesinde kullanılan bağıntı Poisson bağıntısı ile benzerlik göstermektedir;

$$R(M) = 1 - e^{-\alpha e^{-\beta M}} \quad (4.64)$$

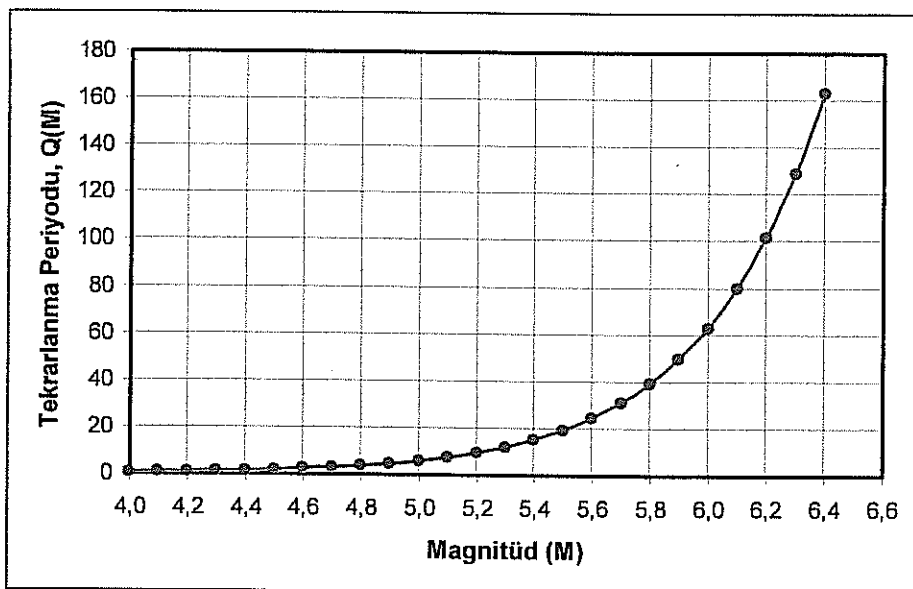
İncelenen bölge için a değeri 4.403 ve b değeri 1.034 olarak bulunmuştur. Depremlerin tekrarlanma aralıkları 0.5 birim deprem büyüklik aralıkları için elde edilmiş ve sonuçlar Çizelge 4.136'da sunulmuştur. 0.1 birim deprem büyüklik aralıkları için hesaplanmış değerler ise Şekil 4.164'de gösterilmiştir. Ulutaş ve diğ. (2001) benzer bir çalışma yaparak bölgenin depremselliğini araştırmışlar ve 1900 – 1998 yılları arasını kapsayan 4.0 – 7.0 magnitüdü depremleri ele alarak depremlerin yıllık ortalama oluş sayılarını, tekrarlanma periyotlarını ve sismik çekincelerini belirlemiştir. Bu çalışma ile ortaya konan veriler Ulutaş ve diğ. (2001) verileriyle karşılaştırmalı olarak Çizelge 4.136'da sunulmuştur.

Çizelge 4.136. Gumbel modeli kullanılarak hesaplanmış sismik tehlike parametreleri.

<i>M</i>	<i>N(M)</i>		<i>Q(M)</i>		<i>R(M)</i>	
4.0	1.8555	1.1635*	0.5389	0.8595*	0.8431	0.6876*
4.5	0.5645	0.4608*	1.7715	2.1702*	0.4307	0.3692*
5.0	0.1717	0.1825*	5.8230	5.4797*	0.1574	0.1668*
5.5	0.0507	0.0723*	19.141	13.8361*	0.0507	0.0697*
6.0	0.0159	0.0286*	62.917	34.9362*	0.0157	0.0282*
6.4	0.0061	-	163.01	-	0.0060	-
6.5	-	0.0113*	-	88.2139*	-	0.0113*

*: Ulutaş ve diğ., (2001) tarafından bölgede 1900 – 1998 yılı depremleri için yapılan çalışma ile ortaya konmuş sonuçları ifade etmektedir.

Ulusay ve diğ. (2001) Gençoğlu ve diğ. (2000) tarafından 1881-1986 yılları arasındaki zaman dilimine ait incelemelerle ortaya konulan $\log N = 3.42 - 0.51 M$ bağıntısı kullanılarak 6 büyükliğindeki bir depremin tekrarlanma periyodu 57.9 yıl olarak bulduğunu bildirmiştir. Bu incelemelerde 1945 yılında meydana gelen 5.7 büyükliğindeki Misis depremi magnitüdü ele alınmıştır. Aynı çalışmada bölgedeki tarihsel deprem kayıtlarına ait verilerin de incelenmesiyle $M > 7.0$ büyükliğindeki bir depremin oluşma olasılığının az olduğu belirtilmektedir. Bu durumun oluşmasında bölgede yer alan aktif fayların uzunluklarının kısmen kısa olmalarının etkili olduğu düşünülebilir.



Şekil 4.164. Gumbel modeli kullanılarak belirlenmiş tekrarlanma periyotları.

DAD tarafından ASKİ Çatalan suyu temin projesi kapsamında Adana ili için ele alınmış olan 1881-1985 yılları arasında ait 75 depremin incelenmesiyle yapılmış deprem tehlikesi analizleri Çizelge 4.137'de gösterilmiştir

Çizelge 4.137. ASKİ Çatalan suyu temin projesi kapsamında DAD tarafından yapılan deprem risk analizi verileri (ASKİ, 1999).

Magnitüd	Zaman Periyodu						Dönüş Periyodu
	1	25	49	73	97		
5.0	5.5	75.6	93.7	98.4	99.6	17.7	
5.5	3.1	54.2	73.4	89.8	95.2	32.0	
6.0	1.7	35.1	57.1	71.7	81.3	57.9	
6.5	1.0	21.3	37.4	50.2	60.5	104.6	
7.0	0.5	12.4	22.8	32.0	40.1	189.0	
7.5	0.3	7.1	13.4	19.2	24.7	341.5	

4.7.5. Yorum ve Öneriler

Sismik risk analizlerini değerlendirmede uygun verilerin kullanılmasıyla istatistiksel yöntemler kullanılarak yapılan analizlerin doğruya oldukça yakın sonuçlar verdikleri bilinmektedir. Bu amaçla bilinen ve en sık kullanılan istatistiksel yöntemler Poisson ve Gumbel modelleridir.

Bu tür çalışmalarda elde edilen sonuçların, kullanılan verilerin dağılım miktarlarına ve toplam sayısına doğrudan bağlı olacağı unutulmamalıdır. Bu yüzden bölge sınırlarının

belirlenmesinde bölgenin aktif tektonik verilerinin iyi değerlendirilmesi gerekmektedir. Bölgede önemli bir etki oluşturmayacak deprem kaynaklarına ait verilerin analiz kapsamı dışında tutulması elde edilecek sonuçlar açısından da önem taşıyacaktır.

Bu çalışma kapsamında depremsellik analizi amaçlı kullanımı ilk kez bu çalışma ile yapılan Üstel Dağılım Fonksiyonu Modeli kullanılarak yapılacak sismik risk analizlerinin de bu tür çalışmalarında sıkça kullanılan Gumbel ve Poisson Modelleri gibi kullanılabileceği belirlenmiştir. Bu tür çalışmalarında, dağılım modellerinin sadece bir tanesini kullanmak yerine, farklı dağılım modellerinin bir arada kullanılması, sonuçların yorumlanması ve değerlendirilmesi açısından önem taşıyacaktır.

4.8. Hidrojeolojik Koşulların İncelenmesi

Bu bölümde Adana ili yerleşim alanı içindeki birimlerinin hidrojeolojik özellikleri incelenmiştir. Bu amaçla öncelikle bölgede açılmış kuyulara ait veriler derlenmiştir. Veriler DSİ, Köy Hizmetleri Bölge Müdürlüğü ve ASKİ Su İşletme Müdürlüğü'nden temin edilmiştir. Daha önceden açılmış su kuyularına ait statik seviye değerlerinin güncelleştirilmesi ve korelasyonu amacıyla ASKİ Su İşletme Müdürlüğü imkanlarıyla Yüreğir ve Seyhan ilçelerinde kuyu düdüğü kullanılarak su seviyesi ölçümleri yapılmıştır. Su seviyeleri ile ilgili değerlendirmelerde bu çalışma kapsamında yapılan zemin sondajlarında ölçülen statik su seviyeleri de kullanılmıştır.

Kuyu pompaj testlerine ait zamana bağlı düşüm değerlerinin bulunduğu kuyu verileri kullanılarak akiferlerin hidrolik iletkenlik katsayıları ve transmissibilite değerleri hesaplanmıştır. Elde edilmiş kimyasal analizler kullanılarak sular sınıflandırılmış, içilebilme ve kullanılabilme özellikleri belirlenmiş ve sonuçlar harita ve grafiklerle değerlendirilerek yorumlanmıştır.

4.8.1. Yeraltı Su Seviye Ölçümleri ve Yeraltı Suyu Derinlik Haritasının Hazırlanması

Adana ili içerisinde, ova üzerinde kurulu yerleşim alanları geniş bir bölgeyi kaplamaktadır. Bu tür alanlarda yeraltı su seviyelerinin yüzeye yakın olması beklenen bir durumdur. Yeni yerleşim alanlarının da içerisinde bulunduğu Kuzey Adana bölgesi ise topografik yükseklik olarak daha yüksekte bulunduğuundan yeraltı su seviyesi daha derinlerde yer almaktadır. Yerleşim alanında kuzyeden güneye doğru gidildikçe yeraltı su seviyeleri 40 m derinliklerinden 2 m derinliklere inmektedir. Aynı şekilde doğudan batıya doğru gidildikçe de y.s.s oldukça sağlamaktadır. Havutlu civarında tespit edilmiş olan yeraltı su seviyesi 2 - 4 m değerleri arasındadır.

Çalışmanın bu bölümünde su seviye ölçümleri kullanılarak elde edilmiş olan yeraltı su seviye haritası anlatılmıştır. ASKİ su işletme müdürlüğü imkanları ile Seyhan ve Yüreğir ilçelerinde uygun olan çeşitli su kuyularında seviye ölçümleri yapılmış (Şekil 4.165.), bu çalışma kapsamında yapılan zemin etüt sondajlarında güncel yeraltı su seviyeleri ölçülmüş ayrıca önceki çalışmalarla elde edilmiş yeraltı su seviyesi verileri kontrol edilerek değerlendirilmiştir. Değerlendirmede Çizelge 4.138'de verilen lokasyonlara ait yüzeyden ölçülmüş statik su seviyeleri alınmıştır.



Şekil 4.165. Yüreğir Belediyesi veri noktasında yeraltı su seviye ölçer ile kuyu başında seviye ölçüm işlemi.

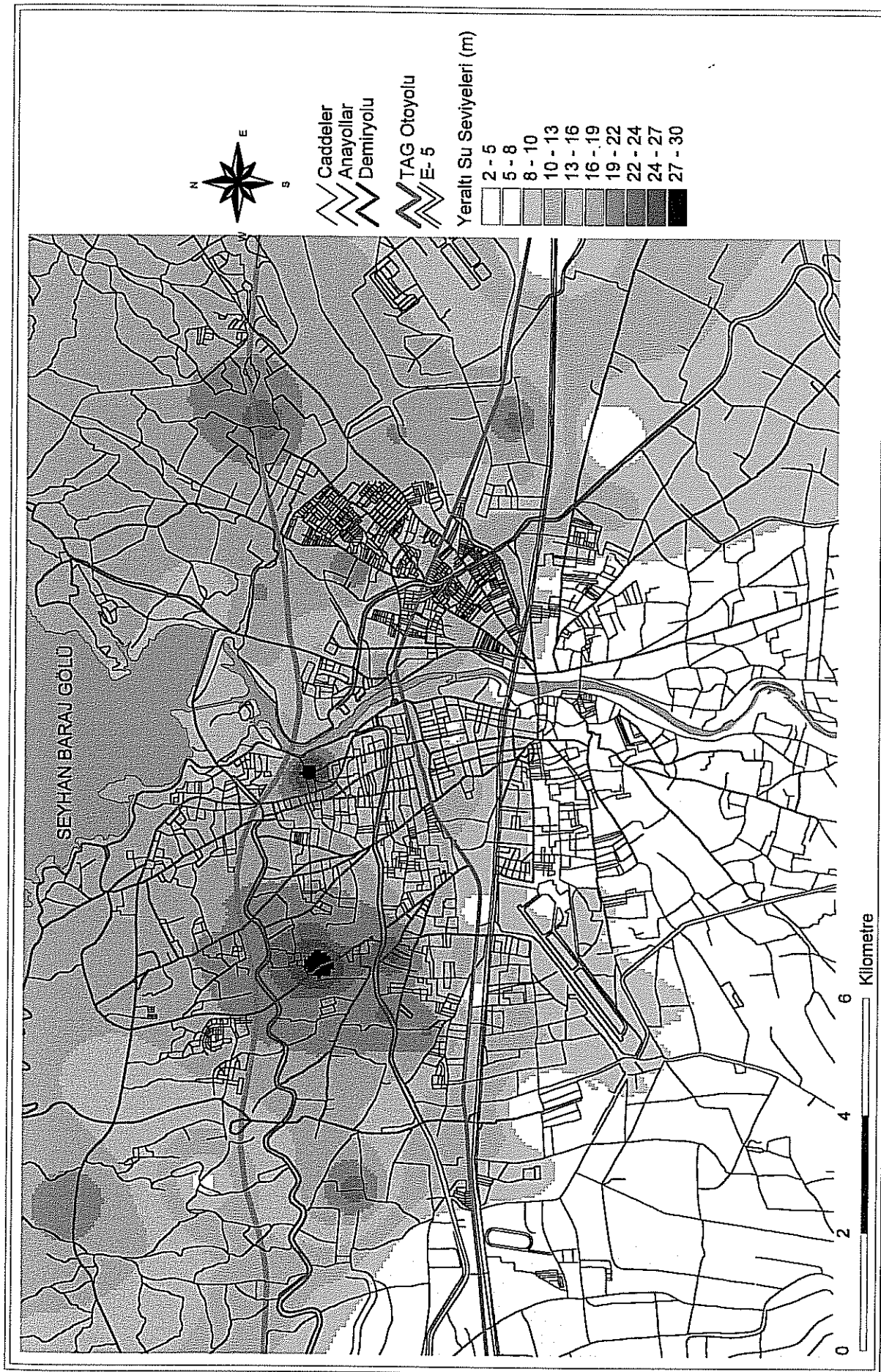
Çizelge 4.138. Yeraltı su derinlik haritasının oluşturulmasında kullanılan lokasyonlara ait statik su seviyesi değerleri.

<i>Yer Adı</i>	<i>Litoloji</i>	<i>St. Seviye (m)</i>	<i>Yer Adı</i>	<i>Litoloji</i>	<i>St. Seviye (m)</i>
Çakmak Plaza	Alüvyon	15.0	ATO And. Lis	Taraça	14.0
Ruh sağlığı	Kalış, taraça	15.0	Yolgeçen	Alüvyon	3.0
Zirai Muc. Ar.	Taraça	18.0	Sarıhamzalı	Alüvyon	3.0
Sarıhüglar	Alüvyon	4.0	Şoförler Odası	Alüvyon	10.0
Arslandamı	Alüvyon	10.0	Sarıhamzalı-II	Alüvyon	3.0
Cumhuriyet M.	Alüvyon	15.0	Göğüs Hasta.	Taraça	29.0
A.Demirspor	Taraça	12.0	Esnaf Odası	Alüvyon	6.0
Karataş yolu	Alüvyon	7.0	Ç.Ü.	Taraça	17.0
Aziz Otomotiv	Alüvyon	14.0	K.Karabekir M.	Alüvyon	12.0
Kireçocağı-I	Kalış	17.0	Sarıçam Mah	Alüvyon	14.0
Kireçocağı-II	Kalış	8.0	Yamaçlı Mah	Alüvyon	7.0
Havaalanı	Alüvyon	10.0	Kanara	Alüvyon	6.0
Sülüküpınar	Taraça	30.0	Ziraat Çiftliği	Taraça	18.0
İsmetpaşa M.	Alüvyon	25.0	Yavuzlar	Alüvyon	14.0
Gürselpaşa M.	Alüvyon	23.0	19 Mayıs Mah	Alüvyon	12.0
Gürselpaşa-II	Alüvyon	20.0	Kiremithane	Alüvyon	18.0
Sebze hali	Alüvyon	12.0	DSİ Fabrikası	Taraça	20.0
Ç.Ü.MYO	Taraça	8.0	Yamaçlı Zabıta	Alüvyon	8.0
PTT Bölge M.	Alüvyon	7.0	Asri Mezarlık	Alüvyon	8.0
Köy Hizmetleri	Alüvyon	17.0	Levent Mah.	Alüvyon	7.0
Döseme Mah.	Alüvyon	11.0	Yenidoğan M.	Alüvyon	24.0
Hacı Murat	Alüvyon	20.0	Teknik Lise	Alüvyon	21.0
PTT Evleri	Alüvyon, tar.	21.0	Kışla Mah.	Taraça	9.0
Yüreğir Beled	Alüvyon	8.0	Köprüköyü	Taraça	22.0

Çizelge 4.138 devamı.

<i>Yer Adı</i>	<i>Litoloji</i>	<i>St. Seviye (m)</i>	<i>Yer Adı</i>	<i>Litoloji</i>	<i>St. Seviye (m)</i>
TemSA	Alüvyon	7.0	Levent Mah	Alüvyon	5.4
Narlıca Mah.	Alüvyon	7.0	Fevzipaşa Mh	Alüvyon	13.0
Yeşiloba Mah	Alüvyon	11.0	Hipodrom	Alüvyon	3.0
Mirzaçelebi	Alüvyon	6.0	24 Kasım M.	Alüvyon	23.0
Uçakalanı M	Alüvyon	6.5	Ç.Ü.Seraları	Taraça	19.0
ASK 21	Alüvyon	13.0	Selibra Oteli	Alüvyon	9.0
ASK 22	Alüvyon	12.0	Küçük Dikili	Alüvyon	5.5
ASK 23	Alüvyon	11.0	Güney Yıldızı	Alüvyon	3.5
ASK 24	Alüvyon	10.0	Anıtlar Müd.	Alüvyon	9.0
ASK 26	Alüvyon	4.0	Müze	Alüvyon	7.5
ASK 27	Alüvyon	10.5	Şehit Duran	Alüvyon	6.0
ASK 28	Alüvyon	10.0	Anadolu Mah	Alüvyon	4.0
ASK 30	Alüvyon	7.5	Bahçelievler	Alüvyon	6.0
ASK 31	Alüvyon	12.0	R.Oğuz Arik	Alüvyon	17.0
Havuzlubahçe	Alüvyon	6.0	Karşıyaka M.	Alüvyon	6.0
Çukurova İlk.	Alüvyon	6.0	Real	Alüvyon	24.0
Pınar Mah	Taraça	22.0	Cemalpaşa	Alüvyon	8.0
Akkapı Mah	Alüvyon	6.0	Santhamzali-3	Alüvyon	2.0
K. Dikili-2	Alüvyon	3.5	Köprülü Mah.	Alüvyon, tar.	11.0
E-5 üzeri	Alüvyon	2.0	Sarıçam Mh-2	Alüvyon	8.0
Arslandamı-2	Alüvyon	2.0	Gazipaşa Bul.	Alüvyon	7.5
Eski Seyhan Bld	Alüvyon	7.5			

Çizelge 4.138'de yer alan veriler kullanılarak elde edilmiş olan yeraltı su seviye haritası Şekil 4.166'da verilmiştir. Oluşturulan haritada yeraltı su seviyeleri 10 gruba ayrılarak bölgelendirilmiştir. Yeraltı su seviye haritası, su seviyelerinin hem kuzeyden güneye ve hem de doğudan batıya doğru yüzeye yaklaşlığını açık bir şekilde ortaya koymaktadır. İnceleme alanı içerisinde su seviyeleri 2 ile > 30 m derinlikleri arasında değişmektedir.

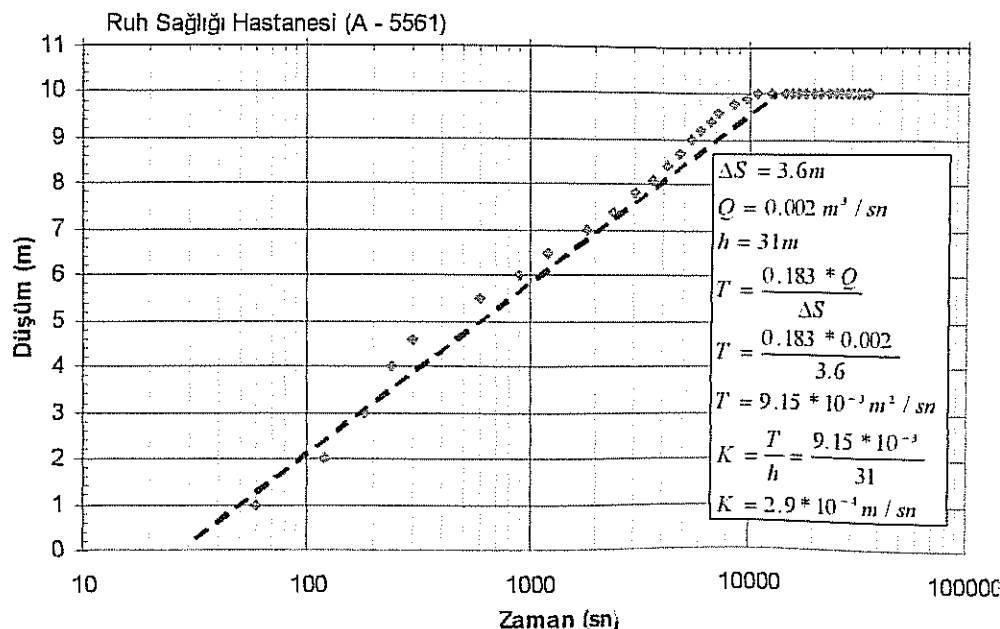


Şekil 4.166. İnceleme alanı için oluşturulan suyu derinlik haritası.

4.8.2. Akifer Karakteristiklerinin Belirlenmesi

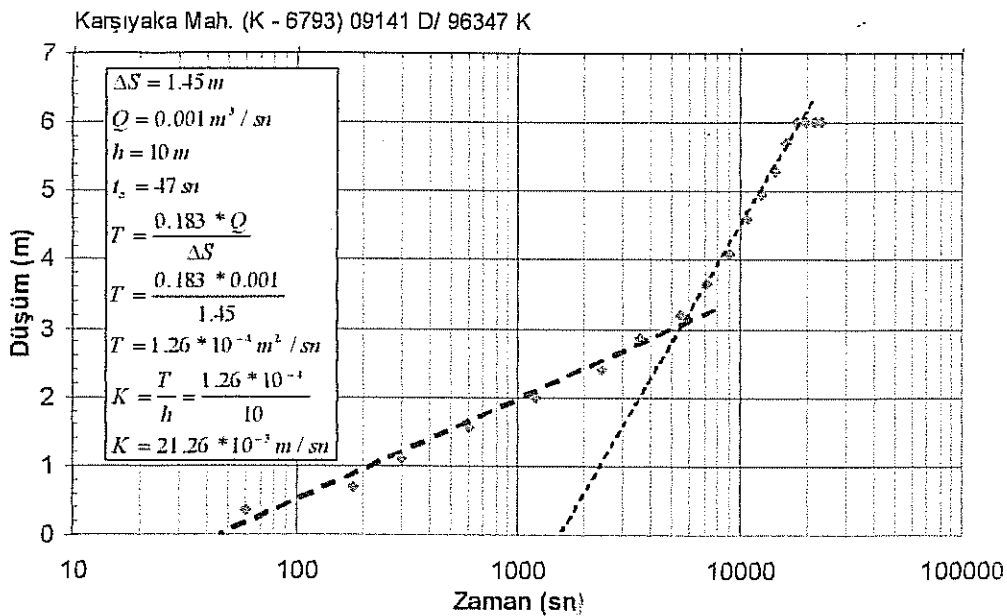
Transmisibilite (T , m^2/sn) ve geçirgenlik katsayısı (K , m/sn) gibi akifer karakteristiklerinin belirlenmesinde, pompaj testleri yapılarak zamana bağlı olarak elde edilmiş düşüm – zaman bilgilerinin bulunduğu bazı veri noktaları incelenmiştir. Pompaj test verileri kullanılarak oluşturulan düşüm-zaman grafikleri Jacob yöntemi ile çözümlenmiştir.

İncelenen ilk nokta olan Ruh sağlığı hastanesi kalış ve taraça birimleri içerisinde bulunmakta olup akifer niteliği taşıyan birim taraça çökelleridir. Bu noktada yapılan pompaj test verileri kullanılarak elde edilmiş düşüm-zaman grafiği ve Jacob yöntemi kullanılarak bulunmuş transmisibilite (T) ve geçirgenlik katsayısı (K) değerleri Şekil 4.167'de gösterilmiştir. Buna göre transmisibilite $9.15 \times 10^{-3} m^2/sn$ ve geçirgenlik katsayı $2.9 \times 10^{-4} m/sn$ olarak bulunmuştur.



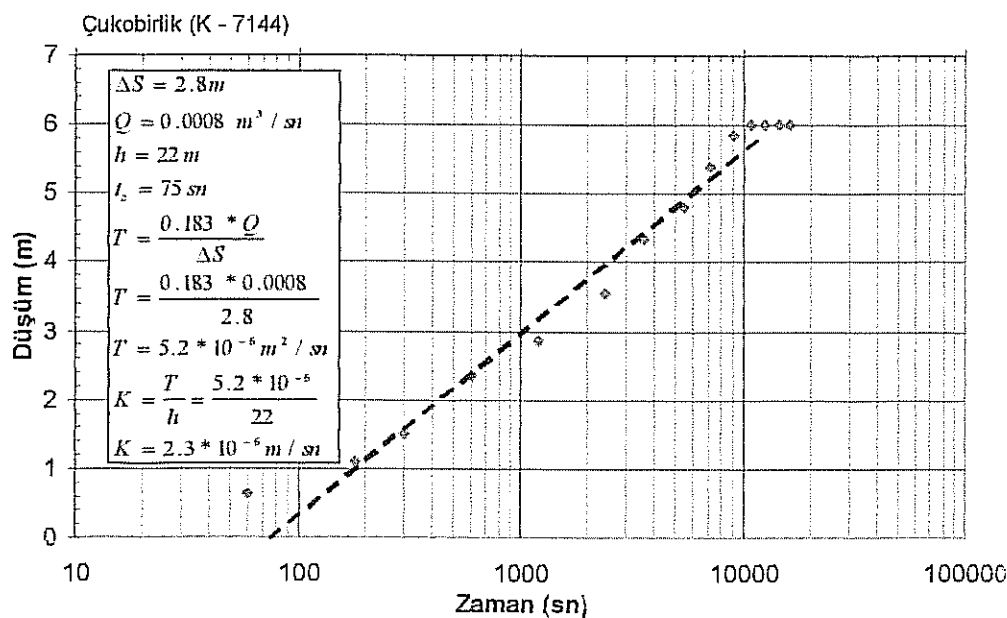
Şekil 4.167. Ruh sağlığı hastanesine ait düşüm-zaman grafiği ve elde edilmiş T ve K değerleri.

Bir diğer nokta olan Karşıyaka mahallesi veri noktası alüvyon içerisinde açılmış olup su, bu birim ve daha alta yer alan taraça çökellerinden alınmıştır. Şekil 4.168 kullanılarak elde edilmiş olan transmisibilite değeri $1.26 \times 10^{-4} m^2/sn$ ve geçirgenlik katsayı $21.26 \times 10^{-5} m/sn$ olarak bulunmuştur.



Sekil 4.168. Karşıyaka mahallesi veri noktasına ait düşüm-zaman grafiği ve elde edilmiş T ve K değerleri.

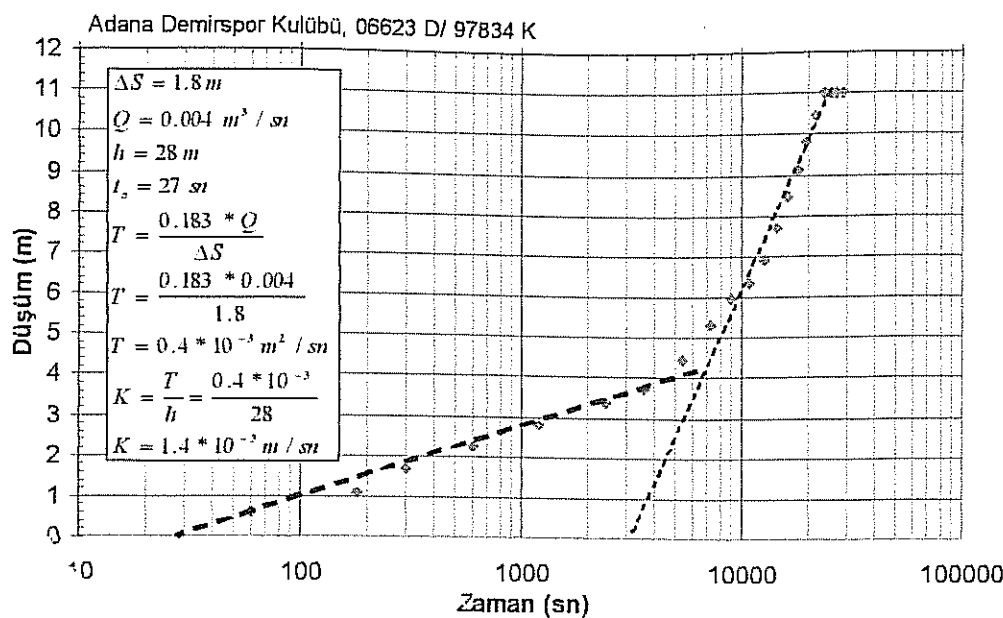
Çukobirlik veri noktası da alüvyon içerisinde yer almaktadır. Bu noktaya ait düşüm-zaman grafiği kullanılarak elde edilmiş transmisibilite değeri $5.2 * 10^{-6} \text{ m}^2/\text{sn}$ ve geçirgenliktsayısı $2.3 * 10^{-6} \text{ m/sn}$ olarak bulunmuştur (Şekil 4.169).



Sekil 4.169. Çukobirlik veri noktasına ait düşüm-zaman grafiği ve elde edilmiş T ve K değerleri

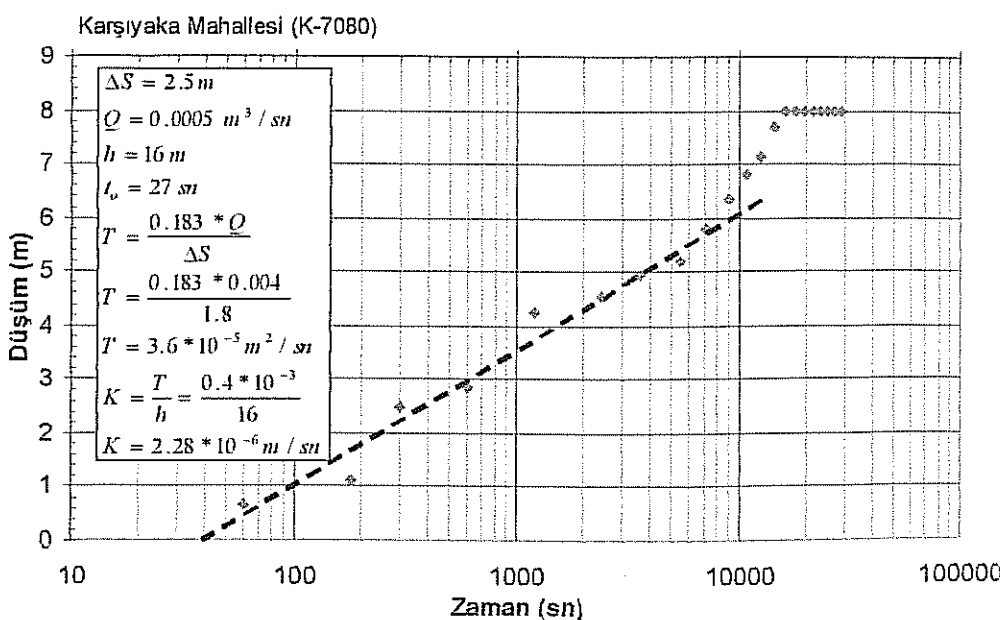
Adana Demirspor Kulübü veri noktası, üstte ince bir alüvyon altında gevşek tutturulmuş ve daha alta sıkı tutturulmuş taraça çökellerinin olduğu bir lokasyondur. Bu

noktaya ait düşüm-zaman grafiği kullanılarak elde edilmiş transmisibilite değeri $0.4 \cdot 10^{-3}$ m^2/sn ve geçirgenlik katsayısı $1.4 \cdot 10^{-4} m/sn$ olarak bulunmuştur (Şekil 4.170).



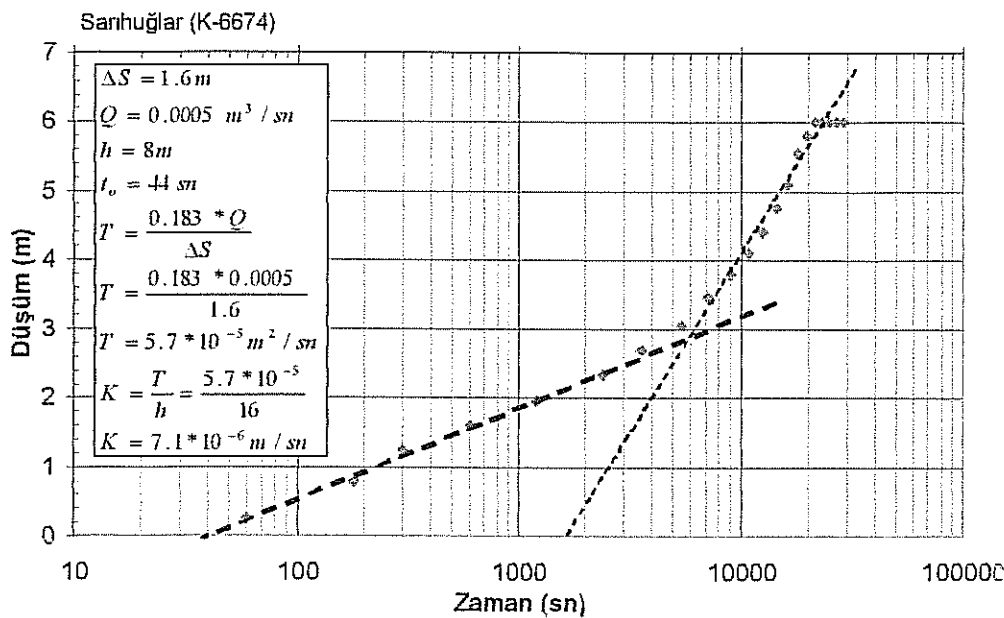
Şekil 4.170. Adana Demirspor kulübü veri yerine ait düşüm-zaman grafiği ve elde edilmiş T ve K değerleri.

Karşıyaka mahallesindeki bir diğer lokasyon alüvyal birimlerin olduğu K-7080 noktasıdır. Şekil 4.171'de görülen düşüm zaman grafiği ile elde edilmiş T ve K değerleri sırasıyla $3.6 \cdot 10^{-5} m^2/sn$ ve $2.28 \cdot 10^{-6} m/sn$ 'dır.

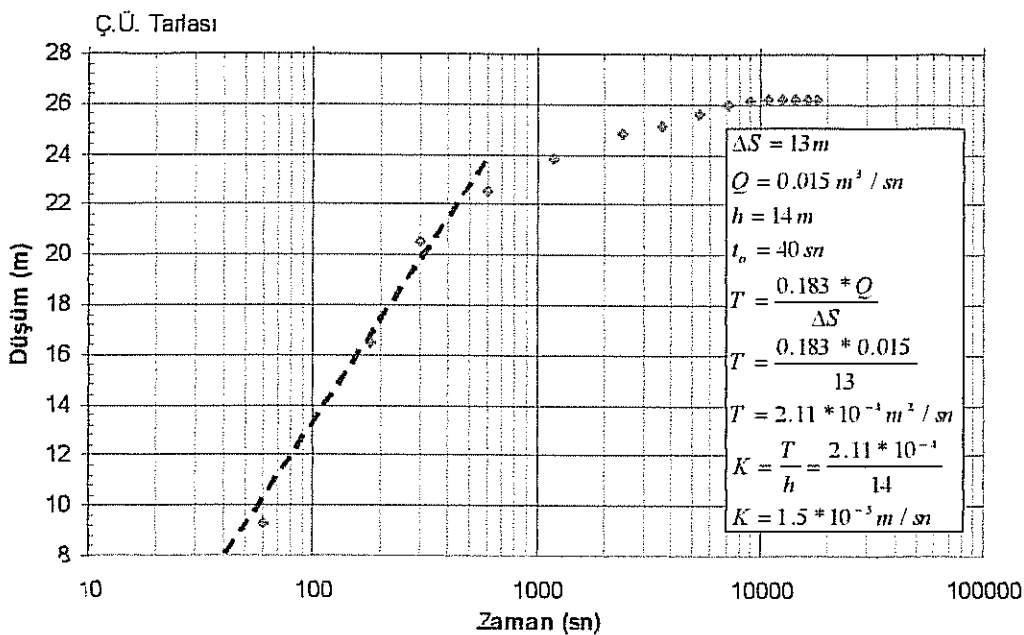


Şekil 4.171. Karşıyaka mahallesi noktasına ait düşüm-zaman grafiği ve elde edilmiş T ve K değerleri.

Sarıhuğlar veri noktası da alüvyon içerisinde yer alan ve yeraltı su seviyesinin oldukça yüzeye yakın olduğu bir lokasyondur. Şekil 4.172 a'daki düşüm-zaman grafiği kullanılarak T değeri $5.7 \times 10^{-5} \text{ m}^2/\text{sn}$ ve K değeri $7.1 \times 10^{-6} \text{ m/sn}$ olarak bulunmuştur.



Şekil 4.172 a. Sarıhuğlar veri noktasına ait düşüm-zaman grafiği ve elde edilmiş T ve K değerleri.



Şekil 4.172 b. Çukurova Üniversitesi tarlası veri noktasına ait düşüm-zaman grafiği ve elde edilmiş T ve K değerleri.

Çukurova Üniversitesi seralarının olduğu arazi üzerinde yer alan bir diğer inceleme noktası ise tamamen akifer özelliği gösteren taraça birimi içinde açılmıştır. Taraça içerisinde,

killi seviyeler ile kil bağlayıcı malzeme yaygın bir şekilde görülebilmektedir. Şekil 4.172 b, bu lokasyona ait düşüm-zaman grafiği ile elde edilmiş T ve K değerlerini göstermektedir.

4.8.3. Suların Fiziko-Kimyasal Özellikleri

İnceleme alanındaki yeraltı sularının fiziko-kimyasal özelliklerinin ortaya konmasında, DSİ, Köy Hizmetleri, ASKİ ve çeşitli şirketler tarafından açılan sondajlara ait veriler kullanılmıştır. Elde edilen veriler bir ön değerlendirmeden geçirildikten sonra çalışma kapsamında ayrıntılı olarak değerlendirilmiştir. Çizelge 4.139, incelenen lokasyonlara ait su kimyasal analiz değerlerini ve bazı fiziksel parametreleri göstermektedir.

4.8.3.1 pH Değerleri ve Eş-pH Haritası

pH değeri suda yer alan hidrojen iyonunun derişimi olarak adlandırılmaktadır. Bu parametre aynı zamanda suyun asidik veya bazik oluşunu da tanımlamaktadır. İnceleme alanındaki 55 veri noktasına ait verinin değerlendirilmesi suların pH değerlerinin 6.80 ile 8.10 arasında değiştiğini ortaya koymuştur. Hipodrom güneyindeki Sarıhamzalı veri noktası 6.80 ile en düşük pH değerinin elde edildiği yerdir.

Çukurova Üniversitesi eski meslek yüksek okulu (Ç.Ü.MYO) ve Kazım Karabekir mahallesi veri noktası ise 8.10 ile en yüksek pH değerine sahip lokasyonlardır. Bu değerlerin haricinde, bölge içerisindeki pH dağılımlarının zonlar oluşturdukları görülmektedir. Bununla birlikte genel bir yorum olarak Yüreğir bölgesinde pH değerlerinin Seyhan bölgесine göre daha yüksek olduğu görülmektedir.

Şekil 4.173, inceleme alanı için ortaya konmuş ve 10 ayrı grup için oluşturulmuş eş-pH harmasını göstermektedir.

Çizelge 4.139. İncelenen lokasyonlara ait fiziko-kimyasal analiz sonuçları.

Kuyu İsmi	Stra No	pH	EC	Katyonlar (met'l)				Anyonlar(met'l)			Top İyon (met'l)	Seri lit FS
				Na	K	Cu	Mg	Cl	SO ₄	HCO ₃		
Ruh Sağlığı	1	7,01	1773	6,98	0,63	2,24	11,20	4,80	0,55	10,20	36,60	67,2
Arslandamu	2	7,65	1405	0,85	0,10	3,70	9,50	0,60	1,15	12,30	28,20	66,0
Cumhuriyet Mah.	3	7,36	827	2,27	0,38	2,00	4,00	1,80	0,88	3,60	14,93	30,0
Adana Demirspor	4	7,38	560	0,80	0,54	1,30	3,50	0,80	0,60	2,90	10,44	24,0
Karaaş Yolu	5	7,05	1116	1,80	0,33	2,15	7,21	3,28	0,56	7,47	22,80	46,8
Aziz Otomotiv, E-5	6	6,95	495	0,45	0,10	2,70	1,80	1,00	1,38	3,50	10,93	22,5
Kireçobağı-I	7	7,51	1592	5,04	0,07	4,88	8,12	6,10	3,81	7,50	35,52	65,0
Kireçobağı-II	8	7,30	1182	3,32	0,00	4,42	4,04	3,00	1,82	7,00	23,60	42,3
Sütlükü Pınarı	9	7,25	686	0,85	0,02	2,32	4,18	1,20	0,61	5,40	14,58	32,5
İsmepaşa Mah.	10	7,40	650	0,81	0,05	2,60	3,70	1,70	0,18	5,20	14,24	31,5
Gürselpaşa Mah.-I	11	7,80	1065	1,28	0,39	3,49	5,98	2,60	0,43	7,59	21,76	47,4
Gürselpaşa Mah.-II	12	7,20	1420	4,27	1,56	4,50	5,57	6,39	0,65	7,20	30,14	51,0
Sebze Hali	13	7,60	1022	1,33	0,01	3,40	5,50	3,00	0,31	7,00	20,55	44,5
Ç.Ü.MYO	14	8,10	458	0,45	0,10	2,00	2,20	0,80	0,41	3,40	9,36.	21,0
K-7165	15	7,01	932	5,52	1,16	0,60	3,20	4,00	0,00	4,20	18,68	19,0
Döşeme Mah.	16	7,70	477	0,62	0,14	3,60	0,40	0,90	0,47	3,40	9,53	20,0
Çukurova Üniversitesi	17	8,10	620	1,03	0,09	2,50	2,938	1,40	0,71	4,30	12,97	27,2
K. Karabekir Mah.	18	8,10	570	2,41	0,10	2,10	2,33	0,90	0,76	4,50	13,10	22,2
Sarıçam Mah.	19	7,60	514	0,29	0,01	2,50	2,43	0,90	0,52	3,80	10,45	24,7
Yamaçlı Mah.	20	7,90	546	0,74	0,14	2,00	2,70	0,70	0,41	4,40	11,09	23,5
Kanara	21	7,40	529	0,7	0,10	2,50	1,80	0,60	0,93	3,50	10,13	21,5
Ziraat Fak. Çiftliği	22	7,40	783	0,92	0,00	3,30	0,20	2,20	0,56	4,70	11,88	17,5

Çizelge 4.139 devamı

<i>Kıyu İsmi</i>	<i>Sıra No</i>	<i>pH</i>	<i>EC</i>	<i>Katyonlar (mek/l)</i>				<i>Anyonlar(mek/l)</i>			<i>Top İyon (mek/l)</i>	<i>Sertlik FS</i>
				<i>Na</i>	<i>K</i>	<i>Ca</i>	<i>Mg</i>	<i>Cl</i>	<i>SO₄</i>	<i>HCO₃</i>		
Yavuzlar	23	7,60	678	0,63	0,03	3,00	3,45	1,50	0,50	5,00	14,10	32,2
19 Mayıs Mah.	24	7,90	1084	1,39	0,06	4,30	5,20	3,30	0,71	6,60	21,56	47,5
Kiremitlare Mah.	25	7,70	1078	1,65	0,03	4,40	4,90	3,00	0,42	7,10	21,50	46,5
Polis Lojmanları	26	7,80	1011	1,74	0,09	4,00	4,80	2,70	0,89	6,60	20,82	44,0
DSİ Fabrikası	27	7,90	601	1,31	0,05	1,80	2,90	1,30	0,47	3,90	11,73	23,5
Köprüköyü	28	7,20	470	0,61	0,03	2,33	2,12	0,50	0,34	3,35	9,28	22,3
Kışla Mah.	29	7,30	450	0,56	0,02	2,76	2,12	0,55	0,42	5,30	11,73	24,4
Üniversite Sahası	30	7,20	1220	2,26	0,02	4,88	5,95	4,70	0,29	6,60	24,70	54,2
PTT Evleri	31	7,20	700	1,09	0,02	3,40	3,10	1,16	0,47	4,60	13,84	32,5
Teknik Lise	32	7,40	710	1,39	0,02	3,18	3,70	1,35	0,25	5,40	15,29	34,4
Hacı Murat	33	7,40	850	1,82	0,05	3,82	4,80	2,25	0,40	6,40	19,54	43,1
Yüreğir Belediye	34	7,30	370	0,55	0,03	2,10	1,74	0,20	0,22	3,20	8,04	19,2
Yamaca Zabıta	35	7,30	460	0,87	0,04	2,86	1,90	0,40	0,59	3,70	10,36	23,8
Aşrı Mezarlık	36	7,60	600	1,22	0,03	2,85	2,75	0,95	0,56	4,10	12,46	28,0
Yenidoğan Mah.	37	7,30	910	1,74	0,05	4,24	5,74	3,05	0,40	6,40	21,62	50,0
Levent Mah.	38	7,20	1008	1,91	0,07	3,82	6,27	4,60	0,25	5,95	22,87	50,5
TemSA	39	7,60	980	1,74	0,01	3,50	4,67	2,80	0,26	5,80	18,78	40,9
Ç.Ü. Seraları	40	7,02	920	0,99	0,06	3,86	4,34	3,21	0,38	5,19	18,03	41,0
Selçuk Ecza Deposu	41	7,65	1400	0,85	0,04	3,70	9,50	0,66	1,15	10,30	26,20	66,0
Sarıhıglar	42	7,35	564	2,24	0,11	1,10	2,30	2,80	0,44	2,40	11,34	17,0
Dilberler Sek. Doğusu	43	8,60	468	0,45	0,16	2,00	2,20	0,88	0,41	3,46	9,56	21,0
Hüdünnet Konağı	44	7,70	477	0,21	0,08	3,60	0,40	0,90	0,40	3,42	9,01	20,0

4.8.3.2. Suların Elektriksel İletkenliği (EC) ve Eş-EC Haritası

Suyun elektriksel iletkenliği (Kondüktivite, EC) elektriği geçirme özelliği şeklinde tanımlanır. Birimi $\mu\text{mho}/\text{cm}$ veya $\mu\text{siemens}/\text{cm}$ ($\mu\text{S}/\text{cm}$)’dır. Elektriksel iletkenlik genel olarak sıcaklıkla artar. Farklı sular için aynı şekilde yorum yapabilmek için genellikle 25°C sabit sıcaklık değeri için hesaplanırlar.

Sularda çözünmüş toplam katı madde miktarı ile elektriksel iletkenlik arasında genellikle doğrusal bir ilişki bulunmaktadır. Bu bölümdeki hidrojeoloji çalışmaları kapsamında incelenen 44 adet su kuyusuna ait suların EC-toplam iyon (Tİ) grafiği çizilerek Şekil 4.174’de verilmiştir. Grafikteki doğrunun denklemi;

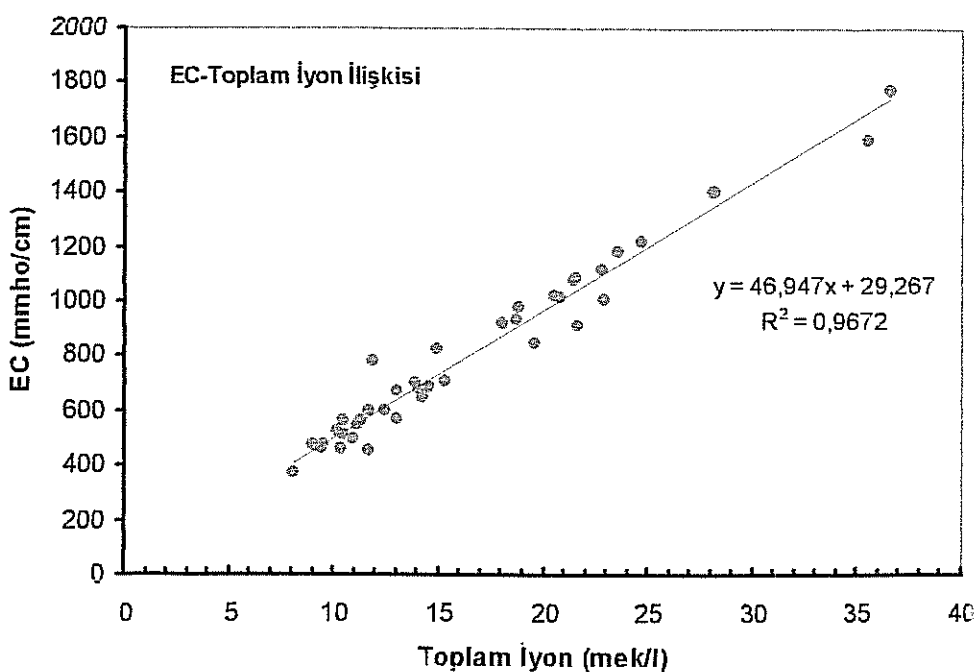
$$y = 46.947x + 29.267 \quad (\text{EC} = 46.63\text{TI} + 33.712)$$

ve korelasyon katsayısı

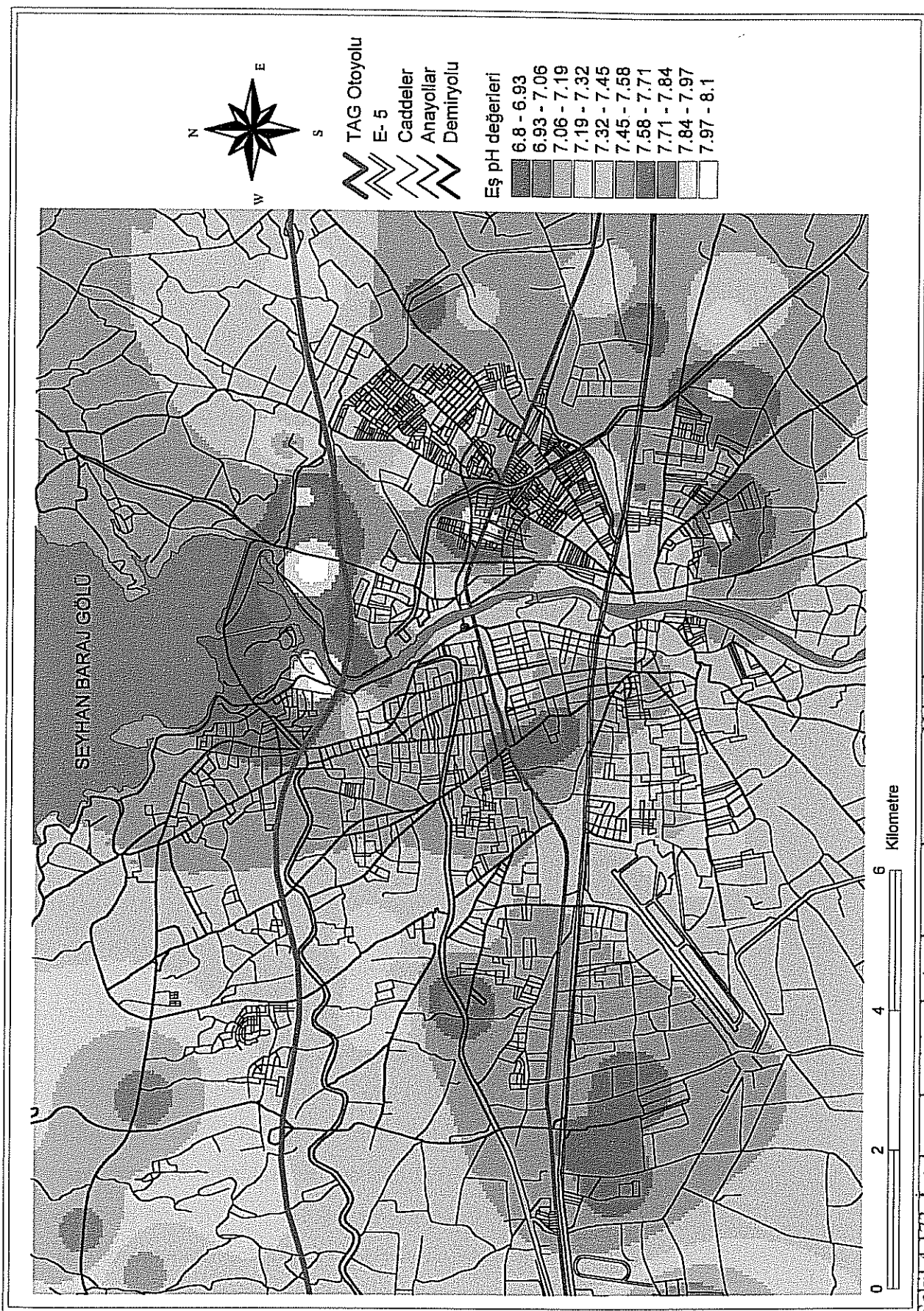
$$r = 0.9672$$

olarak saptanmıştır. Elde edilen ilişkinin bu anlamda oldukça tutarlı olduğu görülmektedir.

İnceleme alanındaki suların EC değerleri 370 ile 1773 $\mu\text{mho}/\text{cm}$ arasında değişmektedir. Yüreğir Belediyesi lokasyonu 370 $\mu\text{mho}/\text{cm}$ ile en düşük EC değerini verirken, Ruh sağlığı hastanesi lokasyonu 1773 $\mu\text{mho}/\text{cm}$ ile en yüksek değeri vermiştir.



Şekil 4.174. İnceleme alanındaki suların toplam iyon-EC grafiği.



Şekil 4173. İnceleme alanı için oluşturulan suyu eş-pH haritası.

Oluşturulmuş eş-EC haritasına bakıldığında, Seyhan ırmağının her iki tarafında düşük EC değerlerinin olduğu, ancak hem doğuya ve hem de batıya gidildiğinde bu değerlerin arttığı görülmektedir. Bu artışın Seyhan ilçesi tarafında daha fazla olduğu da haritadan görülebilmektedir (Şekil 4.175). Eş-EC haritası toplam iyon miktarının da bir göstergesi olarak önem kazanmaktadır. Bu anlamda harita, yeraltı su tablası haritasıyla da uyumlu olarak Seyhan ırmağından yer altı suyuna bir akışın olduğunu göstermektedir.

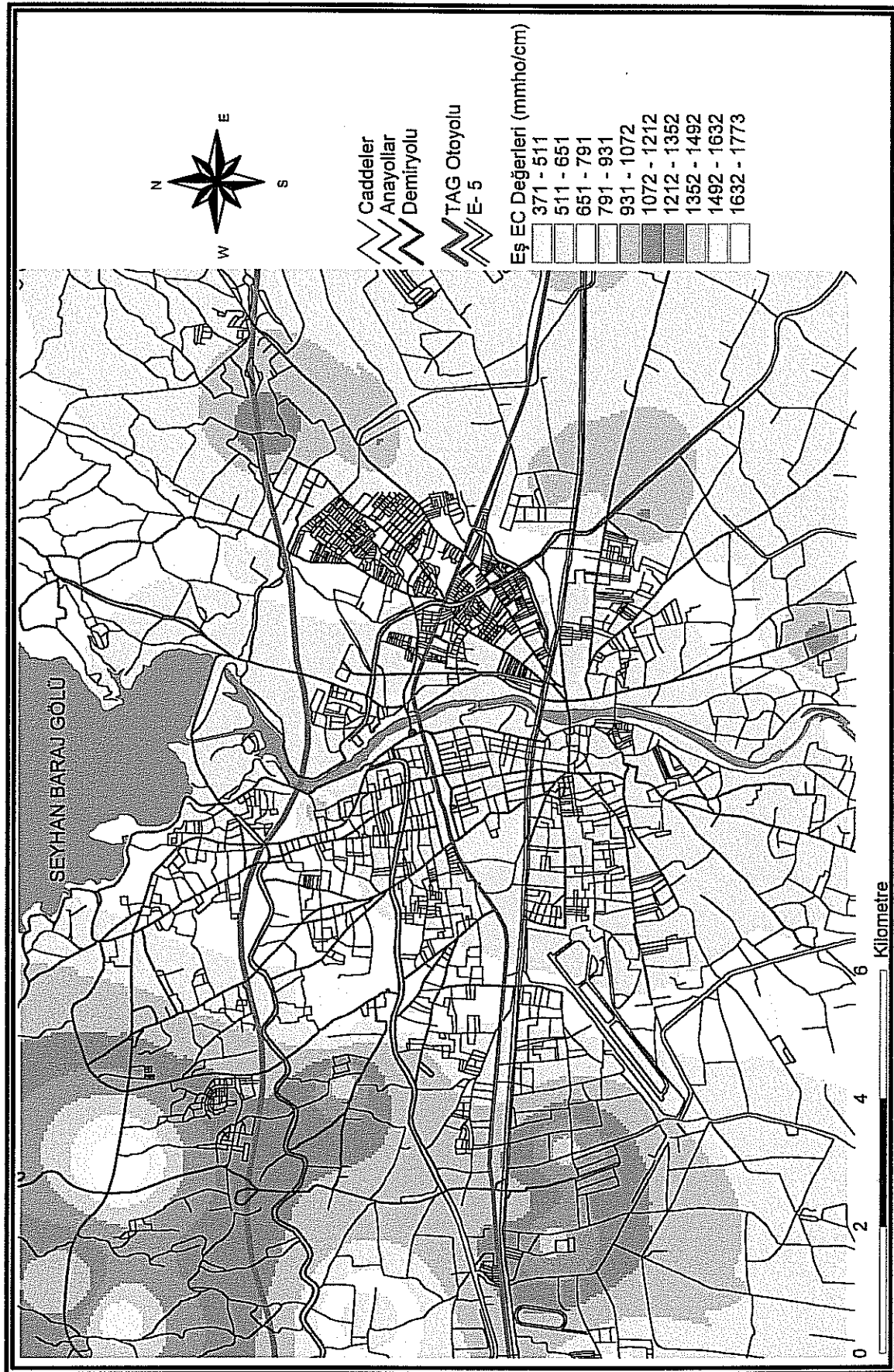
4.8.3.3. Suların Sertliği ve Eş Sertlik Haritası

Suların sertlik sınıflamalarında kullanılan farklı değerlendirmeler vardır. Sertlik, esas olarak su içinde çözünmüş halde bulunan kalsiyum ve magnezyumdan kaynaklanmaktadır. Ca ve Mg değerlerinin (mek/l) 5 katı “Toplam Fransız Sertliği” (FS) olarak tanımlanmaktadır. Bu çalışmada suların sertlikleri toplam Fransız sertliği cinsinden hesaplanmıştır. Buna göre sertlik değerleri 17.00 ile 67.20 Fransız sertliği değerleri arasında değişmektedir. Sarıhuğlar veri yeri 17.00 FS sertlik değeri ile en düşük ve Ruh sağlığı hastanesi veri yeri ise 67.20 FS sertlik değeri ile en yüksek sertlik değerlerine sahip veri noktalarıdır. Sular toplam Fransız sertlik değerlerine göre Çizelge 4.140'da görüldüğü gibi sınıflanmaktadır;

Çizelge 4.140. Suların Fransız sertliği değerlerine göre sınıflandırılması (Şahinci, 1991).

<i>Fransız sertliği</i>	<i>Tanımlama</i>
0 – 7	Çok yumuşak
7 – 14	Yumuşak
14 – 21	Az sert
21 – 32	Oldukça sert
32 – 54	Sert
> 54	Çok sert

Elde edilen sertlik değerlerine göre sular sınıflandırılacak şekilde eş-sertlik haritası oluşturulmuştur (Şekil 4.176). Bu haritada, EC haritasına benzer şekilde Seyhan ırmağının her iki tarafında düşük sertlik değerlerinin, buna karşılık ırmaktan hem doğuya ve hem de batıya gidildiğinde artan sertlik değerlerinin olduğu görülmektedir. Bu da EC haritası ile ilgili yorumu destekler nitelikte bir sonucun çıkışmasını sağlamaktadır. Yani, Seyhan ırmağından akış yer altı suyuna doğru olduğu için zenginleşen iyon içeriği ile birlikte sertlik değerlerinde de artışlar meydana gelmektedir. Sertlik sınıfı en yüksek olan zonlar da yine Seyhan ilçesi içinde yer almaktadır.



Şekil 4.175. İnceleme alanı için oluşturulan yeraftı suyu es-EC (milkromho/cm) haritası.

4.8.3.4. Sülfat Değerleri ve Eş Sülfat Haritası

İncelenen bölgede, yeraltı sularındaki sülfat değerleri 0.18 ile 3.81 mek/l değerleri arasında değişmektedir. İsmetpaşa mahallesi veri noktası en düşük (0.18 mek/l) sülfat değerine sahip olduğu, buna karşılık Kireçocağı-I noktası 3.81 mek/l değeri ile en yüksek sülfat değerine sahip olduğu belirlenmiştir. Bu yüksek değerin elde edilmesinde lokasyonun olduğu bölgede Handere Formasyonu'na eşlik eden ve üye nitelğinde daha önceki çalışmalarda ayırtlanan jips içeren Gökkuyu alçıtaşı biriminin rol oynadığı düşünülmektedir. İnceleme alanının büyük bölümü 0.38 ile 0.76 mek/l değerleri arasında değişen sülfat değerlerine sahiptir (Şekil 4.177)

Adana ili kent merkezinden özellikle batıya doğru gidildiğinde sülfat değerlerinde belirgin ve tedrici bir artışın olduğu görülmektedir. Bu, kısmen tarımsal faaliyetlerle olabileceği gibi yer altı suyu akışı ile ilgili de olabilir.

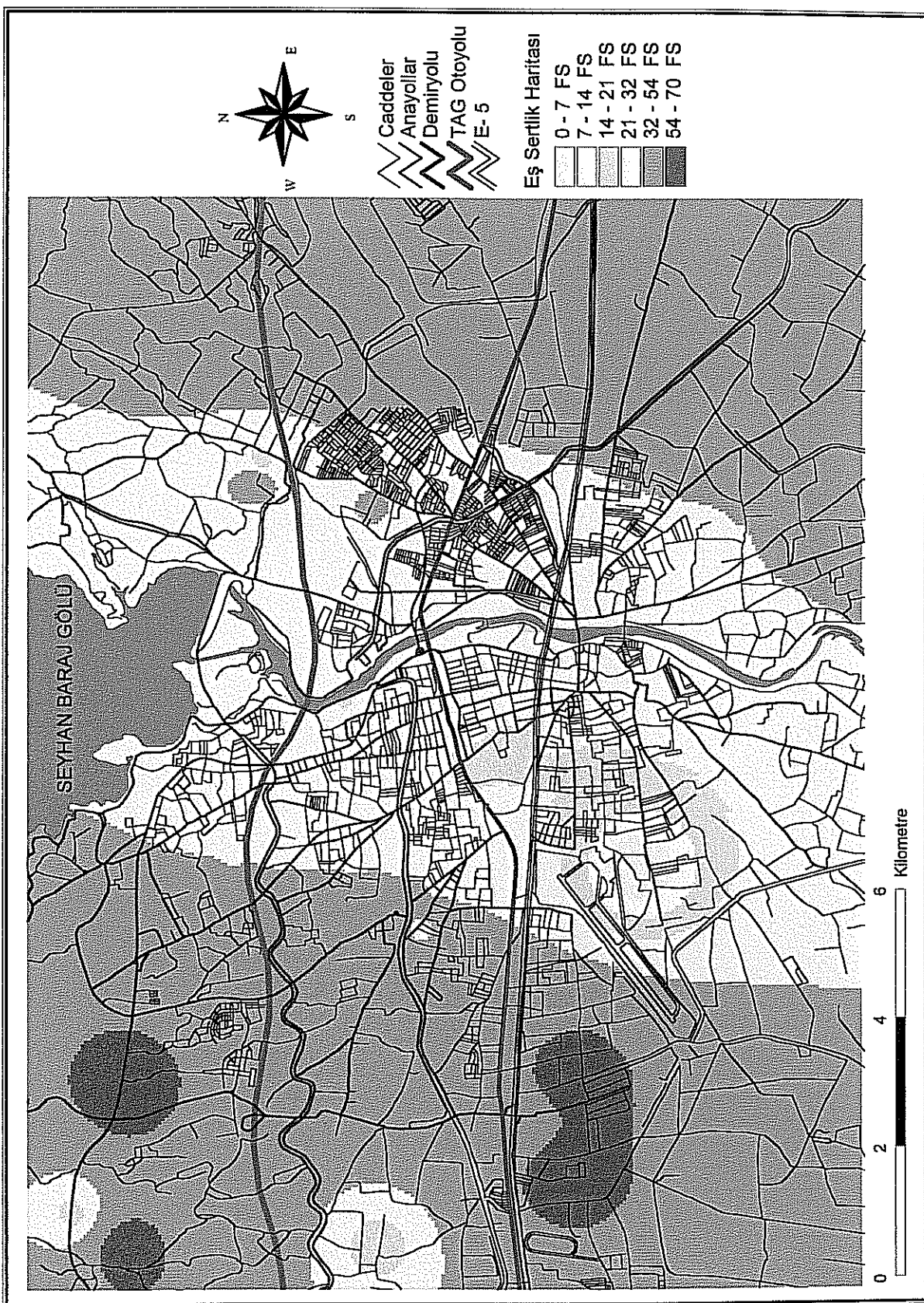
Şekil 4.177, inceleme alanı için oluşturulmuş eş-sülfat harmasını göstermektedir. Haritada yer alan tüm değerler mek/l birimi cinsinden verilmiştir.

4.8.4. Suların Çözünmüştür Toplam Katı Madde Miktarına Göre Sınıflaması

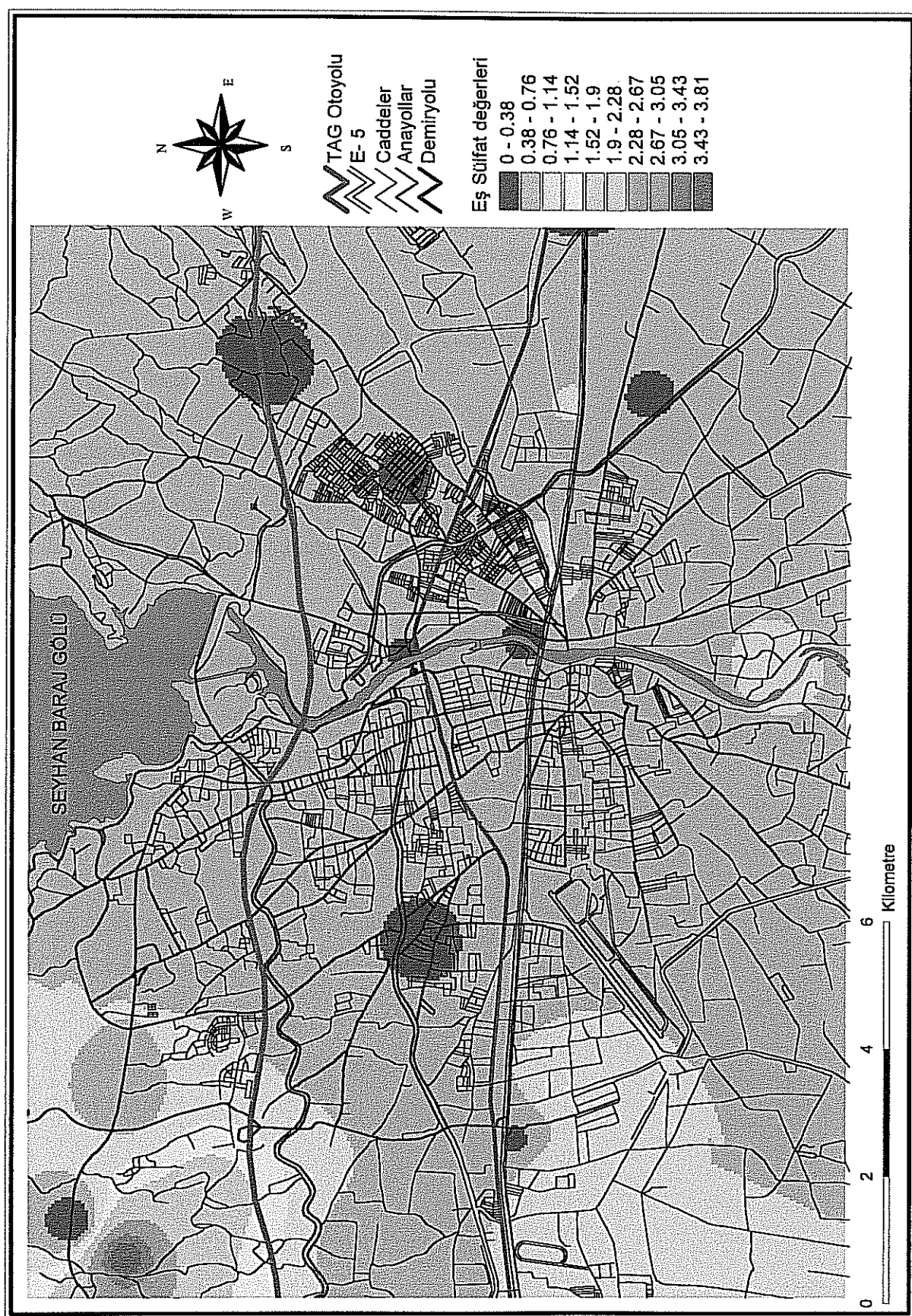
Bu sınıflamada mg/l cinsinden toplam iyon miktarları değerlendirilir. 1000 mg/l'den az olan sular tatlı su ve 1000-10.000 mg/l arasında olan sular hafif tuzlu su sınıfına girer (Şahinci, 1991). Bu çalışma kapsamında incelenen 44 veri noktasına ait değerlendirme, Ruh sağlığı hastanesi (1183 mg/l), Arslandamı (1038 mg/l), Kireçocağı-I (1170 mg/l) ve Gürselpaşa Mah.-II (1013 mg/l) veri noktalarının hafif tuzlu su ve bu noktalar dışında kalan tüm noktalara ait suların ise tatlı su sınıfında yer aldıklarını ortaya koymuştur.

4.8.5. Suların Kullanılabilme Özellikleri

Suların sıcaklığı, debisi, iyon derişimi, kimyasal ve bakteriyolojik özellikleri kullanım alanlarını belirleyen etkenlerdir. Bu bölümde inceleme alanındaki suların içme, sulama ve endüstride kullanılabilmeye özelliklerinden söz edilmiştir.



Sekil 4.176. İnceleme alanı için oluşturulmuş yeraltı suyu eş-sertlik (FS) haritası.



Sekil 4.177. İnceleme alanı için oluşturulmuş yeraltı suyu eş-sülfat (mek/l) haritası.

4.8.5.1. İnceleme Alanı Yeraltı Sularının İçme Suyu Olarak Kullanılabilme Özellikleri

Schoeller, EC (elektriksel iletkenlik), FS, Na (mg/l), Cl (mg/l) ve SO₄ (mg/l) değerlerini kullanarak suları içilebilme özelliklerine göre sınıflamıştır (Canik, 1998). Suların geneli *orta – iyi* ve *çok iyi* kaliteli sular grubunda oldukları görülmektedir. Şekil 4.180'de çizilmiş olan grafik suların içilebilirlik açısından sınıflarını göstermektedir. Grafikler üzerindeki sayılar Çizelge 4.139'daki su kuyusu verilerine ait sıra numaralarını göstermektedir.

TSE 266 (1966)'ya göre de sular içilebilirlik açısından çeşitli kriterler gözetilerek değerlendirilmektedirler (Çizelge 4.141).

4.8.5.2. İnceleme Alanı Yeraltı Sularının Sulamada Kullanılabilme Özellikleri

Sulama sularını sınıflamak için değişik diyagram ve sınır değerler önerilmiştir. Bunlardan yararlanılarak inceleme alanındaki yeraltı sularının sulamaya uygunluğu incelenmiştir.

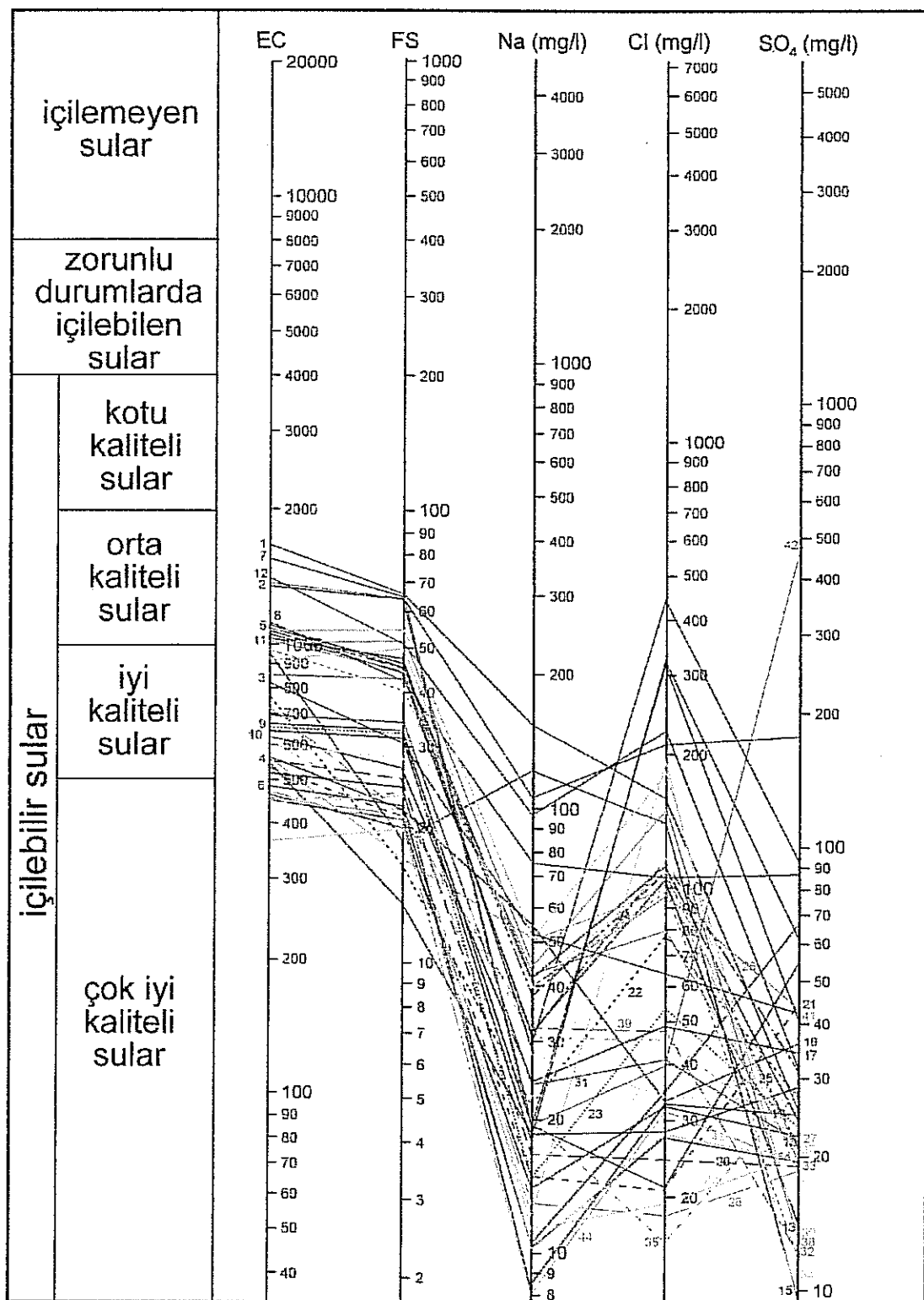
4.8.5.2.(1). Artıksal Sodyum Karbonat (RSC)

Yüksek RSC değerine sahip su, toprakta sodikleşmeye yani tuzluluğun artmasına yol açtığından sulama suyunda istenmeyen bir değerdir. Sodikleşme ile toprağın fiziksel ve kimyasal özellikleri de değişiklik gösterebilir. Bu tür topraklarda sodyum oranı yükseldikçe toprağın geçirgenliği azalır ve toprağın havalandması güçleşir. Böyle bir durumda toprak ıslanınca yapışkan, kuruyunca çatlaklı ve kabuklu bir yapı kazanır. Toprağın sodikleşmesi ile etkisini gösteren suyun kimyasal özellik tanımı RSC kavramı ile ifade edilmektedir.

RSC şu formülle hesaplanır (Şahinci, 1991);

$$RSC = r(CO_3 + HCO_3) - r(Ca + Mg) \quad (4.65)$$

Hesaplanan RSC değerine göre sulamaya uygunluk açısından suların sınıflandırılması Çizelge 4.143'de gösterilmiştir.



Şekil 4.180. Suların Schoeller içilebilirlik diyagramı.

Çizelge 4.141. İçme sularının fiziksel ve kimyasal özellikleri (TSE 266, 1966)

Fiziksel Özellikler	Kabul Edilen	Üst Sınır
Koliform bakteri	-	-
Koku ve tad	Kokusuz	Duyulur derecede
Renk (platin skalası)	10 mg/l	25 mg/l
Sıcaklık (°C)	15 mg/l	18 mg/l
Asılı maddeler	10 mg/l	100 mg/l
Bulanıklık (SiO_2 skalası)	5 mg/l	15 mg/l
Yüzen maddeler	-	-
Çözünmüştür oksijen	2 mg/l	5 mg/l
Organik madde için kullanılan O_2	1.5 mg/l	3.5 mg/l
Zehirli maddeler	0	0.05 mg/l
Kurşun (pb)	0	0.01 mg/l
Selenyum (Se)	0	0.05 mg/l
Arsenik (As)	0	0.05 mg/l
Krom (Cr)	0	0.2 mg/l
Siyanür (Cn)	0	0.01 mg/l
<i>Sağlığa etki eden maddeler</i>		
Florür (F)	1 mg/l	1.5 mg/l
Nitrat (NO_3)	10 mg/l	30 mg/l
<i>Kimyasal özellikler</i>		
pH	6.8 – 7.2	8.8
Buharlaşma kalıntısı	500 mg/l	1500 mg/l
EC (mikromho/cm 25°C)	750	2200
Sertlik (Fransız)	32	45
Klorür (Cl)	250 mg/l	750 mg/l
Magnezyum (Mg)	125 mg/l	150 mg/l
Sülfat (SO_4)	200 mg/l	400 mg/l
Demir (Fe)	0.3 mg/l	1 mg/l
Mangan (Mn)	0.1 mg/l	1 mg/l
Bakır (Zn)	0.2 mg/l	3 mg/l
Çinko (Zn)	5 mg/l	15 mg/l
Fenol bileşimli maddeler	0	0.001 mg/l
Kalsiyum (Ca)	75 mg/l	200 mg/l
Artık klor	0.1 mg/l	0.5 mg/l
Alkil benzil sülfanat	0.5 mg/l	1 mg/l
$\text{Mg}+\text{Na}_2\text{SO}_4$	500 mg/l	1000 mg/l
<i>Kirlenmeyi belirten maddeler</i>		
Toplam organik maddeler	3.5 mg/l	-
Nitrit	0	-
Amonyak	0	-

Çizelge 4.142. İncelenen suların TSE 266 (1966)'ya göre kimyasal açıdan değerlendirilmesi.

Lokasyon Adı	Veri No	TSE 266, (1966) Kriterleri Değerleri					
		pH	EC	FS	Cl	Mg	SO ₄
Ruh Sağlığı	1	✓	✓	✗	✓	✓	✓
Arslandamı	2	✓	✓	✗	✓	✓	✓
Cumhuriyet Mah.	3	✓	✓	✓	✓	✓	✓
Adana Demirspor	4	✓	✓	✓	✓	✓	✓
Karataş Yolu	5	✓	✓	✗	✓	✓	✓
Aziz Otomotiv, E-5	6	✓	✓	✓	✓	✓	✓
Kireçocağı-I	7	✓	✓	✗	✓	✓	✓
Kireçocağı-II	8	✓	✓	✓	✓	✓	✓
Sülüklu Pınarı	9	✓	✓	✓	✓	✓	✓
İsmetpaşa Mah.	10	✓	✓	✓	✓	✓	✓
Gürselpaşa Mah.-I	11	✓	✓	✗	✓	✓	✓
Gürselpaşa Mah.-II	12	✓	✓	✗	✓	✓	✓
Sebze Hali	13	✓	✓	✓	✓	✓	✓
Ç.Ü.MYO	14	✓	✓	✓	✓	✓	✓
K-7165	15	✓	✓	✓	✓	✓	✓
Döşeme Mah.	16	✓	✓	✓	✓	✓	✓
Çukurova Üniversitesi	17	✓	✓	✓	✓	✓	✓
K. Karabekir Mah.	18	✓	✓	✓	✓	✓	✓
Sarıçam Mah.	19	✓	✓	✓	✓	✓	✓
Yamaçlı Mah.	20	✓	✓	✓	✓	✓	✓
Kanara	21	✓	✓	✓	✓	✓	✓
Ziraat Fak. Çiftliği	22	✓	✓	✓	✓	✓	✓
Yavuzlar Mah.	23	✓	✓	✓	✓	✓	✓
19 Mayıs Mah.	24	✓	✓	✗	✓	✓	✓
Kiremithane Mah.	25	✓	✓	✗	✓	✓	✓
Polis Lojmanları	26	✓	✓	✓	✓	✓	✓
DSİ Fabrikası	27	✓	✓	✓	✓	✓	✓
Köprüköyü	28	✓	✓	✓	✓	✓	✓
Kışla Mah.	29	✓	✓	✓	✓	✓	✓
Üniversite Sahası	30	✓	✓	✗	✓	✓	✓
PTT Evleri	31	✓	✓	✓	✓	✓	✓
Teknik Lise	32	✓	✓	✓	✓	✓	✓
Hacı Murat	33	✓	✓	✓	✓	✓	✓
Yüreğir Belediyesi	34	✓	✓	✓	✓	✓	✓
Yamaçlı Zabıta	35	✓	✓	✓	✓	✓	✓
Asrı Mezarlık	36	✓	✓	✓	✓	✓	✓
Yenidoğan Mah.	37	✓	✓	✗	✓	✓	✓
Levent Mah.	38	✓	✓	✗	✓	✓	✓
TemSA	39	✓	✓	✓	✓	✓	✓

Çizelge 4.142 devamı

Lokasyon Adı	Veri No	TSE 266, (1966) Kriterleri Değerleri					
		pH	EC	FS	Cl	Mg	SO ₄
Ç.Ü. Seraları	40	✓	✓	✓	✓	✓	✓
Selçuk Ecza Deposu	41	✓	✓	✓	✓	✓	✗
Sarıhüglar	42	✓	✓	✓	✓	✓	✓
Dilberler Sek. Doğusu	43	✓	✓	✓	✓	✓	✓
Hükümet Konağı	44	✓	✓	✓	✓	✓	✓

Çizelge 4.143. RSC değerlerine göre sulamaya uygunluk sınıflaması (Şahinci, 1991).

Sınıflamaya Uygunluk	RSC
Sınıf 1: iyi	< 1.25
Sınıf 2 : limite yakın (kritik)	1-25 – 2.5
Sınıf 3 : kesinlikle kullanılamaz	> 2.5

Çalışma alanındaki suların tümü < 1.25 RSC değeri vermektedirler. Bu bakımından da iyi sulama suyu sınıfına girmektedirler.

4.8.5.2.(2). Wilcox Diyagramı

Wilcox diyagramı, suları sodyum yüzdesi ve elektriksel iletkenlik değerlerine göre sınıflandırır. Bu diyagramda sular beş sınıfa ayrılmıştır.

- Çok iyi – iyi sular
- İyi – kullanılabilir
- Şüpheli – kullanılabilir
- Şüpheli – kullanılamaz
- Sulamaya uygun değil

% Na değerleri,

$$\% \text{Na} = r\text{Na} \times 100 / (r\text{Ca} + r\text{Mg} + r\text{Na} + r\text{K}) \quad (4.66)$$

bağıntısıyla hesaplanmıştır.

Çizelge 4.144, bu çalışmada incelenen lokasyonlara ait iyon dağılımı ve hesaplanmış % Na ile sodyum adsorpsiyon oranı (SAR) değerlerini göstermektedir. Elde edilen % Na ve EC değerleri kullanılarak suların Wilcox diyagramındaki dağılımları Şekil 4.181'de gösterilmiştir. Diyagram, sulama sularının *Cök iyi-iyi* ve *iyi-kullanılabilir* su sınıfında olduklarını ortaya koymaktadır.

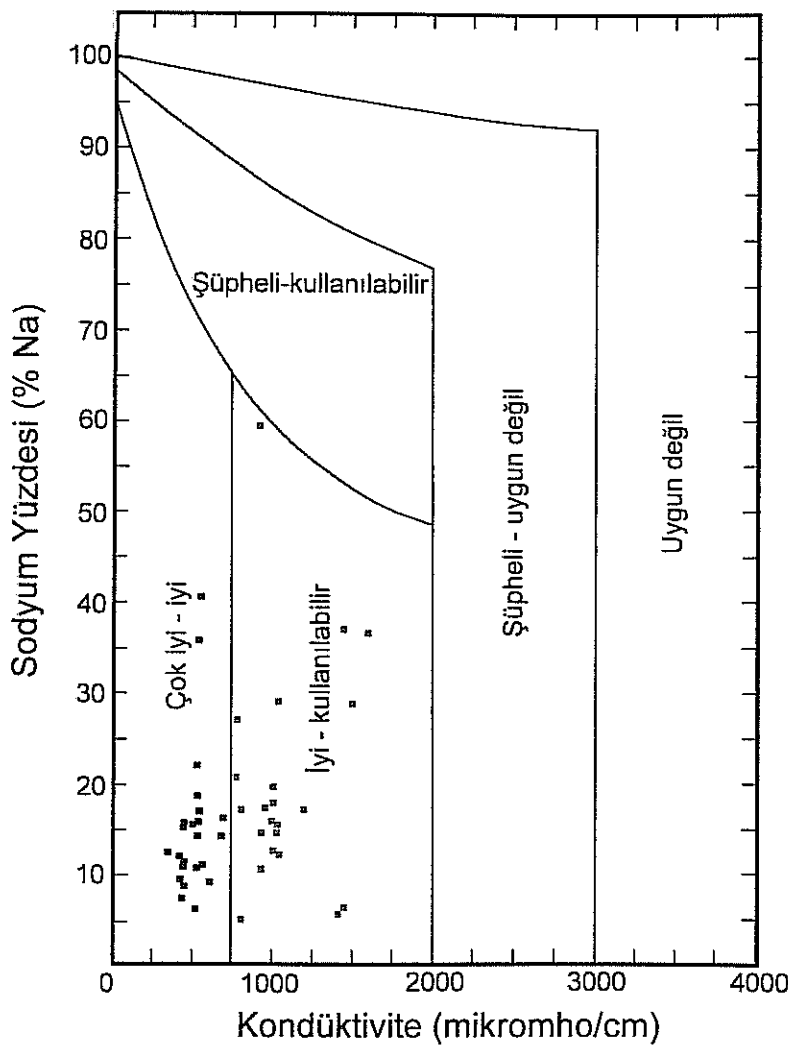
Çizelge 4.144. İncelenen lokasyonlar için elde edilmiş iyon dağılımları ve %Na ile SAR değerleri.

<i>Kuyu İsmi</i>	<i>Sıra No</i>	<i>İYON DAĞILIMI</i>		<i>% Na</i>	<i>SAR</i>
		<i>KATYONLAR</i>	<i>ANYONLAR</i>		
Ruh Sağlığı	1	Mg > Na > Ca > K	HCO ₃ > Cl > SO ₄	36.15	2.69
Arslandamı	2	Mg > Ca > Na > K	HCO ₃ > SO ₄ > Cl	6.05	0.20
Cumhuriyet Mah.	3	Mg > Na > Ca > K	HCO ₃ > Cl > SO ₄	27.47	1.31
Adana Demirspor	4	Mg > Ca > Na > K	HCO ₃ > Cl > SO ₄	14.28	0.51
Karataş Yolu	5	Mg > Ca > Na > K	HCO ₃ > Cl > SO ₄	16.13	0.83
Aziz Otomotiv, E-5	6	Ca > Mg > Na > K	HCO ₃ > Cl > SO ₄	9.09	0.40
Kireçocağı-I	7	Mg > Na > Ca > K	HCO ₃ > Cl > SO ₄	28.14	1.99
Kireçocağı-II	8	Ca > Mg > Na > K	HCO ₃ > Cl > SO ₄	28.18	1.60
Sülüklu Pınarı	9	Ca > Mg > Na > K	HCO ₃ > Cl > SO ₄	11.59	0.47
İsmetpaşa Mah.	10	Mg > Ca > Na > K	HCO ₃ > Cl > SO ₄	11.31	0.46
Gürselpaşa Mah.-I	11	Mg > Ca > Na > K	HCO ₃ > Cl > SO ₄	14.99	0.59
Gürselpaşa Mah.-II	12	Mg > Ca > Na > K	HCO ₃ > Cl > SO ₄	36.67	1.90
Sebze Hali	13	Mg > Ca > Na > K	HCO ₃ > Cl > SO ₄	13.09	0.63
Ç.Ü.MYO	14	Mg > Ca > Na > K	HCO ₃ > Cl > SO ₄	9.47	0.31
K-7165	15	Na > Mg > K > Ca	HCO ₃ > Cl > SO ₄	59.23	4.03
Döseme Mah.	16	Ca > Na > Mg > K	HCO ₃ > Cl > SO ₄	15.97	0.44
Çukurova Üniversitesi	17	Mg > Ca > Na > K	HCO ₃ > Cl > SO ₄	17.08	0.62
K. Karabekir Mah.	18	Na > Mg > Ca > K	HCO ₃ > Cl > SO ₄	36.17	1.62
Sarıçam Mah.	19	Ca > Mg > Na > K	HCO ₃ > Cl > SO ₄	5.73	0.18
Yamaçlı Mah.	20	Mg > Ca > Na > K	HCO ₃ > Cl > SO ₄	15.77	0.48
Kanara	21	Ca > Mg > Na > K	HCO ₃ > SO ₄ > Cl	15.68	0.47
Ziraat Fak. Çiftliği	22	Ca > Mg > Na > K	HCO ₃ > Cl > SO ₄	20.81	0.69
Yavuzlar Mah.	23	Mg > Ca > Na > K	HCO ₃ > Cl > SO ₄	9.29	0.35
19 Mayıs Mah.	24	Mg > Ca > Na > K	HCO ₃ > Cl > SO ₄	13.24	0.64
Kiremithane Mah.	25	Mg > Ca > Na > K	HCO ₃ > Cl > SO ₄	15.30	0.76
Polis Lojmanları	26	Mg > Ca > Na > K	HCO ₃ > Cl > SO ₄	17.21	0.83
DSİ Fabrikası	27	Mg > Ca > Na > K	HCO ₃ > Cl > SO ₄	22.44	0.85
Köprüköyü	28	Ca > Mg > Na > K	HCO ₃ > Cl > SO ₄	11.98	0.41
Kışla Mah.	29	Ca > Mg > Na > K	HCO ₃ > Cl > SO ₄	10.25	0.36
Üniversite Sahası	30	Mg > Ca > Na > K	HCO ₃ > Cl > SO ₄	17.24	0.97
PTT Evleri	31	Ca > Mg > Na > K	HCO ₃ > Cl > SO ₄	14.23	0.61
Teknik Lise	32	Mg > Ca > Na > K	HCO ₃ > Cl > SO ₄	16.76	0.75
Hacı Murat	33	Mg > Ca > Na > K	HCO ₃ > Cl > SO ₄	17.26	0.88
Yüreğir Belediyesi	34	Ca > Mg > Na > K	HCO ₃ > SO ₄ > Cl	12.41	0.40
Yamaçlı Zabıta	35	Ca > Mg > Na > K	HCO ₃ > SO ₄ > Cl	15.34	0.56
Asrı Mezarlık	36	Ca > Mg > Na > K	HCO ₃ > Cl > SO ₄	17.75	0.73
Yenidoğan Mah.	37	Mg > Ca > Na > K	HCO ₃ > Cl > SO ₄	14.78	0.78
Levent Mah.	38	Mg > Ca > Na > K	HCO ₃ > Cl > SO ₄	15.83	0.85

Çizelge 4.144 devamı

Kuyu İsmi	Sıra No	İYON DAĞILIMI		% Na	SAR
		KATYONLAR	ANYONLAR		
TemSA	39	Mg > Ca > Na > K	HCO ₃ > Cl > SO ₄	17.54	0.86
Ç.Ü. Seraları	40	Mg > Ca > Na > K	HCO ₃ > Cl > SO ₄	11.35	0.49
Selçuk Ecza Deposu	41	Mg > Ca > Na > K	HCO ₃ > SO ₄ > Cl	6.32	1.72
Sarıhuğlar	42	Mg > Na > Ca > K	Cl > HCO ₃ > SO ₄	40.87	0.33
Dilberler Sek. Doğusu	43	Mg > Ca > Na > K	HCO ₃ > SO ₄ > Cl	12.68	0.31
Hükümet Konağı	44	Ca > Mg > Na > K	HCO ₃ > Cl > SO ₄	6.76	0.15

Değer Aralığı: 5.73 - 59.23 0.15 - 4.03



Şekil 4.181. İnceleme alanı sularının Wilcox diyagramındaki dağılımı.

4.8.5.2.(3). Sodyum Adsorpsiyon Oranı (SAR)

Özellikle sulama amaçlı su sınıflarının bir kısmı SAR olarak ifade edilen ve suyun toprakta meydana getireceği tuzlulaşma miktarını ifade eden bir değeri kullanır. Sodyum adsorpsiyon oranı şu formülle hesaplanır (Canik, 1998);

$$SAR = \frac{rNa}{\sqrt{\frac{rCa + rMg}{2}}} \quad (4.67)$$

SAR değeri hesaplamlarında Na, Ca ve Mg iyonlarının mek/l cinsinden miktarları kullanılmaktadır. SAR değerlerinin sulama suyu kullanımı açısından sınıflandırması Çizelge 4.145'de gösterilmiştir.

Çizelge 4.145. SAR değerlerine göre sulama suyu sınıfları (Şahinci, 1991).

SAR Değeri	Sulama Suyu Sınıfı
< 10	Çok iyi özellikte sulama suyu
10 - 18	İyi özellikte sulama suyu
18 - 26	Orta özellikte sulama suyu
> 26	Fena özellikte sulama suyu

İnceleme alanı içerisinde en yüksek SAR değeri 2.69 ile Ruh sağlığı hastanesi lokasyonuna aittir. Bu lokasyona ait değer de dahil olmak üzere SAR değerine göre inceleme alanı sularının tamamı “Çok iyi özellikte sulama suları” sınıfına girer (Çizelge 4.146).

4.8.5.2.(4). Klorür Tehlikesi

Sulama sularında fazla miktarda bulunan klorür (özellikle 5 mek/l'den fazla) bitkiler tarafından soğrularak yaprak yanmasına neden olur. İnceleme alanı sularında Kireçcocağı-I lokasyonu (6.10 mek/l) dışındaki tüm lokasyonlarda Cl miktarı 5 mek/l'den azdır. Bu açıdan adı geçen lokasyon dışındaki lokasyonlara ait sular için böyle bir tehlike yoktur.

4.8.5.2.(5). ABD Tuzluluk Laboratuvarı Diyagramı

ABD Tuzluluk Laboratuvarı diyagramında sular SAR ve EC değerlerine göre 16 sınıfa ayrılmıştır. Bu diyagramda çalışma alanındaki suların diyagram içinde iki alanda yoğunlaştıkları görülmektedir. İlk grup sular C₃-S₁ alanına düşmektedir. Bu sınıftaki sular tuzlu ve az sodyumlu sularıdır. Diğer grup sular ise C₂-S₁ alanına düşen sularıdır. Bu sular ise orta tuzlu ve az sodyumlu sularıdır. Özellikle C₃-S₁ alanına düşen sular tuzluluk yönünden

akaçlaması kötü olan arazilerde, sulamada kullanılamazlar. Böylece durumlarda zemindeki tuz miktarının gözlenmesi gerekebilir. Bu özellikle suların kullanılması gerektiğinde tuza dayanıklı bitkiler seçilmelidir. Ancak inceleme alanındaki yeraltı suları az sodyumlu sular ve zeminin akaçlaması iyi olduğu için sodyum tehlikesi yaratmadan kullanılabilirler. Çizelge 4.146 farklı sulama suyu değerlendirmeleri için su sınıflarını göstermektedir.

Çizelge 4.146. Suların Wilcox, ABD Tuzluluk ve SAR sınıflarına göre değerlendirilmesi.

Kuyu İsmi	Sıra No	SULAMA SUYU SINIFI		
		Wilcox	ABD Tuzluluk Lab.	SAR
Ruh Sağlığı	1	İyi - kullanılabilir	C ₃ S ₁	Çok iyi
Arslandamı	2	İyi - kullanılabilir	C ₃ S ₁	Çok iyi
Cumhuriyet Mah.	3	İyi - kullanılabilir	C ₃ S ₁	Çok iyi
Adana Demirspor	4	Çok iyi - iyi	C ₂ S ₁	Çok iyi
Karataş Yolu	5	İyi - kullanılabilir	C ₃ S ₁	Çok iyi
Aziz Otomotiv, E-5	6	Çok iyi - iyi	C ₂ S ₁	Çok iyi
Kireçocağı-I	7	İyi - kullanılabilir	C ₃ S ₁	Çok iyi
Kireçocağı-II	8	İyi - kullanılabilir	C ₃ S ₁	Çok iyi
Sütlüklü Pınarı	9	Çok iyi - iyi	C ₂ S ₁	Çok iyi
İsmetpaşa Mah.	10	Çok iyi - iyi	C ₂ S ₁	Çok iyi
Gürselpaşa Mah.-I	11	İyi - kullanılabilir	C ₃ S ₁	Çok iyi
Gürselpaşa Mah.-II	12	İyi - kullanılabilir	C ₃ S ₁	Çok iyi
Sebze Hali	13	İyi - kullanılabilir	C ₃ S ₁	Çok iyi
Ç.Ü.MYO	14	Çok iyi - iyi	C ₂ S ₁	Çok iyi
K-7165	15	İyi - kullanılabilir	C ₃ S ₁	Çok iyi
Döşeme Mah.	16	Çok iyi - iyi	C ₂ S ₁	Çok iyi
Çukurova Üniversitesi	17	Çok iyi - iyi	C ₂ S ₁	Çok iyi
K. Karabekir Mah.	18	Çok iyi - iyi	C ₂ S ₁	Çok iyi
Sarıçam Mah.	19	Çok iyi - iyi	C ₂ S ₁	Çok iyi
Yamaçlı Mah.	20	Çok iyi - iyi	C ₂ S ₁	Çok iyi
Kanara	21	Çok iyi - iyi	C ₂ S ₁	Çok iyi
Ziraat Fak. Çiftliği	22	İyi - kullanılabilir	C ₃ S ₁	Çok iyi
Yavuzlar Mah.	23	Çok iyi - iyi	C ₂ S ₁	Çok iyi
19 Mayıs Mah.	24	İyi - kullanılabilir	C ₃ S ₁	Çok iyi
Kiremithane Mah.	25	İyi - kullanılabilir	C ₃ S ₁	Çok iyi
Polis Lojmanları	26	İyi - kullanılabilir	C ₃ S ₁	Çok iyi
DSİ Fabrikası	27	Çok iyi - iyi	C ₂ S ₁	Çok iyi
Köprüköyü	28	Çok iyi - iyi	C ₂ S ₁	Çok iyi
Kışla Mah.	29	Çok iyi - iyi	C ₂ S ₁	Çok iyi
Üniversite Sahası	30	İyi - kullanılabilir	C ₃ S ₁	Çok iyi
PTT Evleri	31	Çok iyi - iyi	C ₂ S ₁	Çok iyi

Çizelge 4.146 devamı

<i>Kuyu İsmi</i>	<i>Stra No</i>	<i>SULAMA SUYU SINIFI</i>		
		<i>Wilcox</i>	<i>ABD Tuzluluk Lab.</i>	<i>SAR</i>
Teknik Lise	32	Çok iyi – iyi	C ₂ S ₁	Çok iyi
Hacı Murat	33	İyi - kullanılabilir	C ₃ S ₁	Çok iyi
Yüreğir Belediyesi	34	Çok iyi – iyi	C ₂ S ₁	Çok iyi
Yamaçlı Zabıta	35	Çok iyi – iyi	C ₂ S ₁	Çok iyi
Asri Mezarlık	36	Çok iyi – iyi	C ₂ S ₁	Çok iyi
Yenidoğan Mah.	37	İyi – kullanılabilir	C ₃ S ₁	Çok iyi
Levent Mah.	38	İyi – kullanılabilir	C ₃ S ₁	Çok iyi
TemSA	39	İyi – kullanılabilir	C ₃ S ₁	Çok iyi
Ç.Ü. Seraları	40	İyi – kullanılabilir	C ₃ S ₁	Çok iyi
Selçuk Ecza Deposu	41	İyi – kullanılabilir	C ₃ S ₁	Çok iyi
Sarıhuğlar	42	Çok iyi – iyi	C ₂ S ₁	Çok iyi
Dilberler Sek. Doğusu	43	Çok iyi – iyi	C ₂ S ₁	Çok iyi
Hükümet Konağı	44	Çok iyi – iyi	C ₂ S ₁	Çok iyi

4.9. Uzaktan Algılama ve Coğrafi Bilgi Sistemi Çalışmaları

Bu bölümde uzaktan algılama kapsamında yapılan işlemler ve kullanılan coğrafi bilgi sistemi hakkında bilgi verilmiştir. Daha önce “Materyal ve Metot” bölümü içerisinde ana hatlarıyla bilgiler verilmiş olduğundan bu bölümde daha çok yapılan çalışmalar anlatılmıştır.

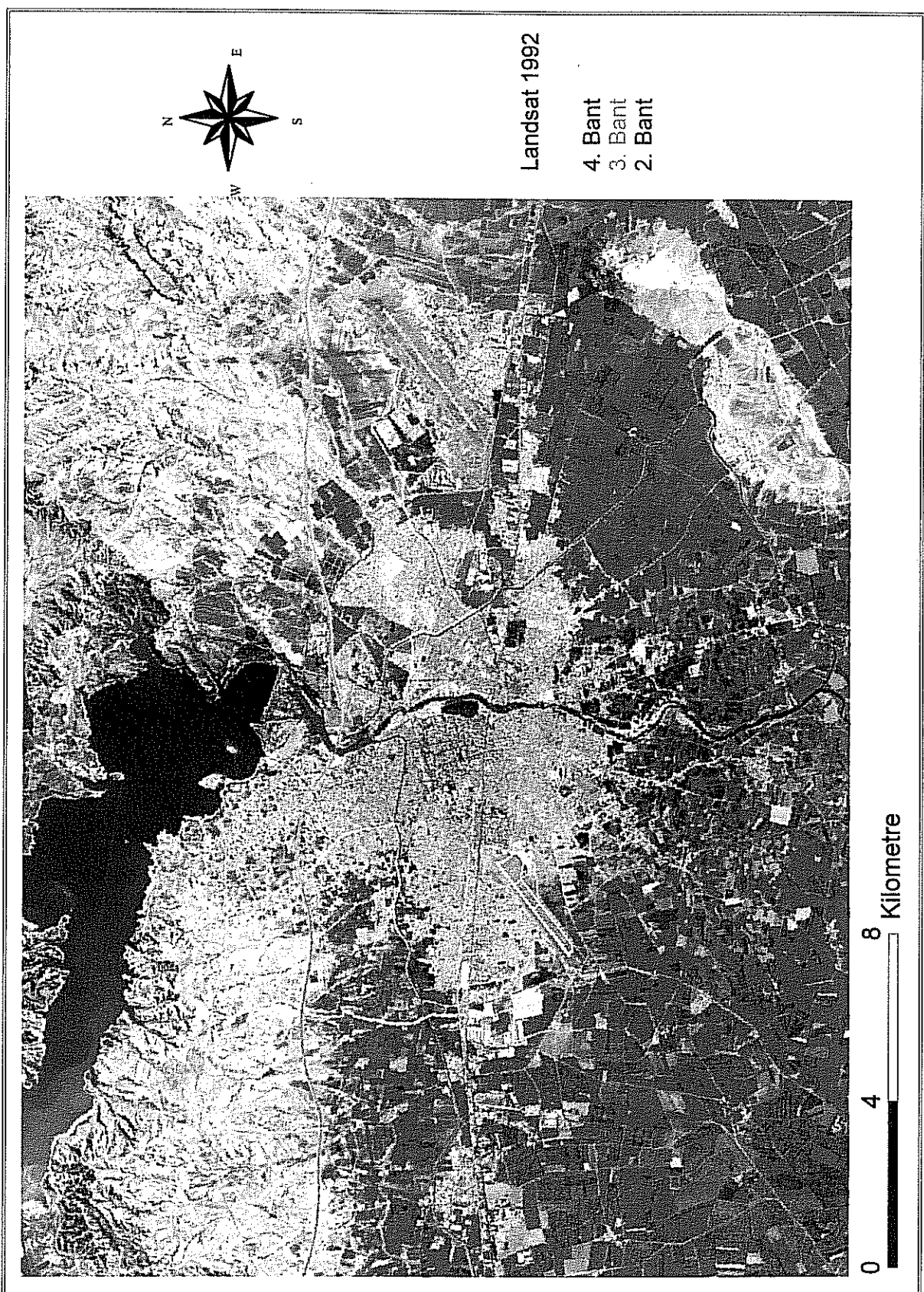
4.9.1. Uzaktan Algılama Çalışmaları

Kentsel gelişimin eski ve yeni tarihler açısından değerlendirilmesi, yeryüzü objelerinin doğru olarak algılanabilmesi ve eski tarihli (1995) topografik haritalar ile uyumunun ortaya konulması amacıyla uzaktan algılama çalışmaları gerçekleştirilmiştir. Yeni yerleşim durumunun görülmesi amacıyla 2002 yılına ait Landsat 7 ETM+ uydu görüntüsü ve eski yerleşim ile karşılaştırılabilmek amacıyla 1992 yılına ait Landsat 7 ETM+ uydu görüntüsü kullanılmıştır. Çalışmalarda farklı band kombinasyonlarının değerlendirilmesi sonucunda en uygun bandların 4., 3. ve 2. bandlar olduğu belirlenmiştir.

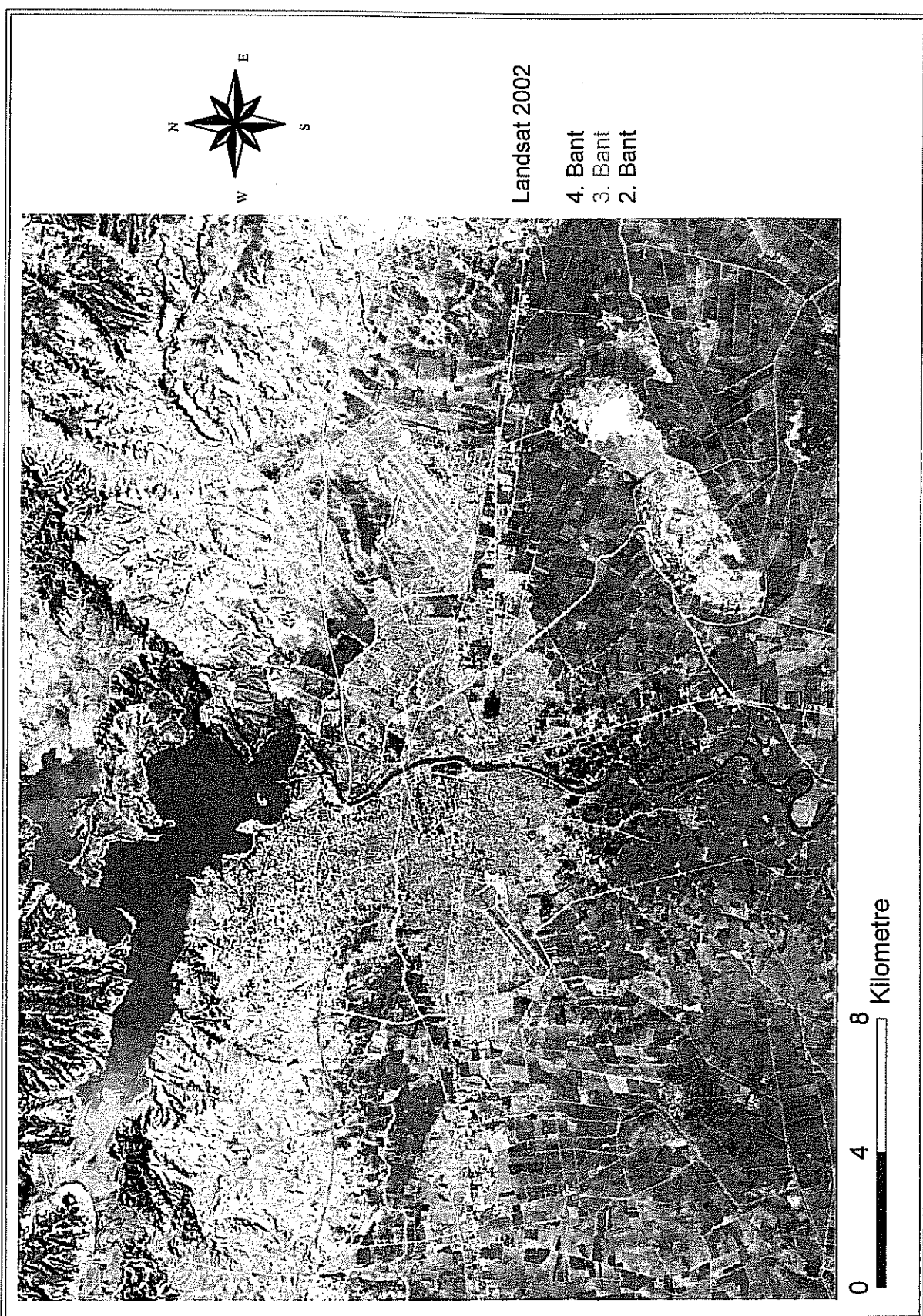
Uygun band kombinasyonlarının belirlenmiş olduğu Landsat 7 ETM+ uydu görüntülerinde kontrast aralığının tümünü kullanılır hale getirmek amacıyla Histogram Equalization uygulanmıştır. Şekil 4.182' de 30 m'lik mekansal çözünürlükteki 1992 yılı Landsat 7 ETM+ için elde edilen zenginleştirilmiş görüntü yer almaktadır. Şekil 4.183 ise zenginleştirilmiş 2002 yılı Landsat 7 görüntüsünü göstermektedir.

Farklı yansıtma değerlerine sahip yeryüzü objelerinin sınıflandırılması amacıyla unsupervised sınıflama kullanılarak her iki görüntü için 6 farklı küme oluşturulmuştur. Sınıflandırılmış görüntülerde değişimlerin daha ayrıntılı biçimde algılanabilmesi için filtreleme (3x3 median filter) uygulanmıştır. Şekil 4.184' de 1992 yılına ait Landsat 7 ETM+ uydu görüntüsünün unsupervised olarak sınıflandırılması ile elde edilmiş görünümü ve Şekil 4.185'de 2002 yılına ait uydu görüntüsünün unsupervised olarak sınıflandırılması ile elde edilmiş görünümü yer almaktadır.

Kent gelişiminin alansal büyülüklük açısından değerlendirilmesinde her iki uydu görüntüsü birlikte kullanılmıştır. 1992 yılında 4772.546875 hektar olan Adana ili kent alanının 2002'de 2096 hektarlık büyümeye ile 6868.338750 hektara yükseldiği belirlenmiştir. Kuzey Adana olarak adlandırılan yeni kentsel yerleşim alanının ise Seyhan baraj gölünün batı kıyısı boyunca olduğu görülmektedir. Uzaktan algılama kapsamında incelenen uydu görüntüleri bir sonraki bölümde ele alındığı gibi pik zemin ivmesi azalım ilişkilerinin değerlendirilmesinde de kullanılmıştır.



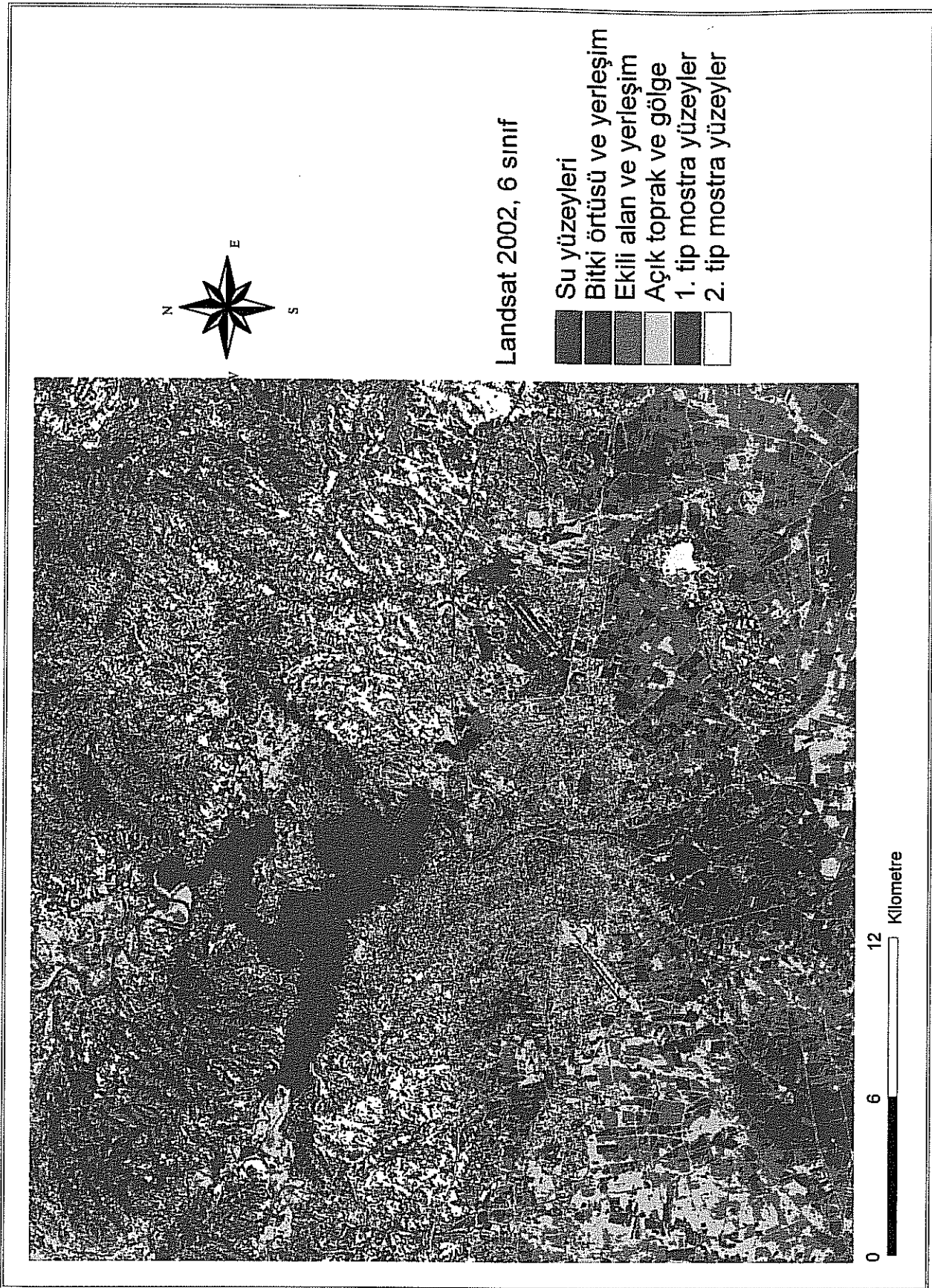
Şekil 4.182. 1992 yılı Landsat 7 ETM+ 4. (IR), 3. (kirmizi) ve 2. (yeşil) band kombinasyonu ve Histogram Equalization metodu kullanılarak zenginleştirilmiş görüntüsü



Şekil 4.183. 2002 yılı Landsat 7 ETM+ 4. (IR), 3. (kirmizi) ve 2. (yeşil) band kombinasyonu ve Histogram Equalization metodu kullanılarak zenginleştirilmiş görüntüsü

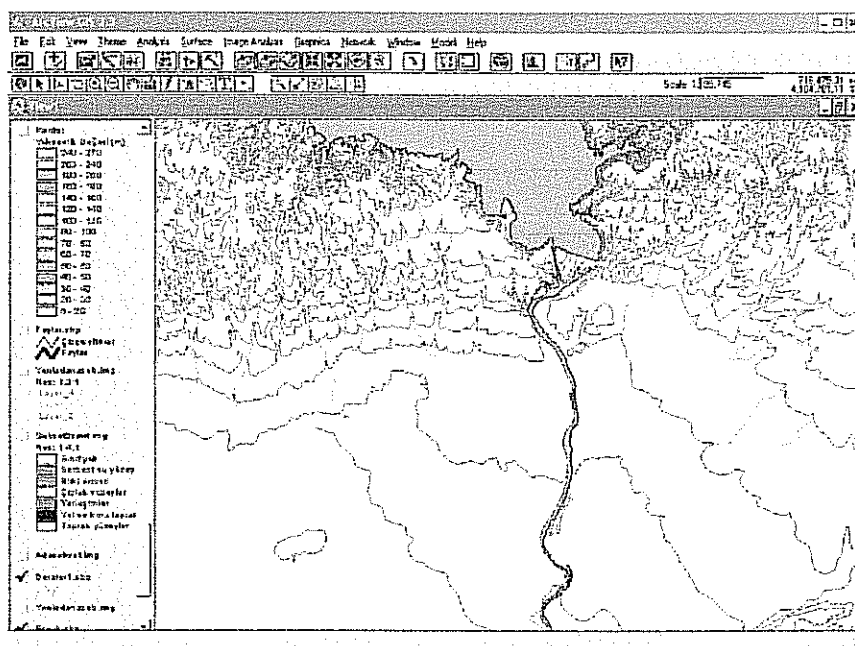


Şekil 4.184. Çalışma alanının 1992 Landsat 7 ETM+ için 6 sınıfta oluşturulan filtrelenmiş ve filtrelenmemiş görüntüsü



4.9.2. Coğrafi Bilgi Sistemi Çalışmaları

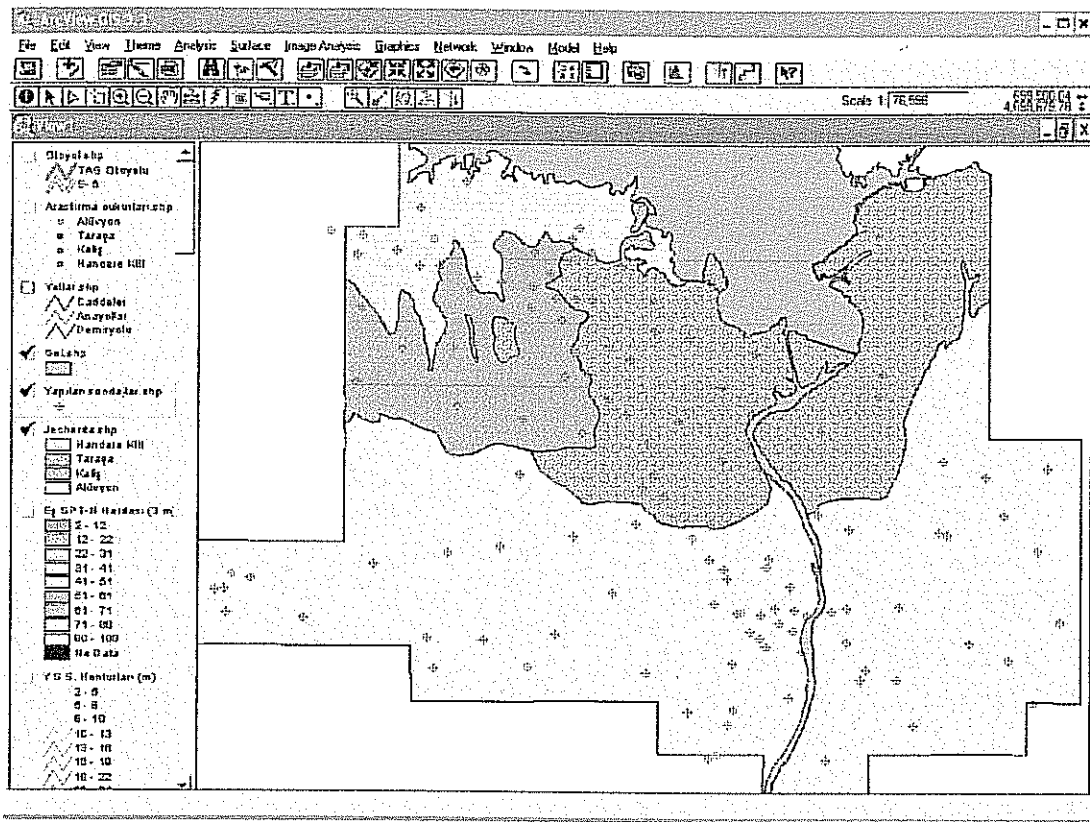
Coğrafi bilgi sistemi çalışmaları, inceleme alanı için altlık oluşturacak 1/25.000 ölçekli topografik haritaların sayısallaştırılması ile başlamıştır. Çalışmaların tümünde Arcview 3.3 bilgisayar programı kullanılmıştır. Topografik egriler, yollar, yerleşim alanları, dereler ve göllerin sayısallaştırılması ile temel coğrafi bilgiler elde edilmiştir. Sayısallaştırmalar ile aynı zamanda UTM / WGS 84 koordinat sistemine uygun bir koordinat ağı da oluşturulmuştur. Sayısallaştırma işlemleri sırasında coğrafi düzeltmeleri yapılmış yakın tarihli (2002) Landsat 7 TM uydu görüntüsünden de faydalانılmıştır. Şekil 4.186, sayısallaştırılmış, göl, dere yatakları ve topografik egrileri, kullanılan bilgisayar formatında göstermektedir.



Şekil 4.186. Sayısallaştırılmış topografik egriler, dere yatakları ve baraj gölü.

Adana ili yerleşim alanı içerisinde konum ve fonksiyonları itibariyle önemli olan emniyet müdürlüğü, otogar, PTT, hipodrom gibi çeşitli kurum ve kuruluşlara ait yer bilgileri de “*Semboller*” adı ile oluşturulmuş tabaka içerisinde yer almaktadır.

Bu işlemlerin ardından, uzaysal konumları bilgisayar ortamı içerisinde de belli olan çalışma alanı için veri teşkil edecek çalışma gruplarına ait verilerin bilgisayara lokasyon olarak girilmesine başlanmıştır. Bu aşamada, 111 nokta araştırma çukuru, 129 nokta zemin sondaj lokasyonu, 17 nokta jeofizik etüt lokasyonu, 96 nokta su seviye ölçüm lokasyonu ve 55 nokta su kimyasal analiz veri lokasyonu çalışma alanı içerisindeki koordinatlarına yerleştirilmişlerdir. Şekil 4.187, lokasyon olarak işlenmiş sondaj yerlerini ve ayrıca oluşturulmuş genel jeoloji haritasını bir arada göstermektedir.



Şekil 4.187. İşlenen sondaj lokasyonlarının bu çalışma ile ortaya konulmuş genel jeoloji haritası üzerinde görülen dağılımları

Sonraki aşamada, her veri noktasına işlenecek değerlerin belirlenip veri olarak girilmesine başlanmıştır. Oluşturulmuş her veri tabakası (layer, theme) amacına bağlı bilgileri içerdiginden yorumlamalar da veri tabakaları için ayrı ayrı yapılmıştır. Aşağıda, araştırma çukurları için oluşturulmuş “*Araştırma Çukurları*” isimli tabaka içerisinde yer alan parametrelerle ilgili bilgiler vermektedir..

<u>Oluşturulan tabaka adı</u>	<u>İçerdiği parametreler</u>
Araştırma çukurları	Lokasyon Derinlik Litoloji Çukur No 1. Tabaka derinliği (m) USCS zemin sınıfı Birim hacim ağırlığı (gr/cm^3) Kohezyon (kg/cm^2) İçsel sürtünme açısı Likit limit (LL, %) Plastik limit (PL, %) Ön konsolidasyon basıncı (p_c , kg/cm^2) Emin taşıma gücü (q_c , kg/cm^2)

Şekil 4.188, oluşturulan “Araştırma Çukurları” tabakasına ait veri bankasının bilgisayar görüntüsünü göstermektedir.

Sıra	ID	Lokasyon	Denklik	Uzunluk	ElAşırma	1. Testikül	USCS	BHA	Köklerin	SıkıştırmaAgt	IL	FE	2. Testikül	USCS2	RHA - P	Kat
Pont	0	Sular	7.50	Akıyon	AC 1	2.90	SM	1.76	0.03	21.0	0.00	0.00	7.50	CL	1.88	
Pont	0	Amerikan pezan	4.00	Akıyon	AC 2	0.70	Dolgu	0.00	0.00	0.0	0.00	0.00	4.00	SM	1.02	
Pont	1	Kenari Evin İhv.	4.60	Tarçça	AC 3	3.00	Tarçça	1.99	0.03	20.2	0.00	0.00	4.60	Tarçça	2.00	
Pont	1	AC-4	5.00	Tarçça	AC 4	2.70	Tarçça	2.12	0.02	20.8	0.00	0.00	5.00	Tarçça	2.12	
Pont	0	Kutuklu Mah.	0.50	Akıyon	AC 5	6.60	SM	1.86	0.12	19.0	0.00	0.00	6.60	CL	1.82	
Pont	1	Tunc Mah.	3.50	Tarçça	AC 7	3.90	Tarçça	2.19	0.00	31.5	0.00	0.00	0.00			
Pont	2	Yıl Mah.	0.75	Kağı+Tarçça	AC 9	4.30	Kağı	1.76	0.16	19.0	0.00	0.00	0.50	GW	2.26	
Pont	1	Bilekli Bölgü	6.50	Dolgu+Tarçça	AC 10	4.50	Tarçça	2.91	0.00	36.0	0.00	0.00	0.00			
Pont	2	Turgut Özal	6.00	Kağı	AC 11	6.00	Kağı	1.94	0.30	16.5	0.00	0.00	0.00			
Pont	0	Diamond	4.00	Akıyon	AC 12	4.00	CL	1.88	0.33	4.0	47.00	22.00	0.00			
Pont	2	Kemal evler	4.00	Kağı+İzpoç	AC 13	4.00	CH	1.73	0.11	14.5	51.00	24.10	0.00			
Pont	2	Yeniköy	4.00	Kağı	AC 14	3.00	ML	1.79	0.36	13.3	42.30	29.50	0.00			
Pont	1	Kutlupe Mh.	5.50	Tarçça	AC 15	4.00	Tarçça	2.21	0.00	20.0	0.00	0.00	0.00			
Pont	0	Mavi Büvar sonu	4.50	Akıyon+Kâğı	AC 16	2.00	CH	1.91	0.63	0.0	56.00	28.40	4.00	ML	1.71	
Pont	1	Dâhieler Seksi	9.00	Tarçça	AC 17	4.00	Tarçça	2.18	0.00	20.0	0.00	0.00	9.00			
Pont	1	Tekfen bili̇p	7.00	Tarçça	AC 18	4.00	Tarçça	2.24	0.00	29.5	0.00	0.00	6.00	Tarçça	2.28	
Pont	1	ATO Anadolu Lz.	12.00	Tarçça	AC 19	4.50	Tarçça	2.92	0.00	20.5	0.00	0.00	10.00	Tarçça	0.00	
Pont	0	Demirkapı	4.00	Akıyon	AC 20	2.50	SM	1.70	0.14	21.0	0.00	0.00	4.00	CL	1.92	
Pont	0	DGM Yeni	4.50	Akıyon	AC 21	3.40	CL	1.69	0.23	0.0	48.00	20.00	4.50	CH	1.92	
Pont	1	Balçak	6.00	Tarçça	AC 22	3.00	Tarçça	2.26	0.00	31.0	0.00	0.00	0.00			
Pont	0	M.AZİ Erzurum Hali	4.50	Akıyon	AC 23	2.20	SW	1.09	0.11	21.0	0.00	0.00	4.20	GM	2.01	
Pont	0	K.Kanlıkale Mah.	4.50	Akıyon	AC 25	2.20	SC	1.93	0.09	26.5	32.00	18.00	4.50	CL	1.06	
Pont	1	Kıym Boyo	4.10	Tarçça	AC 26	1.70	GP	1.95	0.00	33.0	0.00	0.00	3.00	CL	1.07	
Pont	2	Mavi Bükev Kızı	3.00	Dolgu+Kağı	AC 27	3.00	CL	1.02	0.66	13.0	31.00	17.20	0.00			
Pont	2	Mavi Bükev Kızı	4.00	Dolgu+Kağı	AC 28	4.00	CL	1.79	0.65	16.0	32.40	18.00	0.00			
Pont	0	Kıym Boyo 2	3.00	Akıyon	AC 29	3.00	CL	1.91	0.91	0.0	44.20	21.00	0.00			
Pont	3	AGV Arazi	4.50	Hendek Kâ	AC 32	4.50	CH	1.95	1.21	0.0	56.00	23.10	0.00			
Pont	1	Mavi Bükev 3	3.00	Kâ + Tarçça	AC 33	3.00	Tarçça	2.91	0.00	20.0	0.00	0.00	0.00			
Pont	1	Kıym Boyo 3	5.00	Tarçça	AC 34	4.00	GW	2.11	0.00	32.5	0.00	0.00	0.00			
Pont	3	A.Türkcs civan	10.50	Hendek Kâ	AC 35	5.00	CL	1.69	0.46	0.0	44.60	20.60	0.00			
Pont	1	Yıl Mah.	6.00	Tarçça	AC 36	5.00	Fayla	0.00	0.00	0.0	0.00	0.00	0.00			
Pont	2	Candıbağı İstik	4.50	Kağı	AC 38	4.50	CL	1.95	0.43	0.0	41.10	18.60	0.00			
Pont	0	Gazipaşa Mah.	4.00	Akıyon+Tar	AC 39	2.00	CL	1.65	0.51	0.0	42.40	19.20	4.00	GW	2.00	
Pont	2	Huzuravayı	3.00	Derepikâk	AC 40	2.50	GC	1.89	0.03	24.0	0.00	0.00	0.00			
Pont	0	Adana M.R. Hast.	6.50	AL+Tarçça	AC 41	1.20	CL	1.87	0.39	0.0	38.15	21.60	5.50	GW	2.10	
Pont	1	Plaza	4.50	Tarçça	AC 42	4.00	GW	2.04	0.00	30.0	0.00	0.00	0.00			

Şekil 4.188. CBS'de oluşturulan “Araştırma Çukurları” tabakasına ait veri bankasının bilgisayar görüntüsü.

Bu çalışma kapsamında yapılan sondajlar ile veri olarak elde edilmiş diğer sondajların tamamı “*Yapılan Sondajlar*” isimli veri tabakası içerisinde yer almaktadır. Sondajlarda yapılan ve değerlendirme anlamında oldukça fazla önem taşıyan SPT darbe sayıları, seviyelere göre değişim gösterdiginden, oluşturulan veri bankası bu derinliklere göre belirlenmiş parametreleri içermiştir. SPT deneyleri her 1.5 metrede yapıldığından başlangıç değeri olan 1.5 m diğer parametreler için de geçerli inceleme derinliği olmuştur. SPT 2, 3 metrelilik inceleme derinliğini, SPT 3, 4.5 metrelilik inceleme derinliğini göstermektedir. Diğer SPT numaraları da aynı şekilde 1.5 m ara ile artmaktadır. Bu tabakaya ait veri bankası içinde yer alan parametreler aşağıdaki bilgilerden oluşmaktadır.

<u>Oluşturulan tabaka adı</u>	<u>İçerdiği parametreler</u>
Yapılan Sondajlar	Sondaj no Lokasyon Derinlik Yer altı su seviyesi (yss) Litoloji SPT 1 (1.5 m derinlik için) Vs 1 (Kayma dalgası hızı, m/sn) İzin verilebilir taşıma gücü ($q_a 1$, kg/cm ²) Zemin büyütmesi (A1) SPT 2 (3.0 m derinlik için) Vs 2 (Kayma dalgası hızı, m/sn) İzin verilebilir taşıma gücü ($q_a 2$, kg/cm ²) Zemin büyütmesi (A2)

CBS'de depolanan bir diğer veri grubu olan "Sismik Veriler", inceleme derinliğine bağlı olarak 3 ayrı tabaka için oluşturulmuşlardır. 1. tabaka "*Sismik veriler*", 2. tabaka "*Sismik 2. tabaka*" ve 3. tabaka "*Sismik 3. tabaka*" olarak adlandırılmışlardır. Aşağıda oluşturulmuş her sismik veri lokasyonunun içeriği parametreler görülmektedir;

<u>Oluşturulan tabaka adı</u>	<u>İçerdiği parametreler</u>
Sismik veriler	Jeofizik sondaj noktası adı
Sismik 2. tabaka	Veri yeri
Sismik 3. tabaka	Litoloji Zemin büyütmesi V_p (P dalga hızı, m/sn) V_s (S dalga hızı, m/sn) Yoğunluk (B.h.ağırlık, gr/cm ³) Poisson oranı Kayma modülü (kg/cm ²) Elastisite modülü (kg/cm ²) Bulk Modülü (kg/cm ²) Titreşim periyodu (sn)

Rezistivite ölçümüne ait bilgilerin depolandığı "Rezistivite" isimli tabaka içerisinde de, derinliğe bağlı olarak elde edilmiş özdirenç değerleri (ohm.m) yer almaktadır. "Jeofizik Çalışmalar" başlığı altındaki bölümde de sunulmuş olduğu gibi özdirenç değerleri her lokasyon için 1, 2, 3, 4, 5, 6, 8, 10, 13, 16, 20, 25 ve 30 m derinliklere ait değerler olarak hesaplanmıştır.

"*Su sondaj verileri*" ismiyle oluşturulmuş diğer tabaka tamamen yer altı su seviyeleri ile ilgili bilgileri içermektedir. Aşağıda bu tabaka içinde yer alan bilgiler belirtilmiştir;

<u>Oluşturulan tabaka adı</u>	<u>İcerdiği parametreler</u>
Su sondaj verileri	Veri adı Litoloji Statik su seviyesi (m)

“Su kimyası” adı altında oluşturulmuş bir diğer tabaka içinde yer alan su kimyasal analiz sonuçlarını içeren veriler ise şu bilgilerden oluşmaktadır.

<u>Oluşturulan tabaka adı</u>	<u>İcerdiği parametreler</u>
Su kimyası	Veri adı Statik su seviyesi (m) Na (mek/l) K (mek/l) Ca (mek/l) Mg (mek/l) Cl (mek/l) Sülfat (mek/l) HCO ₃ (mek/l) pH EC (mmho/cm) Y.Na (Yüzde sodyum, %) Sar (Sodyum adsorbsiyon oranı) Sertlik (Fransız sertliği) Su sınıfı (ABD Tuzluluk Laboratuvarı)

Şekil 4.189, su kimyasal analizlerine ait değerleri gösteren “Su Kimyası” tabakasına ait veri bankasının bilgisayar görüntüsünü sergilemektedir.

Yukarıda açıklanan aşamalarla oluşturulmuş tabakalar dışında uzaktan algılama çalışmaları kapsamında incelenmiş uydu görüntüleri ve sınıflandırılmış halleri de ayrı birer tabaka haline getirilerek sisteme dahil edilmiştir. Sonuçta, oluşturulmuş herhangi bir tabaka içinde bulunan bir lokasyona ait bilgiler o lokasyon üzerine gelinip mouse ile tıklanınca elde edilebilir hale gelmiştir. İnceleme alanı içerisinde sayısallaştırılmış önemli bulvar ve caddelerin isimleri de veri bankası formatında depolanmış olduklarından aynı şekilde programı kullanan kişi tarafından rahatlıkla yol bilgisi şeklinde alınabilmektedir. Şekil 4.190, inceleme alanı içerisinde yer alan zemin sondajlarına ait tabaka içinde yer alan bir sondaj noktasına tıklandığında ortaya çıkan veri penceresini göstermektedir. Veri tabakasına bağlı olarak her veri noktası farklı verileri içermektedir.

ArcView GIS 3.3

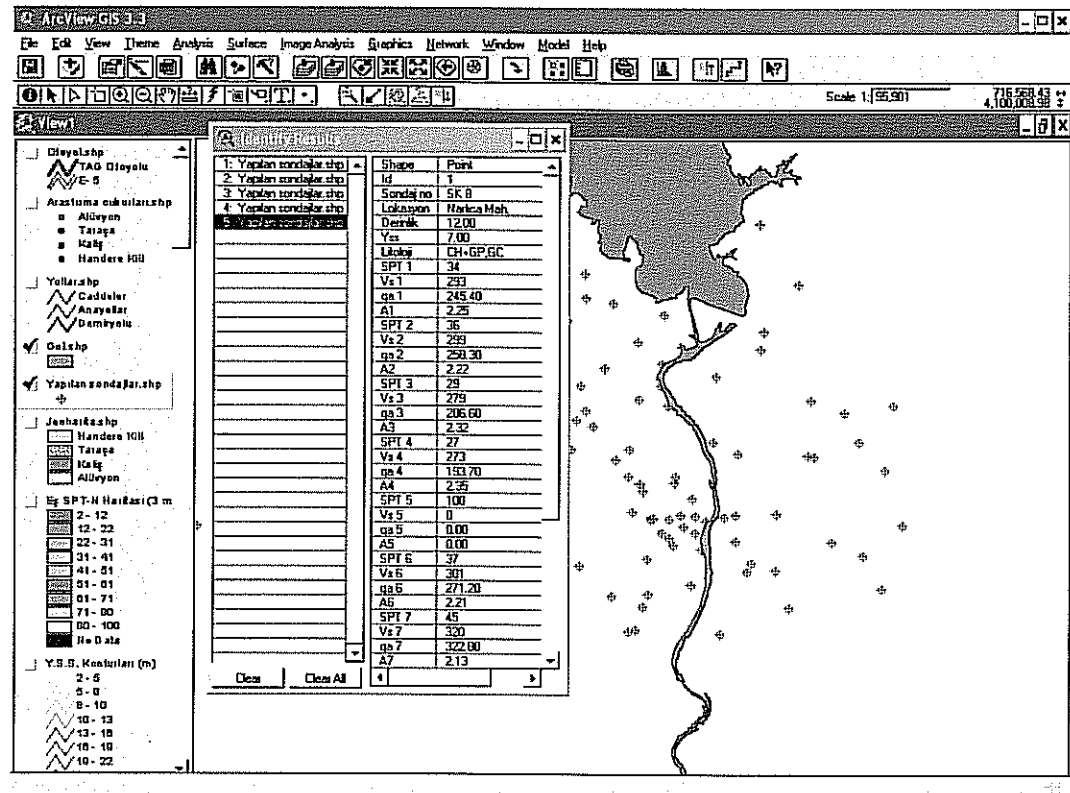
File Edit Table Field Window Help

0 of 55 selected

Yeraltı suyu kimyasal analiz verileri.xls

Shape	Id	Veri adı	Sıkıktı Sv	Na	K	Ca	Mg	Cl	Sulfat	HCO3	Ph	Ec	Y.Na	Sar	Sertlik	Su türü	
Point	0	Dünyeme Mah.	11	0.62	0.14	3.60	0.40	0.90	0.47	3.40	7.70	477	15.97	0.44	20.00	C251	
Point	0	ATO Anadolulu	14	0.00	0.00	0.00	0.00	0.00	0.00	7.50	454	0.00	0.00	0.00	0.00		
Point	0	Yalıçepen	3	0.00	0.00	0.00	0.00	0.00	0.00	7.70	890	0.00	0.00	0.00	0.00		
Point	0	Sarıhemzeli	3	0.80	0.00	0.00	0.00	0.00	0.00	0.00	0.00	1050	0.00	0.00	0.00	0.00	
Point	0	Süfidek Odan	10	0.00	0.00	0.00	0.00	0.00	0.00	7.37	401	0.00	0.00	0.00	0.00		
Point	0	Sarıhemzeli 2	7	0.00	0.00	0.00	0.00	0.00	0.00	6.00	750	0.00	0.00	0.00	0.00		
Point	0	Göküş Het.	29	0.00	0.00	0.00	0.00	0.00	0.00	7.25	1039	0.00	0.00	0.00	0.00		
Point	0	Erenli Odan	6	0.00	0.00	0.00	0.00	0.00	0.00	7.49	471	0.00	0.00	0.00	0.00		
Point	0	CU	17	1.03	0.09	2.50	2.53	1.40	0.71	4.30	8.10	620	17.00	0.62	27.15	C251	
Point	0	K.Karabük Mah.	12	2.41	0.10	2.10	2.33	0.50	0.76	4.50	8.10	570	36.17	1.62	22.15	C251	
Point	0	Sarıçam Mah.	14	0.29	0.01	2.50	2.43	0.69	0.52	3.00	7.60	514	5.73	0.18	24.65	C251	
Point	0	Yemâci Mah.	7	0.74	0.14	2.00	2.70	0.70	0.41	4.40	7.90	546	15.77	0.48	23.50	C251	
Point	0	Kanice	6	0.70	0.10	2.50	1.00	0.60	0.99	3.50	7.40	529	15.60	0.47	21.50	C251	
Point	0	Zirai Çiftlik	10	0.92	0.00	3.30	0.20	2.20	0.55	4.70	7.40	703	20.01	0.69	17.50	C251	
Point	0	Yavuzlar	14	0.63	0.03	3.00	3.44	1.50	0.50	5.00	7.60	670	9.29	0.35	32.20	C251	
Point	0	19 Mayıs Mah.	12	1.39	0.06	4.30	5.20	3.30	0.71	6.60	7.90	1094	13.24	0.64	47.50	C251	
Point	0	Karamahmut Mah.	16	1.65	0.03	4.40	4.90	3.00	0.42	7.10	7.70	1070	15.30	0.76	46.50	C251	
Point	0	Pola Ligonları	17	1.74	0.09	4.00	4.00	2.70	0.29	6.60	7.00	1011	17.21	0.03	44.00	C251	
Point	0	DSİ Fabrikası	20	1.31	0.05	1.00	2.90	1.30	0.47	3.90	7.90	601	22.44	0.15	23.50	C251	
Point	0	Kırpıköyü	22	0.61	0.03	2.33	2.12	0.50	0.34	3.35	7.20	470	11.98	0.41	22.25	C251	
Point	0	Kırla Mah.	9	0.56	0.02	2.76	2.12	0.55	0.42	5.30	7.30	450	10.25	0.36	24.40	C251	
Point	0	Üniversite Sahası	24	2.26	0.02	4.00	5.95	4.70	0.29	6.60	7.20	1220	17.24	0.97	54.15	C251	
Point	0	PTT Evi	22	1.09	0.02	3.40	3.10	1.16	0.47	4.60	7.20	700	14.23	0.51	33.95	C251	
Point	0	Teknik Lise	21	1.39	0.02	3.18	3.70	1.35	0.25	5.40	7.40	710	16.76	0.75	21.60	C251	
Point	0	Hacı Mursu	20	1.02	0.05	3.02	4.00	2.25	0.40	6.40	7.40	650	12.26	0.98	43.10	C251	
Point	0	Yıldız Teleföy	8	0.55	0.03	2.10	1.74	0.20	0.22	3.20	7.30	370	12.41	0.40	19.60	C251	
Point	0	Yemeş Zekâ	8	0.67	0.04	2.96	1.90	0.40	0.59	3.70	7.30	460	15.34	0.55	23.90	C251	
Point	0	Ast Mezraâ	8	1.22	0.03	2.65	2.75	0.95	0.56	4.10	7.60	600	17.75	0.73	28.10	C251	
Point	0	Yenidögen Mah.	24	1.74	0.05	4.24	5.74	3.05	0.40	6.40	7.30	910	14.70	0.78	43.90	C251	
Point	0	Levent Mah.	17	1.91	0.07	3.82	6.27	4.60	0.25	5.95	7.20	1000	15.03	0.05	50.45	C251	
Point	0	TemSA	17	1.74	0.01	3.50	4.67	2.00	0.26	5.80	7.60	980	17.54	0.65	40.65	C251	
Point	0	C.U. Safları	19	0.59	0.06	3.05	4.34	3.21	0.38	5.19	7.02	520	11.35	0.49	41.00	C251	
Point	0	Sadıkgazi	1	0	2.24	0.11	1.10	2.30	2.90	0.44	2.40	7.35	564	40.97	1.72	17.00	C251
Point	0	Şehitlik Eczası	0	0.65	0.04	3.70	9.50	0.65	1.15	10.00	7.65	1400	6.32	0.33	65.00	C251	
Point	0	Diğerler Sekizi	0	0.45	0.16	2.00	2.20	0.88	0.41	3.46	7.60	460	11.50	0.31	21.00	C251	
Point	0	Hükümet Konagi	0	0.21	0.00	3.60	0.40	0.90	0.40	3.42	7.70	477	6.76	0.15	20.00	C251	

Şekil 4.189. Yeraltı suyu kimyasal analiz değerlerini gösteren veri bankası.



Şekil 4.190. "Yapılan Sondajlar" tabakası içinde yer alan bir lokasyona ait bilgileri gösteren açılmış veri penceresi görünümü.

Veri bankaları içinde yer alan parametreler her veri noktası için elde edilememiş olabilmektedir. Örneğin 55 kimyasal analiz verisi lokasyonundan 44 tanesi tam anlamıyla kimyasal analiz bilgileri içerirken kalan 11 lokasyona ait bilgiler sadece pH ve EC değerleri ile sınırlı olmaktadır. Bu tür durumlarda veri bankası içinde olmayan ancak olması istenen parametrelere ait tüm değerler bilgisayar tarafından otomatik olarak sıfır (0) olarak görüntülenmektedir.

4.10 Mühendislik Jeolojisi Haritalarının Oluşturulması ve Jeoteknik Koşulların Belirlenmesi

Mühendislik Jeolojisi haritaları bir bölgedeki kaya ve zeminlerin litolojik, mühendislik ve hidrojeolojik özelliklerini gösterirler. Bu temel özellikler yanında detaylı mühendislik jeolojisi haritaları ile yamaç eğimleri, erozyon, donma ve çözülme, çökme, volkanik aktivite, yeraltı suyu akış yönleri ve seviyeleri, suların pH özellikleri, sülfat içerikleri tuzlulukları, aşındırma ve köpürme özellikleri, sel alanları, kayaların kazılabilme nitelikleri, zeminlerin şışme ve büzülme özellikleri gibi çok çeşitli özellikler ortaya konulup harita halinde sunulabilmektedir. Ancak detaylı mühendislik jeolojisi çalışmalarında çok sayıda özelliği bünyesinde bulunduran bir mühendislik jeolojisi haritası yapmak karışıklıklara neden olacağından detayların ayrı ayrı ele alınarak haritalanması yoluna gidilmektedir.

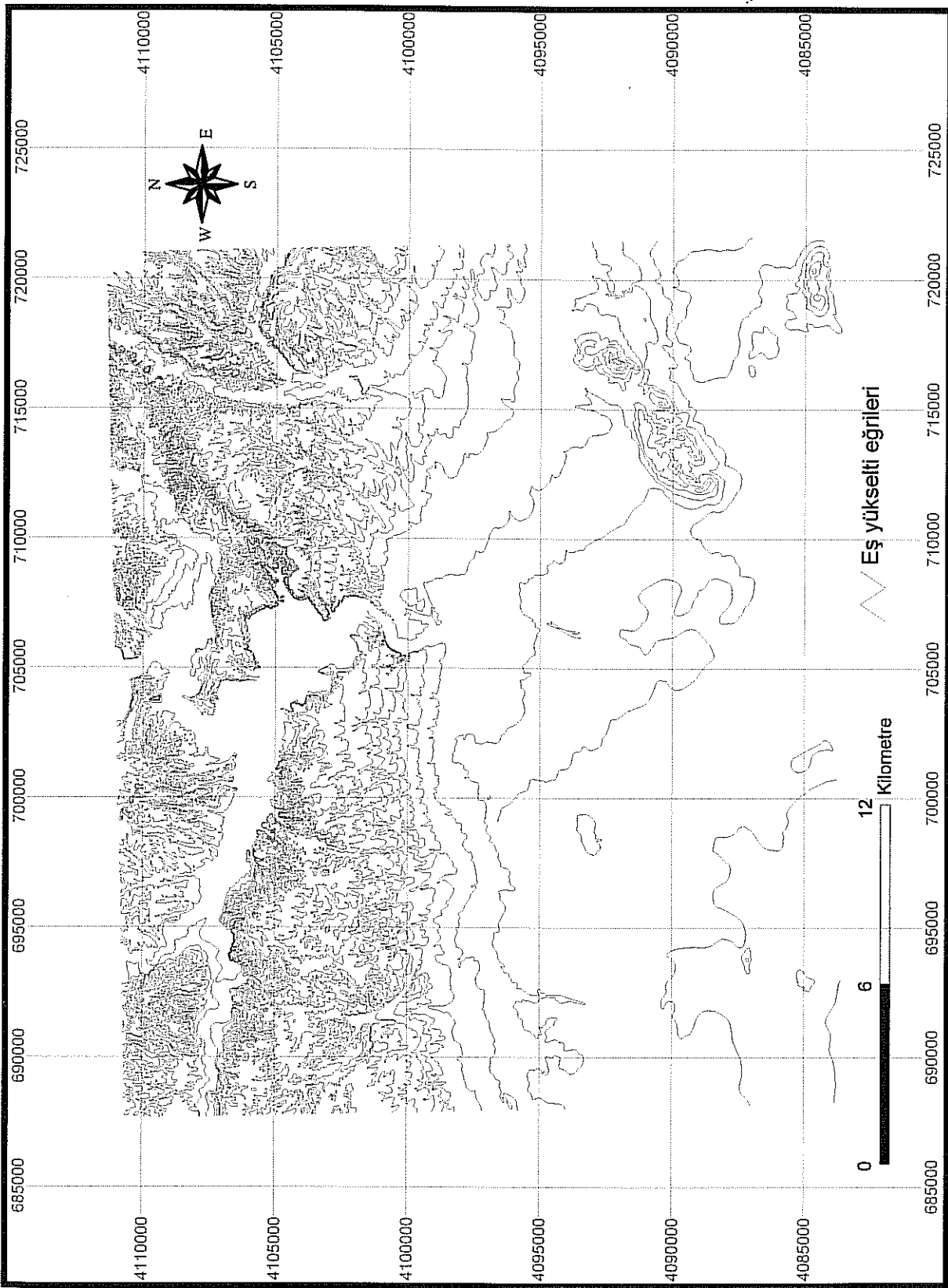
Bu bölümde yapılan çalışmalarda ortaya konulan mühendislik jeolojisi haritaları da detaylı mühendislik jeolojisi çalışmalarından elde edilen veriler ile ortaya konulmuştur. Coğrafi bilgi sistemi veri tabanında 111 adet araştırma çukuru, 129 adet zemin sondajı, 17 adet jeofizik sismik ölçüm verisi, 16 adet rezistivite ölçüm verisi, 96 adet yer altı su seviye ölçüm noktası ve 44 adet yer altı suyu kimyasal analiz verisi bulunmaktadır. CBS kapsamında oluşturulmuş veri tabanlarında yer alan sayısal mühendislik parametreleri kullanılarak elde edilmiş haritalar aşağıda alt bölümler halinde ele alınarak irdelenmiştir.

4.10.1. Sayısallaştırılmış Topografik Kontur Haritası

Çalışılan alan içerisinde elde edilmiş tüm verilerin uzaydaki gerçek konumlarında görülebilmeleri amacıyla topografik haritaların sayısallaştırılması işlemi gerçekleştirilmiştir. Bu amaçla 1/25.000 ölçekli 6 pafta (N34c4, N34c3, O34a2, O34b1, O34b2, N34d3) Arcview 3.3 programı kullanılarak sayısal hale getirilmiştir. Çalışmanın ilk aşamasında eş yükselti eğrileri, ardından dere yatakları ve en son olarak da yerleşim alanları farklı katmanlar oluşturacak şekilde sayısallaştırılmışlardır. Oluşturulmuş sayısal topografik harita Şekil 4.191'de görülmektedir.

4.10.2. Eş-Topografik Kontur Haritası

Sayısallaştırılan topografik eğrilerin, yükseklik değerlerinin de girilmesiyle çalışılan alan ve çevresi için eş topografik yükseklikleri gösteren bir kontur haritası yapılmıştır (Şekil 4.192).



Sekil 4.191. İnceleme alanı için sayısal koordinatlarda oluşturulan topografik harita.

Oluşturulan harita için eş yükselti değerlerinin 5 – 270 m arasında değiştiği görülmektedir. Üzerinde eski yapılaşmanın ve tarım alanlarının da bulunduğu ova kesiminde yükseklikler 5 – 30 m değerleri arasında yer almaktadır. Yeni kentsel gelişimin devam etmekte olduğu kuzeyde ise 200 m ve üzerinde yapılaşmalar bulunmaktadır.

4.10.3. Sayısal Yükseklik Modeli (DEM)

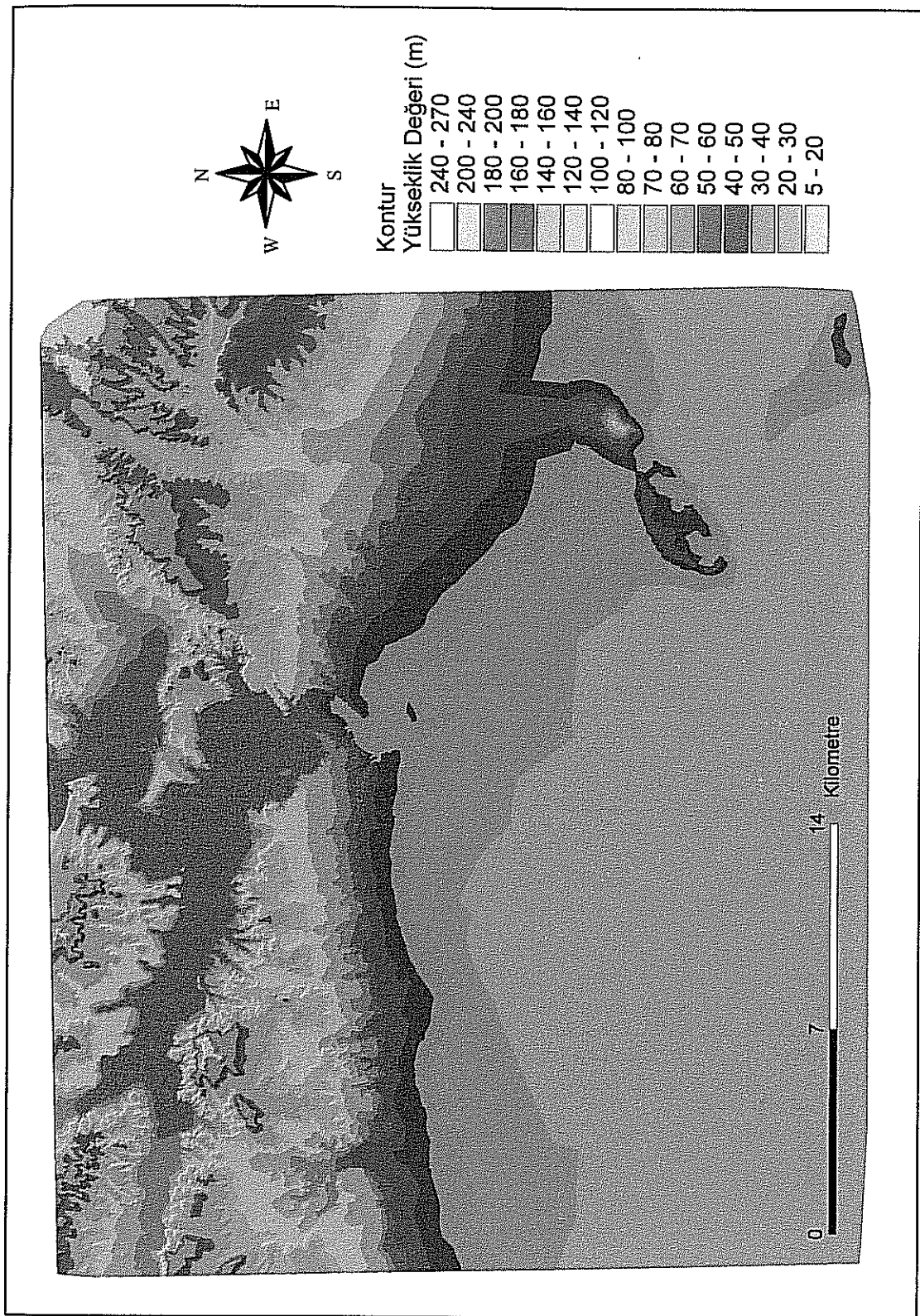
Landsat 7 TM uydı görüntüsünün 4, 3 ve 2. bantları kullanılarak oluşturulmuş zenginleştirilmiş görüntünün daha önceden oluşturulmuş eş yükselti haritası üzerine yerleştirilmesiyle çalışma alanına ait üç boyutlu bir görüntü elde edilmiştir (Şekil 4.193). Çeşitli yönlerden ve yüksekliklerden bakışın sağlanabildiği, alan içerisinde havadan bir gezintinin yapılabildiği ve arazi bakış açısının istenen ölçüde değiştirilebilediği bu görüntü ile arazi çalışmaları sırasında ve sonrasında inceleme alanı hakkında ön bilgilerin sağlanması mümkün olmuştur. Özellikle arazinin fizyografik yapısı ve jeomorfolojik oluşuklar elde edilen bu görüntü ile rahat bir şekilde ve aynı anda görülebilmektedir.

4.10.4. Sayısallaştırılmış Yol Haritası

Çalışma alanı bir yerleşim yeri olduğundan yolların sayısal ortam içerisinde yer alması ayrı bir önem kazanmaktadır. Bu çalışma ile öncelikle inceleme alanını doğudan batıya kat eden TAG otoyolu, E-5 karayolu ve Demiryolu sayısallaştırılmış, ardından kent içi büyük bulvarlar ve anayollar ile diğer caddeler ve ara yollar sayısallaştırılmıştır (Şekil 4.194). Sayısallaştırılan farklı özellikteki yol grupları harita üzerinde farklı simgeler kullanılarak belirlendirilmiştir. Sayısallaştırılmış yol haritası, incelenen lokasyonların yerlerinin daha kolay bulunması ve aynı şekilde veri değerlendirmelerinde kolaylıkların sağlanması amacıyla yapılmıştır. Kent içi büyük yollar sayısallaştırılırken yollara ait bir veri tabanı da oluşturulmuş ve bu şekilde yolun ya da bulvarın adının görüntülenmesi imkanı sağlanmıştır.

4.10.5. Dokümantasyon Haritası

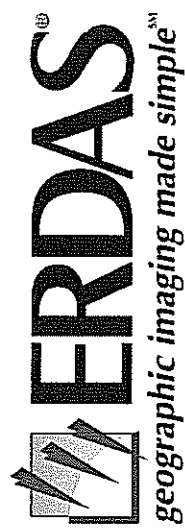
Mühendislik Jeolojisi haritalarının hazırlanmasında kullanılan verilerin çalışma alanı içerisindeki yerlerini ve türlerini göstermek amacıyla oluşturulmuşlardır. Çalışma kapsamında ele alınan veriler;

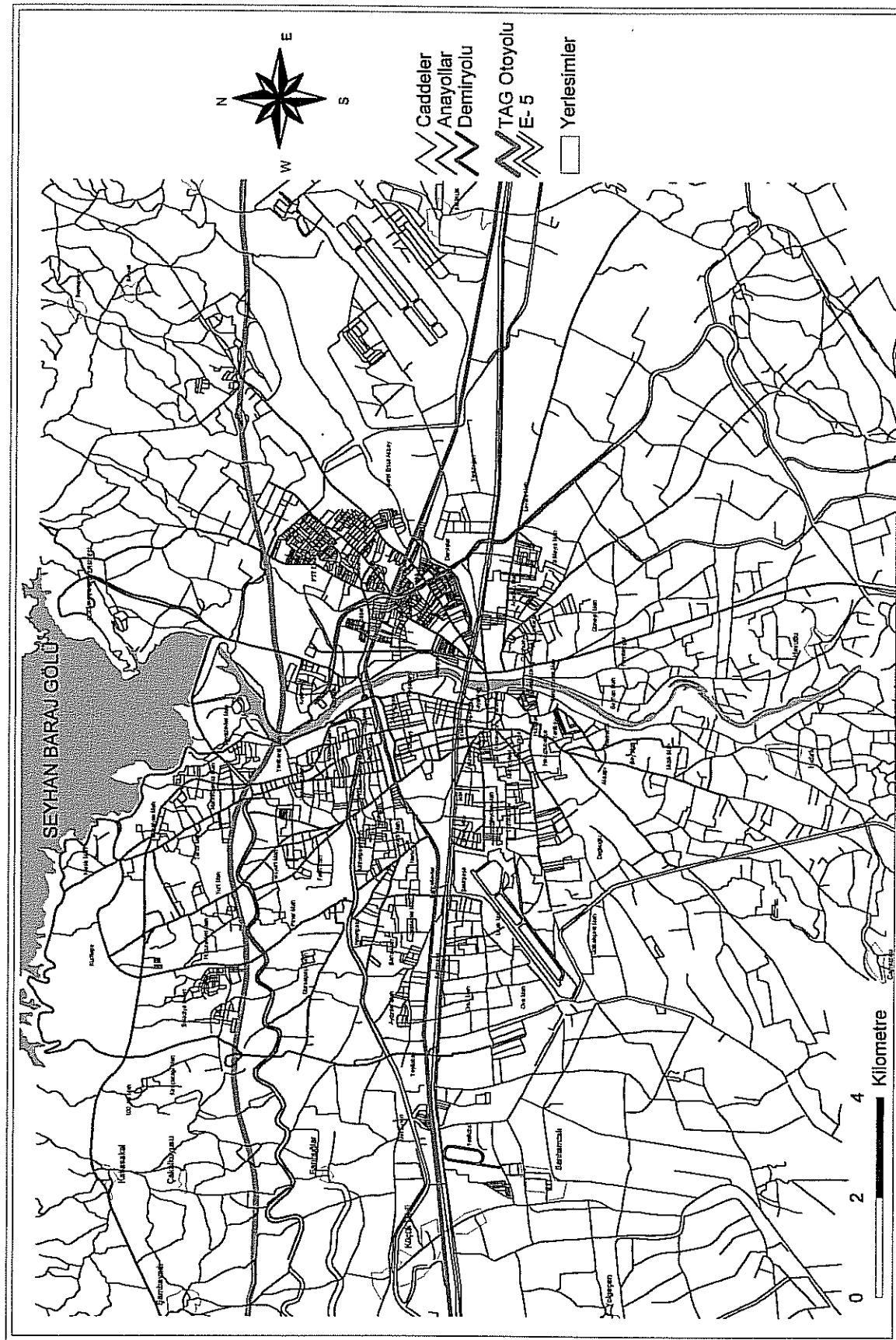


Sekil 4.192. İnceleme alannı ait eş-topografik kontur hanıtası.



Sekil 4.193. İnceleme alanına ait oluşturulan yükseltlik modeli.





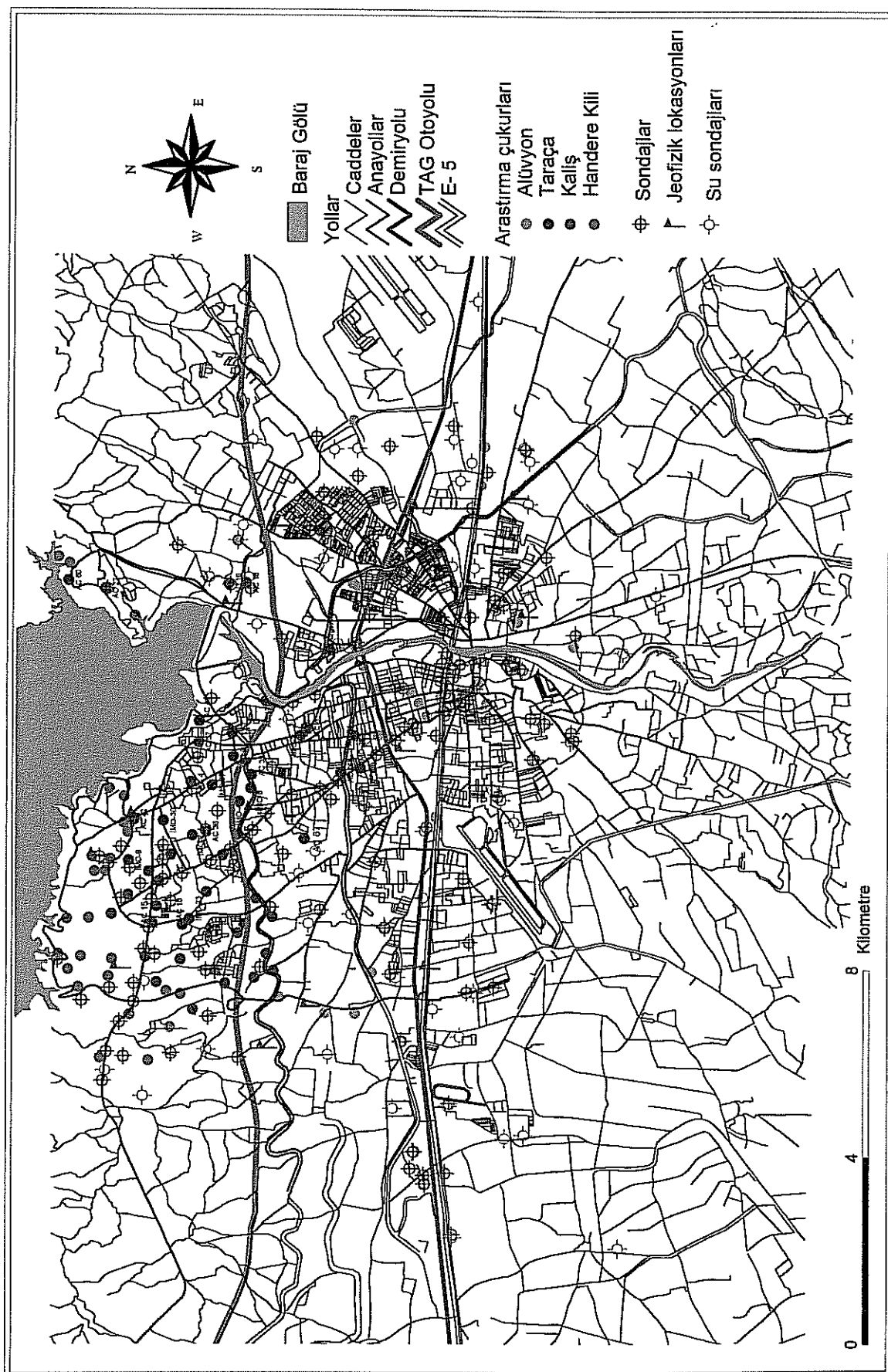
Şekil 4.194. İnceleme alamna ait sayısallaştırılmış yol haritası.

- a- Sondaj verileri (veri grupları ile birlikte bu çalışma kapsamında yapılmış sondajların da olduğu tüm sondajlı zemin etüdü bilgileri)
 - b- Araştırma çukuru verileri
 - c- Su sondaj kuyusu verileri
 - d- Jeofizik etüt (sismik ve rezistivite olarak) verileri
- olmak üzere 4 grup altında incelenmiştir.

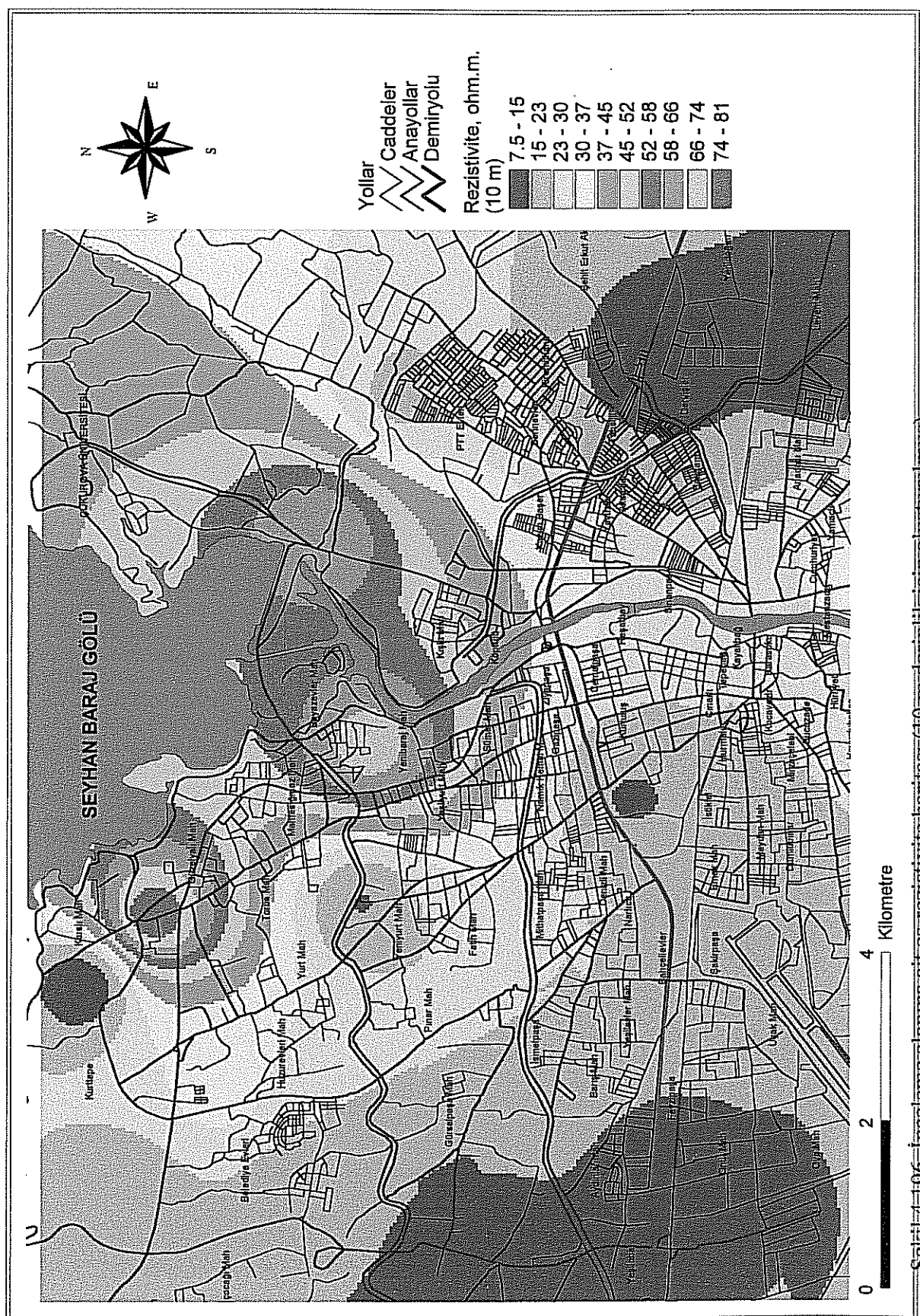
Bu çalışma kapsamında ele alınan verilere ait lokasyonların inceleme alanı içerisindeki konumları Şekil 4.195'deki dokümantasyon haritasında ortaya konulmuştur.

4.10.6. Eş Rezistivite Haritaları

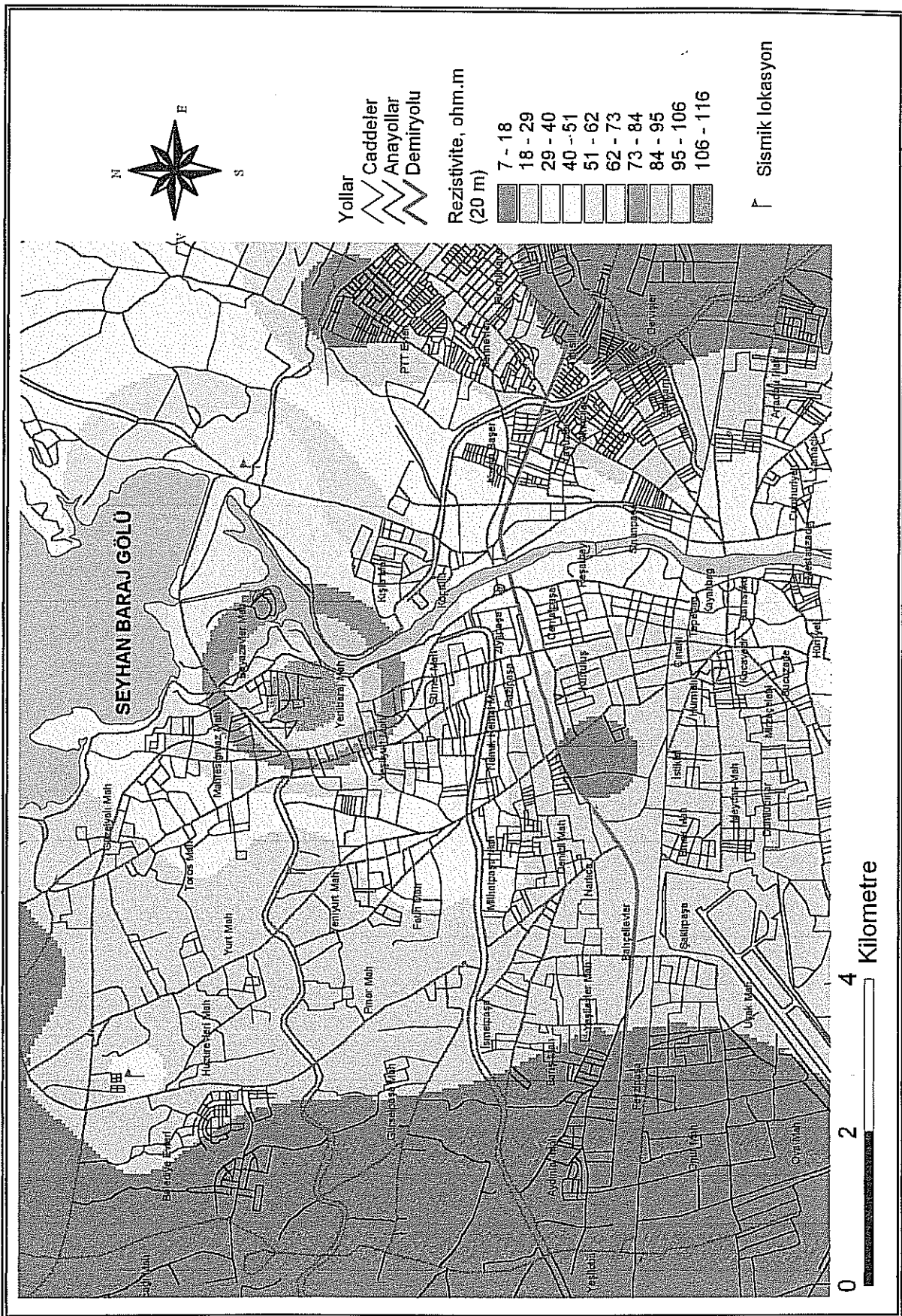
Bu harita, bu çalışma kapsamında yapılan rezistivite (düşey elektrik sondajı) ölçümü değerlendirmelerinden yola çıkılarak hazırlanmıştır. Elde edilen değerlerin ilk elden sağlanması, ölçümlerde aynı ölçüm cihazının kullanılması ve aynı mevsimsel iklim koşullarında yapılmış olması değerlendirmelerin sadece adı geçen veri grubu için yapılmasını gerektirmiştir. Bilindiği gibi rezistivite yönteminde yerin elektriksel özdirenç değerinin ölçülmesi esastır ve bu değer zeminin türüne, poroziteye, ayırtaklığa, yer altı su seviyesine bağlıdır. Yapılan rezistivite çalışmaları ile 1, 2, 3, 4, 6, 8, 10, 13, 16, 20, 25 ve 30 metreye kadar seviyeler halinde yer içinden ölçüm değerleri alınmıştır. Oluşturulmuş rezistivite haritaları yerin 10 m, 20 m ve 30 m altı için olmak üzere ayrı ayrı yapılmıştır. Oluşturulmuş eş rezistivite haritaları Şekil 4.196, Şekil 4.197 ve Şekil 4.198'de verilmiştir. Her üç haritanın incelenmesi taraça üzerinde yer alan Beyazevler, Güzelyalı ve Mahfesığmaz mahallelerinin yüksek özdirenç değerlerine sahip birimler (taraça çökelleri) üzerinde kurulu olduğunu göstermektedir. Levent, Dervişler, Yenidoğan, 19 Mayıs, Kireçcocağı, Belediyeevleri mahalleleri ise 30 m derinlik için düşük rezistivite değerlerine sahip yerleşim yerlerini oluşturmaktadırlar.



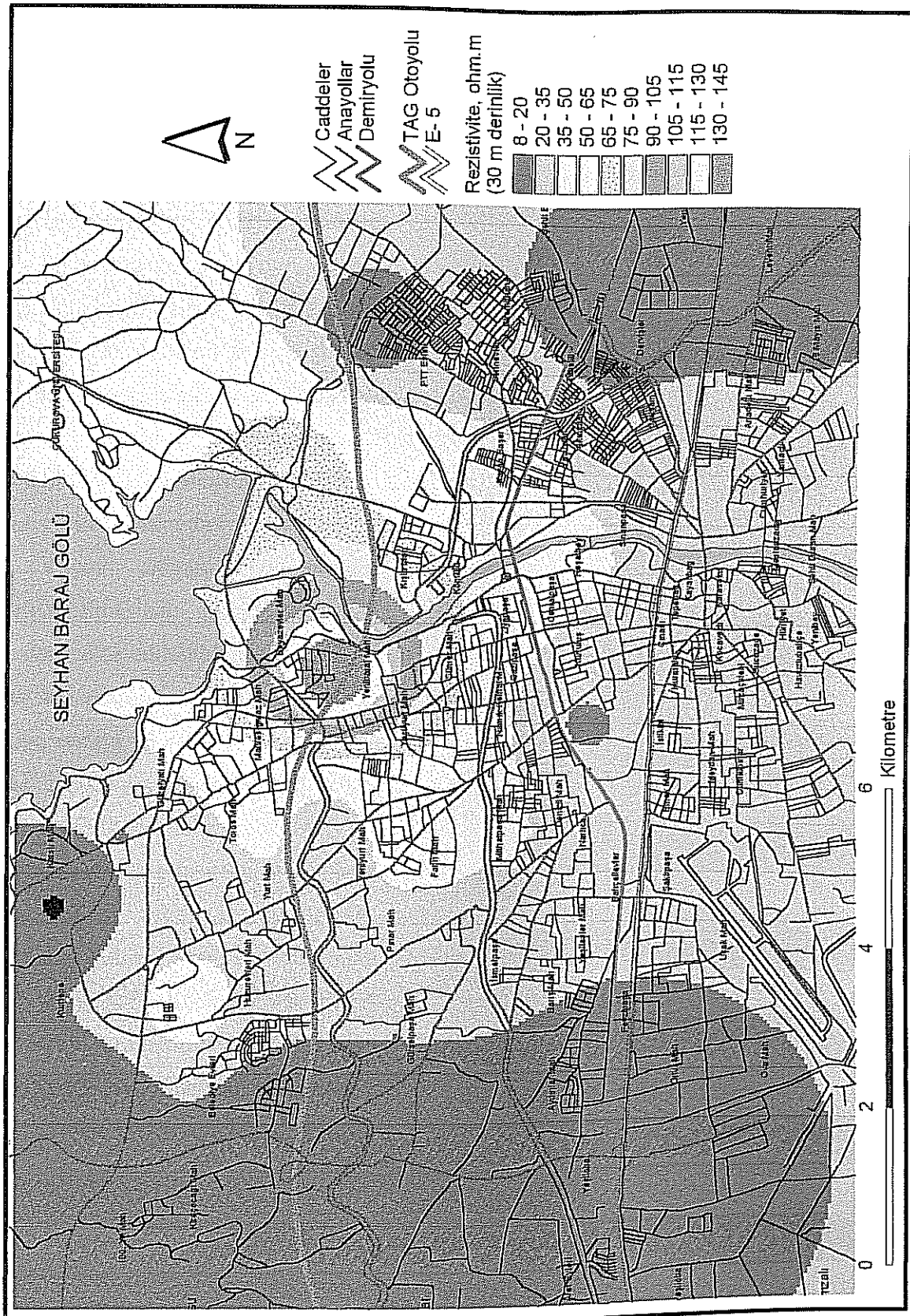
Şekil 4.195. İnceleme alanına ait veri gruplarını içeren dokümantasyon haritası.



Şekil 4-196. İnceleme alamına ait eş-resistivite haritası (10 m derinlik için oluşturulmuş);



Şekil 4.197. İnceleme alanına ait eş rezistivite haritası (20 m derinlik için oluşturulmuş).



Şekil 4.198. İnceleme alanına ait eş rezistivite haritası (30 m derinlik için oluşturulmuş).

4.10.7. Eş Kayma Dalgası Hızı Haritası

Zemin tabakalarının kayma dalgası hızı (V_s), dinamik davranış özelliklerinin belirlenmesinde önemli bir parametre olmaktadır. Zeminin dinamik davranış özelliklerinin belirlenmesinde, zemin periyodu ve zemin hakim periyodunun bulunmasında, sivilaşma potansiyellerinin incelenmesinde ve mikro-bölgeleme çalışmalarında genel olarak kayma dalgası hızı parametresi kullanılmaktadır.

Uygulamalarda kayma dalgası hızlarına göre yapılmış bir çok sınıflama bulunmaktadır. Bu konudaki esas problem, kayma dalgası hızının belirlenmesi yönteminde olmaktadır. Mikrotremor türü çalışmaların özel ekipman gerektirmesi, sismik yöntemlerin ise arazi çalışmalarında uygun uzunlukta alanlara ihtiyaç duyması gibi nedenlerle kayma dalgası hızları doğrudan arazi deneyleri ile belirlenemeyebilmektedir. Bu tür durumlarda, SPT ve CPT gibi arazi penetrasyon deneyleri kullanılarak kayma dalgası hızlarının tahmin edilmesi yoluna gidilebilmektedir.

Kayma dalgası hızı haritaları bir bölgenin sismik jeoteknik koşullarının değerlendirilmesinde sıkılıkla kullanılan haritalardır. Bu parametre, doğrudan jeofizik ölçümelerle elde edilebildiği gibi empirik olarak ortaya konmuş ve SPT darbe sayılarına bağlı olarak hesaplanan empirik bağıntılarla da bulunabilmektedir. Bu çalışmada veri sayısının çokluğu nedeni ile sondajlı etüt çalışmalarından elde edilen SPT darbe sayıları kullanılarak belirlenmiş kayma dalgası hızları kullanılmıştır.

Jeofizik sismik arazi deneylerinin yapılamadığı ya da bu tez çalışmasında olduğu gibi kısıtlı miktarda yapılabildiği durumlarda, özellikle SPT gibi diğer başka arazi deneylerinin olması halinde zemin kayma dalgası hızlarının belirlenmesi literatürde mevcut çeşitli bağıntıların kullanılması ile hesaplanabilmektedir. Bu amaçla çeşitli araştırmacılar tarafından sismik deney sonuçları kullanılarak kayma dalgası hızı ile başta SPT-N darbe sayıları olmak üzere farklı parametrelerle ilişkiler değerlendirilip empirik bağıntılar geliştirilmiştir. Çizelge 4.147, farklı araştırmacılar tarafından kayma dalgası hızının belirlenmesi amacıyla ortaya konmuş bağıntılar bir arada sunulmuştur.

Çizelge 4.147. Kayma dalgası hızları için önerilen empirik bağıntılar.

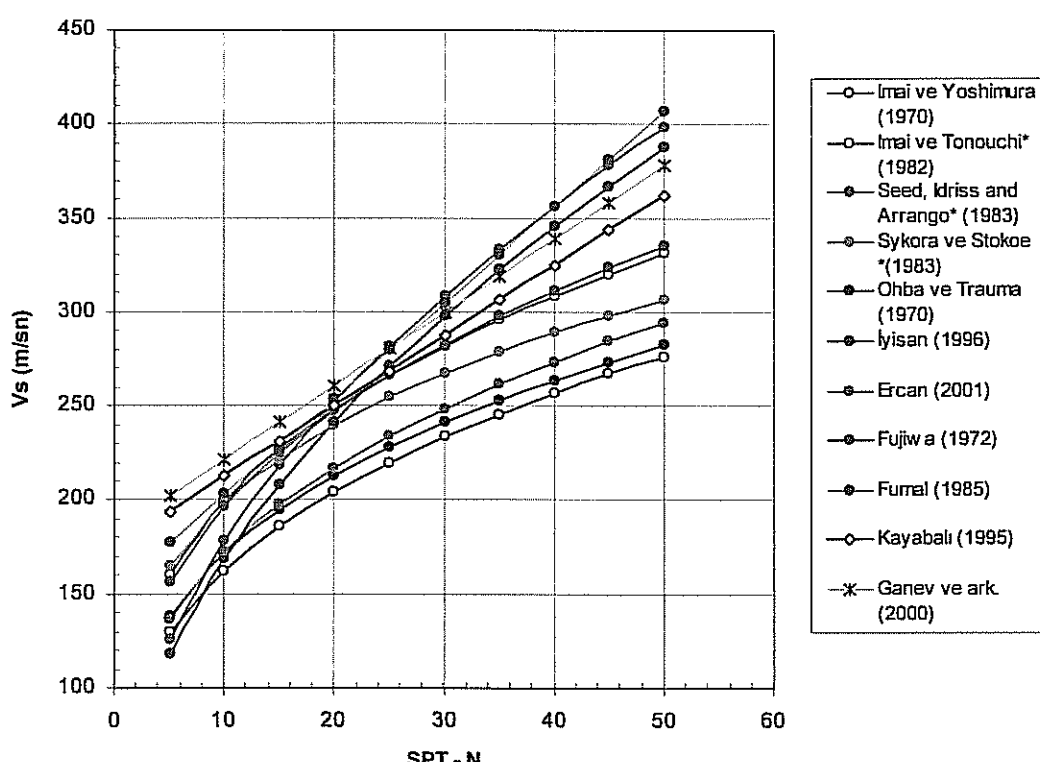
No	Araştırmacı	Veri Türü	Zemin Tipi	V_S (m/sn)
1	Imai ve Yoshimura (1970)	-	-	$V_S = 76 * N^{0.33}$
2	Imai ve Tonouchi (1982)	Japonya'da 1654 veri grubu	Tüm zeminler	$V_S = 96.9 * N^{0.314}$
3	Seed, Idriss ve Arrango* (1983)	bilinmiyor	Kumlar	$V_S = 56.4 * N^{0.5}$
4	Sykora and Stokoe *(1983)	229 adet çapraz kuyu verisi	Çakıllar	$V_S = 106.7 * N^{0.27}$
5	Liquefac*	bilinmiyor	Tüm zeminler	$V_S = 243.8 * \sigma^{0.4}$
6	Liquefac*	bilinmiyor	Tüm zeminler	$V_S = 152.4 * \sigma^{0.3}$
7	Ohba ve Trauma (1970)	Rayleigh dalgası hızı	Alüvyon zeminler	$V_S = 84 * N^{0.31}$
8	Ohta ve Goto (1978)**	300 adet SPT ve V_S verisi	Tüm zeminler	$V_S = 69 * N^{0.17} * D^{0.2} * E * F$
9	İyisan (1996)	65 adet sismik ve SPT verisi	Tüm zeminler	$V_S = 51.5 * N^{0.516}$
10	İyisan (1996)	65 adet sismik ve SPT verisi	Tüm zeminler	$V_S = 115.8 * \sigma_v^{0.367}$
11	İyisan (1996)	18 adet sismik ve SPT verisi	Kil zeminler (σ_v , t/m ²)	$V_S = 47.3 * N^{0.324} * \sigma_v^{0.270}$
12	Imai ve Yoshimura (1976)	Sismik ve lab. verileri	Kil zeminler (σ_v , t/m ²)	$V_S = 138.3 * q_u^{0.417}$
13	Ercan (2001)	Sismik ve SPT verileri	$15 < N_{30} \leq 25$ olan killi zeminler	$V_S = 100 * N^{0.333}$
14	Ercan (2001)	Sismik ve SPT verileri	$15 < N_{30} \leq 50$ olan kumu zeminler	$V_S = 80 * N^{0.333}$
15	Fujiwa (1972)*	Sismik ve SPT verileri	-	$V_S = 92.1 * N^{0.33}$
16	Imai ve Yoshimura (1982)*	Sismik ve SPT verileri	Kumlu zeminler	$V_S = 325 * N^{0.68}$ (kips/ft ²)
17	Fumal (1985)	Sismik ve SPT verileri	-	$V_s = 152 + 5.1 * N$
18	Kayabahı (1995)	Sismik ve SPT verileri	-	$V_s = 175 + 3.75 N_{60}$
19	Ganev ve diğ. (2000)	Sismik ve SPT verileri	-	$V_s = 182.9 + 3.9 * N$
20	Imai ve Tonouchi (1982)	Sismik ve SPT verileri	SM ve SP türü	$V_S = 87.8 * N^{0.292}$
21	Andrus ve Stokoe (2000)	Sismik ve SPT verileri	Holosen yaşı kumlu zeminler $D = \text{derinlik (m)}$	$V_S = 66.7 * N^{0.248} * D^{0.138}$ ince tane < % 10 $V_S = 72.3 * N^{0.228} * D^{0.152}$ ince tane % 10 – 35 $V_S = 72.9 * N^{0.224} * D^{0.130}$ ince tane % 0 – 40

* Wei ve diğ. (1996) kaynağından alınmıştır.

8 sıra numaralı bağıntıda yer alan D, E ve F katsayılarının çökellerin yaşına ve tane boyuna bağlı olarak alınan sayılar olup şu sayısal değerleri içerirler;

	<i>Pleyistosen</i>	<i>Holosen</i>
E	1.3	1.0
F	1.07 (orta kum) 1.14 (kaba kum)	1.0 (kil) 1.09 (ince kum)
F	1.15 (kum – çakıl); 1.45 (çakıl)	

Diğer tüm bağıntılarda D, metre cinsinden derinlik değerini ve N, 30 cm ilerleme için elde edilmiş SPT darbe sayısını ifade etmektedir. Literatürler incelemeleri ile bir araya getirilmiş olan bu empirik bağıntıların bir arada yorumlanabilmesi ve bu çalışma için uygun bağıntının seçilebilmesi amacıyla bağıntılar Şekil 4.199'da gösterildiği gibi grafiksel hale getirilmişlerdir.



Şekil 4.199. Çeşitli araştırmacılar tarafından önerilen bağıntılar kullanılarak oluşturulmuş SPT – V_s ilişkisi.

Şekil 4.199'da görülen ilişkiler incelediğinde 10 – 25 aralığındaki SPT-N değerlerinden sonraki değerler için kayma dalgası hızlarının değişim aralıklarının genişlediği dikkati çekmektedir (Çizelge 4.148).

Çizelge 4.148. İncelenen ampirik bağıntılarla hesaplanmış kayma dalgası hızı değer aralıkları ve darbe sayılarına göre değer aralıkları.

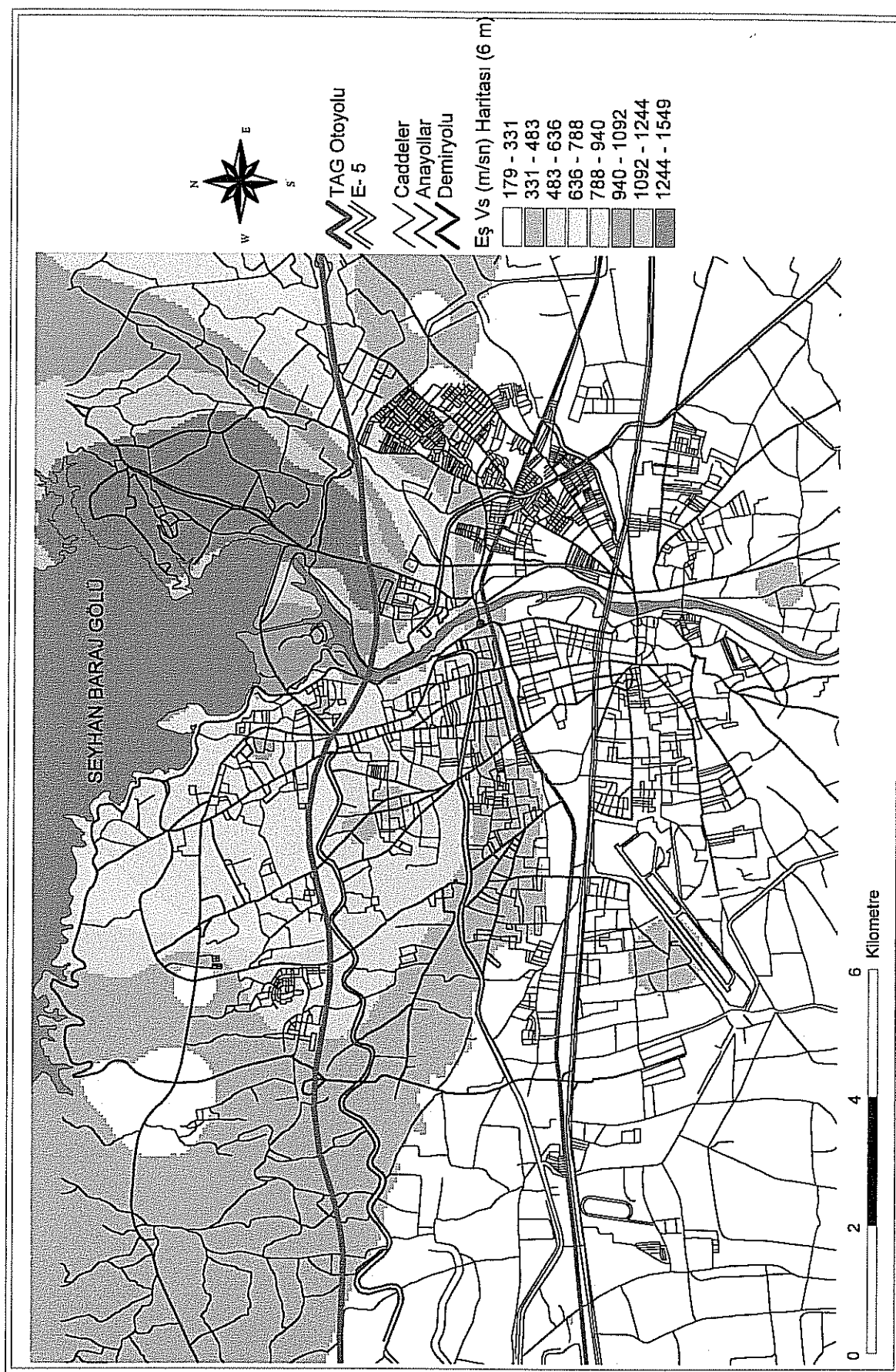
SPT-N	Hesaplanan V_s değer aralığı	Değer aralığı farkı	SPT-N	Hesaplanan V_s değer aralığı	Değer aralığı farkı
5	118 – 202	84	30	234 - 309	75
10	162 – 222	60	35	246 - 334	88
15	186 – 241	55	40	257 - 356	99
20	204 - 261	57	45	267 - 382	115
25	220 - 280	60	50	276 - 407	131

İncelenen ampirik bağıntılardan elde edilen ortalama bir değer sunduğu için bu çalışmada Imai ve Tonouchi (1982) bağıntısı kullanılmıştır. Bu bağıntı kullanılarak her SPT darbe sayısı verisine ait seviye için kayma dalgası hızları belirlenmiş ve CBS veri bankasında depolanmıştır. Sonuçta Şekil 4.200'de görülen eş kayma dalgası hızı haritası ortaya konulmuştur. Bu harita 6 m derinlik için elde edilmiş SPT darbe sayılarından yola çıkılarak bulunmuş kayma dalgası hızlarına göre oluşturulmuştur. Haritadan alüvyon birimlerinin 179 – 331 m/sn değerleri arasında değişen en düşük kayma dalgası hızlarını verdikleri, tersine Seyhan Baraj Gölü doğu kıyısında yer alan taraça birimlerinin 1244 ile 1549 m/sn arasında değişen en yüksek kayma dalgası hızlarını verdiği görülmektedir.

Kayma dalgası hızına bağlı olarak yapılmış zemin sınıfları tanımlamalarının bir kısmı kayma dalgası hızının ≥ 700 m/sn olan tabakanın sismik ana kayanın başlangıcı olduğunu bildirmektedir (İyisan ve ark., 2002). Aynı kaynak ülkemizde yürürlükte olan yeni deprem yönetmeliğinde zemin grubu tanımlamasında kayma dalgası hızının > 1000 m/sn olması durumunda birimin sağlam kayaç olarak tanımlandığını belirtmiştir.

4.10.8. Eş SPT-N Haritası

Arazi deneylerinden en iyi bilineni ve dünya çapında yaygın kullanıma sahip olanı SPT'dir. Bu deneyden elde edilen darbe sayılarının doğrudan değerlendirilmesinde kullanılan bir çok abak, çizelge ve grafik bulunmaktadır. Bu çalışmada da hem çalışma kapsamında yapılan ve hem de sondajlı etüt verilerinden elde edilen SPT darbe sayılarına göre bir değerlendirmeye gidilmiştir.



Sekil 4.200. İnceleme alamna ait eş kayma hızı haritası (6 m derinlik için oluşturulmuş).

Daha önce de belirtildiği gibi taraça ve kaliş birimleri klasik sondajlı zemin etütleri ile araştırılmaya uygun olmayan litolojik özellikler göstermektedirler. Bu anlamda bölgede bu birimlerde yapılan zemin sondajlarının çoğu refü değerleri vermiştir. Bu birimlerde ve refü değeri veren diğer birimler için SPT darbe sayıları veri bankasına 100 olarak girilmiştir. SPT darbe sayıları her 1.5 metre için olacak şekilde veri bankasına girilmiştir. Bu değerler maksimum 15 m derinliğe sahiptir. SPT darbe sayılarına ait değerler kullanılarak 3 m ve 7.5 m derinlikleri için eş SPT darbe sayısı haritası oluşturulmuştur. Şekil 4.201, 3 m derinlik için ve Şekil 4.202, 7.5 m derinlik için oluşturulmuş eş-SPT-N haritalarını göstermektedir. 7.5 m. darbe sayılarına göre oluşturulmuş haritada zonların, 3 m derinlik için yapılan haritaya göre daha fazla olduğu dikkati çekmektedir. Bu durum özellikle alüvyon çökellerinin kapladığı alan içinde yaygındır. Bunun nedeni, bu çalışmada yapılan sondajlarda da karşılaşıldığı gibi derinliğin artmasına bağlı olarak kalışmış karbonatlı seviyelerin düşey kesit içinde SPT darbe sayılarındaki ani artışlardır. Aynı durum zemin özelliği gösteren kaliş çökelleri için de geçerli olmaktadır.

4.10.9. Pik Zemin İvmesi Haritası

Deprem ivmesi azalım ilişkilerinin bölgesel jeolojik ve tektonik koşullardan etkilenmesi bu konuda farklı ülkelerin kendi bölgeleri için geçerli olacak azalım ilişkilerini üretmelerine neden olmuştur. Ülkemize has olarak detaylı araştırmalara bağlı olarak geliştirilmiş bir azalım ilişkisi bulunmamaktadır. Bu konuda henüz araştırmaların sürdürülüğü bilinmektedir. Ülkemiz için kaydedilmiş kuvvetli yer hareketi ivmelerinin kısıtlı sayıda olmaları azalım ilişkileri konusunda diğer ülkeler tarafından ortaya konan ilişkilerin kullanılmasını zorunlu hale getirmiştir. Günümüzde yapılan çalışmaların büyük çoğunluğunda özellikle kuzyebatı Amerika için geliştirilmiş azalım ilişkilerinin kullanıldığı görülmektedir. Ülkemiz için de kullanılmakta olan bu ilişkilerden en tanınmış olanı Joyner ve Boore, (1988) tarafından verilmektedir;

$$\log (a) = 0.43 + 0.23 (M - 6) - \log r - 0.0027 r \quad (4.68)$$

Bu bağntıda;

a = pik yatay zemin ivmesi (gal),

M = deprem magnitüdü

r = episantra olan uzaklık (km) değerleridir.

Ercan (2001), Joyner ve Boore (1981) tarafından en büyük ivme değerinin belirlenmesi amacıyla kullanılan bir diğer bağıntının şu şekilde olduğunu bildirmiştir;

$$\log(a) = -1.02 + 0.249M - \log r - 0.00255r + 0.26P \quad (4.69)$$

Bu bağıntıdaki P değeri % 84 güvenlik derecesi için 1 ve % 50 güvenlik derecesi için 0 olarak alınmaktadır. Bu bağıntıdaki r değeri için aşağıdaki eşitliğin kullanılması önerilmiştir;

$$r = (L^2 + 53.5)^{0.5}$$

Burada,

L = episantıra olan dik uzaklık değeridir (km).

Borcherdt ve diğ, (1995) pik zemin ivmesinin yüzey kırığından uzaklığa bağlı olarak hesaplanması sırasında kullanılan bir bağıntı önermiştir;

$$a = -0.556 - 1.495 * \log_{10} d + 1.816 \cdot \log 10 \sqrt{d^2 + 5.48^2} \quad (4.70)$$

Bu bağıntıda, d yüzey kırığından uzaklı (km) ifade etmektedir.

Neumann (1954) tarafından önerilmiş bir diğer azalım ilişkisi ise şu şekilde ifade edilmektedir;

$$\log(a) = 0.43 * I - 0.041 \quad (4.71)$$

Bu bağıntıda;

a = pik zemin ivmesi (gal),

I = sismik şiddet

Campbell (1988), Kaliforniya depremleri üzerindeki incelemelerine bağlı olarak bu bölge depremleri için aşağıdaki azalım ilişkisini ortaya koymuştur;

$$\ln(a) = -3.303 + 0.85M - 1.25 \ln(r + 0.0872 e^{0.678M}) + 0.0059r \quad (4.72)$$

Sadigh ve diğ, (1997), Campbell ile Joyner ve Boore gibi Kaliforniya depremleri üzerinde çalışarak azalım ilişkilerine bir başka bağıntıyı eklemiştir;

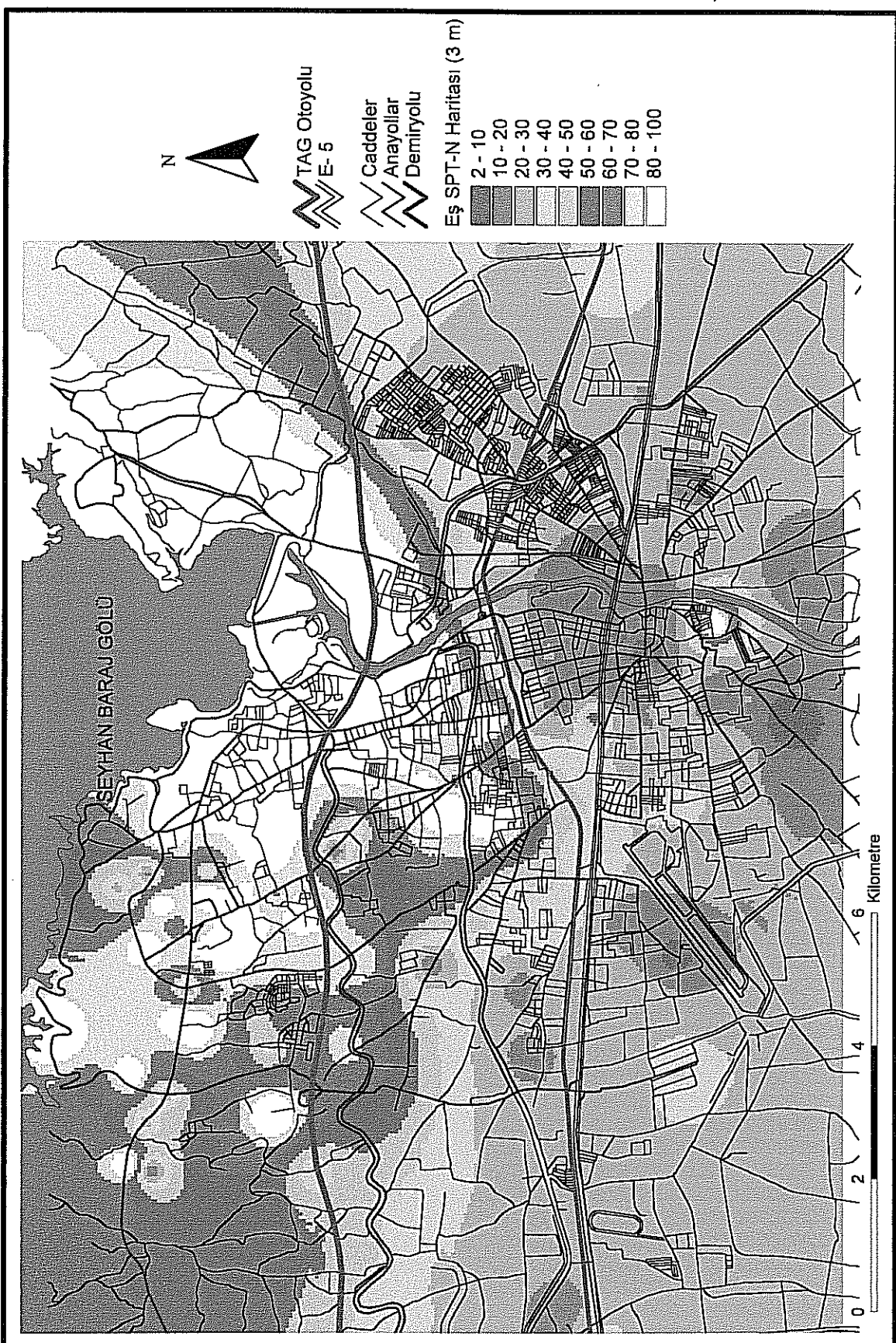
$$\ln(a) = C_1 + C_2M + C_3 \ln(r_{krik} + C_4 e^{C_5 M}) C_6 Z_T \quad (4.73)$$

Bu bağıntıda,

r_{krik} : yüzey kırığına en yakın mesafe (km)

Z_T : ters fay için 1, doğrultu atımlı fay için 0 olan bir sayı,

C_1		- 0.624		- 1.274
C_2		1.0		1.1
C_3	$M \leq 6.5$	0	$M > 6.5$	0
C_4	depremler	- 2.1	depremler	- 2.1
C_5		1.2965		- 0.4845
C_6		0.25		0.524



Şekil 4.201. İnceleme alanına ait eş SPT-N haritası (3 m derinlik için oluşturulmuş).



Sekil 4.202. İnceleme alanına ait eş SPT-N haritası (7.5 m derinlik için oluşturulmuş).

Erdik ve diğ, (1985), ülkemizdeki depremlere ait kuvvetli yer hareketi verilerinin Kaliforniya verilerine uyum sağladıklarını bildirerek bu bölge için geliştirilmiş deprem ivmesi azalımlı ilişkilerin kullanılabileceğini belirtmişlerdir.

Sabetta ve Pugliese (1987), İtalya depremleri üzerindeki araştırma sonuçlarını kullanarak bir diğer azalımlı ilişkisini literatüre kazandırmıştır;

$$\log(a) = -1.562 + 0.306 M - \log(r^2 + 33.6)^{0.5} \quad (4.74)$$

Fukushima ve Tanaka (1990), çalışmalarında Japonya'daki deprem kayıtlarına ait bilgileri kullanarak aşağıdaki azalımlı ilişkisini üretmiş ve tüm dünya depremleri için uygulanabileceğini belirtmişlerdir.

$$\log(a) = 0.41 M - \log(r + 0.032 * 10^{0.41 M}) - 0.0034r + 1.30 \quad (4.75)$$

Erdik ve Eren (1983), fay izine dik olarak alınacak en yakın uzaklık değerini (R , km) alarak aşağıdaki azalımlı ilişkisini ortaya koymuşlardır;

$$I = 0.34 + 1.54 M - 1.24 \ln R \quad (4.76)$$

Campbell (1981), büyülüüğü 5.5 – 7.0 arasında olan depremler için ve fay yırtılmasının 50 km mesafe içinde bulunduğu alanlarda pık ivmeyi hesaplamak için aşağıdaki bağıntıyı geliştirmiştir;

$$\ln(a) = -4.141 + 0.868 M - 1.09 \ln(r + 0.0606 e^{0.7 M}) \quad (4.77)$$

r : faya olan en kısa uzaklık (km)

Türkiye için son dönemde önerilmiş azalımlı ilişkileri Aydan ve diğ. (1996) ile İnan ve ark., (1996) tarafından ortaya konulmuş ve aşağıda verilmiştir;

$$a_{maks} = 2.8 (e^{0.9M} e^{-0.025R} - 1) \quad \text{Aydan ve diğ, (1996)} \quad (4.78)$$

$M = M_s$ (yüzey dalgası büyülüüğü) ve R = hiposantıra olan uzaklık, a_{maks} = maksimum zemin ivmesi değerleridir

$$\log a_{maks} = 0.65 M - 0.9 \log r - 0.44r \quad \text{İnan ve diğ, (1996)} \quad (4.79)$$

İnan ve diğ., (1996) bağıntısında, elde edilen kayıtlar arasında kaya ya da zemin ayrimına gidilmemiştir. Bu bağıntıdaki r değeri R değerinden farklı olarak episantıra olan uzaklığa ifade etmektedir. İnan ve diğ. (1996) tarafından önerilen bağıntı kullanılarak elde edilmiş zemin ivmesi değerleri farklı deprem büyüklükleri için Şekil 4.203'de sunulmuştur.

Aydan (2001) (Ulusal ve diğ, 2004'den), daha önce önermiş olduğu 1996 bağıntısında bazı düzenlemeler yaparak aşağıdaki bağıntının kullanılmasını önermiştir;

$$a_{maks} = 2.8 (e^{0.9M} - 1) * e^{-0.025R} \quad (4.80)$$

Yazar, yukarıdaki bağıntıyı zemin ortamlar için oluşturduğundan, daha katı zeminler ve kayalar için 2.8 katsayısının 0.56 değerine indirgenmesini önermiştir.

Bu bağıntıda,

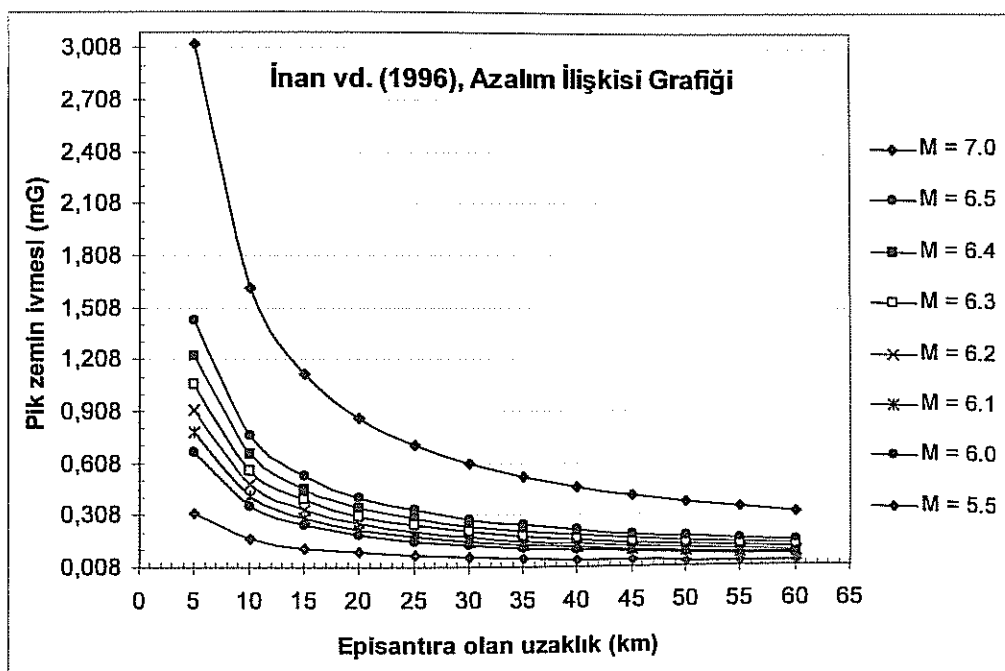
a_{maks} : pik zemin ivmesi,

M : deprem magnitüdü

R : deprem odak noktasına olan uzaklık.(km)

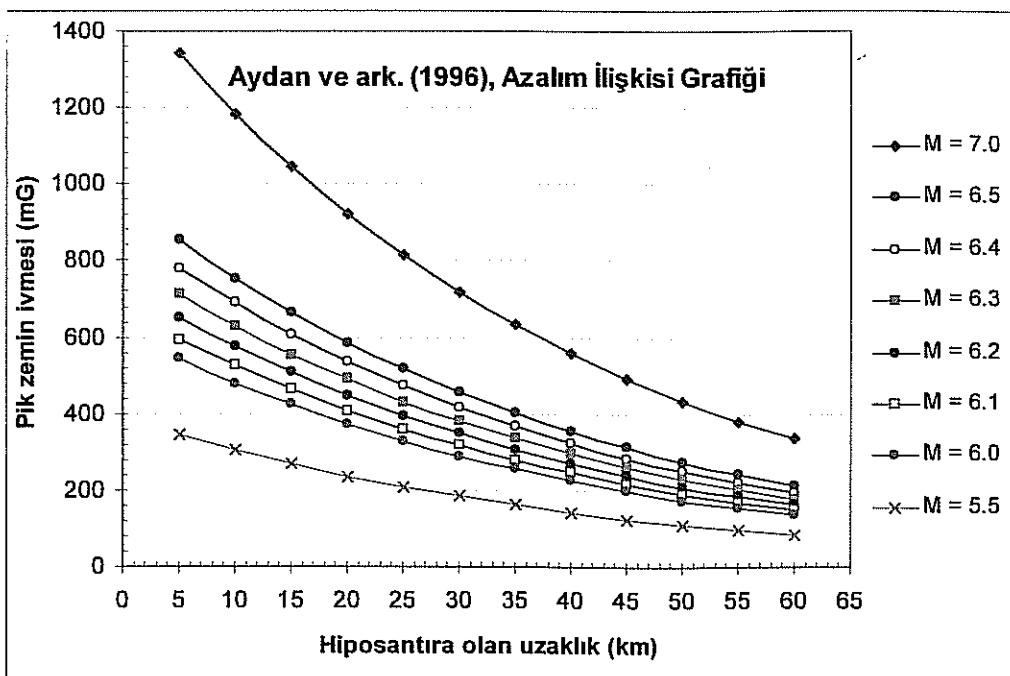
İnan ve dig., (1996) tarafından önerilen bağıntı kullanıldığında büyüklükleri 5.5 ile 7.0 arasında değişen depremler için pik zemin ivmesi (pga) değerleri Şekil 4.203'deki gibi değişim göstermektedir.

1998 Ceyhan depreminde Ceyhan ilçesine 32 km uzaklıkta bulunan ölçüm istasyonu K-G yönündeki ivme değerini 0.223 g, D-B yönündekini 0.273 g ve düşey yöndeğini 0.086 g olarak ölçmüştür. Ölçülen deprem ivme değerlerinin uzaklığa bağlı azalım ilişkileri incelendiğinde Aydan ve dig. (1996) tarafından ortaya konulan azalım ilişkisinin özellikle Çukurova bölgesi için de geçerli olacağı bildirilmiştir (Ulusay ve dig., 2000b).



Şekil 4.203. İnan ve ark., (1996) bağıntısı kullanılarak elde edilmiş zemin ivmesi azalım ilişkileri.

Bu yüzden Şekil 4.204'de Aydan ve dig., (1996) bağıntısı kullanılarak abak haline getirilen azalım ilişkisi bu çalışmada da benimsenmiştir.



Şekil 4.204. Aydan ve diğ, (1996) bağıntısı kullanılarak elde edilmiş deprem ivmesi azalım ilişkisi grafiği.

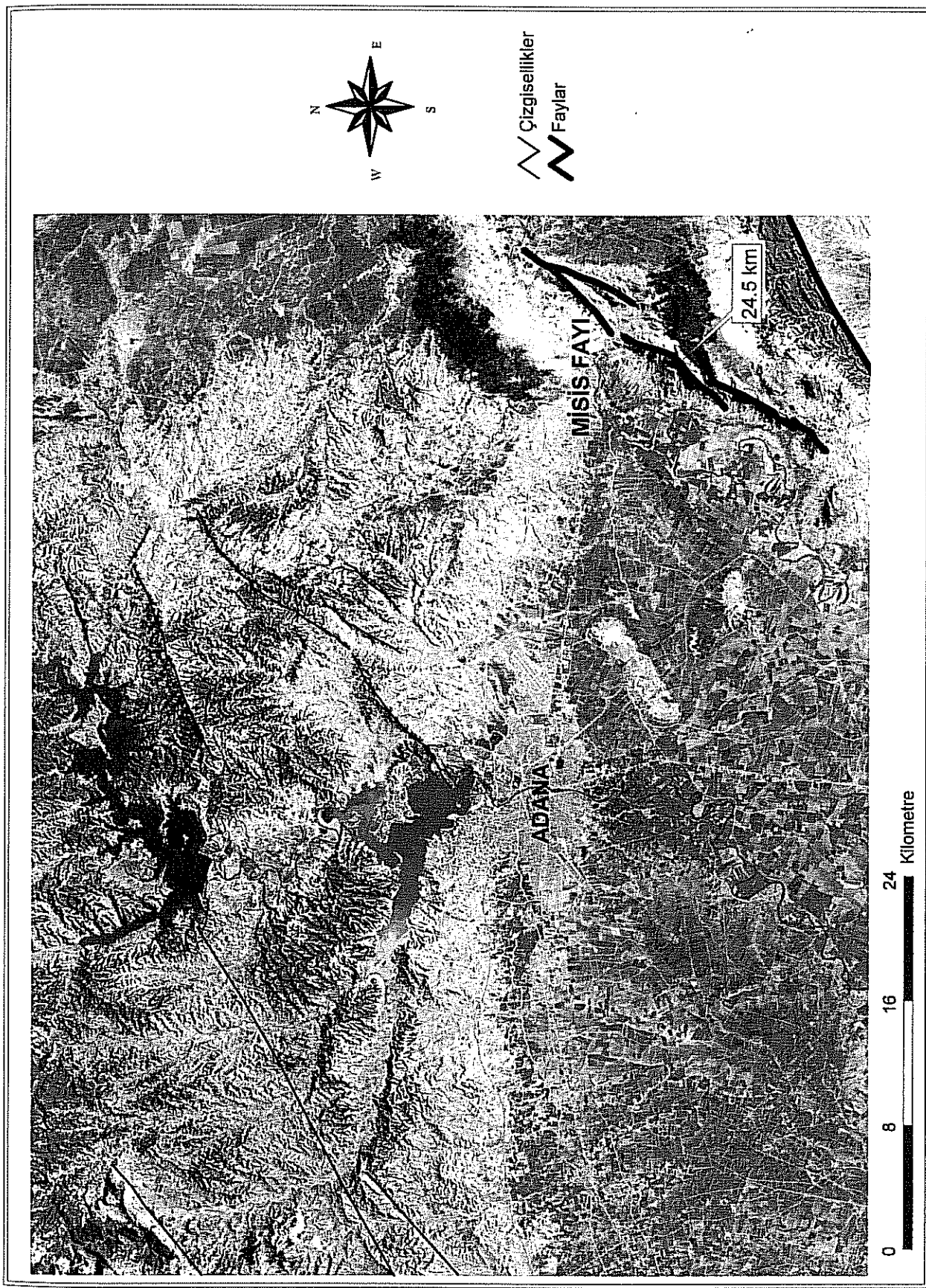
Deprem odak derinliği ölçümlerindeki zorluklar ve hata paylarının yüksek olması hiposantır mesafesine bağlı olarak kullanılan azalım ilişkisi bağıntılarının daha az kullanılmasına neden olabilmektedir.

Bu çalışmada zemin ivmesi değerlerinin Adana ili yerleşim alanı için değişimleri ele alınmış ve önerilen bağıntılar kullanılarak bir bölgelendirme haritası ortaya konulmuştur. Yapılan analizlerde İnan ve diğ, (1996) ve Aydan ve diğ, (1996) bağıntılarının her ikisi de kullanılmış ve birlikte değerlendirilmiştir. Bu amaçla daha önceden sayısal koordinatlardaki uydu görüntüsü kullanılarak hesaplanan 24.5 km'lik Misis fayı uzunluğu dikkate alınmıştır (Şekil 4.205). Çalışma alanına ait 1/25.000 ölçekli topografik haritalardaki her grid kutusunun 4 köşesi birer veri noktası olarak kabul edilerek oluşturulan toplam 240 noktanın Misis fayına olan uzaklıkları (km) Landsat 7 ETM+ uydu görüntüsü yardımı ile bulunmuştur. Hiposantır hesaplamalarında deprem odak derinliği 20 km olarak alınmış ve tüm noktalar için ayrı ayrı hesaplanmıştır. Hesaplanan en küçük episantır değeri 23.12 km ve en büyük 43.61 km'dir. Hiposantır değerleri ise en küçük 30.46 km ve en büyük 47.98 km'dir. Aydan ve diğ (1996) bağıntısı kullanılarak elde edilen pik zemin ivmesi (pga) değerlerinin en küçük 0.292 mgal ile en büyük 0.433 mgal değerleri arasında değiştiği tespit edilmiştir. İnan ve ark, (1996) çözümlemeleri ise en küçük pga değerinin 0.204 ve en büyük pga değerinin 0.363 mgal olduğunu ortaya koymuştur.

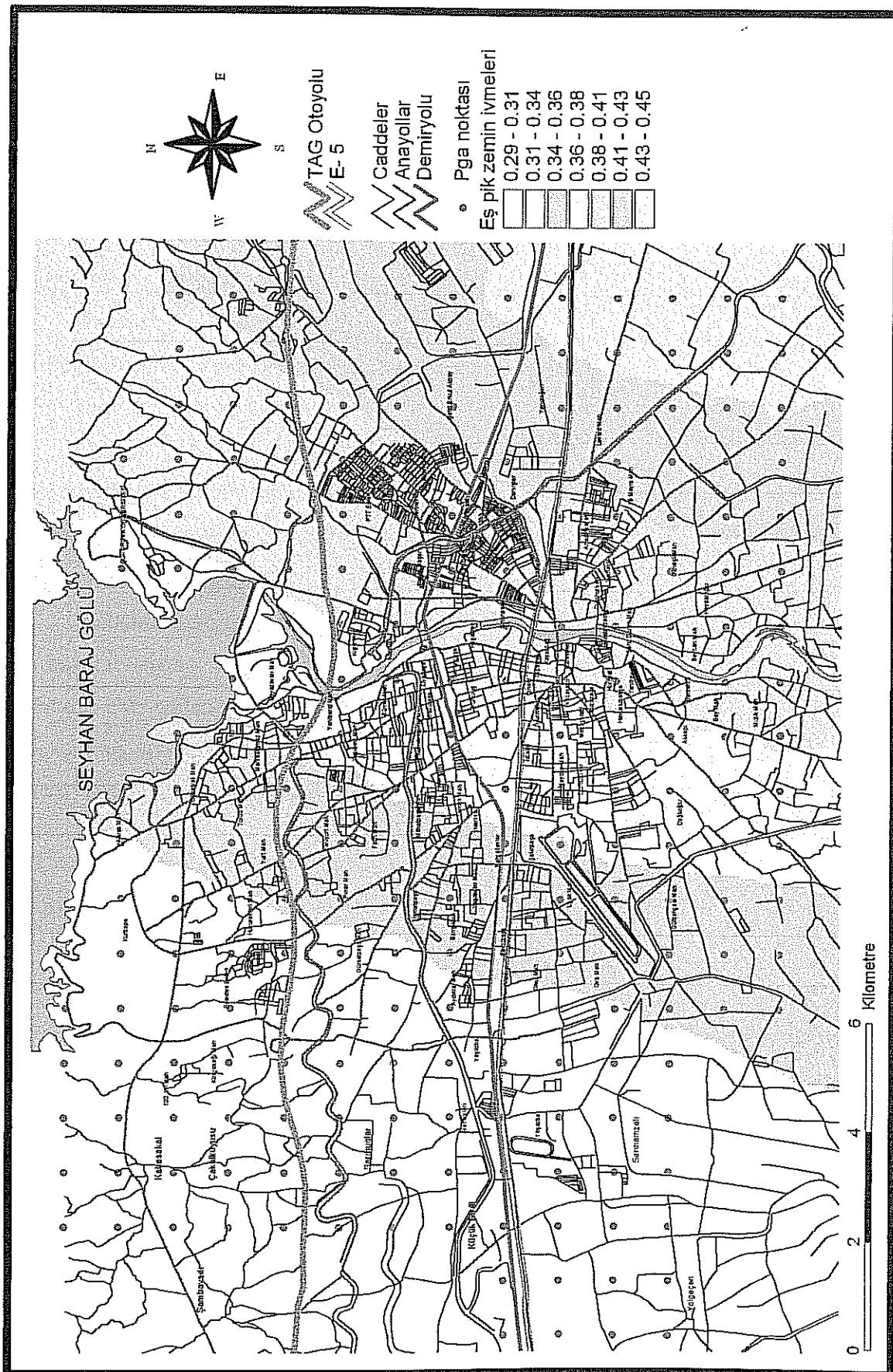
Aydan ve diğ., (1996) bağıntısı kullanılarak inceleme alanı için oluşturulmuş pik zemin ivmesi (mG) bölgelendirme haritası Şekil 4.206'da sunulmuştur. Çalışmada ele alınan her iki bağıntı da yerel jeolojik koşullardan yani litoloji farklılıklarından etkilenmemektedir. Ancak Adana ili yerleşim alanı içerisinde kısmen geniş bir yayılım sunan ve özellikle derinlere doğru kaya özelliği gösteren taraça çökellerinin zemin gibi değerlendirilmesinin hatalı olacağı açıklıdır. Bu amaçla Aydan (2001) (Ulusay ve diğ., 2004'den) tarafından sonradan revize edilerek kaya ve sert zeminler için de kullanılabileceği bildirilen bağıntı kullanılmış ve katsayı 0.58 olarak alınmıştır. Taraça birimi içerisinde yer alan grid noktaları ayrı ayrı ele alındığında, pik zemin ivmelerinin Çizelge 4.149'da gösterilen sayısal değerleri aldığı görülmektedir. Dolayısı Adana ili yerleşim alanı için konuşulduğunda, taraça biriminin en düşük 0.069 ve en yüksek 0.079 mgal (mG) değerlerindeki zemin ivmelerine sahip olacakları görülmüştür.

Çizelge 4.149. Taraça birimi için Aydan (2001) (Ulusay ve diğ., 2004'den) bağıntısı kullanılarak elde edilmiş maksimum zemin ivmesi (PGA) değerlerinin değişimi.

<i>Episantır (km)</i>	<i>Hiposantır (km)</i>	<i>PGA (mgal)</i>	<i>Episantır (km)</i>	<i>Hiposantır (km)</i>	<i>PGA (mgal)</i>
35.88	41.08	0.069	29.76	35.86	0.079
35.00	40.31	0.071	30.67	36.62	0.078
34.11	39.54	0.072	31.58	37.38	0.076
32.06	37.79	0.075	32.52	38.18	0.075
31.15	37.02	0.077	33.42	38.95	0.073
30.24	36.25	0.078	34.46	39.84	0.072
29.74	35.84	0.079	34.77	40.11	0.071
30.62	36.58	0.078	33.87	39.33	0.073
31.41	37.24	0.076	32.90	38.50	0.074
31.05	36.93	0.077	32.41	38.08	0.075
30.10	36.14	0.079	33.42	38.95	0.073
29.64	35.76	0.079	34.18	39.60	0.072
30.51	36.48	0.078	35.04	40.35	0.071
31.47	37.29	0.075	34.47	39.85	0.072
31.99	37.28	0.075	34.56	39.93	0.071
31.08	36.96	0.077	33.70	39.19	0.073
30.09	36.13	0.079	32.83	38.44	0.074
31.81	37.57	0.076			



Şekil 4.205. PİK zemin ivmesi hesaplamalarında kullanılan Misis fayının çalışma alanı içindeki konumu.



Şekil 4.206. İnceleme alannı ait pik zemin ivmesi (pga , mG) değerlerinin değişimi gösteren bölgelendirme haritası.

4.10.10. Eş Zemin Büyüütmesi Haritası

Deprem kuvvetleri yerel zemin koşullarına bağlı olarak farklı büyüklükte dağılım gösterirler. Bazı zeminler depremin hasar etkisini artırırken, bazı zeminler tersine hasar etkisini diğer bölgelere göre azaltırlar. Bir bölgedeki yerel zemin koşullarının deprem kuvvetlerini büyültmesi olayı kısaca “*zemin büyütmesi*” olarak bilinir. Bir bölgenin deprem özelliklerine göre bölgeleme çalışmalarında zemin büyütmesine göre bölgeleme yapılması kent yerleşimi açısından da önemli olmaktadır.

Zemin büyütmesinin belirlenmesinde zemine ait özelliklerle birlikte katman kalınlığının rol oynadığı da bilinmektedir. Zeminin, özellikle de yumuşak bir zeminin kalınlığının fazlalığı oranında zemin büyütmesi de fazla olmaktadır.

Zemin büyütme analizlerinde doğrudan elde edilecek sismik parametreler kullanılabileceği gibi dolaylı olarak elde edilebilecek büyütme analiz bağıntıları da kullanılabilir. Sismik ölçümlerden elde edilen verilere benzer olarak Mikrotremor ölçümleri ile de zemin büyütme analizleri yapılmaktadır.

Çalışma alanı içerisinde incelenen zemin kesitlerinde yer alan tabaka ya da seviyelere ait kayma dalgası hızlarının belirlenmesinde, yerinde yapılan jeofizik sismik etütlerden doğrudan elde edilen veriler yanında literatürde verilen değişik bağıntıların kullanılması ile de elde edilmiş veriler bir arada kullanılmışlardır. Çizelge 4.150, farklı araştırmacılar tarafından ortaya konulmuş zemin büyütmesi (A_k) bağıntılarını göstermektedir.

Çizelge 4.150. Zemin büyütmesini veren çeşitli empirik bağıntılar.

No	Araştırmacı	Bağıntı, A	Açıklama
1	Midorikawa (1987)	$A = 68 * V_s^{-0.6}$	$V_s = \text{kayma dalgası hızı (m/sn)}$
2	İyisan ve Ansal (1998)	$A_k = 9.3 N^{0.87} * H^{0.968}$	$H : \text{tabaka kalınlığı (m)},$ $N \text{ arazi deneylerinden elde edilen ortalama SPT değeri}$
3	İyisan ve diğ. (2000)	$A_k = 1.16 I_c^{-0.40}$	$I_c 0.16-0.86 \text{ aralığında değişen kıvam indisi değeridir.}$
4	Borchert ve diğ., (1991)	$A_k = 701 / V_s$	$V_s = \text{kayma dalgası hızı (m/sn)}$

Finn (1991) depremler etkisiyle oluşan yüzey hareketinin öncelikle zeminin üstteki 20 – 30 m’lik kısmından etkilendiğini belirtmiştir. Bu bakımdan bu derinliklerdeki ortalama kayma dalgası hızı, zemin büyütmesinin belirlenmesinde bilinmesi gereken bir parametre olmaktadır.

Çalışmanın bu bölümünde, zemin büyütmesi değerlerinin belirlenmesi amacıyla 1999 depreminden sonra Adapazarı bölgesinin mikro-bölgelendirmesi çalışmasında da kullanılan ve Midorikawa (1987) tarafından önerilen aşağıdaki eşitlik kullanılmıştır;

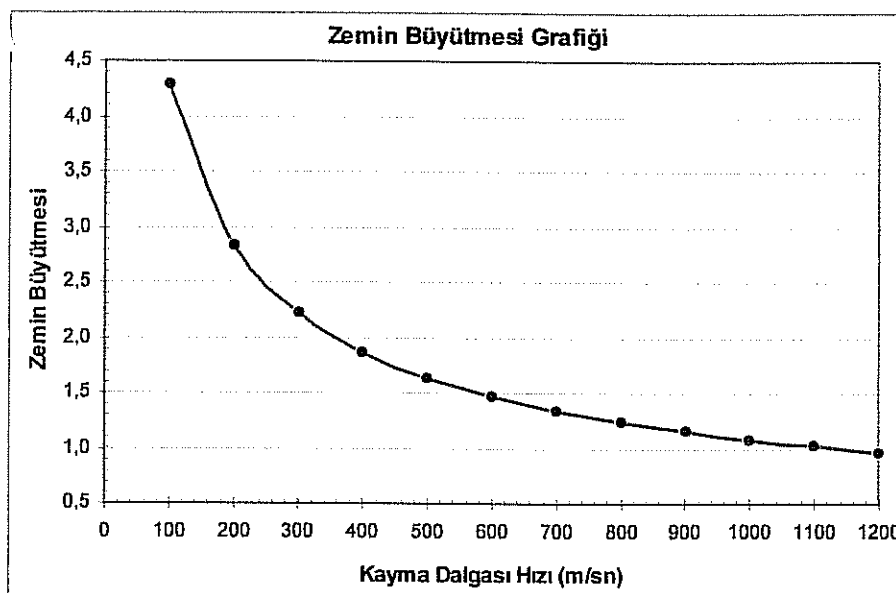
$$A_k = 68 * V_s^{-0.6} \quad (4.81)$$

Bu bağlantıda,

A_k : zemin büyütmesi değeri,

V_s : eş değer kayma dalgası hızı (m/sn)'dır.

Midorikawa (1987) bağıntısı kullanılarak oluşturulmuş zemin büyütmesi değerleri, bu konuda çalışan farklı araştırmacılar için de kolay kullanılabilir olması amacıyla abak haline getirilerek Şekil 4.207'de sunulmuştur. Şekilde, kayma dalgası hızının ≥ 1100 m/sn değerleri için zemin büyütmesinin oldukça küçüldüğünü, buna karşılık düşük kayma dalgası hızlarında 4.3 kata varan zemin büyütmesinin olduğunu göstermektedir.



Şekil 4.207. Midorikawa (1987) bağıntısı kullanılarak üretilmiş zemin büyütmesi grafiği.

Kullanılan bağlantı ile bulunan zemin büyütmesi değerlerinin oldukça büyük çıkmış olması bölgelendirme haritası yapımında kısıtlı sayıda veri olmasına karşın doğrudan jeofizik sismik ölçümelerle elde edilmiş zemin büyütmesi değerlerinin kullanılmasını gerektirmiştir. Sonuçta Şekil 4.208'de görülen ve yerin 20 m altı için geçerli olacak zemin büyütme haritası ortaya konulmuştur. Haritadan da görüldüğü gibi zemin büyütmesi değerleri 0.22 ile 1.80 arasında değişmektedir. Seyhan nehri doğusunda yer alan taraça çökelleri en düşük zemin büyütmesi değerini vermektedir. Onur, Ova, Uçak, Şakirpaşa, Aydınlar ve Yeşiloba mahalleleri ise zemin büyütmesinin en yüksek olduğu alanlar olarak ortaya çıkmaktadır.

4.10.11. Zemin Hakim Titreşim Periyodu (T) Haritası

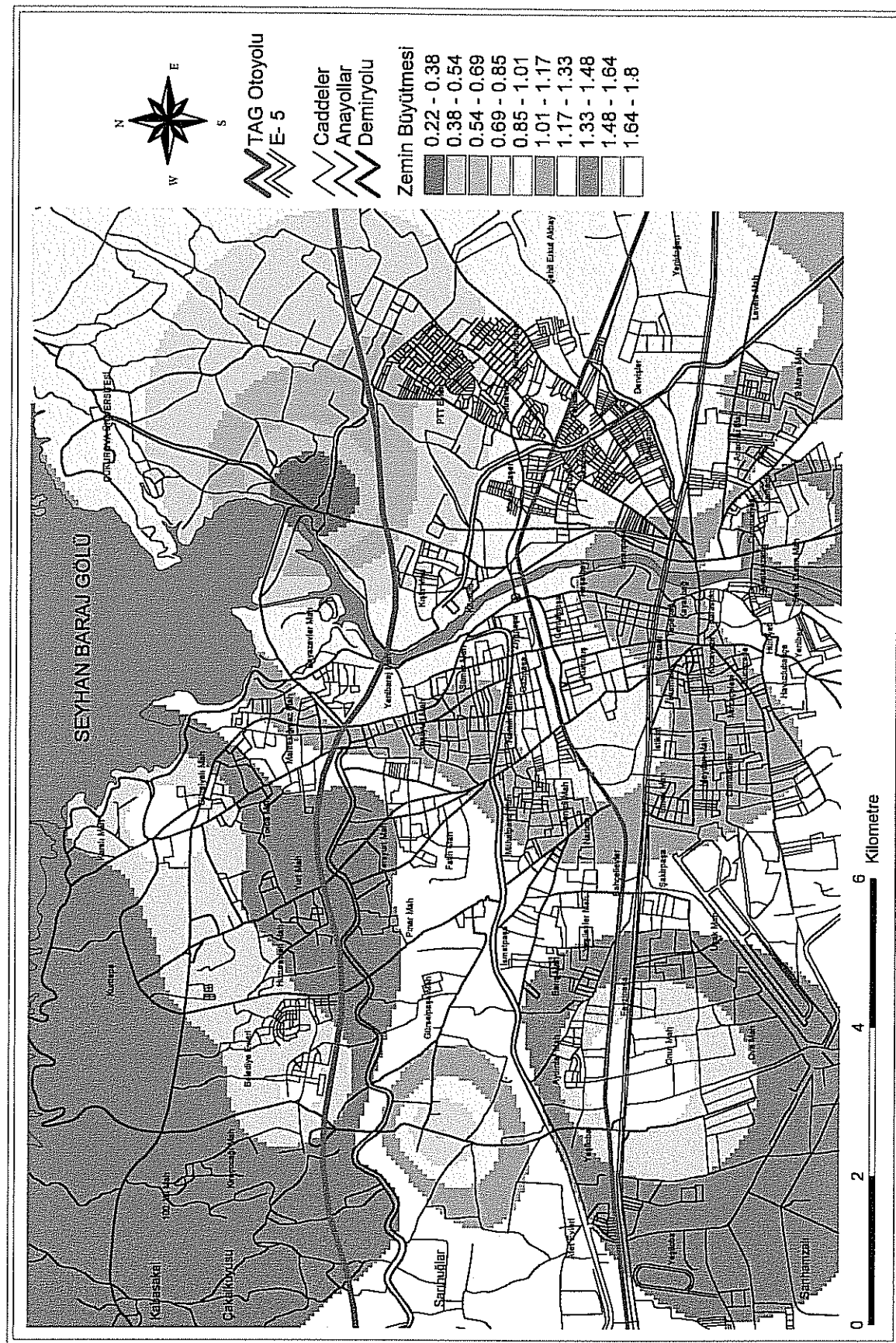
Kuvvetli yer hareketi şiddetinin, deprem magnitüdü, deprem odak noktasına uzaklık, yerel jeolojik ve topografik koşullardan etkilendiği bilinmektedir. Aynı şekilde zemin büyütmesi de zemin tipi ve tabaka kalınlığı ile ilişkili olmaktadır. Zemin türü, sıklığı, yeraltı suyu varlığı, bozuşma ve alterasyonun varlığı ve derecesi gibi faktörler de zemin büyütmesinde etkili olmaktadır. Alüvyon türü gevşek zemin çökellerinde zemin büyütmesi dolayısıyla daha fazla hasarların olduğu ülkemizde yaşanan depremlerde de görülmüştür. Mexico City ve Loma Prieta depremlerinden elde edilmiş tecrübeler bu bölgelerde yer alan yumuşak – orta katı killerde zemin büyütmesinin fazla olduğunu ortaya koymuştur. Idriss (1990), bu depremlerden elde ettiği verilerle yumuşak killerde pik zemin ivmesinin 0.4 g. ve daha fazla büyütüldüğünü ortaya koymuştur. Araştırmacı bu tür zemin büyütmeleri için “*de-amplifikasyon*” terimini kullanmıştır.

Zemin hakim titreşim periyotları, bu çalışma kapsamında yapılmış olan jeofizik sismik ölçümeler elde edilmiştir. Bu çalışmalarla ilgili tüm parametreler daha önceki bölümlerde ayrıntılı olarak verildiği için ayrıca sunulmamıştır. Zemin hakim titreşim periyotlarının bulunmasında tabaka kalınlıklarının da rol oynadığı bilinmektedir. Bu değerin bulunmasında *Kanai bağıntısı* adıyla da bilinen aşağıdaki bağıntı kullanılmıştır (Yalçınkaya, 2004'den);

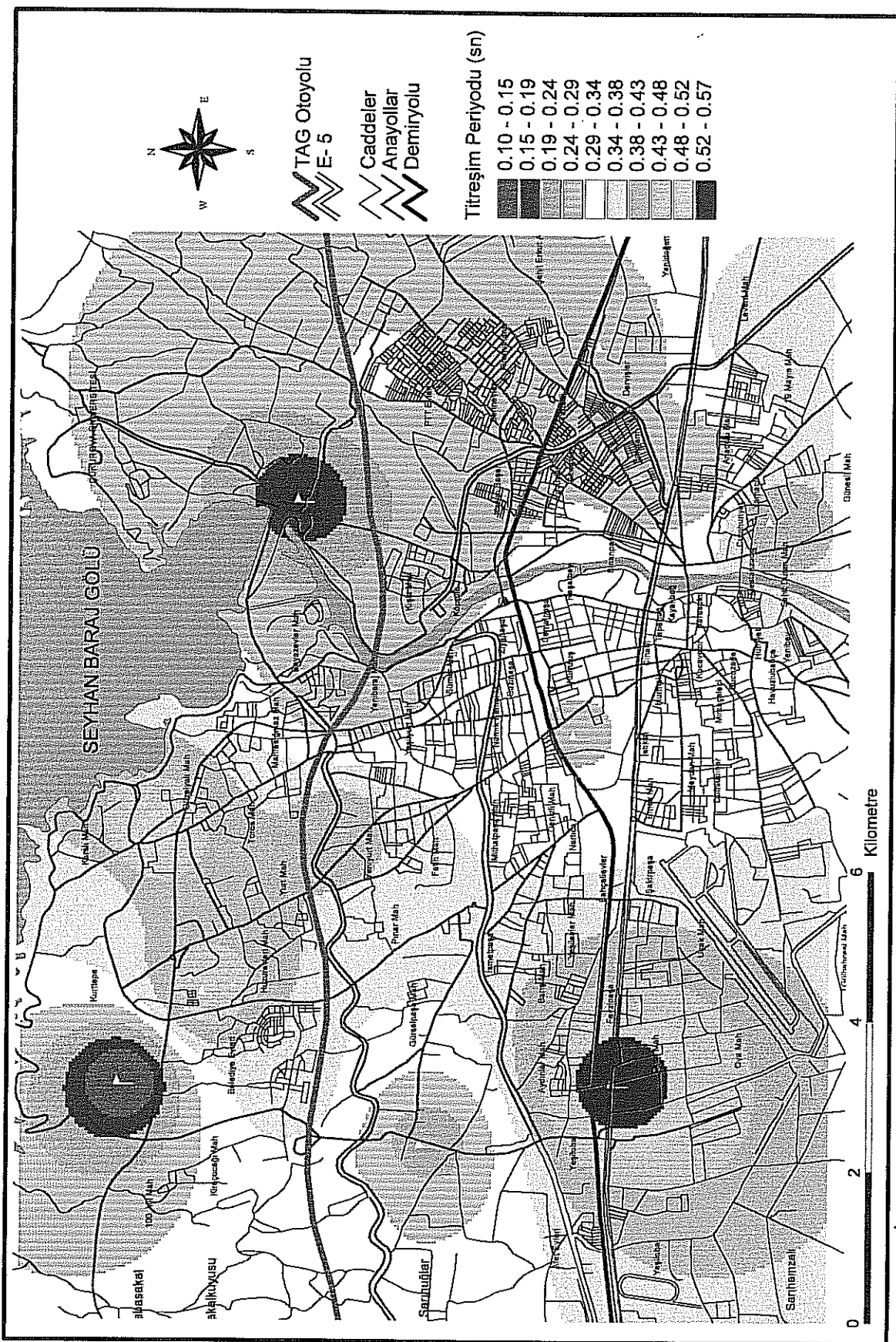
$$T = \sum \frac{4 * H}{V_s} \quad (4.82)$$

Bu bağıntıda, H : tabaka kalınlığı (m) ve V_s : kayma dalgası hızı (m/sn) değerleridir.

Bu bölümde oluşturulan zemin hakim titreşim periyodu haritası maksimum inceleme derinliği olan 30 m için geçerli olmaktadır. Titreşim periyotlarının kaya türü zeminlerde düşük, zeminlerde ise yüksek olması beklenir. Şekil 4.209, jeofizik ölçüm verileri kullanılarak elde edilmiş titreşim periyodu değerlerine göre oluşturulmuş bölgelendirme harmasını göstermektedir. Özellikle Seyhan nehri doğusunun düşük titreşim periyodu değerlerine sahip olduğu dikkat çekmektedir. Bu durum taraça biriminin bu bölgede yüzeye daha yakın olduğunu düşündürmektedir. Seyhan ırmağından batıya doğru gidildikçe alüvyon çökellerindeki kalınlaşmaya bağlı titreşim periyodu değerlerinin de büyüğü görülmektedir. Şekil 4.209'daki bölgelendirme haritasına bakıldığından, özellikle Ova, Fevzi paşa, Aydınlar, Yeşiloba mahallelerinin en yüksek titreşim periyodu değerlerine sahip alanlar olarak ortaya çıktıları görülmektedir.



Şekil 4.208. İnceleme alanına ait zemin büyütme haritası.



Şekil 4.209. İnceleme alanına ait zemin hakim titresim periyodu haritası.

5. SONUÇLAR VE ÖNERİLER

Adana ili yerleşim alanı, Handere Formasyonu'na ait ince taneli birimler, taraça ve kaliş çökelleri ile alüvyon birimleri üzerine kurulu bulunmaktadır. Handere Formasyonu inceleme alanı içerisinde esas olarak CH, MH, CL ve ML zemin gruplarında yayılım göstermektedir. Taraça çökelleri zemin özelliği gösteren ayrılmış kısımlar ile zayıf kaya özelliği gösteren sert kısımlardan oluşmaktadır. Karbonat kapak olarak adlandırılan masif kaliş birimi kaliş çökelleri içerisindeki sert seviyeyi oluşturmaktadır. Bununla birlikte bu birim de zayıf kaya özelliğindedir. Zemin özelliği gösteren yumuşak kaliş birimi genel olarak kil ve silt boyutu ince taneli malzemelerden oluşmuştur. Birime çakıl boyutu malzemeler de eşlik edebilmektedir. Yayılımı en fazla olan alüvyon çökellerinin büyük çoğunluğu Seyhan ovası taşkın çökellerine ait CH ve CL grubu killerdir. Bununla birlikte alüvyon içerisinde MH, SW, GW türü zemin gruplarından birimlerle de karşılaşılmaktadır. İnceleme alanında yayılım sunan birimlerin tamamında kalislaşmeye bağlı karbonatlı seviyeler ve karbonat yumruları görülebilmektedir. Handere Formasyonu'na ait ince taneli birimler ile taraça çökellerinin kaliş ile olan yakın dokanaklarında kalislaşma oldukça yaygın olarak göze çarpmaktadır. Alüvyon killerinin genelinde karbonatlaşma yaygındır ve bu durum klin homojen yapısının bozulmasına neden olmaktadır.

Handere Formasyonu'na ait ince taneli birimlerin doğal birim hacim ağırlıkları $1.58 - 2.01 \text{ gr/cm}^3$ değerleri arasında değişmektedir. İncelenen birimlere ait porozite değerleri % 33.47 ile % 51.08 ve boşluk oranları 0.50 ile 1.04 arasında yer almaktadır. Killi birimlerin kıvam limiti deneyleri, plastisite indisi ile likit limit değerleri arasında $PI = 1.075 LL - 31.97$ bağıntısı ile ifade edilebilen bir ilişkinin varlığını ortaya koymuştur. Drenajsız kayma dayanımları killerin sert ($0.75-1.5 \text{ kg/cm}^2$) ile çok sert ($> 1.5 \text{ kg/cm}^2$) zemin sınıfında yer aldıklarını ortaya koymaktadır.

Handere Killeri üzerinde yapılan konsolidasyon deneyleri ile bazı konsolidasyon parametreleri (m_v , hacimsel sıkışma katsayısı, a_v , sıkışma katsayısı ve gerilme kademesi, P) arasında aşağıdaki ilişkiler ortaya konulmuştur;

$$m_v = 0.6194 a_v - 0.0006$$

$$m_v = -0.0068 \ln(P) + 0.0495$$

$$a_v = -0.0108 \ln(P) + 0.0495$$

Yapılaşma açısından genel olarak uygun bir litolojiye sahip olan Handere Formasyonu'na ait ince taneli birimlerin diğer jeolojik birimlerle olan dokanaklarında kalınlıkları oldukça değişkenlik sergilemektedir.

Zemin özelliği gösteren taraça çökelleri, GW, GP, GC, GM zemin sınıflarında yayılım sunarlarken, kaya özelliği gösteren taraça çökelleri *Çok zayıf – Zayıf* kaya sınıfında yer almaktadır. Karot numuneleri üzerinde yapılan basma dayanımı deneyleri 1.77 MPa ile 10.30 MPa arasında değişen değerler vermiştir. Birimin doğal birim hacim ağırlıkları 1.90 – 2.67 gr/cm³ değerleri arasında değişim göstermektedir.

Taraça çökelleri taşıma gücü anlamında yüksek sayısal değerlere sahip bir birimdir. Tasarımlarda emniyetli tarafta kalınmak istenmesi nedeniyle düşük taşıma gücü değerlerinin alınması aşırı tasarımların ortaya çıkışmasına neden olabilecektir. Birime ait kayma dalgası hızları birimin tutturulmuşluk derecesine bağlı olarak 534 – 2139 m/sn değerleri arasında değişmektedir. Yapılaşmaya en uygun litolojiye sahip taraça çökellerinde yapılan klasik sondajlı zemin incelemeleri hem zaman hem de para kaybına neden olmaktadır.

Kalış çökelleri, taraça çökelleri gibi hem zemin ve hem de kaya özelliği gösteren bir başka litolojik ünitedir. Zemin özelliği gösteren kalış esas olarak CH, CL ve MH zemin grubunda yer almaktadır. Zeminin doğal birim hacim ağırlıkları 1.70 – 2.10 gr/cm³ değerleri arasında değişirken kaya özelliği gösteren kalış biriminde kuru birim hacim ağırlık değerleri 1.90 – 2.40 gr/cm³ arasında değişim göstermektedir. Farklı kaya dayanım sınıflamaları masif kalışın “*Çok zayıf dayanımlı*” kaya grubunda olduğunu ortaya koymaktadır.

Kalışın zemin ve kaya olmak üzere farklı özellik göstermesi, mekanik açıdan değerlendirmelerinde de farklılıklara neden olmaktadır. Zemin özelliği gösteren yumuşak kalış birimleri konsolidasyon anlamında da değerlendirilmesi gereken bir birimdir. Masif kabuğun kalınlığının inceleme alanı içerisinde çok fazla olmaması, yüzey kazılarında temellerin bu birimden ziyade daha alta yer alan daha düşük dayanımlı ve zemin özelliği gösteren yumuşak kalış birimine oturmasına neden olmaktadır. Yüzey kazılarının sık olduğu durumlarda ise tasarımların bu birime göre yapılması hemen alta yer alan yumuşak kalış biriminin yok sayılmasına neden olmaktadır.

Alüvyon çökelleri yaygın olarak CH ve CL grubu killerden oluşmakla birlikte bu birimlere SW, SP, GW, MH türü zeminlerde eşlik edebilmektedir. Doğal birim hacim ağırlıkları 1.60 – 2.20 gr/cm³ değerleri arasında değişmektedir. CH ve CL türü killerde yapılan kıvam limiti deneyleri plastisite indis (*PI*) ile likit limit (*LL*) değerleri arasında anlamlı aşağıdaki eşitliklerin ortaya konulmasını sağlamıştır;

$$PI = 0.8835LL - 15.453 \text{ (CH grubu killer için)}$$

$$PI = 0.8604LL - 12.169 \text{ (CL grubu killer için)}$$

Yapılan konsolidasyon deneyleri alüvyon killerinin ön konsolidasyon basınçlarının $1.30 - 1.64 \text{ kg/cm}^2$, sıkışma indisi değerlerinin $0.048 - 0.085$ ve şişme indisi değerlerinin $0.0025 - 0.0083$ arasında değişmekte olduğunu ortaya koymustur.

1998 Ceyhan depremine sebep olan Misis fayı için analiz yapıldığında alüvyon çökelleri içerisinde sivilaşmanın olabilmesi 6.5 büyüklüğündeki bir deprem ile mümkün olabilmektedir. Sivilaşmanın olmasını engelleyecek bir diğer özellik kapak görevi yapan alüvyon kılının kalınlığının oldukça fazla olmasıdır.

Alüvyonda yapılan sondaj çalışmaları SPT-N darbe sayılarına alüvyon killerinin "*Çok kati-Sert*" kil grubunda olduklarını ortaya koymustur. Kil içerisinde yer alan karbonatlı seviyelerin de SPT darbe sayılarında ani artışlara neden olmaktadır. Bu durumda gerçekten daha yüksek SPT darbe sayıları elde edilebilmektedir.

Aletsel dönem deprem kayıtları ve üstel dağılım fonksiyonu modeli kullanılarak yapılan sismik risk analizleri bölgede 6.2 büyüklüğündeki bir depremin tekrarlanma periyodunu 63 yıl olarak vermektedir. Aynı model her 1.5 yılda büyüklüğü 4.2 olan bir depremin olabileceğini ortaya koymaktadır.

İnceleme alanında yeraltı su seviyeleri mevsimsel değişimlere de bağlı olarak 2 ile 30 m arasında değişmektedir. Yeraltı su seviyeleri hem kuzeyden güneye ve hem de doğrudan batıya doğru yüzeye yaklaşmaktadır. Yeraltı sularının pH değerleri 6.8 ile 8.1, EC değerleri 370 ile 1773 $\mu\text{mho}/\text{cm}$, FS cinsinden sertlik değerleri 17.0 ile 67.2 arasında değişmektedir. Suların büyük çoğunluğunda SO_4 değerleri $0.38 - 0.76 \text{ mek/l}$ arasında yer almaktadır.

Uzaktan algılama ve Coğrafi Bilgi Sistemi çalışmaları ışığında elde edilmiş sonuçlar inceleme alanında topografik yükseklik değerlerinin $5 - 270 \text{ m}$ arasında yer aldığı göstermektedir. İnceleme alanında yer alan birimlerin elektriksel özdirenç değerleri taraça üzerinde yer alan Beyazevler, Güzelyalı, Mahfesığmaz mahallerinde en yüksek değerleri vermiştir. Levent, Dervişler, Yenidoğan, 19 Mayıs, Kireçcocağı mahallelerinde ise 30 m derinlik için düşük rezistivite değerleri elde edilmiştir.

Pik zemin ivmesi (pga) taraça çökellerinde $0.069 - 0.079 \text{ mgal}$ değerleri ile en düşük değerleri almaktadır. Diğer birimler için bu değerler 0.292 ile 0.433 mgal değerleri arasında değişim sunmaktadır.

İnceleme alanı için zemin hakim titreşim periyodu değerlerinin 0.10 ile 0.57 sn arasında değiştiği belirlenmiştir. Özellikle Seyhan ırmağının doğusu düşük titreşim periyodu değerlerine sahip alanları oluşturmaktadır. Ova, Fevzipaşa, Aydınlar, Yeşiloba mahalleleri ise özellikle yüksek titreşim periyodu değerlerine sahip alanları oluşturmaktadır.

Handere Formasyonu'na ait killi birimler ile taraça çökelleri yerlesime uygunluk açısından problemsiz birimler olarak düşünülebilir. Kaliş ve alüvyon çökelleri ise bu anlamda tedbirli davranışması gereken birimlerdir. Taraça ve kaliş birimleri klasik sondaj yöntemleri (UD ve SPT) ile araştırılmaya uygun olmayan litolojilerdir. Bu birimlerde yapılacak sondajlı araştırmalarda kuyu içinden ölçüm alabilecek donanımlara gereksinim vardır. İmkanların olmaması durumunda bu birimlerde sondajlı zemin araştırmaları yerine derin araştırma çukurlu araştırmaların yapılması daha uygun olur. Handere Formasyonu içerisinde yapılan sondajlarda da kilin sert olmasından dolayı yüksek SPT darbe sayıları ile karşılaşılmıştır. Bu birimlerde örselenmemiş örnek alımı mümkün olabilmektedir. Bu örnekler üzerinde yapılan uygun laboratuar deney sonuçları zemin hakkında daha doğru bilgiler elde edilmesini sağlayacaktır. Alüvyon çökellerinin kalınlığa bağlı olarak kuvvetli yer hareketine tepkileri farklı olacaktır. Bu bakımdan özellikle bu birimler için derin jeofizik sismik çalışmaların yapılması önem kazanmaktadır.

KAYNAKLAR

- ABACI, S., Aquifer Vulnerability And Ground Water Quality İn Adana Plain. GEOENV'97 Int Symp. On Geo. And Env. Bildiriler Kitabı, İstanbul, (1997) s. 381-384.
- ABACI, S., Groundwater Quality Problems For Domestic Use, Int. Conf. On Water Problems in The Mediterranean Countries, Bildiriler Kitabı, K.K.T.C, (1997) s. 799-805.
- AKROYD, T.N.W., Laboratory Testing in Soil Engineering, Soil Mechanics Limited, London, (1969).
- AL-HOMOUD, A.S., KHOURY, H., AL-OMARI, Y.A., Mineralogical and Engineering Properties of Problematic Expansive Clayey Beds Causing Landslides, Bulletin of the International Association of Engineering Geology, 54, 13-31. (1996).
- ALTMEYER W.T., Disc. On rep. 516 Proc. ASCE, 85. (1955).
- ANDRUS, R.D., STOKOE, KH., Liquefaction Resistance of Soils from Shear- Wave Velocity, J. Geotech. Geoenv. Engng., ASCE, Vol.126 , No: 11, pp. 285-308., (2000)
- ANSAL, A., İstanbul İçin Tasarım Deprem Özelliklerinin Belirlenmesi, Prof. Dr. Rifat Yarar Sempozyumu Bildiriler Kitabı, (1997) s. 233-244.
- ARIOĞLU, E., ARIOĞLU, N., GİRGİN, C., Aktif Fayların Depremsellik Parametrelerinin Kestirilmesi, Hazır Beton Dergisi, Kasım-Aralık, 69-81, (1999).
- ASKİ, Adana Su Temin Projesi, Arıtma Tesisi, Depo Yerleri ve İsale Hattı Temel Sondaj Çalışmaları Jeoteknik Raporu, Adana, (1999), 94 s.
- AYDAN, Ö., SEZAKI, M., YARAR, R., The Seismic Characteristics of Turkish Earthquake. 11th World Conference on Earthquake Engineering, Acapulco, Mexico, CD Paper No. 1025. (1996).
- AYDAY, C., ULUSAY, R., Coğrafi Bilgi Sistemleri (CBS) İle Mühendislik Jeolojisi Haritalarının Hazırlanması, Türkiye Jeoloji Kurultayı Bülteni, 8, 148-154, (1993).
- ATTOM, M.F., ABU-ZREIG, M.M., OBAIDAR, M.T., Changes in Clay Swelling and Shear Strength Properties With Different Sample Preparation Techniques, Geotechnical Testing Journal, Vol. 24 (2), 157-163, (2001).
- BAĞCI, G., İzmir ve Çevresinin Deprem Riski, Batı Anadolu'nun Depremselliği Sempozyumu Bildiriler Kitabı, İzmir, (2000), 239-248.
- BAUER, R.A., KIEFER, J., HESTER, N., Soil Amplification Maps for Estimating Earthquake Ground Motions in the Central US, Engineering Geology, 62, 7-17, (2001).

- BAYRAK, Y., YILMAZTÜRK, A., Türkiye ve Civarında Sismik Moment ve Gerilim Dağılımı, H.Ü. Yerbilimleri Uygulama ve Araştırma Merkezi Bülteni, No. 21, s. 1-15, (1999).
- BISHOP, A. W., The Use of Slip Circle in The Stability Analysis of Earth Slopes, Geotechnique, Vol. 5, No. 1, s. 125-131, (1955).
- BONILLA, M.G., MARK, R.K., LIENKAEMPER, J.J., Statistical Relations Among Earthquake Magnitude, Surface Rupture Length and Surface Fault Displacement. Bull. Seis. Soc. Am., 74, 2379 – 2411, (1984).
- BORCHERDT, R.D., WENTWORTH, C.M., JANSEN, A., FUMAL, T., GIBBS, J., Methodology for Predictive GIS Mapping of Special Study Zones for Strong Ground Shaking in the San Francisco Bay Region, Proc. 4th Int. Conf. On Seismic Zonation, (3), (1991), 245-552.
- BORCHERDT, R.D., LAWSON, S., PESSINA, V., BOUABID, J., SHAH, H.C., Applications of Geographic Information System Technology (GIS) to Seismic Zonation and Earthquake Loss Estimation, State-of-the-art Lecture, 5. Int. Conf. On Seismic Zonation, Procs, Nice, France, p.1933-1973, (1995).
- BRITISH STANDARDS INSTITUTION (BSI), Methods of Test For Soils, Charles E. Merril, Columbus, Ohio, (1975), 476 s.
- CAMPBELL, K.W., Near Source Attenuation of Peak Horizontal Acceleration, Bull. of the Seis. Society of America, 71, 2039-2070, (1981).
- CAMPBELL, W.K., Prediction strong ground motion in Utah. Evaluation of Regional and Urban Earthquake Hazard Risks in Utah. USGS Paper, pp. L1-L31. (1988).
- CAMPBELL, K. W., THENHAUS, P.C., BARNHARD, T.P., HAMPSON, D.B., Seismic Hazard Model for Loss Estimation and Risk Management in Taiwan, Soil Dynamics and Earthquake Engineering 22, 743-754, (2002).
- CANIGÜR, A., YEREL, S., Hava Fotoğrafları, Uzaktan Algılama Yöntemleri ve Drenaj Analizi İle Eskişehir ve Civarının Faylarının Saptanabilirliği, 54. Türkiye Jeoloji Kurultayı Bildiriler CD'si, Ankara, (2001), 54-14.
- CANİK, B., Hidrojeoloji, Ankara, (1998), 286 s.
- CARTER, M., BENTLEY, S.P., Correlations of Soil Properties, Pentech Press, LONDON, (1991), 128 s.
- CHEN, F.H., Foundations on Expansive Soils, Elsevier, Amsterdam, The Netherlands, (1998), 142 s.

- CHU, B., HSU, S., CHANG, Y., Ground Behaviour and Liquefaction Analyses in Central Taiwan-Wufeng, *Engineering Geology*, 71, 119-139, (2003).
- CORNELL, C.A., Engineering Seismic Risk Analysis, *Bull. Seism. Soc. Am.*, 58, 1583-1606, (1968).
- ÇETİN, K.Ö., YOUSF, T.L., SEED, R.B., BRAY, J.D., SANCIO, R., LETTIS, W., YILMAZ, M.T., DURGUNOĞLU, T., Liquefaction-induced Ground Deformations at Hotel Sapanca During Kocaeli (İzmit), Turkey Earthquake. *Soil Dynamics and Earthquake Engineering*, 22, p. 1083-1092, (2002).
- ÇOBANOĞLU, D., Yüreğir İlçesi (Adana-Merkez) Ve İncirlik Batısı Arasındaki Alanın Hidrojeoloji İncelemesi, Bitirme Tezi, Pamukkale Üniversitesi Mühendislik Fakültesi, (2001).
- DAS, B.M., Principle of Geotechnical Engineering, PWS-Kent Publishing, Boston, (1988), 665 p.
- DAD (Deprem Araştırma Dairesi), 2004. www.deprem.gov.tr.
- DEERE, D.U., MILLER, R.P., Engineering Classification and Index Properties of Rock. Technical Report No. AFNL-TR-TR-65-116. Air Force Weapon Laboratory, (1966).
- DEMİRKOL, C., YETİŞ, C., LAGAP, H., ÜNLÜGENÇ, U.C., Türkiye Jeoloji Haritaları Serisi Kozan K-20 Paftası, 1/100.000 ölçekli Türkiye Jeoloji Haritaları Serisi, MTA Jeoloji Etütleri Dairesi Yayıını, ANKARA, (1991), 19 s.
- DEPOLO, C.M., SLEMMONS, D.B., Estimation of Earthquake Size For Seismic Hazards. Netotectonics in Earthquake Evaluation: Review in Engineering Geology, III. The Geol. Soc. Amer., Boulder, Colorado, (1990).
- DJEDID, A., BEKKOUCH, A., MAMOUNE, A.S.M, Identification and Prediction of The Swelling Behaviour of Some Soils From the Tlemcen Region of Algeria, *Bulletin Des Laboratoires des Ponts Et Chaussees*, 233, 69-77, (2001).
- DOROUDAN, M., VUCETIC, M., MARTIN, G.R., Development of 3- Dimensional Geotechnical Data Base for Los Angeles Seismic Microzonation, Proc. of the 11th World Conf. on Earthquake Engineering Acapulco, Mexico, Elsevier Science Inc., New York, (1996), pp. 1454-1461.
- EL-NAGA, A., A Comparative Review in Regards to Estimating Bearing Capacity in Jointed Rock Masses in Northeast Jordan, *Bull. Eng. Geol. Env.*, No. 63, s. 233-245, (2004).
- ERCAN, A., Yer Araştırma Yöntemleri, Kardeşler Matbaacılık Yayıını, İstanbul, (2001), 339 s.

- ERDİK, M., EREN, K., Attenuation of Intensities for Earthquake Associated with the North Anatolian Fault, METU Earthquake Engineering Research Center, Ankara, (1983)
- ERDİK, M., DOYURAN, V., AKKAS, N., GÜLKAN, P., A Probabilistic Assessment of The Seismic Hazard in Turkey, Tectonophysics, 117, Elsevier Science Publishers, Amsterdam, s. 295-344, (1985).
- ERGÜLER, Z.A., ULUSAY, R., A Simple Test and Predictive Models for Assessing Swell Potential of Ankara (Turkey) Clay, Engineering Geology, 67, 331-352, (2002).
- ERKEN, A., OKAN, R., ERDEM, A., 17 Ağustos 1999 Kocaeli Depreminde Adapazarı'nda Yeralan Zeminlerin Davranışı, Beşinci Ulusal Deprem Mühendisliği Konferansı Bildiriler CD'si, İstanbul, Bildiri No: AT-112, (2003).
- EZEN, Ü., Earthquake Source Parameters Related to Magnitude Along the North Anatolian Fault Zone, Bull. of the Inst. of Seismology and Earthquake Engineering, Vol. 19, s. 33-35, (1981).
- FINN, W.D.L., Geotechnical Engineering Aspects of Microzonation, 4 th Int. Conf. on Microzonation, Earthquake Engineering Research Institute, California, Vol 1, 201-206, (1991).
- FUKUSHIMA, Y., TANAKA, T., A New Attenuation Relation for Peak Horizontal Ground Acceleration of Strong Ground Motion in Japan. Bull. Seismol. Soc. Am. 80, 757-783, (1990).
- FUMAL, T., Seismic Wave Velocities and Physical Properties of Geological Materials in the Sourthern San Francisco Bay Region, California, USGS, Open File Report, (1985).
- GANEV, T., YAMAZAKI, F., ISHIZAKI, H., KITAZAWA, M., Earthquake Response of the Higashi-Kobe Bridge, Incede Report, 15, (2000).
- GILL, W.R., REAVES, C.A., Relationships of Atterberg Limits And Cation-Exchange Capacity to Some Physical Properties of Soil. Soil Sci. Soc. Am. Proc. 21, 491-494, (1957).
- GORI, U., The pH Influence On The Index Properties Of Clays, Bulletin of the International Association of Engineering Geology, 50, 37-42, (1994).
- GRAY, C.W., ALLBROOK, R., Relationships Between Shrinkage Indices and Soil Properties in Some New Zealand Soils. Geo-derma 108 (3-4), 287-299, (2002).
- GUMBEL, E. J., Static of Extremes, Columbia University Press, New York, (1958).
- GUTENBERG, B., RICHTER, C.F., Earthquake Magnitude, Intensity, Energy and Acceleration, Bull. Seism.Soc. Am., 32 (3), 162-191, (1954).

- GÜLKAN, P., YÜCEMEN, M.S., BAŞÖZ, N., Türkiye Deprem Bölgeleri haritası Değişmeli midir?, Türkiye Mühendislik Haberleri, Yıl:44, Sayı 402, 13-33, (1999).
- GÜNDÖĞDU, O., SAYIN, N., ÖZÇEP, F., HİSARLI, M., Marmara ve İstanbul'da Deprem Tehlikesi, Beşinci Ulusal Deprem Mühendisliği Konferansı Bildiriler CD'si, İstanbul, Bildiri No: AT-060, (2003).
- GÜLLÜ H., İYİSAN, R., AVCI, J., ANSAL, A., Geoteknik Mühendisliğinde Bir Coğrafik Bilgi Sistemi Uygulaması, Zemin Mekanığı ve Temel Mühendisliği 7. Ulusal Kongresi Bildiriler Kitabı, İstanbul, (1998), s. 636-641.
- HAHN GERALD J. AND SHAPIRO SAMUEL S., Statistical Models in Engineering, Third Edition, John Wiley & Sons, New York, (1994).
- HATİPOĞLU, Z., Çiftlikköy (Mersin) ve Çevresindeki Kalisin Oluşumu ve Özellikleri, (Yüksek Lisans Tezi), ME.Ü. Fen Bil. Ens., (1998).
- HENNESSY, J.T., GIBBENS, R.P., TROMBLE, J.M., CARDENAS, M., Water Properties of Caliche, Journal of Range Management, 36 (6), 723-726, (1983).
- HOEK, E., MORINOS, P., BENISSI, M., Applicability of the Geological Strength Index (GSI) Classification for Very Weak and Sheared Rock Masses: The Case of the Athens Schist Formation, Bull. Eng. Geol. Env., 57, 151-160, (1998).
- HOLTZ, W.G., GIBBS, H. J., Engineering Properties of Expansive Clays, ASCE Transaction, 121, s. 641-663, (1956).
- HOLTZ, W.G., Expansive Clays - Properties and Problems. Q. Colo. Sch. Mines 54 (4), 89-117, (1959).
- <HTTP://WWW.AN.PSU.EDU/JXM57/IRP/CHISQUAR.HTML>
- IDRISS, I.M., Response of Soft Soil Sites During Earthquakes, Proceedings H Bolton Seed Memories Symposium, Bitech Publishers, Vancouver, Vol 2, 273-289, (1990).
- ISRM, Commission on Standardisation of Laboratory and Field Tests, Suggested Methods for the Quantitative Description of Discontinuities in Rock Masses. Int. J. Rock Mech. Min. Sciences & Geomech. Abstr., 15, 319-368, (1978).
- ISRM, Rock Characterization, Testing And Monitoring – ISRM Suggested Methods, (1981), Oxford, Pergamon Press, 211 p.
- IMAI, T., TONOUCHI, R., Correction of N Values With S-wave Velocity. Proc. Second European Sym. On Penetration Test, (1982), Amsterdam, pp. 67-72.
- IMAI, T., YOSHIMURA, Y., Elastic Wave Velocity and Soil Properties in Soft Soil. Tsuchito-Kiso; 18(1), 17-22, (1970).

- IMAI, T., YOSHIMURA, Y., The Relation of Mechanical Properties of Soils to P And S Wave Velocities for Soil Ground in Japan. Urana Research Institute, OYO Corp. (1976).
- İNAN, E., ÇOLAKOĞLU, Z., KOÇ, N., BAYÜLKE, N., ÇORUH, E., 1979-1996 Yılları Arası İvme Kayıtları Deprem Kataloğu, Afet İşleri Genel Müdürlüğü, Deprem Araştırma Dairesi yayını, ANKARA, (1996).
- İYİSAN, R., Zeminlerde Kayma Dalgası Hızı İle Penetrasyon Deney Sonuçları Arasındaki Bağıntılar, İMO Teknik Dergi, 1187-1199, (1996).
- İYİSAN, R., ANSAL, A., Yerel Zemin Koşullarının Mikrotremor İle Belirlenmesi, 7. Zemin Mekaniği ve Temel Mühendisliği Konferansı, ODTÜ, (1998), 96-103.
- İYİSAN, R., ÖZÇİMEN, N., ANSAL, A., ZM8, 8. Zemin Mekaniği ve Temel Mühendisliği Konferansı, İTÜ, İstanbul, (2000), 409- 416.
- İYİSAN, R., GÜLERCE, Ü., YAMANAKA, H., ANSAL, A., Kayma Dalgası Hızının Mikrotremor Ölçümleriyle Belirlenmesi, ZM 9 Bildiriler Kitabı, İstanbul, (2002), s. 322-331.
- İZCANKURTARAN, Y., Adana ili Seyhan Nehri Sol Sahil (Yüreğir) Hidrojeolojik Etüdü, (Yüksek Lisans Tezi), Ç.Ü. Fen Bilimleri Enstitüsü, (2003).
- JOYNER, W.B., BOORE, D.M., Measurement, Characterization and Prediction of Strong Ground Motion. Earthquake Engineering and Soil Dynamics, 2. Recent Advances Ground Motion Evaluation, 43-102. (1988).
- KALAFAT, D., BAĞCI, G., Doğu Akdeniz Depremleri Jeofizik Toplantısı Bildiriler Kitabı, Adana, (2001), s. 36-43.
- KAPPULA, S.D., Discussion: Consolidation Parameters Derived From Index Tests Geotechnique, Vol 36, No. 2, pp. 291-292, (1986).
- KAPUR, S., SAYDAM, C., AKÇA, E., ÇAVUŞGİL, V.S., KARAMAN, C., ATALAY, İ., ÖZSOY, T., Carbonate Pools in Soils of The Mediterranean: A Case Study From Anatolia, In: R. Lal, J.M. Kimble, B.A. Stewart Global Climate Change and Pedogenic Carbonates Lewis Publishers, (1998), s. 187-212.
- KARATHANASIS, A.D., HAJEK, B.F., Shrink-Swell Potential of Montmorillonitic Soils in Udic Moisture Regimes. Soil Sci. Soc. Am. J. 49, 159-166, (1985).
- KASAPOĞLU, E., Ankara Kenti Zeminlerinin Jeo-Mühendislik Özellikleri, Yerbilimleri, 9, 19-40. (1986).

- KAYABALI, K., Soil Liquefaction Evaluation Using Shear Wave Velocity, Geosound Yerbilimleri Dergisi, Sayı 27, 15-23, (1995).
- KAYABALI, K., Modelling of Seismis Hazard for Turkey Using the Recent Neotectonic Data, Engineering Geology, 63, 221-232, (2002).
- KAYABALI, K., Geoteknik Deprem Mühendisliği (Çeviri), Gazi Yayınevi, ANKARA, (2003), 697 s.
- KIREMIDJIAN, A.S., C. MORTGAT & H. SHAH, Stanford Seismic Hazard Analysis-STASHA, The John Blume Earthq. Engrg. Ctr., Stanford Univ., Stanford, CA., (1992).
- KOIKIS, G., SABATAKAKIS, N., Engineering Geological Environment of Athens, Greece. Bull. Eng. Geo and The Env. Vol. 59, Num. 2, s. 127-135, (2000).
- KRAMER, S.L., Geotechnical Earthquake Engineering, Prentice-Hall Publication, UK, (1996), 624 s.
- KUMSAR, H., ÇELİK, S.B., KAYA, M., Süleyman Demirel Üniversitesi, Müh.-Mim. Fak 20. Yıl Sempozyumu, Bildiri Özleri, ISPARTA, (2003), s. 269-270.
- LAMAN, M., YILDIZ, A. A., Çukurova Bölgesinde Yapılan Zemin ve Temel Etüdlerinden Bazı Uygulamalar, Akdeniz Zemin'96 Zemin Mekanığı ve Temel Mühendisliği Sergi ve Seminerleri Bildiri Kitabı, Antalya, (1996), s. 6-24.
- LAV, M.A., Eski İstanbul'da Zemin Büyütle Özellikleri, İMO Teknik Dergi, 2487-2504, Yazı 168, (2001).
- LEONARDS, G.A., Foundation Engineering, McGraw-Hill Book Company, New York, (1962), 1136 s.
- LOMNITZ, C., EPSTEIN, B., A Model for Occurrences of Large Earthquakes, Nature, 211 s. (1966).
- LUZI, L., PERGALANI, F., Applications of Statistical and GIS Techniques to Slope Instability Zonation, Soil Dynamics and Earthquake Engineering, 15, 2, pp. 83-94, (1996).
- MARINOS, P., BOUCKOVALAS, G., TSIAMBAOS, G., SABATAKAKIS, N., ANTONIOU, A., Ground Zoning Against Seismic Hazard in Athens, Greece, Engineering Geology, 62, 343-356, (2001).
- MCCORMACK, D.F, WILDING, L.P., Soil Properties Influencing Swelling in Canfield and Geeburg Soils. Soil Sci. Soc. Am. Proc. 39, 496-502, (1975).

- MIDORIKAWA, S., Prediction of Isoseismal Map in the Kanto Plain Due to Hypotetical Earthquake. *Journal of Structural Engineering*, 33B, 43-48, (1987).
- NAEIM, F., KELLY, J.M., Design of Seismic Isolated Structures, John Wiley & Sons Publication, (1999).
- NAGARAJ, F., MURTHY, B.R.S., Prediction of Preconsolidation Pressure and Recompression Index of Soils, *Geo. Tech. Journal, ASTM*, Vol 8, No. 4, pp. 199-202, (1985).
- NAS, B., BERKTAY, A., Coğrafi Bilgi Sistemleri (CBS) Kullanılarak Konya Kenti Yeraltı Suyu Sertlik Haritasının Oluşturulması, Coğrafi Bilgi Sistemleri Bilişim Günleri, Fatih Üniversitesi, www.cbs2004.fatih.edu.tr. (2001).
- NEFESLİOĞLU, A.H., TÜN, M., AZDİKEN, S., Eskişehir Yerleşim Yeri Zemin Türlerinin ve Sıvılaşma Potansiyelinin Konik Penetrasyon Testi İle Belirlenmesi, 54. Türkiye Jeoloji Kurultayı Bildiriler CD'si, ANKARA, (2001), 54-15.,
- NEUMANN, F., Earthquake Intensity and Related Ground Motion, Univ. Pres, Seattle, Washington, (1954).
- OHBA, S., TRAUMA, I., Dynamic Response Characteristics of Osaka Plain, Proc. Annual Meeting A.I.J., (1970).
- OHTA, Y., GOTO, N., Empirical Shear Wave Velocity Equations in Terms of Characteristics Soil Indices, *Earthquake Eng. and Structural Dynamics*, (6), 167-187, (1978).
- OLIVEIRA, C.S., Seismic Risk Analysis, Univ. of California, Report No. EERC 74-1, Berkeley, (1975).
- ONDRAŠÍK, R., MATYS, M., VISKUP, J., Engineering Geological Zoning and Seismic Microzoning, *Bulletin of the International Association of Engineering Geology*, 46, 89-92, (1992).
- O'NEILL, M.W., POORMOAYED, A.M., Methodology for Foundations on Expansive Soils. *Proc. Am. Soc. Civ. Eng., Journal Geotechnical Engineering Division*, 106, 1345-1467, (1980).
- ÖZAY, R., ERKEN, A., Tekrarlı Yük etkisinde Kalmış Düşük Plastisiteli Killi Zeminlerin Davranışı, Beşinci Ulusal Deprem Mühendisliği Konferansı Bildiriler CD'si, İstanbul, (2003).
- ÖZMEN, B., İstanbul ili İçin Deprem Senaryosu, *Türkiye Mühendislik Haberleri Dergisi*, 417, 23-28, (2002).

- ÖZTEMİR, F., NECİOĞLU, A., BAĞCI, G., Antakya ve Çevresinin Depremselliği ve Odak Mekanizması Çözümleri, Jeofizik, Cilt 14 (1-2), 87-102. (2000).
- PARKER, J.C., AMOS, D.F., RASTER, D.L., An Evaluation of Several Methods of Estimating Soil Volume Change. *Soil Soc. Am. J.* 41, 1059-1064, (1977).
- PERİNÇEK, D., GÜNEY, Y., KOZLU, H., Doğu ve Güneydoğu Anadolu Bölgesindeki Yanal Atımlı Faylar İle İlgili Yeni Gözlemler, Türkiye 7. Petrol Kongresi, ANKARA, (1987).
- RAMACHANDRAN, G., Extreme values theory and earthquake insurance, *Transactions of the 21st International Congress of Actuaries*, Switzerland, (1980), Vol 1, pp 337-353.
- RENDON-HERRERO, O., Universal compression index equation, JGE Division, ASCE, Vol 106, No. GT 11, 1179-1200, (1980).
- ROMEO, R., PACIELLO, A., RINALDIS, D., Seismic Hazard Map of Italy Including Site Effects, *Soil Dynamics and Earthquake Engineering* 20, 85-92, (2000).
- SABETTA, F., PUGLIESE, A., Attenuation of Peak Horizontal Acceleration and Velocity from Italian Strong Motion Records. *Bull. Seismol. Soc. Am.* 77, 1491-1513, (1987).
- SADIGH, K., CHANG, C.Y., EGAN, J.A., MAKDISI, F., YOUNGS, R.R., Attenuation Relationships for Shallow Crustal Earthquakes Based on California Strong Motion Data. *Seismol. Res. Lett.* 1, (68), 180-189, (1997).
- SCHMIDT, G.C., Stratigraphic Nomenclature For The Adana Region Petroleum District, 7. Petroleum Administration Bull., 6, Ankara, (1961), s. 47-63.
- SCHMIDT, E., A Non-destructive Concrete Tester. *Concrete* 59 (8), 34-35, (1951).
- SCHROEDER, W.L., DICKENSON, S.E., Soils in Construction, 4th Edition, Prentice-Hall Publishing, (1996), 317 p.
- SEED, H.B., IDRISI, I.M., Simplified Procedure for Evaluating Soil Liquefaction Potential, *Journal of the Soil Mechanics and Foundation Division*, ASCE, Vol. 97, No. 9, pp. 1249-1273, (1971).
- SHI B., JIANG H., LIU Z., FANG H.Y., Engineering Geological Characteristics of Expansive Soils in China, *Engineering Geology*, 67, 63-71, (2002).
- SOYSAL, H., SİPAHİOĞLU, S., KOLÇAK, D., ALTINOK, Y., Türkiye ve Çevresinin Tarihsel Deprem Kataloğu, Tübitak Yayınları, ANKARA, (1981).
- SRIDHARAN, A., PRAKASH, K., Mechanism Controlling the Shrinkage Limit of Soils, *Geotechnical Testing Journal* 10 (2), 80-85, (1986).

- SKEMPTON, A.W., BJERRUM, L., A Contribution To The Settlement Analysis of Foundations On Clays. *Geotechnique*, 7, 168-178, (1957).
- SHI, B., JIANG, H., LIU, Z., FANG, H.Y., Engineering Geological Characteristics of Expansive Soils in China. *Engineering Geology*, 67, 63-71, (2002).
- SIVAPULLAIAH, P.V., SITHARAM, T.G., RAO, K.S., Modified Free Swell Index for Clay. *Geotechnical Testing Journal, ASTM*, Vol 11, No. 2, p 80-85, (1987).
- SOYDEMİR, Ç., ÖZKAN, M.Y., Gevşek Kumlu Zeminlerin Sivilaşma Yönünden Değerlendirilmesi- Türkiye İçin Bir Taslak Şartname Önerisi, ZM 1 Ulusal Kongresi Bildiriler Kitabı, ANKARA, (1981), s. 177-188.
- ŞAHİNCİ, A., Doğal Suların Jeokimyası, Reform Matbaası, İZMİR, 1991, 548 s.
- ŞENER, E., ÖZÇELİK, M., Burdur Şehir Merkezinde Coğrafi Bilgi Sistemleri (CBS) Kullanılarak Yerleşime Uygunluk Haritasının Hazırlanması, Coğrafi Bilgi Sistemleri Bilişim Günleri Bildiriler Kitabı, İstanbul, (2001), 1-10.
- ŞİMŞEK, O., DALGIÇ, S., Düzce Ovası Killerinin Konsolidasyon Özellikleri ve Jeolojik Evrim İle İlişkisi, *Türkiye Jeoloji Bülteni*, 40 (2), 29-38. (1997).
- TEME, S.C., Liquefaction Potentials of a Sandy Substratum In The South- Eastern Lower Niger Delta of Nigeria, *Bull. of Int. Assoc. Eng. Geol*, 42, p. 85-94, (1990).
- TEPEUĞUR, E., KAPLAN, M., Hatay ve Çevresinin Depremselliği, *Jeofizik Bülteni*, 40, 20-24, (2002).
- TERİ, L., TEZCAN, S., Shear Propagation and Liquefaction in Layered Soils, *Türkiye Deprem Vakfı, TDV/DR 96-005*, (1996).150 s.
- TERZAGHI, K., PECK, R.B., *Soil Mechanics in Engineering Practice*, Wiley, NEW YORK, (1967), 729 s.
- THOMAS, P.J., Quantifying Properties and Variability of Expansive Soils in Selected Map Units, (Ph.D. Thesis), Virginia, (1998).
- TOPAL, T., DOYURAN, V., KARAHANOĞLU, N., TOPRAK, V., SÜZEN, M.L., YEŞİLNAÇAR, E., Microzonation for Earthquake Hazards: Yenişehir Settlement, Bursa, Turkey, *Engineering Geology*, 70, 93-108, (2003).
- TRIFUNAC, M.D., Empirical Criteria For Liquefaction in Sands Via Standard Penetration Tests And Seismic Wave Energy, *Soil Dynamics and Earthquake Engineering*, 14, p. 419-426, (1995).
- TSE 266, İçme Suları, 1. Baskı, TSE yayını, ANKARA, (1966), 42 s.

- TS 1901, İnşaat Mühendisliğinde Sonda Yolları İle Örselenmiş ve Örselenmemiş Numune Alma Yöntemleri, TSE yayını, ANKARA, (1975), 74 s.
- TS 1900, İnşaat Mühendisliğinde Zemin Laboratuar Deneyleri, TSE yayını, ANKARA, (1987), 153 s.
- TS 699, Tabii Yapıtaşları Muayene ve Deney Metotları, TSE yayımı, ANKARA, (1987), 83 s.
- TS 5744, İnşaat Mühendisliğinde Temel Zeminin Özelliklerinin Yerinde Ölçümü, TSE yayımı, ANKARA., (1988), 33 s.
- TSE 1500, İnşaat Mühendisliğinde Zeminlerin Sınıflandırılması, TSE Yayımı, ANKARA, (2000).
- TSIAMBAOS G., TSALIGOPOULOS C.H., A Proposed Method of Estimating The Swelling Characteristics of Soils: Some Examples From Greece, Bulletin of the International Association of Engineering Geology, 52, 109-115, (1995).
- ULUSAY, R., AYDAN, Ö., KUMSAR, H., SÖNMEZ, H., Engineering Geological Characteristics of The 1998 Adana-Ceyhan Earthquake, With Particular Emphasis On Liquefaction Phonomena And The Role of Soil Behaviour, Bull. Eng. Geo and The Env. Vol. 59, Num. 2, s. 99-118, (2000a).
- ULUSAY, R., AYDAN, Ö., KUMSAR, H., SÖNMEZ, H., TUNCAY, E., Türkiye'de Son Depremlerde Gözlenen Sıvılaşma Olgusu ve Batı Anadolu'da Sıvılaşma Potansiyeline Genel Bir Bakış, Batı Anadolu'nun Depremselligi Sempozyumu Bildiriler Kitabı, İZMİR. 2000b, s. 323-336
- ULUSAY, R., Uygulamalı Jeoteknik Bilgiler, JMO Yayın No: 38, ANKARA, 2001, 385 s.
- ULUSAY, R., AYDAN, Ö., ERKEN, A., KUMSAR, H., TUNCAY, E., KAYA, Z., Çay-Eber Depreminin Özellikleri ve Yerel Zemin Koşulları Açısından Değerlendirilmesi, Beşinci Ulusal Deprem Mühendisliği Konferansı Bildiriler CD'si, İstanbul, (2003), Bildiri No:AT-115.
- ULUSAY, R., TUNCAY, E., SONMEZ, H., GÖKÇEÖĞLU, C., An Attenuation Relationship Based on Turkish Strong Motion Data and Iso-acceleration Map of Turkey, Engineering Geology, 74, pp. 265-291, (2004).
- ULUTAŞ, E., ÖZER, M.F., GÜVEN, İ.T., Doğu Akdeniz Depremleri Jeofizik Toplantısı Bildiriler Kitabı, Adana, (2001), s. 103-121.
- VILLACIS, C., TUCKER, B., YEPES, H., KANEKO, F., CHATELAIN, J.L., Use of Seismic microzining for Risk Management in Quito, Ecuador, Engineering Geology, 46, 63-70, (1997).

- WELLS, D.L., COPPERSMITH, K.J., New Empirical Relationship Among Magnitude, Rupture Length, Rupture Width, Rupture Area and Surface Displacement. Bull. Seis. Soc. Amer., 84/4, 974-1002, (1994).
- WEI, B. Z., PEZESHK, S., CHANG, T. S., HALL, K. H., LIU, H. P., An Empirical Method to Estimate Shear Wave Velocity of Soils in the New Madrid Seismic Zone, Soil Dynamics & Earthquake Engineering, 15, 399-408, (1996).
- XEIDAKIS, G., KOUDOUMAKIS, P., TSIRAMBIDES, A., Road Construction on swelling Soils: The Case of Strymi Soils, Rhodope, Thrace, Northern Greece. Bull. Eng. Geol. Env., 63, p. 93-101, (2004).
- YALÇINKAYA, E., Bir Boyutlu Modeller İçin Zemin Büyüütmesine Etki Eden Parametrelerin İncelenmesi, İstanbul Univ. Müh. Fak. Yerbilimleri Dergisi, İSTANBUL, C. 17, S. 1, s. 47-56, (2004).
- YETİŞ, C., DEMİRKOL, C., Adana Basenin Batı Kesiminin Detay Jeoloji Etüdü, MTA Derleme Rapor No. 8037, Ankara, (1986), 187s.
- YILDIRIM, H., Şişme Basıncının Tespiti ve Emme Kapasitesi İle İlişkisi, İMO Teknik Dergi, Yazı 176, (2002), 2617-2625.
- YILDIRIM, S., Zemin İncelemesi ve Temel Tasarımı, Birsen Yayınevi, İstanbul, (2002), 466 s.
- YILDIRIM, M., ADATEPE, Ş., İstanbul-Küçükçekmece Yöresi Zemin Koşulları ve Yerleşime Uygunluk Açılarından Değerlendirilmesi, Zemin Mekanığı ve Temel Mühendisliği 9. Ulusal Kongresi Bildiriler Kitabı, Eskişehir, (2002), s. 89-99.
- YILMAZ, I., Köklüce Regülatörü-Erbaa HES Arasında Yapılması Planlanan Su Kanalı Güzergahındaki Killerde Oluşacak Şişmenin Yapı Üzerinde Yaratacağı Etkiler, 52. TJK Bildiriler Kitabı, ANKARA, (1999), s. 1- 8.
- YILMAZ, I., Evaluation of Shear Strength of Clayey Soils By Using Their Liquidity Index, Bull. Eng. Geol. Env., 59, 227-229, (2000a).
- YILMAZ, I., Mühendislik Jeolojisinde Alan Araştırması, Teknik Yayınevi, Ankara, (2000b), 216 s.
- YILMAZER, İ., SMITH, I., Yumuşakken ve Sertken Seviyelerinden Oluşan Kalışın Jeolojik ve Jeoteknik Özellikleri, Türkiye Jeoloji Kurultayı Bülteni, Sayı: 7, 145-152, (1992).
- YULE, D.F, RITCHIE, J.T., Soil Shrinkage Relationships of Texas Vertisols: 1 Small Cores. Soil Sci. Soc. Am. J. 44, 1285-1291, (1980).

EK – 1

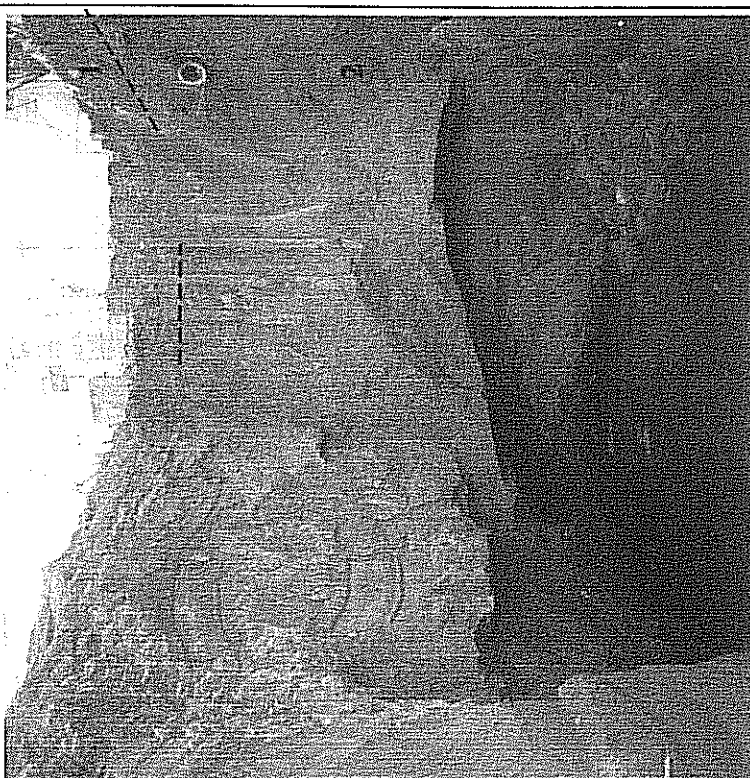
ARAŞTIRMA ÇUKURLARI

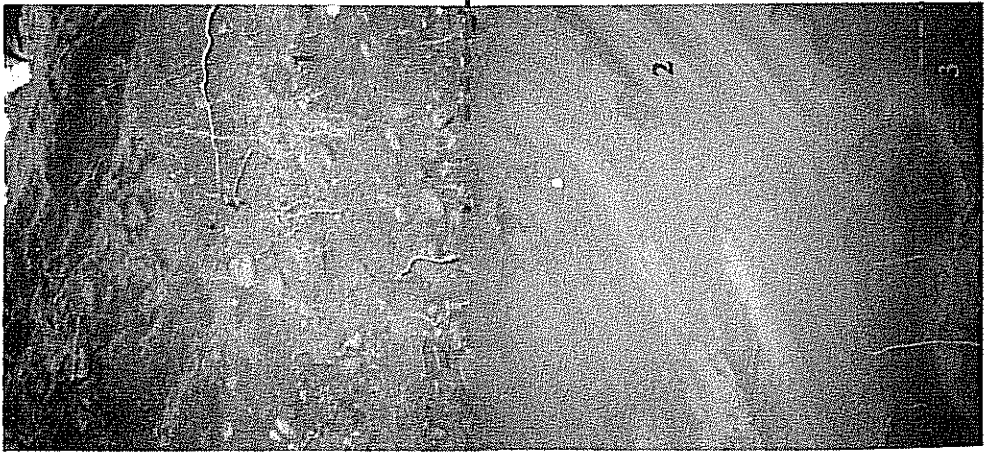
*Lokasyon AÇ I (A.Denir Spor Kulübü yanı)
(06701 D / 97783 K, 25 m kot)*

		<i>Derinlik (m)</i>	<i>Zemin Sınıfı</i>	<i>Zemin Tanımlama</i>
Seviye				
1	0 - 1.0	-	Dolgu zemin	
2	1.0 - 2.9	SM	Açık sarımsı kahverengi, kötü derecelenmiş karbonatlı sıltı kum.	$\gamma_n : 1.76 \text{ gr/cm}^3, \phi : 23^0, c : 0.03 \text{ kg/cm}^2$
3	2.9 - 7.5	CL	Koyu kahverengi sıltı kıl; kısmen plastik, nemli iken yapışkan, kuru iken sert; karbonatlaşma yaygın	$\gamma_n : 1.88 \text{ gr/cm}^3, \gamma_k : 1.52 \text{ gr/cm}^3, \phi : 4^0, c : 0.24 \text{ kg/cm}^2, e : 0.74, n : 42.57, LL : 38.4, PL : 22, PI : 16.4$
4	> 7.5	GW	Açık gri, grimsi kahverengi, iyi derecelemiş ve gevşek tutturulmuş taraça; taneler oldukça iyi yuvarlaklaşmış, karbonatlaşma yaygın.	

<i>Lokasyon AC 5 (Kurtuluş Mah.) (06730 D / 97197 K, 29 m kot)</i>	<i>Seviye</i>	<i>Derinlik (m)</i>	<i>Zeminin Sınıfları</i>	<i>Tanımlama</i>
1	1	0 - 1.5	-	Dolgu zemin
2	2	1.5 - 6.6	SM	Açık – grimsi kahverengi, üniform taneli, nemli iken dağılmayan ve yoğun, kireçsiz, organik madde içeriği siltli kum. $\gamma_n : 1.86 \text{ gr/cm}^3$, $\gamma_k : 1.53 \text{ gr/cm}^3$, $\phi : 18^0$, $c : 0.12 \text{ kg/cm}^2$, $e : 0.68$, $n : 40.33$
3	3	6.6 - 8.0	CL	Altıyyon kili; Koyu kahverengi, plastik, yoğun, az karbonatlı yağılı kıl. $\gamma_n : 1.82 \text{ gr/cm}^3$, $\gamma_k : 1.56 \text{ gr/cm}^3$, $\phi : 8^0$, $c : 0.26 \text{ kg/cm}^2$, $e : 0.74$, $n : 42.39$, LL: 42, PL: 20, PI: 22
4	4	> 8.0	GIP	Açık gri, grimsi kahverengi üst kısımlarda gevşek alta doğru iyi tutturulmuş ve sıkı, iyi derecelenmiş, kötü boylanmış, karbonatsız taraça malzemesi.

*Lokasyon AÇ 12 (Diamond Sağlık Merkezi Yam, Gazipaşa)
(06927 D / 97388 K, 23 m kat)*

<i>Seviye</i>	<i>Derinlik (m)</i>	<i>Zemin Sınıfı</i>	<i>Tanımlama</i>
1	0 - 0.5	-	Dolgu zemin
2	0.5 - 6.8	CL	<p>Altıyon kili; Koyu kahverengi, kısmen plastik, organik madde içeriği, karbonatsız siltli kil. Seviye içerisinde kum boyutu malzemelerin de bulunduğu ancak düzensiz bir dağılım sergilediği görülmektedir.</p> <p>$\gamma_h : 1.88 \text{ gr/cm}^3$, $\gamma_k : 1.54 \text{ gr/cm}^3$, $\phi : 40^\circ$, $c :$ 0.33 kg/cm^2, $e : 0.76$, $n : 43.02$, $LL : 47$, $PL : 22$, $PI : 45$</p> 

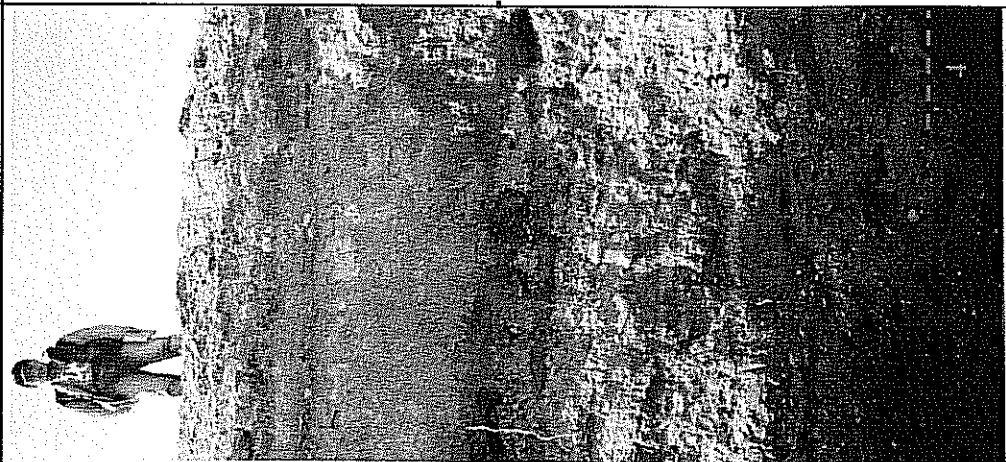
<i>Lokasyon AC 20 (Demirköprü) (07510 D / 98394 K, 14 m kot)</i>	<i>Sınıfı</i>	<i>Derinlik (m)</i>	<i>Zemin Sınıfı</i>	<i>Tanımlama</i>
				
	1	0 - 1.4	-	Dolgu zemin
	2	2.5 - 4.0	SM	Açık kahverengi, kötü derecelenmiş, nemli iken dağlımayan ve yoğun, üniform taneli, organik madde içeren, karbonatsız kum. $\gamma_n : 1.78 \text{ gr/cm}^3$, $\gamma_k : 1.50 \text{ gr/cm}^3$, $\phi : 23^0$, $c : 0.14 \text{ kg/cm}^2$, $e : 0.81$, $n : 44.60$
	3	> 4.0	CL	Koyu kahverengi, plastik, organik madde içeriği, kuru iken dağılgan, kumlu-siltli kıl. $\gamma_n : 1.92 \text{ gr/cm}^3$, $\gamma_k : 1.60$ gr/cm^3 , $\phi : 12^0$, $c : 0.21 \text{ kg/cm}^2$, $e : 0.69$, $n : 40.74$, $LL : 46$, PL : 22, PI : 24

*Lokasyon AÇ 21 (DGM, Kurtuluş Mah.)
(06138 D / 97342 K, 30 m kot)*

<i>Seviye</i>	<i>Derinlik (m)</i>	<i>Zemin Sınıfı</i>	<i>Tanımlama</i>
1	0 - 3.4	CL	<p>Altıyon kili; Koyu kahverengi, kısmen plastik, organik madde içerikli, karbonatsız siltli kili. $\gamma_n : 1.89 \text{ gr/cm}^3$, $\gamma_k : 1.59 \text{ gr/cm}^3$, $c: 0.23$ kg/cm^2, $e: 0.70$, $n: 41.08$, $LL: \% 48$, $PL: \% 20$, $PI: 28$</p>
2	3.4 - 4.5	CH	<p>Altıyon kili; Koyu kahverengi, plastik kıvanda, nemli, kuruluken sert ve dayanıklı, iri-orta çakıl boyutu malzeme de içeren, taze yüzeyleri parlak, karbonatlı altıyon kili. Birim çerisinde güncel organizma kalıntıları ve kavukları bulunmakta. $\gamma_n : 1.92 \text{ gr/cm}^3$, $\gamma_k : 1.57 \text{ gr/cm}^3$, $c: 0.92$ kg/cm^2, $e: 0.69$, $n: \% 40.89$, $LL: \% 62$, $PL: 26$, $PI: \% 36$</p>

*Lokasyon AC 23 (M.Akif Ersoy)
(12737 D / 98621 K, 38 m krl)*

<i>Sınıfı</i>	<i>Derinlik (m)</i>	<i>Zemin Tipi</i>	<i>Şıra Tarama</i>
1	0 - 1.5	-	Dolgu zemin
2	1.5 - 2.2	SW	Açık – grimsi kahverengi, iyi derecelenmiş, gevşek, organik madde ve çakılı içeren, karbonatsız siltli kum. $\gamma_n : 1.89 \text{ gr/cm}^3$, $\gamma_k : 1.47 \text{ gr/cm}^3$, $\phi : 23^0$, $c : 0.11 \text{ kg/cm}^2$, $e: 0.82$, $n: \% 44.99$
3	2.2 - 4.2	GM	Koyu kahverengi, bol organik madde içeriği, kuru iken dağılgan, gevşek tutturılmış kumlu- killi çakıl. $\gamma_n : 2.01 \text{ gr/cm}^3$, $\gamma_k : 1.66 \text{ gr/cm}^3$, $\phi : 28^0$, $c : 0.03 \text{ kg/cm}^2$, $e: 0.62$, $n: \% 38.12$
4	> 4.6	CL	Koyu kahverengi, nemli, yoğun, kısmen plastik, organik madde içeriği az çakılı-kumlu alüvyon kili.



Lokasyon AC 25 (Kazın Karabekir Mah.) (09218 D / 98506 K, 8 m kot)				Seviye	Derinlik (m)	Zemin Sınıfı	Tanımlama	
	1	0 - 2.2	SC	Açık kahverengi, yoğun ve kısmen siki, organik madde içeriği, karbonatsız çakılı ara seviyeler içeren killi kum. $\gamma_n : 1.93 \text{ gr/cm}^3$, $\gamma_k : 1.52 \text{ gr/cm}^3$, $c: 0.09 \text{ kg/cm}^2$, $\phi : 26.5^0$, $e: 0.69$, n: % 40.97, LL: % 32, PL: % 18, PI: 14				
	2	2.2 - 4.5	CL	Koyu kahverengi, plastik kıvamda, kuru iken sert ve dayanıklı, ince-orta çakılı boyutu malzeme içeren, taze yüzeyleri parlak, karbonatlı alüvyon killi. Birim içerisinde güncel organizma kalıntıları ve kavukları bulunmaktadır. $\gamma_n : 1.86 \text{ gr/cm}^3$, $\gamma_k : 1.52 \text{ gr/cm}^3$, $c: 0.84 \text{ kg/cm}^2$, $e: 0.76$, n: % 43.11, LL: % 48.8, PL: % 24, PI: 24.8				

*Lokasyon AÇ 26 (Kıyı boyu, kanal kenarı)
(05261 D / 98668 K, 23 m kot)*

<i>Seviye</i>	<i>Derinlik (m)</i>	<i>Zemin</i>	<i>Sınıfı</i>	<i>Tanımlama</i>
1	0.0 - 0.4	-	Dolgu zemin	
2	0.4 - 1.7	GP		Açık kahverengi, gevşek, kötü derecelenmiş, dağılgan kumlu çakıl, $\gamma_n : 1.96 \text{ gr/cm}^3$, $\gamma_k : 1.78 \text{ gr/cm}^3$, $\phi : 33^\circ$, $e : 0.53$, $n : \% 34.85$
3	1.7 - 3.0	CL		Koyu kahverengi, plastik, taze yüzeyleri parlaklık, nemli iken yapışkan, kuru iken sert, karbonatsız, organik malzeme içeren kil, $\gamma_n : 1.87 \text{ gr/cm}^3$, $\gamma_k : 1.66 \text{ gr/cm}^3$, $c : 0.44 \text{ kg/cm}^2$, $e : 0.62$, $n : \% 38.44$, $LL : \% 40.2$, $PL : \% 18.4$, PI: 21.8
4	> 4.1	GW		Açık kahve, grimsi kahverengi, iyi derecelenmiş ve gevşek tutturulmuş taraça, taneler oldukça iyi yuvarlanılmış, karbonatlaşma yaygın.



Lokasyon AÇ 29 (Kıpyı boyu caddesi)
(01018 D / 98123 K, 23 m kot)

<i>Sınıfı</i>	<i>Derinlik (m)</i>	<i>Zemin Sınıfı</i>	<i>Tanımlama</i>
1	0 - 0.9	"	Grimsi açık kahverengi, kum ve çakıl boyutu malzeme içeren, gevşek malzeme.
2	0.9 - 3.0	CL	Koyu kahverengi, plastik, nemli, organik madde içerkili, ince çakılı, karbonatsız kumlu-siltli kil. $\gamma_n: 1.91 \text{ gr/cm}^3$, $\gamma_k: 1.51 \text{ gr/cm}^3$, $c: 0.91 \text{ kg/cm}^2$, $e: 0.78$, $n: \% 43.97$, $LL: \% 44.2$, PL: % 21, PI: 23.8

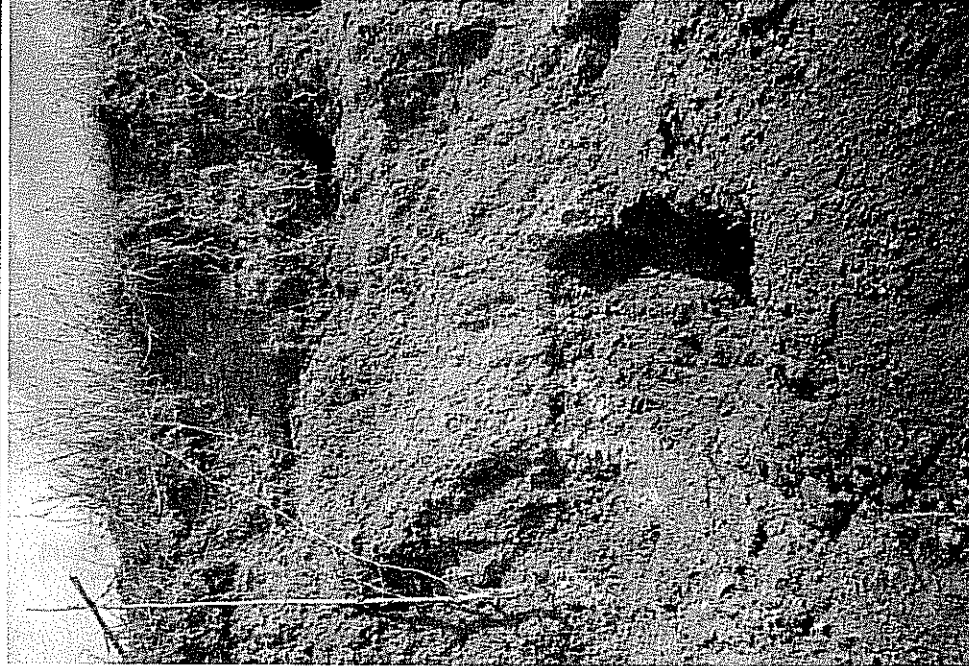
*Lokasyon AC 8 (Yurt Mah.)
(03493 D / 01349 K, 72 m kot)*

<i>Seviye</i>	<i>Derinlik (m)</i>	<i>Zemin Sınıfı</i>	<i>Tanımlama</i>
1	0 - 0.8	-	Dolgu malzeme Açık-sarımsı kahverengi, bol karbonatlı, karbonatlı kesimlerden dolayı beyaz benekli görünün, nemli iken dağılan, seviyeler halinde çakıl boyutu malzeme içeren kaliş;
2	0.8 - 4.3	-	$\gamma_n : 1.76 \text{ gr/cm}^3$, $\gamma_k : 1.53 \text{ gr/cm}^3$, $c: 0.16$ kg/cm^2 , $\phi: 19^0$, $e: 0.72$, $n: \% 41.81$
3	4.3 - 8.5	GW	Gri-kahverengi, üst kısımları ayırtmış ve gevşek, derine doğru iyi tutturulmuş, iri çakıl-blok boyutu malzeme hakim, kısmen iyi derecelenmiş, sıkı taraşa; $\gamma_n : 2.26 \text{ gr/cm}^3$, $\gamma_k : 1.52 \text{ gr/cm}^3$, $c: 0.15$ kg/cm^2 , $\phi: 24.5^0$, $e: 0.38$, $n: \% 27.50$,

<i>Lokasyon AC 11 (Huzurevleri Mah.) (02405 D / 02653 K, 116 m kot)</i>	<i>Seviye</i>	<i>Derinlik (m)</i>	<i>Zemin Sınıfı</i>	<i>Tanımlama</i>
	1	0 - 1.0	-	Koyu-kırılı kahverengi, oldukça çeşitli tane boyuna sahip malzeme içeren yüzey örtüsü.
	2	1.0 - 6.0	-	Ayrışmış yüzeyi gri-krem, taze yüzeyi koyu kahverengi, ayrışmış kaya özelliğini gösteren, kuru iken sert ve dayanıklı, bol karbonatlı kaliş. Birim içerisinde çakıl boyutu malzeme de yer alıyor; $\gamma_n : 1.94 \text{ gr/cm}^3$, $\gamma_k : 1.76 \text{ gr/cm}^3$, $c: 0.30 \text{ kg/cm}^2$, $\phi: 18.5^0$, $e: 0.53$, $n: \% 34.44$

*Lokasyon AC 13 (Mavi Bulvar, Kırırmızı Eşler)
(01415 D / 00248 K, 55 m kot)*

<i>Serviye</i>	<i>Derinlik (m)</i>	<i>Zemin Sınıfı</i>	<i>Tanımlama</i>
1	0 - 0.9	-	Çakılı-kumlu, organik madde içeriği kaliş toprağı.
2	0.9 - 4.0	CH	<p>Sütlü kahverengi, bol karbonatlı, karbonatlı kesimlerden dolayı beyaz benekli görünen, nemli, oldukça ayırmış, toprak özelliği gösteren kaliş;</p> <p>$\gamma_n: 1.73 \text{ gr/cm}^3$, $\gamma_k: 1.43 \text{ gr/cm}^3$, c: 0.11 kg/cm^2, $\phi: 14.6^0$, e: 0.88, n: % 46.74, LL: % 61, PL: % 24.18, PI: 36.82</p>



<i>Lokasyon AC 14 (Yeşiloba, Kazilkum)</i> <i>(00886 D / 00671 K, 64 m kot)</i>	<i>Seviye</i>	<i>Derinlik (m)</i>	<i>Zemin Sınıfı</i>	<i>Tanımlama</i>
	1	0.0- 0.30	-	Organik madde içeren bitkisel toprak
	2	0.3 - 3.0	ML	Kamuflaj desenli, beyaz-açık kahverengi, karbonat yumrulu, sert ve yoğun, ayrılmaya bağlı olarak toprak özelliği gösteren kalis; $\gamma_n: 1.79 \text{ gr/cm}^3$, $\gamma_k: 1.43 \text{ gr/cm}^3$, $c: 0.36 \text{ kg/cm}^2$, $\phi: 13.3^0$, $e: 0.88$, $n: \% 46.74$, LL: % 42.3, PL: % 28.5, PI: 13.8 .



*Lokasyon AC 28 (Mavi Bulvar sonu, doğu)
(01044 D / 00270 K, 54 m kot)*

<i>Seriye</i>	<i>Derinlik (m)</i>	<i>Zemin Sınıfı</i>	<i>Tanımlama</i>
1	0 - 1.5	-	Dolgu zemin
2	1.5 - 2.0	-	Koyu kahverengi, organik madde içerikli, az karbonatlı, çakılı sıltlı kil. KD'ya doğru $3-5^{\circ}$ eğimle yer alıyor
3	2.0 - 4.0	CL	Açık-sarımsı kahverengi, kısmen pekleşmiş, kuru, karbonatlı kil (kalış). $\gamma_n: 1.79 \text{ gr/cm}^3$, $\gamma_k: 1.55 \text{ gr/cm}^3$, $c: 0.55$ kg/cm^2 , $\phi: 16^{\circ}$, $e: 0.73$, $n: \% 42.32$, $LL: \%$ 32.4, $PL: \% 18$, $PI: 14.4$

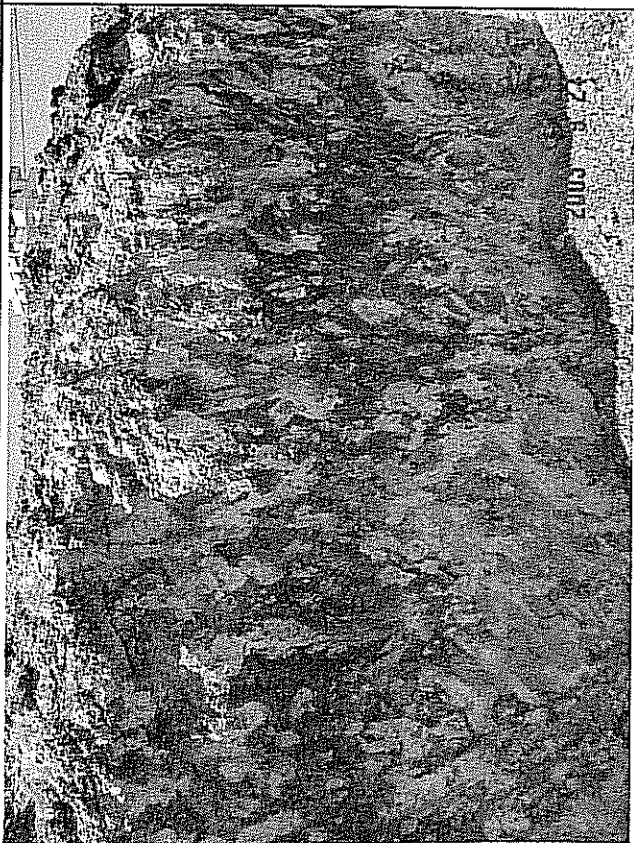


*Lokasyon AÇ 41 (Metropol Hastanesi, M.Kemal Paşa Bulvarı)
(06043 D / 98054 K, 22 m kot)*

<i>Seviye</i>	<i>Derinlik (m)</i>	<i>Zemin Sınıfı</i>	<i>Tanımlama</i>
1	0.0 - 0.5	-	Dolgu zemin
2	0.5 - 1.2	CL	Koyu kahverengi, plastik, taze yüzeyleri parlak, karbonatsız, organik malzeme içeren kil, $\gamma_n: 1.87 \text{ gr/cm}^3$, $\gamma_k: 1.66 \text{ gr/cm}^3$, $c: 0.38 \text{ kg/cm}^2$, $e: 0.61$, $n: \% 37.79$, $LL: \% 38.15$, $PL: \% 21.8$, $PI: 16.35$
3	1.2 - 5.5	GW	Açık – sarımsı kahverengi, iyi derecelmiş tıst kısımları gevşek tutturulmuş taraça; taneler oldukça iyi yuvarlaklanmış, karbonatlaşma ve kum mercekleri yaygın.

*Lokasyon AÇ 43 (Huzurevleri Mah.)
(03552 D / 01164 K, 68 m kot)*

<i>Seviye</i>	<i>Derinlik (m)</i>	<i>Zemin Sınıfı</i>	<i>Tanımlama</i>
1	0.0 - 4.0	CL	Kamufajlı desenli, karbonatlı kısımları beyaz, killi kısımları koyu kahverengi, oldukça ayrışmış, yoğun, kısmen organik malzeme içeren kalıç. $\gamma_n: 1.81 \text{ gr/cm}^3$, $\gamma_k: 1.66 \text{ gr/cm}^3$, $c: 0.38 \text{ kg/cm}^2$, $\phi: 5^\circ$, $e: 0.65$, $n: \% 39.25$, $LL: \% 52$, $PL: \% 27.6$, $PI: 24.4$ (kivam limitleri killi kesimden alınan örnekler üzerinde yapılmıştır)



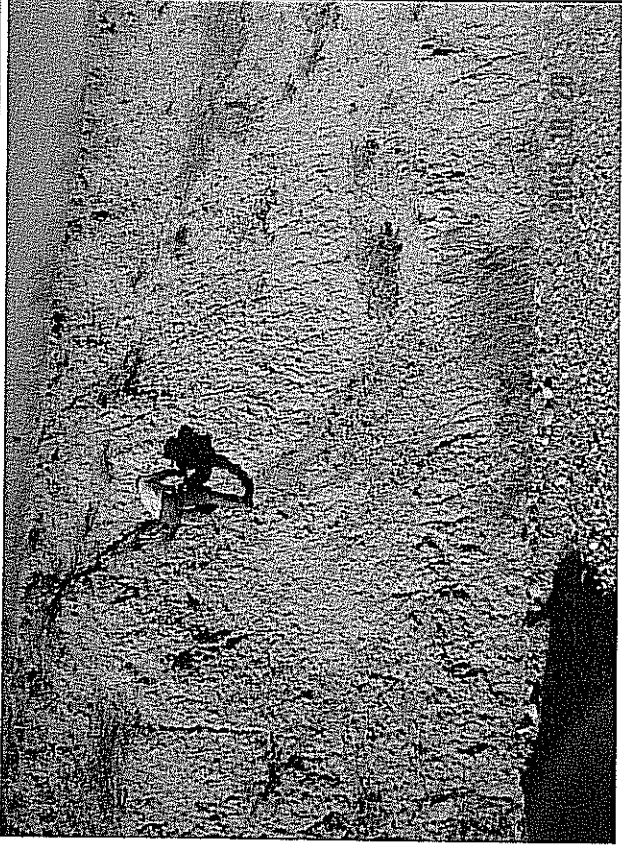
Lokasyon AC 50 (Çatalan köprüsü yakını)
(01417 D / 04852388 K, 70 m kot)

		Derinlik (m)	Zemin	
	Seviye	Sınıfı	Tanımlama	
	1	0 - 0.5	-	Nebati toprak örtüsü
	2	0.5 - 6.5	ML	Handere kili; Açık-sarımsı kahverengi, üniform taneli, kışmen pekleşmiş ve yoğun, kuru, karbonatsız killi silt. $\gamma_n: 2.02 \text{ gr/cm}^3$, $\gamma_k: 1.92 \text{ gr/cm}^3$, $c: 0.17$ kg/cm^2 , $\phi: 19.7^\circ$, $e: 0.37$, $n: \% 26.91$, $LL: \% 40.4$, $PL: \% 24.6$, $PI: 15.8$

*Lokasyon AC 53 (75. Yıl Cumhuriyet Ormanı arazisi)
(01365 D / 04385 K, 84 m kot)*

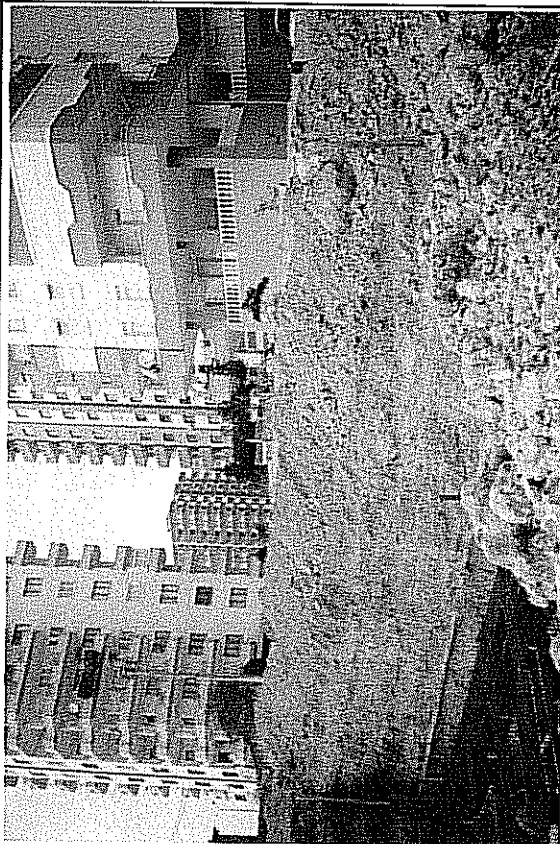
<i>Seviye</i>	<i>Derinlik (m)</i>	<i>Zemin Sınıfı</i>	<i>Tanımlama</i>
1	0.0 - 6.0	CH	<p>Handere kili; Üst kısımları bol organik malzeme içeren, açık-sarımsı kahverengi, nemli iken dağılgan, plastik, çok az silt içeren kil; $\gamma_n: 1.99 \text{ gr/cm}^3$, $\gamma_k: 1.83 \text{ gr/cm}^3$, c: 0.38 kg/cm^2, e: 0.45, n: % 30.81, LL: % 56.5, PL: % 25, PI: 31.5</p> 

*Lokasyon AÇ 55 (75. Yıl Cumhuriyet Ormanı arazisi)
(01095 D / 04636 K, 60 m kot)*

<i>Sınıfı</i>	<i>Derinlik (m)</i>	<i>Zemin Sınıfı</i>	<i>Tanımlama</i>
1	0.0 - 9.5	CH	<p>Handere kili;</p> <p>Üst kısımları bol organik malzeme içeren, açık-sarımsı kahverengi, bei renkli, nemli iken dağılgan, plastik, plastik kili; birim içerisinde bol miktarda kavaklı izleri ve parçaları bulunmaktadır;</p> <p>$\gamma_h: 1.70 \text{ gr/cm}^3$, $\gamma_k: 1.61 \text{ gr/cm}^3$, $c: 0.74 \text{ kg/cm}^2$, e: 0.61, n: % 37.99, LL: % 50, PL: % 21.5, PI: 28.5</p> 

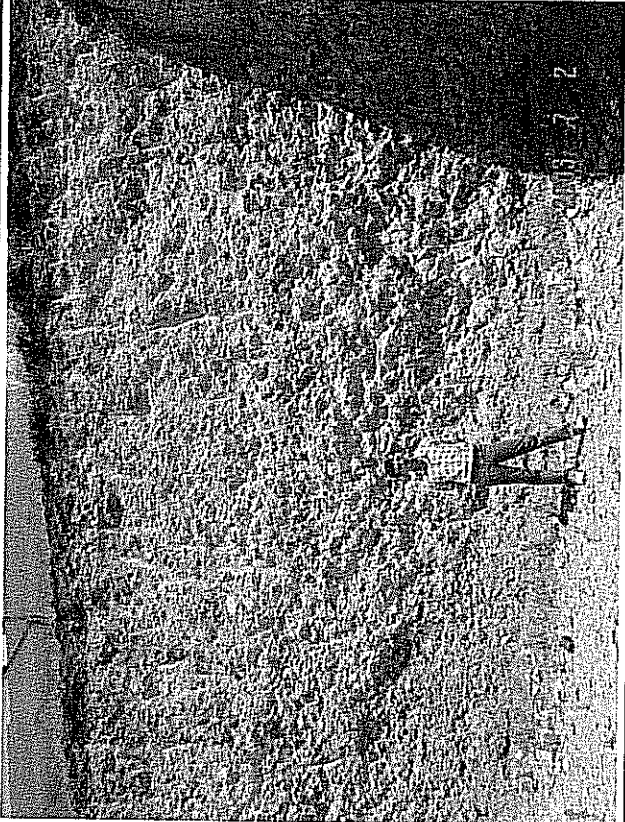
**Lokasyon AÇ 15 (Kurttepe Kanyonu)
(02060 D / 02854 K, 1.122 m høy)**

<i>Sevye</i>	<i>Derinlik (m)</i>	<i>Zemin Sınıfı</i>	<i>Tanımlama</i>
1	0.5 - 5.5	Kaya	Gri, açık kahverenkli, üst kısımları daha gevşek tutturulmuş, iyi derecelenmiş, iyi yuvarlaklanmış, iri blok boyutu malzeme ve kum ara bantları içeren, alt seviyelerde daha iyi tutturulmuş, kaya özelliği gösteren taraçalar. $\gamma_k : 2.21 - 2.34 \text{ gr/cm}^3$, $\gamma_d : 2.34 - 2.60 \text{ gr/cm}^3$, UCS: 2.38 - 3.40 MPa.



<i>Lokasyon AC 16 (Mavi Bulvar) (00526 D / 00083 K, 60 m kot)</i>	<i>Derinlik (m)</i>	<i>Zemin Sınıfı</i>	<i>Tanımlama</i>
			
1	0 - 0.5	-	Gevşek, çakılı dolgu zemin
2	0.5 - 1.2	CL	Açık – grimsi kahverengi, ince çakılı ve kumlu, organik madde içeren, kuru iken dağılgan, karbonatlı kaliş; $\gamma_n : 1.62 \text{ gr/cm}^3$, $\gamma_k : 1.37 \text{ gr/cm}^3$, $\phi : 19.6^0$, $c : 0.38 \text{ kg/cm}^2$, $e : 0.92$, $n : \% 47.89$, $LL : \% 32.2$, $PL : \% 17.4$, $PI : 14.8$
3	1.2 - 2.0	CH	Koyu kahverengi, bol organik madde içeriği, kuru iken dağılgan, nemli iken yapışkan, plastik, karbonatsız, çok az çakılı boyutlu malzeme içeren kil; $\gamma_n : 1.91 \text{ gr/cm}^3$, $\gamma_k : 1.62 \text{ gr/cm}^3$, $c : 0.63 \text{ kg/cm}^2$, $e : 0.67$, $n : \% 40.13$, $LL : \% 56$, $PL : \% 28.4$, $PI : 27.6$
4	2.0 - 4.0	ML	Açık – grimsi kahverengi, ince çakılı ve kumlu, organik madde içeren, üst seviyeye göre daha sert ve karbonatlı kaliş; $\gamma_n : 1.71 \text{ gr/cm}^3$, $\gamma_k : 1.47 \text{ gr/cm}^3$, $\phi : 15.1^0$, $c : 0.22 \text{ kg/cm}^2$, $e : 0.83$, $n : \% 45.50$, $LL : \% 44.6$, $PL : \% 26.2$, $PI : 18.4$

Lokasyon AC 36 (Yurt Mahallesı)
(04008 D / 01733 K, 73 m kot)

<i>Serviye</i>	<i>Derinlik (m)</i>	<i>Zemin Sınıfı</i>	<i>Tanımlama</i>
1	0.0 - 0.4	-	Koyu kahverengi, oldukça ayırmış, organik madde içerkili toprak.
2	0.4 - 7.0	Kaya	<p>Taraça;</p> <p>Gri renkli, üst kısımları daha gevşek tutturulmuş, iyi derecelenmiş, iyi yuvarlanılmış, iri blok boyutu malzeme (maks. 28 cm) ve kum bantları içeren tutturulmuş taraça.</p> <p>$\gamma_k : 2.41 - \text{gr/cm}^3$, $\gamma_d : 2.54 \text{ gr/cm}^3$,</p> <p>UCS: 4.00 - 7.06 MPa,</p> 

*Lokasyon AÇ 38 a (100. Yıl Mah, Carrefour İstü)
(00207 D / 02013 K, 97 m kot)*

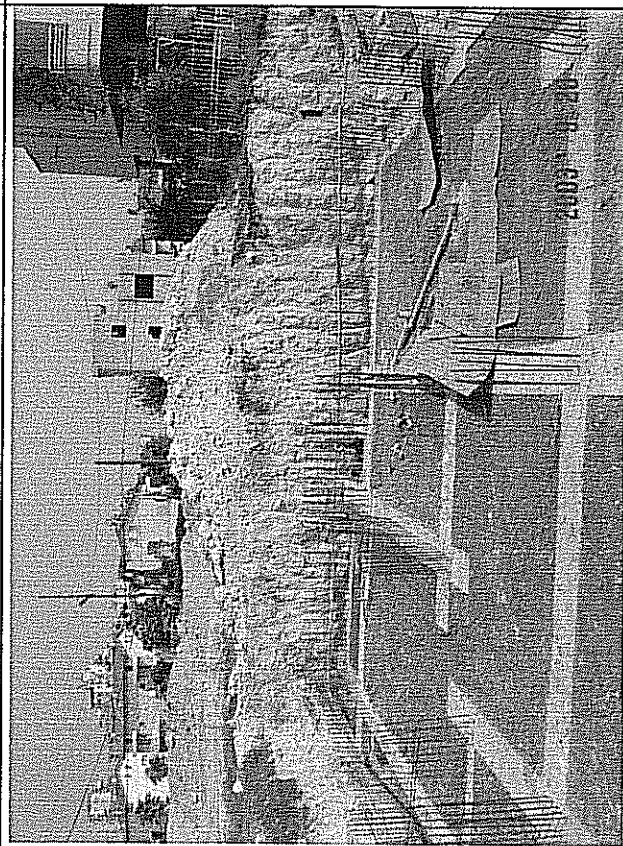
<i>Seviye</i>	<i>Derinlik (m)</i>	<i>Zemin</i>	<i>Sınıfı</i>	<i>Tammlama</i>
1	0.0 - 5.0	CL		Kalış; Koyu kahverengi kıl içerkili, açık – beyazimsı kahverengi karbonat yumruğu, karunflaj desenli, kuru ve dağılgan, kısmen çakıl boyu malzeme de içeren yumuşak kaliş. $\gamma_n : 1.96 \text{ gr/cm}^3$, $\gamma_k : 1.73 \text{ gr/cm}^3$, $\phi : 8^0$, $c : 0.43$ kg/cm^2 , $e : 0.51$, n. % 33.93, LL: % 41.1, PL: % 18.6, PI: 22.5

*Lokasyon AÇ 46 (Seyhan İlköğretim Okulu)
01058 D / 01524 K, 73 m kot*

<i>Seviye</i>	<i>Derinlik (m)</i>	<i>Zemin Sınıfı</i>	<i>Tanımlama</i>
1	0.0 - 1.0	Kaya	Açık kahverengi, toprağımsı görünümde, masif karbonat kabuk (sert kaliş); $\gamma_k : 1.92 \text{ gr/cm}^3$, $\gamma_d : 2.01 \text{ gr/cm}^3$, UCS: 1.96 MPa.
2	1.0 - 3.3	-	Kamuflaj desenli, beyaz karbonat yumruları içeren, ayırmış, kuru iken kolay dağılan kaliş (kılıf kaliş) $\gamma_n : 1.87 \text{ gr/cm}^3$, $\gamma_k : 1.68 \text{ gr/cm}^3$, $c: 0.31 \text{ kg/cm}^2$, $\phi : 25.25^\circ$, $e: 0.59$, $n: \% 37.21$
3	3.3 - 4.0	- (döküntü)	Açık kırmızımsı kahverengi, tamamen toprak özelliginde, kuru, ayırtma ıürünü kaliş toprağı.

*Lokasyon AÇ 47 (Belediye Eşleri Mah.)
(00805 D / 02769 K, 123 m kot)*

<i>Seviye</i>	<i>Derinlik (m)</i>	<i>Zemin</i>	<i>Sınıfı</i>	<i>Tanımlama</i>
1	0.0 - 4.0	Kaya		Kalis; Kirli beyaz-krem renkli, üst kısımları oldukça ayrılmış ve okside olmuş, alta doğru daha masif ve yoğun, kuru, karbonat kabuk (kaliş); $\gamma_k : 1.97 \text{ gr/cm}^3$, $\gamma_d : 2.06 \text{ gr/cm}^3$, UCS: 2.20 MPa.



*Lokasyon AC 48 (Ordu evi güneyi)
(06352 D / 01886 K, 63 m kot)*

<i>Seviye</i>	<i>Derinlik (m)</i>	<i>Zemin Sınıfı</i>	<i>Tanımlama</i>
1	0.0 - 0.5	-	Koyu kahverengi, oldukça ayırtılmış, organik madde içерikli, gevşek taraça.
2	0.5 - 9.5	Kaya	Taraça; Gri renkli, üst kısımları daha gevşek tutturulmuş, iyi derecelenmiş, iyi juvarlaklanmış, içi blok boyutu malzeme ve kum ara bantları içeren taraça $\gamma_k : 2.45 \text{ gr/cm}^3$, $\gamma_d : 2.51 \text{ gr/cm}^3$, UCS: 2.40-4.29 MPa,

Lokasyon AÇ 51 (Zahit Akdağ Bulvarı, dere içi)
(01297 D / 02266 K, 97 m kot)

<i>Seviye</i>	<i>Derinlik (m)</i>	<i>Zemin</i>	<i>Sınıflı</i>	<i>Tanımlama</i>
1	0.0 - 1.5	-	Dolgu malzeme.	
2	1.5 - 4.5	-	Kalış; Kamuflaj desenli, k.kahve-kurmuzumsı kahverengi, iri çakıl-blok boyutu malzeme içeren, sert zemin özelliği gösteren kalış. $\gamma_n : 1.94 \text{ gr/cm}^3$, $\gamma_k : 1.71 \text{ gr/cm}^3$, c: 0.12, ϕ : 23.2°, e: 0.52, n: % 34.09	



*Lokasyon AC 54 (Kurtepe, Esentepe Mevkii)
(01297 D / 03764 K, 140 m kot)*

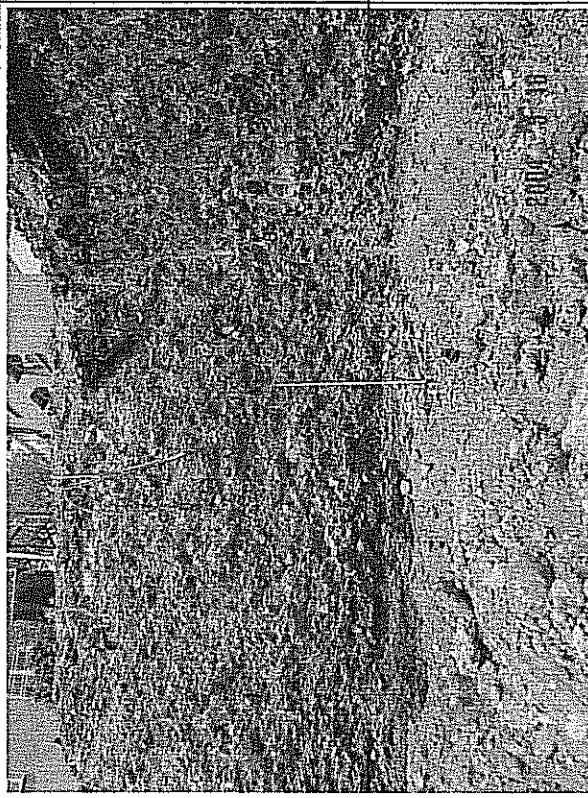
<i>Sınıfı</i>	<i>Derinlik (m)</i>	<i>Zemin Sınıfı</i>	<i>Tanımlama</i>
1	0.0-1.0	-	Ayrışarak topraklaşmış, organik malzeme içeren kili malzeme
2	1.0 - 1.7	-	Açık kırmızımsı kahverengi, nemli, organik madde içeren, oldukça ayırtmış, kısmen de karışmış tabaklı kıl.
3	1.7 - 4.0	CH	Açık grimsi kahverengi, kısmen karbonatlaşmış, yer yer silt içeren, oldukça sert tabaklı kıl (kılıkçı); $\gamma_n: 1.95 \text{ gr/cm}^3$, $\gamma_e: 1.67 \text{ gr/cm}^3$, $c: 1.01 \text{ kg/cm}^2$, $e: 0.74$, $r_i: \% 44.50$, $LL: \% 58.6$, $PL: \% 21.1$, $PI: 37.5$

*Lokasyon AÇ 61 (Real Güneyi)
(00143 D / 98558 K, 34 m kot)*

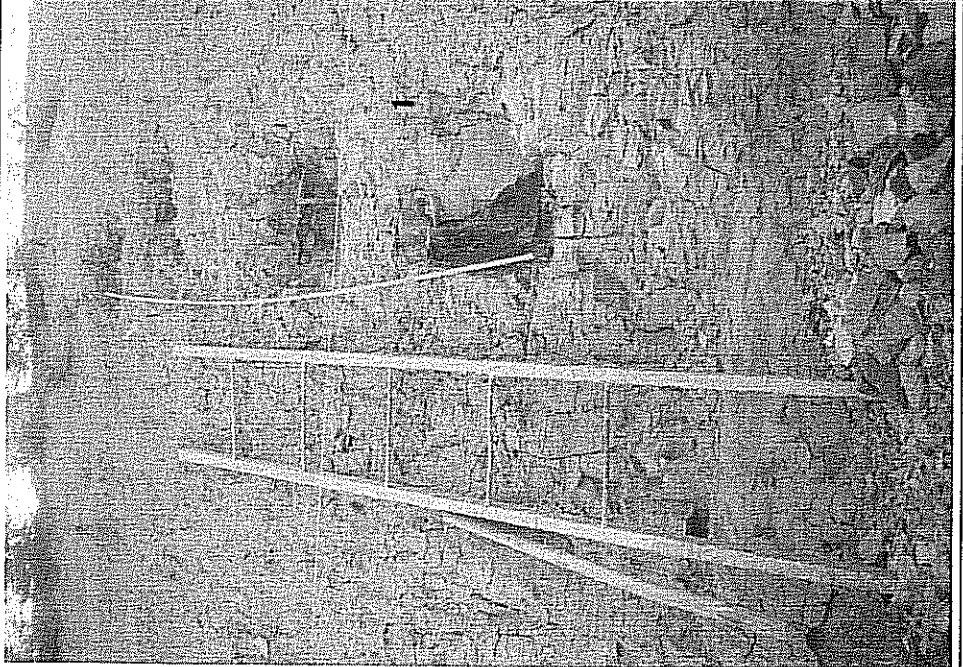
		<i>Derinlik (m)</i>	<i>Zemin Sınıfı</i>	<i>Tanımlama</i>
	Seviye			
1	0.0-0.5	-		Killi nebatı örtü malzeme
2	0.5 - 2.2	-		Açık kahverengi, nemli, kum içeren kil.
3	2.2 - 4.5	CH		K.Kahverengi, plastik, nemli iken yapışkan, giincel organizma kavaklı içeren yağlı kil. $\gamma_n : 1.76 \text{ gr/cm}^3$, $\gamma_k : 1.49 \text{ gr/cm}^3$, c: 1.52 kg/cm ² , e: 0.78, n: % 43.91, LL: % 62.2, PL: % 28.4, PI: 33.8
4	4.5-> 6.0	CL		Açık kahverengi, beyaz karbonat benekleri içeren, yer yer çakıl ve kum boyutu malzeme içeren karbonatlı kil, $\gamma_n : 1.85 \text{ gr/cm}^3$, $\gamma_k : 1.57 \text{ gr/cm}^3$, c: 1.01 kg/cm ² , e: 0.71, n: 41.60, LL: % 48.6, PL: % 19.6, PI: 29.0

*Lokasyon AÇ 62 (Hastaneler Caddesi)
(06210 D / 99594 K, 42 m kot)*

		<i>Derinlik (m)</i>	<i>Zemin Sınıfı</i>	<i>Tanımlama</i>
<i>Seviye</i>				
1	0 - 0.8	-	K.kahverengi, plastik, kum boyu karbonat taneleri içeren alüyon kili.	
2	0.8 - 6.5	GW	<p>Taraça; Açık-koyu kahverengi, iyi derecelenmiş, üst seviyeleri daha gevşek tutturulmuş, kum ara bantları içeren taraça;</p> <p>Kum bandı</p>	<p>$\gamma_n : 2.04 - 2.44 \text{ gr/cm}^3$, $\gamma_k : 1.58 - 1.66 \text{ gr/cm}^3$, $\phi : 32.5^\circ$, $e : 0.54$, $n : \% 34.8$</p>

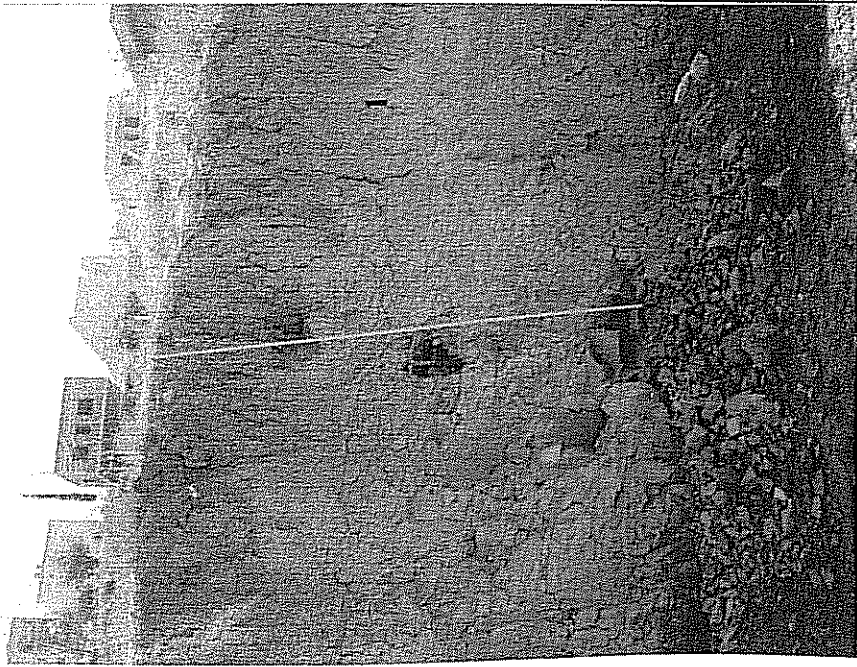


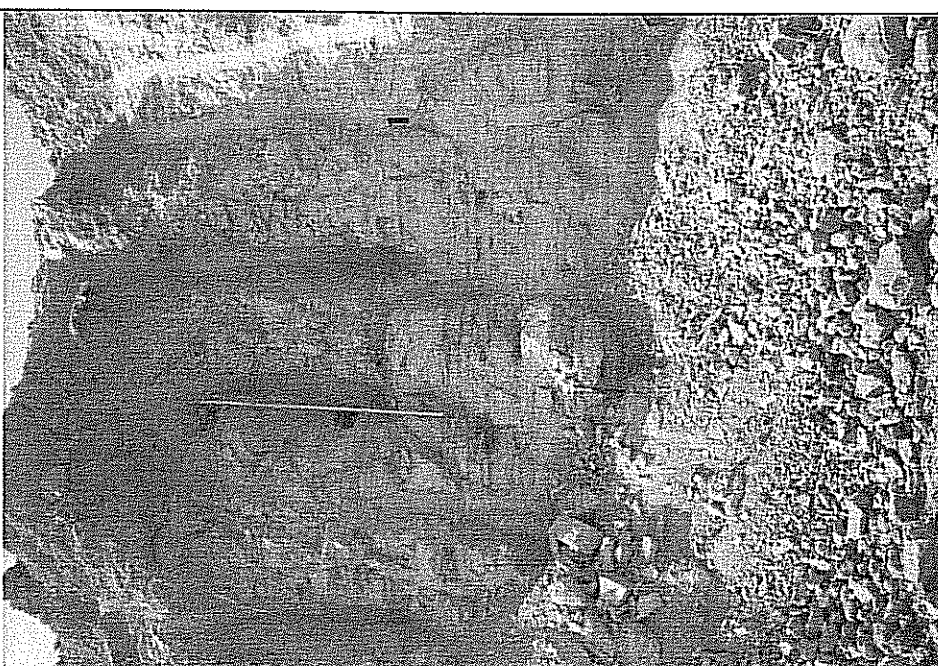
*Lokasyon L-1 (Carrefour doğusu)
(00605 D /02566 K, 113 m kot)*

<i>Lokasyon L-1 (Carrefour doğusu) (00605 D /02566 K, 113 m kot)</i>	<i>Seviye</i>	<i>Derinlik (m)</i>	<i>Zemin Sınıfı</i>	<i>Tanımlama</i>
				<p>Handere kili; Açık-sarımsı kahverengi, kuruyken sert ve dayanıklı, diyajenez etkisi ile kısmen taşlaşmış, tabakali yapı gösteren, katı kıl; $\gamma_n : 1.78 \text{ gr/cm}^3$, $\gamma_k : 1.47 \text{ gr/cm}^3$, c: 1.30 - 1.77 kg/cm², e: 0.75, n: % 42.97, LL: % 56.8, PL: % 28.76, PI: 28.04 OCR: 1.926, C_e: 0.142, C_s: 0.05</p>

Lokasyon L-2 (100 Yul yakınları)
(99156 D /02903 K, 102 m kot)

	Seviye	Derinlik (m)	Zemin Sınıfı	Tanımlama
1	0.0 - 3.4	CH		<p>Handere kili; Açık-sarımsı kahverengi, kuru iken sert ve dayanıklı, diyajenez etkisi ile kısmen taşlaşmış, ince tabakalı yapı gösteren, üst seviyeleri oldukça fazla ayrılmış ve toprağımsı katı kıl; $\gamma_n : 1.64 \text{ gr/cm}^3$, $\gamma_k : 1.34 \text{ gr/cm}^3$, $c: 1.33 - 1.79 \text{ kg/cm}^2$, $e: 1.00$, $n: \% 50.05$, LL: % 51, PL: % 28, PI: 23 OCR: 2.831, C_c: 0.132, C_s: 0.035</p>



<i>Lokasyon L-3 (Karaşahı yolu) (99204 D/03976 K, 110 m kot)</i>		<i>Derinlik (m)</i>	<i>Zemin Sınıfları</i>	<i>Tanımlama</i>
<i>Seviye</i>				
1	0.0 - 5.0	ML		<p>Handere kili; Açıkl-kırılı kahverengi, kuru iken sert ve dayanumlu, diyajenez etkisi ile kısmen taşlaşmış, tabakalı yapı gösteren, üst kısımları oldukça ayrışmış ve toprağındaki siltli kili;</p> <p>$\gamma_n : 2.01 \text{ gr/cm}^3$, $\gamma_k : 1.73 \text{ gr/cm}^3$, $c: 1.41 - 1.84 \text{ kg/cm}^2$, $\epsilon: 0.50$, $n: \% 33.47$, $LL: \% 44.5$, $PL: \% 33.97$, $PI: 10.53$ $OCR: 1.242$, $C_g: 0.065$, $C_s: 0.036$</p> 

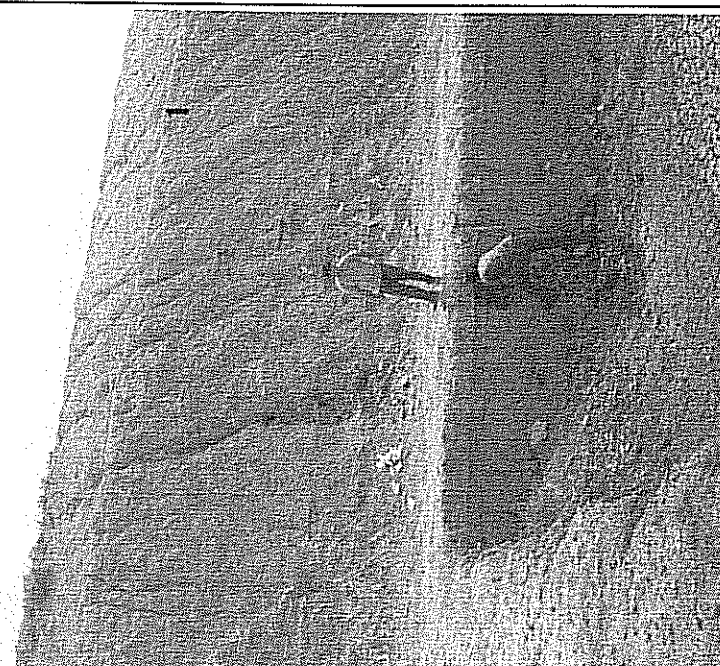
Lokasyon L-4
(00921 D /03806 K, 155 m kot)

	<i>Seviye</i>	<i>Derinlik (m)</i>	<i>Zemin Sınıfı</i>	<i>Tanımlama</i>
1	0.0 - 4.0	ML		<p>Handere kili; Açık kahverengi, kuru iken sert ve dayanıklı, diyajenez etkisi ile kısmen taşlaşmış, tabakalı yapı gösteren, mangang sıvamları içeren, tıstı kışumları oldukça ayırtmış ve toprağımsı katı sıltlı kil; $\gamma_n : 1.69 \text{ gr/cm}^3$, $\gamma_k : 1.56 \text{ gr/cm}^3$, $c: 1.01 - 1.54 \text{ kg/cm}^2$, $e: 0.71$, $n: \% 41.65$, LL: % 34.5, PL: % 25.74, PI: 8.76 OCR: 2.162, $C_d: 0.040$, $C_s: 0.017$</p>

*Lokasyon L- 5 (Çatalan köprüsü yolu)
(00706 D /04427 K, 65 m kot)*

<i>Seviye</i>	<i>Derinlik (m)</i>	<i>Zemin Sınıfı</i>	<i>Tammlama</i>	
1	0.0 - 7.0	ML		<p>Handere kili; Açık kahverengi, kuru iken sert ve dayanıklı, diyajenez etkisi ile kısmen taşlaşmış, tabakalı yapı gösteren, mangansivamaları içeren, üst kısımları oldukça ayırtılmış ve toprağımsız katu silifli kil; $\gamma_n: 1.58 - 1.72 \text{ gr/cm}^3$, $\gamma_k: 1.34 - 1.55 \text{ gr/cm}^3$, c: 0.88 - 1.32 kg/cm², e: 0.96, n: % 48.98, LL: % 41.0, PL: % 27.93, PI: 13.07 OCR: 1.025, C_c: 0.066, C_s: 0.034</p> 

Lokasyon L-6 (Kurttepe beton santrali)
(03155 D / 04086 K, 93 m kot)

	Seviye	Derinlik (m)	Zemin Sınıfı	Tanımlama
1	0.0 - 7.0	CH MH		<p>Handere kili;</p> <p>Açık kahverengi, kuru iken sert ve dayanaklı, diyajenez etkisi ile kısmen taşlaşmış, tabakalı yapı gösteren, üst kısımları oldukça ayırt edilebilir toprağımsı kati, üst seviyeleri (2.5 m) kıl, daha alt seviyeleri (3.5 m) sıltılı kıl;</p> <p>$\gamma_n : 1.68 \text{ gr/cm}^3$, $\gamma_k : 1.27 \text{ gr/cm}^3$,</p> <p>c: 1.23 - 1.32 kg/cm², e: 1.01, n: % 51.08,</p> <p>LL: % 58.0, PL: % 35.47, PI: 22.53</p> <p>OCR: 2.263, C_g: 0.076, C_s: 0.042</p> 

*Lokasyon L-7 (Çobanede güneyi)
(04921 D / 03773 K, 79 m kot)*

<i>Seviye</i>	<i>Derinlik (m)</i>	<i>Zemin Sınıfı</i>	<i>Tammlama</i>
1	0.0 - 5.0	ML	<p>Handere kili; Açık kahverengi, kuru iken sert ve dayanıklı, diyajenez etkisi ile kısmen taşlaşmış, ince ve kıvrımlı tabakalı yapı gösteren, üst kısımları oldukça ayrılmış ve yıkannmadan dolayı toprağımsı kil; $\gamma_n : 1.77 \text{ gr/cm}^3$, $\gamma_k : 1.73 \text{ gr/cm}^3$, $c: 1.13 - 1.41 \text{ kg/cm}^2$, $e: 0.90$, $n: \% 47.32$, $LL: \% 45.0$, $PL: \% 33.92$, $PI: 11.08$ OCR: 3.130, $C_c: 0.079$, $C_s: 0.031$</p>

**Lokasyon L-8 (Menekşe yolu üzeri)
(09708 D / 06186 K, 146 m kot)**

<i>Sınıflama</i>	<i>Derinlik (m)</i>	<i>Zemin Sınıfı</i>	<i>Tammlama</i>
			<p>Handere kili; Açık kahverengi, kuru iken sert ve dayanumlu, diyajenez etkisi ile kısmen taşlaşmış, tabakalı yapı gösteren, üst kısımları oldukça ayırtmış ve yikanmadan dolayı toprağımsı görünümde silti kili; $\gamma_n : 1.74 \text{ gr/cm}^3$, $\gamma_k : 1.44 \text{ gr/cm}^3$, c: 1.34 kg/cm^2, e: 0.86, n: % 46.22, LL: % 51.2, PL: % 26.31, PI: 24.89 OCR: 1.038, C_c: 0.139, C_s: 0.047</p> 

<i>Lokasyon L-9 (Çatalan yolu, Alke İnşaat) (11136 D / 05810 K, 93 m kot)</i>		<i>Seviye</i>	<i>Derinlik (m)</i>	<i>Zemin Sınıfı</i>	<i>Tammlama</i>
		1	0.0 – 4.5	ML	<p>Handere kili;</p> <p>Açık grimsi kahverengi, kuru iken sert ve dayanıklı, diyajenez etkisi ile oldukça pekişmiş, tabakalı yapı gösteren, üst kısımları oldukça ayırmış ve yıkannmadan dolayı toprağımsı görünümde siltli kıl;</p> <p>$\gamma_n : 1.65 \text{ gr/cm}^3$, $\gamma_k : 1.55 \text{ gr/cm}^3$,</p> <p>$e : 2.34 \text{ kg/cm}^2$, $e : 0.67$, $n : \% 39.99$,</p> <p>LL: % 40, PL: % 19.75, PI: 19.35</p> <p>OCR: 3.033, $C_e : 0.126$, $C_s : 0.050$</p> 

*Lokasyon L-10 (Ç.Ü. Mediko sosyal yakını)
(09542 D / 04599 K, 77 m kot)*

<i>Seviye</i>	<i>Derinlik (m)</i>	<i>Zemin Sınıfı</i>	<i>Tanımlama</i>
1	0.0 – 6.5	CL	<p>Handere kili; Açık grimsi kahverengi, kuru iken sert ve dayanıklı, diyajenez etkisi ile oldukça pekişmiş, tabakalı yapı gösteren, üst kısımları oldukça ayrılmış ve yıkanmadan dolayı toprağından görünümde silti kıl; $\gamma_n : 1.72-1.92 \text{ gr/cm}^3$, $\gamma_k : 1.44-1.66 \text{ gr/cm}^3$, c: 1.17 kg/cm², e: 0.81, n: % 44.71, LL: % 41.5, PL: % 22, PI: 25.30 OCR: 2.36, C_c: 0.073, C_s: 0.039</p> 

<i>Lokasyon AC 70a (S.Demirel Bulvarı üzeri) (03165 D / 03850 K, 130 m kot)</i>	<i>Seviye</i>	<i>Derinlik (m)</i>	<i>Zemin Sınıfı</i>	<i>Tanımlama</i>
	1	0.0 – 3.5	-	Kalışmış kıl (Handere Kili)
	2	3.5 – 7.5	CH	<p>Handere Kili;</p> <p>Açık toprağınsı kahverengi, kuru iken sert ve dayanıklı, tabakalı yapı gösteren, üst kısımları kalışlesmeye bağlı olarak karbonat içeriği, yüksek plastisiteli kıl;</p> <p>$\gamma_n : 1.92 \text{ gr/cm}^3$, $\gamma_k : 1.76 \text{ gr/cm}^3$,</p> <p>c: 1.44 kg/cm^2, e: 0.74, n: % 41.21, LL: % 54.6, PL: % 26.2, PI: 28.4</p>

*Lokasyon AC 70 b (Adana Güçbırığı Vakfı Okulları)
(03481 D / 04141 K, 95 m kot)*

<i>Seviye</i>	<i>Derinlik (m)</i>	<i>Zemin Sınıfları</i>	<i>Tanımlama</i>
1	0.0 - 3.5	CH	<p>Handere Kili, Grimsi kahverengi, nemli iken yapışkan, kuru iken sert, saf kili.</p> <p>$\gamma_n : 1.84 \text{ gr/cm}^3$, $\gamma_k : 1.67 \text{ gr/cm}^3$, $c: 1.43 \text{ kg/cm}^2$, $e: 0.64$, $n: \% 43.70$, $LL: \% 56.8$, $PL: \% 26.8$, PI: 30.0</p> 

EK – 2

SONDAJ LOGLARI

SONDAJ LOGU

Sondaj Tarihi : 06/04/2004
 Sondaj Derinliği (m): 10.60 m
 Logu Yapan :
 Arş. Gör. İbrahim ÇOBANOĞLU

Sondaj No: SK-1
 Sondaj Yeri : Sinanpaşa Mah.
 GPS Koordinatları: 08237 D/ 96626 K
 Y.S.S (m) : -

Derinlik (m)	Örnek yeri	Örnek tipi	SPT darbe sayıları ve derinlik	SPT - N	SPT Grafiği	Sondaj profili	Litoloji Tanımlaması	
							Sondaj yerinin topografik yüksekliği: 20 m	Nebati toprak
1.5								Koyu kahverengi, sert, plastik kıvamda, alüvyon kili.
3.0		SPT 1	4 - 4 - 5 1.50-1.90	9				Birim içerisinde siltli ve ince kumlu ara seviyeler de yer almaktır.
4.5		UD	2.50-3.00					
6.0		SPT 2	5 - 7 - 8 3.00-3.45	15				
7.5		SPT 3	6 - 8 - 9 4.50-4.95	17				
9.0		SPT 4	13-25-28 6.00-6.45	53				
10.5		SPT 5	50/5	R				Aynı kil birimi içerisinde ince çakıl ve karbonatlı kesimler görülmektedir. Özellikle bu karbonatlı kesimlerden dolayı SPT darbe sayıları artmaktadır.
12.0		SPT 6	7.50-7.55	R				Karbonat çakılı kil
13.5		SPT 7	50/10	R				
15.0			9.00-9.10					Kuyu sonu 10.60 m
SPT-N (ince taneli zemin)				SPT-N (iri taneli zemin)		SPT : Standart penetrasyon deneyi UD : Örselenmemiş örnek D : Örselenmiş örnek S : Sediman örnek		
0-2	Cök yumuşak	0-4	Cök gevşek					
3-5	Yumuşak	4-10	Gevşek					
6-9	Orta katı	10-30	Orta sıkı					
10-16	Katı	30-50	Sıkı					
17-30	Cök katı	> 50	Cök sıkı					
> 30	Cök sert							

SONDAJ LOGU

Sondaj Tarihi : 07/04/2004
Sondaj Derinliği (m): 15.45 m
Logu Yapan :
Arş. Gör. İbrahim COBANOĞLU

Sondaj No: SK-2
Sondaj Yeri : Başak Mah.
GPS Koordinatları: 10606 D/ 95795 K
Y.S.S (m) : -

Derinlik (m)	Örnek yeri	Örnek tipi	SPT darbe sayıları ve derinlik	SPT-N	SPT Grafiği	Sondaj profili	Litoloji Tanımlaması	
							10	20
1.5								
3.0	SPT 1	UD	6 - 7 - 8 1.50-1.95 2.50-3.00	15				
4.5	SPT 2		9-12-13 3.00-3.45	25				
6.0	SPT 3		9 -11 -13 4.50-4.95	24				
7.5	SPT 4		iptal 6.00-6.45	-				
9.0	SPT 5		14-18-27 7.50-7.95	45				
10.5	SPT 6		15-21-21 9.00-9.45	42				
12.0	SPT 7	UD	17-21-25 10.50-10.95 11.50-12.00	46				
13.5	SPT 8		15-17-17 12.00-12.45	35				
15.0	SPT 9		18-21-25 13.50-13.95	46				
	SPT 10		21-19-25	44				
Kuyu sonu 15.45 m								
SPT-N (ince taneli zemin)			SPT-N (iri taneli zemin)					
0 - 2	Cök yumuşak		0 - 4	Cök gevşek		SPT : Standart penetrasyon deneyi		
3 - 5	Yumuşak		4 - 10	Gevşek		UD : Örselenmemiş örnek		
6 - 9	Orta katı		10 - 30	Orta sıkı		D : Örselenmiş örnek		
10 - 16	Katı		30 - 50	Sıkı		S : Sediman örnek		
17 - 30	Cök katı		> 50	Cök sıkı				
> 30	Çok sıkı							

SONDAJ LOGU

Sondaj Tarihi : 09/04/2004
 Sondaj Derinliği (m): 10.00 m
 Logu Yapan :
 Arş. Gör. İbrahim ÇOBANOĞLU

Sondaj No: SK-4
 Sondaj Yeri : Çamlıbel Mah.
 GPS Koordinatları: 12205 D / 97832 K
 Y.S.S (m) : -

Derinlik (m)	Örnek yeri	Örnek tipi	SPT darbe sayıları ve derinlik	SPT - N	SPT Grafiği	Sondaj profili	Litoloji Tanımlaması	
							Sondaj yerinin topografik yüksekliği: 38 m	
1.5							Nebati toprak-	
3.0	SPT 1 UD	6-10-9 1.50-1.95 2.50-3.00	19				Koyu kahverengi, sert, plastik kıvamda, alüvyon kili.	
4.5	SPT 2	10-13-15 3.00-3.45	28				Siltli, killi kum ve kumlu kil.	
6.0	SPT 3 UD	21-19-16 4.50-4.95 5.50-6.00	35					
7.5	SPT 4	12-15-19 6.00-6.45	34				Kahverengi, karbonat yumrulu, ince çakılı içeren alüvyon kili.	
9.0	SPT 5	13-27-R 7.50-7.92	R				Son SPT tüpü büyük çoğunluğu karbonat yumrularından oluşan killi birimin varlığını ortaya koymuştur Özellikle bu karbonatlı kesimlerden dolayı SPT darbe sayıları artmıştır.	
10.5	SPT 6	24-50/12 9.55-9.82	R				Kuyu sonu 10.00 m	
12.0								
13.5								
15.0								
SPT-N (ince taneli zemin)			SPT-N (iri taneli zemin)			SPT : Standart penetrasyon deneyi UD : Örselenmemiş örnek D : Örselenmiş örnek S : Sediman örnek		
0-2	Çok yumuşak		0-4	Çok gevşek				
3-5	Yumuşak		4-10	Gevsek				
6-9	Orta katı		10-30	Orta sıkı				
10-16	Katı		30-50	Sıkı				
17-30	Cök katı		> 50	Çok sıkı				
> 30	Çok sert							

SONDAJ LOGU

Sondaj Tarihi : 13/04/2004
 Sondaj Derinliği (m): 10.00 m
 Logu Yapan :
 Arş. Gör. İbrahim ÇOBANOĞLU

Sondaj No: SK-5
 Sondaj Yeri : Yenidoğan Mah.
 GPS Koordinatları: 12633 D/ 96533 K
 Y.S.S (m) : -

Derinlik (m)	Örnek yeri	Örnek tipi	SPT darbe sayıları ve derinlik	SPT - N	SPT Grafiği	Sondaj profili	Litoloji Tanımlaması					
							10	20	30	40	50	Sondaj yerinin topografik yüksekliği: 34 m
1.5												Nebati toprak
3.0	SPT 1	9-10-13	23									Koyu kahverengi, sert, plastik kıvamda, alüvyon kili. Seviye içerisinde az miktarda karbonat çakılı bulunmaktadır.
4.5	UD	2.50-3.00										
6.0	SPT 2	14-18-22	40									
7.5		3.00-3.45										
9.0	SPT 3	10-15-25	40									Aynı kil birimi içerisinde ince-iri çakılı boyutu karbonatlı kesimler görülmekte.
10.5		4.50-4.95										
12.0	SPT 4	11-15-22	37									Karbonat çakılarının gelişigüzel dağılmış olmaları SPT darbe sayılarında aşırı artışlara neden olmamıştır.
13.5		6.00-6.45										
15.0	SPT 5	10-12-20	32									
		7.50-7.95										
	UD	9.00-9.55										
	SPT 6	17-28-32	60									
		9.55-10.00										
												Kuyu sonu 10.00 m
SPT-N (ince taneli zemin)				SPT-N (irı taneli zemin)				SPT : Standart penetrasyon deneyi UD : Örselenmemiş örnek D : Örselenmiş örnek S : Sediman örnek				
0-2 Cok yumuşak				0-4 Çok gevşek								
3-5 Yumuşak				4-10 Gevşek								
6-9 Orta katı				10-30 Orta sıkı								
10-16 Katı				30-50 Sıkı								
17-30 Çok katı				> 50 Çok sıkı								
> 30 Çok sert												

SONDAJ LOGU

Sondaj Tarihi : 14/04/2004
 Sondaj Derinliği (m): 15.45 m
 Logu Yapan :
 Arş. Gör. İbrahim ÇOBANOĞLU

Sondaj No: SK-6
 Sondaj Yeri : Levent Mah.
 GPS Koordinatları: 12110 D/ 94980 K
 Y.S.S (m) : 5.40 m

Derinlik (m)	Örnek yeri	Örnek tipi	SPT darbe sayıları ve derinlik	SPT - N	SPT Grafiği	Sondaj profili	Litoloji Tanımlaması		
							10	20	
1.5									
		SPT 1	5 - 9 - 14 1.50-1.95	23					
3.0		SPT 2	7 - 11 - 13 3.00-3.45	24					
4.5		SPT 3	9 - 13 - 15 4.50-4.95	26					
6.0		UD 1	5.50-6.00						
		SPT 4	12 - 14 - 21 6.00-6.45	35					
7.5		SPT 5	12 - 16 - 19 7.50-7.95	35					
9.0		UD 2	8.50-9.00						
		SPT 6	10 - 12 - 14 9.00-9.45	26					
10.5		SPT 7	11 - 15 - 17 10.50-10.95	32					
12.0		UD 3	11.50-12.00						
		SPT 8	7 - 10 - 15 12.00-12.45	25					
13.5		SPT 9	15 - 20 - 25 13.50-13.95	45					
15.0		UD 4	14.50-15.00						
		SPT 10	20 - 25 - 31	56					
SPT-N (ince taneli zemin)				SPT-N (fırı taneli zemin)					
0 - 2	Cök yumuşak			0 - 4	Cök gevşek				
3 - 5	Yumuşak			4 - 10	Gevşek				
6 - 9	Orta katı			10 - 30	Orta sıkı				
10 - 16	Katı			30 - 50	Sıkı				
17 - 30	Cök katı			> 50	Çok sıkı				
> 30	Çok sert								

SONDAJ LOGU

Sondaj Tarihi : 15/04/2004
Sondaj Derinliği (m): 10.00 m
Logu Yapan :
Arş. Gör. İbrahim ÇOBANOĞLU

Sondaj No: SK-7
Sondaj Yeri : Yavuzlar Mah.
GPS Koordinatları: 08621 D/ 98282 K
Y.S.S (m) : 4.80

SONDAJ LOGU

Sondaj Tarihi : 16/04/2004
 Sondaj Derinliği (m): 12.00 m
 Logu Yapan :
 Arş. Gör. İbrahim ÇOBANOĞLU

Sondaj No: SK-8
 Sondaj Yeri : Narlıca Mah.
 GPS Koordinatları: 04018 D/ 97066 K
 Y.S.S (m) : 7.00

Derinlik (m)	Örnek yeri	Örnek tipi	SPT darbe sayıları ve derinlik	SPT - N	SPT Grafiği	Sondaj profili	Litoloji Tanımlaması
							Sondaj yerinin topoğrafik yüksekliği: 20 m
1.5							Nebati toprak
3.0		SPT 1	10-15-19 1.50-1.95	34			Koyu kahverengi, sert, plastik kıvamda alüvyon kili.
4.5		SPT 2	9-16-20 3.00-3.45	36			
6.0		SPT 3	8-12-17 4.50-4.95	29			Açık kahverengi, siltli, az çakılı kum
7.5		UD 1	5.50-6.00				
9.0		SPT 4	12-12-15 6.00-6.45	27			
10.5		SPT 5	20-40-50/7 7.50-7.87	R			
12.0		SPT 6	12-17-20 9.00-9.45	37			Kumlu çakıl. Çakıl ve kum oranları düzensiz bir şekilde değişiyor. Çakıl ile birlikte blok boyutu malzeme de bulunmakta. Kuyu sonuna doğru yeraltı suyunun da etkisi ile yıkıntılar görülmüştür.
13.5		SPT 7	11-16-29 10.50-10.95	45			
15.0		SPT 8	Yapılamadı				Kuyu sonu 12.00 m
SPT-N (ince taneli zemin)				SPT-N (iri taneli zemin)			
0-2	Cök yumuşak			0-4	Cök gevşek		SPT : Standart penetrasyon deneyi
3-5	Yumuşak			4-10	Gevşek		UD : Örselenmemiş örnek
6-9	Orta katı			10-30	Orta sıkı		D : Örselenmiş örnek
10-16	Katı			30-50	Sıkı		S : Sediman örnek
17-30	Cök katı			> 50	Çok sıkı		
> 30	Cök sert						

SONDAJ LOGU

Sondaj Tarihi : 17/04/2004
Sondaj Derinliği (m): 14.60 m
Logu Yapan :
Arş. Gör. İbrahim COBANOĞLU

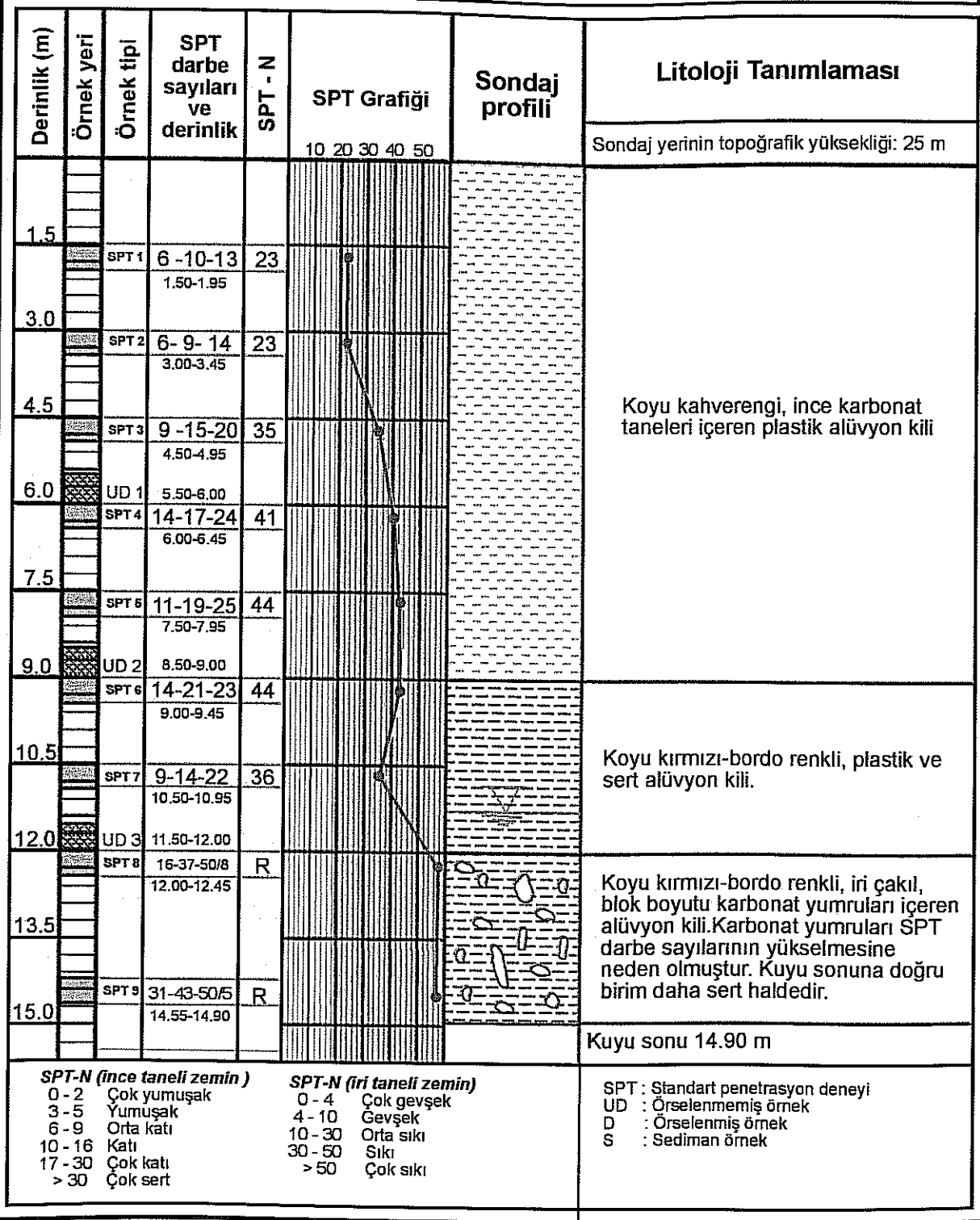
Sondaj No: SK-9
Sondaj Yeri : Fevzi paşa Mah.
GPS Koordinatları: 00944 D/ 97725 K
Y.S.S (m) : 12.70

Derinlik (m)	Örnek yerি	Örnek tipi	SPT darbe sayıları ve derinlik	SPT - N	SPT Grafiği	Sondaj profili	Litoloji Tanımlaması		
							Sondaj yerinin topografik yüksekliği: 25 m		
1.5									
3.0		SPT 1	6 - 7 - 11 1.50-1.95	18					
4.5		SPT 2	5 - 7 - 9 3.00-3.45	16			Koyu kahverengi, ince karbonat taneleri içeren plastik alüvyon kili		
6.0		SPT 3	8 - 10 - 13 4.50-4.95	23					
7.5		UD 1	5.50-6.00						
9.0		SPT 4	10-16-19 6.00-6.45	35					
10.5		SPT 5	13-15-25 7.50-7.95	40					
12.0		UD 2	8.50-9.00				Koyu kırmızı-bordo renkli, plastik alüvyon kili.		
13.5		SPT 6	11-13-17 9.00-9.45	30					
15.0		SPT 7	11-17-42 10.50-10.95	59					
		SPT 8	28-31-50/10 12.00-12.45	R			Koyu kırmızı-bordo renkli, kum ve çakıl boyutu karbonat taneleri içeren plastik alüvyon kili. Karbonat yumruları SPT darbe sayılarının yükselmesine neden olmuştur. Kuyu sonuna doğru birim daha sert haldedir.		
		SPT 9	14-18-24 13.50-13.95	42					
		SPT 10	14.55-14.60 50/3	R			Kuyu sonu 14.60 m		
SPT-N (ince taneli zemin)				SPT-N (iri taneli zemin)					
0 - 2	Cök yumuşak	0 - 4	Cök gevşek					SPT : Standart penetrasyon deneyi	
3 - 5	Yumuşak	4 - 10	Gevşek					UD : Örselenmemiş ömek	
6 - 9	Orta katı	10 - 30	Orta sıkı					D : Örselenmiş ömek	
10 - 16	Katı	30 - 50	Sıkı					S : Sediman ömek	
17 - 30	Cök katı	> 50	Çok sıkı						
> 30	Çok sert								

SONDAJ LOGU

Sondaj Tarihi : 18/04/2004
 Sondaj Derinliği (m): 14.90 m
 Logu Yapan :
 Arş. Gör. İbrahim ÇOBANOĞLU

Sondaj No: SK-10
 Sondaj Yeri : Yeşiloba Afetevleri Mah.
 GPS Koordinatları: 99524 D/ 97579 K
 Y.S.S (m) : 11.30



SONDAJ LOGU

Sondaj Tarihi : 19/04/2004

Sondaj Derinliği (m): 15.45 m

Logu Yapan :

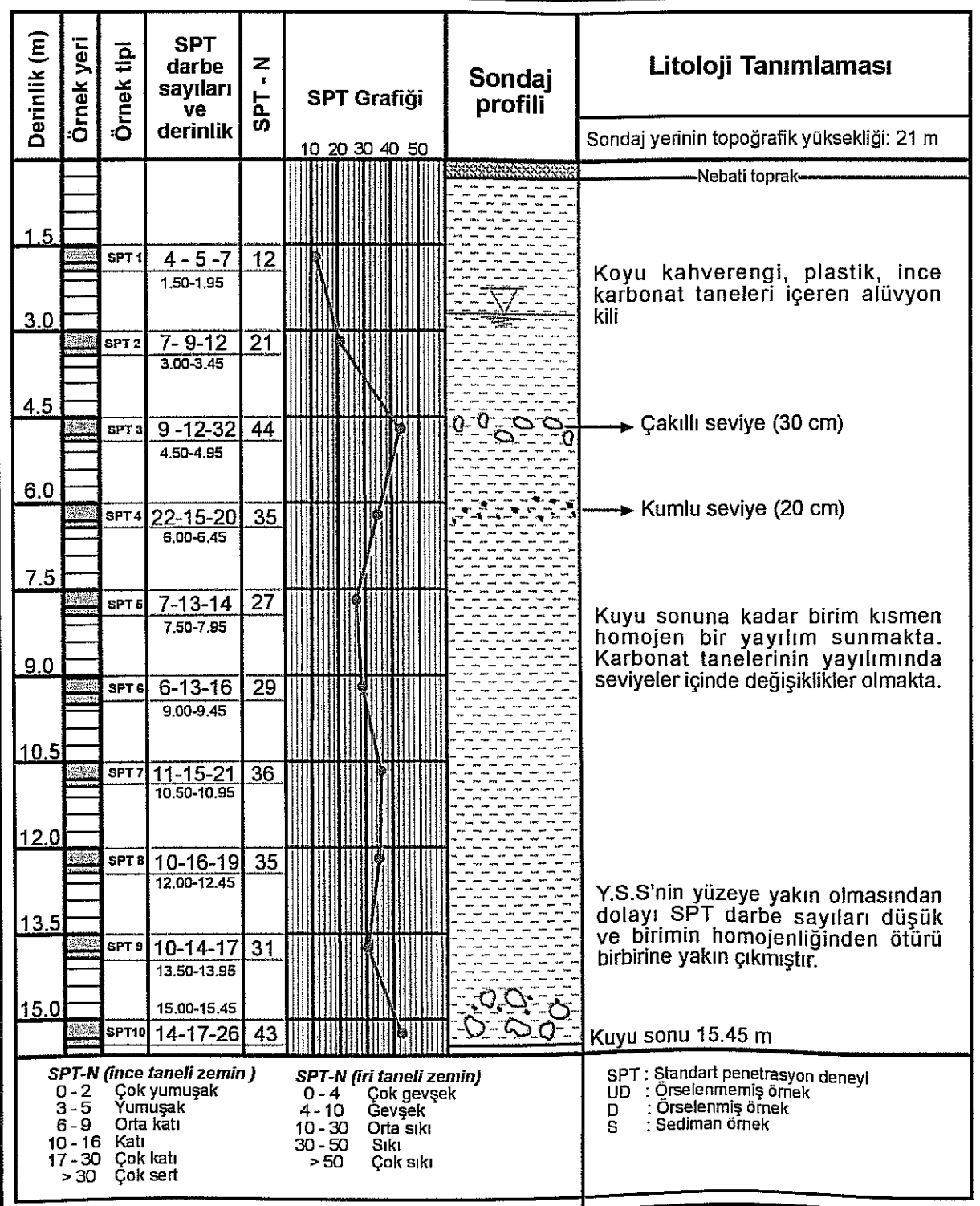
Arş. Gör. İbrahim ÇOBANOĞLU

Sondaj No: SK-11

Sondaj Yeri : Hipodrom

GPS Koordinatları: 98171 D/ 96555 K

Y.S.S (m) : 2.70 m



SONDAJ LOGU

Sondaj Tarihi : 20/04/2004
Sondaj Derinliği (m): 12.25 m
Logu Yapan :
Arş. Gör. İbrahim COBANOĞLU

Sondaj No: SK-12
Sondaj Yeri : Yeşilevler Mah.
GPS Koordinatları: 03272 D/ 98111 K
Y.S.S (m) : -

SONDAJ LOGU

Sondaj Tarihi : 21/04/2004
 Sondaj Derinliği (m): 12.15 m
 Logu Yapan :
 Arş. Gör. İbrahim ÇOBANOĞLU

Sondaj No: SK-13
 Sondaj Yeri : 2000 Evler Mah.
 GPS Koordinatları: 01443 D/ 00512 K
 Y.S.S (m) : -

Derinlik (m)	Örnek yeri	Örnek tipi	SPT darbe sayıları ve derinlik	SPT-N	SPT Grafiği	Sondaj profili	Litoloji Tanımlaması		
							10	20	
1.5									
1.5		SPT-1	12-17-23	40					
			1.50-1.95						
3.0		SPT-2	24-31-43	74					
			3.00-3.45						
4.5		SPT-3	35-50/10	R					
			4.50-4.75						
6.0									
7.5		SPT-3	29-50/9	R					
			7.50-7.74						
9.0		SPT-4	9.00-9.13	R					
			50/13						
10.5		SPT-5	10.50-10.63	R					
			50/13						
12.0		SPT-6	12.00-12.14	R					
			50/14						
13.5									
15.0									
SPT-N (ince tanelli zemin)				SPT-N (iri tanelli zemin)				SPT : Standart penetrasyon deneyi UD : Örselenmemiş örnek D : Örselenmiş örnek S : Sediman örnek	
0-2	Cök yumuşak			0-4	Cök gevşek				
3-5	Yumuşak			4-10	Gevşek				
6-9	Orta katı			10-30	Orta sıkı				
10-16	Katı			30-50	Sıkı				
17-30	Cök katı			> 50	Çok sıkı				
> 30	Çok sert								

SONDAJ LOGU

Sondaj Tarihi : 23/04/2004
 Sondaj Derinliği (m): 10.00 m
 Logu Yapan :
 Arş. Gör. İbrahim ÇOBANOĞLU

Sondaj No: SK-14
 Sondaj Yeri : 100.Yıl Kadirbeyoğlu Mah.
 GPS Koordinatları: 00079 D/ 01665 K
 Y.S.S (m) : -

Derinlik (m)	Örnek yeri	Örnek tipi	SPT darbe sayıları ve derinlik	SPT - N	SPT Grafiği	Sondaj profili	Litoloji Tanımlaması											
							10	20	30	40	50	Sondaj yerinin topografik yüksekliği: 83 m	Nebati toprak					
1.5																		
3.0	SPT 1	22-40-50/14	1.50-1.95	R														
4.5			Karot	2.50-3.00														
6.0			Karot	4.50-6.00														
7.5																		
9.0																		
10.5																		
12.0																		
13.5																		
15.0																		
								Kuyu sonu 10.00 m										
SPT-N (ince taneli zemin)				SPT-N (iri taneli zemin)				SPT : Standart penetrasyon deneyi UD : Örselenmemiş örnek D : Örselenmiş örnek S : Sediman örnek										
0-2 Çok yumuşak				0-4 Çok gevşek														
3-5 Yumuşak				4-10 Gevşek														
6-9 Orta katı				10-30 Orta sıkı														
10-16 Katı				30-50 Sıkı														
17-30 Çok katı				> 50 Çok sıkı														
> 30 Çok sert																		

SONDAJ LOGU

Sondaj Tarihi : 24/04/2004
 Sondaj Derinliği (m): 10.00 m
 Logu Yapan :
 Arş. Gör. İbrahim ÇOBANOĞLU

Sondaj No: SK-15
 Sondaj Yeri : Pınar Mah.
 GPS Koordinatları: 03505 D/ 00084 K
 Y.S.S (m) : -

Derinlik (m)	Örnek yeri	Örnek tipi	SPT darbe sayıları ve derinlik	SPT - N	SPT Grafiği	Sondaj profili	Litoloji Tanımlaması		
							10	20	
1.5									
3.0	SPT 1	8-5-19	24						
		1.50-1.95							
4.5	UD 1	2.50-3.00							
6.0	SPT-2	14-24-28	52						
		3.00-3.45							
7.5	SPT-3	12-28-50/13	R						
		4.50-4.93							
9.0		21-33-50/5							
10.5	SPT-4	6.00-6.35	R						
12.0									
13.5									
15.0									
Sondaj yerinin topografik yüksekliği: 55 m								Nebati toprak	
Kırmızı renkli, plastik kıvamda, karbonat yumrulu kaliş kili. SPT 2'de siyah renkli mangan sıvamaları, ve ince çakıl taneleri görülmüştür									
Sert karbonat yumruları içeren kırmızı renkli kaliş kili.									
SPT-3'de yaygın karbonatlaşmadan dolayı N sayılarında ani artış dikkat çekmektedir.									
Kuyu sonu 10.00 m									
SPT-N (ince taneli zemin)				SPT-N (iri taneli zemin)				SPT : Standart penetrasyon deneyi UD : Örselenmemiş ömek D : Örselenmiş ömek S : Sediman ömek	
0-2 Çok yumuşak				0-4 Çok gevşek					
3-5 Yumuşak				4-10 Gevşek					
6-9 Orta katı				10-30 Orta sıkı					
10-16 Katı				30-50 Sıkı					
17-30 Çok katı				> 50 Çok sıkı					
> 30 Çok sert									

SONDAJ LOGU

Sondaj Tarihi : 25/04/2004
 Sondaj Derinliği (m): 10.00 m
 Logu Yapan :
 Arş. Gör. İbrahim ÇOBANOĞLU

Sondaj No: SK-17
 Sondaj Yeri : Mirzaçelebi Mah.
 GPS Koordinatları: 06397 D/ 95683 K
 Y.S.S (m) : 4.80 m

Derinlik (m)	Örnek yeri	Örnek tipi	SPT darbe sayıları ve derinlik	SPT - N	SPT Grafiği	Sondaj profili	Litoloji Tanımlaması	
							10	20
1.5								
3.0		SPT 1	14-25-27 1.50-1.90	52				
4.5		SPT 2	7-10-16 3.00-3.45	26				
6.0		SPT 3	3 - 3 - 3 4.50-4.95	6				
7.5		SPT 4	4 - 5 - 3 6.00-6.45	8				
9.0		SPT 5	5 - 7 - 11 7.50-7.95	18				
10.5		UD 1	9.00-9.55					
12.0		SPT 6	10-13-20 9.55-10.00	23				
13.5								
15.0								
SPT-N (ince taneli zemin) 0-2 Çok yumuşak 3-5 Yumuşak 6-9 Orta katı 10-16 Katı 17-30 Çok katı > 30 Çok sert				SPT-N (iri taneli zemin) 0-4 Çok gevşek 4-10 Gevşek 10-30 Orta sıkı 30-50 Sıkı > 50 Çok sıkı			SPT : Standart penetrasyon deneyi UD : Örselenmemiş örnek D : Örselenmiş örnek S : Sediman örnek	

EK – 3

SİSMİK RİSK ANALİZİNDE

KULLANILAN ALETSEL DÖNEM

DEPREM KAYITLARI

EK – 3. Adana ilini etkileyen aletsel dönem depremler (1900 – 2001 yılları arası).

<i>Sıra No</i>	<i>Tarih</i>	<i>Episantır (Enlem / Boylam)</i>	<i>Büyüklük</i>
1	1906	37.60 N / 36.80 E	5.1
2	12. 1907	37.60 N / 34.50 E	6.2
3	02.02.1908	37.50 N / 34.50 E	4.9
4	17.02.1908	37.06 N / 35.80 E	6.0
5	30.10.1908	37.60 N / 36.80 E	5.4
6	1908	37.10 N / 36.20 E	5.1
7	20.03.1910	36.80 N / 34.60 E	4.9
8	25.12.1915	36.47 N / 36.14 E	5.2
9	27.05.1918	37.20 N / 35.40 E	5.3
10	27.01.1919	36.25 N / 36.10 E	4.3
11	01.02.1922	38.00 N / 37.10 E	5.3
12	21.12.1923	36.23 N / 36.1 E	4.0
13	13.12.1924	38.00 N / 33.50 E	4.9
14	01.05.1925	37.00 N / 35.30 E	4.6
15	17.03.1926	37.00 N / 35.00 E	5.5
16	31.07.1926	36.50 N / 36.00 E	4.3
17	29.12.1926	38.50 N / 34.50 E	4.3
18	24.02.1928	38.00 N / 33.50 E	4.3
19	23.08.1928	36.50 N / 36.00 E	4.8
20	07.02.1929	37.00 N / 35.50 E	4.3
21	16.05.1929	36.50 N / 36.00 E	4.5
22	04.08.1929	36.50 N / 36.00 E	4.7
23	17.12.1930	36.20 N / 36.10 E	4.1
24	26.12.1932	36.90 N / 34.70 E	5.2
25	25.09.1933	37.00 N / 35.50 E	5.0
26	14.06.1936	36.60 N / 35.85 E	5.5
27	03.02.1940	38.50 N / 36.85 E	4.5
28	21.02.1940	38.40 N / 35.30 E	5.2
29	1940	38.00 N / 34.20 E	5.2
30	20.04.1941	37.35 N / 35.70 E	4.6
31	27.04.1941	37.50 N / 36.00 E	4.3
32	28.06.1944	37.50 N / 35.00 E	5.2
33	26.10.1944	37.60 N / 36.90 E	4.3
34	20.03.1945	37.10 N / 35.70 E	6.0
35	14.04.1947	37.14 N / 36.32 E	4.4
36	09.12.1947	36.52 N / 34.34 E	5.6

<i>Sıra No</i>	<i>Tarih</i>	<i>Episantır (Enlem / Boylam)</i>	<i>Büyüklük</i>
37	10.12.1947	37.00 N / 35.70 E	5.2
38	23.05.1949	37.10 N / 36.20 E	4.3
39	07.07.1949	37.50 N / 36.10 E	4.9
40	14.01.1950	36.50 N / 35.80 E	4.5
41	25.01.1951	37.50 N / 36.30 E	4.9
42	08.04.1951	36.50 N / 35.85 E	5.8
43	27.05.1951	36.60 N / 36.30 E	4.3
44	12.07.1951	36.60 N / 36.30 E	4.8
45	22.10.1952	37.25 N / 35.65 E	5.6
46	24.03.1953	37.02 N / 37.00 E	5.0
47	25.07.1959	37.20 N / 34.60 E	4.2
48	01.06.1961	37.65 N / 36.75 E	5.0
49	10.09.1961	37.00 N / 36.10 E	4.7
50	16.01.1962	37.60 N / 36.90 E	4.6
51	20.03.1962	38.30 N / 36.90 E	4.6
52	26.03.1962	38.30 N / 37.10 E	4.2
53	29.03.1962	37.20 N / 36.50 E	4.6
54	02.02.1964	36.50 N / 35.80 E	4.1
55	17.11.1964	36.80 N / 35.30 E	4.6
56	15.12.1964	36.46 N / 34.80 E	4.5
57	25.11.1965	37.24 N / 36.22 E	4.5
58	26.06.1966	36.84 N / 35.92 E	4.8
59	07.04.1967	37.43 N / 36.15 E	4.6
60	07.04.1967	37.36 N / 36.24 E	4.8
61	30.05.1968	36.30 N / 36.20 E	4.3
62	16.06.1968	36.70 N / 34.25 E	4.4
63	15.05.1969	37.30 N / 35.00 E	4.7
64	19.05.1969	37.75 N / 35.30 E	4.6
65	24.05.1969	36.82 N / 35.30 E	4.2
66	29.08.1969	38.00 N / 36.50 E	4.2
67	13.10.1970	38.28 N / 36.98 E	4.6
68	30.04.1971	37.76 N / 36.18 E	4.4
69	29.06.1971	37.11 N / 36.85 E	5.1
70	29.06.1971	37.33 N / 36.72 E	4.5
71	01.07.1971	37.17 N / 36.91 E	4.5
72	11.07.1971	37.16 N / 36.85 E	5.3

<i>Sıra No</i>	<i>Tarih</i>	<i>Episantır (Enlem / Boylam)</i>	<i>Büyüklük</i>
73	15.07.1971	37.20 N / 36.80 E	4.6
74	17.08.1971	37.10 N / 36.77 E	5.1
75	13.05.1972	38.00 N / 36.10 E	4.5
76	01.01.1975	36.67 N / 36.49 E	4.8
77	15.07.1976	37.55 N / 35.90 E	4.6
78	30.07.1976	36.71 N / 35.90 E	4.6
79	08.04.1977	37.90 N / 36.70 E	4.3
80	11.12.1977	37.30 N / 36.20 E	4.7
81	09.02.1978	37.07 N / 36.84 E	4.4
82	26.04.1979	37.54 N / 36.16 E	4.7
83	28.12.1979	37.52 N / 35.85 E	4.7
84	02.01.1980	36.56 N / 36.38 E	4.6
85	19.05.1980	37.57 N / 35.92 E	4.5
86	01.09.1980	37.64 N / 36.15 E	4.2
87	19.02.1980	36.35 N / 36.42 E	4.6
88	24.02.1981	36.44 N / 36.18 E	4.4
89	30.06.1981	36.17 N / 35.89 E	4.7
90	11.02.1982	36.08 N / 35.89 E	4.2
91	24.04.1982	37.74 N / 35.40 E	4.2
92	18.05.1982	37.10 N / 36.40 E	4.1
93	20.05.1982	37.60 N / 35.80 E	4.0
94	05.08.1982	38.00 N / 35.23 E	4.4
95	24.11.1983	37.05 N / 36.12 E	4.7
96	15.11.1984	37.12 N / 36.28 E	4.3
97	22.06.1985	37.26 N / 36.98 E	4.5
98	21.12.1985	37.55 N / 35.47 E	4.6
99	21.12.1985	37.56 N / 35.40 E	4.4
100	09.06.1986	37.98 N / 36.90 E	4.0
101	20.07.1986	37.81 N / 35.91 E	4.1
102	20.11.1987	37.10 N / 36.38 E	4.1
103	31.12.1987	37.02 N / 36.02 E	4.2
104	01.01.1988	36.35 N / 35.47 E	4.4
105	17.12.1988	37.50 N / 36.20 E	4.1
106	06.03.1989	37.44 N / 36.42 E	4.4
107	02.04.1989	37.76 N / 36.66 E	4.2
108	24.06.1989	36.71 N / 35.93 E	4.9

<i>Sıra No</i>	<i>Tarih</i>	<i>Episandr (Enlem / Boylam)</i>	<i>Büyüklük</i>
109	15.10.1989	36.85 N / 35.78 E	4.3
110	10.04.1991	37.31 N / 36.14 E	5.2
111	11.08.1991	36.15 N / 35.90 E	4.0
112	14.09.1991	37.10 N / 36.00 E	4.1
113	19.09.1991	36.14 N / 35.83 E	4.2
114	26.09.1991	37.37 N / 36.31 E	4.7
115	02.10.1991	37.37 N / 36.04 E	4.3
116	19.01.1992	37.59 N / 35.91 E	4.1
117	29.05.1992	37.53 N / 36.81 E	4.2
118	21.07.1993	37.14 N / 36.86 E	4.2
119	03.01.1994	37.00 N / 35.84 E	5.0
120	10.02.1994	36.97 N / 35.83 E	4.9
121	30.07.1994	37.33 N / 36.15 E	4.5
122	13.04.1995	37.39 N / 36.13 E	4.5
123	05.06.1995	37.75 N / 36.43 E	4.0
124	22.06.1995	36.76 N / 35.10 E	4.0
125	29.10.1995	37.83 N / 35.68 E	4.1
126	20.03.1996	36.91 N / 36.10 E	4.3
127	02.04.1996	37.50 N / 36.81 E	4.4
128	05.06.1996	37.15 N / 36.21 E	4.0
129	10.07.1996	37.38 N / 36.19 E	4.1
130	15.08.1996	36.33 N / 35.54 E	4.2
131	24.09.1996	37.18 N / 35.67 E	4.1
132	13.11.1996	36.80 N / 36.35 E	4.0
133	06.01.1997	36.93 N / 35.68 E	4.2
134	22.01.1997	36.14 N / 36.12 E	5.5
135	22.01.1997	36.13 N / 36.08 E	5.0
136	23.01.1997	36.16 N / 36.33 E	4.0
137	26.02.1997	36.07 N / 36.27 E	4.0
138	03.01.1998	37.18 N / 35.64 E	4.1
139	27.06.1998	36.96 N / 35.52 E	6.3
140	27.06.1998	36.81 N / 35.61 E	4.2
141	27.06.1998	37.23 N / 35.74 E	4.1
142	27.06.1998	37.01 N / 35.68 E	4.0
143	27.06.1998	36.84 N / 35.56 E	4.1
144	27.06.1998	36.56 N / 35.54 E	4.2

<i>Stra No</i>	<i>Tarih</i>	<i>Episantr (Enlem / Boylam)</i>	<i>Büyüklük</i>
145	28.06.1998	37.00 N / 35.68 E	4.9
146	28.06.1998	36.95 N / 35.63 E	4.1
147	04.07.1998	36.85 N / 35.47 E	5.1
148	04.07.1998	36.85 N / 35.51 E	4.5
149	15.07.1998	36.86 N / 35.65 E	4.0
150	17.07.1998	36.70 N / 36.04 E	4.0
151	24.08.1998	36.84 N / 35.45 E	4.1
152	20.09.1998	36.89 N / 35.49 E	4.1
153	22.09.1998	36.98 N / 36.94 E	4.1
154	18.10.1998	37.29 N / 36.25 E	4.1
155	04.12.1998	35.59 N / 36.98 E	4.3
156	15.01.1999	37.03 N / 35.81 E	4.5
157	05.05.1999	36.95 N / 35.35 E	4.0
158	10.06.1999	36.28 N / 35.88 E	4.5
159	01.11.1999	37.30 N / 36.33 E	4.0
160	18.01.2000	37.43 N / 36.14 E	4.0
161	06.03.2000	37.17 N / 35.14 E	4.0
162	06.03.2000	37.19 N / 35.10 E	4.0
163	08.03.2000	37.18 N / 35.23 E	4.0
164	12.05.2000	37.00 N / 36.16 E	4.8
165	17.01.2001	36.96 N / 36.27 E	4.9